



Vlaanderen
is wetenschap



Trends op basis van de Algemene Broedvogelmonitoring Vlaanderen (ABV)

Technisch achtergrondrapport

Thierry Onkelinx, Glenn Vermeersch, Koen Devos

INSTITUUT
NATUUR- EN BOSONDERZOEK

Auteurs:

Thierry Onkelinx, Glenn Vermeersch, Koen Devos
Instituut voor Natuur- en Bosonderzoek

Het INBO is het onafhankelijk onderzoeksinstituut van de Vlaamse overheid dat via toegepast wetenschappelijk onderzoek, data- en kennisontsluiting het biodiversiteitsbeleid en -beheer onderbouwt en evalueert.

Reviewer:

Hans Van Calter

Vestiging:

Herman Teirlinckgebouw
INBO Brussel
Havenlaan 88 bus 73, 1000 Brussel
www.inbo.be

e-mail:

thierry.onkelinx@inbo.be

Wijze van citeren:

Onkelinx, T.; Vermeersch, G. & Devos K.(2020). Trends op basis van de Algemene Broedvogelmonitoring Vlaanderen (ABV). Rapporten van het Instituut voor Natuur- en Bosonderzoek jaar (10). Instituut voor Natuur- en Bosonderzoek, Brussel.
DOI: <https://doi.org/10.21436/inbor.17888433>

D/2020/3241/068

Rapporten van het Instituut voor Natuur- en Bosonderzoek 2020 (10)

ISSN: 1782-9054

Verantwoordelijke uitgever:

Maurice Hoffmann

Foto cover:

Spreeuw (Koen Devos)

TRENDS OP BASIS VAN DE ALGEMENE

BROEDVOGELMONITORING VLAANDEREN (ABV)

Technisch achtergrondrapport

Thierry Onkelinx, Glenn Vermeersch, Koen Devos

<https://doi.org/10.21436/inbor.17888433>

Inhoudsopgave

Inhoudsopgave	4
1 Inleiding	5
I Methodologie	6
2 Inzameling van de tellingen in het veld	7
2.1 Steekproef	7
2.2 Steekproefeenheid	9
2.3 Tellingen	9
3 Verwerking van de gegevens	10
3.1 Selectie van relevante gegevens per soort	10
3.2 Trendberekening	12
3.2.1 Niet-lineaire trends	12
3.2.2 Statistische verdelingen	12
3.2.3 Lineaire trends	13
3.2.4 Resultaten per driejarige cyclus	13
3.2.5 Modellen fitten	14
3.3 Gemiddeld aantal dieren per meetpunt	14
3.4 Vergelijken van jaren	15
3.5 Gewicht van de strata	15
3.6 Samengestelde indices	16
4 Voorstelling van de gegevens	17
4.1 Onzekerheid	17
4.2 Opdeling van de effecten in een aantal klassen	17
4.3 Overzicht van de lineaire trends	19
4.4 Evolutie van gemiddelde aantallen per soort	19
4.5 Paarsgewijze vergelijking van jaren	19
5 Reproduceerbaarheid en traceerbaarheid van de gegevensverwerking	21
5.1 Versiebeheer	21
5.2 Reproduceerbaarheid	21
5.3 Traceerbaarheid	21
II Indicatoren	23
6 Bos	24
7 Generalist	26
8 Landbouw	28
9 NARA2020	30
10 Standvogel	33
11 SubSaharaMigrant	35

12	Watervogel	38
III	Resultaten per soort	40
13	Overzicht van de trends	41
14	Aalscholver	46
15	Bergeend	49
16	Blauwborst	52
17	Blauwe reiger	55
18	Boerenzwaluw	58
19	Bonte vliegenvanger	62
20	Boomklever	67
21	Boomkruiper	70
22	Boomleeuwerik	73
23	Boompieper	77
24	Bosrietzanger	80
25	Bruine kiekendief	83
26	Buizerd	87
27	Canadese gans	90
28	Cetti's zanger	94
29	Dodaars	97
30	Ekster	100
31	Fazant	103
32	Fitis	106
33	Fuut	109
34	Gaai	112
35	Geelgors	115
36	Gekraagde roodstaart	118
37	Gele kwikstaart	122
38	Gierzwaluw	126
39	Glanskop	129
40	Goudhaan	132
41	Grasmus	135
42	Graspieper	138
43	Grauwe gans	141
44	Groene specht	144
45	Groenling	148
46	Grote bonte specht	151
47	Grote lijster	155
48	Grutto	158
49	Halsbandparkiet	161
50	Havik	165
51	Heggenmus	168



52	Holenduif	171
53	Houtduif	174
54	Huismus	177
55	Huiszwaluw	180
56	Kauw	183
57	Kievit	186
58	Kleine karekiet	189
59	Kleine mantelmeeuw	193
60	Kneu	197
61	Knobbelzwaan	200
62	Koekoek	204
63	Kokmeeuw	207
64	Koolmees	210
65	Krakeend	213
66	Kuifmees	216
67	Matkop	219
68	Meerkoet	222
69	Merel	225
70	Nachtegaal	228
71	Nijlgans	231
72	Patrijs	234
73	Pimpelmees	237
74	Putter	240
75	Rietgors	243
76	Rietzanger	246
77	Ringmus	249
78	Roek	252
79	Roodborst	255
80	Roodborsttapuit	258
81	Scholekster	262
82	Sperwer	265
83	Spotvogel	268
84	Spreeuw	271
85	Sprinkhaanzanger	274
86	Staartmees	278
87	Stadsduif	281
88	Tjiftjaf	284
89	Torenvalk	287
90	Tuinfluit	290
91	Turkse tortel	293
92	Veldleeuwerik	296



93	Vink	299
94	Waterhoen	302
95	Wielewaal	305
96	Wilde eend	308
97	Winterkoning	311
98	Witte kwikstaart	314
99	Wulp	318
100	Zanglijster	321
101	Zilvermeeuw	324
102	Zwarte kraai	327
103	Zwarte mees	330
104	Zwarte roodstaart	333
105	Zwarte specht	337
106	Zwartkop	341
	Referenties	345

1 INLEIDING

Dit rapport publiceert de meest recente analyses op basis van het telwerk voor het project 'Algemene Broedvogelmonitoring Vlaanderen' of kortweg ABV. Dit project is een gezamenlijk initiatief van het Instituut voor Natuur- en Bosonderzoek (INBO) en Natuurpunt Studie in samenwerking met de lokale vogelwerkgroepen. De samenwerking tussen deze organisaties staat garant voor een goede ondersteuning van en communicatie naar het vrijwilligersnetwerk door Natuurpunt Studie, en een degelijke professionele wetenschappelijke ondersteuning en dataverwerking door het INBO.

Het project werd opgestart in 2007 en heeft als doelstelling het beschrijven van aantalsontwikkelingen van een set van ca. 80 algemene broedvogelsoorten in Vlaanderen. Zowel jaarlijkse fluctuaties als meerjarige trends zijn daarbij interessante resultaten in functie van lokaal, regionaal en/of internationaal beleid.

Dit rapport is bedoeld als een technisch achtergrondrapport. Het bestaat uit drie delen: het eerste deel beschrijft de methodiek van de verwerking en de weergave van de resultaten; het tweede deel geeft een aantal indicatoren gebaseerd op trends van meerdere soorten; het derde deel beschrijft de tijdreeks van individuele soorten. We beperken ons in delen twee en drie tot een droge, gestandaardiseerde weergave van de cijfers zonder ecologische interpretatie. Voor een ecologische interpretatie van de resultaten verwijzen we naar andere publicaties zoals [INBO Vogelnieuws](#).

Deel I

Methodologie

2 INZAMELING VAN DE TELLINGEN IN HET VELD

Hier beschrijven we beknopt het veldwerk, voor de details verwijzen we naar [Vermeersch et al \(2018b\)](#).

2.1 STEEKPROEF

De UTM 1x1 hokken vormen de basis waaruit de steekproef getrokken is. Bij de start van het meetnet hebben we de hokken opgedeeld in een aantal strata. De regels zijn gebaseerd op het oppervlakteaandeel van een bepaald landgebruik op basis van de Biologische Waarderingkaart ([Vriens et al, 2011](#)).

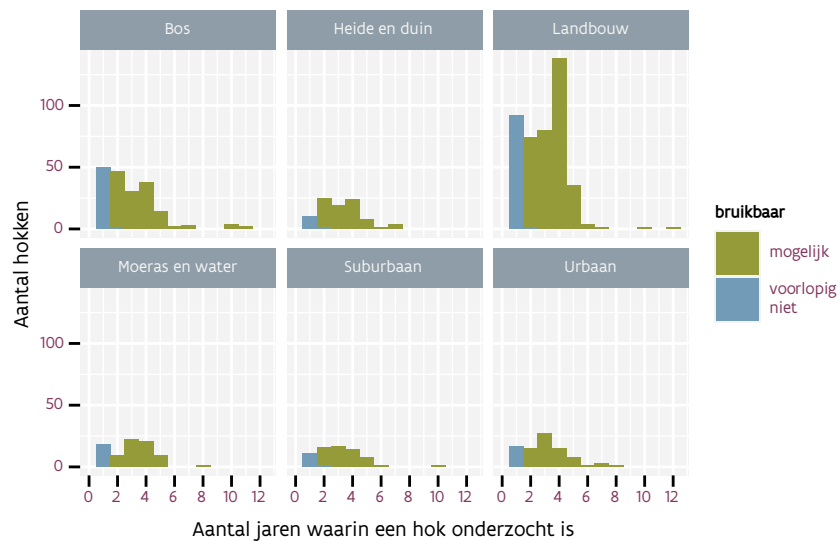
1. Landbouw: minstens 80% landbouw. 6311 hokken.
2. Urban: minstens 80% urban. 416 hokken.
3. Bos: minstens 80% bos. 319 hokken.
4. Suburban: minstens 80% suburban. 201 hokken.
5. Heide en duin: minstens 20% heide of duin. 199 hokken.
6. Moeras en water: minstens 20% moeras en water. 137 hokken.

Uit deze set trekken we een aselechte, gestratificeerde steekproef van 1200 hokken waarbij zeldzamere habitats overbemonsterd worden. We streven er naar om jaarlijks 300 hokken te bemonsteren in een driejarige rotatie. De waarnemers mochten in het eerste jaar 300 hokken kiezen uit de set van 1200. Deze set van hokken komen in principe opnieuw aan bod in jaren 4, 7, 10, ... In jaar 2 kiezen ze 300 hokken uit de overgebleven 900 hokken. Deze set komt opnieuw aan bod in jaren 5, 8, 11, ... Tenslotte kiezen de waarnemers in het derde jaar een laatste set van 300 hokken uit de laatste 900 hokken. Deze set hokken bemonsteren we in de jaren 3, 6, 9, 12, ...

Figuur 2.1 geeft de effectieve monitoringsinspanning weer. In deze figuur hebben we de hokken gesorteerd volgens 1) het eerste jaar met gegevens, 2) het laatste jaar met gegevens, 3) het tweede jaar met gegevens, 4) het derde jaar met gegevens, ... Hierdoor staan hokken met een meer gelijkende onderzoeksgeschiedenis dicht bij elkaar. Merk op dat de driejarige cyclus voor de meest hokken wordt gerespecteerd. Voor sommige hokken is de inspanning variabel, soms frequenter dan om de drie jaar, soms zit er meer tijd tussen. Sommige hokken werden slechts in een of twee jaar onderzocht (fig. 2.2). Voor het onderscheid tussen mogelijk bruikbaar en voorlopig niet bruikbaar verwijzen we naar §3.1.



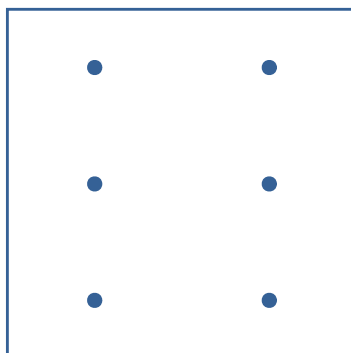
Figuur 2.1: Overzicht van de effectieve monitoringsinspanning. Elk punt is een hok dat onderzocht is in een bepaald jaar. De horizontale lijnen verbinden het eerste en meest recente bezoek aan eenzelfde hok.



Figuur 2.2: Histogram van het aantal jaren waarin een hok onderzocht is opgesplitst per stratum.

2.2 STEEKPROEFEENHEID

De steekproefeenheid bestaat uit een hok van 1 x 1 km. Binnen dit hok worden zes punten vastgelegd in een vaste patroon (fig. 2.3). Indien de punten in de praktijk niet bereikbaar zijn, mag de waarnemer ze verplaatsen naar het dichtsbijzijde bereikbare punt. De waarnemer documenteert deze wijziging zodat we in de toekomst steeds op dezelfde punten blijven waarnemen.



Figuur 2.3: Standaardlocatie van meetpunten binnen een km hok.

2.3 TELLINGEN

In het jaar dat we een hok bemonsteren zal de waarnemer het hok in drie periodes bezoeken: 1 maart - 15 april, 16 april - 31 mei, 1 juni - 15 juli. Tussen twee opeenvolgende bezoeken moet er minstens twee weken liggen. Alle meetpunten van een hok worden op dezelfde dag onderzocht tussen zonsopgang en 4 uur na zonsopgang. Op elk meetpunt telt de waarnemer gedurende 5 minuten het aantal volwassen vogels per soort. Overvliegende groepen vogels worden hierbij niet meegeteld.

3 VERWERKING VAN DE GEGEVENS

3.1 SELECTIE VAN RELEVANTE GEGEVENS PER SOORT

Hoewel we alle waargenomen vogelsoorten op een meetpunt noteren, toch zijn niet alle hokken even relevant voor een bepaalde soort. Om de redenering op te bouwen, beschouwen we een fictieve soort die enkel op een afgelegen eiland voorkomt. Alle vogeltellingen buiten dit eiland zijn uiteraard niet informatief voor wijzigingen in de aantallen van deze fictieve soort. Buiten het eiland zullen de getelde aantallen immers per definitie nul zijn. Wanneer we deze tellingen toch zouden in rekening brengen, dan zullen ze de globale trend afvlakken. De globale trend is min of meer equivalent met een 'gemiddelde' trend over de verschillende locaties. Als een locatie steeds nul geeft, dan zijn lokaal de aantallen wiskundig 'stabiel' (geen lokale trend). Daarom is het noodzakelijk om de locaties die niet relevant zijn voor een soort buiten beschouwing te houden.

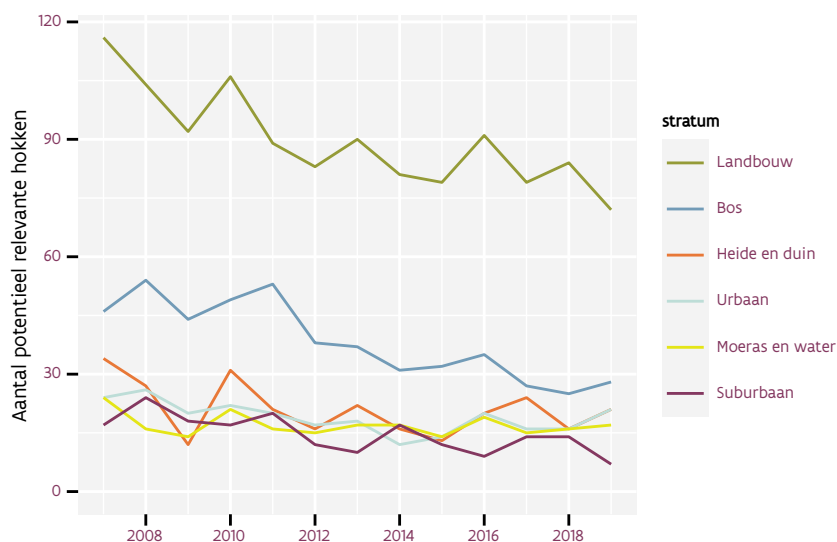
In Vlaanderen is de situatie niet zo zwart-wit als bij het voorbeeld met het afgelegen eiland. Daarom hebben nood aan een set regels die we toepassen op de beschikbare gegevens.

1. We beschouwen een hok als relevant voor een soort wanneer we deze soort tijdens minstens twee verschillende driejarige cycli waarnemen. Op deze manier sluiten we hokken uit waar de soort nooit of slechts toevallig waargenomen is. Hokken die slechts binnen één driejarige cyclus onderzocht zijn, kunnen we hierdoor voorlopig niet gebruiken. Figuur 3.1 geeft een overzicht van het aantal hokken die gedurende minstens twee cycli onderzocht zijn.
2. Een stratum is relevant voor een soort wanneer het minstens drie relevante hokken bevat.
3. Op basis van de overblijvende gegevens berekenen we het (meetkundig¹) gemiddelde van de aantallen in elk van de drie perioden. De periode met het hoogste gemiddelde gebruiken we als referentieperiode. We houden enkel de periodes waarbij het gemiddelde minstens 15% van de referentieperiode bedraagt. Op deze manier sluiten we periodes uit waarbij de soort zelden gezien wordt. Bijvoorbeeld een trekvogel die pas in de loop van de tweede periode toekomt en waarvoor de eerste periode bijgevolg niet relevant is.
4. We passen de regels voor relevante hokken en strata opnieuw toe. Het negeren van een of twee irrelevante periodes kan er voor zorgen dat een hok niet langer relevant is.

Na het toepassen van deze regels gaan we na of we minstens 100 waarnemingen van de soort hebben. Hierbij is een waarneming de telling van minstens één dier in een combinatie van jaar, periode, hok en meetpunt. Stel dat we een soort hebben waarbij we de drie periodes weerhouden en de waarnemer ziet de soort op elk van de zes meetpunten tijdens alle periodes van een bepaald jaar, dan hebben we $3 \times 6 = 18$ waarnemingen voor dat hok in dat jaar.

¹Het meetkundig gemiddelde of geometrisch gemiddelde van n getallen wordt verkregen door de getallen met elkaar te vermenigvuldigen en vervolgens van het product de n -de-machtswortel te nemen.

$$m = \left(\prod_{i=1}^n a_i \right)^{1/n}$$



Figuur 3.1: Aantal onderzochte hokken per stratum en per jaar waarbij we enkel rekening houden met hokken die in minstens twee verschillende driejarige cycli onderzocht zijn.

Als we minder dan 100 waarnemingen voorhouden voor een soort, dan stopt voorlopig het verhaal voor deze soort. We hebben dan te weinig waarnemingen voor een betrouwbare trendberekening. Dit wil niet zeggen dat we deze soort permanent afschrijven! Wanneer we deze regels in de toekomst opnieuw toepassen hebben we mogelijk wel voldoende waarnemingen. Ook hokken of strata in de toekomst gekoloniseerd worden, worden dan opgepikt.

3.2 TRENDBEREKENING

3.2.1 Niet-lineaire trends

Om de trends te berekenen, voorspellen we de waargenomen aantallen aan de hand van een statistisch model. $Y_{jps hm}$ is de voorspelling voor jaar j , periode p , stratum s , hok h en meetpunt m . Veronderstellen dat deze aantallen uit een *zero-inflated negative binomial*² verdeling komen met parameters $\mu_{jps hm}$, ν en π .

$$Y_{jps hm} \sim ZINB(\mu_{jps hm}, \nu, \pi)$$

Laat ons eerst focussen op $\mu_{jps hm}$. Deze parameter is via een log link gerelateerd aan de lineaire predictor $\eta_{jps hm}$. Door deze log link kunnen we de individuele termen van de lineaire predictor interpreteren als relatieve effecten.

$$\log \mu_{jps hm} = \eta_{jps hm}$$

En nu wordt het interessant want deze lineaire predictor hangt af van vijf termen:

- β_s : het effect van stratum s .
- β_p : het verschil tussen periode p en de referentieperiode.
- b_h : het effect van hok h . Deze effecten komen uit een Gaussiaanse verdeling met gemiddelde 0 en variantie σ_h^2 .
- b_m : het effect van meetpunt m . Deze effecten komen uit een Gaussiaanse verdeling met gemiddelde 0 en variantie σ_m^2 .
- $b_{j,s}$: het effect van jaar j in stratum s . Dit effect modelleert een eerste orde random walk per stratum. Het verschil tussen twee opeenvolgende jaren komt uit een Gaussiaanse verdeling met gemiddelde 0 en variantie σ_j^2 .

$$\eta_{jps hm} = \beta_s + \beta_p + b_h + b_m + b_{j,s}$$

$$b_h \sim \mathcal{N}(0, \sigma_h^2)$$

$$b_m \sim \mathcal{N}(0, \sigma_m^2)$$

$$b_{j,s} - b_{j-1,s} = \Delta b_{j,s} \sim \mathcal{N}(0, \sigma_j^2)$$

De random walk $b_{j,s}$ is de term die ons het meest interesseert aangezien deze modelleert hoe de aantallen in de tijd wijzigen. Het komt er op neer dat de aantallen in jaar j en stratum s een factor $e^{\Delta b_{j,s}}$ verschillen van het voorgaande jaar in datzelfde stratum. De variantie σ_j^2 bepaalt hoe groot de sterkste schommelingen tussen de opeenvolgende jaren kunnen zijn. Het model laat toe dat elk stratum zijn eigen trend heeft.

3.2.2 Statistische verdelingen

Een standaard distributie voor aantallen is de Poisson verdeling. Deze heeft als kenmerk dat de variantie gelijk is aan het gemiddelde ($\sigma^2 = \mu$). Bij veel ecologisch gegevens zien we dat de variantie in de praktijk groter is dan het gemiddelde, een fenomeen dat we overdispersie noemen. In dat geval kunnen we een negatief binomiale verdeling gebruiken. Deze heeft als variantie $\sigma^2 = \mu + \mu^2/\nu$, waarbij de parameter ν is een maat voor overdispersie. Merk op dat als de overdispersieparameter zeer groot wordt ($\nu = \infty$), dan wordt de term $\mu/\nu = 0$ en bijgevolg reduceert de negatief binomiale verdeling dan tot een Poisson verdeling.

²Een negatief binomiale verdeling met een overmaat aan nullen.

Sommige ecologische gegevens vertonen een “overmaat” aan nullen, dat zijn meer nulwaarnemingen dan de Poisson of negatief binomiale verdeling kan modelleren. In dergelijke gevallen kunnen we overschakelen naar de *zero-inflated* versie van deze verdelingen. Deze hebben een parameter π die een maat is voor de kans op een overmatige nul.

Bij het modelleren zullen we in eerste instantie deze twee parameters instellen op $\nu = \infty$ en $\pi = 0$, m.a.w. geen overdispersie en geen overmaat aan nullen zodat we een Poisson verdeling krijgen. Vervolgens gaan we na of er voldoende aanwijzingen zijn voor overdispersie of een overmaat aan nullen. In het geval van overdispersie laten we ν door het model schatten waardoor we overgaan van een Poisson naar een negatief binomiaal. In het geval van een overmaat aan nullen laten we π door het model schatten waardoor we overgaan van een Poisson naar een *zero-inflated* Poisson. Soms hebben we zowel aanwijzingen voor overdispersie als een overmaat aan nullen. In die gevallen kiezen we de negatief binomiaal of *zero-inflated* Poisson naargelang welke de sterkste aanwijzingen heeft. Vervolgens gaan we na of we de andere parameter ook nog een probleem vormt. Zo ja, gaan we over naar een *zero-inflated* negatief binomiaal waarbij het model zowel ν als π zal schatten.

3.2.3 Lineaire trends

Lineaire trends veronderstellen dat er een constante wijziging is over de volledige looptijd. Het model dat we hiervoor gebruiken is nagenoeg identiek aan het niet-lineaire model. Het enige verschil zit in de lineaire predictor waar we de first order random walk ($b_{j,s}$) vervangen door een lineaire trend per stratum (β_{s1j}).

$$\eta_{jps_{hm}} = \beta_s + \beta_p + b_h + b_m + \beta_{s1j}$$

Het lineaire model is een vereenvoudiging van het niet-lineaire model. We kunnen deze modellen met elkaar vergelijken op basis van het *Wantanabe-Akaike Information Criterion* (WAIC) (Gelman et al, 2014). De WAIC waarde daalt bij een betere modelfit en stijgt wanneer het model complexer wordt. Als we modellen met elkaar vergelijken op basis van WAIC, zal het model met de laagste WAIC de beste mix zijn tussen een goede modelfit en een zo eenvoudig mogelijk model. We beschouwen de trend als **lineair** wanneer het lineaire model de laagste WAIC heeft. Wanneer de WAIC van het niet-lineaire model minder dan 2 eenheden lager is dan deze van het lineaire model, beschouwen de trend als **mogelijk niet-lineair**. Pas wanneer de WAIC van het niet-lineaire model duidelijk lager is dan het lineaire model, stellen we dat de trend **niet-lineair** is. In dat geval de gebruiker moet de gerapporteerde lineaire trend met de nodige voorzichtheid interpreteren. Kijk zeker naar de bijhorende niet-lineaire trend vooraleer de cijfers te interpreteren.

3.2.4 Resultaten per driejarige cyclus

Zoals aangegeven in §2.1 zullen we een bepaald hok in principe om de drie jaar herbezoeken. Hierdoor krijgen we drie sets van hokken. Er bestaat een kans dat de schatting voor een bepaald jaar beïnvloed is door de set van hokken die in dat jaar onderzocht worden. Om dit effect uit te schakelen, analyseren we de gegevens tevens op basis van de driejarige cyclus c i.p.v. jaar j .

De eerste cyclus omvat de eerste drie jaar sinds de start van het meetnet (2007-2009). De volgende cyclus omvat telkens de volgende drie jaar aansluitend op de vorige cyclus. Aangezien we alle beschikbare gegevens gebruiken bij de analyse bevat de laatste cyclus mogelijk minder dan drie jaar. Dit is duidelijk zichtbaar doordat het laatste jaar van de cyclus op dat ogenblik in de toekomst ligt. Als bijvoorbeeld 2019 het meest recente jaar met gegevens is, dan is de laatste cyclus 2019-2021.

Hieronder geven we aan op welke manier we de eerste beschreven modellen aanpassen.

$$Y_{cpsh_m} \sim ZINB(\mu_{cpsh_m}, \nu, \pi)$$

$$\log \mu_{cpsh m} = \eta_{cpsh m}$$

Niet-lineaire trend

$$\eta_{cpsh m} = \beta_s + \beta_p + b_h + b_m + b_{c,s}$$

$$b_{c,s} - b_{c-1,s} = \Delta b_{c,s} \sim \mathcal{N}(0, \sigma_c^2)$$

$b_{c,s}$: het effect van driejarige cyclus c in stratum s . Dit effect modelleert een eerste orde random walk per stratum. Het verschil tussen twee opeenvolgende driejarige cycli komt uit een Gaussiaanse verdeling met gemiddelde 0 en variantie σ_c^2 .

Lineaire trend

$$\eta_{cpsh m} = \beta_s + \beta_p + b_h + b_m + \beta_{s1}c$$

3.2.5 Modellen fitten

We fitten de statische modellen in R (R Core Team, 2019) met het INLA package (Rue et al, 2009). INLA gebruikt een Bayesiaanse benadering om de modellen te fitten. Daarom moeten we priors specificeren voor de (hyper-)parameters.

- β_s, β_p en β_{s1} krijgen een Gaussiaanse prior $\mathcal{N}(0, 5)$.
- σ_h^2 krijgt een *penalised complexity* prior (Simpson et al, 2017) zodat $Prob(\sigma_h > 1) = 0.01$.
- σ_m^2 krijgt een *penalised complexity* prior zodat $Prob(\sigma_m > 1) = 0.01$.
- σ_j^2 krijgt een *penalised complexity* prior zodat $Prob(\sigma_j > 0.5) = 0.01$.
- σ_c^2 krijgt een *penalised complexity* prior zodat $Prob(\sigma_c > 0.5) = 0.01$.
- ν krijgt een Gamma prior zodat $\nu \sim \Gamma(1/7, 1/7)$.
- π wordt intern geparametriseerd als $\theta = \log \frac{\pi}{1-\pi}$ met Gaussiaanse prior $\theta \sim \mathcal{N}(-1, 5)$.

3.3 GEMIDDELD AANTAL DIEREN PER MEETPUNT

Een gemiddeld hok heeft als effect $b_h = 0$ en een gemiddeld meetpunt $b_m = 0$. In de referentieperiode is $\beta_p = 0$. In deze gevallen vereenvoudigt de lineaire predictor tot het effect van stratum s en de trend in dat stratum:

$$\eta_{js} = \beta_s + b_{j,s}$$

Door de effecten van de strata te vermenigvuldigen met hun stratumgewicht (γ_s) krijgen we een schatting voor Vlaanderen.

$$\eta_j = \sum_s (\gamma_s \beta_s + \gamma_s b_{j,s})$$

Om de schatting van het gemiddelde aantal in Vlaanderen te krijgen, moeten we de lineaire predictor terug omzetten van de log schaal naar de natuurlijke schaal en corrigeren voor de eventuele overmaat aan nullen. We krijgen dan:

$$E[Y_j] = (1 - \pi)e^{\eta_j} \prod_s (e^{\gamma_s \beta_s} e^{\gamma_s b_{j,s}})$$

3.4 VERGELIJKEN VAN JAREN

We kunnen twee jaren a en b met elkaar vergelijken door hun lineaire predictoren voor het gemiddeld aantal dieren van elkaar af te trekken.

$$\eta_a - \eta_b = \sum_s (\gamma_s \beta_s + \gamma_s b_{a,s}) - \sum_s (\gamma_s \beta_s + \gamma_s b_{b,s})$$

Aangezien het globale stratumeffecten en de stratumgewichten niet wijzigen in de tijd, kunnen we dit vereenvoudigen tot

$$\eta_a - \eta_b = \sum_s \gamma_s (b_{a,s} - b_{b,s})$$

De wijziging in Vlaanderen is het gewogen gemiddelde van de wijzigingen in de strata. Na omzetting van de \log schaal naar de natuurlijke schaal krijgen we het relatieve aantal $I_{a|b}$ van jaar a t.o.v. jaar b

$$I_{a|b} = \frac{e^{\nu_a}}{e^{\nu_b}} = \prod_s \left(\frac{e^{\gamma_s b_{a,s}}}{e^{\gamma_s b_{b,s}}} \right)$$

Wanneer we een jaar met zichzelf vergelijken krijgen we per definitie $I_{a|a} = 1 = 100\%$. Wanneer we meerdere jaren met eenzelfde referentiejaar vergelijken krijgen we een indexwaarde: het relatieve verschil van elk jaar t.o.v. van een bepaald referentiejaar.

3.5 GEWICHT VAN DE STRATA

In het vorige onderdeel hebben gebruikt gemaakt van stratumgewichten γ_s zonder deze te definiëren. We bepalen het gewicht van een stratum op basis van drie kenmerken: het totaal aantal hokken van het stratum in Vlaanderen (N_s), het aantal onderzochte hokken in het stratum (T_s) ongeacht of ze al dan niet relevant zijn voor de soort en het aantal relevante hokken voor de soort in het stratum (R_s).

Het aandeel relevante hokken per stratum (R_s/T_s) is een goede maat van de frequentie waarmee een soort aanwezig is binnen een stratum. Wanneer een soort in nagenoeg alle onderzochte hokken van het stratum waargenomen wordt is $R_s/T_s \simeq 1$. Is de soort zeer zeldzaam (komt slechts in een paar van de onderzochte hokken voor) dan is $R_s/T_s \simeq 0$.

Het basisgewicht γ_{sb} voor stratum s is het aandeel relevante hokken vermenigvuldigd met het totaal aantal hokken in het stratum. Dit is een schatting van het totaal aantal hokken in het stratum waar de soort voldoende frequent voorkomt.

$$\gamma_{sb} = \frac{R_s}{T_s} N_s$$

Om makkelijker te kunnen rekenen delen we de basisgewichten door hun som zodat de stratumgewichten sommeren tot 1.

$$\gamma_s = \frac{\gamma_{sb}}{\sum_s \gamma_{sb}}$$

Merk op dat het aantal relevante hokken per stratum (R_s) soortafhankelijk is. Bijgevolg zijn de stratumgewichten eveneens soortafhankelijk.

3.6 SAMENGESTELDE INDICES

We berekenen een aantal samengestelde indices die de trends voor een groep van soorten aggregeren. Deze indices zijn het meetkundig gemiddelde van de verschillen tussen jaren voor alle soorten van de groep. Bij de berekening maken we gebruik van het truukje dat we een product kunnen schrijven als een som van logaritmes die we nadien terug exponentiëren. Een meetkundig gemiddelde in de natuurlijke schaal kunnen we dat schrijven als een rekenkundig gemiddelde in de log-schaal.

$$\sqrt[n]{\prod_{i=1}^n a_i} = \exp\left(\frac{\sum_{i=1}^n \log a_i}{n}\right)$$

Het voordeel aan deze techniek is dat de schattingen van de paarsgewijze verschillen tussen de jaren reeds beschikbaar zijn in de log-schaal. Bovendien beschikken we tevens over hun variantie in de log-schaal. Dit laat ons toe om makkelijk het betrouwbaarheidsinterval te berekenen aan de hand van een paar vuistregels.

1. Bij onafhankelijke variabelen geldt dat de variantie van hun som gelijk is aan de som van de varianties. $\sigma_{\sum X_i}^2 = \sum \sigma_{X_i}^2$
2. De variantie van het product van een variabele en een constante is gelijk aan de variantie van de variabele vermenigvuldigd met die constante. $\sigma_{aX}^2 = a\sigma_X^2$
3. Het model veronderstelt dat de individuele modelparameters een Gaussiaanse verdeling volgen. Hierdoor volgen de paarsgewijze verschillen tussen de jaren en hun gemiddelde (telkens in de log-schaal) een Gaussiaanse verdeling. Aangezien we zowel het gemiddeld als de variantie van deze verdeling kennen, kunnen we hieruit de gewenste kwantielen voor de betrouwbaarheidsintervallen berekenen (nog steeds in de log-schaal).
4. De log-transformatie is een monotoon stijgende functie aangezien $\log(x)$ steeds groter wordt wanneer x groter wordt. Een kenmerk van een monotoon stijgende transformatie is dat ze de volgorde behouden: het 5% kleinste element zal ook na de transformatie het 5% kleinste element zijn. Waardoor we de kwantielen van de betrouwbaarheidsintervallen zonder probleem kunnen terugrekenen naar de natuurlijke schaal.

4 VOORSTELLING VAN DE GEGEVENS

4.1 ONZEKERHEID

Alle resultaten zijn gebaseerd op een steekproef en op de waarnemingen zit onvermijdelijk een zekere meetfout. Vandaar dat we bij de puntschattingen tevens een betrouwbaarheidsinterval weergeven. In de tekst gebruiken we het 90% (5%; 95%) interval waarbij er 5% kans is dat de werkelijke waarde kleiner is dan de ondergrens en 5% dat ze groter is dan de bovengrens. Het 90% interval is iets smaller dan het traditionele 95% (2.5%; 97.5%) interval. Door een smaller interval te kiezen zullen we sneller uitspraken kunnen doen, waardoor de kans kleiner wordt dat we ten onrechte stellen dat er geen effect is. De prijs die we hiervoor betalen is dat de kans dat we ten onrechte stellen dat er een significant effect is, stijgt van 5% naar 10%. De doelstelling van de algemene broedvogelmonitoring is zo spoedig mogelijk detecteren wanneer er iets aan de hand is de broedvogels. Vanuit dat oogpunt is het vermijden van vals negatieve signalen (ten onrechte stellen dat er niets aan de hand is) belangrijker dan het vermijden van vals positieve signalen (ten onrechte stellen dat er iets aan de hand is).

Wanneer we het interval op een figuur (bijvoorbeeld fig. 4.1) weergeven, vullen we het 90% interval aan met een 60% (20%; 80%) interval en een 30% (35%; 65%) interval. Britton et al (1998) waren de inspiratie voor deze manier van weergeven. Het 30% interval vormt het donkerste deel van het interval en geeft de meeste waarschijnlijke locatie van de werkelijke waarde weer. Naarmate het interval lichter wordt, neemt de onzekerheid toe.

4.2 OPDELING VAN DE EFFECTEN IN EEN AANTAL KLASSEN

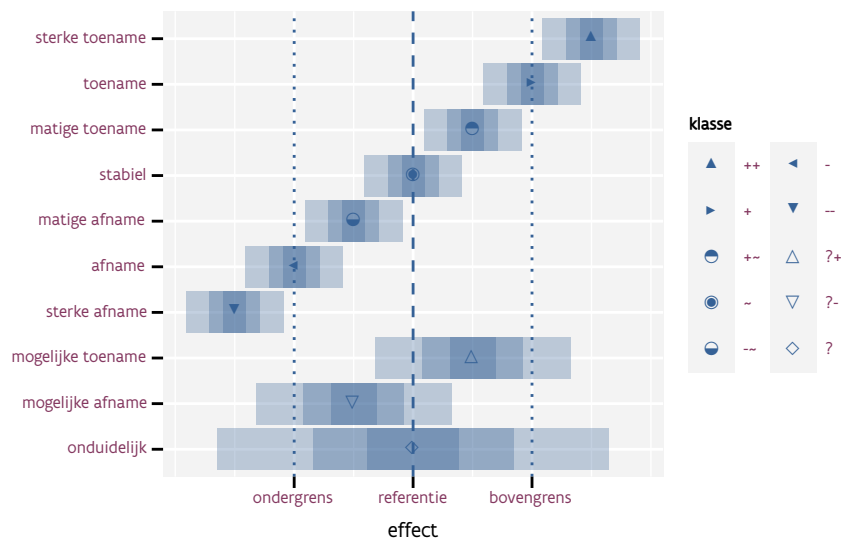
Bij het niet-lineaire model berekenen we alle paarsgewijze relatieve verschillen tussen de verschillende jaren. Bij het lineaire model hebben we de gemiddelde jaarlijkse relatieve verandering. Deze laatste rekenen we tevens om naar de totale wijziging over de looptijd van het meetnet omdat dit eenvoudiger te interpreteren is. Vergelijk een daling met -5% per jaar of een daling met -50% over 15 jaar. Deze laatste klinkt dramatischer door het grotere cijfer, terwijl -5% per jaar overeenkomt met -54% over 15 jaar. De totale wijziging over de looptijd van het lineaire model is tevens vergelijkbaar met de wijziging tussen het eerste en laatste jaar van het niet-lineaire model.

Om de interpretatie makkelijker te maken, delen we de wijzigingen op in tien klassen door hun 90% interval te vergelijken met een referentie, onder- en bovengrens. Een effect is significant wanneer de referentie buiten het 90% interval ligt. We spreken over een **toename (afname)** als het interval volledig boven (onder) de referentie ligt. Niet-significante effect is ook informatief wanneer het bijhorende interval voldoende smal is. Bijvoorbeeld als het interval volledig tussen een onder- en bovengrens ligt. In dat geval kunnen we stellen dat het effect niet-significant en klein is, het immers zeker minder sterk dan de ondergrens en minder sterk dan de bovengrens. Dergelijk effect krijgt de naam **stabiel**. Heeft het effect een breed interval dat zowel de boven- als ondergrens bevat, spreken we over een **onduidelijk** effect. Daarnaast is er nog de mogelijkheid dat het interval zowel de bovengrens (ondergrens) als de referentie bevat maar niet de ondergrens (bovengrens). Dan spreken we over een **mogelijke toename (mogelijke afname)**. We kunnen de boven- en ondergrens eveneens gebruiken om een verder onderscheid te maken binnen de significante effecten. Een interval volledig boven (onder) de bovengrens (ondergrens) wordt dan een **sterke toename (sterke afname)**. Een interval volledig tussen de referentie en de bovengrens (ondergrens) wordt dan een **matige toename (matige afname)**. Een interval dat de

referentie niet bevat maar wel de bovengrens (ondergrens) blijft een **toename (afname)**. Merk op dat de indeling volledig gebaseerd is op de onzekerheid rond het effect en niet op de puntschatting van het effect zelf. We vatten de opdeling met bijhorende afkortingen en regels samen in tabel 4.1. Figuur 4.1 geeft een grafische voorstelling waarbij we de afkortingen in combinatie met aangepaste symbolen gebruiken. De afkortingen zelf zijn te fijn om als symbool te gebruiken.

Tabel 4.1: Overzicht van de benamingen van de tien effectklassen met hun afkorting en de regels. *R*: referentie, *L*: ondergrens, *B*: bovengrens, *l*: ondergrens van het 90% interval, *b*: bovengrens van het 90% interval. $L < R < B$ en $l < b$.

benaming	afkorting	regels
sterke toename	++	$B < l$
toename	+	$R < l < B$ en $B < b$
matige toename	+~	$R < l < B$ en $b < B$
stabiel	~	$L < l < R$ en $R < b < B$
matige afname	--	$L < l < R$ en $b < R$
afname	-	$l < L$ en $L < b < R$
sterke afname	--	$l < L$
mogelijke toename	?+	$L < l < R$ en $B < b$
mogelijke afname	?-	$l < L$ en $R < b < B$
onduidelijk	?	$l < L$ en $B < b$



Figuur 4.1: Voorbeeld van de tien mogelijke interpretaties van een effect door het 90% interval te vergelijken met een referentie, ondergrens en bovengrens.

Uiteraard hangt de opdeling sterk af van de keuze van de boven- en ondergrens. De soortenmeetnetten voor de Natura 2000 monitoring streven er naar om een daling in populatiegrootte met -25% over 25 jaar tijd vast te kunnen stellen. Hierbij wordt een wijziging in de populatiegrootte van -25% als belangrijk aanzien. Daarom hanteren we voor de algemene broedvogelmonitoring ook -25% als ondergrens, zowel bij de paarsgewijze verschillen tussen de jaren als de lineaire wijziging over de looptijd van het meetnet. Een van daling van -25% komt overeen met aantallen die nog 3/4 van de uitgangssituatie bedragen. Een even sterke wijziging in de omgekeerde richting zorgt er voor dat de aantallen toenemen tot 4/3 van de uitgangssituatie, of een toename met +33% wat we als bovengrens gebruiken.

Bij de samengestelde indices hebben we aangepaste grenswaarden nodig. Veronderstel een samengestelde index op basis van n soorten. We berekenen het rekenkundig gemiddelde in de log-schaal, dan is de variantie van dit gemiddelde een factor n kleiner dan de som van de varianties. De breedte van een betrouwbaarheidsinterval hangt samen met de standaard afwijking, wat de vierkantswortel van de variantie is. Hierdoor zullen de breedtes van de betrouwbaarheidsintervallen van de samengestelde index een factor \sqrt{n} kleiner zijn. Vandaar dat we de grenswaarden van de indices evens aanpassen door ze met een factor \sqrt{n} te verkleinen. Elke samengestelde index heeft zijn eigen soortenlijst met een variabele aantal soorten. Daarom zullen we bij elke samengestelde index zijn aangepaste grenswaarden vermelden.

4.3 OVERZICHT VAN DE LINEAIRE TRENDS

Tabellen 13.1 en 13.2 geven een overzicht van de lineaire trends voor elke soort. We hebben de trends gesorteerd volgens opdeling van de klassen en binnen de klasse volgens puntschatting van de trend. Hierdoor start de tabel met de soorten met de sterkste positieve trends. Bij de volgende soorten zal de trend minder sterk worden tot we aan de soorten met een stabiele trend komen. Daarna volgen de soorten met een negatieve trend waarbij de trend steeds sterker negatief wordt. We sluiten de tabel af met de soorten met een mogelijke of onduidelijke trend. De tabel bevat de trend uitgedrukt als een jaarlijkse wijziging en als een wijziging over de volledige looptijd van het meetnet. Verder bevat de tabel de opdeling van de trend in klassen en een indicatie of de trend al dan niet lineair is (zie §3.2.3). De naam van de soort is een snelkoppeling naar de detail van de soort zelf. We raden aan om hiervan gebruikt te maken bij de interpretatie van niet-lineaire trends.

4.4 EVOLUTIE VAN GEMIDDELTE AANTALLEN PER SOORT

Deze figuur geeft de evolutie van de gemiddelde aantallen per meetpunt weer volgens het niet-lineair model. Indien het model lineair is, zal het patroon van de niet-lineaire trend dicht bij een lineaire trend liggen. De lijn bevat de puntschatting van het gemiddelde aantal in elk jaar. Rond de lijn tonen we het 30%, 60% en 90% interval (zie §4.1). In de webversie van het rapport is de figuur interactief. Wanneer de gebruiker met de muis over de figuur gaat verschijnt er in de buurt van de lijn een pop-up met de exacte schatting van dat jaar inclusief het 90% betrouwbaarheidsinterval en het jaartal.

4.5 PAARSGEWIJZE VERGELIJKING VAN JAREN

Deze informatie hebben we telkens in twee figuren samengevat. De eerste figuur geeft het verschil van elk jaar t.o.v. 2007, het jaar waarin de metingen gestart zijn. Voor 2007 geven we geen cijfer omdat het per definitie 1 is en geen informatie bevat. Het symbool geeft de puntschatting van het relatieve verschil t.o.v. 2007 weer. De vorm van het symbool geeft de opdeling van de sterkte van het effect weer (zie fig. 4.1). Rond elke puntschatting tonen we het 30%, 60% en 90% interval (zie §4.1). De horizontale streepjeslijn geeft de referentie van 0% verschil weer. De horizontale puntlijnen geven de bovengrens (+33%) en ondergrens (-25%) weer. Deze laten toe om de vlot zelf de betrouwbaarheidsintervallen te vergelijken met de referentie, boven- en ondergrens. De figuur heeft twee y-assen. Beide assen geven dezelfde informatie weer, enkel de formatering van de labels is anders. De linkerass toont procentuele verschillen terwijl de rechterass de relatieve verschillen toont. Een procentueel verschil van +50% is equivalent met een relatieve verschil (verhouding) met een factor 1,5.

We stellen vast dat veel gebruikers ook andere jaren met elkaar willen vergelijken. Een correcte vergelijking is enkel mogelijk indien we een van deze jaren als referentie gebruiken. Voor elk jaar een afzonderlijke figuur maken, zou het rapport onoverzichtelijk groot maken. Om de vergelijkingen toch mogelijk te maken hebben we alle paarsgewijze verschillen tussen de jaren in een raster weergegeven. Elke rij in het raster staat voor een ander referentiejaar. De kolommen geven de verschillen van een bepaald

jaar weer t.o.v. de verschillende referentiejaar. Op de diagonaal staan geen waarden omdat we daar een jaar met zichzelf vergelijken. De kleur van de symbolen geeft de sterkte van het verschil (gebaseerd op de puntschatting). Zwakke verschillen zijn grijs, sterke positieve verschillen rood, sterke negatieve verschillen blauw. De vorm van de symbolen geeft zicht op de sterkte en onzekerheid van het effect (zie tab. 4.1). Wanneer een rij volledig rood (blauw) is, zijn alle verschillen met dit referentiejaar positief (negatief) m.a.w. dit is het referentiejaar met de laagste (hoogste) aantallen. Wanneer een kolom volledig rood (blauw) is, zijn alle verschillen van dit jaar t.o.v. alle referentiejaar negatief (positief) m.a.w. dit is het jaar met de hoogste (laagste) aantallen. Clusters van punten met een gelijkaardige kleur geven periodes aan waarin de aantallen geleidelijk wijzigen. In de webversie van dit rapport is deze grafiek interactief. Wanneer de gebruiker met de muis over de figuur gaat verschijnt er in de buurt van de lijn een pop-up met de exacte schatting van dat punt inclusief het 90% betrouwbaarheidsinterval en het jaartal en referentiejaar.

5 REPRODUCEERBAARHEID EN TRACEERBAARHEID VAN DE GEGEVENSVERWERKING

5.1 VERSIEBEHEER

De waarnemers voeren hun waarnemingen via een webapplicatie toe aan de databank. De analyse start met het importeren van de relevante gegevens uit de databank aan de hand van een R-script. De bekomen dataset bewaren we als een collectie van tekstbestanden met behulp van het `git2rdata` package (Onkelinx, 2019b). Zowel deze code als de tekstbestanden bewaren we onze versiebeheer met `git`. Git is een gratis en open source gedistribueerd versiebeheersysteem dat is ontworpen om alles van kleine tot zeer grote projecten snel en efficiëntie te beheren. De code zit vervat in het `abvanalysis` package (Onkelinx, 2019a), dat vrij online beschikbaar is. De tekstbestanden met de gegevens zijn momenteel niet publiek toegankelijk. De ruwe gegevens worden op hokniveau en met drie jaar vertraging publiek ontsloten via GBIF (Vermeersch et al, 2018a).

5.2 REPRODUCEERBAARHEID

Om de reproduceerbaarheid te garanderen starten we de analyses steeds vanaf de tekstbestanden. Aan de hand van code in het `abvanalysis` package definiëren we hoe we de tekstbestanden omzetten naar de verschillende analyses (§3.2). Dit resulteert in een resem op zichzelf staande analyseobjecten van het `n2kanalysis` package (Onkelinx, 2019c). Dergelijk analyseobject bevat naast de nodige gegevens en de modeldefinitie tevens de nodige metadata zoals alle gebruikte R packages, inclusief hun versie, en een verwijzing naar de voorafgaande analyses waarvan deze analyse afhangt. Zo verwijst de analyse van een samengestelde index (§3.6) naar de trendberekening van de bijhorende soorten (§3.2). De individuele trendberekeningen verwijzen naar de ‘analyse’ die de gegevens importeerde uit de databank. Deze laatste bevat de nodige links naar de tekstbestanden en hun versie.

5.3 TRACEERBAARHEID

De `n2kanalysis` objecten hebben elk twee data-hashes. Elk data-hash is een reeks van 40 hexadecimale¹ cijfers die het resultaat zijn van de cryptografische hashfunctie SHA-1. Deze hashfunctie heeft een aantal belangrijke eigenschappen:

1. Ze zetten elke invoer om naar een uitvoer met vaste lengte (40 hexadecimale cijfers).
2. De uitvoer is stabiel: als je de hash van een bepaalde invoer opnieuw berekent krijg je steeds dezelfde uitvoer.
3. Het is niet mogelijk om de invoer te reconstrueren op basis van de uitvoer.
4. Eenders welke kleine wijziging aan de invoer resulteert in een sterke wijziging van de uitvoer.
5. De kans dat twee verschillende invoeren dezelfde uitvoer opleveren is zeer klein.

¹Hexadecimaal betekent letterlijk zestientallig. Het is een talstelsel waarbij niet, zoals gebruikelijk, met tien cijfers wordt gewerkt, maar met zestien cijfers. De cijfers 0 t/m 9 worden daarom uitgebreid met ‘a’ (=10) t/m ‘f’ (=15).

De eerste data-hash van het analyseobject is gebaseerd op alle informatie die gekend is op het moment dat we het analyseobject definiëren en die nooit zal wijzigen tijdens de analyse. Denk hierbij aan de definitie van de analyse, de gegevens, de soort, ... Gezien de eigenschappen van de hashfunctie kunnen we deze data-hash gebruiken om ondubbelzinnig te verwijzen naar een specifieke analyse (inclusief de gebruikte gegevens.)

De tweede data-hash van het analyseobject baseren we enerzijds op de eerste data-hash en anderzijds van alle onderdelen van het analyseobject die wijzigen in de loop van de analyse. Dit is o.a. het resultaat van de statistische analyse, de gebruikte software, ... De analyse opnieuw uitrekenen met software van een andere versie zal de tweede data-hash aanpassen.

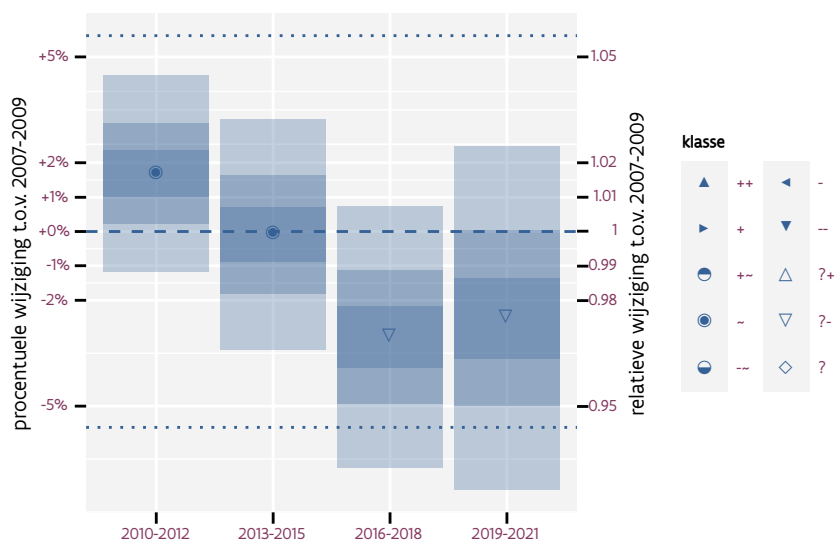
De combinatie van deze twee data-hashes laat enerzijds toe om naar een specifieke versie van de analyse te verwijzen. Anderzijds bieden ze een garantie over de inhoud van het analyseobject. In het geval van twijfel over een analyse kunnen we teruggrijpen naar de analyseobject in kwestie. De data-hashes bewijzen dan dat we het correcte analyseobject hebben.

Deel II

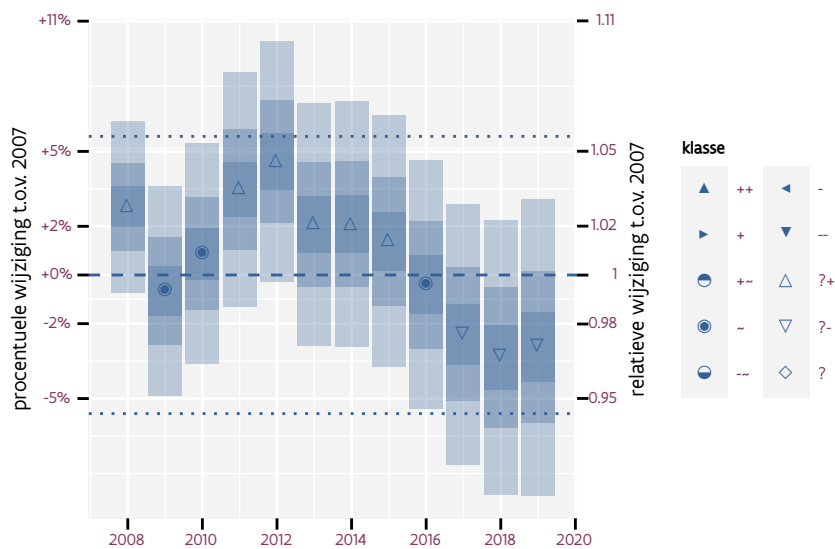
Indicatoren

6 BOS

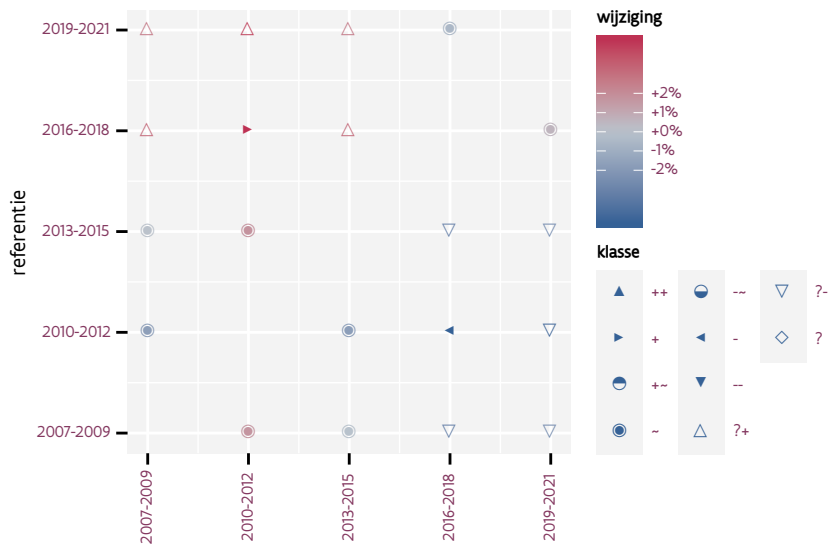
Deze indicator is gebaseerd op volgende soorten: Bonte vliegenvanger, Boomklever, Boomkruiper, Boompieper, Buizerd, Fitis, Gaai, Gekraagde roodstaart, Goudhaan, Groene specht, Groenling, Grote bonte specht, Grote lijster, Holenduif, Koekoek, Kuifmees, Matkop, Nachtegaal, Sperwer, Tjiftjaf, Tuinfluiter, Wielewaal, Zwarte mees, Zwarte specht, Zwartkop. De indicator bestaat uit 25 soorten. De aangepaste grenswaarden zijn -5.6% en +5.9%.



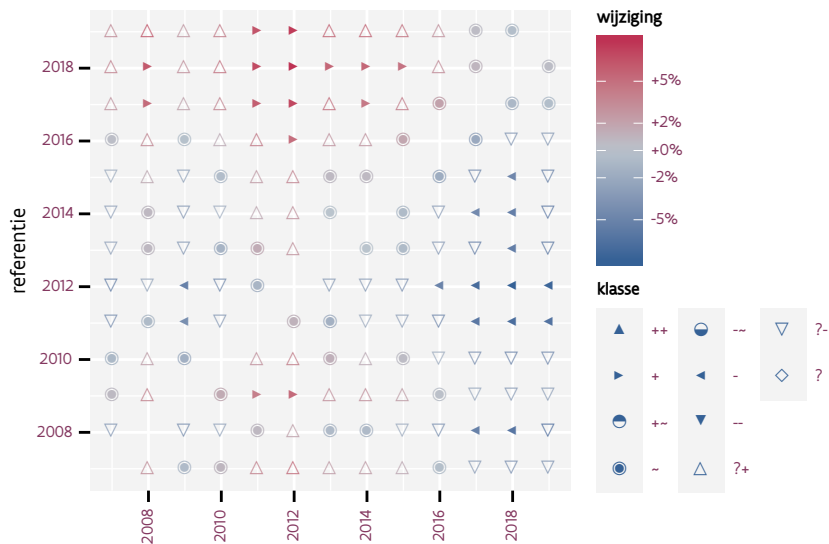
Figuur 6.1: Wijzigingen t.o.v. de eerste driejarige cyclus voor Bos. Zie §4.1 voor een verklaring van de intervallen en §4.2 voor uitleg over de symbolen en referentielijnen.



Figuur 6.2: Wijzigingen t.o.v. het eerste jaar voor Bos. Zie §4.1 voor een verklaring van de intervallen en §4.2 voor uitleg over de symbolen en referentielijnen.



Figuur 6.3: Paarsgewijze vergelijking tussen driejarige cycli voor Bos. Uitleg van de symbolen in tabel 4.1.



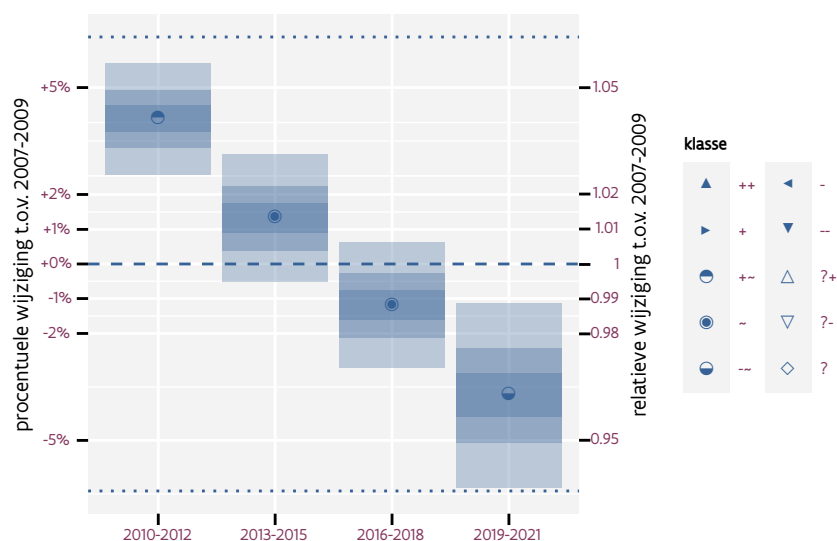
Figuur 6.4: Paarsgewijze vergelijking tussen jaren voor Bos. Uitleg van de symbolen in tabel 4.1.

Tabel 6.1: Data-hashes van de analyse in het kader van traceerbaarheid (zie §5.3).

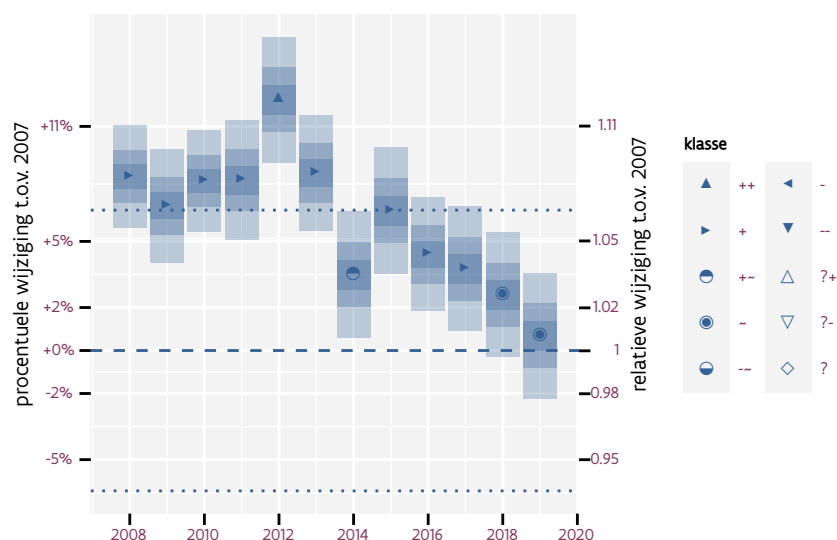
frequentie	analyse	status
jaarlijks	fcdb1331e3ee982860bd 53bb3798e7753d0fc77a	3448f6529b3c8e5aa5ec 00a888765557a8039f3c
driejaarlijks	f9ae8c6b50dc6c3e110d 3cd6d2586375dede8a1a	7f808a2cecc57c329946 256a82b225cdc4e29145

7 GENERALIST

Deze indicator is gebaseerd op volgende soorten: Ekster, Fazant, Groenling, Grote bonte specht, Heggenmus, Houtduif, Huismus, Kauw, Koolmees, Merel, Pimpelmees, Roodborst, Spreeuw, Staartmees, Turkse tortel, Vink, Winterkoning, Zanglijster, Zwarte kraai. De indicator bestaat uit 19 soorten. De aangepaste grenswaarden zijn -6.4% en +6.8%.



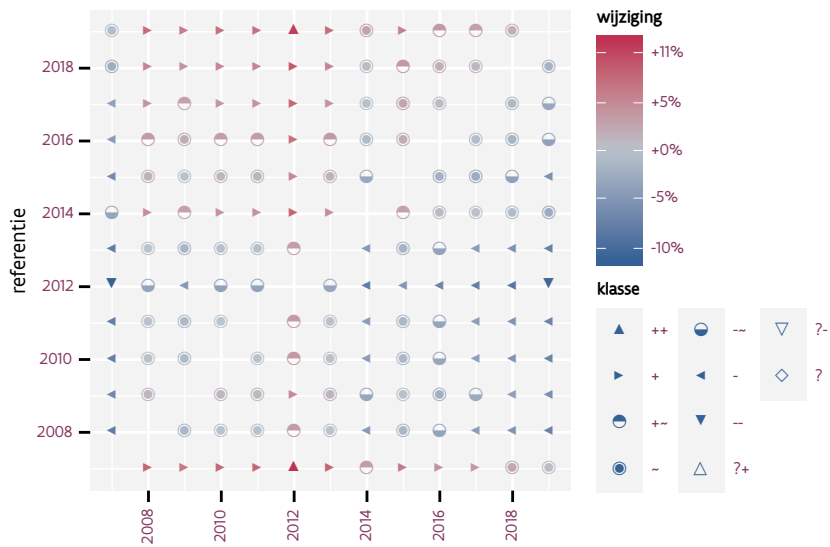
Figuur 7.1: Wijzigingen t.o.v. de eerste driejarige cyclus voor Generalist. Zie §4.1 voor een verklaring van de intervallen en §4.2 voor uitleg over de symbolen en referentielijnen.



Figuur 7.2: Wijzigingen t.o.v. het eerste jaar voor Generalist. Zie §4.1 voor een verklaring van de intervallen en §4.2 voor uitleg over de symbolen en referentielijnen.



Figuur 7.3: Paarsgewijze vergelijking tussen driejarige cycli voor Generalist. Uitleg van de symbolen in tabel 4.1.



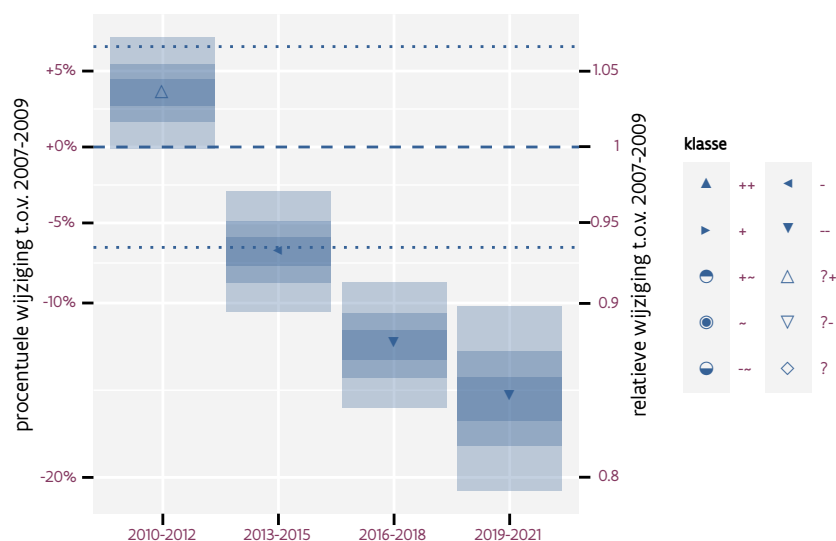
Figuur 7.4: Paarsgewijze vergelijking tussen jaren voor Generalist. Uitleg van de symbolen in tabel 4.1.

Tabel 7.1: Data-hashes van de analyse in het kader van traceerbaarheid (zie §5.3).

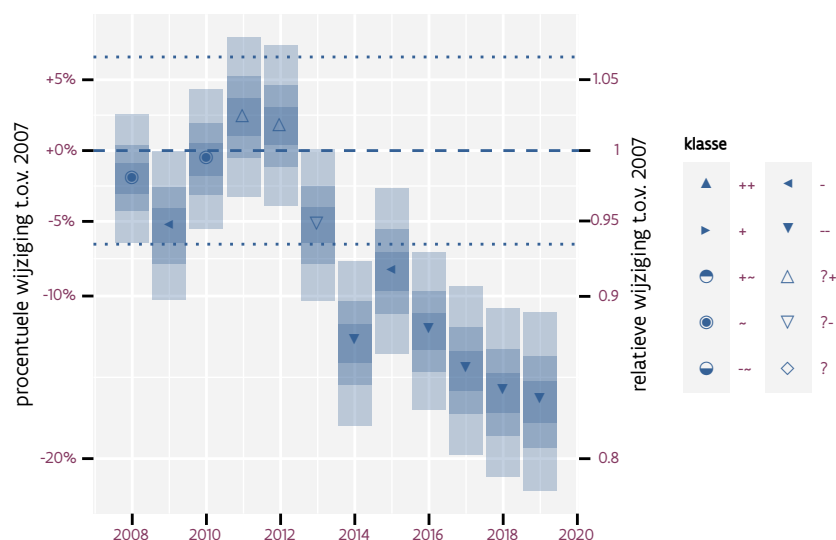
frequentie	analyse	status
jaarlijks	9146fccdc36b0840c62e ae42ee48fd90056a4a0c	c069a7caa23cf237eb00 f3e65ad3c1f617d73043
driejaarlijks	e241c40c3d178047b6be eabb55c89adaa6922ee5	1e31e3dc86a66ea7bde9 4401615e627e8867ae59

8 LANDBOUW

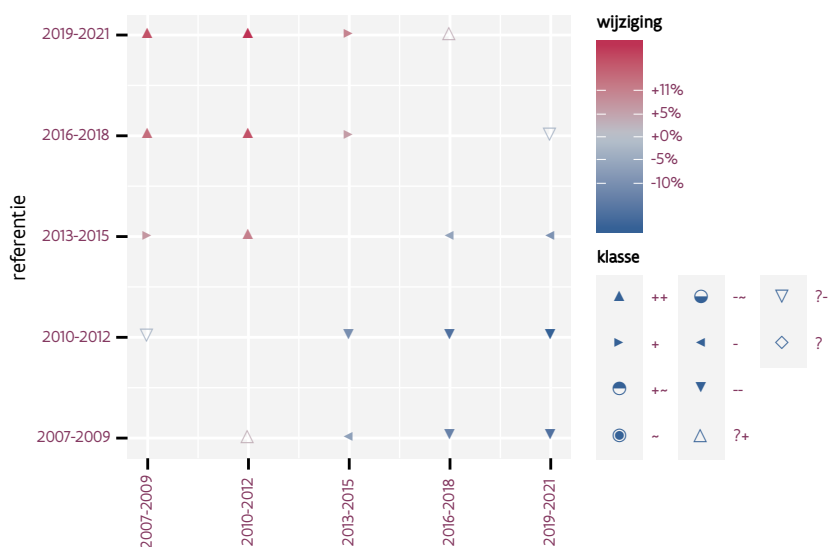
Deze indicator is gebaseerd op volgende soorten: Boerenzwaluw, Geelgors, Gele kwikstaart, Grasmus, Graspieper, Grutto, Kievit, Kneu, Patrijs, Ringmus, Roodborsttapuit, Scholekster, Spotvogel, Torenvalk, Veldleeuwerik, Witte kwikstaart, Wulp, Zwarte roodstaart. De indicator bestaat uit 18 soorten. De aangepaste grenswaarden zijn -6.6% en +7.0%.



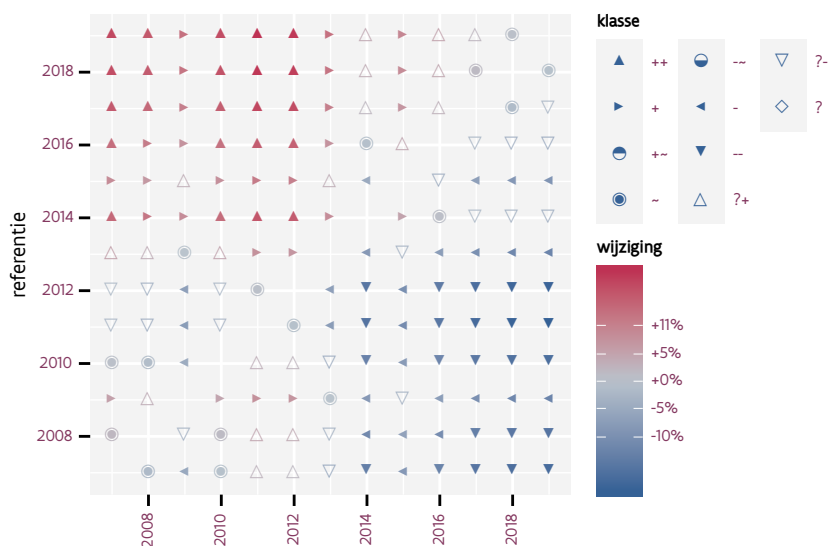
Figuur 8.1: Wijzigingen t.o.v. de eerste driejarige cyclus voor Landbouw. Zie §4.1 voor een verklaring van de intervallen en §4.2 voor uitleg over de symbolen en referentielijnen.



Figuur 8.2: Wijzigingen t.o.v. het eerste jaar voor Landbouw. Zie §4.1 voor een verklaring van de intervallen en §4.2 voor uitleg over de symbolen en referentielijnen.



Figuur 8.3: Paarsgewijze vergelijking tussen driejarige cycli voor Landbouw. Uitleg van de symbolen in tabel 4.1.



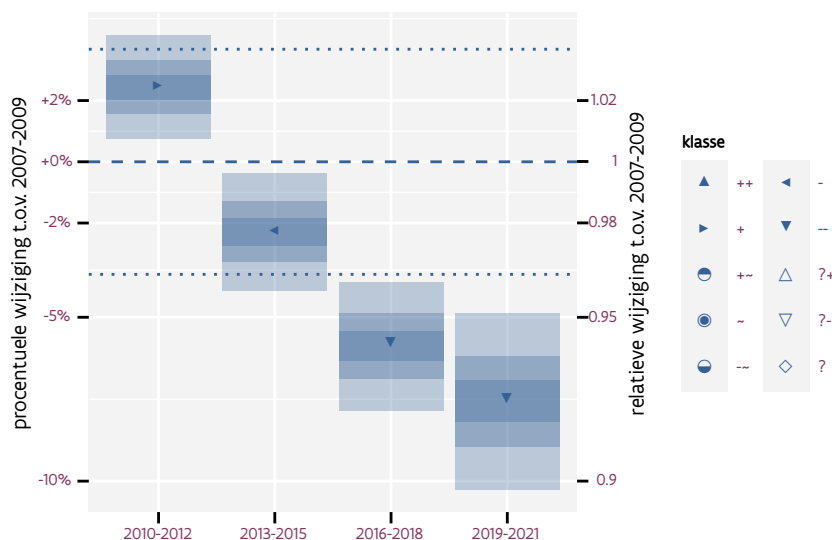
Figuur 8.4: Paarsgewijze vergelijking tussen jaren voor Landbouw. Uitleg van de symbolen in tabel 4.1.

Tabel 8.1: Data-hashes van de analyse in het kader van traceerbaarheid (zie §5.3).

frequentie	analyse	status
jaarlijks	bc99fdcc6227fbaa928f 456dd1e06ce47d7737cc	b77cae2ba9d32ea004a3 4c55e4df49fa2d556a2a
driejaarlijks	4d288430296ed59dddfd fb0273c7d8d0a5a47a6b	f15ed52dc20db579b4d1 9ea493270ecd142db232

9 NARA2020

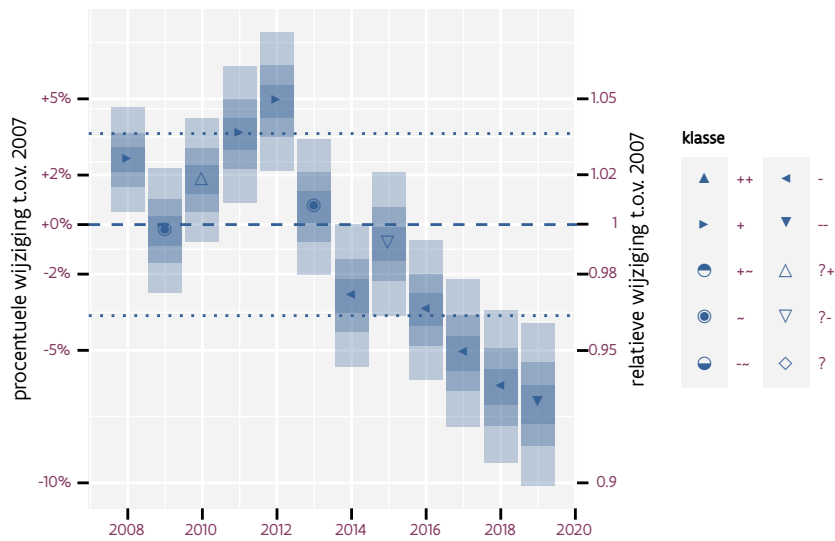
Deze indicator is gebaseerd op volgende soorten: Boerenzwaluw, Bonte vliegenvanger, Boomklever, Boomkruiper, Boompieper, Buizerd, Ekster, Fazant, Fitis, Gaai, Geelgors, Gekraagde roodstaart, Gele kwikstaart, Goudhaan, Grasmus, Graspieper, Groene specht, Groenling, Grote bonte specht, Grote lijster, Grutto, Heggenmus, Holenduif, Houtduif, Huismus, Kauw, Kievit, Kneu, Koekoek, Koolmees, Kuifmees, Matkop, Merel, Nachtegaal, Patrijs, Pimpelmees, Ringmus, Roodborst, Roodborsttapuit, Scholekster, Sperwer, Spotvogel, Spreeuw, Staartmees, Tjiftjaf, Torenvalk, Tuinfluiter, Turkse tortel, Veldleeuwerik, Vink, Wielewaal, Winterkoning, Witte kwikstaart, Wulp, Zanglijster, Zwarte kraai, Zwarte mees, Zwarte roodstaart, Zwarte specht, Zwartkop. De indicator bestaat uit 60 soorten. De aangepaste grenswaarden zijn -3.6% en +3.8%.



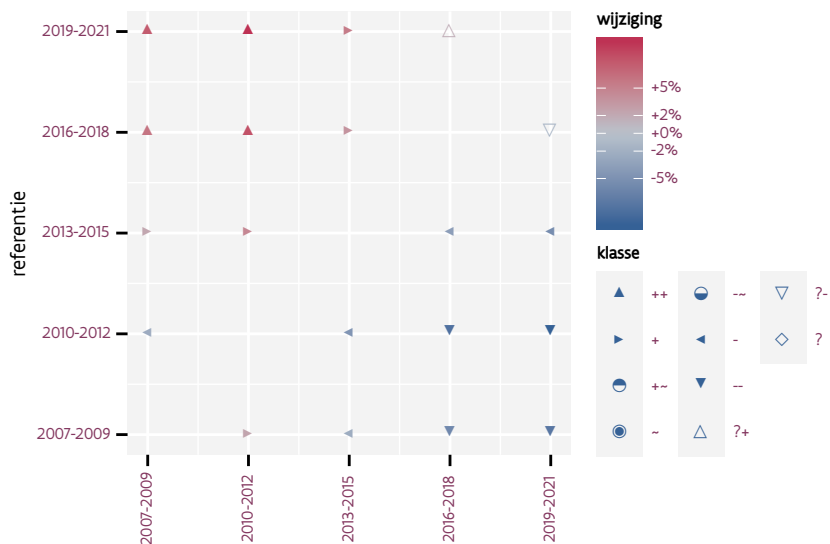
Figuur 9.1: Wijzigingen t.o.v. de eerste driejarige cyclus voor NARA2020. Zie §4.1 voor een verklaring van de intervallen en §4.2 voor uitleg over de symbolen en referentielijnen.

Tabel 9.1: Data-hashes van de analyse in het kader van traceerbaarheid (zie §5.3).

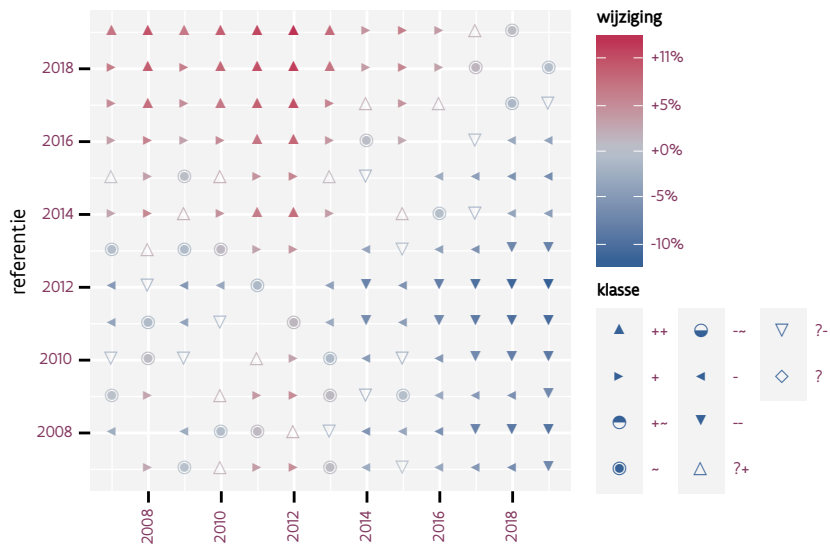
frequentie	analyse	status
jaarlijks	1590f03a95cba2556005	aecd5784161f66cf7943
	0be21574e6b00e3d5d06	449c1ead177a47a2fa97
driejaarlijks	de2895ae8481a6f829b7	9b732db248a6bd6844a6
	eeef2ec990f23695924a	3ddec86f72b501ca9c35



Figuur 9.2: Wijzigingen t.o.v. het eerste jaar voor NARA2020. Zie §4.1 voor een verklaring van de intervallen en §4.2 voor uitleg over de symbolen en referentielijnen.



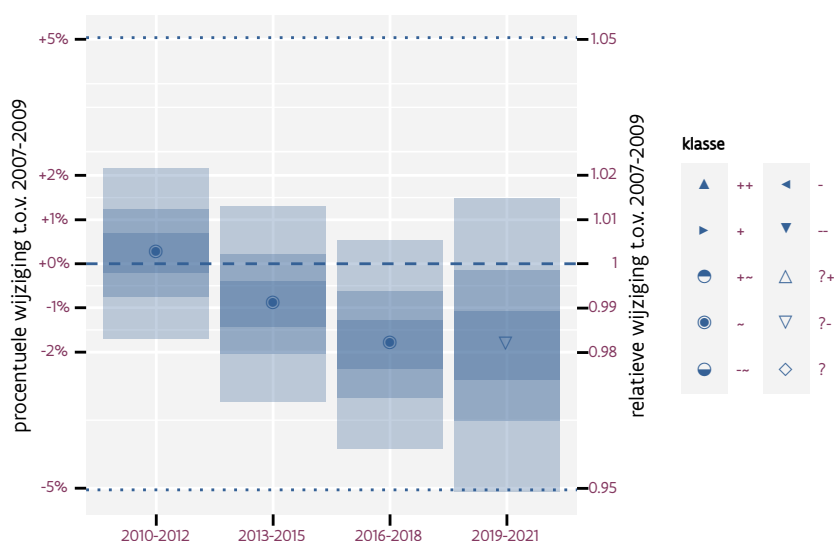
Figuur 9.3: Paarsgewijze vergelijking tussen driejarige cycli voor NARA2020. Uitleg van de symbolen in tabel 4.1.



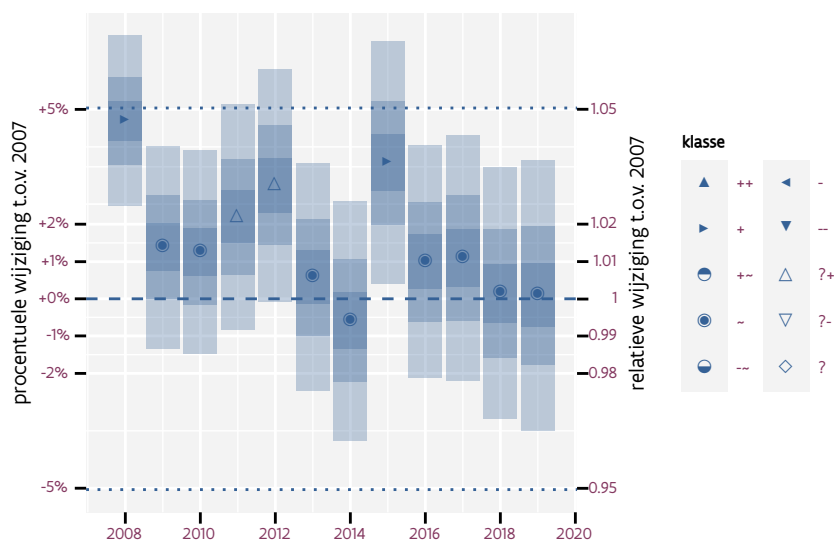
Figuur 9.4: Paarsgewijze vergelijking tussen jaren voor NARA2020. Uitleg van de symbolen in tabel 4.1.

10 STANDVOGEL

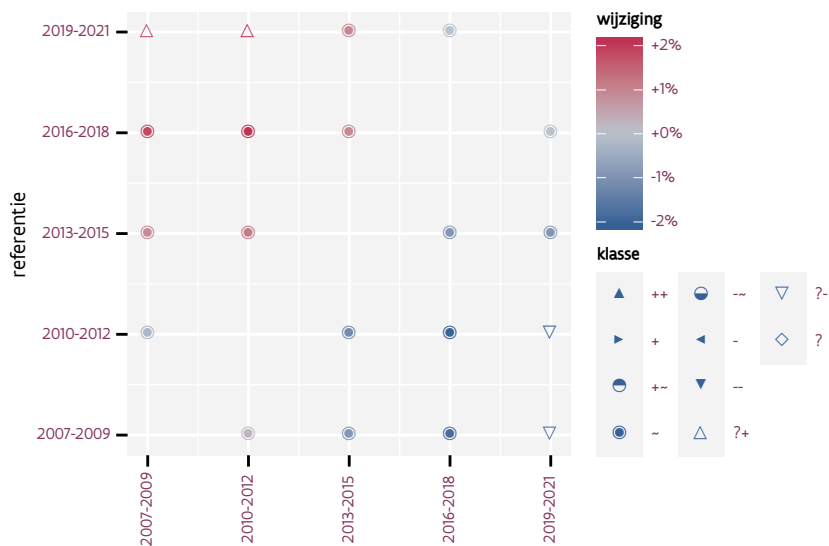
Deze indicator is gebaseerd op volgende soorten: Boomklever, Boomkruiper, Buizerd, Ekster, Fazant, Gaai, Goudhaan, Groene specht, Grote bonte specht, Heggenmus, Holenduif, Houtduif, Huismus, Kauw, Koolmees, Kuifmees, Matkop, Merel, Patrijs, Pimpelmees, Ringmus, Roodborst, Sperwer, Staartmees, Torenvalk, Turkse tortel, Vink, Winterkoning, Zwarte kraai, Zwarte mees, Zwarte specht. De indicator bestaat uit 31 soorten. De aangepaste grenswaarden zijn -5.0% en +5.3%.



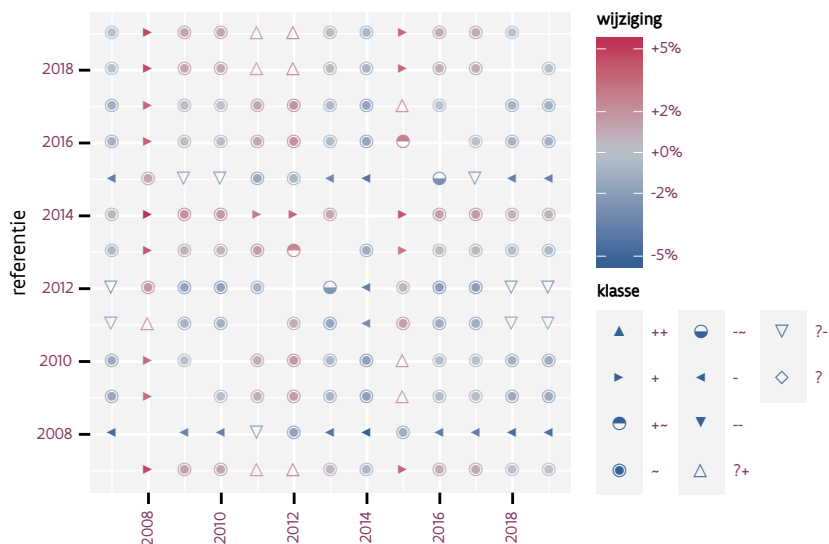
Figuur 10.1: Wijzigingen t.o.v. de eerste driejarige cyclus voor Standvogel. Zie §4.1 voor een verklaring van de intervallen en §4.2 voor uitleg over de symbolen en referentielijnen.



Figuur 10.2: Wijzigingen t.o.v. het eerste jaar voor Standvogel. Zie §4.1 voor een verklaring van de intervallen en §4.2 voor uitleg over de symbolen en referentielijnen.



Figuur 10.3: Paarsgewijze vergelijking tussen driejarige cycli voor Standvogel. Uitleg van de symbolen in tabel 4.1.



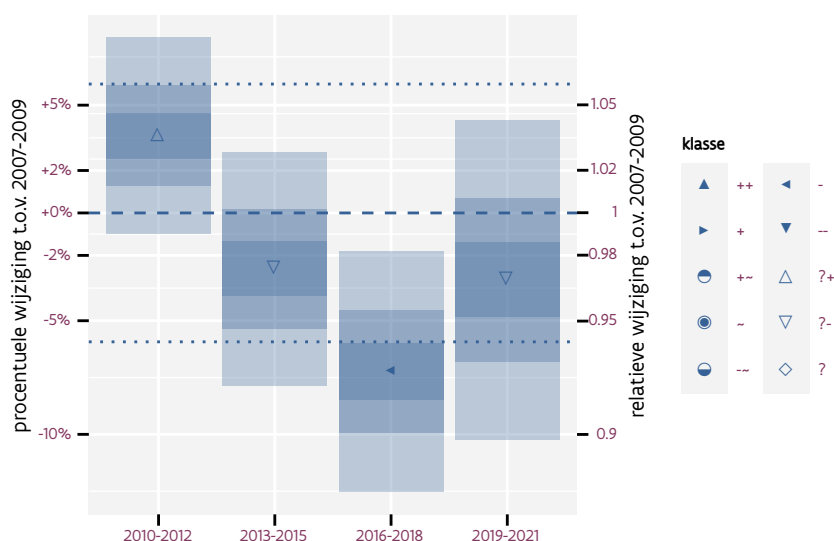
Figuur 10.4: Paarsgewijze vergelijking tussen jaren voor Standvogel. Uitleg van de symbolen in tabel 4.1.

Tabel 10.1: Data-hashes van de analyse in het kader van traceerbaarheid (zie §5.3).

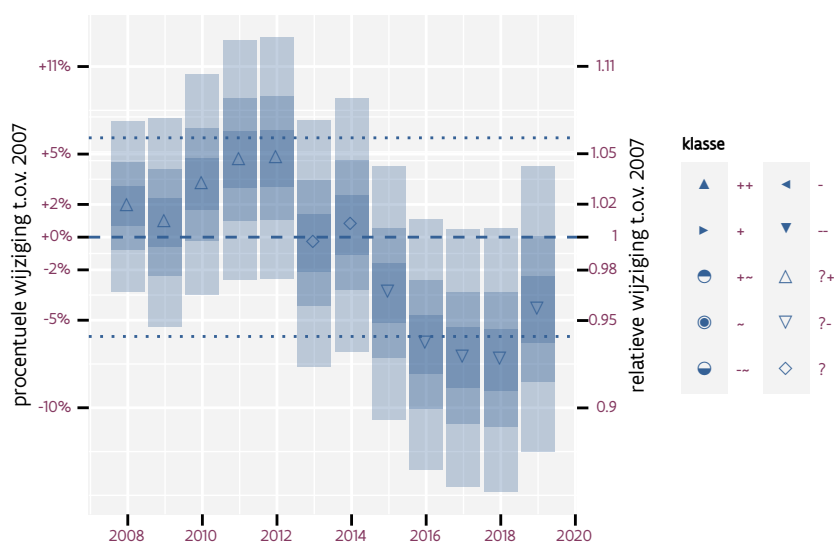
frequentie	analyse	status
jaarlijks	57f834130a5804b72208	222ef230bd2294914475
	566497d312508b8bfef1	601a908330ef8afc3e6d
driejaarlijks	2ccc954776f075a7fb7d	71aed2ae2c9139afc99
	3813d35321388f0dfde6	83fcf373e35ead541961

11 SUBSAHARAMIGRANT

Deze indicator is gebaseerd op volgende soorten: Blauwborst, Boerenzwaluw, Bonte vliegenvanger, Boompieper, Bosrietzanger, Cetti's zanger, Fitis, Gekraagde roodstaart, Gele kwikstaart, Gierzwaluw, Grasmus, Grutto, Huiszwaluw, Kleine karekiet, Koekoek, Nachtegaal, Rietzanger, Spotvogel, Sprinkhaanzanger, Tjiftjaf, Tuinfluiter, Wielewaal. De indicator bestaat uit 22 soorten. De aangepaste grenswaarden zijn -5.9% en +6.3%.



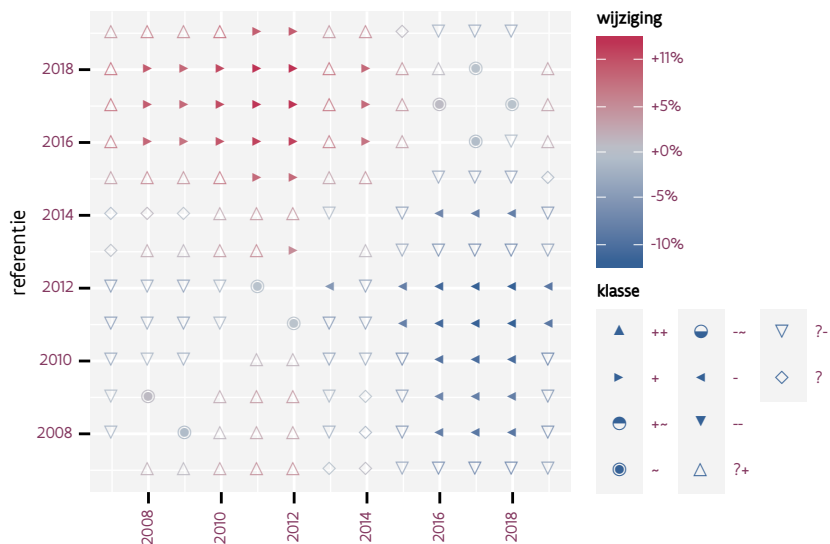
Figuur 11.1: Wijzigingen t.o.v. de eerste driejarige cyclus voor SubSaharaMigrant. Zie §4.1 voor een verklaring van de intervallen en §4.2 voor uitleg over de symbolen en referentielijnen.



Figuur 11.2: Wijzigingen t.o.v. het eerste jaar voor SubSaharaMigrant. Zie §4.1 voor een verklaring van de intervallen en §4.2 voor uitleg over de symbolen en referentielijnen.



Figuur 11.3: Paarsgewijze vergelijking tussen driejarige cycli voor SubSaharaMigrant. Uitleg van de symbolen in tabel 4.1.



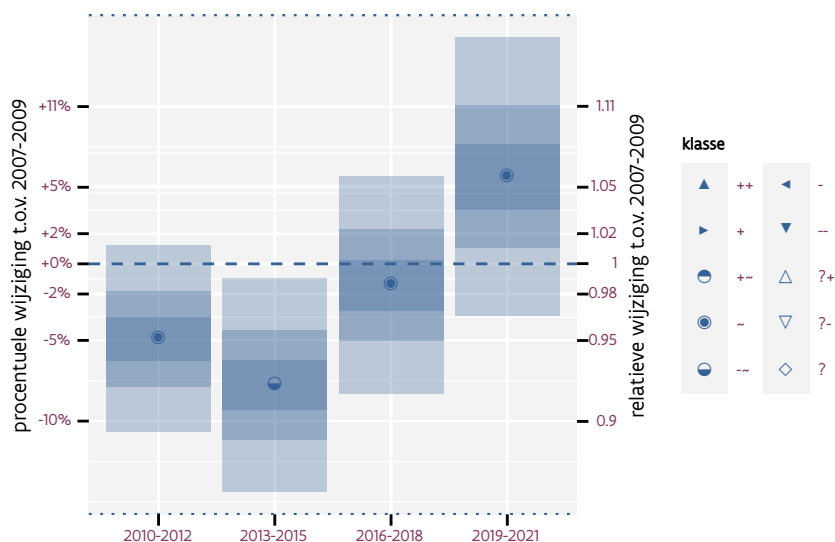
Figuur 11.4: Paarsgewijze vergelijking tussen jaren voor SubSaharaMigrant. Uitleg van de symbolen in tabel 4.1.

Tabel 11.1: Data-hashes van de analyse in het kader van traceerbaarheid (zie §5.3).

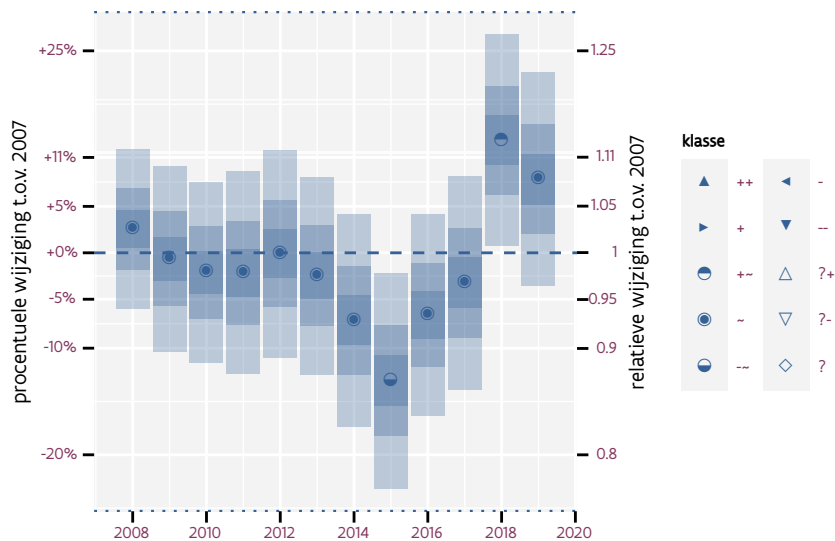
frequentie	analyse	status
jaarlijks	7826aa87c347fc704586	f565cd92e603f82a55e2
	07a817b2789edc5bfe33	989ba02f7b7a586e9a7a
driejaarlijks	d40541e6c6c0f6d6eb58	7acd4175b51c451626a6
	d5647778d7acb1bf722a	966bbfdacf40a1a083b5

12 WATERVOGEL

Deze indicator is gebaseerd op volgende soorten: . De indicator bestaat uit 0 soorten. De aangepaste grenswaarden zijn -100.0% en +Inf%.



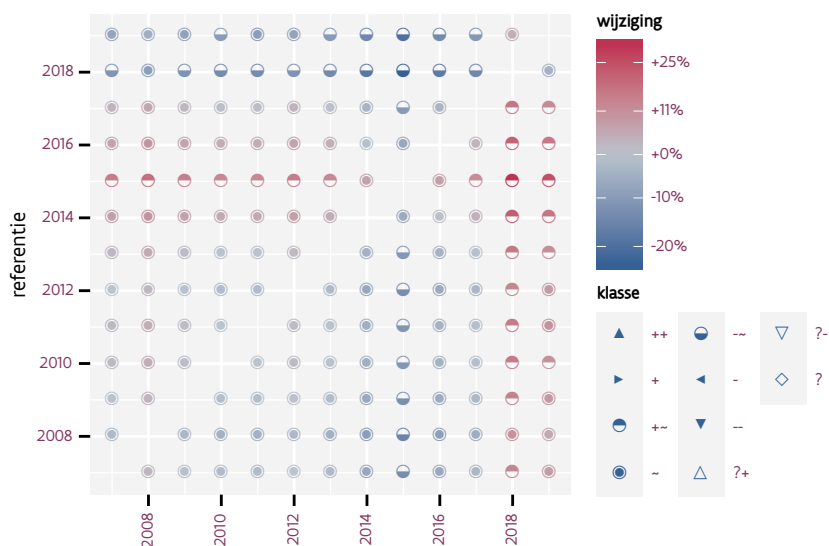
Figuur 12.1: Wijzigingen t.o.v. de eerste driejarige cyclus voor Watervogel. Zie §4.1 voor een verklaring van de intervallen en §4.2 voor uitleg over de symbolen en referentielijnen.



Figuur 12.2: Wijzigingen t.o.v. het eerste jaar voor Watervogel. Zie §4.1 voor een verklaring van de intervallen en §4.2 voor uitleg over de symbolen en referentielijnen.



Figuur 12.3: Paarsgewijze vergelijking tussen driejarige cycli voor Watervogel. Uitleg van de symbolen in tabel 4.1.



Figuur 12.4: Paarsgewijze vergelijking tussen jaren voor Watervogel. Uitleg van de symbolen in tabel 4.1.

Tabel 12.1: Data-hashes van de analyse in het kader van traceerbaarheid (zie §5.3).

frequentie	analyse	status
jaarlijks	27eff78b62726c12484f 86cba33587231598f7c5	82adce7c5843a88643d2 807bc3524d7b26827a23
driejaarlijks	721d75d8f2a1e2c3ee7e 59a32bf67594e5f53e54	e68bb5f4be5b2dc64796 cea5f4f17eb29cdce51e

Deel III

Resultaten per soort

13 OVERZICHT VAN DE TRENDS

Tabel 13.2 geeft een overzicht van de lineaire trends voor elke soort. We hebben de trends gesorteerd volgens opdeling van de klassen (zie 4.2 voor de verklaring) en binnen de klasse volgens puntschatting van de trend. Hierdoor start de tabel met de soorten met de sterkste positieve trends. Bij de volgende soorten zal de trend minder sterk worden tot we aan de soorten met een stabiele trend komen. Daarna volgen de soorten met een negatieve trend waarbij de trend steeds sterker negatief wordt. We sluiten de tabel af met de soorten met een mogelijke of onduidelijke trend. De tabel bevat de trend uitgedrukt als een jaarlijkse wijziging en als een wijziging over de volledige looptijd van het meetnet. Verder bevat de tabel de opdeling van de trend in klassen en een indicatie of de trend al dan niet lineair is (zie §3.2.3). De naam van de soort is een snelkoppeling naar de detail van de soort zelf. We raden aan om hiervan gebruikt te maken bij de interpretatie van niet-lineaire trends.

Tabel 13.1: Gemiddelde wijziging in veronderstelling van een lineaire trend gebaseerd op driejaarlijkse gegevens. ++: sterke toename, +: toename, +~: matige toename, ~: stabiel, ~-: matige afname, -: afname, --: sterke afname, ?+: mogelijke toename, ?-: mogelijke afname, ?: onduidelijke trend. Referentie: 0%, ondergrens: -25% over de looptijd, bovengrens: +33% over de looptijd.

soort	klasse	interpretatie	jaarlijkse wijziging	wijziging over de looptijd
Roek	++	lineair	+16.8% (+12.3%; +21.5%)	+540% (+300%; +930%)
Kleine mantelmeeuw	++	niet-lineair	+16% (+9%; +23%)	+489% (+196%; +1073%)
Putter	++	mogelijk niet-lineair	+12.7% (+7.8%; +17.8%)	+320% (+150%; +620%)
Kokmeeuw	++	niet-lineair	+8.8% (+3.0%; +15.0%)	+180% (+40%; +440%)
Krakeend	++	niet-lineair	+8.5% (+2.8%; +14.6%)	+170% (+40%; +410%)
Halsbandparkiet	++	niet-lineair	+7.5% (+2.4%; +12.9%)	+140% (+30%; +330%)
Knobbelzwaan	++	niet-lineair	+7.40% (+3.39%; +11.57%)	+140% (+50%; +270%)
Kauw	++	niet-lineair	+6.3% (+5.6%; +6.9%)	+107.2% (+93.0%; +122.5%)
Boomklever	++	niet-lineair	+5.2% (+3.5%; +6.9%)	+84.0% (+51.6%; +123.3%)
Nijlgans	++	niet-lineair	+4.6% (+2.9%; +6.4%)	+71.9% (+41.0%; +109.5%)
Buizerd	++	niet-lineair	+4.5% (+3.2%; +5.8%)	+70% (+46%; +97%)
Zwartkop	++	niet-lineair	+3.0% (+2.5%; +3.5%)	+43% (+34%; +52%)
Sperwer	+	lineair	+5.1% (+1.2%; +9.1%)	+81% (+15%; +186%)
Gekraagde roodstaart	+	niet-lineair	+4.3% (+0.7%; +8.1%)	+66% (+9%; +154%)
Gierzwaluw	+	niet-lineair	+4.3% (+1.6%; +7.0%)	+65% (+21%; +124%)
Meerkoet	+	lineair	+3.9% (+2.0%; +5.9%)	+59% (+26%; +100%)
Boomleeuwerik	+	mogelijk niet-lineair	+3.9% (+2.2%; +5.5%)	+58% (+31%; +91%)
Blauwborst	+	niet-lineair	+3.1% (+0.9%; +5.3%)	+44% (+12%; +86%)
Rietzanger	+	lineair	+2.8% (+0.9%; +4.7%)	+39% (+12%; +74%)
Roodborsttapuit	+	niet-lineair	+2.5% (+0.4%; +4.6%)	+34% (+4%; +72%)
Grote bonte specht	+	niet-lineair	+2.3% (+1.3%; +3.3%)	+31% (+17%; +48%)
Zwarte kraai	+	niet-lineair	+2.21% (+1.80%; +2.63%)	+30% (+24%; +37%)
Boomkruiper	+	niet-lineair	+1.3% (+0.0%; +2.6%)	+17% (+0%; +37%)
Pimpelmees	+~	lineair	+1.5% (+0.8%; +2.2%)	+20% (+11%; +30%)
Tjiftjaf	+~	niet-lineair	+1.488% (+1.040%; +1.938%)	+19% (+13%; +26%)

soort	klasse	interpretatie	jaarlijkse wijziging	wijziging over de looptijd
Roodborst	+~	niet-lineair	+1.5% (+0.8%; +2.2%)	+19% (+10%; +30%)
Grasmus	+~	niet-lineair	+1.01% (+0.04%; +1.99%)	+13% (+0%; +27%)
Witte kwikstaart	+~	niet-lineair	+1.01% (+0.09%; +1.93%)	+13% (+1%; +26%)
Vink	+~	niet-lineair	+0.911% (+0.558%; +1.265%)	+11.49% (+6.91%; +16.28%)
Houtduif	+~	niet-lineair	+0.39% (+0.08%; +0.70%)	+4.8% (+0.9%; +8.8%)
Zwarte roodstaart	~	niet-lineair	+0.9% (-0.3%; +2.2%)	+12% (-4%; +30%)
Kneu	~	niet-lineair	+0.5% (-1.1%; +2.2%)	+6% (-12%; +29%)
Boerenzwaluw	~	niet-lineair	+0.47% (-0.50%; +1.44%)	+5.7% (-5.9%; +18.8%)
Groenling	~	lineair	+0.04% (-0.94%; +1.03%)	+0.5% (-10.7%; +13.1%)
Ekster	~	niet-lineair	+0.0% (-0.5%; +0.5%)	+0% (-6%; +7%)
Geelgors	~	niet-lineair	-0.12% (-1.56%; +1.34%)	-1.5% (-17.2%; +17.3%)
Groene specht	~	niet-lineair	-0.66% (-1.44%; +0.13%)	-7.6% (-16.0%; +1.5%)
Scholekster	~	niet-lineair	-1.2% (-2.3%; +0.1%)	-13% (-25%; +1%)
Winterkoning	--	niet-lineair	-0.59% (-0.93%; -0.25%)	-6.82% (-10.56%; -2.91%)
Koolmees	--	niet-lineair	-0.712% (-1.130%; -0.292%)	-8.22% (-12.75%; -3.45%)
Fazant	--	niet-lineair	-0.72% (-1.28%; -0.17%)	-8.4% (-14.3%; -2.0%)
Holenduif	--	niet-lineair	-1.3% (-2.0%; -0.6%)	-15% (-22%; -7%)
Turkse tortel	--	niet-lineair	-1.82% (-2.25%; -1.38%)	-19.7% (-23.9%; -15.4%)
Gaai	-	niet-lineair	-1.4% (-2.5%; -0.2%)	-15% (-26%; -3%)
Kleine karekiet	-	lineair	-1.8% (-3.5%; -0.2%)	-20% (-34%; -2%)
Wilde eend	-	mogelijk niet-lineair	-2.2% (-3.0%; -1.3%)	-23% (-31%; -15%)
Heggenmus	-	niet-lineair	-2.2% (-2.8%; -1.6%)	-24% (-29%; -18%)
Merel	-	niet-lineair	-2.47% (-2.75%; -2.18%)	-25.9% (-28.4%; -23.3%)
Veldleeuwrik	-	lineair	-2.7% (-3.4%; -2.0%)	-28% (-34%; -22%)
Ringmus	-	niet-lineair	-2.7% (-4.4%; -1.1%)	-28% (-41%; -12%)
Spreeuw	-	lineair	-2.8% (-3.6%; -2.0%)	-29% (-35%; -22%)
Rietgors	-	niet-lineair	-3.0% (-5.3%; -0.6%)	-31% (-48%; -8%)
Graspieper	-	niet-lineair	-3.3% (-4.6%; -1.9%)	-33% (-43%; -20%)
Waterhoen	-	niet-lineair	-3.3% (-4.5%; -2.2%)	-33% (-42%; -23%)
Staartmees	-	niet-lineair	-3.4% (-6.2%; -0.7%)	-34% (-53%; -8%)
Fitis	-	niet-lineair	-3.9% (-5.9%; -1.9%)	-38% (-52%; -21%)
Koekoek	-	lineair	-4.1% (-5.8%; -2.3%)	-39% (-51%; -24%)
Zanglijster	--	niet-lineair	-3.4% (-4.1%; -2.8%)	-34% (-39%; -29%)
Huismus	--	niet-lineair	-3.46% (-3.95%; -2.97%)	-34.5% (-38.3%; -30.4%)
Gele kwikstaart	--	niet-lineair	-3.5% (-4.4%; -2.5%)	-35% (-42%; -26%)
Grutto	--	lineair	-4.9% (-6.8%; -3.0%)	-46% (-57%; -31%)
Patrijs	--	niet-lineair	-5.2% (-6.7%; -3.6%)	-47% (-57%; -35%)
Tuinfluter	--	lineair	-5.7% (-7.7%; -3.7%)	-51% (-62%; -36%)
Grote lijster	--	lineair	-5.9% (-7.9%; -3.9%)	-52% (-63%; -38%)
Havik	--	mogelijk niet-lineair	-7.11% (-10.49%; -3.60%)	-59% (-74%; -36%)
Kievit	--	lineair	-8.5% (-9.2%; -7.7%)	-65.3% (-68.5%; -61.9%)
Zwarte mees	--	lineair	-9.20% (-12.78%; -5.47%)	-69% (-81%; -49%)
Sprinkhaanzanger	--	mogelijk niet-lineair	-11.88% (-15.74%; -7.83%)	-78% (-87%; -62%)
Cetti's zanger	?+	niet-lineair	+5.9% (-1.5%; +13.9%)	+100% (-20%; +380%)
Blauwe reiger	?+	niet-lineair	+2.6% (-0.1%; +5.3%)	+36% (-1%; +87%)
Bruine kiekendief	?+	lineair	+2.3% (-1.4%; +6.2%)	+32% (-16%; +107%)
Huiszwaluw	?+	lineair	+1.7% (-2.2%; +5.9%)	+20% (-20%; +100%)
Bergeend	?+	niet-lineair	+1.3% (-0.5%; +3.2%)	+17% (-6%; +45%)
Canadese gans	?+	niet-lineair	+1.3% (-0.2%; +2.8%)	+16% (-3%; +39%)
Torenvalk	?+	niet-lineair	+1.0% (-1.0%; +3.0%)	+12% (-11%; +42%)

////////////////////////////////////

soort	klasse	interpretatie	jaarlijkse wijziging	wijziging over de looptijd
Boompieper	?+	niet-lineair	+0.3% (-2.0%; +2.6%)	+3% (-22%; +36%)
Kuifmees	?-	lineair	-1.1% (-3.2%; +1.0%)	-12% (-32%; +13%)
Goudhaan	?-	niet-lineair	-1.4% (-3.4%; +0.6%)	-16% (-34%; +7%)
Stadsduif	?-	niet-lineair	-1.7% (-4.8%; +1.6%)	-18% (-45%; +21%)
Wulp	?-	niet-lineair	-1.7% (-3.8%; +0.4%)	-19% (-37%; +4%)
Nachtegaal	?-	niet-lineair	-1.8% (-4.7%; +1.2%)	-20% (-44%; +15%)
Zwarte specht	?-	niet-lineair	-2.7% (-6.6%; +1.4%)	-28% (-56%; +18%)
Bosrietzanger	?-	mogelijk niet-lineair	-2.8% (-6.3%; +0.9%)	-28% (-54%; +11%)
Spotvogel	?-	niet-lineair	-2.8% (-7.1%; +1.8%)	-29% (-59%; +24%)
Dodaars	?-	niet-lineair	-5.8% (-12.9%; +1.8%)	-50% (-80%; +20%)
Aalscholver	?	niet-lineair	+3% (-3%; +9%)	+35% (-32%; +169%)
Bonte vliegenvanger	?	mogelijk niet-lineair	+0.8% (-2.9%; +4.7%)	+10% (-30%; +70%)
Glanskop	?	mogelijk niet-lineair	+0% (-5%; +6%)	+6% (-46%; +109%)
Grauwe gans	?	niet-lineair	+0.3% (-3.4%; +4.2%)	+4% (-34%; +64%)
Fuut	?	niet-lineair	-0.4% (-3.4%; +2.8%)	-4% (-34%; +39%)
Zilvermeeuw	?	niet-lineair	-1.5% (-6.2%; +3.4%)	-20% (-50%; +50%)
Wielewaal	?	niet-lineair	-1.5% (-5.7%; +2.9%)	-17% (-51%; +41%)
Matkop	?	mogelijk niet-lineair	-2% (-8%; +5%)	-20% (-60%; +80%)

Tabel 13.2: Gemiddelde wijziging in veronderstelling van een lineaire trend gebaseerd op jaarlijkse gegevens. ++: sterke toename, +: toename, +~: matige toename, ~: stabiel, ~-: matige afname, -: afname, --: sterke afname, ?+: mogelijke toename, ?-: mogelijke afname, ?: onduidelijke trend. Referentie: 0%, ondergrens: -25% over de looptijd, bovengrens: +33% over de looptijd.

soort	klasse	interpretatie	jaarlijkse wijziging	wijziging over de looptijd
Roek	++	mogelijk niet-lineair	+17.7% (+13.1%; +22.4%)	+604% (+338%; +1033%)
Kleine mantelmeeuw	++	niet-lineair	+16% (+10%; +23%)	+502% (+200%; +1109%)
Putter	++	niet-lineair	+13.2% (+8.3%; +18.4%)	+340% (+160%; +660%)
Kokmeeuw	++	niet-lineair	+9.4% (+3.3%; +15.9%)	+200% (+50%; +490%)
Knobbelzwaan	++	niet-lineair	+7.65% (+3.58%; +11.87%)	+140% (+50%; +280%)
Halsbandparkiet	++	niet-lineair	+7.34% (+2.55%; +12.37%)	+130% (+40%; +310%)
Kauw	++	niet-lineair	+6.2% (+5.6%; +6.9%)	+106.6% (+92.4%; +121.9%)
Boomklever	++	niet-lineair	+5.3% (+3.6%; +7.1%)	+86.3% (+53.3%; +126.5%)
Buizerd	++	niet-lineair	+4.8% (+3.5%; +6.1%)	+75.5% (+50.9%; +104.2%)
Nijlgans	++	niet-lineair	+4.2% (+2.5%; +6.0%)	+64.1% (+34.5%; +100.1%)
Boomleeuwerik	++	niet-lineair	+4.1% (+2.5%; +5.7%)	+62% (+34%; +96%)
Zwartkop	++	niet-lineair	+3.1% (+2.6%; +3.7%)	+45% (+36%; +54%)
Krakeend	+	lineair	+7.7% (+2.2%; +13.6%)	+140% (+30%; +360%)
Sperwer	+	lineair	+5.3% (+1.3%; +9.4%)	+85% (+17%; +194%)
Gekraagde roodstaart	+	niet-lineair	+4.5% (+0.8%; +8.2%)	+69% (+10%; +158%)
Gierzwaluw	+	niet-lineair	+4.4% (+1.8%; +7.1%)	+68% (+23%; +129%)
Meerkoet	+	lineair	+3.8% (+1.9%; +5.8%)	+57% (+25%; +97%)
Blauwborst	+	niet-lineair	+3.2% (+1.1%; +5.4%)	+47% (+14%; +89%)
Blauwe reiger	+	niet-lineair	+2.9% (+0.1%; +5.7%)	+40% (+2%; +94%)
Roodborsttapuit	+	niet-lineair	+2.7% (+0.6%; +4.8%)	+37% (+7%; +76%)
Rietzanger	+	mogelijk niet-lineair	+2.6% (+0.8%; +4.5%)	+37% (+10%; +70%)
Grote bonte specht	+	niet-lineair	+2.4% (+1.4%; +3.5%)	+34% (+19%; +50%)

////////////////////////////////////

soort	klasse	interpretatie	jaarlijkse wijziging	wijziging over de looptijd
Zwarte kraai	+	niet-lineair	+2.21% (+1.80%; +2.63%)	+30% (+24%; +37%)
Canadese gans	+	niet-lineair	+1.6% (+0.1%; +3.1%)	+21% (+1%; +45%)
Boomkruiper	+	niet-lineair	+1.4% (+0.0%; +2.7%)	+17% (+1%; +37%)
Pimpelmees	+~	niet-lineair	+1.7% (+1.0%; +2.3%)	+22% (+13%; +32%)
Tjiftjaf	+~	niet-lineair	+1.56% (+1.12%; +2.01%)	+20% (+14%; +27%)
Roodborst	+~	niet-lineair	+1.6% (+0.9%; +2.3%)	+20% (+11%; +31%)
Grasmus	+~	niet-lineair	+1.0% (+0.1%; +2.0%)	+13% (+1%; +27%)
Witte kwikstaart	+~	niet-lineair	+0.95% (+0.04%; +1.87%)	+12% (+0%; +25%)
Vink	+~	niet-lineair	+0.932% (+0.580%; +1.285%)	+11.77% (+7.19%; +16.56%)
Houtduif	+~	niet-lineair	+0.42% (+0.11%; +0.73%)	+5.2% (+1.3%; +9.2%)
Zwarte roodstaart	~	niet-lineair	+0.9% (-0.4%; +2.1%)	+11% (-5%; +29%)
Boerenzwaluw	~	niet-lineair	+0.35% (-0.62%; +1.32%)	+4.2% (-7.2%; +17.1%)
Kneu	~	niet-lineair	+0.24% (-1.36%; +1.87%)	+3% (-15%; +25%)
Ekster	~	niet-lineair	+0.1% (-0.4%; +0.6%)	+1% (-5%; +7%)
Groenling	~	lineair	+0.00% (-0.99%; +1.00%)	+0.0% (-11.2%; +12.7%)
Geelgors	~	niet-lineair	-0.04% (-1.47%; +1.41%)	-0.5% (-16.2%; +18.3%)
Groene specht	~	niet-lineair	-0.52% (-1.30%; +0.26%)	-6.1% (-14.6%; +3.2%)
Winterkoning	-~	niet-lineair	-0.47% (-0.81%; -0.12%)	-5.4% (-9.2%; -1.5%)
Koolmees	-~	niet-lineair	-0.634% (-1.052%; -0.214%)	-7.35% (-11.92%; -2.54%)
Fazant	-~	niet-lineair	-0.73% (-1.28%; -0.17%)	-8.4% (-14.3%; -2.0%)
Gaai	-~	niet-lineair	-1.2% (-2.3%; -0.1%)	-13% (-24%; -1%)
Holenduif	-~	niet-lineair	-1.4% (-2.1%; -0.7%)	-15% (-23%; -8%)
Turkse tortel	-~	niet-lineair	-1.86% (-2.29%; -1.44%)	-20.2% (-24.2%; -16.0%)
Scholekster	-	niet-lineair	-1.3% (-2.5%; -0.1%)	-14% (-26%; -1%)
Kleine karekiet	-	mogelijk niet-lineair	-1.9% (-3.5%; -0.3%)	-21% (-35%; -3%)
Wilde eend	-	niet-lineair	-2.1% (-2.9%; -1.2%)	-22% (-30%; -14%)
Heggenmus	-	niet-lineair	-2.2% (-2.8%; -1.7%)	-24% (-29%; -18%)
Merel	-	niet-lineair	-2.39% (-2.67%; -2.11%)	-25.2% (-27.8%; -22.6%)
Veldleeuwerik	-	niet-lineair	-2.7% (-3.4%; -2.0%)	-28% (-34%; -22%)
Ringmus	-	niet-lineair	-2.7% (-4.3%; -1.0%)	-28% (-41%; -12%)
Spreeuw	-	niet-lineair	-2.9% (-3.6%; -2.1%)	-30% (-36%; -22%)
Rietgors	-	niet-lineair	-3.1% (-5.4%; -0.8%)	-31% (-48%; -9%)
Graspieper	-	lineair	-3.1% (-4.5%; -1.6%)	-31% (-43%; -18%)
Staartmees	-	niet-lineair	-3.1% (-5.8%; -0.3%)	-32% (-51%; -4%)
Waterhoen	-	niet-lineair	-3.3% (-4.4%; -2.1%)	-33% (-42%; -22%)
Koekoek	-	niet-lineair	-4.0% (-5.8%; -2.2%)	-39% (-51%; -24%)
Fitis	-	niet-lineair	-4.1% (-6.1%; -2.1%)	-40% (-53%; -22%)
Zanglijster	--	niet-lineair	-3.3% (-4.0%; -2.7%)	-33% (-38%; -28%)
Gele kwikstaart	--	niet-lineair	-3.5% (-4.4%; -2.5%)	-35% (-42%; -27%)
Huismus	--	niet-lineair	-3.49% (-3.97%; -3.00%)	-34.7% (-38.5%; -30.6%)
Grutto	--	lineair	-4.9% (-6.8%; -3.0%)	-46% (-57%; -31%)
Patrijs	--	niet-lineair	-5.2% (-6.8%; -3.6%)	-47% (-57%; -36%)
Tuinfluitier	--	niet-lineair	-5.7% (-7.7%; -3.6%)	-51% (-62%; -36%)
Grote lijster	--	niet-lineair	-6.0% (-8.1%; -4.0%)	-53% (-63%; -38%)
Havik	--	mogelijk niet-lineair	-7.37% (-10.75%; -3.86%)	-60% (-74%; -38%)
Kievit	--	niet-lineair	-8.5% (-9.2%; -7.7%)	-65.4% (-68.6%; -62.0%)
Zwarte mees	--	niet-lineair	-8.68% (-12.19%; -5.02%)	-66% (-79%; -46%)
Sprinkhaanzanger	--	mogelijk niet-lineair	-11.06% (-14.81%; -7.14%)	-75% (-85%; -59%)
Cetti's zanger	?+	niet-lineair	+6.1% (-1.4%; +14.2%)	+100% (-20%; +390%)
Bruine kiekendief	?+	lineair	+2.6% (-1.2%; +6.5%)	+35% (-14%; +113%)

////////////////////////////////////

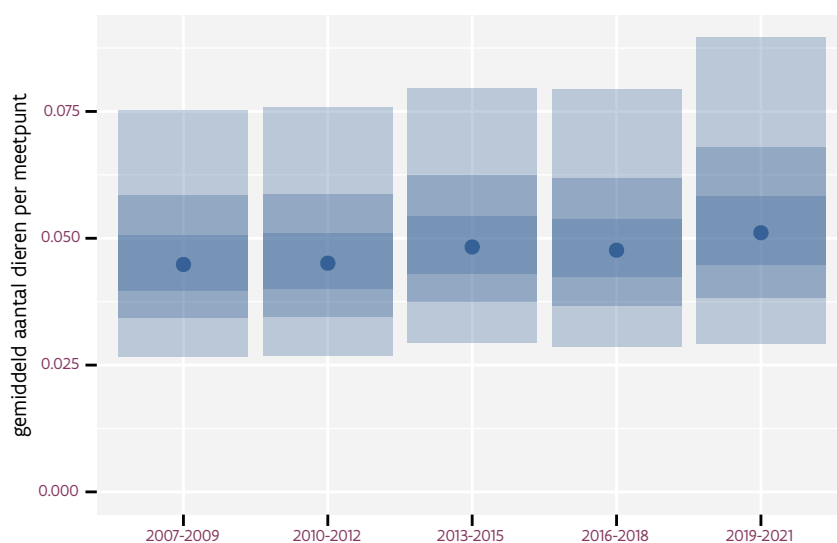
soort	klasse	interpretatie	jaarlijkse wijziging	wijziging over de looptijd
Bonte vliegenvanger	?+	mogelijk niet-lineair	+2.1% (-1.6%; +5.8%)	+30% (-20%; +100%)
Torenvalk	?+	niet-lineair	+1.2% (-0.8%; +3.2%)	+15% (-9%; +45%)
Bergeend	?+	niet-lineair	+0.8% (-1.0%; +2.7%)	+11% (-11%; +37%)
Boompieper	?+	niet-lineair	+0.2% (-2.1%; +2.5%)	+2% (-23%; +34%)
Fuut	?-	niet-lineair	-0.6% (-3.4%; +2.3%)	-7% (-34%; +32%)
Kuifmees	?-	niet-lineair	-0.8% (-2.9%; +1.4%)	-9% (-30%; +18%)
Goudhaan	?-	niet-lineair	-1.3% (-3.3%; +0.8%)	-14% (-33%; +10%)
Nachtegaal	?-	niet-lineair	-1.5% (-4.5%; +1.5%)	-17% (-42%; +20%)
Wulp	?-	niet-lineair	-1.6% (-3.6%; +0.5%)	-17% (-36%; +6%)
Stadskuif	?-	niet-lineair	-1.6% (-4.8%; +1.7%)	-18% (-44%; +22%)
Bosrietzanger	?-	mogelijk niet-lineair	-2.1% (-5.7%; +1.5%)	-23% (-50%; +20%)
Spotvogel	?-	niet-lineair	-2.3% (-6.7%; +2.4%)	-24% (-57%; +33%)
Zwarte specht	?-	niet-lineair	-2.6% (-6.8%; +1.7%)	-27% (-57%; +22%)
Dodaars	?-	niet-lineair	-6.0% (-13.1%; +1.7%)	-50% (-80%; +20%)
Aalscholver	?	niet-lineair	+2% (-4%; +8%)	+30% (-36%; +164%)
Grauwe gans	?	niet-lineair	+0.8% (-2.9%; +4.7%)	+10% (-30%; +70%)
Huiszwaluw	?	lineair	+0.8% (-3.1%; +4.8%)	+10% (-30%; +70%)
Glanskop	?	mogelijk niet-lineair	+1% (-5%; +7%)	+8% (-46%; +115%)
Zilvermeeuw	?	niet-lineair	-0.8% (-5.6%; +4.2%)	-10% (-50%; +60%)
Matkop	?	mogelijk niet-lineair	-2% (-8%; +5%)	-20% (-60%; +80%)
Wielewaal	?	niet-lineair	-1.7% (-5.9%; +2.7%)	-19% (-52%; +37%)

////////////////////////////////////

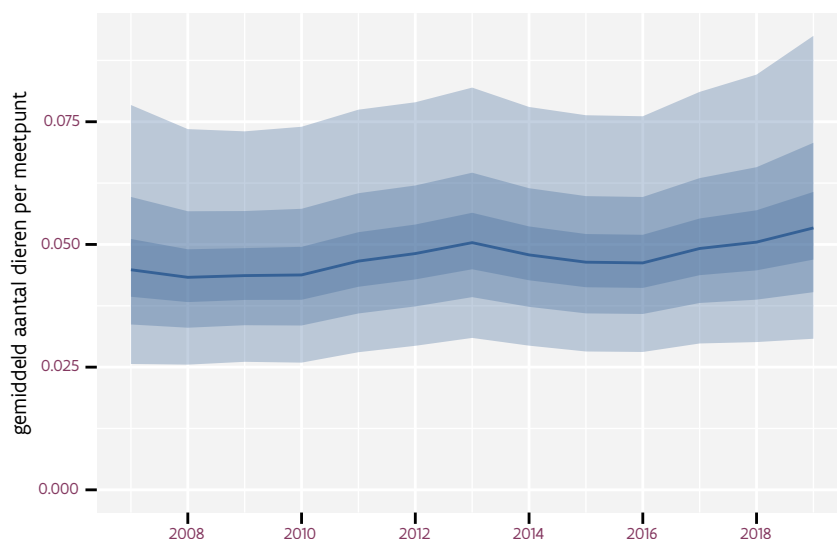
14 AALSCHOLVER

Op basis van driejaarlijkse gegevens zien we gemiddeld een onduidelijke trend van +3% (-3%; +9%) per jaar of +35% (-32%; +169%) over de volledige looptijd van het meetnet. Deze trend is niet-lineair.

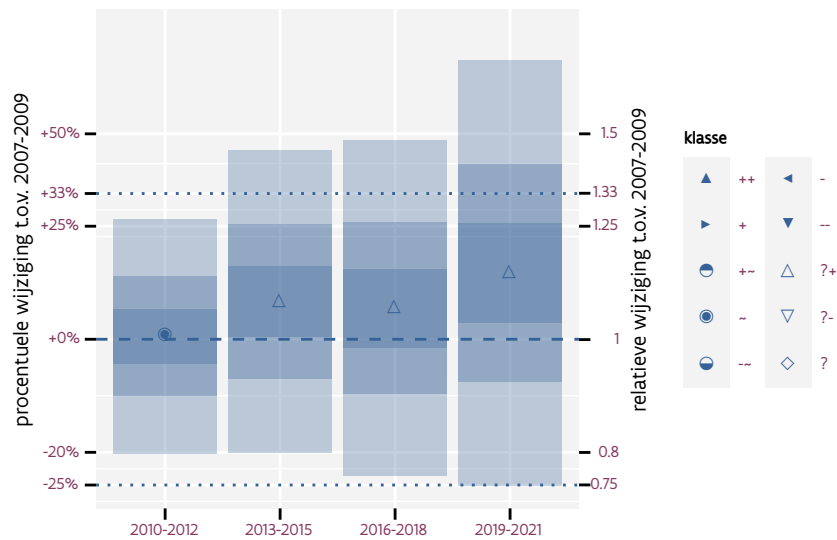
Op basis van jaarlijkse gegevens zien we gemiddeld een onduidelijke trend van +2% (-4%; +8%) per jaar of +30% (-36%; +164%) over de volledige looptijd van het meetnet. Deze trend is niet-lineair.



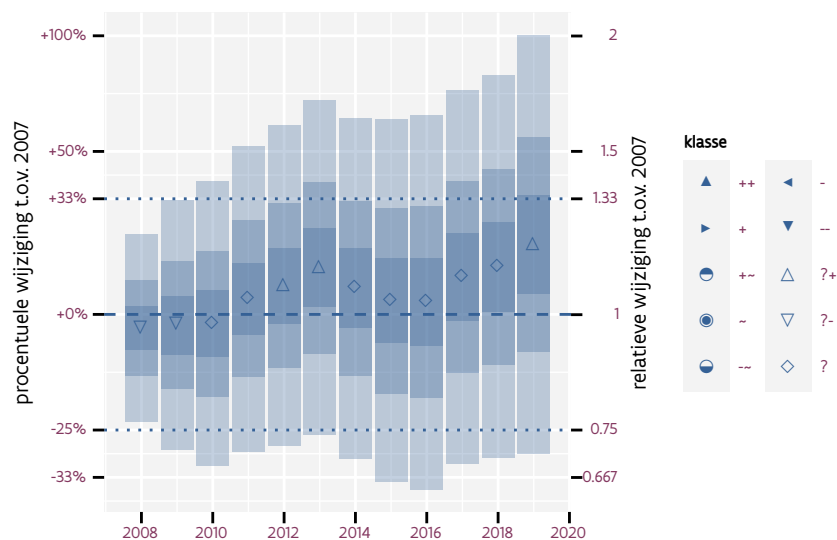
Figuur 14.1: Evolutie van het gemodeleerde gemiddeld aantal waargenomen dieren op een meetpunt voor Aalscholver tijdens de referentieperiode. Zie §4.1 voor een verklaring van de intervallen.



Figuur 14.2: Evolutie van het gemodeleerde gemiddeld aantal waargenomen dieren op een meetpunt voor Aalscholver tijdens de referentieperiode. Zie §4.1 voor een verklaring van de intervallen.



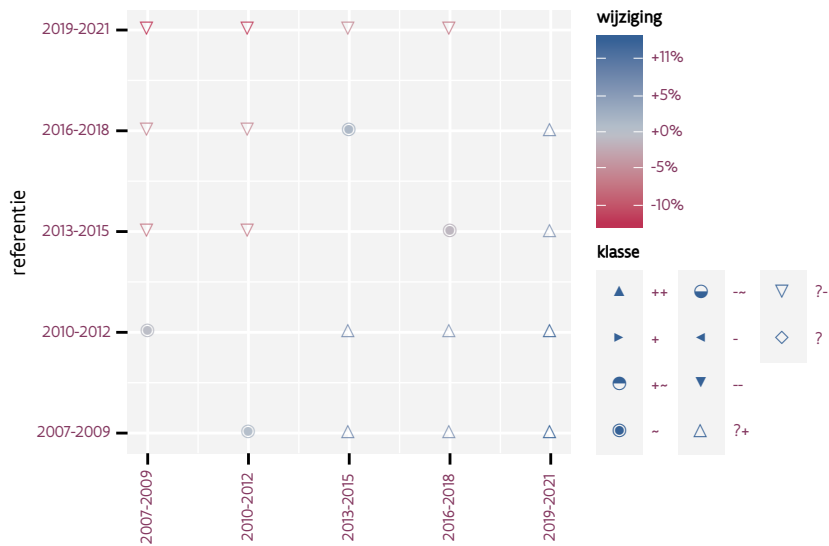
Figuur 14.3: Wijzigingen t.o.v. het eerste driejarige cyclus voor Aalscholver. Zie §4.1 voor een verklaring van de intervallen en §4.2 voor uitleg over de symbolen en referentielijnen.



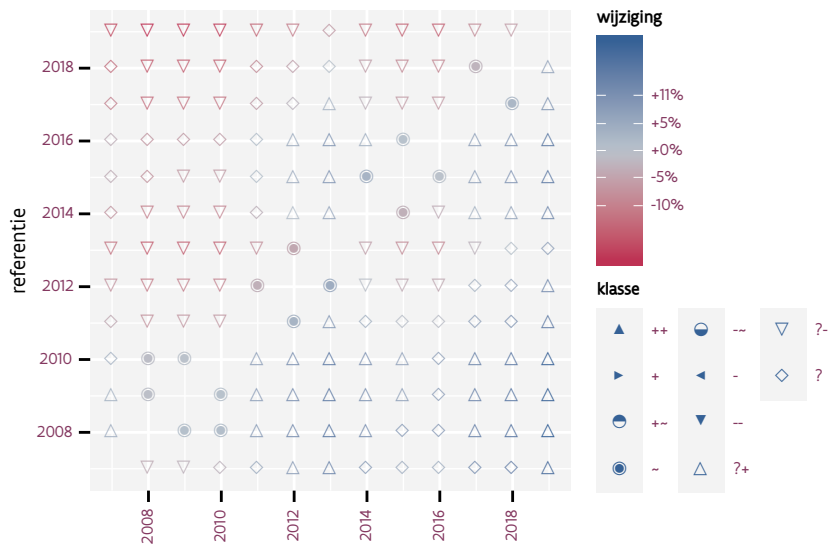
Figuur 14.4: Wijzigingen t.o.v. het eerste jaar voor Aalscholver. Zie §4.1 voor een verklaring van de intervallen en §4.2 voor uitleg over de symbolen en referentielijnen.

Tabel 14.1: Stratungewicht, raming aan het aantal hokken waarin de soort aanwezig is, aantal relevant hokken voor de analyse, aantal onderzochte hokken in het stratum, totaal aantal hokken van het stratum in Vlaanderen en aantal bezoeken aan een meetpunt voor Aalscholver (zie §3.5).

stratum	gewicht	aanwezig	relevant	onderzocht	totaal	bezoeken
Landbouw	76.7%	177.8	12	426	6311	848
Moeras en water	16.4%	41.1	24	80	137	1459
Heide en duin	7.0%	15.3	7	91	199	480



Figuur 14.5: Paarsgewijze vergelijking tussen driejarige cycli voor Aalscholver. Uitleg van de symbolen in tabel 4.1.



Figuur 14.6: Paarsgewijze vergelijking tussen jaren voor Aalscholver. Uitleg van de symbolen in tabel 4.1.

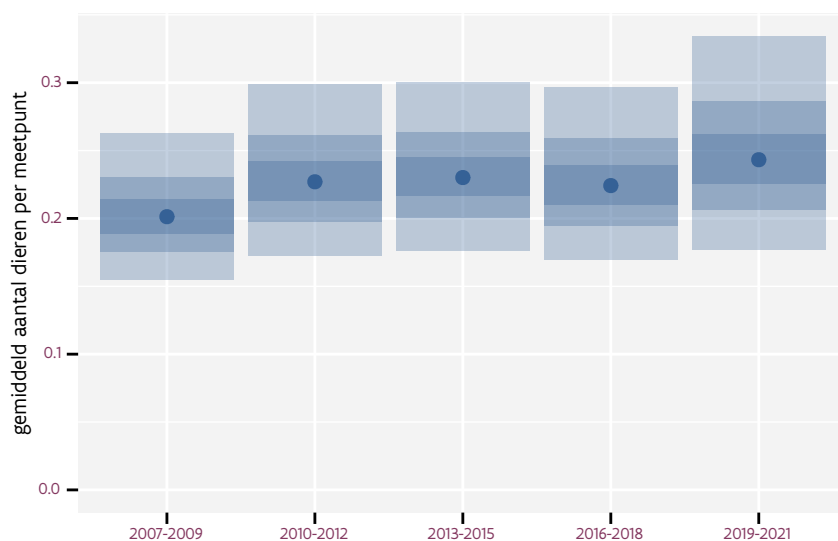
Tabel 14.2: Data-hashes van de analyses in het kader van traceerbaarheid (zie §5.3).

frequentie	model	analyse	status
jaarlijks	lineair	ea9b37c6e34a9de30126 997e2c5751d0e3bc886e	32c77da1b1d631529bf4 9f792bbf8ede7a4e3a92
jaarlijks	niet-lineair	a59b54eb18a185f20686 e2ab506f9ccd59fae26	af206fa84f801a990976 bf58928af968ba92ba24
driejaarlijks	lineair	362a49ce38012f25bca8 3db1f2d3467347c184ef	e0b84f5e80497928d73a f2291a49dbe4ff663fc0
driejaarlijks	niet-lineair	25192f07b3959c31ea30 cc6d36c3fb8315bd30d9	6e79d6315e1a90c3b643 bd7f4ed0d1b17e159e1e

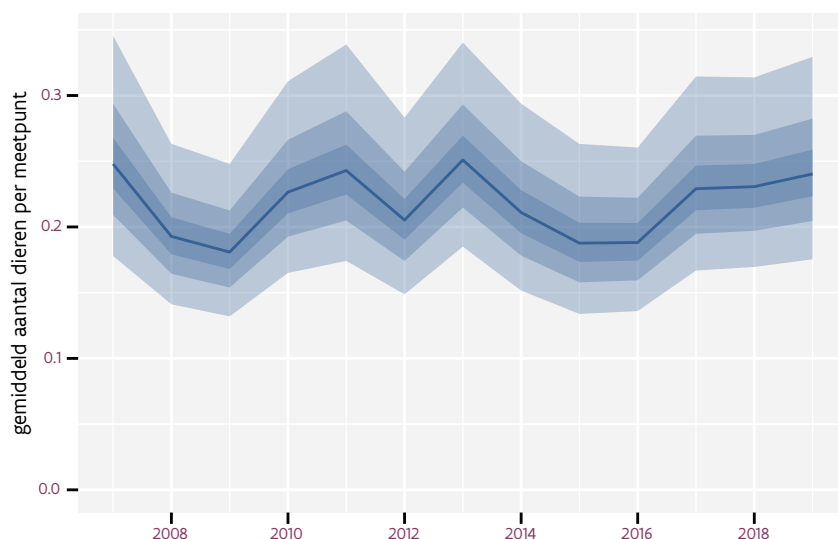
15 BERGEEND

Op basis van driejaarlijkse gegevens zien we gemiddeld een mogelijke toename met +1.3% (-0.5%; +3.2%) per jaar of +17% (-6%; +45%) over de volledige looptijd van het meetnet. Deze trend is niet-lineair.

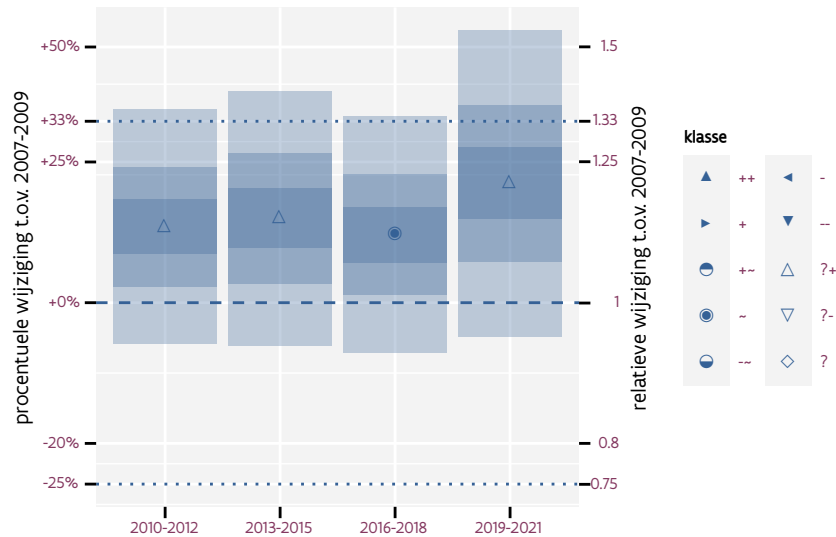
Op basis van jaarlijkse gegevens zien we gemiddeld een mogelijke toename met +0.8% (-1.0%; +2.7%) per jaar of +11% (-11%; +37%) over de volledige looptijd van het meetnet. Deze trend is niet-lineair.



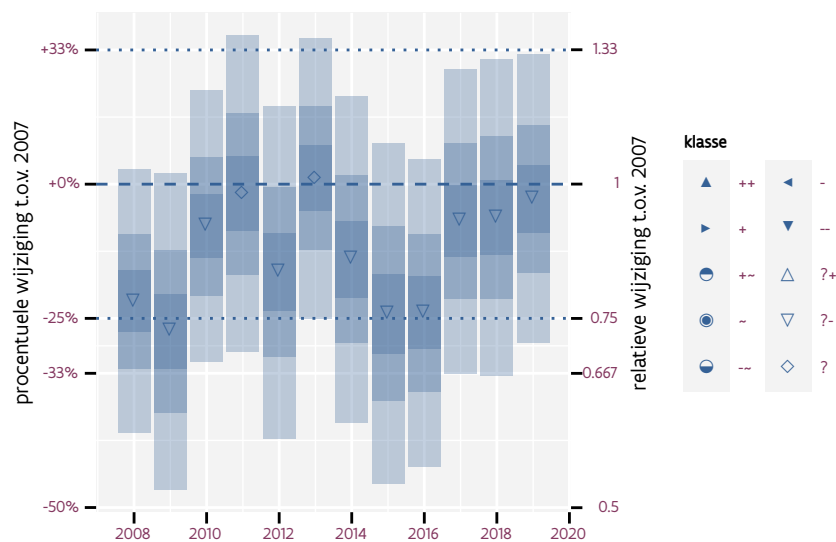
Figuur 15.1: Evolutie van het gemodeleerde gemiddeld aantal waargenomen dieren op een meetpunt voor Bergeend tijdens de referentieperiode. Zie §4.1 voor een verklaring van de intervallen.



Figuur 15.2: Evolutie van het gemodeleerde gemiddeld aantal waargenomen dieren op een meetpunt voor Bergeend tijdens de referentieperiode. Zie §4.1 voor een verklaring van de intervallen.



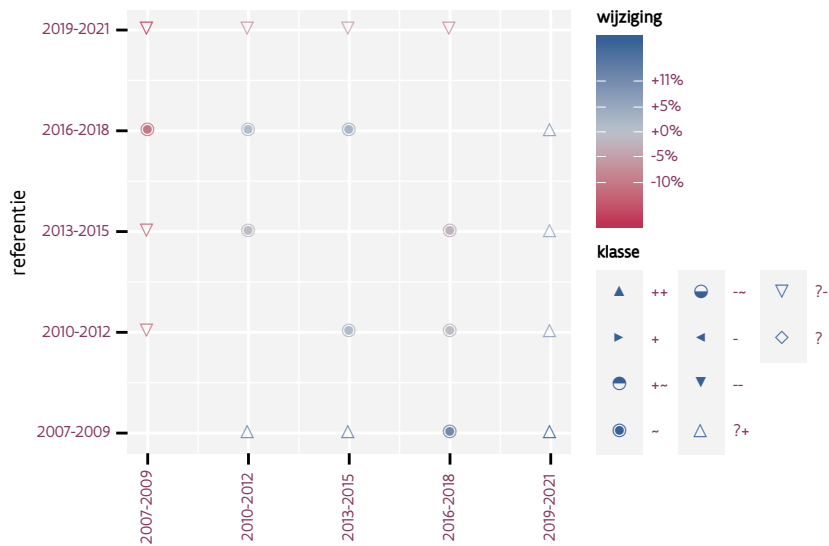
Figuur 15.3: Wijzigingen t.o.v. het eerste driejarige cyclus voor Bergeend. Zie §4.1 voor een verklaring van de intervallen en §4.2 voor uitleg over de symbolen en referentielijnen.



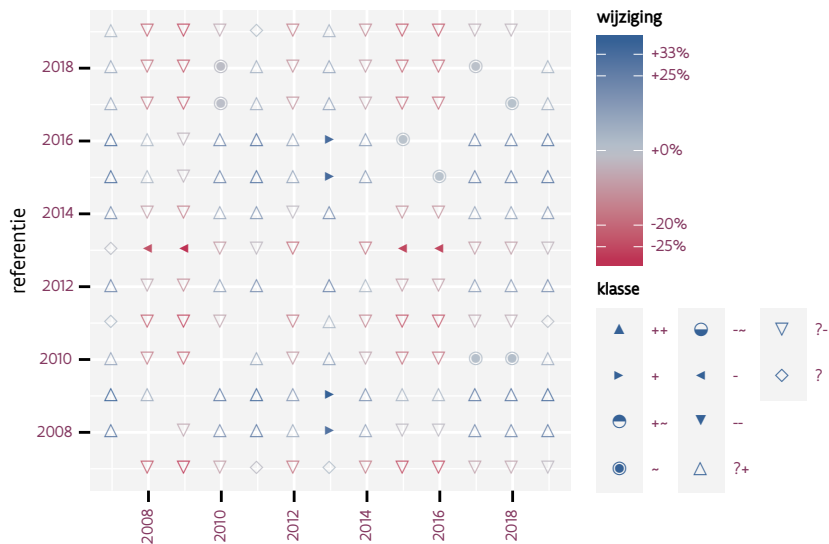
Figuur 15.4: Wijzigingen t.o.v. het eerste jaar voor Bergeend. Zie §4.1 voor een verklaring van de intervallen en §4.2 voor uitleg over de symbolen en referentielijnen.

Tabel 15.1: Stratumgewicht, raming aan het aantal hokken waarin de soort aanwezig is, aantal relevant hokken voor de analyse, aantal onderzochte hokken in het stratum, totaal aantal hokken van het stratum in Vlaanderen en aantal bezoeken aan een meetpunt voor Bergeend (zie §3.5).

stratum	gewicht	aanwezig	relevant	onderzocht	totaal	bezoeken
Landbouw	88.2%	711.1	48	426	6311	2943
Moeras en water	5.3%	41.1	24	80	137	1400
Suburbaan	2.9%	20.7	7	68	201	399
Heide en duin	2.7%	19.7	9	91	199	606
Bos	0.8%	5.0	3	190	319	231



Figuur 15.5: Paarsgewijze vergelijking tussen driejarige cycli voor Bergeend. Uitleg van de symbolen in tabel 4.1.



Figuur 15.6: Paarsgewijze vergelijking tussen jaren voor Bergeend. Uitleg van de symbolen in tabel 4.1.

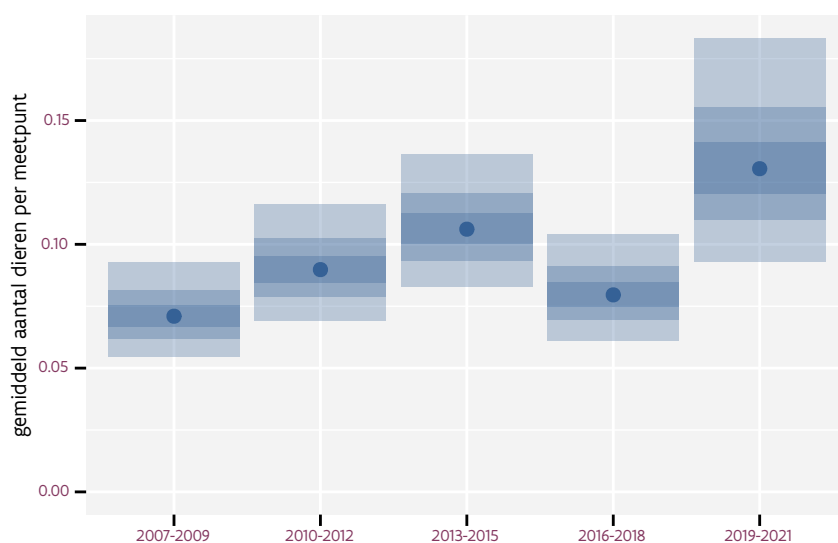
Tabel 15.2: Data-hashes van de analyses in het kader van traceerbaarheid (zie §5.3).

frequentie	model	analyse	status
jaarlijks	lineair	69ad5ece196db6811cb3 2adac9422ca2a4103547	56a7d8186a1845d7f13d cdd79764d4f0c4066fe7
jaarlijks	niet-lineair	9e8b6b72db786073c8d5 e3f12f44a395d1bc78b1	72081074958f6d850c85 4b7da064591d86a321d4
driejaarlijks	lineair	cf735677c948f9cb0028 3d349e80b645bfd204a1	b2742e1d33d65996157f 3445dd0249d0e6d0a921
driejaarlijks	niet-lineair	01371f387c225ab9f28e a046559f7196e9285d9e	08f0f7fa0339f2a70c8a 9e6a230d4f24a4b6d284

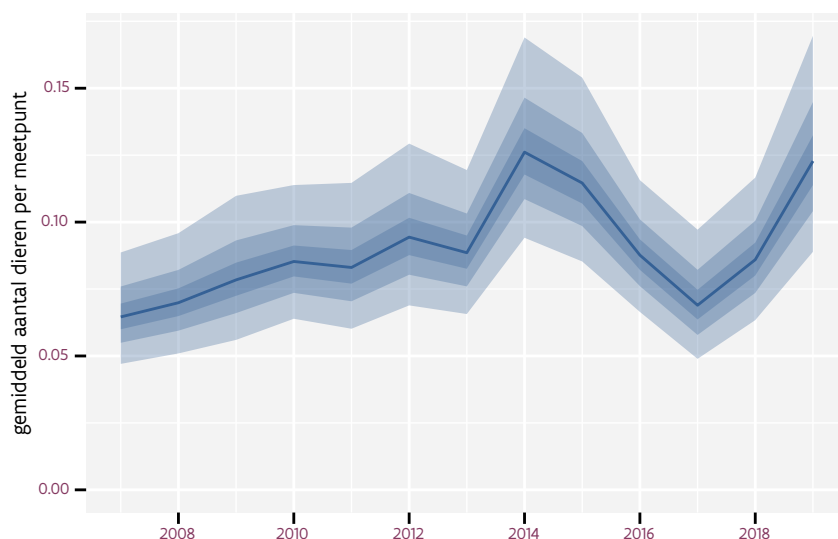
16 BLAUWBORST

Op basis van driejaarlijkse gegevens zien we gemiddeld een toename met +3.1% (+0.9%; +5.3%) per jaar of +44% (+12%; +86%) over de volledige looptijd van het meetnet. Deze trend is niet-lineair.

Op basis van jaarlijkse gegevens zien we gemiddeld een toename met +3.2% (+1.1%; +5.4%) per jaar of +47% (+14%; +89%) over de volledige looptijd van het meetnet. Deze trend is niet-lineair.



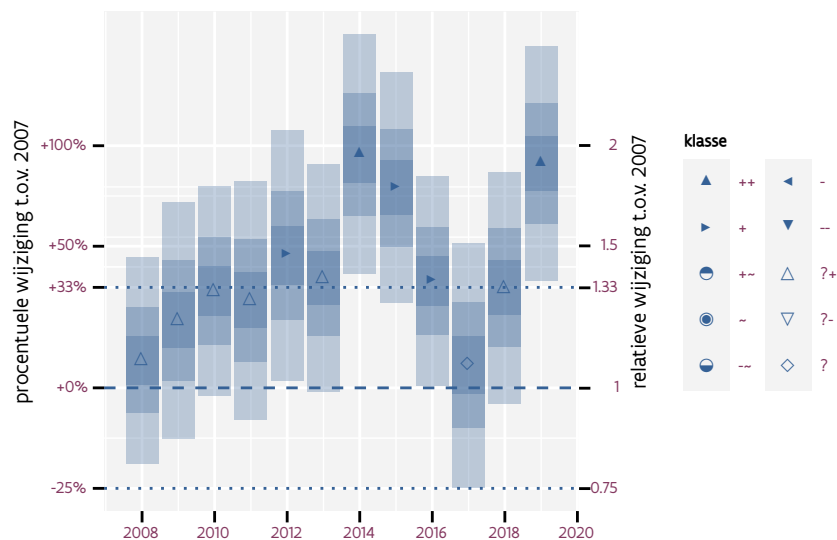
Figuur 16.1: Evolutie van het gemodeleerde gemiddeld aantal waargenomen dieren op een meetpunt voor Blauwborst tijdens de referentieperiode. Zie §4.1 voor een verklaring van de intervallen.



Figuur 16.2: Evolutie van het gemodeleerde gemiddeld aantal waargenomen dieren op een meetpunt voor Blauwborst tijdens de referentieperiode. Zie §4.1 voor een verklaring van de intervallen.



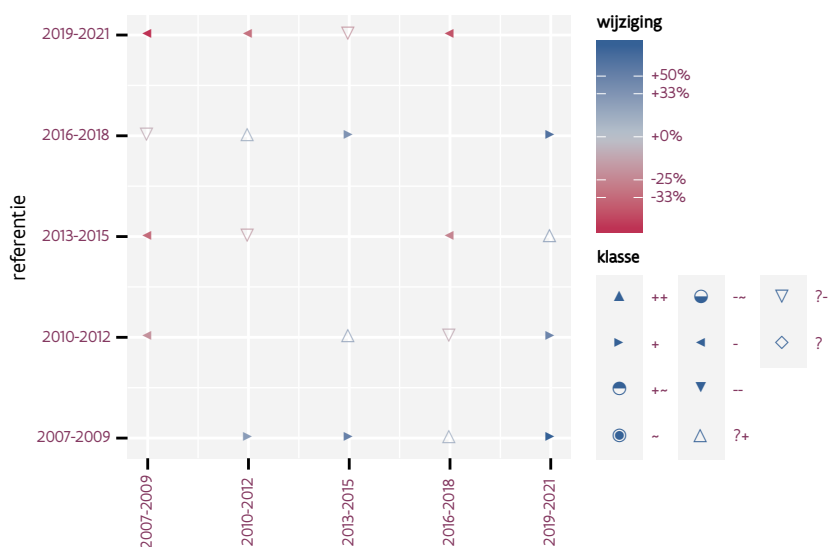
Figuur 16.3: Wijzigingen t.o.v. het eerste driejarige cyclus voor Blauwborst. Zie §4.1 voor een verklaring van de intervallen en §4.2 voor uitleg over de symbolen en referentielijnen.



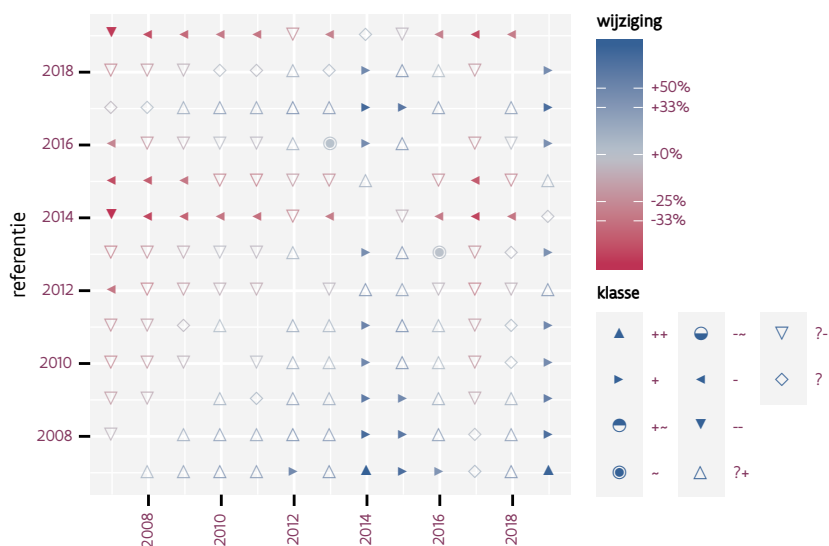
Figuur 16.4: Wijzigingen t.o.v. het eerste jaar voor Blauwborst. Zie §4.1 voor een verklaring van de intervallen en §4.2 voor uitleg over de symbolen en referentielijnen.

Tabel 16.1: Stratumgewicht, raming aan het aantal hokken waarin de soort aanwezig is, aantal relevant hokken voor de analyse, aantal onderzochte hokken in het stratum, totaal aantal hokken van het stratum in Vlaanderen en aantal bezoeken aan een meetpunt voor Blauwborst (zie §3.5).

stratum	gewicht	aanwezig	relevant	onderzocht	totaal	bezoeken
Landbouw	92.4%	696.3	47	426	6311	3010
Moeras en water	3.6%	25.7	15	80	137	967
Heide en duin	2.0%	13.1	6	91	199	374
Suburbaan	2.0%	11.8	4	68	201	180



Figuur 16.5: Paarsgewijze vergelijking tussen driejarige cycli voor Blauwborst. Uitleg van de symbolen in tabel 4.1.



Figuur 16.6: Paarsgewijze vergelijking tussen jaren voor Blauwborst. Uitleg van de symbolen in tabel 4.1.

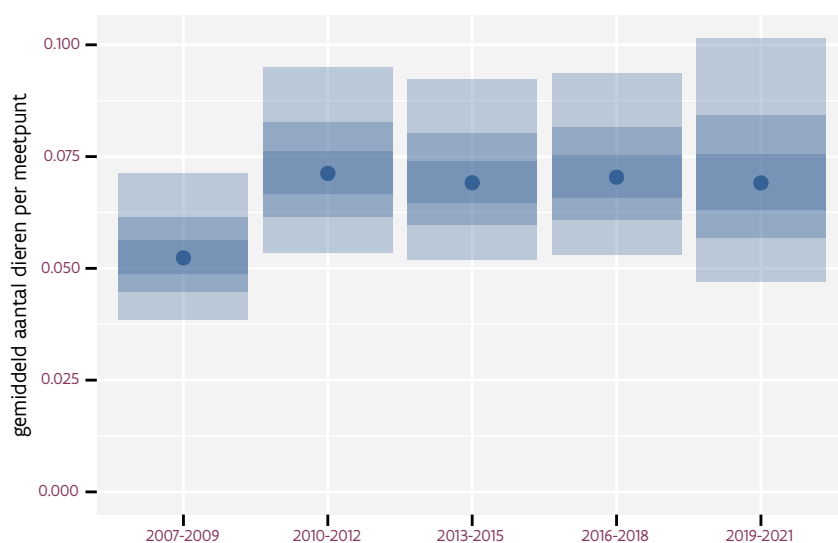
Tabel 16.2: Data-hashes van de analyses in het kader van traceerbaarheid (zie §5.3).

frequentie	model	analyse	status
jaarlijks	lineair	60d8514fdcc91e526236 cc03031a42a372f0142d	0d535b42d78666fab05e 04582686c53568db05cf
jaarlijks	niet-lineair	adbee9a6a5a004f61662 255dd80c6c03a42fd3f3	702b2792eed07f53c16b d68f221dacf02e778263
driejaarlijks	lineair	eb8890c2443a2a413546 c0021300057828f132ba	144f7ed67693cd166cb7 851df3704e24c9225793
driejaarlijks	niet-lineair	f547cd8914b790320253 7b0b370923bd170ff3b1	6f0ac0165d465f235cde db43628d8f5c1fa56dff

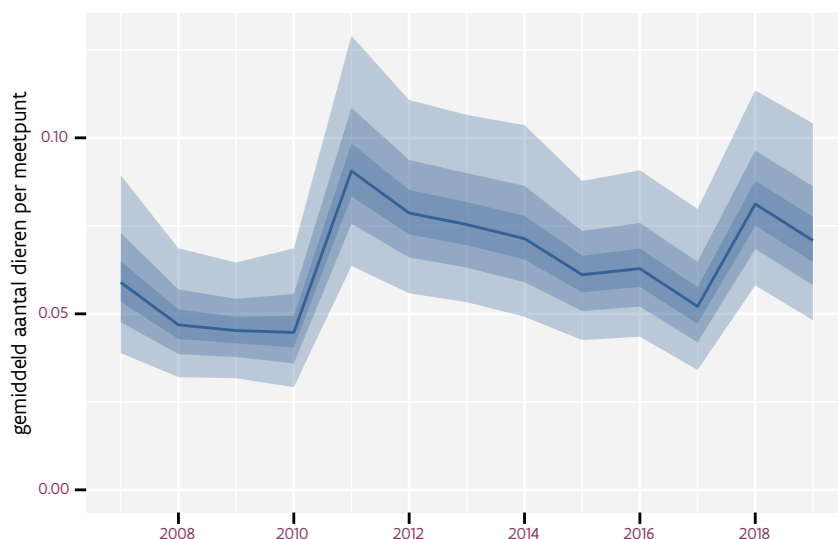
17 BLAUWE REIGER

Op basis van driejaarlijkse gegevens zien we gemiddeld een mogelijke toename met +2.6% (-0.1%; +5.3%) per jaar of +36% (-1%; +87%) over de volledige looptijd van het meetnet. Deze trend is niet-lineair.

Op basis van jaarlijkse gegevens zien we gemiddeld een toename met +2.9% (+0.1%; +5.7%) per jaar of +40% (+2%; +94%) over de volledige looptijd van het meetnet. Deze trend is niet-lineair.



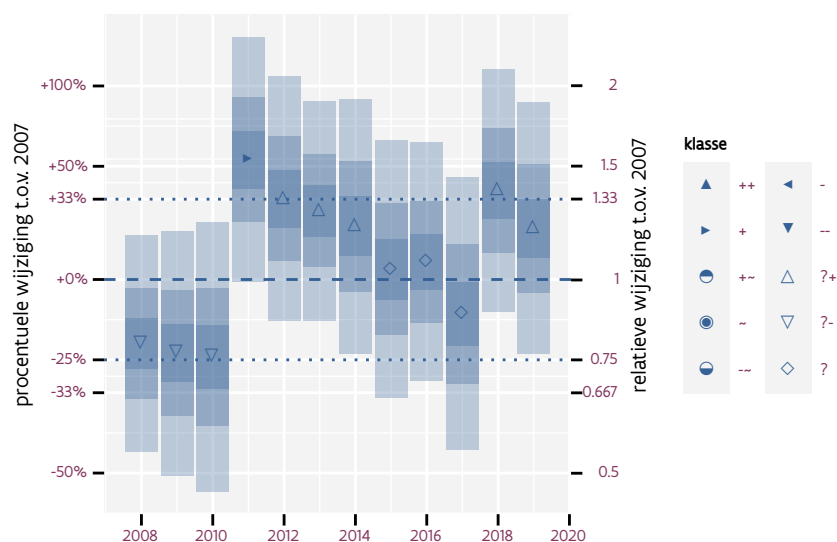
Figuur 17.1: Evolutie van het gemodeleerde gemiddeld aantal waargenomen dieren op een meetpunt voor Blauwe reiger tijdens de referentieperiode. Zie §4.1 voor een verklaring van de intervallen.



Figuur 17.2: Evolutie van het gemodeleerde gemiddeld aantal waargenomen dieren op een meetpunt voor Blauwe reiger tijdens de referentieperiode. Zie §4.1 voor een verklaring van de intervallen.



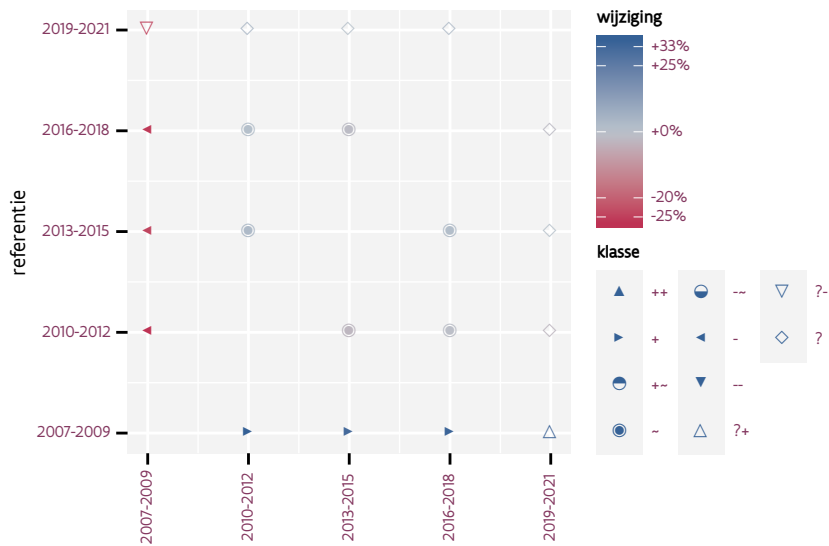
Figuur 17.3: Wijzigingen t.o.v. het eerste driejarige cyclus voor Blauwe reiger. Zie §4.1 voor een verklaring van de intervallen en §4.2 voor uitleg over de symbolen en referentielijnen.



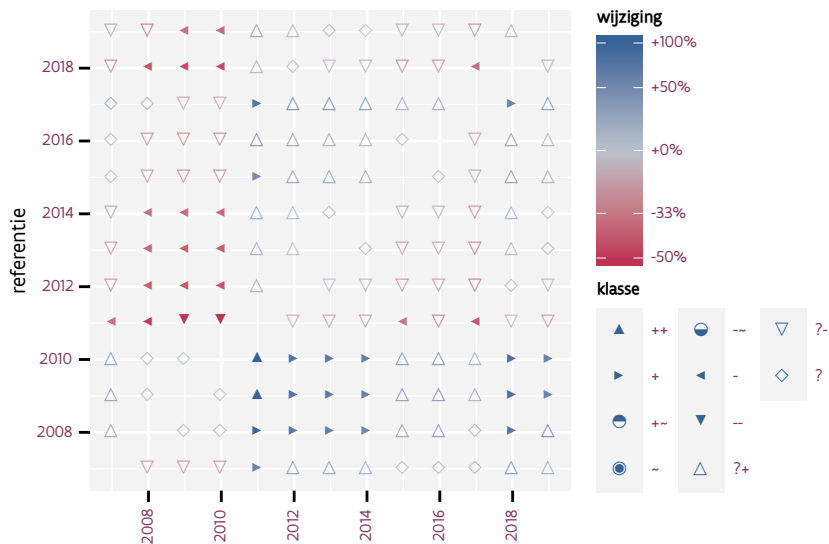
Figuur 17.4: Wijzigingen t.o.v. het eerste jaar voor Blauwe reiger. Zie §4.1 voor een verklaring van de intervallen en §4.2 voor uitleg over de symbolen en referentielijnen.

Tabel 17.1: Stratumgewicht, raming aan het aantal hokken waarin de soort aanwezig is, aantal relevant hokken voor de analyse, aantal onderzochte hokken in het stratum, totaal aantal hokken van het stratum in Vlaanderen en aantal bezoeken aan een meetpunt voor Blauwe reiger (zie §3.5).

stratum	gewicht	aanwezig	relevant	onderzocht	totaal	bezoeken
Landbouw	88.5%	800.0	54	426	6311	3498
Moeras en water	4.5%	39.4	23	80	137	1451
Heide en duin	3.4%	28.4	13	91	199	825
Bos	2.2%	18.5	11	190	319	855
Suburbaan	1.3%	8.9	3	68	201	342



Figuur 17.5: Paarsgewijze vergelijking tussen driejarige cycli voor Blauwe reiger. Uitleg van de symbolen in tabel 4.1.



Figuur 17.6: Paarsgewijze vergelijking tussen jaren voor Blauwe reiger. Uitleg van de symbolen in tabel 4.1.

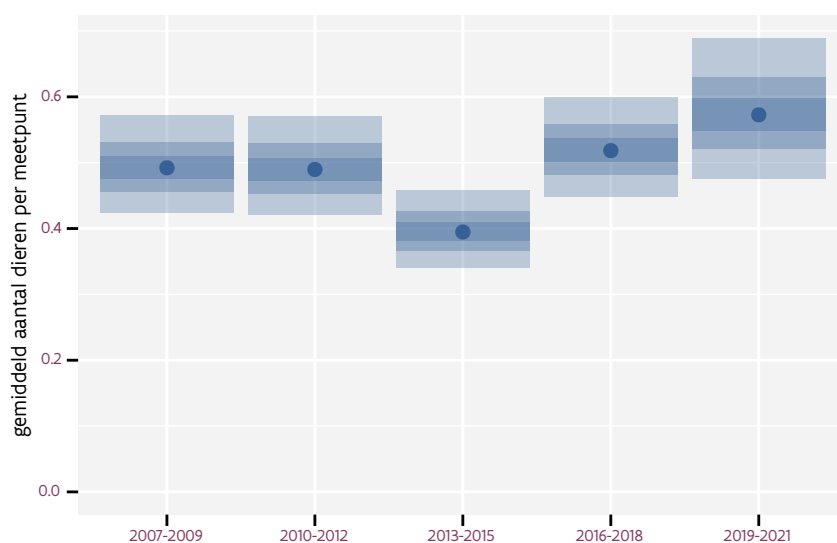
Tabel 17.2: Data-hashes van de analyses in het kader van traceerbaarheid (zie §5.3).

frequentie	model	analyse	status
jaarlijks	lineair	9c7f353c5b4e674034ad 369ade3e528841abfd28	16ae41a43be08e5f626f c65e1f2c19a91db0052c
jaarlijks	niet-lineair	d23583d649e2a71ed379 34391953cded36a42019	26fd956b3a63fe007ab1 43a7f4c1069c9340e199
driejaarlijks	lineair	31d9af27ed72d59a8d15 5fcd764ce556a72b11f9	9f1de64e72b149fe7964 b412a145c510eb04fb1e
driejaarlijks	niet-lineair	aac4f55ce1a813ab824b a1db7089f7183a78ff97	d510f7aeab7602aa8588 1d9224a16d003770ec2b

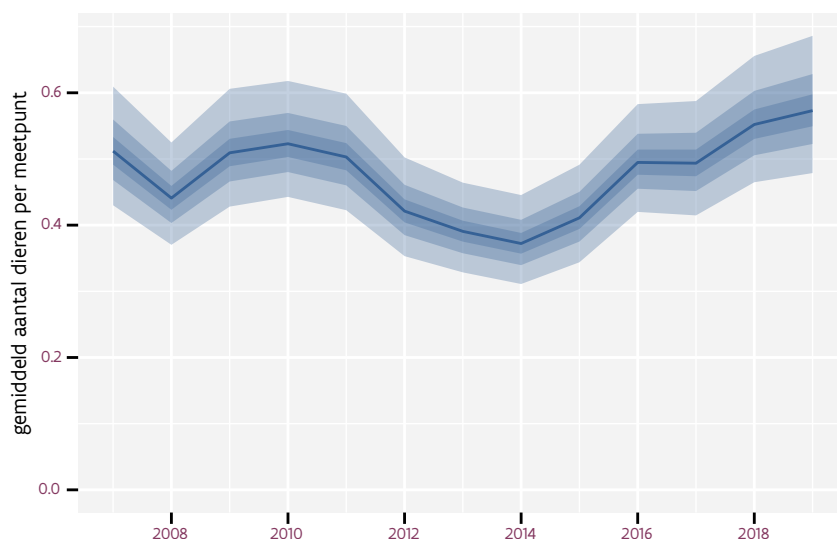
18 BOERENZWALUW

Op basis van driejaarlijkse gegevens zien we gemiddeld een stabiele trend van +0.47% (-0.50%; +1.44%) per jaar of +5.7% (-5.9%; +18.8%) over de volledige looptijd van het meetnet. Deze trend is niet-lineair.

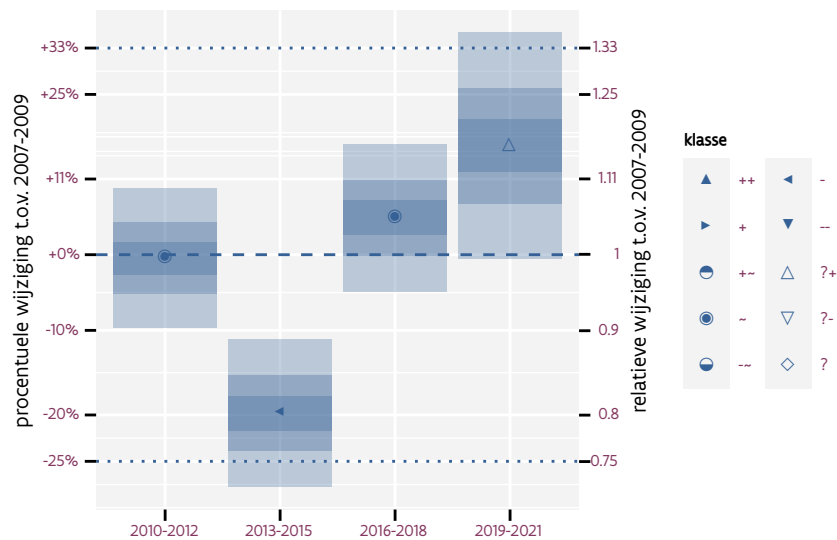
Op basis van jaarlijkse gegevens zien we gemiddeld een stabiele trend van +0.35% (-0.62%; +1.32%) per jaar of +4.2% (-7.2%; +17.1%) over de volledige looptijd van het meetnet. Deze trend is niet-lineair.



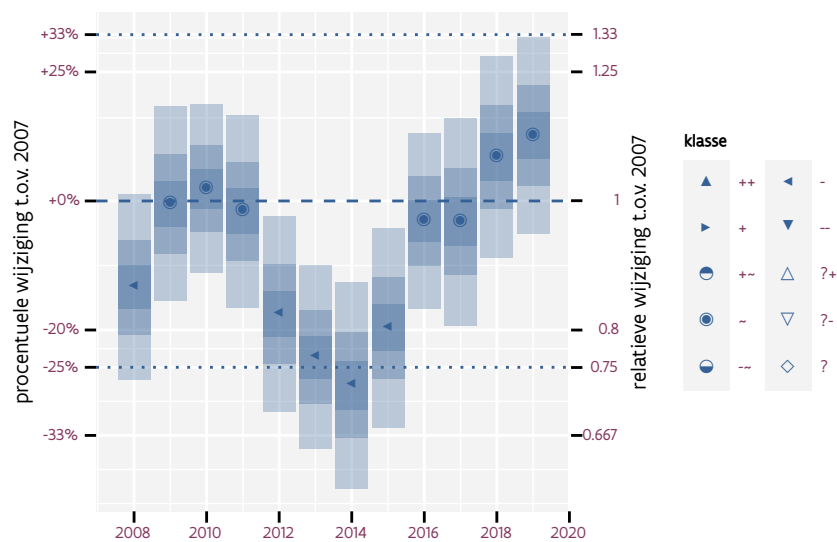
Figuur 18.1: Evolutie van het gemodeleerde gemiddeld aantal waargenomen dieren op een meetpunt voor Boerenzwaluw tijdens de referentieperiode. Zie §4.1 voor een verklaring van de intervallen.



Figuur 18.2: Evolutie van het gemodeleerde gemiddeld aantal waargenomen dieren op een meetpunt voor Boerenzwaluw tijdens de referentieperiode. Zie §4.1 voor een verklaring van de intervallen.



Figuur 18.3: Wijzigingen t.o.v. het eerste driejarige cyclus voor Boerenzwaluw. Zie §4.1 voor een verklaring van de intervallen en §4.2 voor uitleg over de symbolen en referentielijnen.



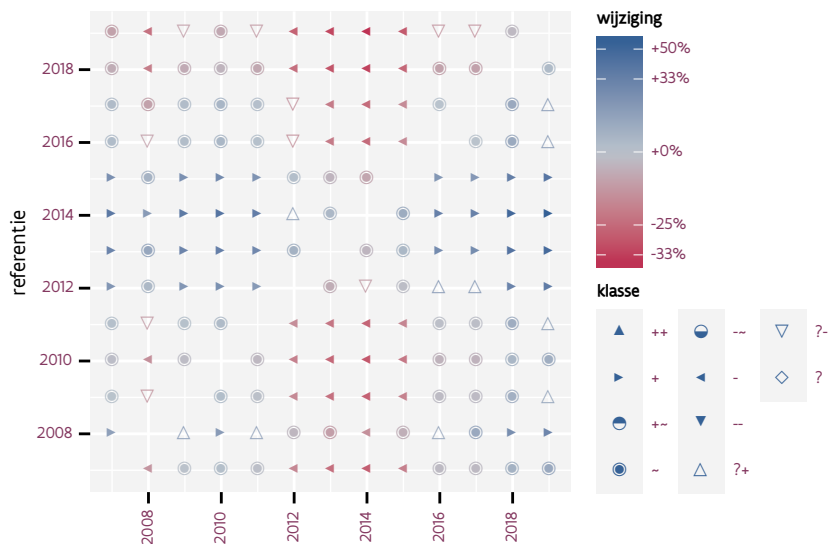
Figuur 18.4: Wijzigingen t.o.v. het eerste jaar voor Boerenzwaluw. Zie §4.1 voor een verklaring van de intervallen en §4.2 voor uitleg over de symbolen en referentielijnen.

Tabel 18.1: Stratumgewicht, raming aan het aantal hokken waarin de soort aanwezig is, aantal relevant hokken voor de analyse, aantal onderzochte hokken in het stratum, totaal aantal hokken van het stratum in Vlaanderen en aantal bezoeken aan een meetpunt voor Boerenzwaluw (zie §3.5).

stratum	gewicht	aanwezig	relevant	onderzocht	totaal	bezoeken
Landbouw	95.0%	3777.7	255	426	6311	10226
Urbaan	1.3%	47.8	10	87	416	522
Heide en duin	1.3%	48.1	22	91	199	931
Moeras en water	1.0%	39.4	23	80	137	972
Suburbaan	0.9%	32.5	11	68	201	378
Bos	0.5%	18.5	11	190	319	507



Figuur 18.5: Paarsgewijze vergelijking tussen driejarige cycli voor Boerenzwaluw. Uitleg van de symbolen in tabel 4.1.



Figuur 18.6: Paarsgewijze vergelijking tussen jaren voor Boerenzwaluw. Uitleg van de symbolen in tabel 4.1.

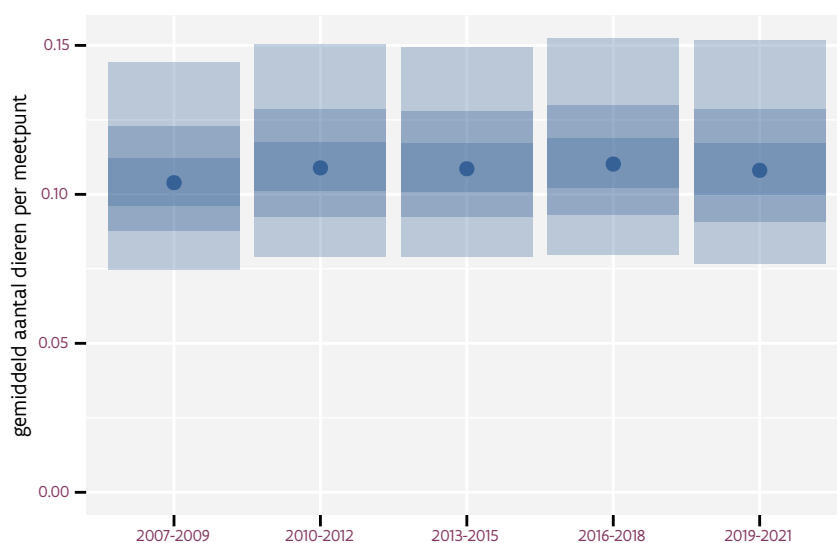
Tabel 18.2: Data-hashes van de analyses in het kader van traceerbaarheid (zie §5.3).

frequentie	model	analyse	status
jaarlijks	lineair	8b7092126d55cbfccefd eb47ef6ec25476c58195	84ddb11747425f59e894 b936b668bb0e75dcc654
jaarlijks	niet-lineair	5ec1e9f8ad7bec5f91ca fb7a6fc1e1b01fc72019	21c6b2de689d801e78c8 1dbae9fe5e7db76e9ecc
driejaarlijks	lineair	85b5ef36506bacfd19d7 c6ee4030d250ef48943a	ea9adbcafc259894f14b f1e3a62e197324e0a14a
driejaarlijks	niet-lineair	4544632b25a3aaebd0e0 5a9f75c53a48cbf02fb8	87ddf758e0f3c650917e 1813042c6fe10e6f9889

19 BONTE VLIEGENVANGER

Op basis van driejaarlijkse gegevens zien we gemiddeld een onduidelijke trend van +0.8% (-2.9%; +4.7%) per jaar of +10% (-30%; +70%) over de volledige looptijd van het meetnet. Deze trend is mogelijk niet-lineair.

Op basis van jaarlijkse gegevens zien we gemiddeld een mogelijke toename met +2.1% (-1.6%; +5.8%) per jaar of +30% (-20%; +100%) over de volledige looptijd van het meetnet. Deze trend is mogelijk niet-lineair.



Figuur 19.1: Evolutie van het gemodeleerde gemiddeld aantal waargenomen dieren op een meetpunt voor Bonte vliegenvanger tijdens de referentieperiode. Zie §4.1 voor een verklaring van de intervallen.

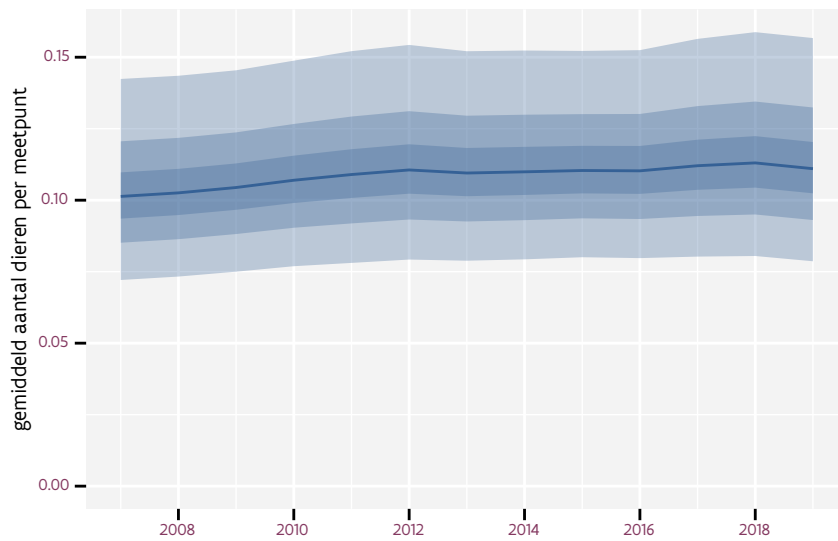
Tabel 19.1: Stratumgewicht, raming aan het aantal hokken waarin de soort aanwezig is, aantal relevant hokken voor de analyse, aantal onderzochte hokken in het stratum, totaal aantal hokken van het stratum in Vlaanderen en aantal bezoeken aan een meetpunt voor Bonte vliegenvanger (zie §3.5).

stratum	gewicht	aanwezig	relevant	onderzocht	totaal	bezoeken
Bos	60.6%	25.2	15	190	319	694
Heide en duin	39.4%	17.5	8	91	199	594

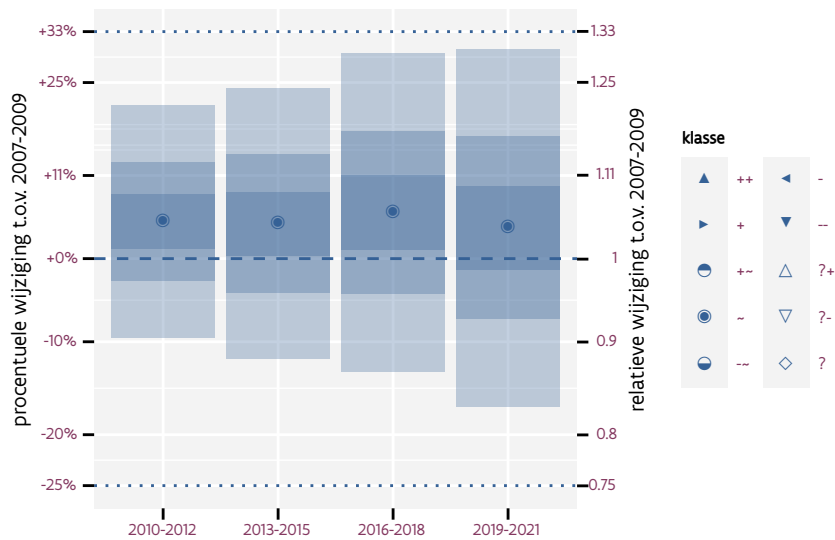
Tabel 19.2: Data-hashes van de analyses in het kader van traceerbaarheid (zie §5.3).

frequentie	model	analyse	status
jaarlijks	lineair	407102b941affacd4d84 b76ead6ed6ac1fc0ac55	7561f03ed9d1bf2389c8 f8e14fb29a9d56c536d0
jaarlijks	niet-lineair	65ccd2e2edf128c6eba9 ad4137eb95f72a2e23a4	ecbc9a13bd2f61b6f8f1 0d6cde79fa721a5ac2e9
driejaarlijks	lineair	ba850e73442543b9460e 55af10c8f0c791dbb365	1972079601b6d33f39da b16617cb07dc4f9a14c5

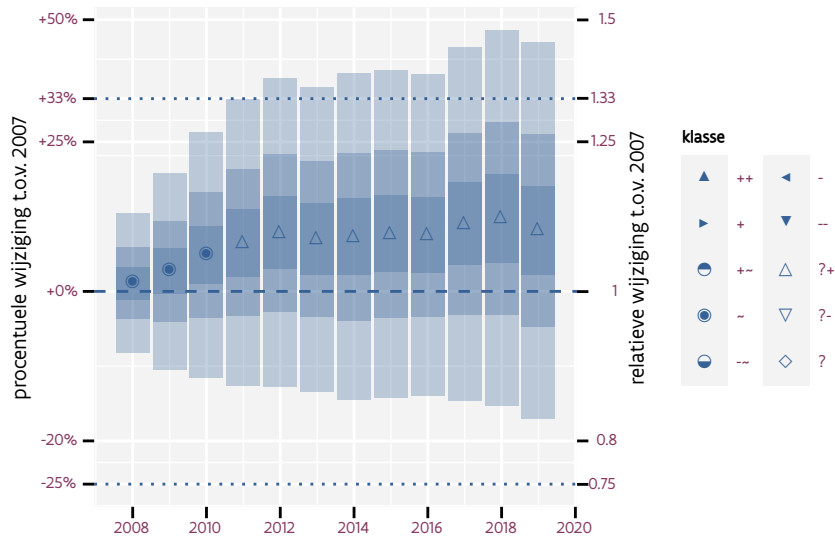
frequentie	model	analyse	status
driejaarlijks	niet-lineair	56b5629d82e2484405ee b79b95684739f239dee6	5e681d6d3fd412406b00 add686d5772a022ae0ad



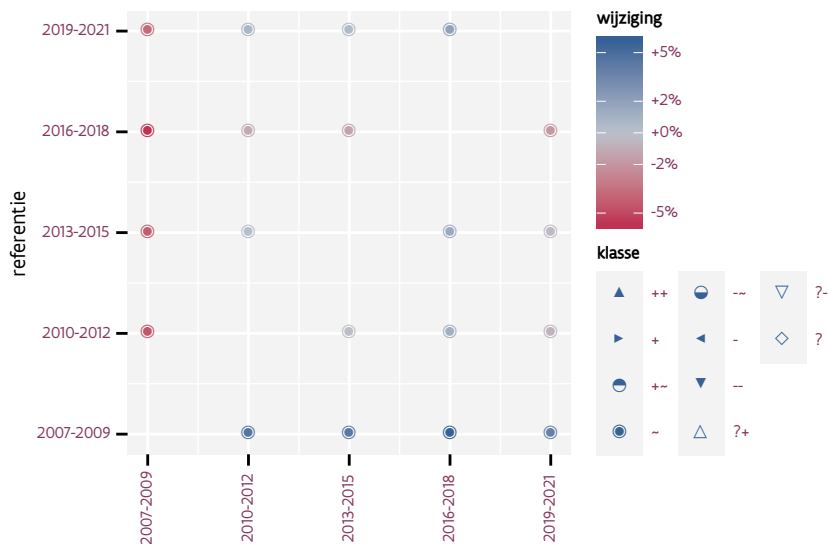
Figuur 19.2: Evolutie van het gemodeleerde gemiddeld aantal waargenomen dieren op een meetpunt voor Bonte vliegenvanger tijdens de referentieperiode. Zie §4.1 voor een verklaring van de intervallen.



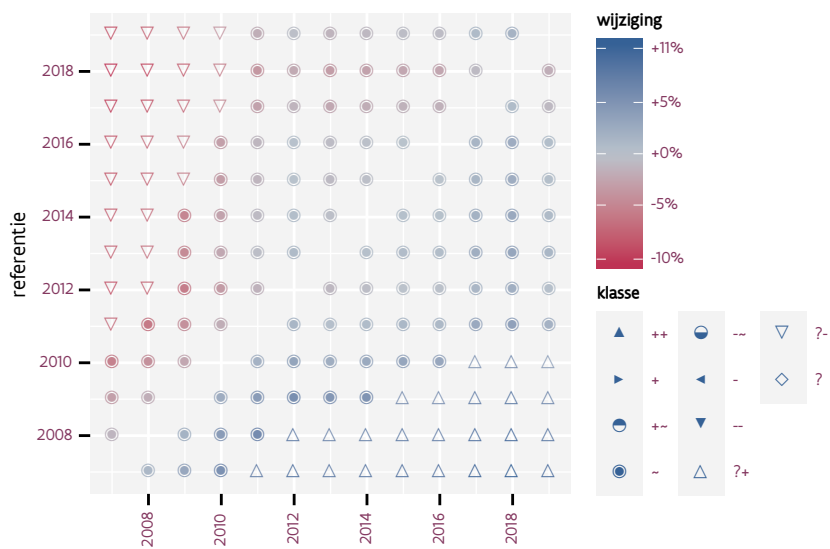
Figuur 19.3: Wijzigingen t.o.v. het eerste driejarige cyclus voor Bonte vliegenvanger. Zie §4.1 voor een verklaring van de intervallen en §4.2 voor uitleg over de symbolen en referentielijnen.



Figuur 19.4: Wijzigingen t.o.v. het eerste jaar voor Bonte vliegenvanger. Zie §4.1 voor een verklaring van de intervallen en §4.2 voor uitleg over de symbolen en referentielijnen.



Figuur 19.5: Paarsgewijze vergelijking tussen driejarige cycli voor Bonte vliegenvanger. Uitleg van de symbolen in tabel 4.1.

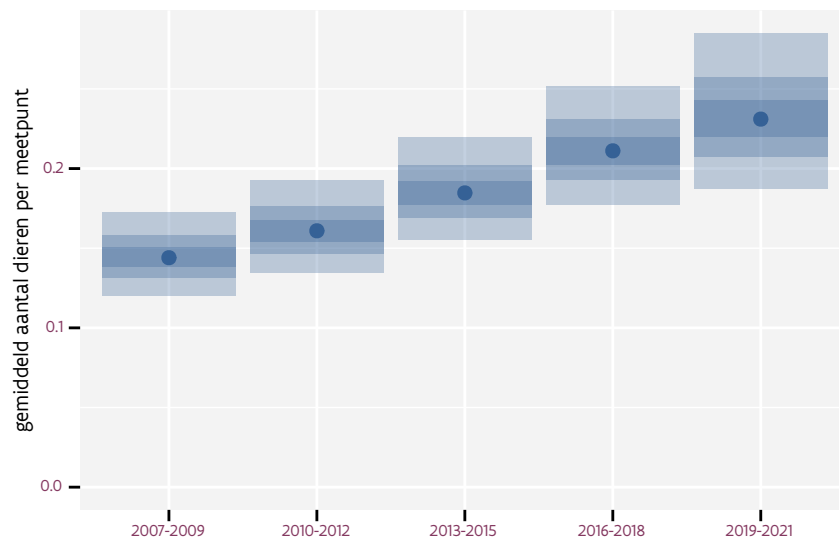


Figuur 19.6: Paarsgewijze vergelijking tussen jaren voor Bonte vliegenvanger. Uitleg van de symbolen in tabel 4.1.

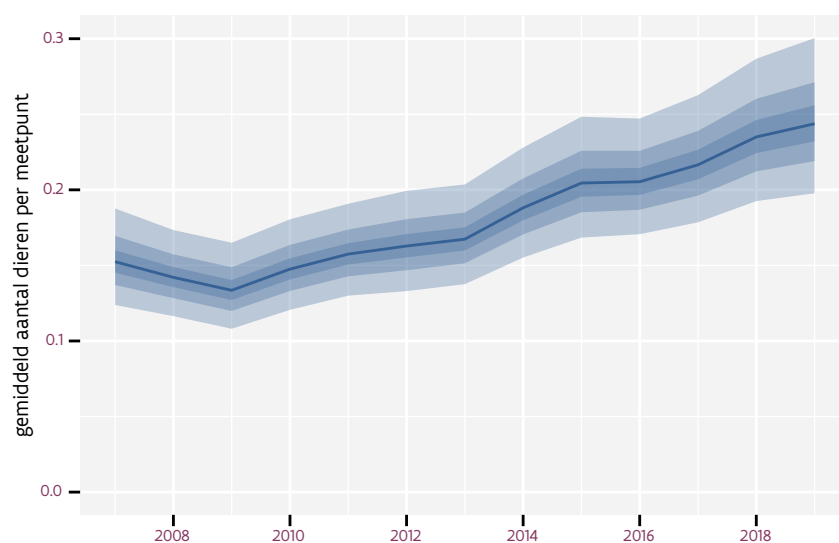
20 BOOMKLEVER

Op basis van driejaarlijkse gegevens zien we gemiddeld een sterke toename met +5.2% (+3.5%; +6.9%) per jaar of +84.0% (+51.6%; +123.3%) over de volledige looptijd van het meetnet. Deze trend is niet-lineair.

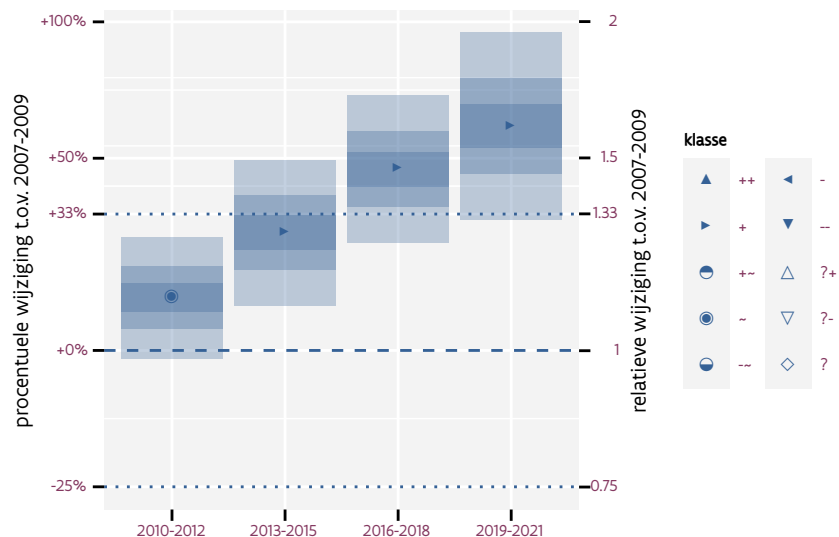
Op basis van jaarlijkse gegevens zien we gemiddeld een sterke toename met +5.3% (+3.6%; +7.1%) per jaar of +86.3% (+53.3%; +126.5%) over de volledige looptijd van het meetnet. Deze trend is niet-lineair.



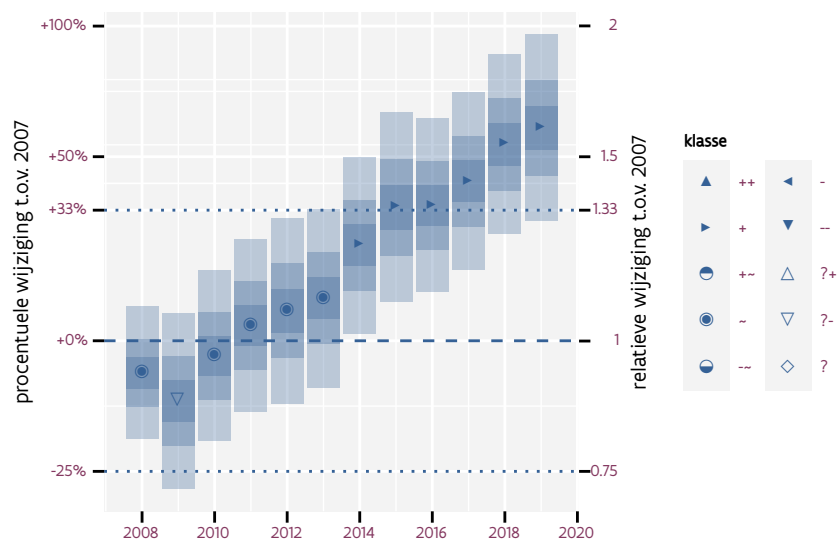
Figuur 20.1: Evolutie van het gemodeleerde gemiddeld aantal waargenomen dieren op een meetpunt voor Boomklever tijdens de referentieperiode. Zie §4.1 voor een verklaring van de intervallen.



Figuur 20.2: Evolutie van het gemodeleerde gemiddeld aantal waargenomen dieren op een meetpunt voor Boomklever tijdens de referentieperiode. Zie §4.1 voor een verklaring van de intervallen.



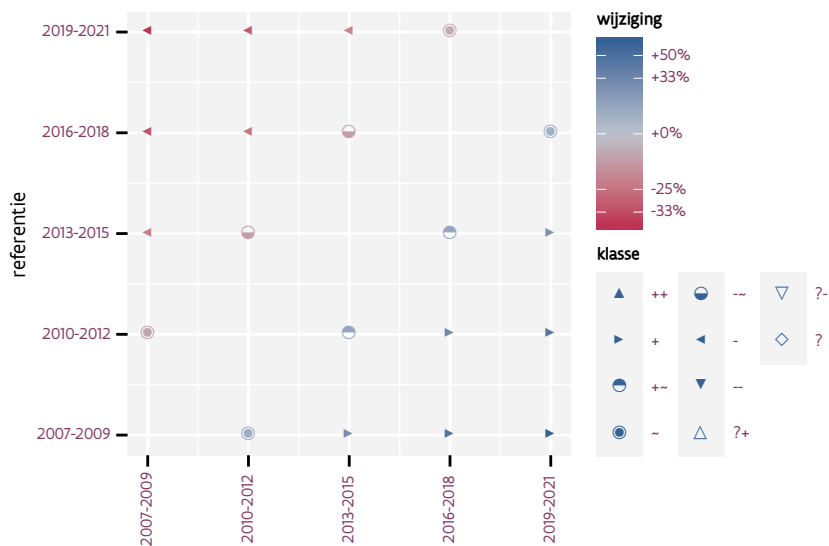
Figuur 20.3: Wijzigingen t.o.v. het eerste driejarige cyclus voor Boomklever. Zie §4.1 voor een verklaring van de intervallen en §4.2 voor uitleg over de symbolen en referentielijnen.



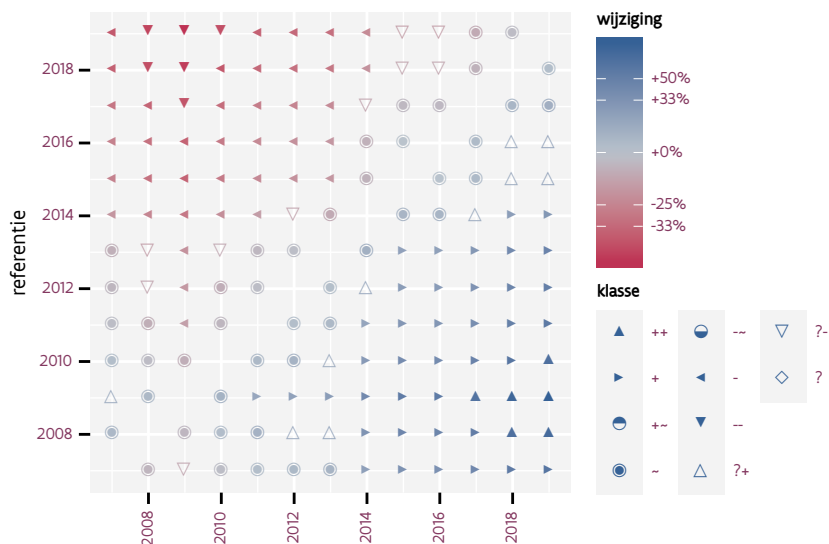
Figuur 20.4: Wijzigingen t.o.v. het eerste jaar voor Boomklever. Zie §4.1 voor een verklaring van de intervallen en §4.2 voor uitleg over de symbolen en referentielijnen.

Tabel 20.1: Stratumgewicht, raming aan het aantal hokken waarin de soort aanwezig is, aantal relevant hokken voor de analyse, aantal onderzochte hokken in het stratum, totaal aantal hokken van het stratum in Vlaanderen en aantal bezoeken aan een meetpunt voor Boomklever (zie §3.5).

stratum	gewicht	aanwezig	relevant	onderzocht	totaal	bezoeken
Landbouw	57.0%	518.5	35	426	6311	2287
Bos	20.6%	193.1	115	190	319	6973
Heide en duin	7.5%	67.8	31	91	199	2183
Urbaan	5.6%	47.8	10	87	416	714
Suburbaan	5.4%	47.3	16	68	201	911
Moeras en water	3.8%	34.2	20	80	137	1096



Figuur 20.5: Paarsgewijze vergelijking tussen driejarige cycli voor Boomklever. Uitleg van de symbolen in tabel 4.1.



Figuur 20.6: Paarsgewijze vergelijking tussen jaren voor Boomklever. Uitleg van de symbolen in tabel 4.1.

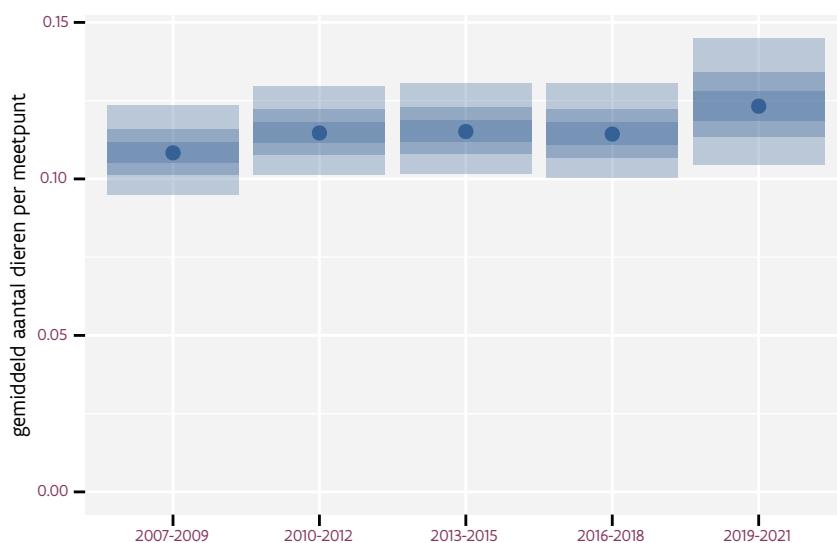
Tabel 20.2: Data-hashes van de analyses in het kader van traceerbaarheid (zie §5.3).

frequentie	model	analyse	status
jaarlijks	lineair	03d8d4a364c814b92530 01b765fb0dd2e4ef847d	ba0fca85c215ae0ff1d8 27b7f543deffecd02ae4
jaarlijks	niet-lineair	0f8519543cadd98d5aa2 c2679101578be95e54cb	0f58d8ee9d247c8c788c 1013193d992876f881eb
driejaarlijks	lineair	a810e3257b55620523de 0e2dd1e7bf0da739e115	7af0941a44f6b133ea46 29c56d68e458f20368d4
driejaarlijks	niet-lineair	d2f06b98aedf0dd0aa59 9cf1e7a6f5aa6fe050d6	f7be685c1d31b33d61b7 7361b03ed4ebf72983df

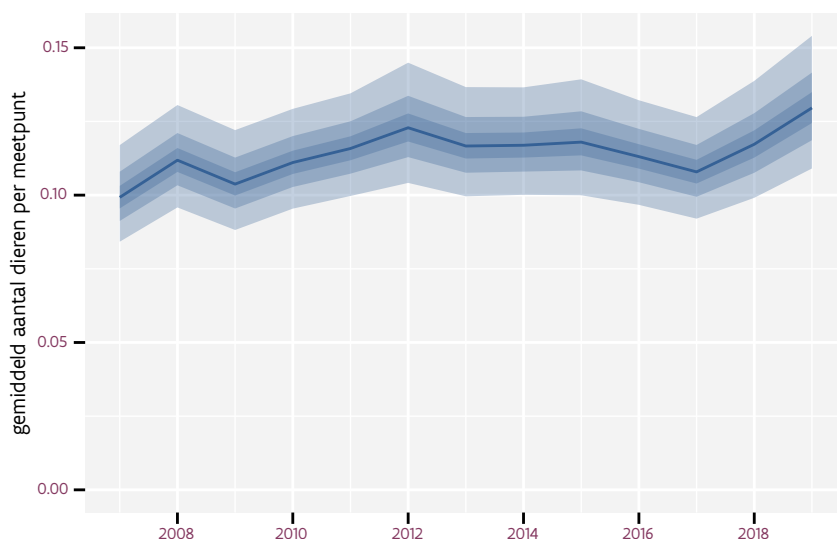
21 BOOMKRUIPER

Op basis van driejaarlijkse gegevens zien we gemiddeld een toename met +1.3% (+0.0%; +2.6%) per jaar of +17% (+0%; +37%) over de volledige looptijd van het meetnet. Deze trend is niet-lineair.

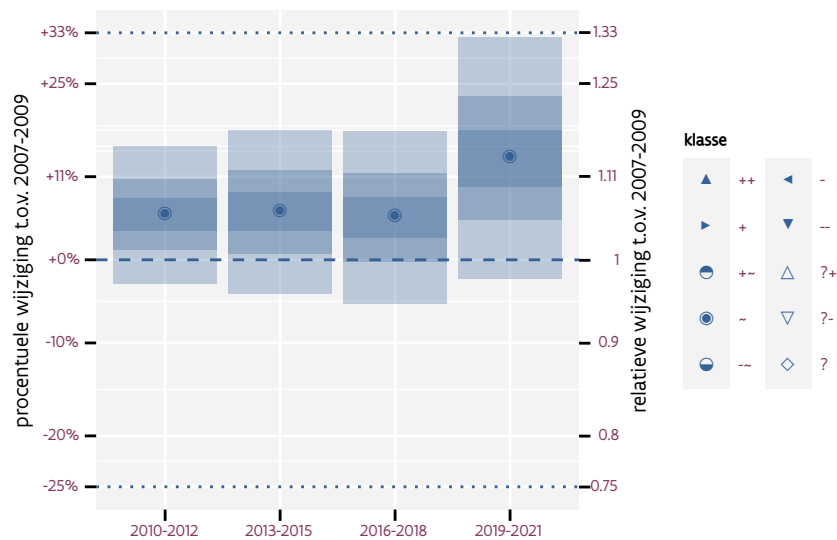
Op basis van jaarlijkse gegevens zien we gemiddeld een toename met +1.4% (+0.0%; +2.7%) per jaar of +17% (+1%; +37%) over de volledige looptijd van het meetnet. Deze trend is niet-lineair.



Figuur 21.1: Evolutie van het gemodeleerde gemiddeld aantal waargenomen dieren op een meetpunt voor Boomkruiper tijdens de referentieperiode. Zie §4.1 voor een verklaring van de intervallen.



Figuur 21.2: Evolutie van het gemodeleerde gemiddeld aantal waargenomen dieren op een meetpunt voor Boomkruiper tijdens de referentieperiode. Zie §4.1 voor een verklaring van de intervallen.



Figuur 21.3: Wijzigingen t.o.v. het eerste driejarige cyclus voor Boomkruiper. Zie §4.1 voor een verklaring van de intervallen en §4.2 voor uitleg over de symbolen en referentielijnen.

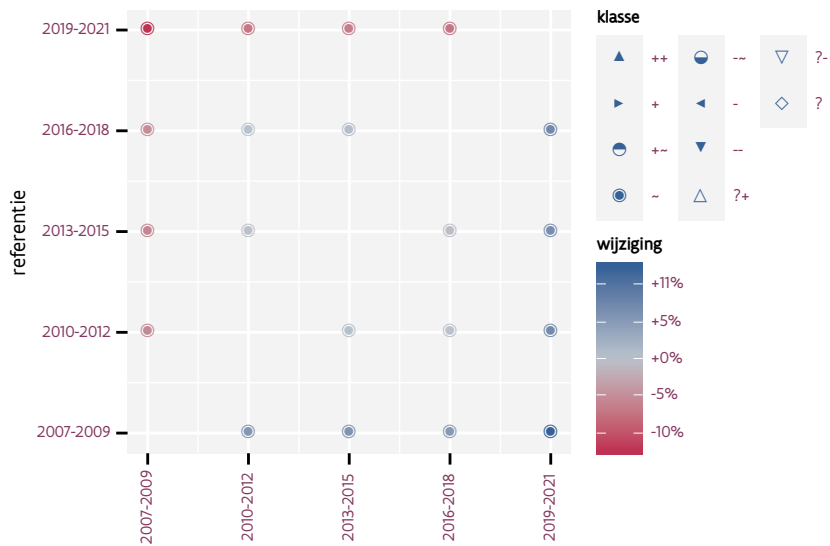


Figuur 21.4: Wijzigingen t.o.v. het eerste jaar voor Boomkruiper. Zie §4.1 voor een verklaring van de intervallen en §4.2 voor uitleg over de symbolen en referentielijnen.

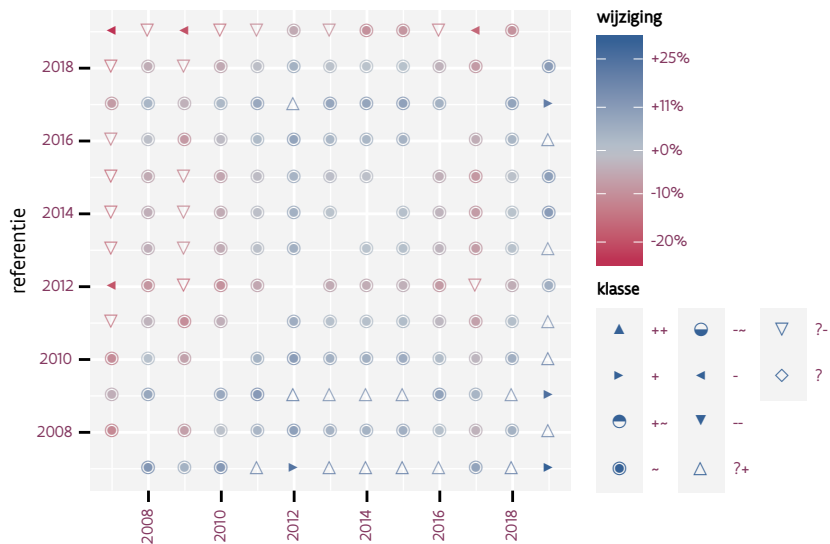
Tabel 21.1: Stratumgewicht, raming aan het aantal hokken waarin de soort aanwezig is, aantal relevant hokken voor de analyse, aantal onderzochte hokken in het stratum, totaal aantal hokken van het stratum in Vlaanderen en aantal bezoeken aan een meetpunt voor Boomkruiper (zie §3.5).

stratum	gewicht	aanwezig	relevant	onderzocht	totaal	bezoeken
Landbouw	69.0%	1081.5	73	426	6311	4783
Bos	11.7%	186.4	111	190	319	7162
Heide en duin	6.6%	102.8	47	91	199	3065
Urbaan	6.0%	90.9	19	87	416	1235
Suburbaan	3.7%	56.2	19	68	201	1193
Moeras en water	2.9%	44.5	26	80	137	1688





Figuur 21.5: Paarsgewijze vergelijking tussen driejarige cycli voor Boomkruiper. Uitleg van de symbolen in tabel 4.1.



Figuur 21.6: Paarsgewijze vergelijking tussen jaren voor Boomkruiper. Uitleg van de symbolen in tabel 4.1.

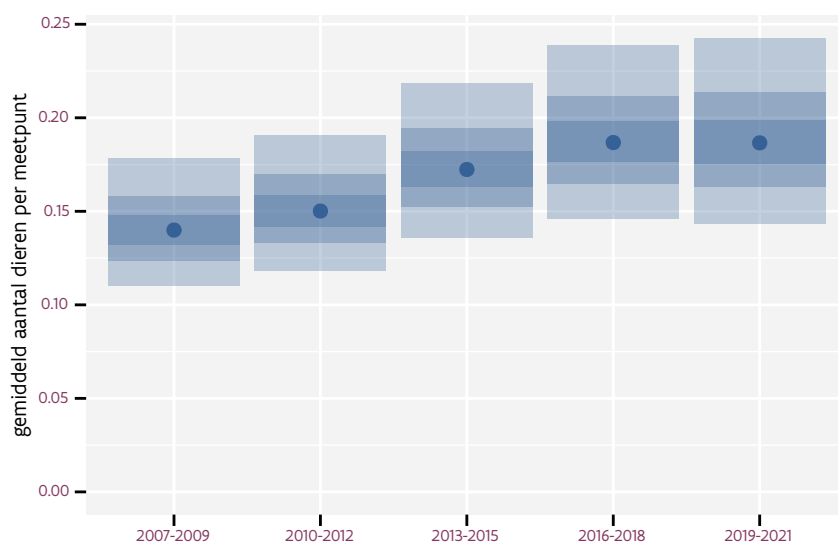
Tabel 21.2: Data-hashes van de analyses in het kader van traceerbaarheid (zie §5.3).

frequentie	model	analyse	status
jaarlijks	lineair	20ba310260bae001a6b1 100b03085c13764c3f92	e3cd36602ef837825949 94cf6a9b5d7d27453e94
jaarlijks	niet-lineair	a08980cb3c14dfbae8f1 cd62c94f78a98d779d45	093ee692ee3914076088 36b08ad03d307256424e
driejaarlijks	lineair	5acac6665e1891998e87 79be1f1bd53b1d9df5af	e11c12bcc6e5cb4d2eb6 1182446882db22a344b3
driejaarlijks	niet-lineair	04461a2f2d8165613e68 6b6fa30497d615dcae07	820d6bc8a458f4b3d8b1 65392654d9b54b1956fd

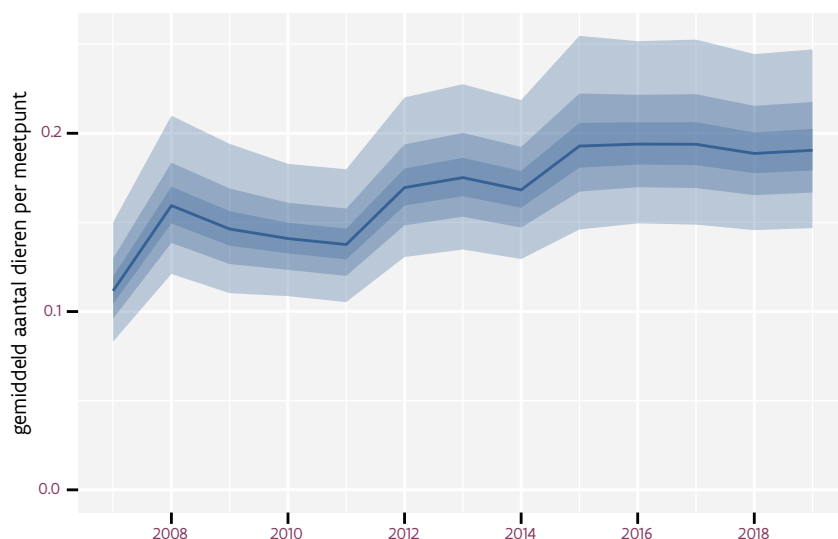
22 BOOMLEEUWERIK

Op basis van driejaarlijkse gegevens zien we gemiddeld een toename met +3.9% (+2.2%; +5.5%) per jaar of +58% (+31%; +91%) over de volledige looptijd van het meetnet. Deze trend is mogelijk niet-lineair.

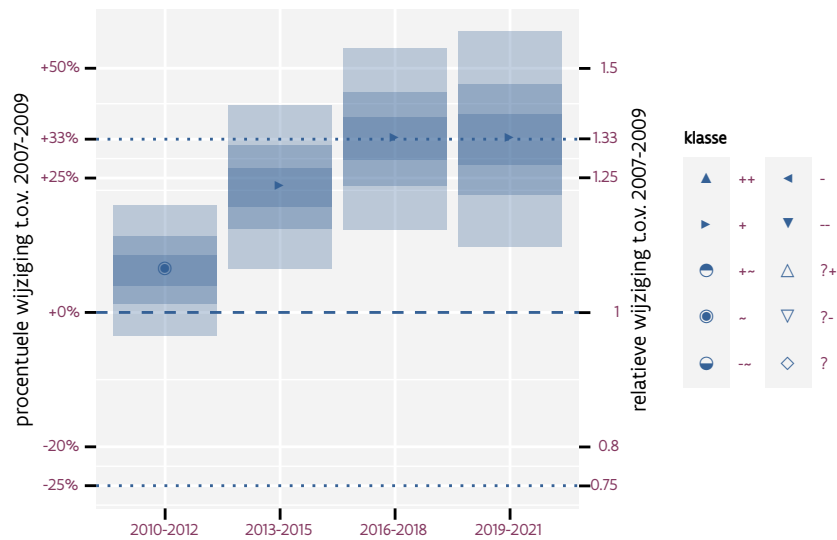
Op basis van jaarlijkse gegevens zien we gemiddeld een sterke toename met +4.1% (+2.5%; +5.7%) per jaar of +62% (+34%; +96%) over de volledige looptijd van het meetnet. Deze trend is niet-lineair.



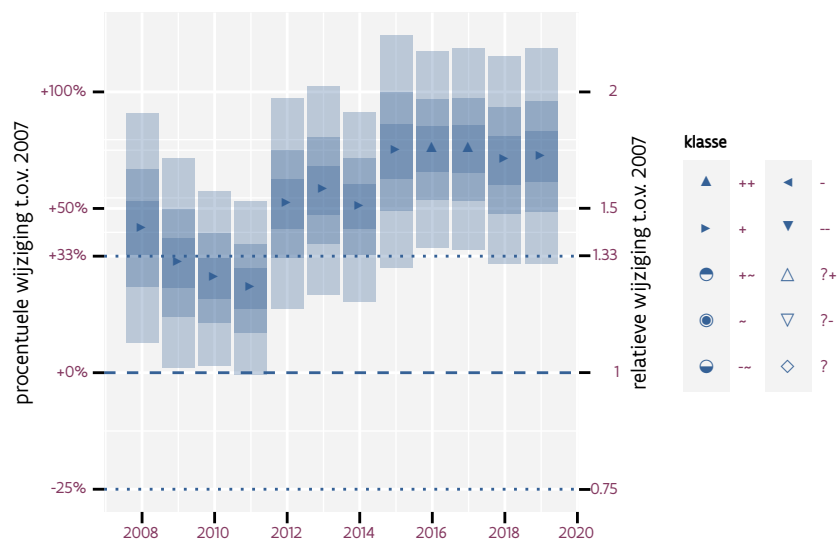
Figuur 22.1: Evolutie van het gemodeleerde gemiddeld aantal waargenomen dieren op een meetpunt voor Boomleeuwerik tijdens de referentieperiode. Zie §4.1 voor een verklaring van de intervallen.



Figuur 22.2: Evolutie van het gemodeleerde gemiddeld aantal waargenomen dieren op een meetpunt voor Boomleeuwerik tijdens de referentieperiode. Zie §4.1 voor een verklaring van de intervallen.



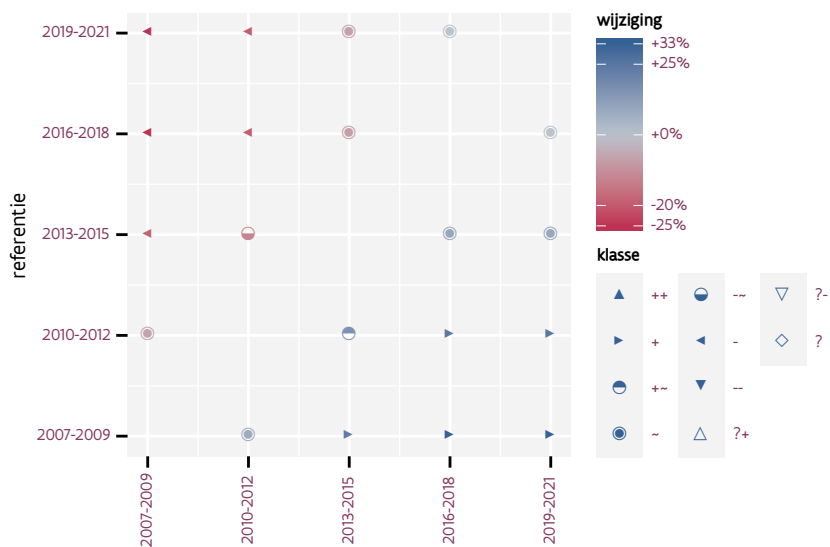
Figuur 22.3: Wijzigingen t.o.v. het eerste driejarige cyclus voor Boomleeuwerik. Zie §4.1 voor een verklaring van de intervallen en §4.2 voor uitleg over de symbolen en referentielijnen.



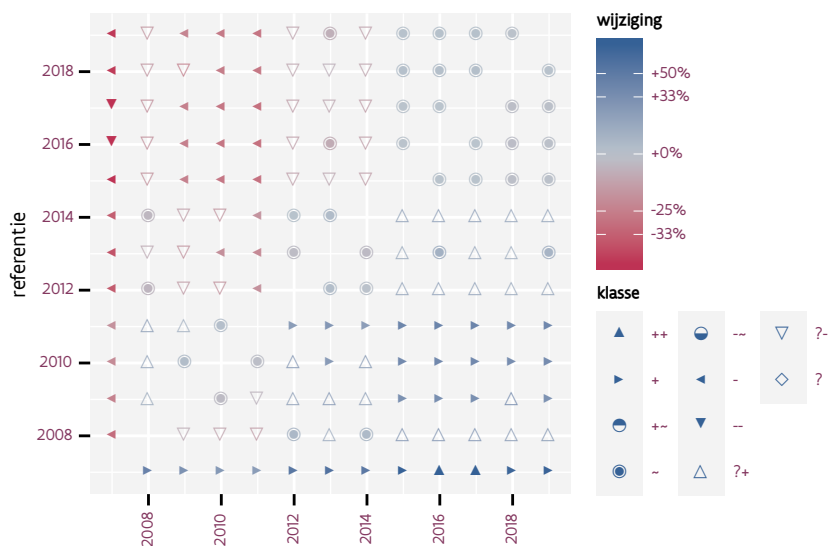
Figuur 22.4: Wijzigingen t.o.v. het eerste jaar voor Boomleeuwerik. Zie §4.1 voor een verklaring van de intervallen en §4.2 voor uitleg over de symbolen en referentielijnen.

Tabel 22.1: Stratumgewicht, raming aan het aantal hokken waarin de soort aanwezig is, aantal relevant hokken voor de analyse, aantal onderzochte hokken in het stratum, totaal aantal hokken van het stratum in Vlaanderen en aantal bezoeken aan een meetpunt voor Boomleeuwerik (zie §3.5).

stratum	gewicht	aanwezig	relevant	onderzocht	totaal	bezoeken
Heide en duin	68.9%	89.7	41	91	199	2813
Bos	24.5%	30.2	18	190	319	1643
Moeras en water	6.6%	6.8	4	80	137	269



Figuur 22.5: Paarsgewijze vergelijking tussen driejarige cycli voor Boomleeuwerik. Uitleg van de symbolen in tabel 4.1.



Figuur 22.6: Paarsgewijze vergelijking tussen jaren voor Boomleeuwerik. Uitleg van de symbolen in tabel 4.1.

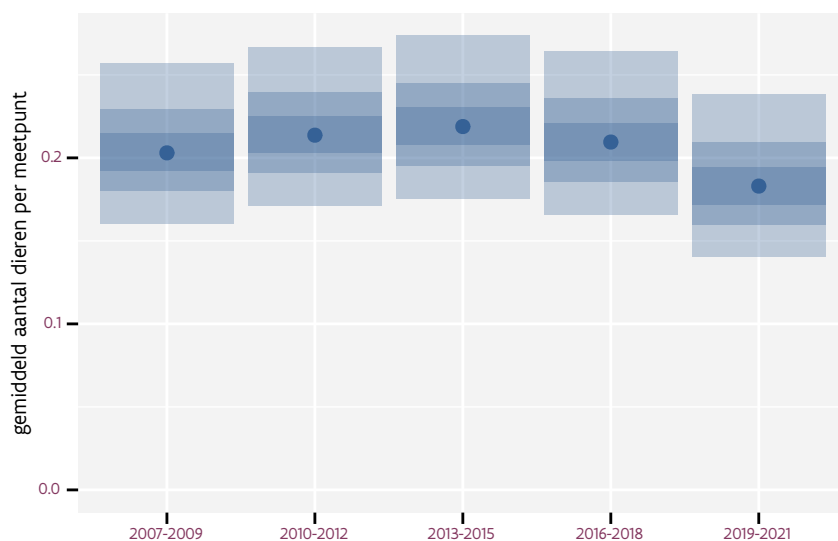
Tabel 22.2: Data-hashes van de analyses in het kader van traceerbaarheid (zie §5.3).

frequentie	model	analyse	status
jaarlijks	lineair	d393fd14831df5ec10ba	f1433977224eb708c778
		7bfa070db1930ad4a84c	2f5f41b9fed25573a404
jaarlijks	niet-lineair	eff91dae8b6185f04d00	1cfae111b079f918f796
		bbe3e475345fe27a18ba	93816dc0bd0000b46222
driejaarlijks	lineair	7743c2ac5d5fa0ef4b27	2e2207aeeb1312718a71
		819c0b7c49e2766db316	e460c6b353cb5c81806f
driejaarlijks	niet-lineair	1212e6f430d605f64126	30a96a75c41823cd4647
		992ab0683c2de8a52900	c2432911f130657b0256

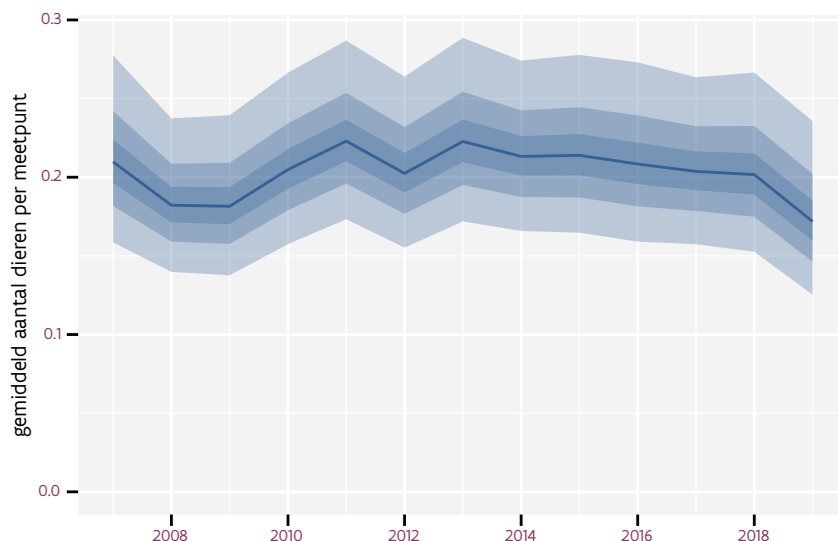
23 BOOMPIEPER

Op basis van driejaarlijkse gegevens zien we gemiddeld een mogelijke toename met +0.3% (-2.0%; +2.6%) per jaar of +3% (-22%; +36%) over de volledige looptijd van het meetnet. Deze trend is niet-lineair.

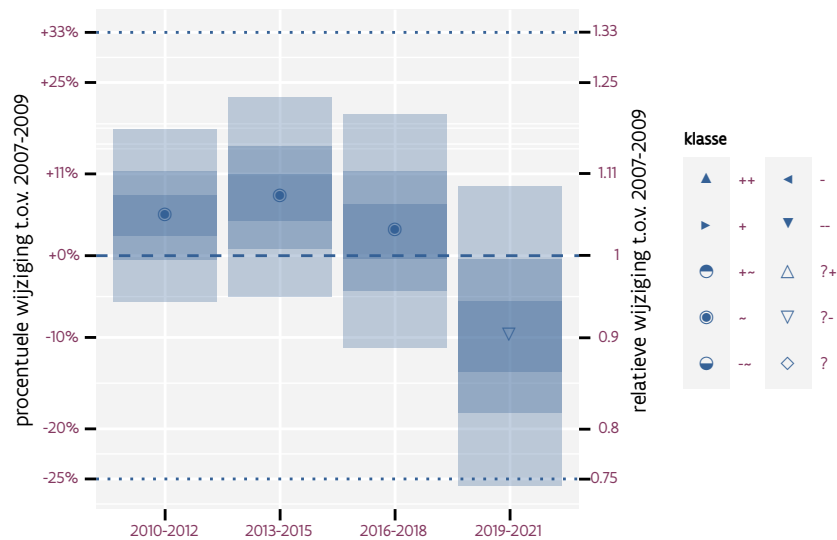
Op basis van jaarlijkse gegevens zien we gemiddeld een mogelijke toename met +0.2% (-2.1%; +2.5%) per jaar of +2% (-23%; +34%) over de volledige looptijd van het meetnet. Deze trend is niet-lineair.



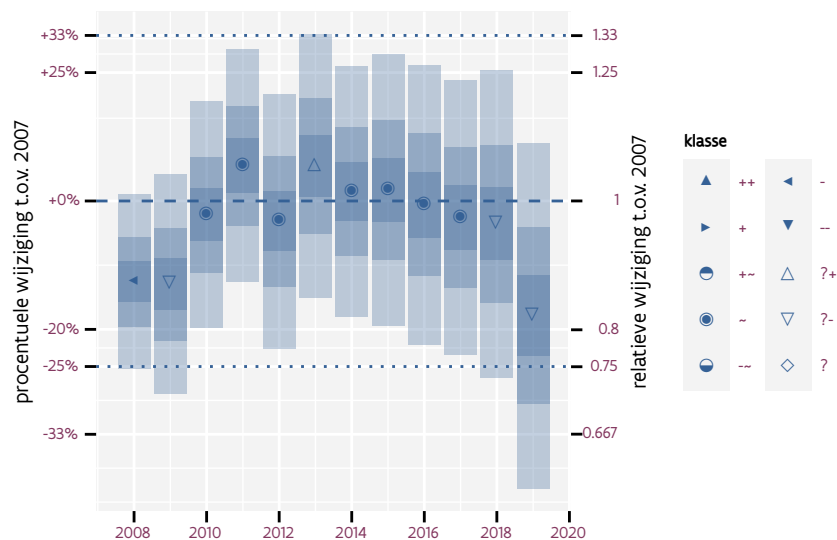
Figuur 23.1: Evolutie van het gemodeleerde gemiddeld aantal waargenomen dieren op een meetpunt voor Boompieper tijdens de referentieperiode. Zie §4.1 voor een verklaring van de intervallen.



Figuur 23.2: Evolutie van het gemodeleerde gemiddeld aantal waargenomen dieren op een meetpunt voor Boompieper tijdens de referentieperiode. Zie §4.1 voor een verklaring van de intervallen.



Figuur 23.3: Wijzigingen t.o.v. het eerste driejarige cyclus voor Boompieper. Zie §4.1 voor een verklaring van de intervallen en §4.2 voor uitleg over de symbolen en referentielijnen.



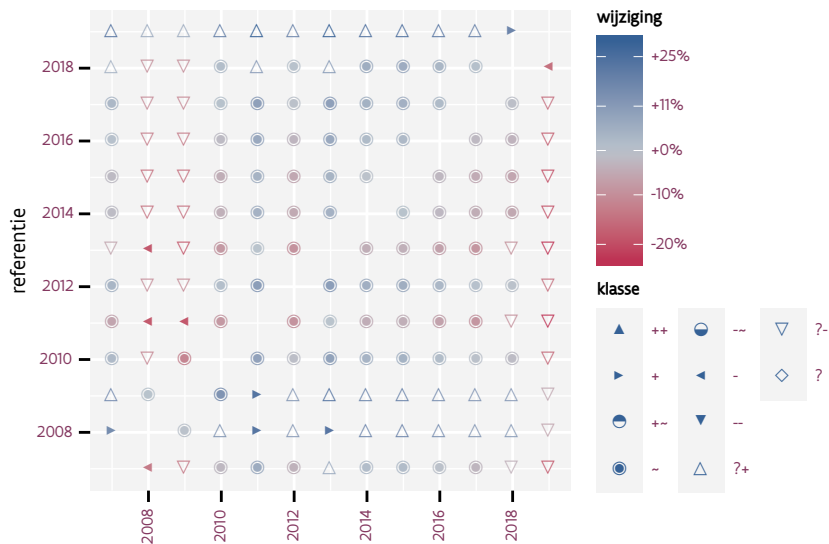
Figuur 23.4: Wijzigingen t.o.v. het eerste jaar voor Boompieper. Zie §4.1 voor een verklaring van de intervallen en §4.2 voor uitleg over de symbolen en referentielijnen.

Tabel 23.1: Stratumgewicht, raming aan het aantal hokken waarin de soort aanwezig is, aantal relevant hokken voor de analyse, aantal onderzochte hokken in het stratum, totaal aantal hokken van het stratum in Vlaanderen en aantal bezoeken aan een meetpunt voor Boompieper (zie §3.5).

stratum	gewicht	aanwezig	relevant	onderzocht	totaal	bezoeken
Landbouw	40.7%	133.3	9	426	6311	715
Heide en duin	33.0%	118.1	54	91	199	3401
Bos	23.0%	83.9	50	190	319	3688
Moeras en water	3.3%	10.3	6	80	137	407



Figuur 23.5: Paarsgewijze vergelijking tussen driejarige cycli voor Boompieper. Uitleg van de symbolen in tabel 4.1.



Figuur 23.6: Paarsgewijze vergelijking tussen jaren voor Boompieper. Uitleg van de symbolen in tabel 4.1.

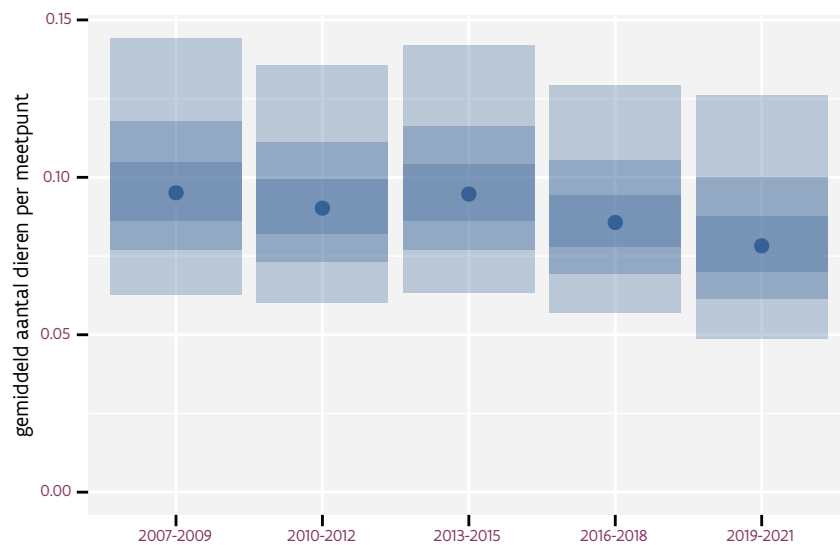
Tabel 23.2: Data-hashes van de analyses in het kader van traceerbaarheid (zie §5.3).

frequentie	model	analyse	status
jaarlijks	lineair	25af4edd26471a1b7032 00c0b754bed9281d221a	bb1a73c953b8f364ff6f ef6c6b27faf12a957841
jaarlijks	niet-lineair	a1888960935670b2e618 800ac26243e5079b6e04	f745af82f574657fe660 f9469db4e3df0fd12655
driejaarlijks	lineair	8385388b264252e5795c bc13cdc45fd56b8bd758	ada29e1d818f0fd2a190 49db8fa2aaab44c64051
driejaarlijks	niet-lineair	4b401c3ad41087f6f2bb 70f9f5b51ccbd9eb0ef0	c38c2fe192b466adef29 f16d3a6c28dcbcd1291

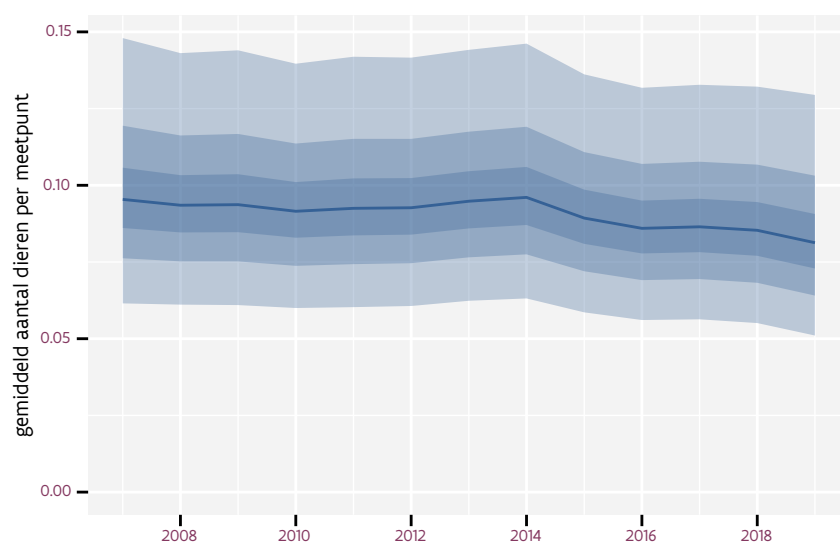
24 BOSRIETZANGER

Op basis van driejaarlijkse gegevens zien we gemiddeld een mogelijk afname met -2.8% (-6.3%; +0.9%) per jaar of -28% (-54%; +11%) over de volledige looptijd van het meetnet. Deze trend is mogelijk niet-lineair.

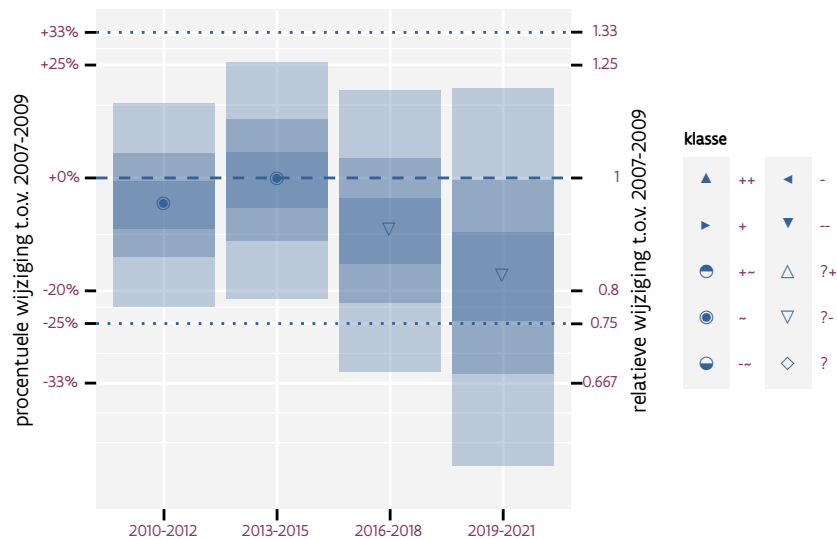
Op basis van jaarlijkse gegevens zien we gemiddeld een mogelijk afname met -2.1% (-5.7%; +1.5%) per jaar of -23% (-50%; +20%) over de volledige looptijd van het meetnet. Deze trend is mogelijk niet-lineair.



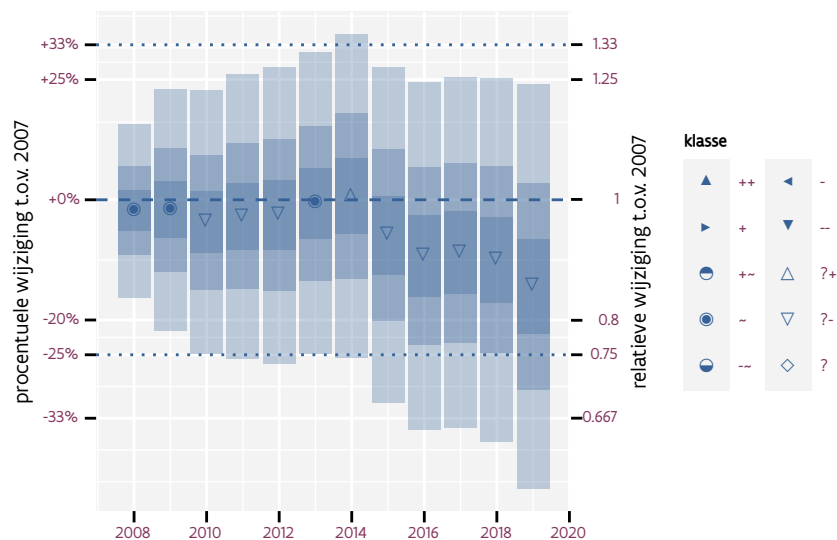
Figuur 24.1: Evolutie van het gemodeleerde gemiddeld aantal waargenomen dieren op een meetpunt voor Bosrietzanger tijdens de referentieperiode. Zie §4.1 voor een verklaring van de intervallen.



Figuur 24.2: Evolutie van het gemodeleerde gemiddeld aantal waargenomen dieren op een meetpunt voor Bosrietzanger tijdens de referentieperiode. Zie §4.1 voor een verklaring van de intervallen.



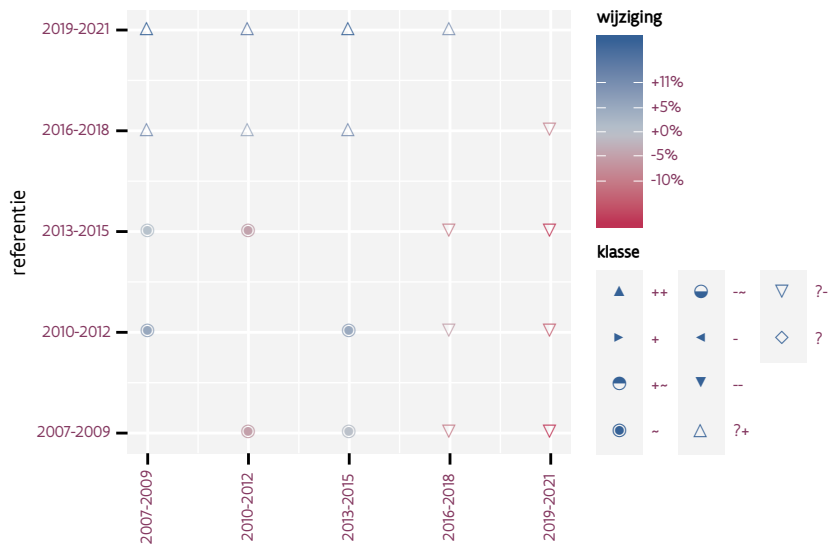
Figuur 24.3: Wijzigingen t.o.v. het eerste driejarige cyclus voor Bosrietzanger. Zie §4.1 voor een verklaring van de intervallen en §4.2 voor uitleg over de symbolen en referentielijnen.



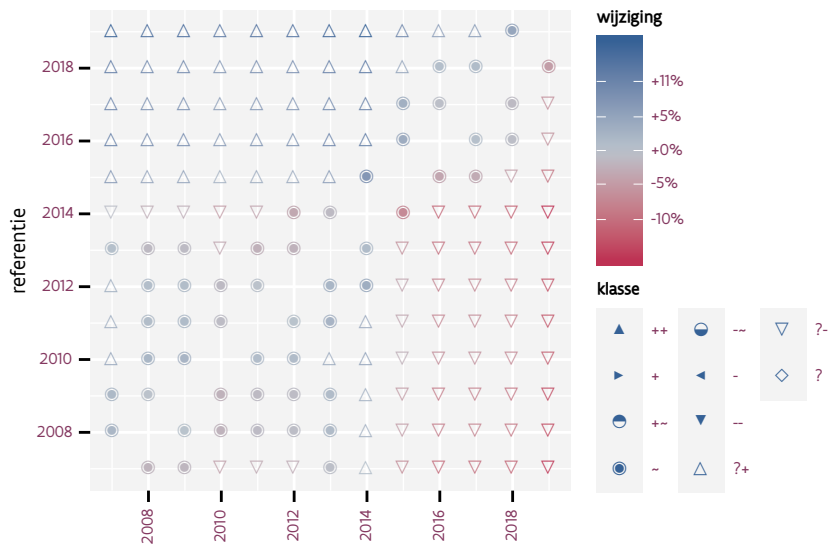
Figuur 24.4: Wijzigingen t.o.v. het eerste jaar voor Bosrietzanger. Zie §4.1 voor een verklaring van de intervallen en §4.2 voor uitleg over de symbolen en referentielijnen.

Tabel 24.1: Stratumgewicht, raming aan het aantal hokken waarin de soort aanwezig is, aantal relevant hokken voor de analyse, aantal onderzochte hokken in het stratum, totaal aantal hokken van het stratum in Vlaanderen en aantal bezoeken aan een meetpunt voor Bosrietzanger (zie §3.5).

stratum	gewicht	aanwezig	relevant	onderzocht	totaal	bezoeken
Landbouw	84.7%	370.4	25	426	6311	1080
Moeras en water	8.6%	36.0	21	80	137	911
Suburbaan	4.7%	17.7	6	68	201	304
Heide en duin	2.0%	6.6	3	91	199	128



Figuur 24.5: Paarsgewijze vergelijking tussen driejarige cycli voor Bosrietzanger. Uitleg van de symbolen in tabel 4.1.



Figuur 24.6: Paarsgewijze vergelijking tussen jaren voor Bosrietzanger. Uitleg van de symbolen in tabel 4.1.

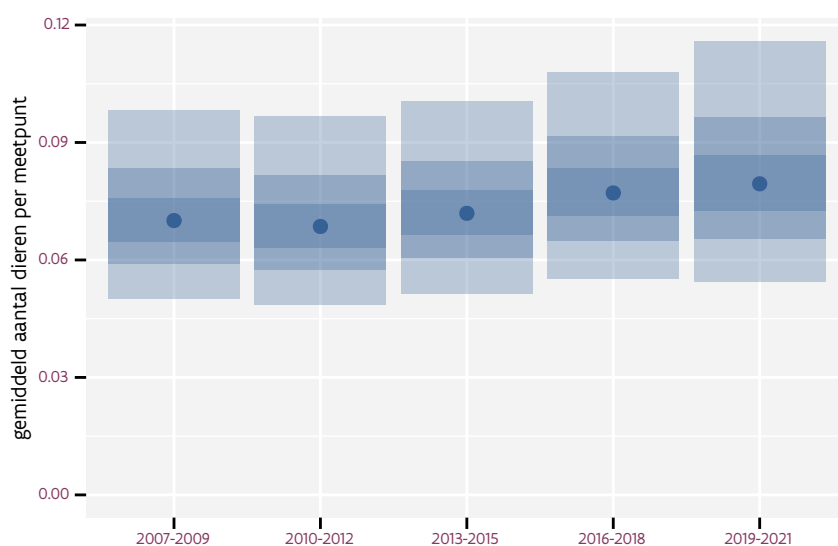
Tabel 24.2: Data-hashes van de analyses in het kader van traceerbaarheid (zie §5.3).

frequentie	model	analyse	status
jaarlijks	lineair	8e238ab4bbd1814c46c2 fb5c6b945e91a3c10a72	911fd41abce75b5111ad 32137280c4fefb20d649
jaarlijks	niet-lineair	36fd51ebec52bba080ba 8a0ce8240a187d059ed7	52bd6dbd8c4d7e8fdcc1 5acc398cf1de2fa2da83
driejaarlijks	lineair	ec8b167cbfce075d24c0 80d46c0227fa92a4fcc7	e1bd304ee09d5071405d e1453e0868c5f6aa65dd
driejaarlijks	niet-lineair	b6f9c71f08a2b591b2dd b222dee3628479356096	82a1ac43bbe10cf6e29f 700d4bcc1bcb8683fde0

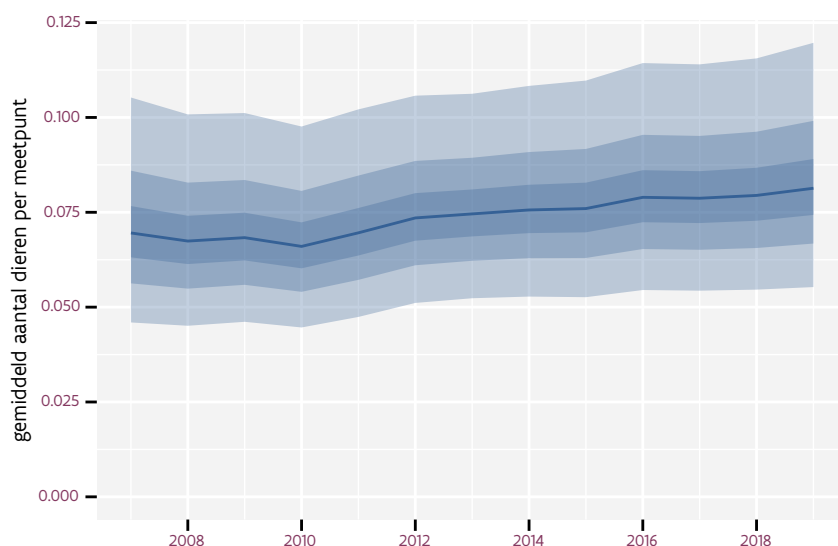
25 BRUINE KIEKENDIEF

Op basis van driejaarlijkse gegevens zien we gemiddeld een mogelijke toename met +2.3% (-1.4%; +6.2%) per jaar of +32% (-16%; +107%) over de volledige looptijd van het meetnet. Deze trend is lineair.

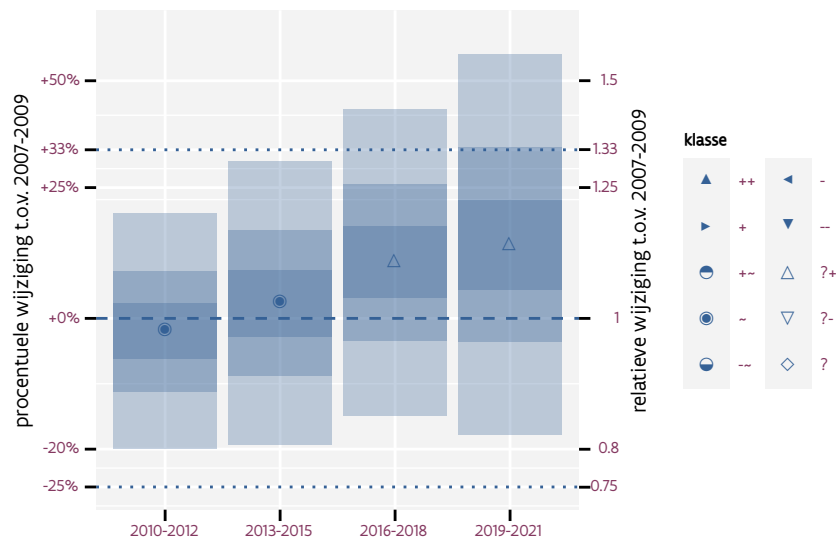
Op basis van jaarlijkse gegevens zien we gemiddeld een mogelijke toename met +2.6% (-1.2%; +6.5%) per jaar of +35% (-14%; +113%) over de volledige looptijd van het meetnet. Deze trend is lineair.



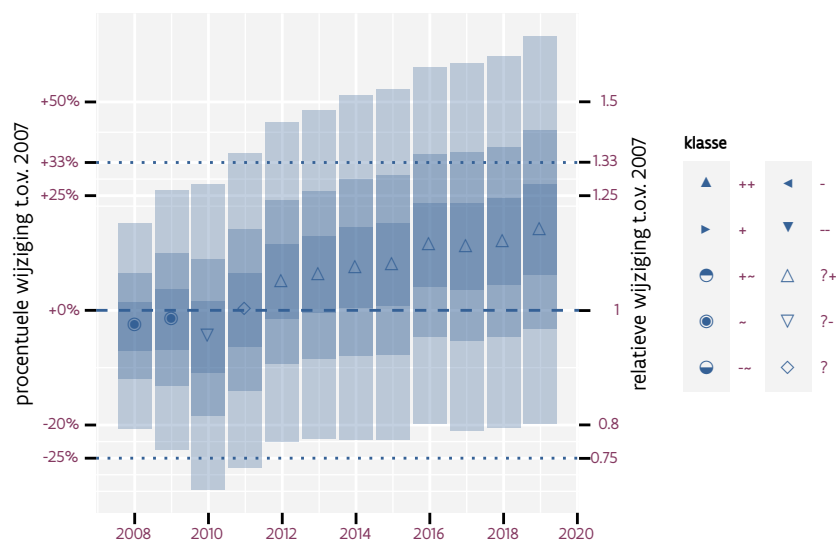
Figuur 25.1: Evolutie van het gemodeleerde gemiddeld aantal waargenomen dieren op een meetpunt voor Bruine kiekendief tijdens de referentieperiode. Zie §4.1 voor een verklaring van de intervallen.



Figuur 25.2: Evolutie van het gemodeleerde gemiddeld aantal waargenomen dieren op een meetpunt voor Bruine kiekendief tijdens de referentieperiode. Zie §4.1 voor een verklaring van de intervallen.



Figuur 25.3: Wijzigingen t.o.v. het eerste driejarige cyclus voor Bruine kiekendief. Zie §4.1 voor een verklaring van de intervallen en §4.2 voor uitleg over de symbolen en referentielijnen.



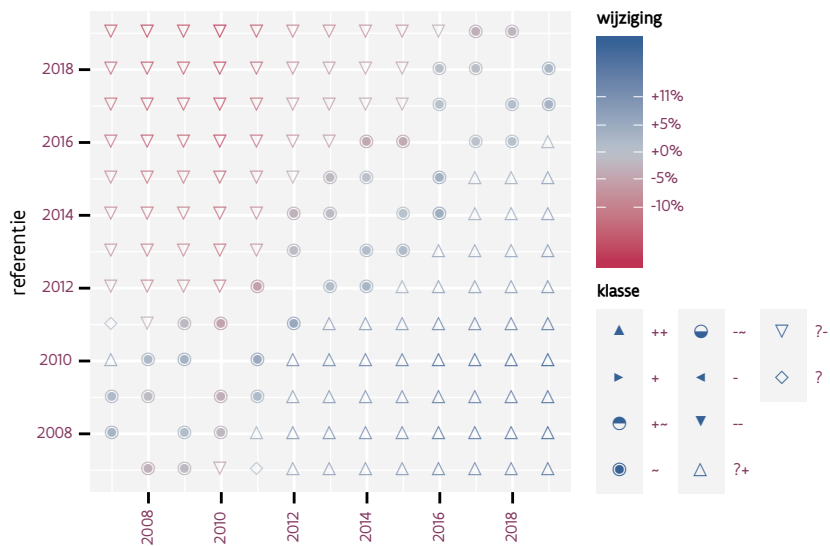
Figuur 25.4: Wijzigingen t.o.v. het eerste jaar voor Bruine kiekendief. Zie §4.1 voor een verklaring van de intervallen en §4.2 voor uitleg over de symbolen en referentielijnen.

Tabel 25.1: Stratumgewicht, raming aan het aantal hokken waarin de soort aanwezig is, aantal relevant hokken voor de analyse, aantal onderzochte hokken in het stratum, totaal aantal hokken van het stratum in Vlaanderen en aantal bezoeken aan een meetpunt voor Bruine kiekendief (zie §3.5).

stratum	gewicht	aanwezig	relevant	onderzocht	totaal	bezoeken
Landbouw	96.1%	296.3	20	426	6311	1370
Moeras en water	3.9%	10.3	6	80	137	335



Figuur 25.5: Paarsgewijze vergelijking tussen driejarige cycli voor Bruine kiekendief. Uitleg van de symbolen in tabel 4.1.



Figuur 25.6: Paarsgewijze vergelijking tussen jaren voor Bruine kiekendief. Uitleg van de symbolen in tabel 4.1.

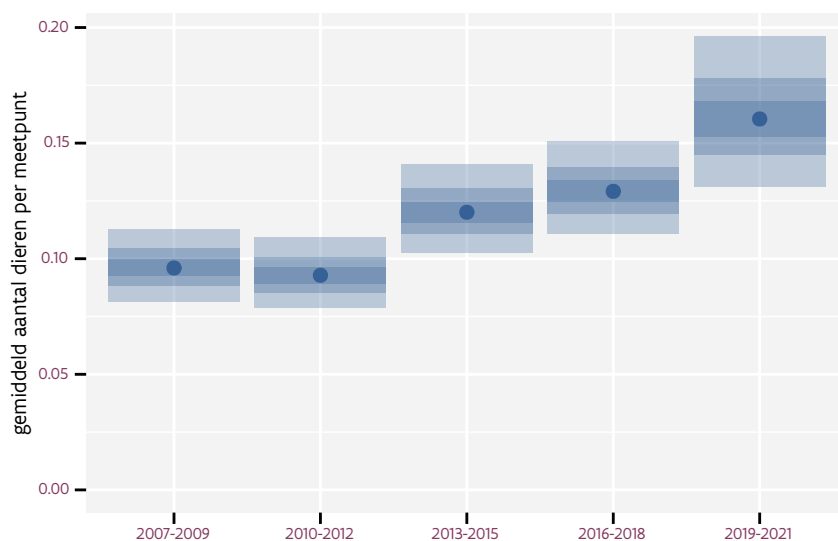
Tabel 25.2: Data-hashes van de analyses in het kader van traceerbaarheid (zie §5.3).

frequentie	model	analyse	status
jaarlijks	lineair	2d40b7fd7cada96e24c2 1d4795581491c8410b44	4637c694f333f3ffa5ca 60c92cf9c017f5c03f80
jaarlijks	niet-lineair	7aaca5de093b65399a5f 591d3ece48a39df61255	c9bfbb80e09f92ab5716 18f479121efe345770a0
driejaarlijks	lineair	b8346c08bc51220c2658 c8a287502fb324be85d7	0168c997cbe9072b8efc a1f209930954dfe10380
driejaarlijks	niet-lineair	317abc6b12928fafd9d9 193ca04d821ed6337b8d	52d57cda8c56d214dbc0 3eaf5f3f36d1b62e7dd6

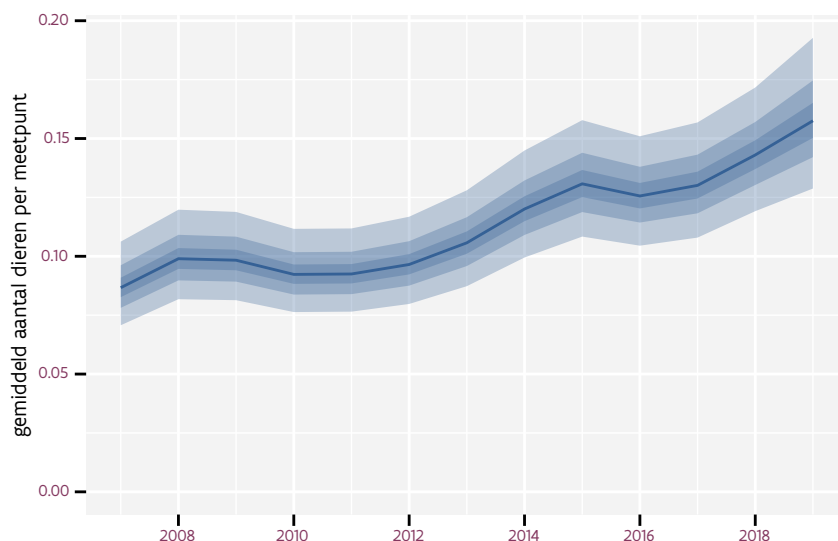
26 BUIZERD

Op basis van driejaarlijkse gegevens zien we gemiddeld een sterke toename met +4.5% (+3.2%; +5.8%) per jaar of +70% (+46%; +97%) over de volledige looptijd van het meetnet. Deze trend is niet-lineair.

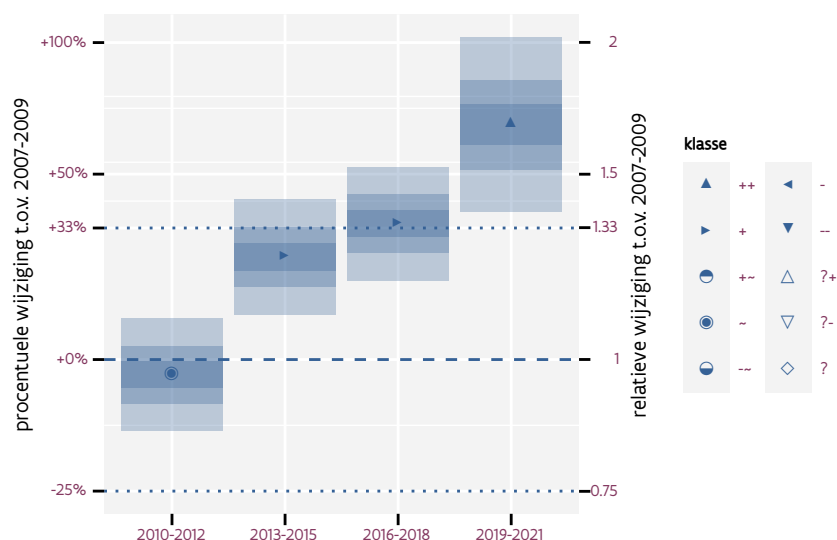
Op basis van jaarlijkse gegevens zien we gemiddeld een sterke toename met +4.8% (+3.5%; +6.1%) per jaar of +75.5% (+50.9%; +104.2%) over de volledige looptijd van het meetnet. Deze trend is niet-lineair.



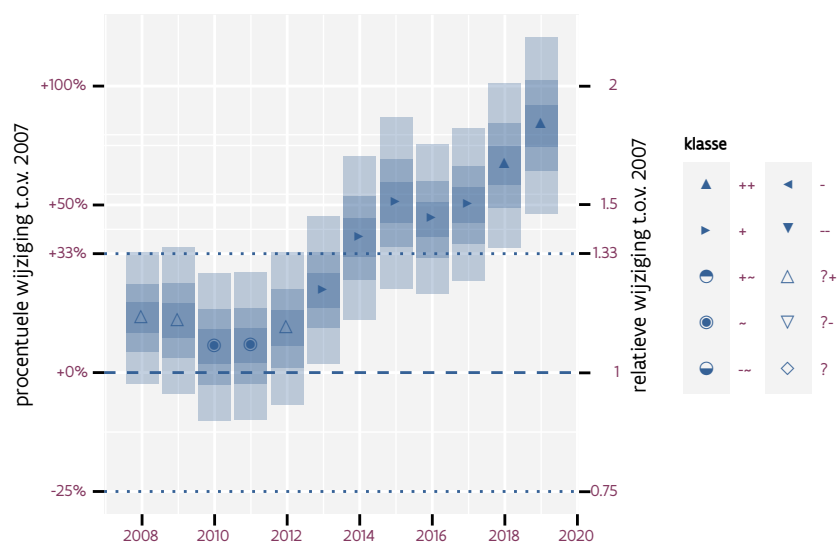
Figuur 26.1: Evolutie van het gemodeleerde gemiddeld aantal waargenomen dieren op een meetpunt voor Buizerd tijdens de referentieperiode. Zie §4.1 voor een verklaring van de intervallen.



Figuur 26.2: Evolutie van het gemodeleerde gemiddeld aantal waargenomen dieren op een meetpunt voor Buizerd tijdens de referentieperiode. Zie §4.1 voor een verklaring van de intervallen.



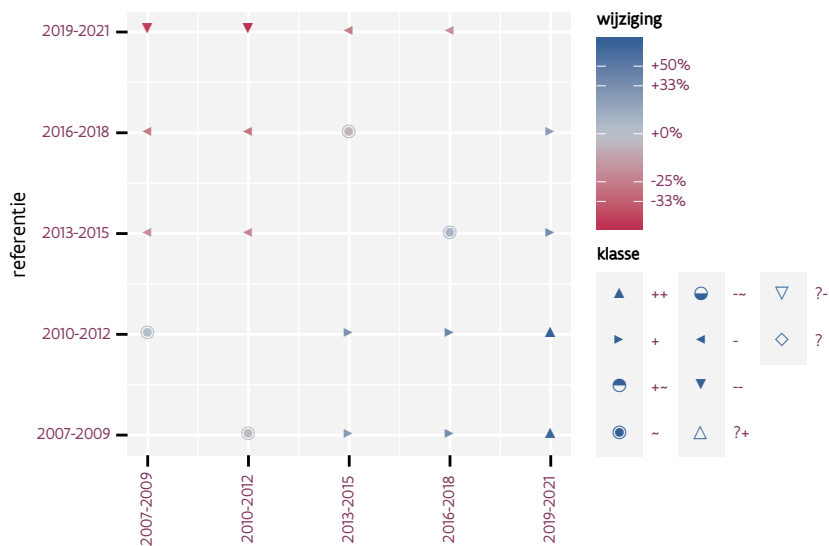
Figuur 26.3: Wijzigingen t.o.v. het eerste driejarige cyclus voor Buizerd. Zie §4.1 voor een verklaring van de intervallen en §4.2 voor uitleg over de symbolen en referentielijnen.



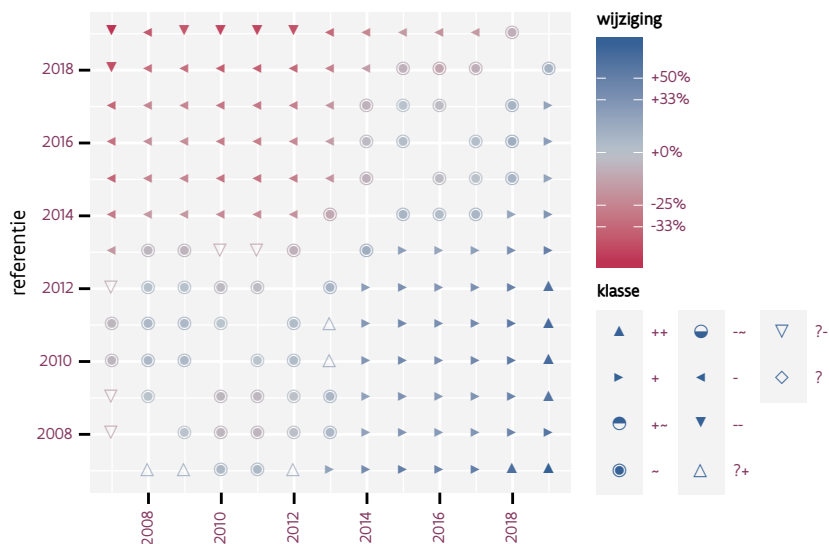
Figuur 26.4: Wijzigingen t.o.v. het eerste jaar voor Buizerd. Zie §4.1 voor een verklaring van de intervallen en §4.2 voor uitleg over de symbolen en referentielijnen.

Tabel 26.1: Stratumgewicht, raming aan het aantal hokken waarin de soort aanwezig is, aantal relevant hokken voor de analyse, aantal onderzochte hokken in het stratum, totaal aantal hokken van het stratum in Vlaanderen en aantal bezoeken aan een meetpunt voor Buizerd (zie §3.5).

stratum	gewicht	aanwezig	relevant	onderzocht	totaal	bezoeken
Landbouw	87.5%	2266.6	153	426	6311	9859
Bos	6.6%	172.9	103	190	319	6694
Heide en duin	3.3%	83.1	38	91	199	2667
Moeras en water	1.8%	46.2	27	80	137	1707
Suburbaan	0.8%	17.7	6	68	201	354



Figuur 26.5: Paarsgewijze vergelijking tussen driejarige cycli voor Buizerd. Uitleg van de symbolen in tabel 4.1.



Figuur 26.6: Paarsgewijze vergelijking tussen jaren voor Buizerd. Uitleg van de symbolen in tabel 4.1.

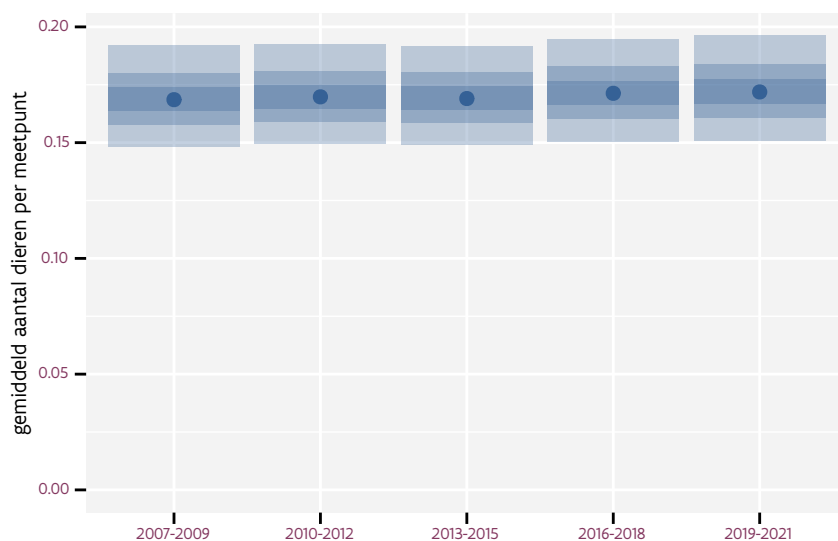
Tabel 26.2: Data-hashes van de analyses in het kader van traceerbaarheid (zie §5.3).

frequentie	model	analyse	status
jaarlijks	lineair	2e3dc91591d80772596f bedf3832dfa61455ddb9	1d5b8313b7268434eaef 6a845f78f9daf4d88856
jaarlijks	niet-lineair	b3d59a59ecc7506b9924 ef8ecd66508789c523c8	aa08551f6555e37c0459 54de9bd372376566beb5
driejaarlijks	lineair	121c53c3fd5cd5218251 4e75ef0250c553f05432	e89691e67af772ccefc3c 278d7dd4688a74180cb8
driejaarlijks	niet-lineair	f044d277504218eb0596 cb3bcf0904ff4f559d5e	f4f6efa23f0e034d393c f96c140bb96ee3c0e664

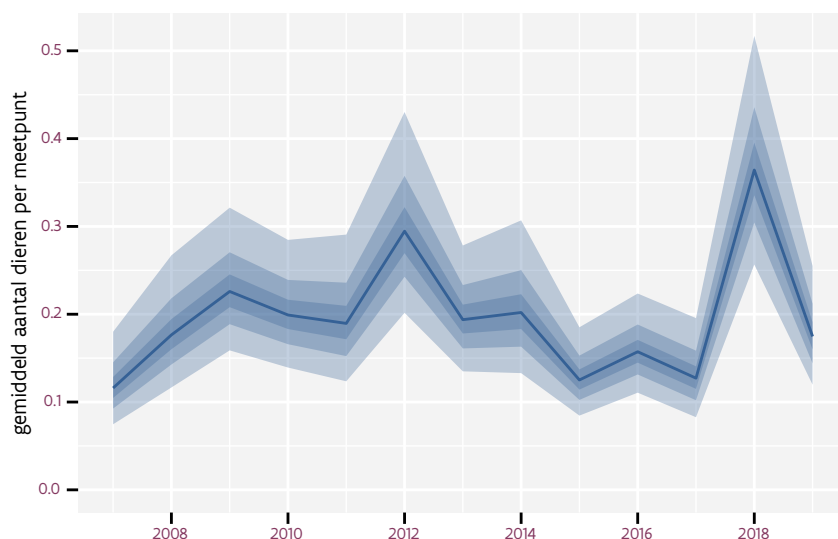
27 CANADESE GANS

Op basis van driejaarlijkse gegevens zien we gemiddeld een mogelijke toename met +1.3% (-0.2%; +2.8%) per jaar of +16% (-3%; +39%) over de volledige looptijd van het meetnet. Deze trend is niet-lineair.

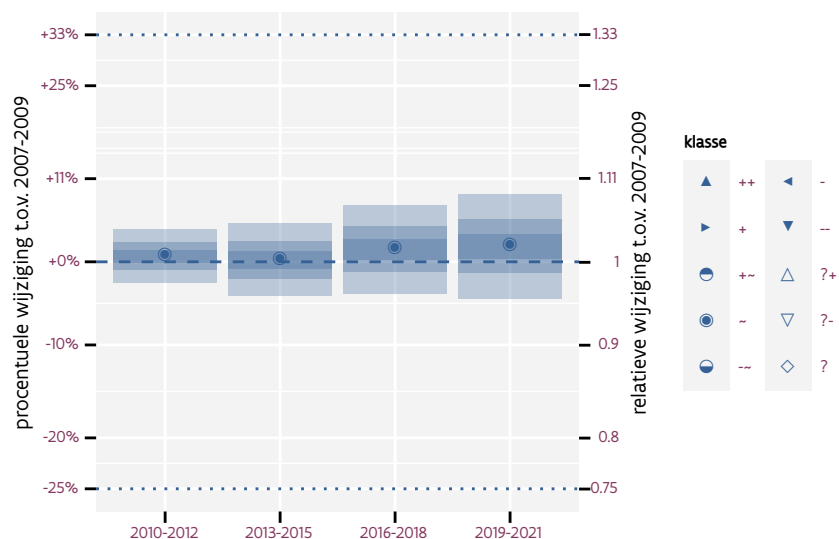
Op basis van jaarlijkse gegevens zien we gemiddeld een toename met +1.6% (+0.1%; +3.1%) per jaar of +21% (+1%; +45%) over de volledige looptijd van het meetnet. Deze trend is niet-lineair.



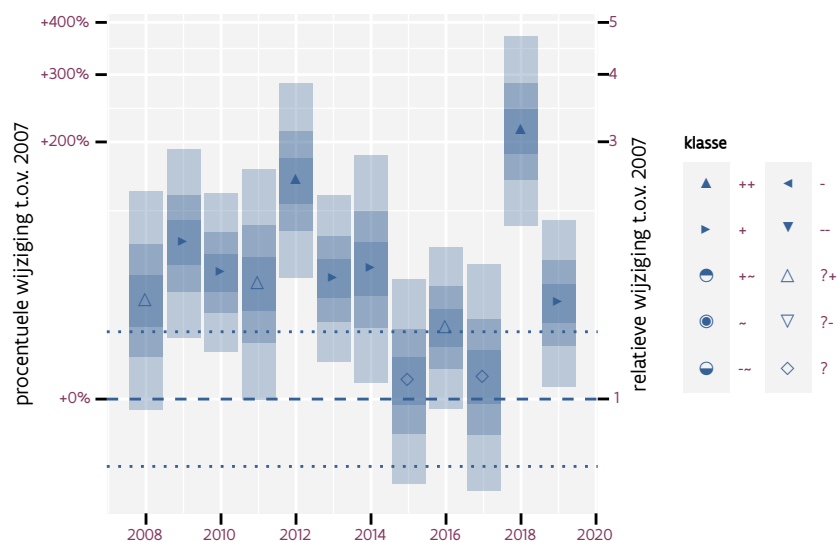
Figuur 27.1: Evolutie van het gemodeleerde gemiddeld aantal waargenomen dieren op een meetpunt voor Canadese gans tijdens de referentieperiode. Zie §4.1 voor een verklaring van de intervallen.



Figuur 27.2: Evolutie van het gemodeleerde gemiddeld aantal waargenomen dieren op een meetpunt voor Canadese gans tijdens de referentieperiode. Zie §4.1 voor een verklaring van de intervallen.



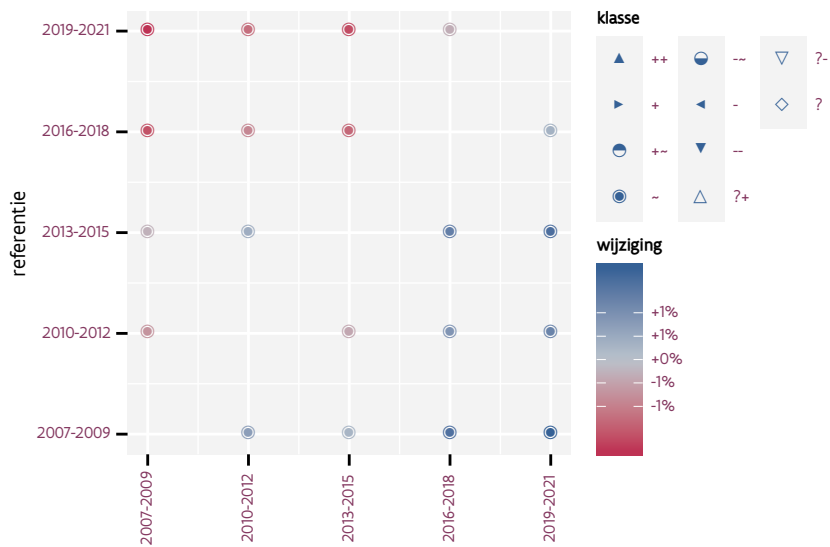
Figuur 27.3: Wijzigingen t.o.v. het eerste driejarige cyclus voor Canadese gas. Zie §4.1 voor een verklaring van de intervallen en §4.2 voor uitleg over de symbolen en referentielijnen.



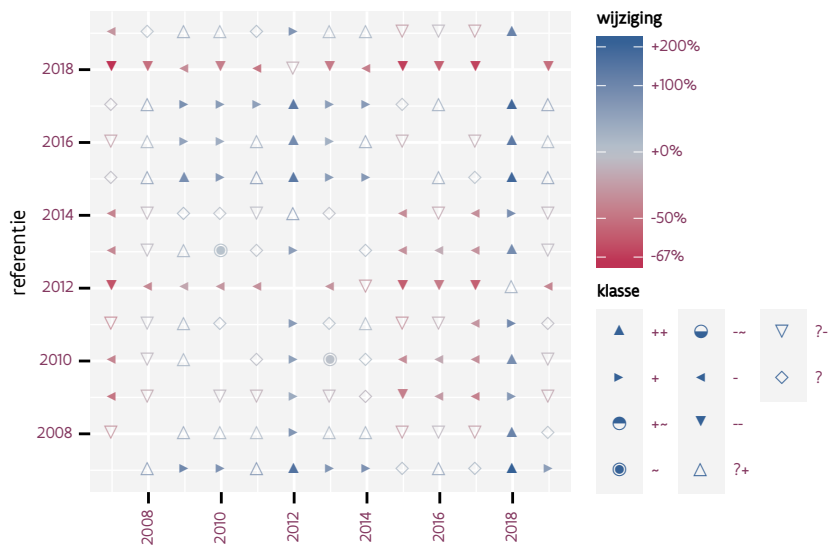
Figuur 27.4: Wijzigingen t.o.v. het eerste jaar voor Canadese gas. Zie §4.1 voor een verklaring van de intervallen en §4.2 voor uitleg over de symbolen en referentielijnen.

Tabel 27.1: Stratumgewicht, raming aan het aantal hokken waarin de soort aanwezig is, aantal relevant hokken voor de analyse, aantal onderzochte hokken in het stratum, totaal aantal hokken van het stratum in Vlaanderen en aantal bezoeken aan een meetpunt voor Canadese gas (zie §3.5).

stratum	gewicht	aanwezig	relevant	onderzocht	totaal	bezoeken
Landbouw	86.8%	1348.1	91	426	6311	5652
Heide en duin	4.2%	63.4	29	91	199	1910
Moeras en water	4.2%	63.4	37	80	137	2266
Suburbaan	1.9%	26.6	9	68	201	719
Urbaan	1.8%	23.9	5	87	416	323
Bos	1.1%	15.1	9	190	319	717



Figuur 27.5: Paarsgewijze vergelijking tussen driejarige cycli voor Canadese gans. Uitleg van de symbolen in tabel 4.1.



Figuur 27.6: Paarsgewijze vergelijking tussen jaren voor Canadese gans. Uitleg van de symbolen in tabel 4.1.

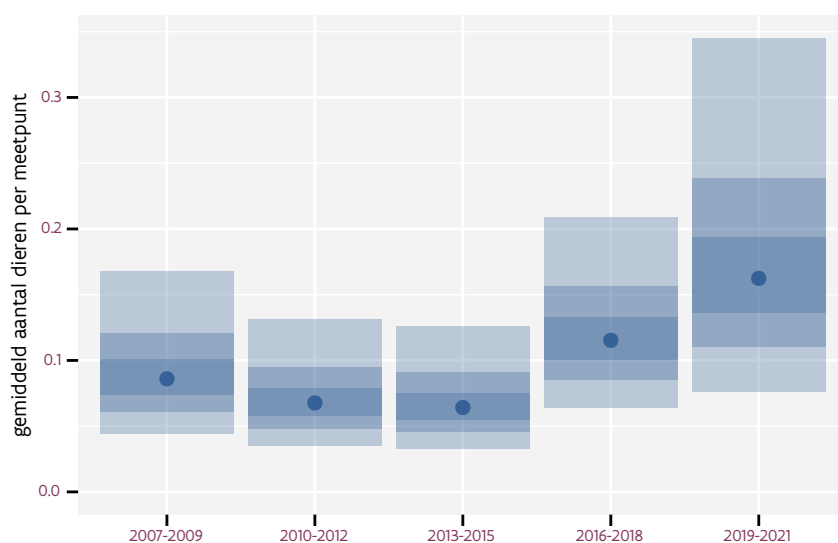
Tabel 27.2: Data-hashes van de analyses in het kader van traceerbaarheid (zie §5.3).

frequentie	model	analyse	status
jaarlijks	lineair	746b2d46342c4ba7dd73	e383c6a022fd328f52a0
		15721aac288bec44420b	8028f380ca0fd4de9d76
jaarlijks	niet-lineair	08a28a70166bbad12933	1ffc93746ac94e3518cc
		b339e02ae67f01baf26a	2530188a7e8d591fcbed
driejaarlijks	lineair	1522f43b643dee3250d7	431c7a3f5208759ee5a0
		45cc66f7538ffa923d61	6bd51d21a9dcbcd1d025
driejaarlijks	niet-lineair	fdc808053326d72ff57f	5a176b9a90ba234cad91
		45647294eb64ec4ae3ac	35c053aee8c2a02b3e04

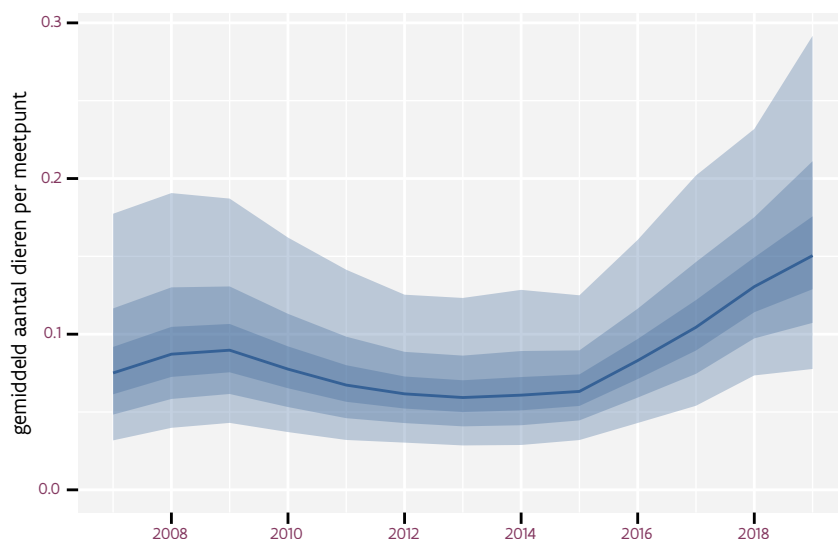
28 CETTI'S ZANGER

Op basis van driejaarlijkse gegevens zien we gemiddeld een mogelijke toename met +5.9% (-1.5%; +13.9%) per jaar of +100% (-20%; +380%) over de volledige looptijd van het meetnet. Deze trend is niet-lineair.

Op basis van jaarlijkse gegevens zien we gemiddeld een mogelijke toename met +6.1% (-1.4%; +14.2%) per jaar of +100% (-20%; +390%) over de volledige looptijd van het meetnet. Deze trend is niet-lineair.



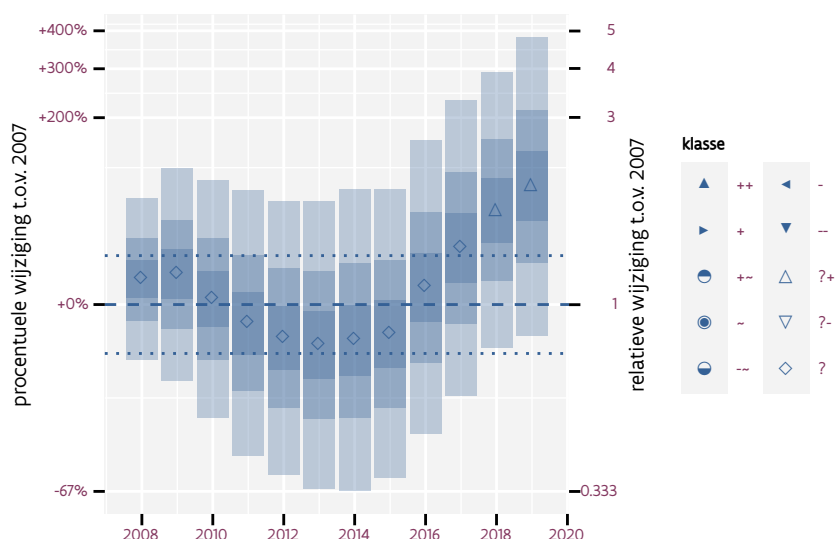
Figuur 28.1: Evolutie van het gemodeleerde gemiddeld aantal waargenomen dieren op een meetpunt voor Cetti's zanger tijdens de referentieperiode. Zie §4.1 voor een verklaring van de intervallen.



Figuur 28.2: Evolutie van het gemodeleerde gemiddeld aantal waargenomen dieren op een meetpunt voor Cetti's zanger tijdens de referentieperiode. Zie §4.1 voor een verklaring van de intervallen.



Figuur 28.3: Wijzigingen t.o.v. het eerste driejarige cyclus voor Cetti's zanger. Zie §4.1 voor een verklaring van de intervallen en §4.2 voor uitleg over de symbolen en referentielijnen.



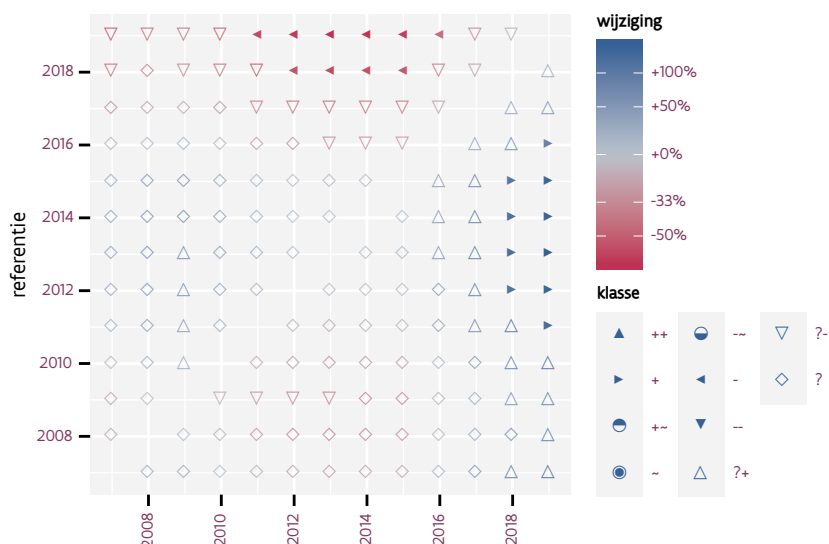
Figuur 28.4: Wijzigingen t.o.v. het eerste jaar voor Cetti's zanger. Zie §4.1 voor een verklaring van de intervallen en §4.2 voor uitleg over de symbolen en referentielijnen.

Tabel 28.1: Stratumgewicht, raming aan het aantal hokken waarin de soort aanwezig is, aantal relevant hokken voor de analyse, aantal onderzochte hokken in het stratum, totaal aantal hokken van het stratum in Vlaanderen en aantal bezoeken aan een meetpunt voor Cetti's zanger (zie §3.5).

stratum	gewicht	aanwezig	relevant	onderzocht	totaal	bezoeken
Landbouw	67.5%	59.3	4	426	6311	250
Moeras en water	17.6%	13.7	8	80	137	485
Heide en duin	14.9%	10.9	5	91	199	155



Figuur 28.5: Paarsgewijze vergelijking tussen driejarige cycli voor Cetti's zanger. Uitleg van de symbolen in tabel 4.1.



Figuur 28.6: Paarsgewijze vergelijking tussen jaren voor Cetti's zanger. Uitleg van de symbolen in tabel 4.1.

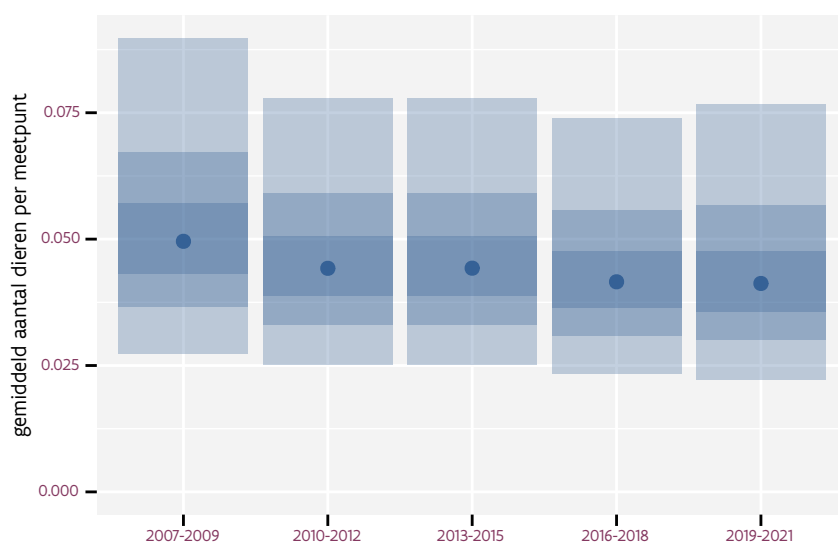
Tabel 28.2: Data-hashes van de analyses in het kader van traceerbaarheid (zie §5.3).

frequentie	model	analyse	status
jaarlijks	lineair	90b334521ae1e377e179 7c86ff650e4dad15dd0e	a562e0455b1720eb71d7 75c9164280d91bc15b75
jaarlijks	niet-lineair	34aeecd0952d602c5e37 b72ee4304cf941fcc7f5	6d2fb63812a4fc83321a 5a5196fe96f4f554d63e
driejaarlijks	lineair	55850fa5d17f04e610fa 0d2c2b71ae31e2c1b88e	3f3afefed9ca1a4344af 540c16d417dc42eb6c80
driejaarlijks	niet-lineair	8ad5994f03dcf5d4b6af 4098da4acf329dd4a4e7	df25bec71a6734a8809d 17d3978d59b44b8aceda

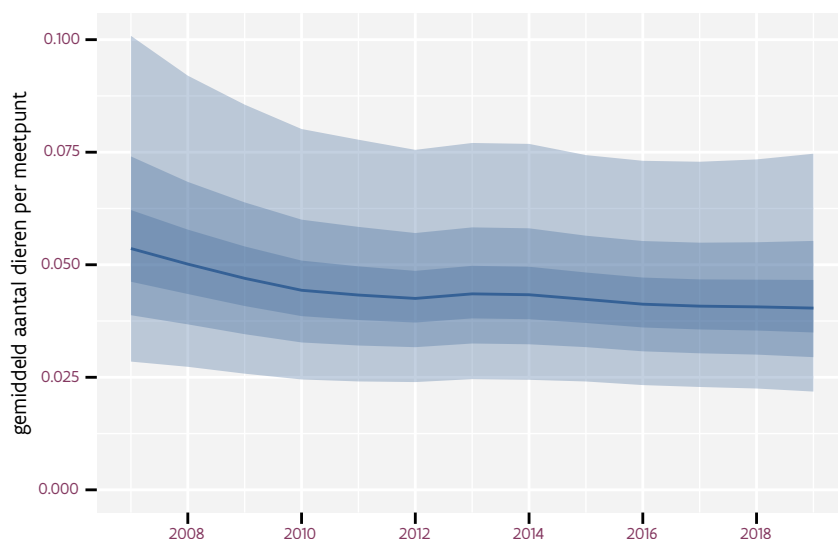
29 DODAARS

Op basis van driejaarlijkse gegevens zien we gemiddeld een mogelijk afname met -5.8% (-12.9%; +1.8%) per jaar of -50% (-80%; +20%) over de volledige looptijd van het meetnet. Deze trend is niet-lineair.

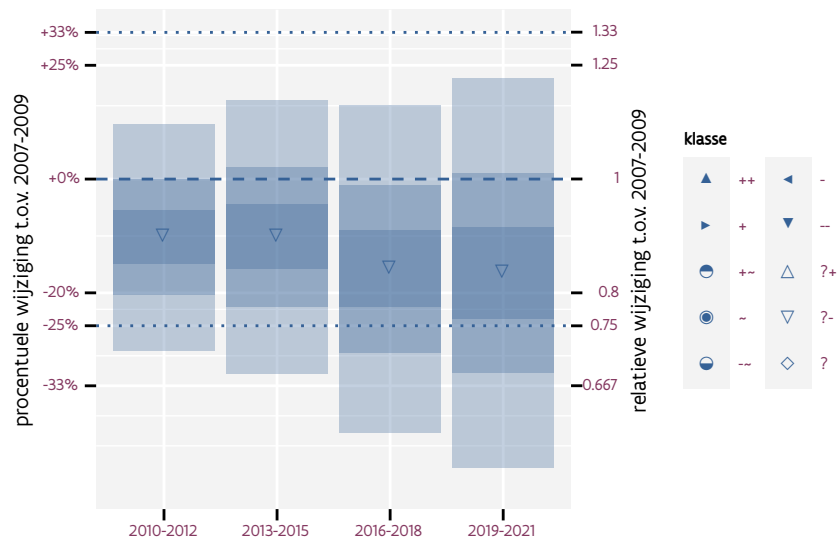
Op basis van jaarlijkse gegevens zien we gemiddeld een mogelijk afname met -6.0% (-13.1%; +1.7%) per jaar of -50% (-80%; +20%) over de volledige looptijd van het meetnet. Deze trend is niet-lineair.



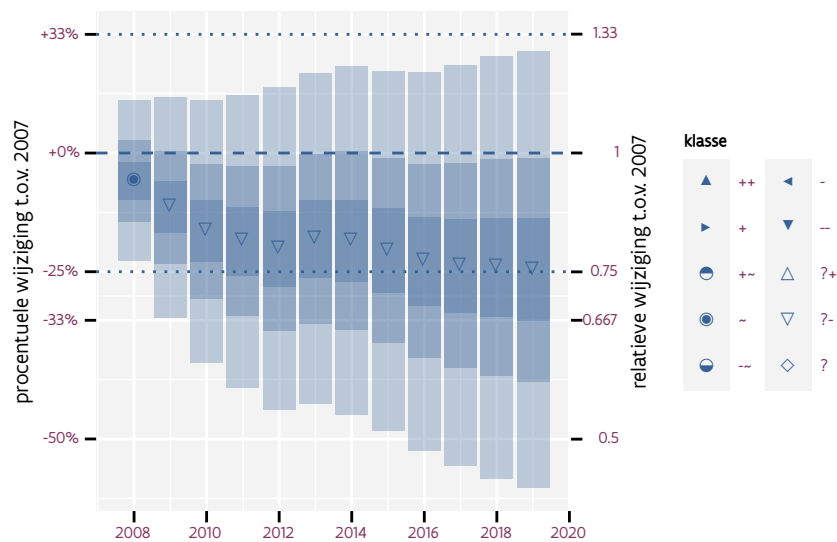
Figuur 29.1: Evolutie van het gemodeleerde gemiddeld aantal waargenomen dieren op een meetpunt voor Dodaars tijdens de referentieperiode. Zie §4.1 voor een verklaring van de intervallen.



Figuur 29.2: Evolutie van het gemodeleerde gemiddeld aantal waargenomen dieren op een meetpunt voor Dodaars tijdens de referentieperiode. Zie §4.1 voor een verklaring van de intervallen.



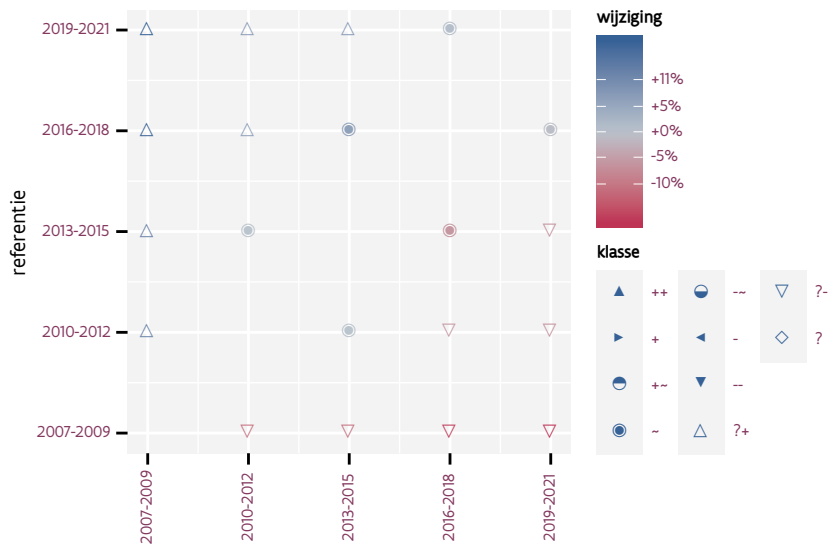
Figuur 29.3: Wijzigingen t.o.v. het eerste driejarige cyclus voor Dodaars. Zie §4.1 voor een verklaring van de intervallen en §4.2 voor uitleg over de symbolen en referentielijnen.



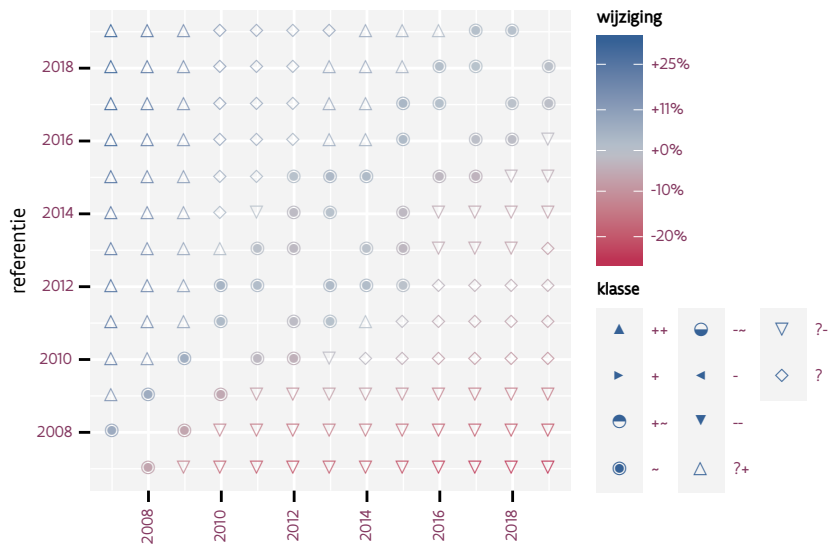
Figuur 29.4: Wijzigingen t.o.v. het eerste jaar voor Dodaars. Zie §4.1 voor een verklaring van de intervallen en §4.2 voor uitleg over de symbolen en referentielijnen.

Tabel 29.1: Stratumgewicht, raming aan het aantal hokken waarin de soort aanwezig is, aantal relevant hokken voor de analyse, aantal onderzochte hokken in het stratum, totaal aantal hokken van het stratum in Vlaanderen en aantal bezoeken aan een meetpunt voor Dodaars (zie §3.5).

stratum	gewicht	aanwezig	relevant	onderzocht	totaal	bezoeken
Landbouw	45.9%	44.4	3	426	6311	172
Heide en duin	23.7%	28.4	13	91	199	830
Moeras en water	21.2%	27.4	16	80	137	1072
Bos	9.1%	10.1	6	190	319	564



Figuur 29.5: Paarsgewijze vergelijking tussen driejarige cycli voor Dodaars. Uitleg van de symbolen in tabel 4.1.



Figuur 29.6: Paarsgewijze vergelijking tussen jaren voor Dodaars. Uitleg van de symbolen in tabel 4.1.

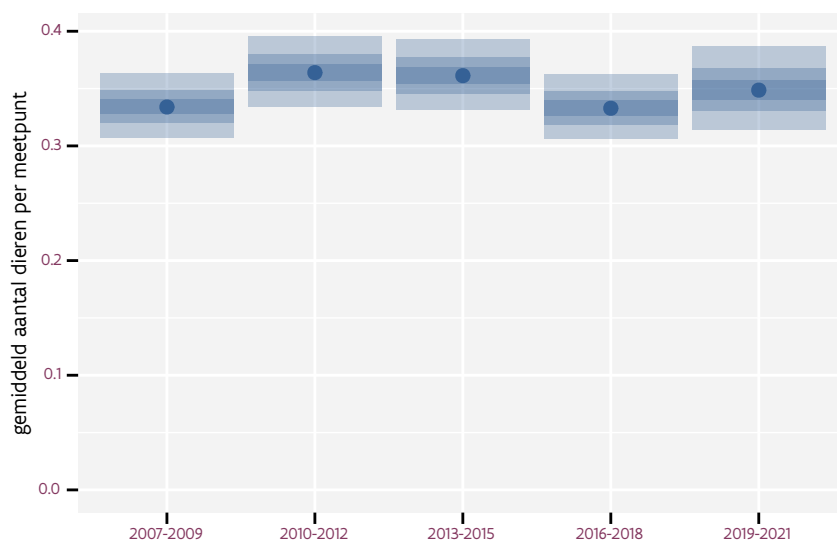
Tabel 29.2: Data-hashes van de analyses in het kader van traceerbaarheid (zie §5.3).

frequentie	model	analyse	status
jaarlijks	lineair	36ef1ca6694025dcefbe ea12a10c724fde0333d9	7b1eb5b5352caed991e8 992f2bf84df5ccf7a7f5
jaarlijks	niet-lineair	a09159fe38fd940ccfb9 550962dac52482cd97ef	4272a9c72ff7f86f62e5 fa574c487046095210d1
driejaarlijks	lineair	6eb37faf13071ec0ce82 68701597a9f961dec99f	f5d19af403d8f05e6210 fd71ea415d026058d13e
driejaarlijks	niet-lineair	8bd73656f8fc3736998b e3a5f34392f561de8ea7	ea49095d faa12de353e6 f9045d0e302df5b1a53c

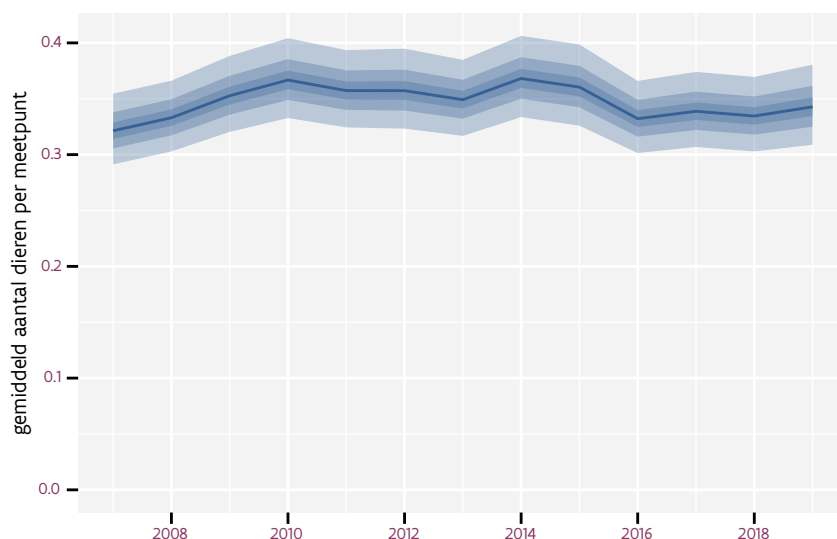
30 EKSTER

Op basis van driejaarlijkse gegevens zien we gemiddeld een stabiele trend van +0.0% (-0.5%; +0.5%) per jaar of +0% (-6%; +7%) over de volledige looptijd van het meetnet. Deze trend is niet-lineair.

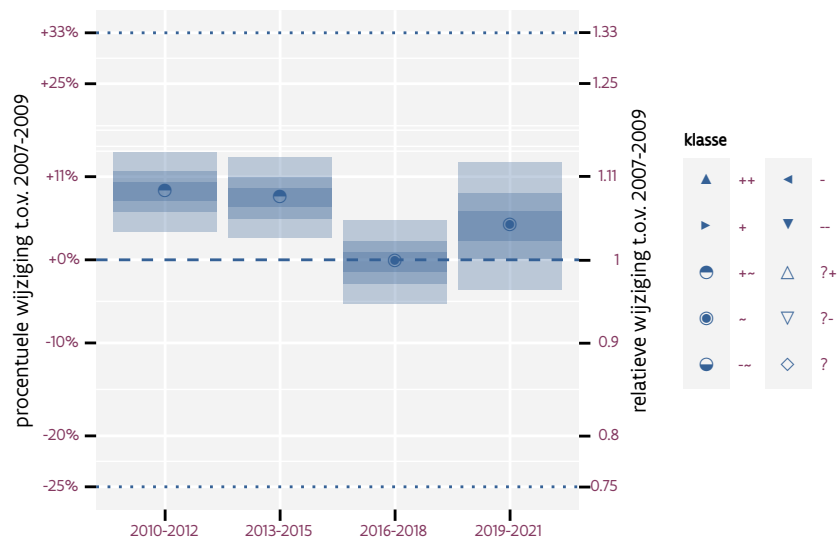
Op basis van jaarlijkse gegevens zien we gemiddeld een stabiele trend van +0.1% (-0.4%; +0.6%) per jaar of +1% (-5%; +7%) over de volledige looptijd van het meetnet. Deze trend is niet-lineair.



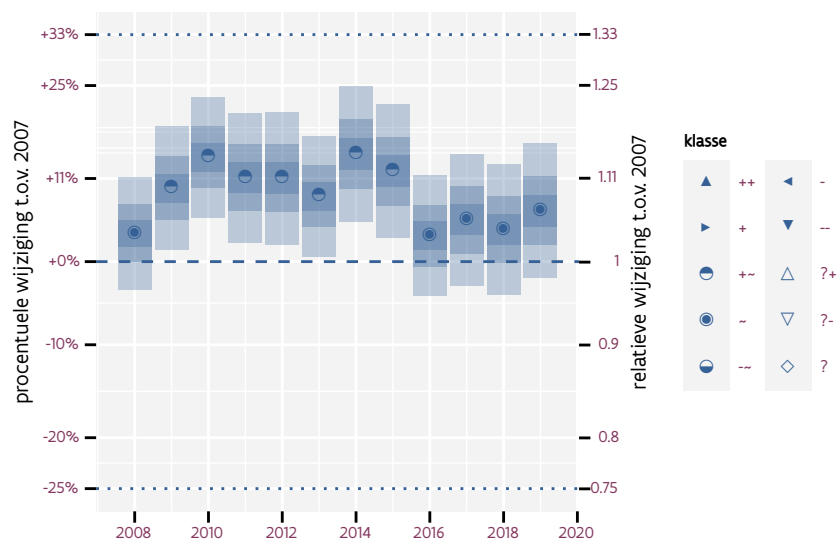
Figuur 30.1: Evolutie van het gemodeleerde gemiddeld aantal waargenomen dieren op een meetpunt voor Ekster tijdens de referentieperiode. Zie §4.1 voor een verklaring van de intervallen.



Figuur 30.2: Evolutie van het gemodeleerde gemiddeld aantal waargenomen dieren op een meetpunt voor Ekster tijdens de referentieperiode. Zie §4.1 voor een verklaring van de intervallen.



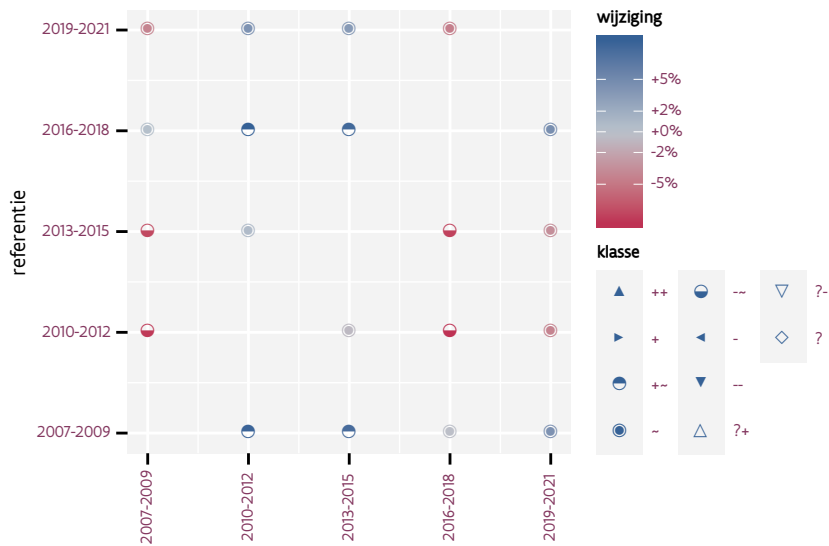
Figuur 30.3: Wijzigingen t.o.v. het eerste driejarige cyclus voor Ekster. Zie §4.1 voor een verklaring van de intervallen en §4.2 voor uitleg over de symbolen en referentielijnen.



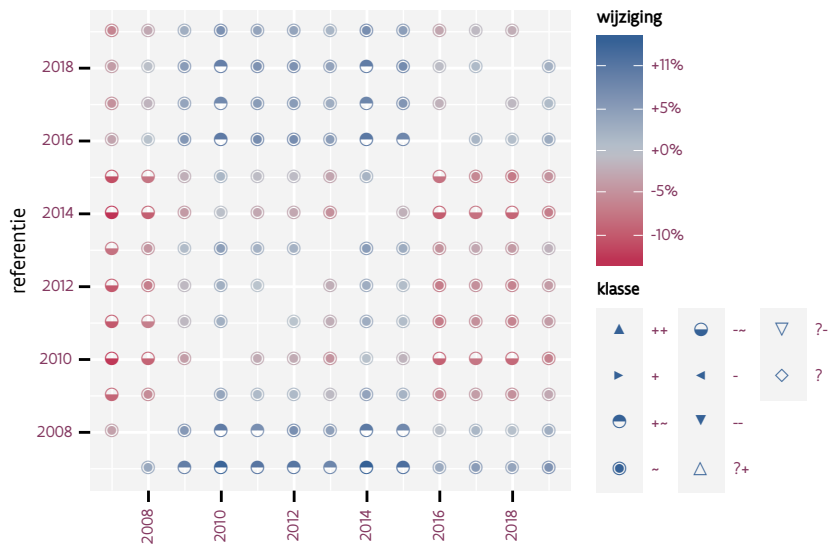
Figuur 30.4: Wijzigingen t.o.v. het eerste jaar voor Ekster. Zie §4.1 voor een verklaring van de intervallen en §4.2 voor uitleg over de symbolen en referentielijnen.

Tabel 30.1: Stratumgewicht, raming aan het aantal hokken waarin de soort aanwezig is, aantal relevant hokken voor de analyse, aantal onderzochte hokken in het stratum, totaal aantal hokken van het stratum in Vlaanderen en aantal bezoeken aan een meetpunt voor Ekster (zie §3.5).

stratum	gewicht	aanwezig	relevant	onderzocht	totaal	bezoeken
Landbouw	85.6%	4281.4	289	426	6311	16933
Urbaan	6.7%	329.9	69	87	416	3992
Suburbaan	3.2%	156.7	53	68	201	2973
Moeras en water	1.8%	89.0	52	80	137	3035
Heide en duin	1.4%	70.0	32	91	199	1658
Bos	1.3%	63.8	38	190	319	2854



Figuur 30.5: Paarsgewijze vergelijking tussen driejarige cycli voor Ekster. Uitleg van de symbolen in tabel 4.1.



Figuur 30.6: Paarsgewijze vergelijking tussen jaren voor Ekster. Uitleg van de symbolen in tabel 4.1.

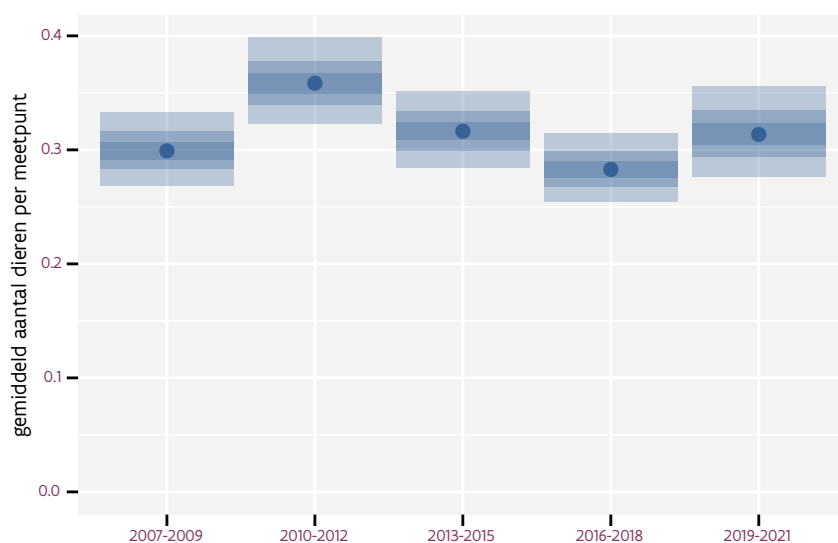
Tabel 30.2: Data-hashes van de analyses in het kader van traceerbaarheid (zie §5.3).

frequentie	model	analyse	status
jaarlijks	lineair	12d84d73fb79b9ad3237 ed77c157eef1da6f7225	74ad2dd64286d585bbbf f7e4f28d63c910b4f338
jaarlijks	niet-lineair	5e8fd7a6741fdbd83bcd a01f88e8645b5653ba72	591853d8323917be124d 29f0bfd1c0465fd6189
driejaarlijks	lineair	2e4159b78551cffa3e6d 10596f08900923ea0ccf	cc8a0db19433cd5df8e5 9b742414081a3785cc27
driejaarlijks	niet-lineair	a2c6f8aee80e02b3846b baf1f799efc79184e321	ebc627319eedc36ed43 b80c1169014f0800a4c4

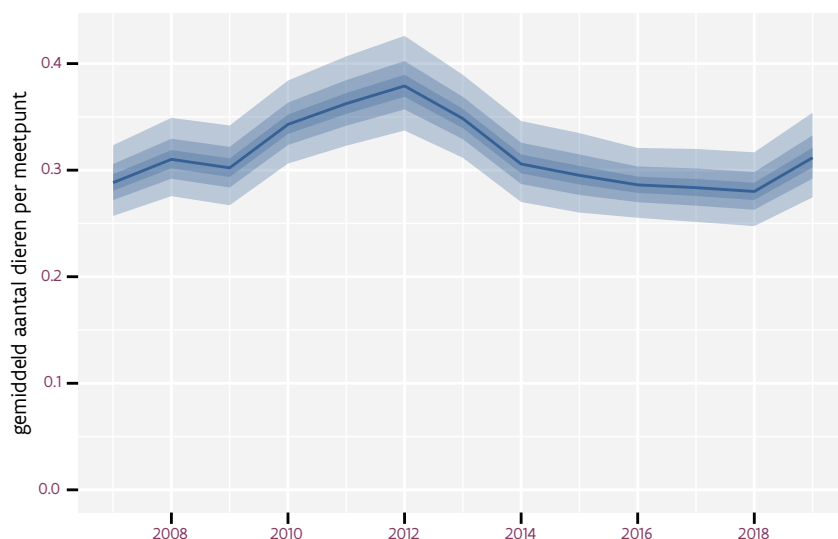
31 FAZANT

Op basis van driejaarlijkse gegevens zien we gemiddeld een matige afname met -0.72% (-1.28% ; -0.17%) per jaar of -8.4% (-14.3% ; -2.0%) over de volledige looptijd van het meetnet. Deze trend is niet-lineair.

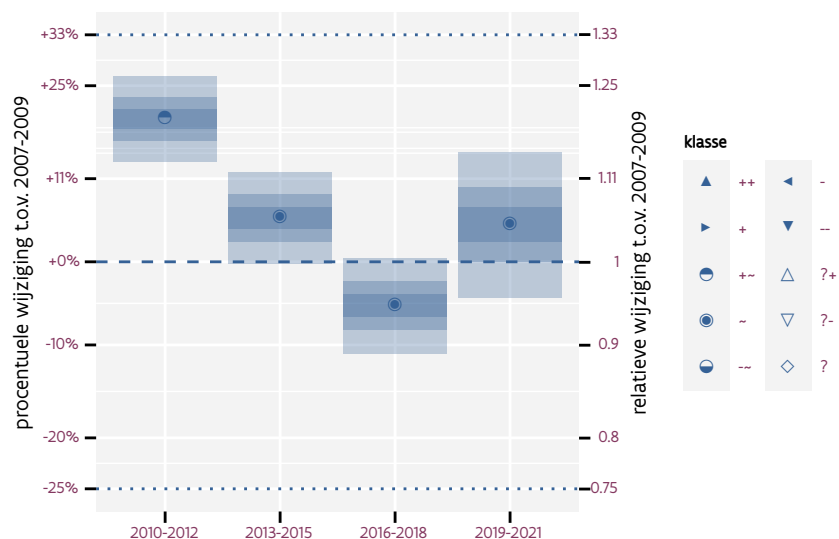
Op basis van jaarlijkse gegevens zien we gemiddeld een matige afname met -0.73% (-1.28% ; -0.17%) per jaar of -8.4% (-14.3% ; -2.0%) over de volledige looptijd van het meetnet. Deze trend is niet-lineair.



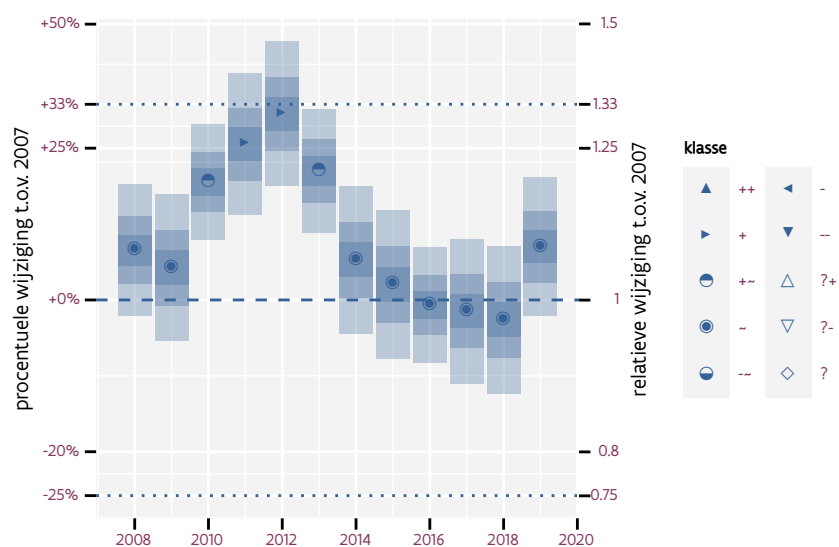
Figuur 31.1: Evolutie van het gemodeleerde gemiddeld aantal waargenomen dieren op een meetpunt voor Fazant tijdens de referentieperiode. Zie §4.1 voor een verklaring van de intervallen.



Figuur 31.2: Evolutie van het gemodeleerde gemiddeld aantal waargenomen dieren op een meetpunt voor Fazant tijdens de referentieperiode. Zie §4.1 voor een verklaring van de intervallen.



Figuur 31.3: Wijzigingen t.o.v. het eerste driejarige cyclus voor Fazant. Zie §4.1 voor een verklaring van de intervallen en §4.2 voor uitleg over de symbolen en referentielijnen.



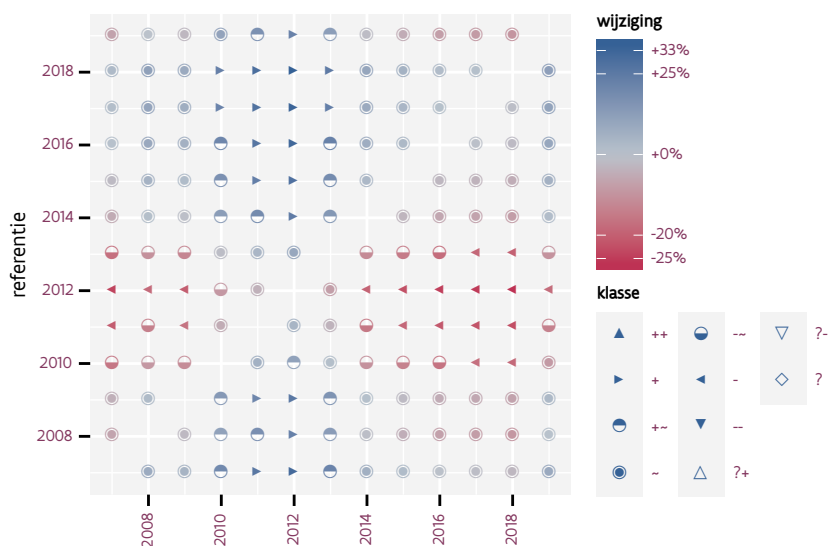
Figuur 31.4: Wijzigingen t.o.v. het eerste jaar voor Fazant. Zie §4.1 voor een verklaring van de intervallen en §4.2 voor uitleg over de symbolen en referentielijnen.

Tabel 31.1: Stratumgewicht, raming aan het aantal hokken waarin de soort aanwezig is, aantal relevant hokken voor de analyse, aantal onderzochte hokken in het stratum, totaal aantal hokken van het stratum in Vlaanderen en aantal bezoeken aan een meetpunt voor Fazant (zie §3.5).

stratum	gewicht	aanwezig	relevant	onderzocht	totaal	bezoeken
Landbouw	92.8%	3896.2	263	426	6311	15716
Heide en duin	1.8%	74.4	34	91	199	2167
Moeras en water	1.6%	65.1	38	80	137	2379
Bos	1.5%	60.4	36	190	319	2475
Urbain	1.1%	43.0	9	87	416	647
Suburban	1.1%	44.3	15	68	201	913



Figuur 31.5: Paarsgewijze vergelijking tussen driejarige cycli voor Fazant. Uitleg van de symbolen in tabel 4.1.



Figuur 31.6: Paarsgewijze vergelijking tussen jaren voor Fazant. Uitleg van de symbolen in tabel 4.1.

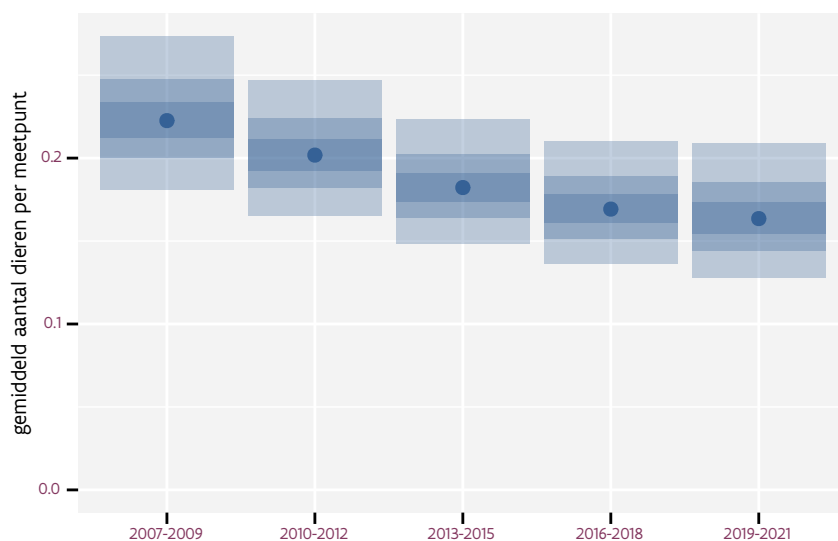
Tabel 31.2: Data-hashes van de analyses in het kader van traceerbaarheid (zie §5.3).

frequentie	model	analyse	status
jaarlijks	lineair	8f7696ffe2a458134bc8 e2b30440cf0b2bec2966	e6c5756fe60f940ac777 80e15b74fa540f700ba6
jaarlijks	niet-lineair	f4c16463a0ea390bfa49 243e9469cc692c176283	81f9a93d88c2bb753bc7 ff14a7a72803cc55893e
driejaarlijks	lineair	44b1322c73350f880941 9d12652719e20d4c9817	16982a9245584de6d9bd 4b7eca436524eb74e167
driejaarlijks	niet-lineair	d21e52bf3e865bce2513 b219f1a60324304fcf5b	b7d77bdc9ce849bd052c 2483c147849fd9343361

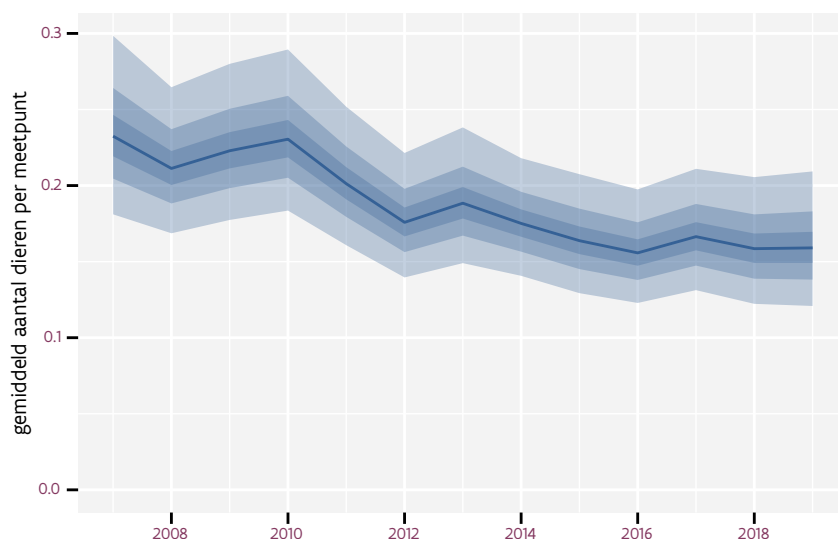
32 FITIS

Op basis van driejaarlijkse gegevens zien we gemiddeld een afname met -3.9% (-5.9%; -1.9%) per jaar of -38% (-52%; -21%) over de volledige looptijd van het meetnet. Deze trend is niet-lineair.

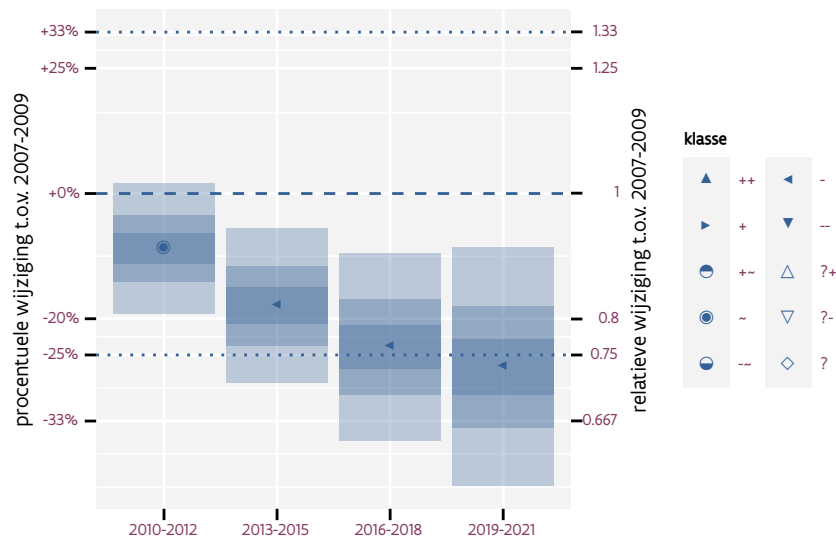
Op basis van jaarlijkse gegevens zien we gemiddeld een afname met -4.1% (-6.1%; -2.1%) per jaar of -40% (-53%; -22%) over de volledige looptijd van het meetnet. Deze trend is niet-lineair.



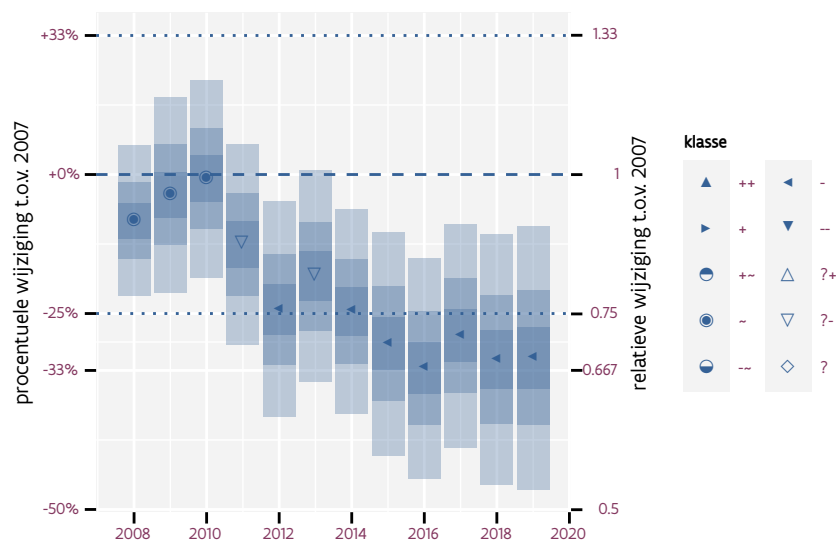
Figuur 32.1: Evolutie van het gemodeleerde gemiddeld aantal waargenomen dieren op een meetpunt voor Fitis tijdens de referentieperiode. Zie §4.1 voor een verklaring van de intervallen.



Figuur 32.2: Evolutie van het gemodeleerde gemiddeld aantal waargenomen dieren op een meetpunt voor Fitis tijdens de referentieperiode. Zie §4.1 voor een verklaring van de intervallen.



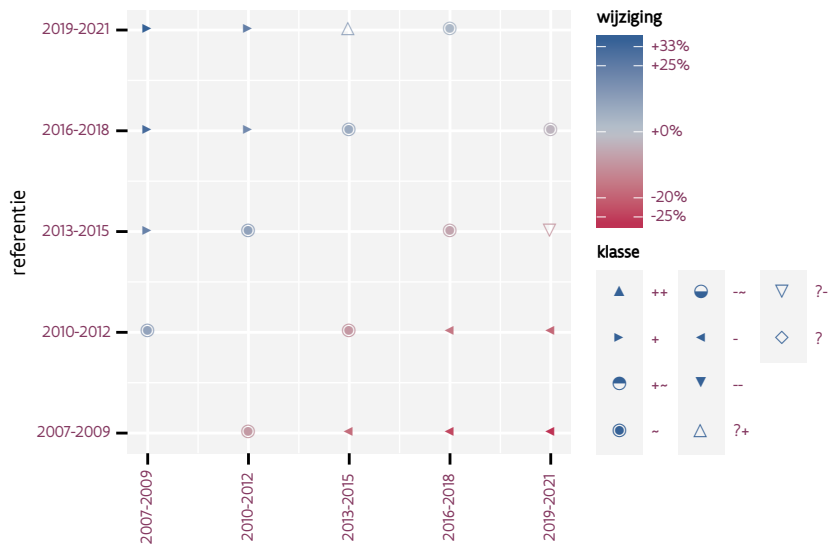
Figuur 32.3: Wijzigingen t.o.v. het eerste driejarige cyclus voor Fitis. Zie §4.1 voor een verklaring van de intervallen en §4.2 voor uitleg over de symbolen en referentielijnen.



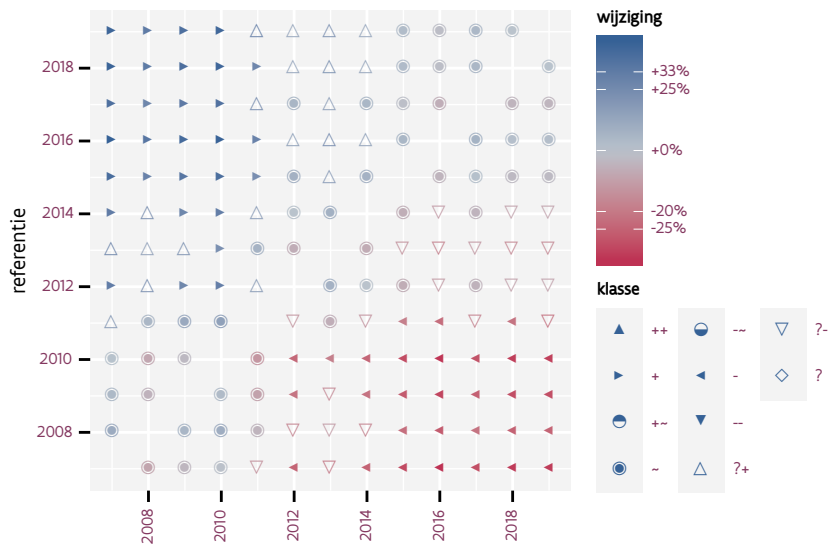
Figuur 32.4: Wijzigingen t.o.v. het eerste jaar voor Fitis. Zie §4.1 voor een verklaring van de intervallen en §4.2 voor uitleg over de symbolen en referentielijnen.

Tabel 32.1: Stratumgewicht, raming aan het aantal hokken waarin de soort aanwezig is, aantal relevant hokken voor de analyse, aantal onderzochte hokken in het stratum, totaal aantal hokken van het stratum in Vlaanderen en aantal bezoeken aan een meetpunt voor Fitis (zie §3.5).

stratum	gewicht	aanwezig	relevant	onderzocht	totaal	bezoeken
Landbouw	50.4%	325.9	22	426	6311	1512
Heide en duin	23.6%	159.6	73	91	199	4327
Bos	13.4%	89.0	53	190	319	3759
Moeras en water	6.8%	44.5	26	80	137	1728
Suburbaan	5.7%	35.5	12	68	201	527



Figuur 32.5: Paarsgewijze vergelijking tussen driejarige cycli voor Fitis. Uitleg van de symbolen in tabel 4.1.



Figuur 32.6: Paarsgewijze vergelijking tussen jaren voor Fitis. Uitleg van de symbolen in tabel 4.1.

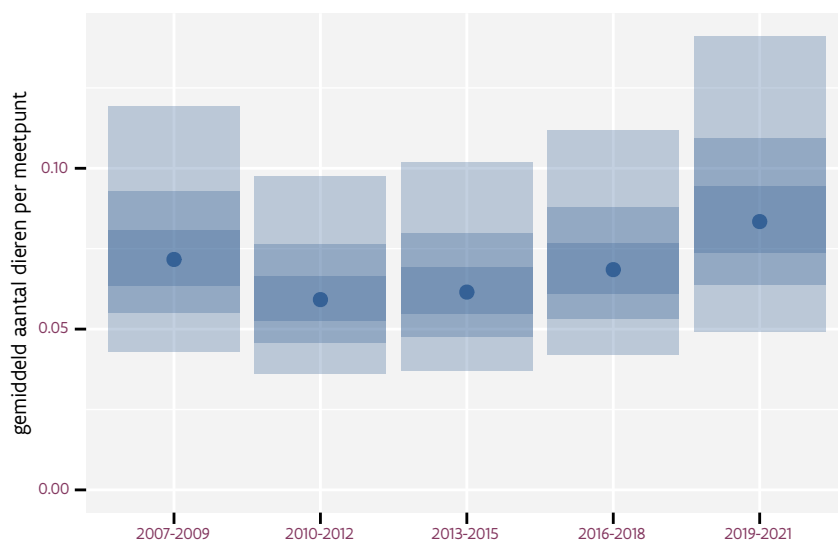
Tabel 32.2: Data-hashes van de analyses in het kader van traceerbaarheid (zie §5.3).

frequentie	model	analyse	status
jaarlijks	lineair	583b7c38ebe48dfe1110 5b70e15783f95f98fb9a	6c2f31b887c544bd18c6 71369e4f8f0ef1e6885e
jaarlijks	niet-lineair	79743b4c9b3270f83036 40191ddb000b39f1bf17	4ec1f766ae62c5e834fd 3230690cceef152590b38
driejaarlijks	lineair	a7a8258d48e8df5ce8f8 9dd4cc32d3280805de4d	143dc236a27ea86e6484 a2bd22886726cc6701b1
driejaarlijks	niet-lineair	b30d7ebe8276262b6b76 b9f6e15081a5eed69249	b43b39b76ca38288e1ec b5a34f83da102b3717a6

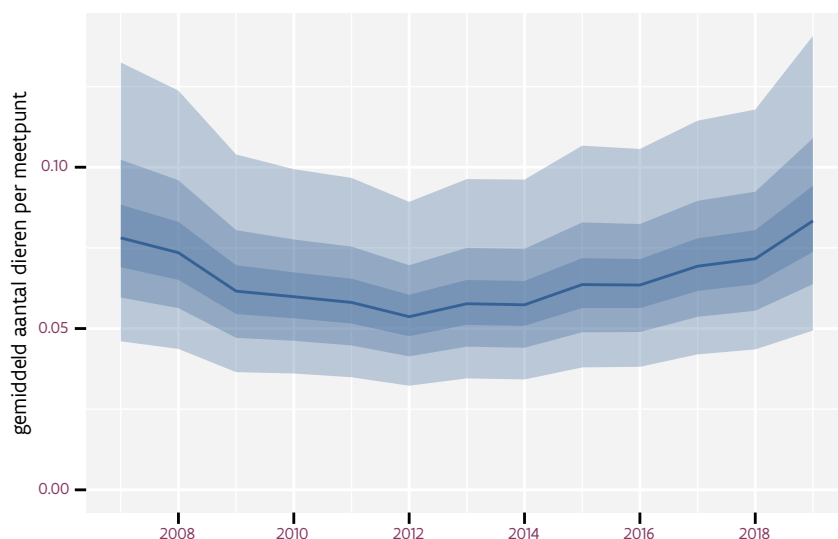
33 FUUT

Op basis van driejaarlijkse gegevens zien we gemiddeld een onduidelijke trend van -0.4% (-3.4%; +2.8%) per jaar of -4% (-34%; +39%) over de volledige looptijd van het meetnet. Deze trend is niet-lineair.

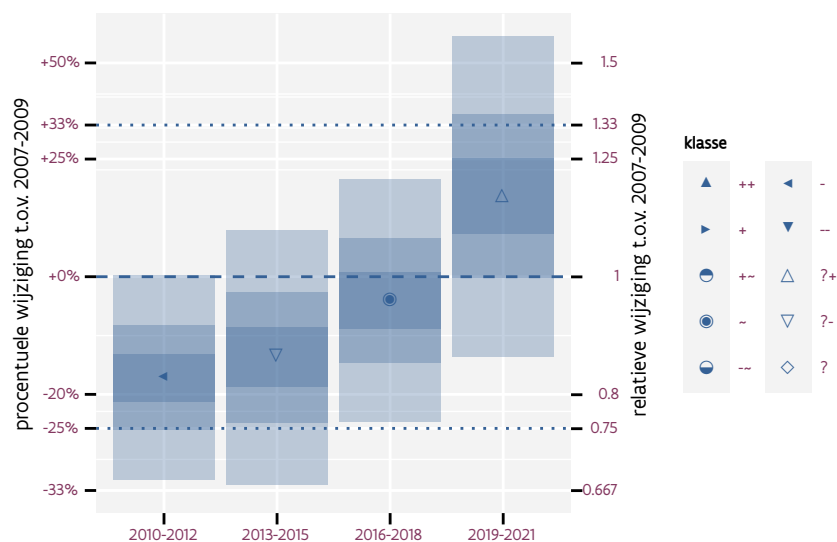
Op basis van jaarlijkse gegevens zien we gemiddeld een mogelijk afname met -0.6% (-3.4%; +2.3%) per jaar of -7% (-34%; +32%) over de volledige looptijd van het meetnet. Deze trend is niet-lineair.



Figuur 33.1: Evolutie van het gemodeleerde gemiddeld aantal waargenomen dieren op een meetpunt voor Fuut tijdens de referentieperiode. Zie §4.1 voor een verklaring van de intervallen.



Figuur 33.2: Evolutie van het gemodeleerde gemiddeld aantal waargenomen dieren op een meetpunt voor Fuut tijdens de referentieperiode. Zie §4.1 voor een verklaring van de intervallen.



Figuur 33.3: Wijzigingen t.o.v. het eerste driejarige cyclus voor Fuut. Zie §4.1 voor een verklaring van de intervallen en §4.2 voor uitleg over de symbolen en referentielijnen.



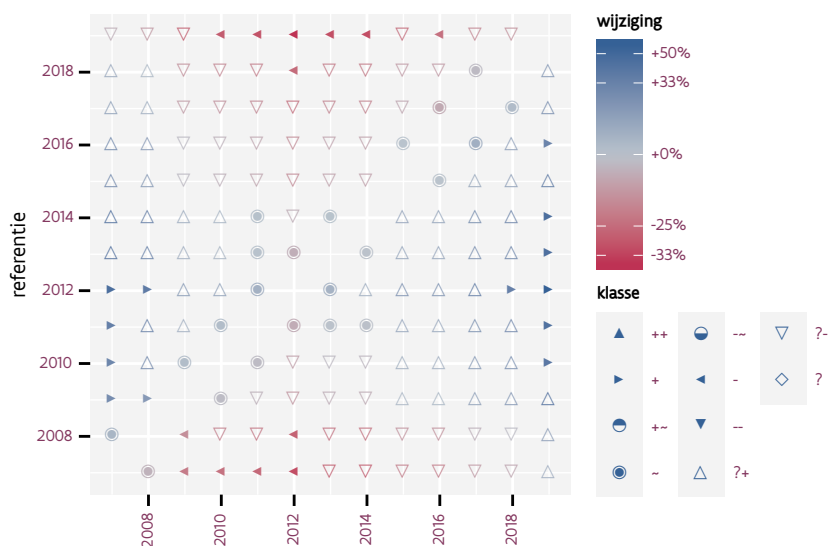
Figuur 33.4: Wijzigingen t.o.v. het eerste jaar voor Fuut. Zie §4.1 voor een verklaring van de intervallen en §4.2 voor uitleg over de symbolen en referentielijnen.

Tabel 33.1: Stratumgewicht, raming aan het aantal hokken waarin de soort aanwezig is, aantal relevant hokken voor de analyse, aantal onderzochte hokken in het stratum, totaal aantal hokken van het stratum in Vlaanderen en aantal bezoeken aan een meetpunt voor Fuut (zie §3.5).

stratum	gewicht	aanwezig	relevant	onderzocht	totaal	bezoeken
Landbouw	48.8%	74.1	5	426	6311	330
Moeras en water	34.8%	63.4	37	80	137	2232
Heide en duin	10.8%	17.5	8	91	199	486
Bos	5.5%	8.4	5	190	319	504



Figuur 33.5: Paarsgewijze vergelijking tussen driejarige cycli voor Fuut. Uitleg van de symbolen in tabel 4.1.



Figuur 33.6: Paarsgewijze vergelijking tussen jaren voor Fuut. Uitleg van de symbolen in tabel 4.1.

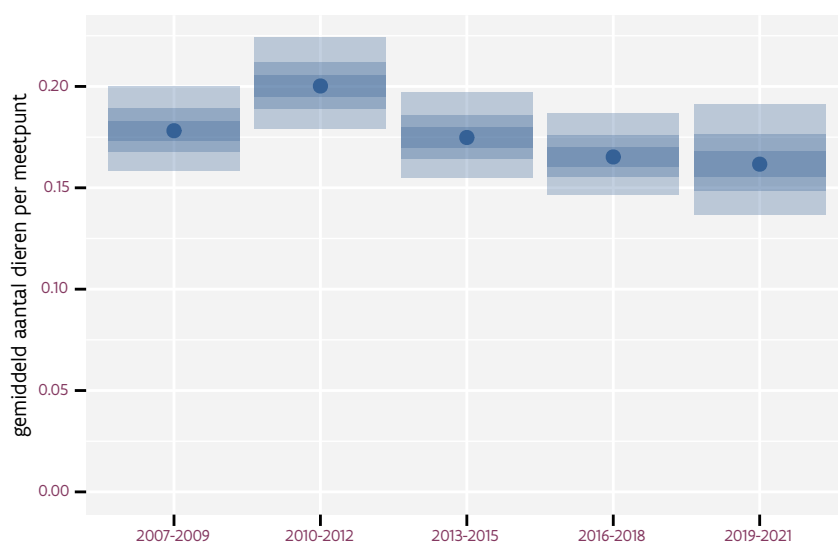
Tabel 33.2: Data-hashes van de analyses in het kader van traceerbaarheid (zie §5.3).

frequentie	model	analyse	status
jaarlijks	lineair	91a53f05145647e21269 041ded68cd95155529b2	02dc9a3fd7c5369e53a 1b7b58a439a9f76b9f24
jaarlijks	niet-lineair	24c1c04f4b811758f69f 2e251877db0e7c7094a5	417596d9cba9a04711cd 304586ea43d5b98b34c1
driejaarlijks	lineair	c6049984f228a4cf7b3f 488ef3e783798fc88c4c	106b1ee7a0e9fc325107 7c3482cbab345c80624e
driejaarlijks	niet-lineair	5c6360b811b9d57918ba 3b8c2a3724744da9b8ed	a9801e0f4354954d491d 64b7c9ec134210d00656

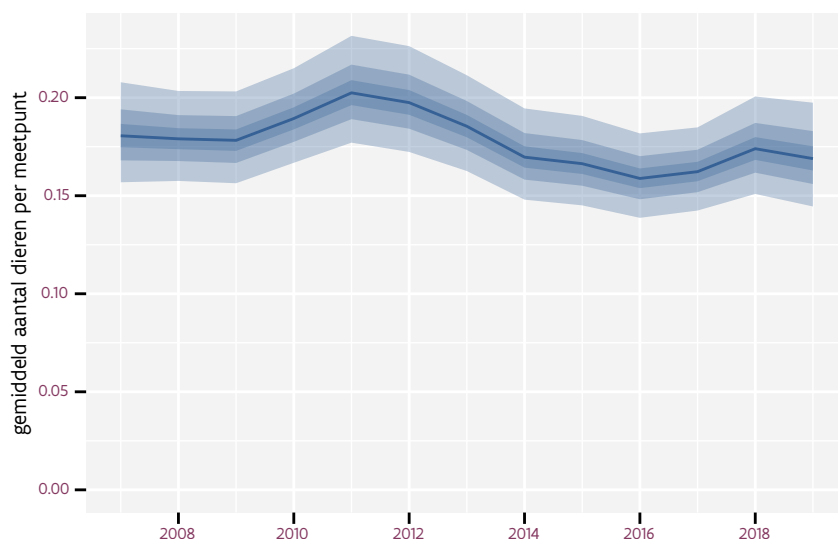
34 GAAI

Op basis van driejaarlijkse gegevens zien we gemiddeld een afname met -1.4% (-2.5%; -0.2%) per jaar of -15% (-26%; -3%) over de volledige looptijd van het meetnet. Deze trend is niet-lineair.

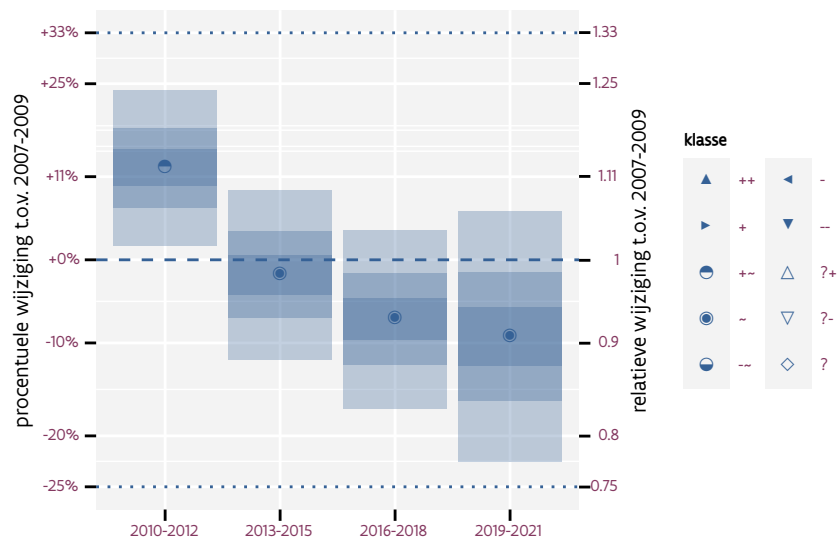
Op basis van jaarlijkse gegevens zien we gemiddeld een matige afname met -1.2% (-2.3%; -0.1%) per jaar of -13% (-24%; -1%) over de volledige looptijd van het meetnet. Deze trend is niet-lineair.



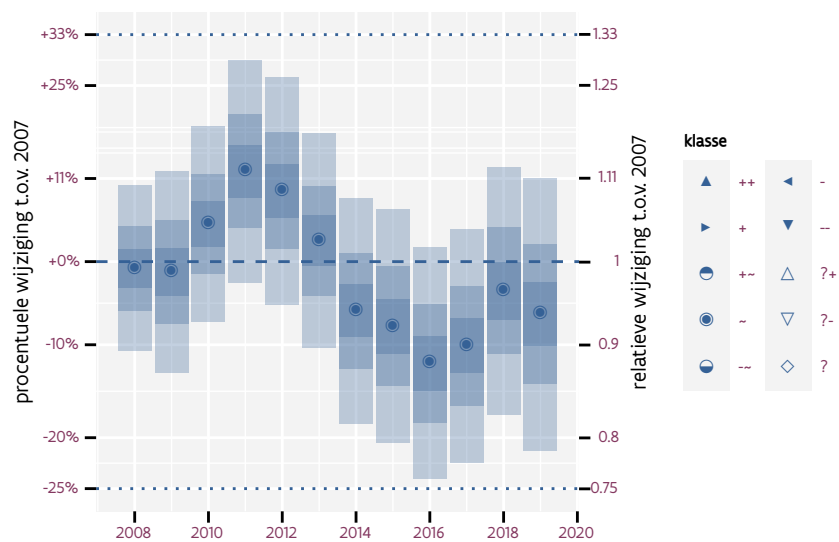
Figuur 34.1: Evolutie van het gemodeleerde gemiddeld aantal waargenomen dieren op een meetpunt voor Gaai tijdens de referentieperiode. Zie §4.1 voor een verklaring van de intervallen.



Figuur 34.2: Evolutie van het gemodeleerde gemiddeld aantal waargenomen dieren op een meetpunt voor Gaai tijdens de referentieperiode. Zie §4.1 voor een verklaring van de intervallen.



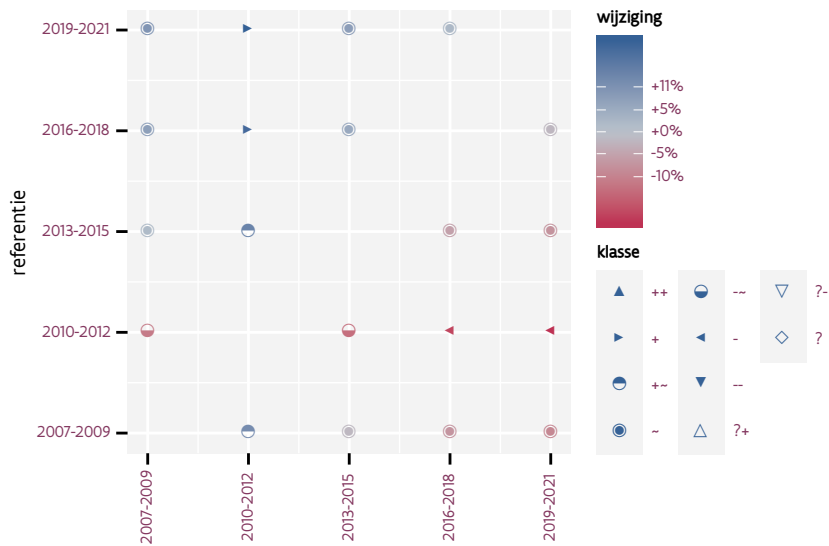
Figuur 34.3: Wijzigingen t.o.v. het eerste driejarige cyclus voor Gaai. Zie §4.1 voor een verklaring van de intervallen en §4.2 voor uitleg over de symbolen en referentielijnen.



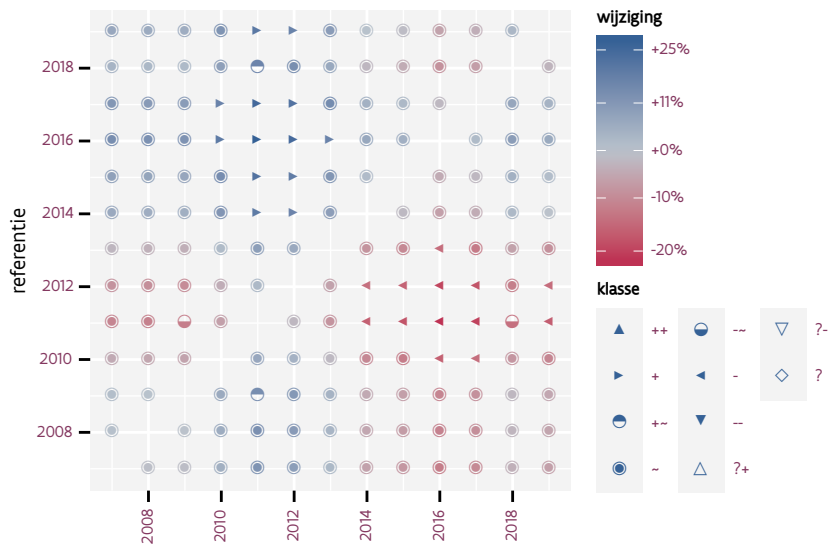
Figuur 34.4: Wijzigingen t.o.v. het eerste jaar voor Gaai. Zie §4.1 voor een verklaring van de intervallen en §4.2 voor uitleg over de symbolen en referentielijnen.

Tabel 34.1: Stratumgewicht, raming aan het aantal hokken waarin de soort aanwezig is, aantal relevant hokken voor de analyse, aantal onderzochte hokken in het stratum, totaal aantal hokken van het stratum in Vlaanderen en aantal bezoeken aan een meetpunt voor Gaai (zie §3.5).

stratum	gewicht	aanwezig	relevant	onderzocht	totaal	bezoeken
Landbouw	79.2%	2488.8	168	426	6311	10515
Bos	6.5%	206.5	123	190	319	7761
Urbaan	5.4%	167.4	35	87	416	2333
Heide en duin	3.9%	120.3	55	91	199	3509
Suburbaan	2.6%	79.8	27	68	201	1509
Moeras en water	2.4%	73.6	43	80	137	2596



Figuur 34.5: Paarsgewijze vergelijking tussen driejarige cycli voor Gaai. Uitleg van de symbolen in tabel 4.1.



Figuur 34.6: Paarsgewijze vergelijking tussen jaren voor Gaai. Uitleg van de symbolen in tabel 4.1.

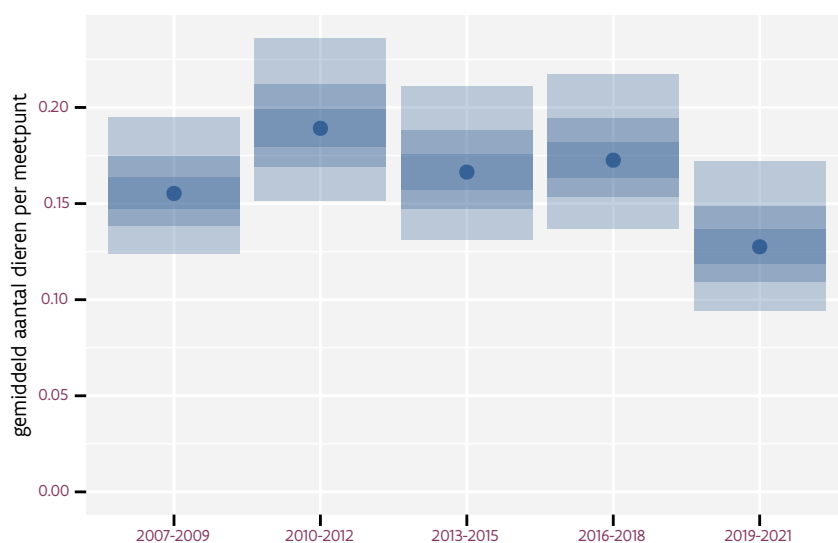
Tabel 34.2: Data-hashes van de analyses in het kader van traceerbaarheid (zie §5.3).

frequentie	model	analyse	status
jaarlijks	lineair	edfe3b66c0f22c7830b5 13f00affc5f941862ed6	7d075fa13aae6fa412f6 e3f770a4f8669f0b14b0
jaarlijks	niet-lineair	61b138cc4d891102e573 5e587a051a7560ef43fa	12d5f08a64c4a5d00c3b c974d6fe34c3835da4aa
driejaarlijks	lineair	9e5a2483139a352fe4ed 5d090e89483fc89658e6	75b9de092d17aed5559a 3a0d02691c21bf94cf7
driejaarlijks	niet-lineair	a7fc7da0ba4ed369c7e2 641a647eefd1a943cf3c	568ca0c51e8eda843fc4 4b34f21259ad17312d21

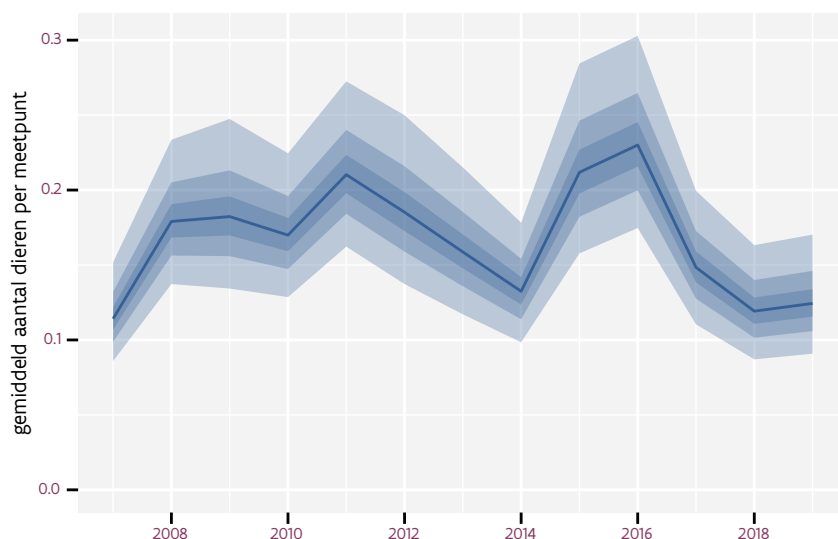
35 GEELGORS

Op basis van driejaarlijkse gegevens zien we gemiddeld een stabiele trend van -0.12% (-1.56%; +1.34%) per jaar of -1.5% (-17.2%; +17.3%) over de volledige looptijd van het meetnet. Deze trend is niet-lineair.

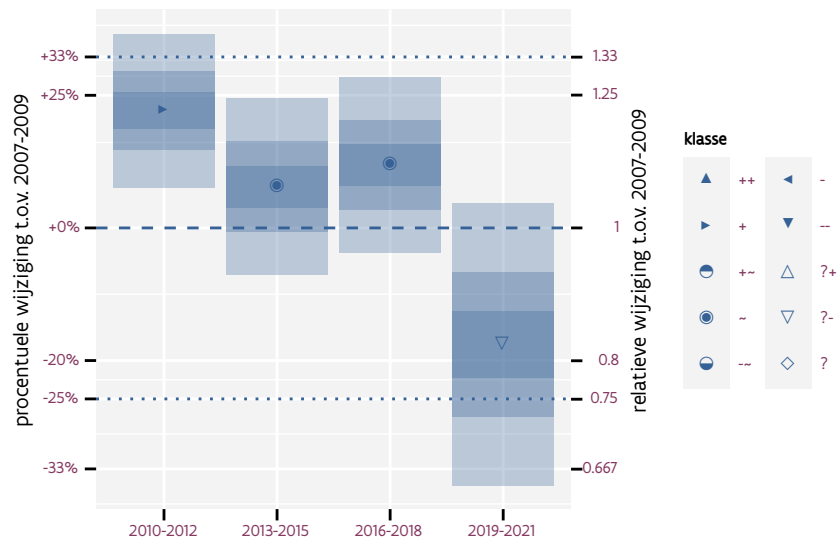
Op basis van jaarlijkse gegevens zien we gemiddeld een stabiele trend van -0.04% (-1.47%; +1.41%) per jaar of -0.5% (-16.2%; +18.3%) over de volledige looptijd van het meetnet. Deze trend is niet-lineair.



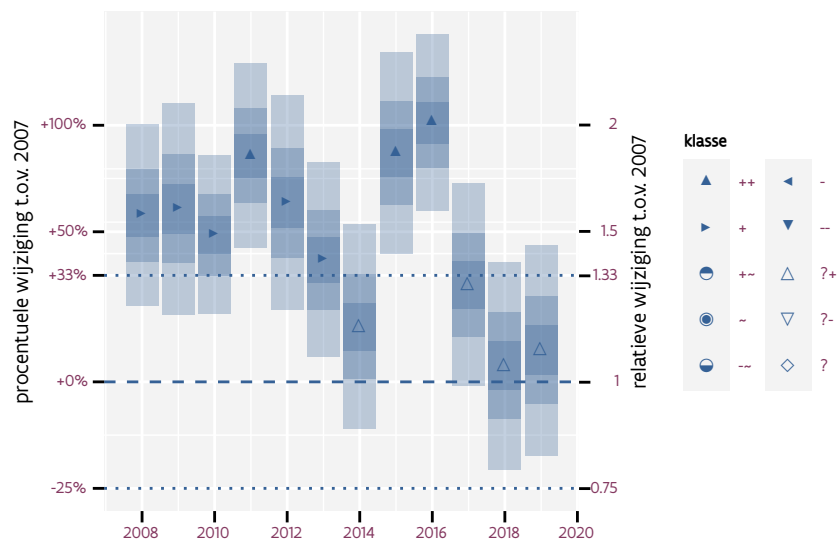
Figuur 35.1: Evolutie van het gemodeleerde gemiddeld aantal waargenomen dieren op een meetpunt voor Geelgors tijdens de referentieperiode. Zie §4.1 voor een verklaring van de intervallen.



Figuur 35.2: Evolutie van het gemodeleerde gemiddeld aantal waargenomen dieren op een meetpunt voor Geelgors tijdens de referentieperiode. Zie §4.1 voor een verklaring van de intervallen.



Figuur 35.3: Wijzigingen t.o.v. het eerste driejarige cyclus voor Geelgors. Zie §4.1 voor een verklaring van de intervallen en §4.2 voor uitleg over de symbolen en referentielijnen.



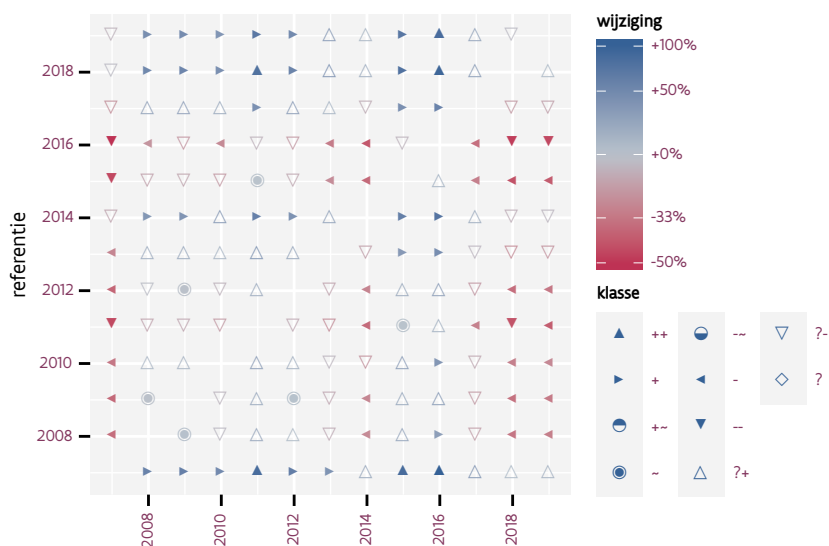
Figuur 35.4: Wijzigingen t.o.v. het eerste jaar voor Geelgors. Zie §4.1 voor een verklaring van de intervallen en §4.2 voor uitleg over de symbolen en referentielijnen.

Tabel 35.1: Stratumgewicht, raming aan het aantal hokken waarin de soort aanwezig is, aantal relevant hokken voor de analyse, aantal onderzochte hokken in het stratum, totaal aantal hokken van het stratum in Vlaanderen en aantal bezoeken aan een meetpunt voor Geelgors (zie §3.5).

stratum	gewicht	aanwezig	relevant	onderzocht	totaal	bezoeken
Landbouw	96.1%	844.4	57	426	6311	3403
Heide en duin	2.0%	15.3	7	91	199	408
Moeras en water	1.0%	6.8	4	80	137	227
Bos	1.0%	6.7	4	190	319	312



Figuur 35.5: Paarsgewijze vergelijking tussen driejarige cycli voor Geelgors. Uitleg van de symbolen in tabel 4.1.



Figuur 35.6: Paarsgewijze vergelijking tussen jaren voor Geelgors. Uitleg van de symbolen in tabel 4.1.

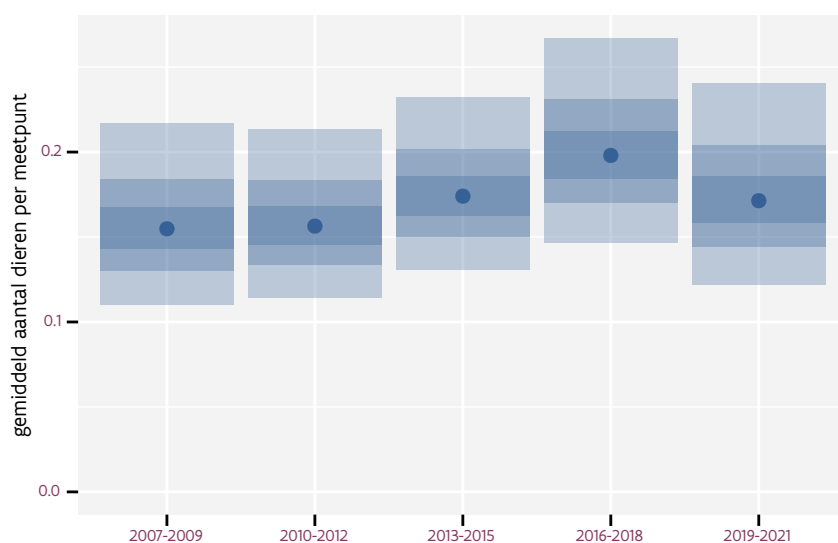
Tabel 35.2: Data-hashes van de analyses in het kader van traceerbaarheid (zie §5.3).

frequentie	model	analyse	status
jaarlijks	lineair	58fb99fff57309769399 8ecf4b08f7271b2a8295	ab68f68c3acca9684e42 ca54d681d176df8b5b06
jaarlijks	niet-lineair	4773395d0387a120f448 7e06c03b2a045f92b269	3153eed1831d1f08c54a 1446e3b63749ec521567
driejaarlijks	lineair	303f404d9f7977886e1a 2bf11cb233b9571826cf	6326ee5aeba2890ca457 c7c7a21198a8c02177c6
driejaarlijks	niet-lineair	5d8dce9c79a0f50a4cbf bcfbb9cffdb91b08b5a7	f7f2390d7201b55791a7 40ef67103f1c4b58051c

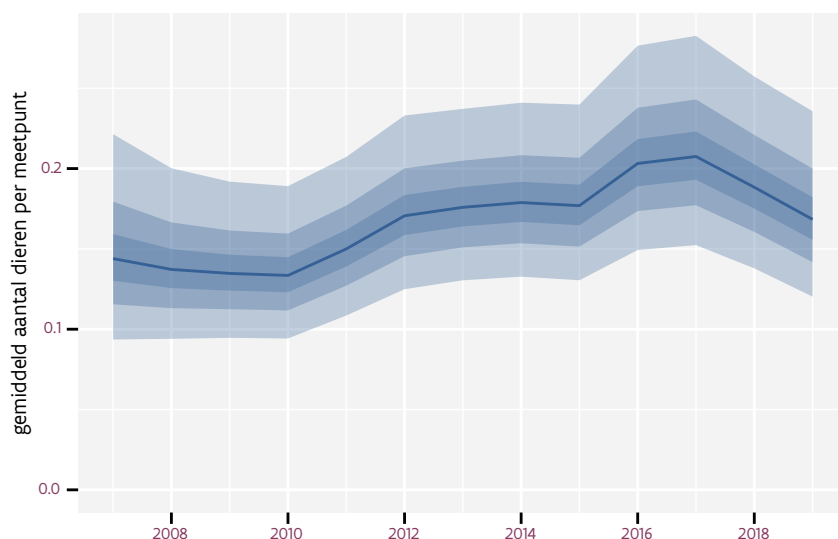
36 GEKRAAGDE ROODSTAART

Op basis van driejaarlijkse gegevens zien we gemiddeld een toename met +4.3% (+0.7%; +8.1%) per jaar of +66% (+9%; +154%) over de volledige looptijd van het meetnet. Deze trend is niet-lineair.

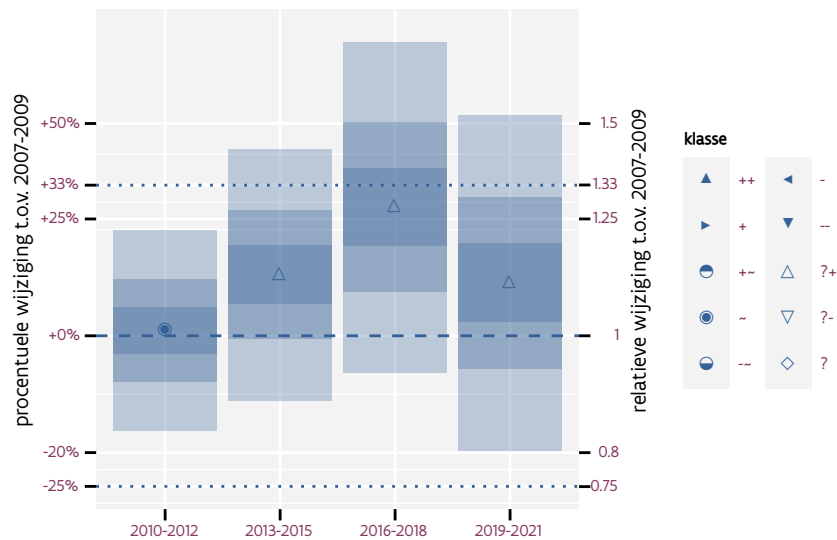
Op basis van jaarlijkse gegevens zien we gemiddeld een toename met +4.5% (+0.8%; +8.2%) per jaar of +69% (+10%; +158%) over de volledige looptijd van het meetnet. Deze trend is niet-lineair.



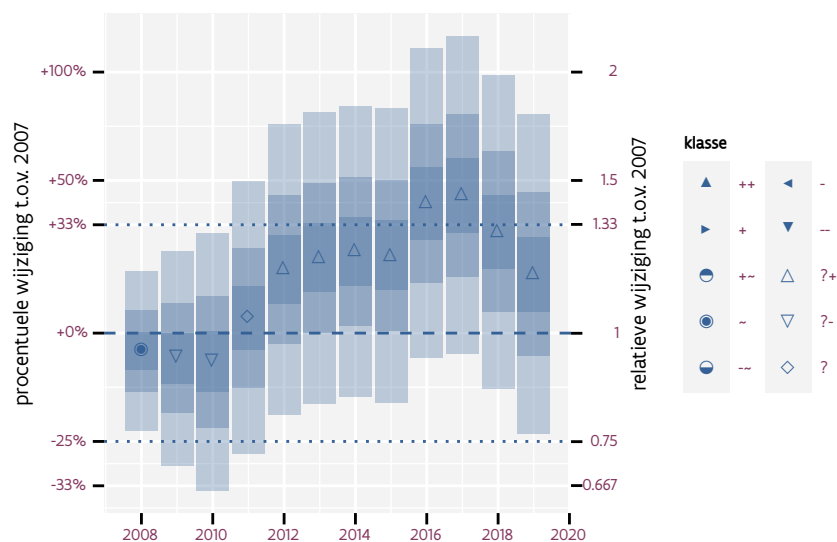
Figuur 36.1: Evolutie van het gemodeleerde gemiddeld aantal waargenomen dieren op een meetpunt voor Gekraagde roodstaart tijdens de referentieperiode. Zie §4.1 voor een verklaring van de intervallen.



Figuur 36.2: Evolutie van het gemodeleerde gemiddeld aantal waargenomen dieren op een meetpunt voor Gekraagde roodstaart tijdens de referentieperiode. Zie §4.1 voor een verklaring van de intervallen.



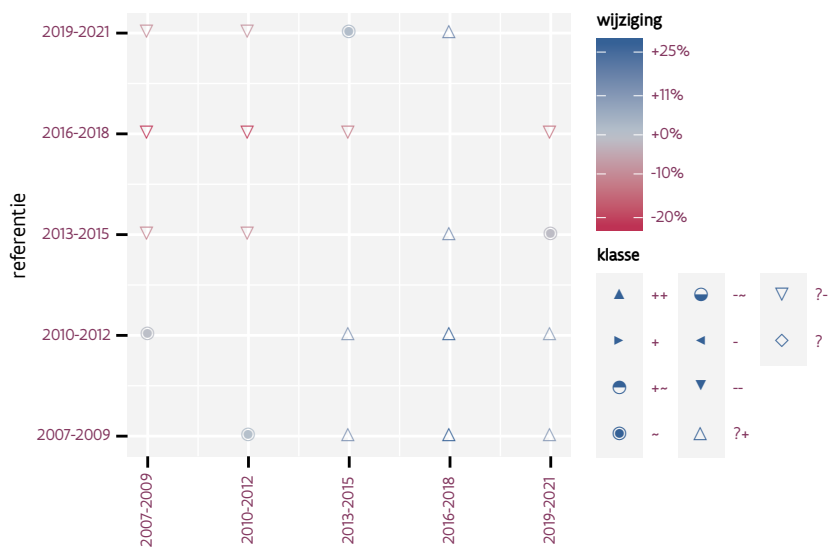
Figuur 36.3: Wijzigingen t.o.v. het eerste driejarige cyclus voor Gekraagde roodstaart. Zie §4.1 voor een verklaring van de intervallen en §4.2 voor uitleg over de symbolen en referentielijnen.



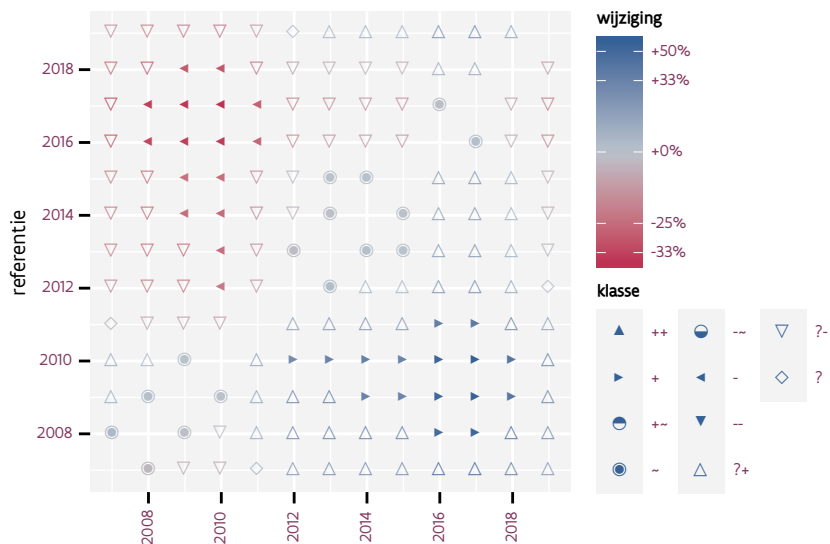
Figuur 36.4: Wijzigingen t.o.v. het eerste jaar voor Gekraagde roodstaart. Zie §4.1 voor een verklaring van de intervallen en §4.2 voor uitleg over de symbolen en referentielijnen.

Tabel 36.1: Stratumgewicht, raming aan het aantal hokken waarin de soort aanwezig is, aantal relevant hokken voor de analyse, aantal onderzochte hokken in het stratum, totaal aantal hokken van het stratum in Vlaanderen en aantal bezoeken aan een meetpunt voor Gekraagde roodstaart (zie §3.5).

stratum	gewicht	aanwezig	relevant	onderzocht	totaal	bezoeken
Landbouw	52.9%	118.5	8	426	6311	328
Heide en duin	27.8%	67.8	31	91	199	1473
Bos	16.6%	42.0	25	190	319	1316
Moeras en water	2.7%	5.1	3	80	137	150



Figuur 36.5: Paarsgewijze vergelijking tussen driejarige cycli voor Gekraagde roodstaart. Uitleg van de symbolen in tabel 4.1.



Figuur 36.6: Paarsgewijze vergelijking tussen jaren voor Gekraagde roodstaart. Uitleg van de symbolen in tabel 4.1.

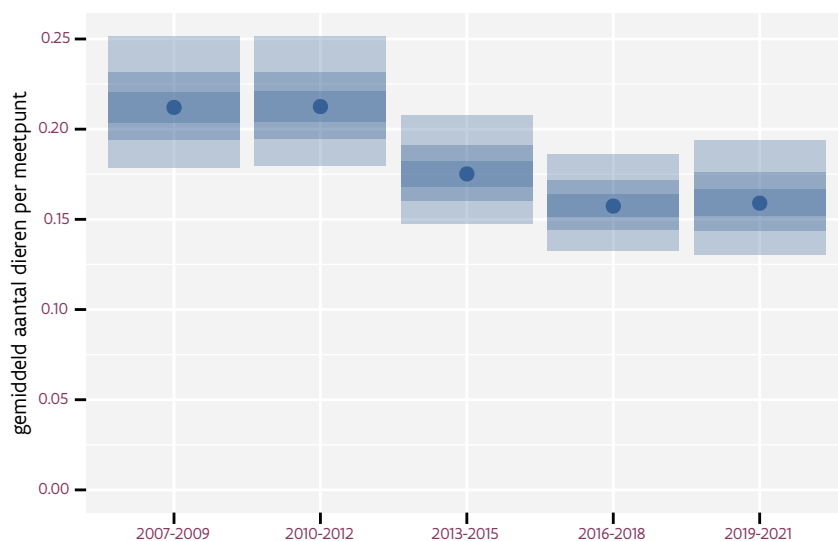
Tabel 36.2: Data-hashes van de analyses in het kader van traceerbaarheid (zie §5.3).

frequentie	model	analyse	status
jaarlijks	lineair	59d6e9cf73581f2a75cf	f596735aeb82d6054449
		274a3a82d01d418f66c4	8698dab46805a628c5bf
jaarlijks	niet-lineair	2eb4acfc46a667ecb2ca	050d48cb0aaee13facff
		31b03eece89c7b638e86	63f159570ae5fce27200
driejaarlijks	lineair	640e7676d59bea2d95d4	9944fb326084d892e8f9
		50e894201050d7e57914	5733bbd207ac0b5f1d3a
driejaarlijks	niet-lineair	164c6a638734c15e3d4e	0d40c74ce1a1e7fc8983
		729c146e4b76a334e3af	7be53fbc4dc1f89d6238

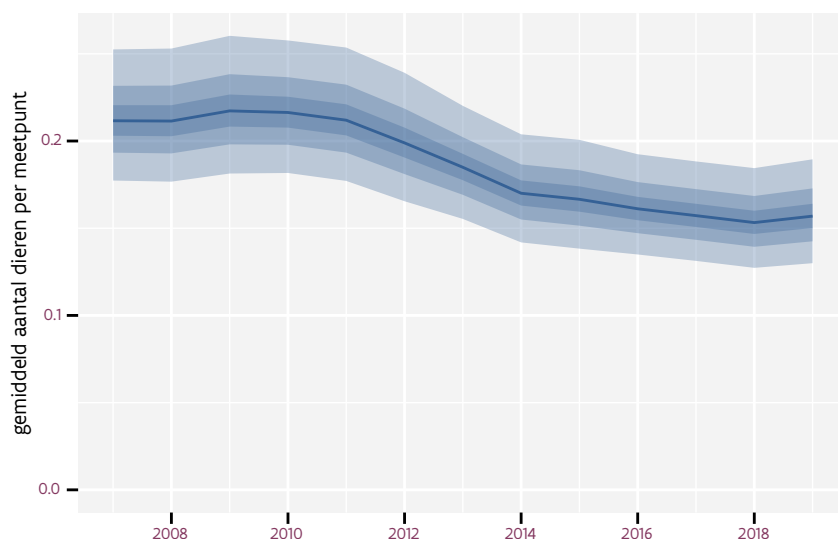
37 GELE KWIKSTAART

Op basis van driejaarlijkse gegevens zien we gemiddeld een sterke afname met -3.5% (-4.4%; -2.5%) per jaar of -35% (-42%; -26%) over de volledige looptijd van het meetnet. Deze trend is niet-lineair.

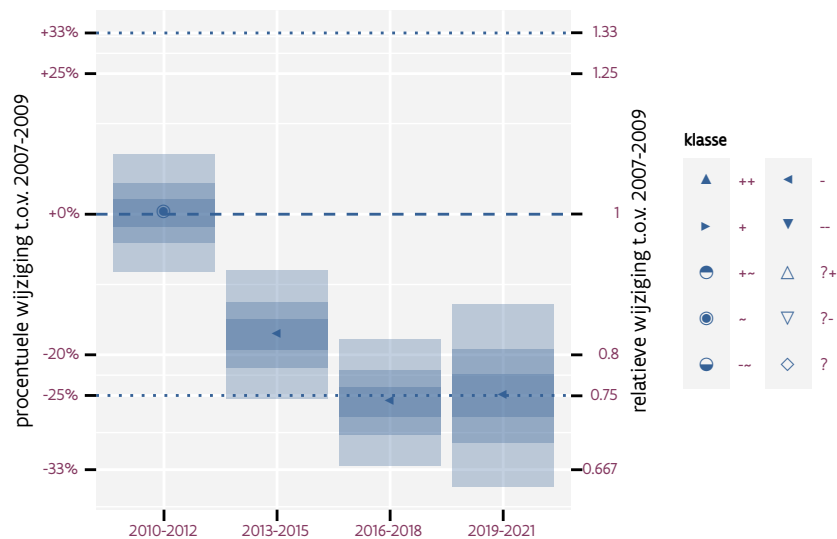
Op basis van jaarlijkse gegevens zien we gemiddeld een sterke afname met -3.5% (-4.4%; -2.5%) per jaar of -35% (-42%; -27%) over de volledige looptijd van het meetnet. Deze trend is niet-lineair.



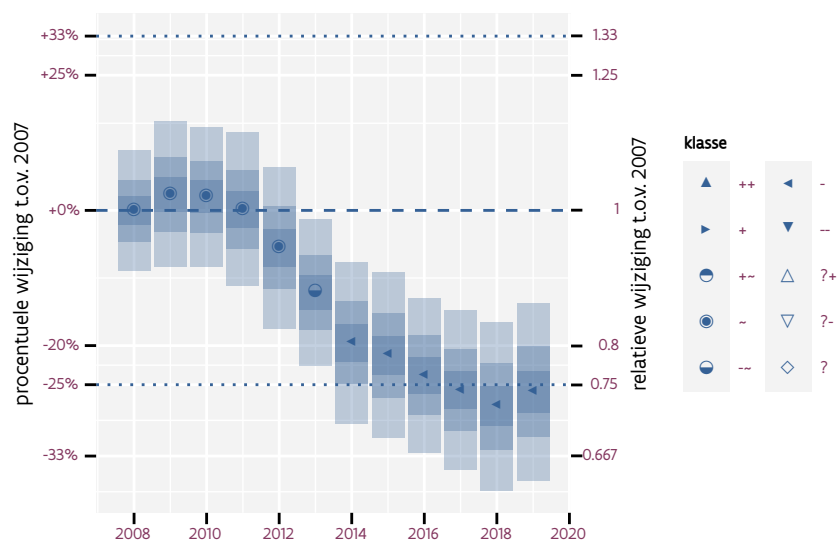
Figuur 37.1: Evolutie van het gemodeleerde gemiddeld aantal waargenomen dieren op een meetpunt voor Gele kwikstaart tijdens de referentieperiode. Zie §4.1 voor een verklaring van de intervallen.



Figuur 37.2: Evolutie van het gemodeleerde gemiddeld aantal waargenomen dieren op een meetpunt voor Gele kwikstaart tijdens de referentieperiode. Zie §4.1 voor een verklaring van de intervallen.



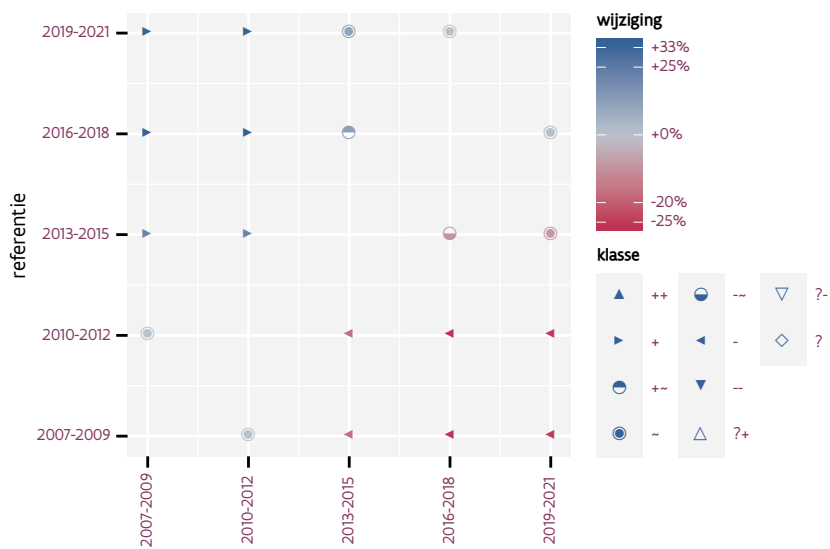
Figuur 37.3: Wijzigingen t.o.v. het eerste driejarige cyclus voor Gele kwikstaart. Zie §4.1 voor een verklaring van de intervallen en §4.2 voor uitleg over de symbolen en referentielijnen.



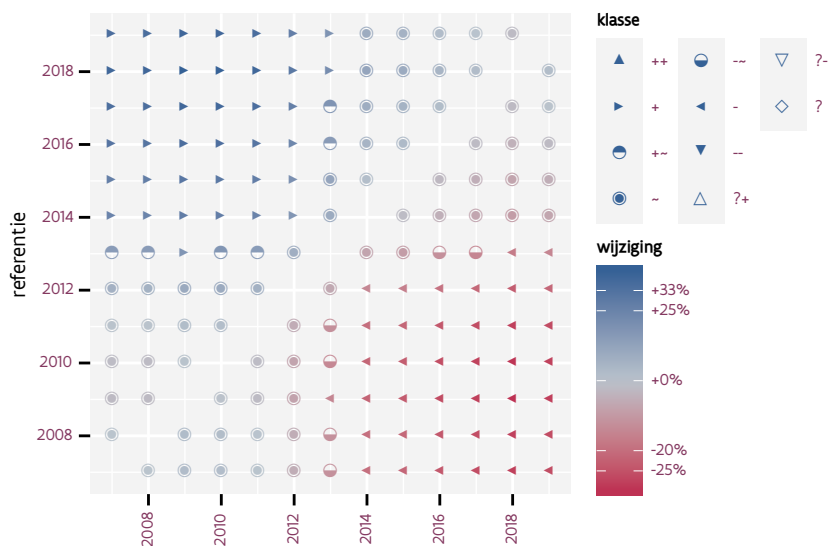
Figuur 37.4: Wijzigingen t.o.v. het eerste jaar voor Gele kwikstaart. Zie §4.1 voor een verklaring van de intervallen en §4.2 voor uitleg over de symbolen en referentielijnen.

Tabel 37.1: Stratumgewicht, raming aan het aantal hokken waarin de soort aanwezig is, aantal relevant hokken voor de analyse, aantal onderzochte hokken in het stratum, totaal aantal hokken van het stratum in Vlaanderen en aantal bezoeken aan een meetpunt voor Gele kwikstaart (zie §3.5).

stratum	gewicht	aanwezig	relevant	onderzocht	totaal	bezoeken
Landbouw	99.4%	2237	151	426	6311	9342
Moeras en water	0.6%	12	7	80	137	447



Figuur 37.5: Paarsgewijze vergelijking tussen driejarige cycli voor Gele kwikstaart. Uitleg van de symbolen in tabel 4.1.



Figuur 37.6: Paarsgewijze vergelijking tussen jaren voor Gele kwikstaart. Uitleg van de symbolen in tabel 4.1.

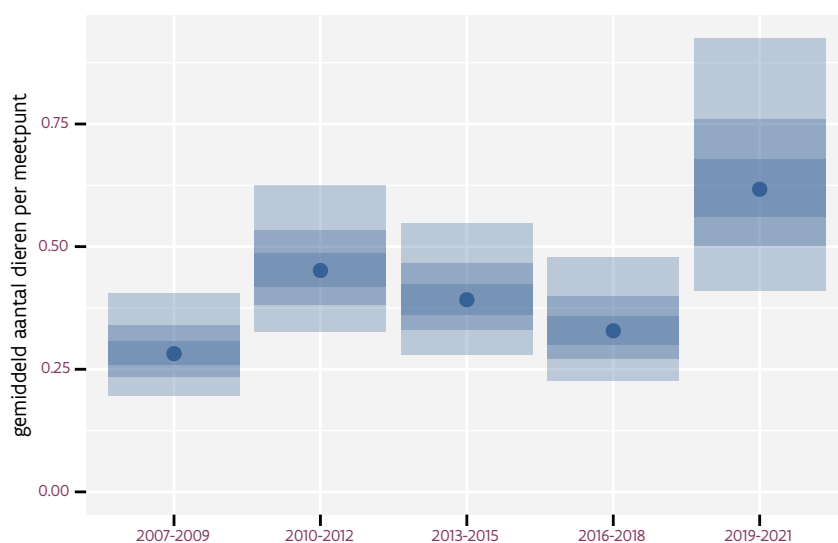
Tabel 37.2: Data-hashes van de analyses in het kader van traceerbaarheid (zie §5.3).

frequentie	model	analyse	status
jaarlijks	lineair	ce452b3dc0139230f966 cb5e4d511efeb78e06df	e163e43593c3d5201598 834a15516cd4df10ca0f
jaarlijks	niet-lineair	88ac36b7b1e19998b637 3dbd82318e8de2880b94	8d83c8b1f38cc49d116c 23d9f0c1efe6c4a0e416
driejaarlijks	lineair	ed9bbde9ce94fe675791 a3a629ed9edc018674e7	87acd95215d85350e5e5 b55cb6a314f10eff62c8
driejaarlijks	niet-lineair	f0f051520c9deb9ba77a 370a89bb27e78ffa2a74	c22f77e9688cca2d9020 86fd54125749fa4c0468

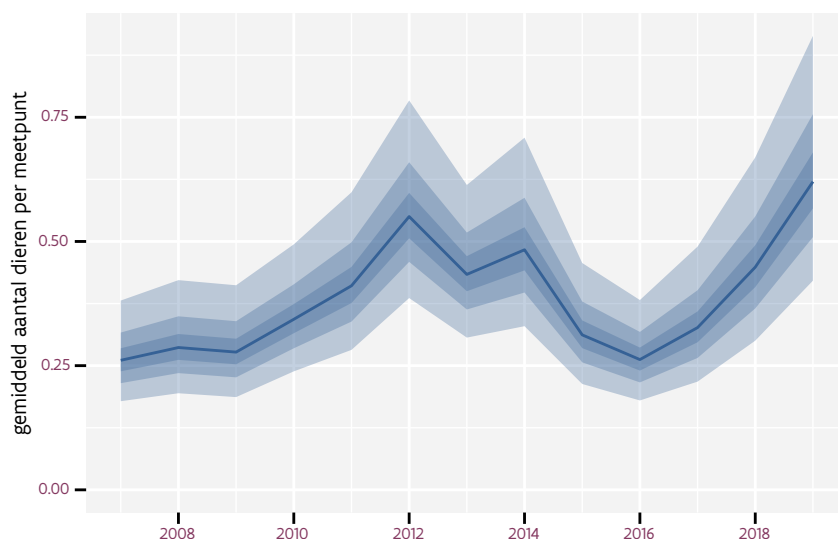
38 GIERZWALUW

Op basis van driejaarlijkse gegevens zien we gemiddeld een toename met +4.3% (+1.6%; +7.0%) per jaar of +65% (+21%; +124%) over de volledige looptijd van het meetnet. Deze trend is niet-lineair.

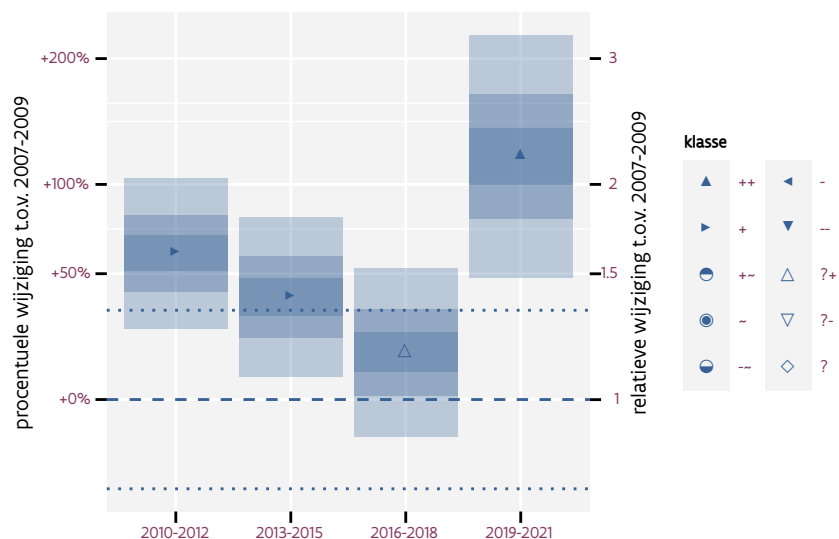
Op basis van jaarlijkse gegevens zien we gemiddeld een toename met +4.4% (+1.8%; +7.1%) per jaar of +68% (+23%; +129%) over de volledige looptijd van het meetnet. Deze trend is niet-lineair.



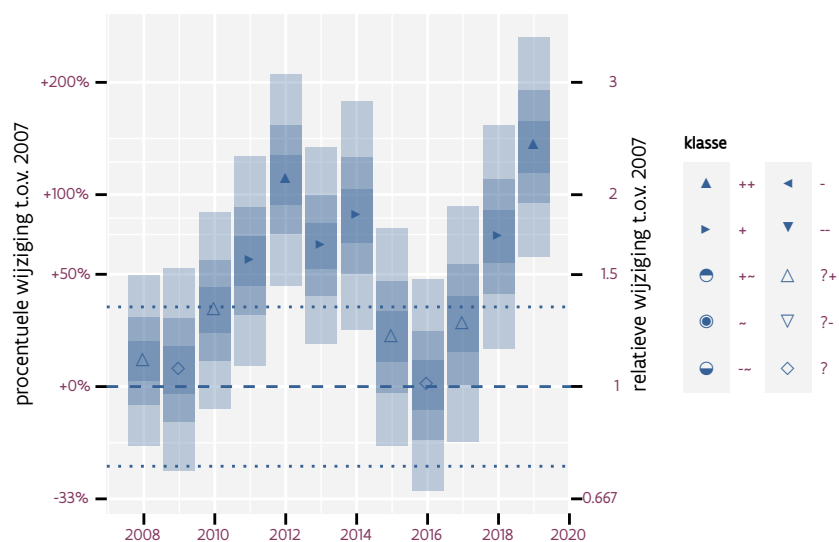
Figuur 38.1: Evolutie van het gemodeleerde gemiddeld aantal waargenomen dieren op een meetpunt voor Gierzwaluw tijdens de referentieperiode. Zie §4.1 voor een verklaring van de intervallen.



Figuur 38.2: Evolutie van het gemodeleerde gemiddeld aantal waargenomen dieren op een meetpunt voor Gierzwaluw tijdens de referentieperiode. Zie §4.1 voor een verklaring van de intervallen.



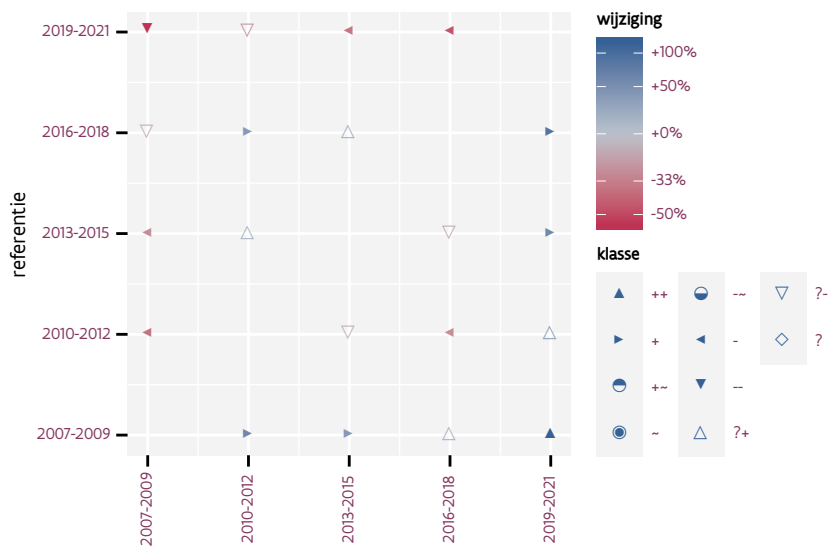
Figuur 38.3: Wijzigingen t.o.v. het eerste driejarige cyclus voor Gierzwaluw. Zie §4.1 voor een verklaring van de intervallen en §4.2 voor uitleg over de symbolen en referentielijnen.



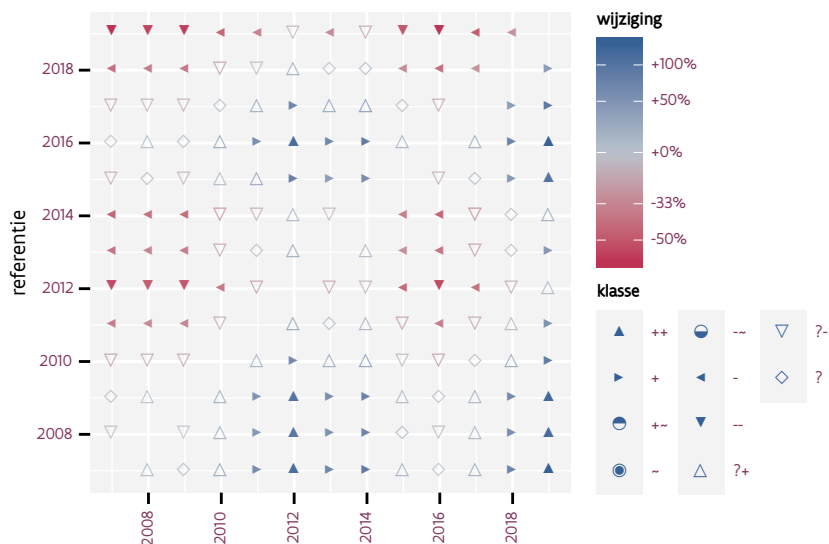
Figuur 38.4: Wijzigingen t.o.v. het eerste jaar voor Gierzwaluw. Zie §4.1 voor een verklaring van de intervallen en §4.2 voor uitleg over de symbolen en referentielijnen.

Tabel 38.1: Stratumgewicht, raming aan het aantal hokken waarin de soort aanwezig is, aantal relevant hokken voor de analyse, aantal onderzochte hokken in het stratum, totaal aantal hokken van het stratum in Vlaanderen en aantal bezoeken aan een meetpunt voor Gierzwaluw (zie §3.5).

stratum	gewicht	aanwezig	relevant	onderzocht	totaal	bezoeken
Landbouw	55.1%	444.4	30	426	6311	1279
Urbaan	29.2%	243.9	51	87	416	1977
Suburbaan	7.4%	59.1	20	68	201	827
Moeras en water	4.1%	32.5	19	80	137	850
Heide en duin	3.1%	24.1	11	91	199	449
Bos	1.0%	6.7	4	190	319	204



Figuur 38.5: Paarsgewijze vergelijking tussen driejarige cycli voor Gierzwaluw. Uitleg van de symbolen in tabel 4.1.



Figuur 38.6: Paarsgewijze vergelijking tussen jaren voor Gierzwaluw. Uitleg van de symbolen in tabel 4.1.

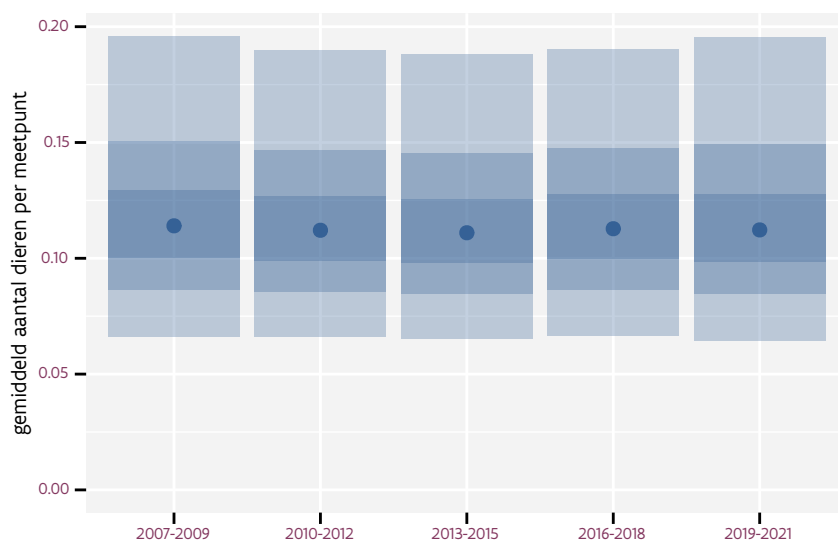
Tabel 38.2: Data-hashes van de analyses in het kader van traceerbaarheid (zie §5.3).

frequentie	model	analyse	status
jaarlijks	lineair	3c5c717c5bf02db9ac74 d97d5f97833bca09360e	107e2cd1552f66817bb4 830349a45af35be80858
jaarlijks	niet-lineair	c9783bd831e1beb0bdee 25a75852e2616775380a	9232db7a1dd5b5ec0472 63d9e6a37e599979315f
driejaarlijks	lineair	2214f0195af2d12d682d b5ae4178fbe023536e2f	663d9b45efa9f763b5e1 68eb11cf62f01022503d
driejaarlijks	niet-lineair	23db228cc509a13de999 a87f9c9ae67ab83a6a1f	733e5991593bc09acff7 6970a183f3d555ebd574

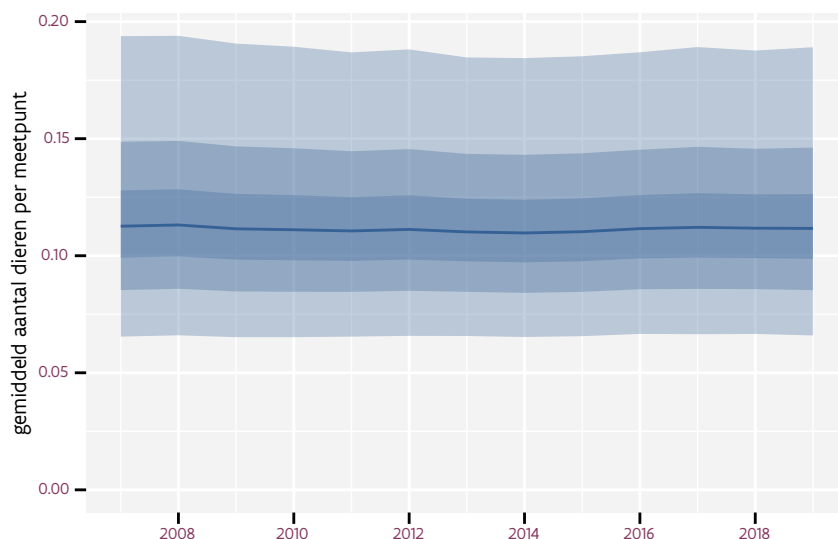
39 GLANSKOP

Op basis van driejaarlijkse gegevens zien we gemiddeld een onduidelijke trend van +0% (-5%; +6%) per jaar of +6% (-46%; +109%) over de volledige looptijd van het meetnet. Deze trend is mogelijk niet-lineair.

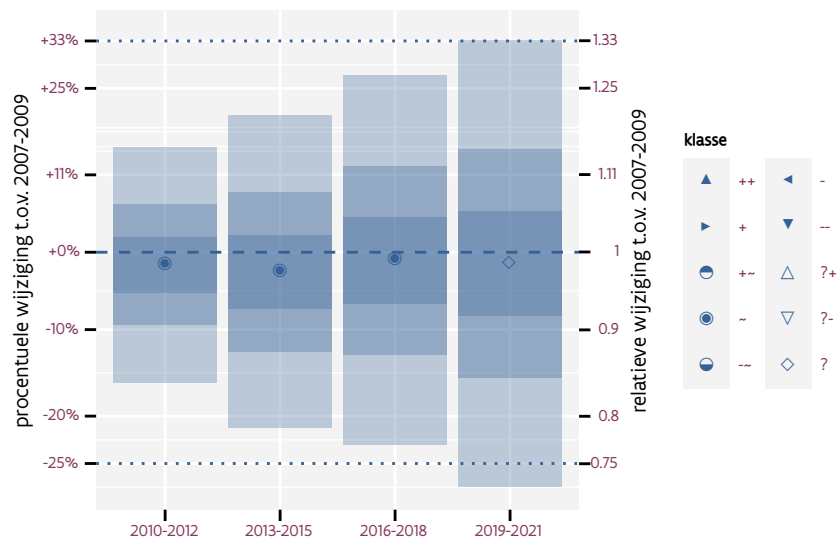
Op basis van jaarlijkse gegevens zien we gemiddeld een onduidelijke trend van +1% (-5%; +7%) per jaar of +8% (-46%; +115%) over de volledige looptijd van het meetnet. Deze trend is mogelijk niet-lineair.



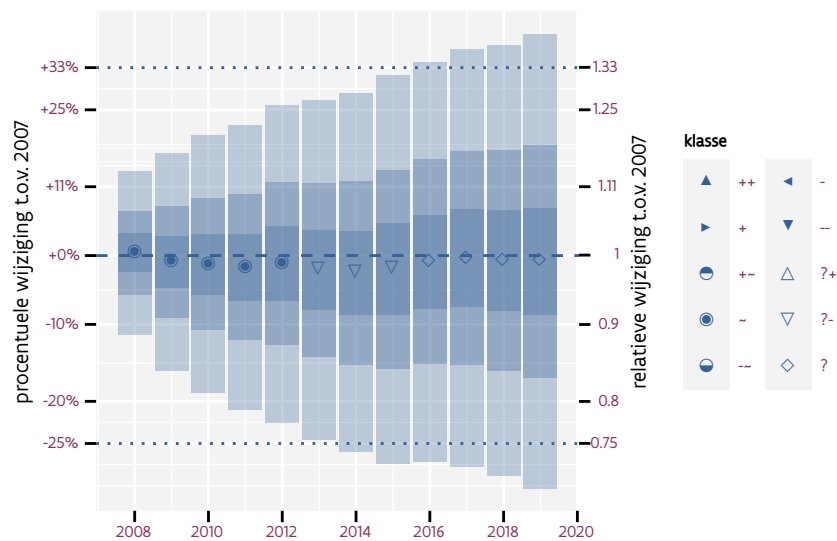
Figuur 39.1: Evolutie van het gemodeleerde gemiddeld aantal waargenomen dieren op een meetpunt voor Glanskop tijdens de referentieperiode. Zie §4.1 voor een verklaring van de intervallen.



Figuur 39.2: Evolutie van het gemodeleerde gemiddeld aantal waargenomen dieren op een meetpunt voor Glanskop tijdens de referentieperiode. Zie §4.1 voor een verklaring van de intervallen.



Figuur 39.3: Wijzigingen t.o.v. het eerste driejarige cyclus voor Glanskop. Zie §4.1 voor een verklaring van de intervallen en §4.2 voor uitleg over de symbolen en referentielijnen.



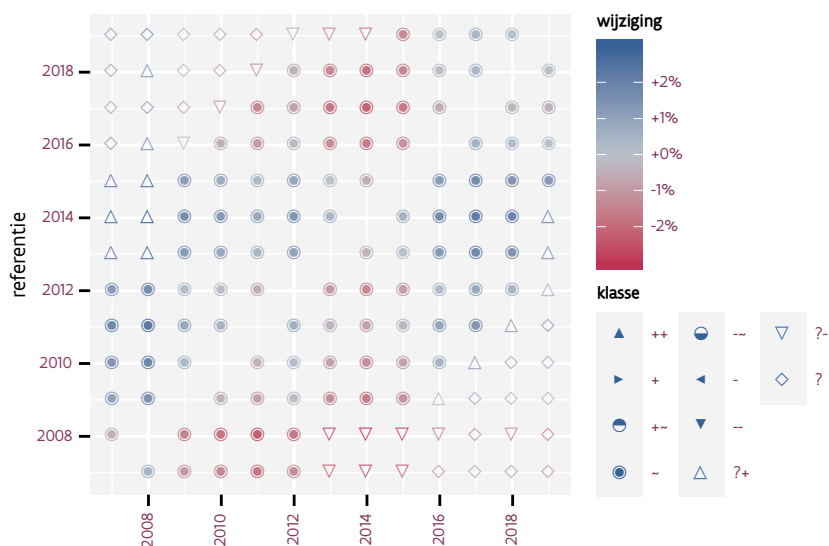
Figuur 39.4: Wijzigingen t.o.v. het eerste jaar voor Glanskop. Zie §4.1 voor een verklaring van de intervallen en §4.2 voor uitleg over de symbolen en referentielijnen.

Tabel 39.1: Stratumgewicht, raming aan het aantal hokken waarin de soort aanwezig is, aantal relevant hokken voor de analyse, aantal onderzochte hokken in het stratum, totaal aantal hokken van het stratum in Vlaanderen en aantal bezoeken aan een meetpunt voor Glanskop (zie §3.5).

stratum	gewicht	aanwezig	relevant	onderzocht	totaal	bezoeken
Landbouw	69.7%	74.1	5	426	6311	328
Bos	30.3%	38.6	23	190	319	1372



Figuur 39.5: Paarsgewijze vergelijking tussen driejarige cycli voor Glanskop. Uitleg van de symbolen in tabel 4.1.



Figuur 39.6: Paarsgewijze vergelijking tussen jaren voor Glanskop. Uitleg van de symbolen in tabel 4.1.

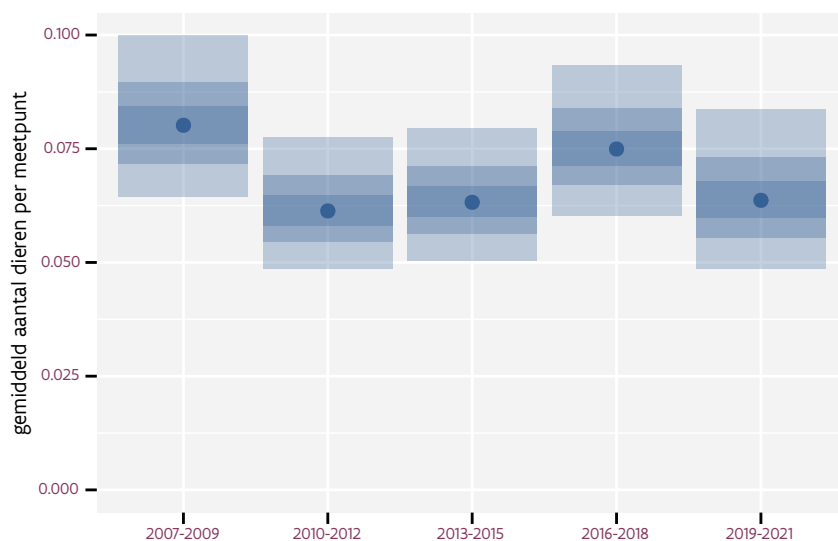
Tabel 39.2: Data-hashes van de analyses in het kader van traceerbaarheid (zie §5.3).

frequentie	model	analyse	status
jaarlijks	lineair	551ea79540d85e395bee db6a76b5b68d1890b95c	4bdc44a204ca45ac8c13 b674cfbf88ded7871825
jaarlijks	niet-lineair	c6a17f50f9845ff60634 35b4e4f4fcdd696f1f64	bd5baf0671fd56e83149 44269acd50c924eea35d
driejaarlijks	lineair	1d4aa831fea7f70fb6f6 420e5b721e4b9e82740a	bbe1d4cc267576da8486 6b87494719b931c95ab3
driejaarlijks	niet-lineair	2c3a7f2a0c4b568f65ba 0fdd25e7f65a951cedd1	94ccfa281345b672c8bc 2c8b074a1e254ffed039

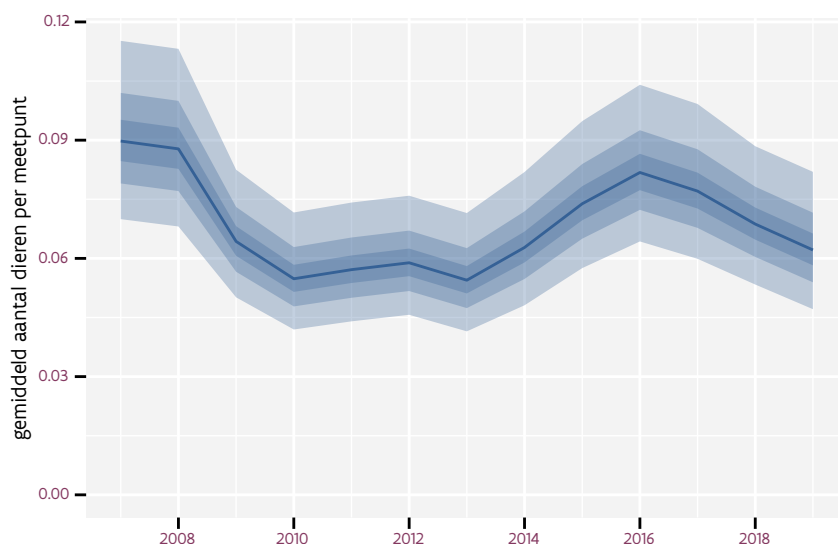
40 GOUDHAAN

Op basis van driejaarlijkse gegevens zien we gemiddeld een mogelijk afname met -1.4% (-3.4%; +0.6%) per jaar of -16% (-34%; +7%) over de volledige looptijd van het meetnet. Deze trend is niet-lineair.

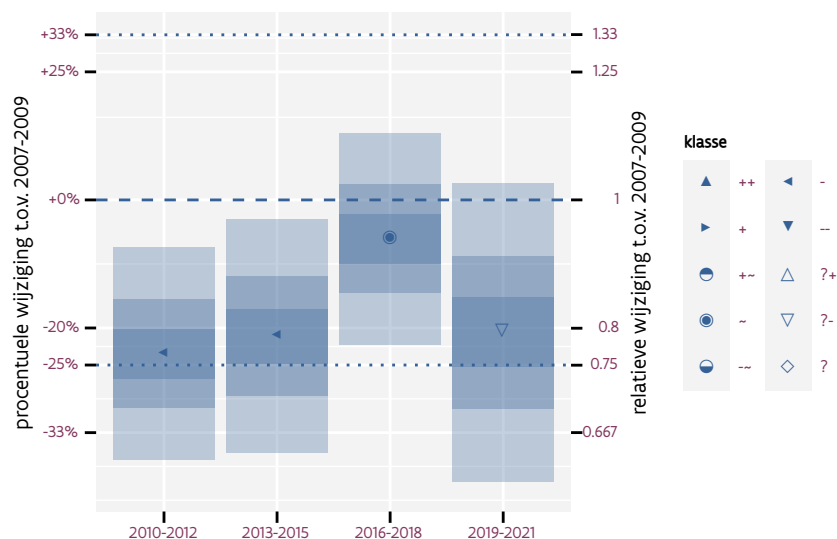
Op basis van jaarlijkse gegevens zien we gemiddeld een mogelijk afname met -1.3% (-3.3%; +0.8%) per jaar of -14% (-33%; +10%) over de volledige looptijd van het meetnet. Deze trend is niet-lineair.



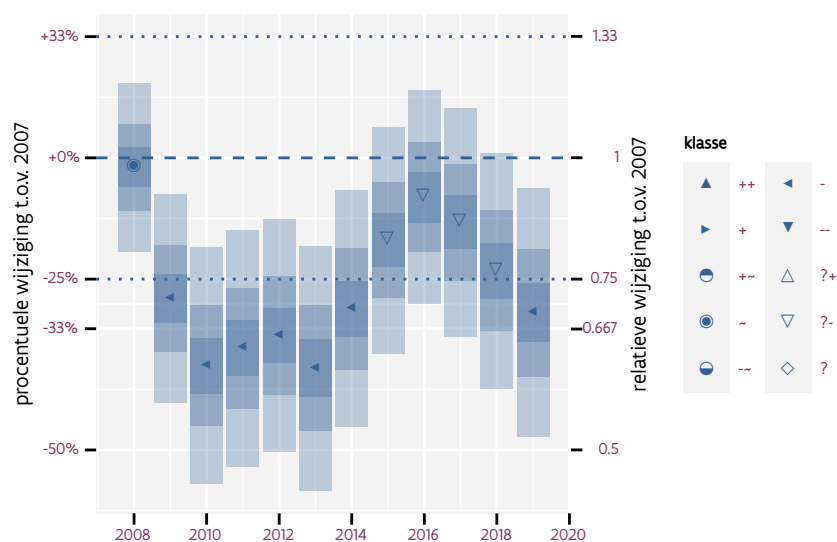
Figuur 40.1: Evolutie van het gemodeleerde gemiddeld aantal waargenomen dieren op een meetpunt voor Goudhaan tijdens de referentieperiode. Zie §4.1 voor een verklaring van de intervallen.



Figuur 40.2: Evolutie van het gemodeleerde gemiddeld aantal waargenomen dieren op een meetpunt voor Goudhaan tijdens de referentieperiode. Zie §4.1 voor een verklaring van de intervallen.



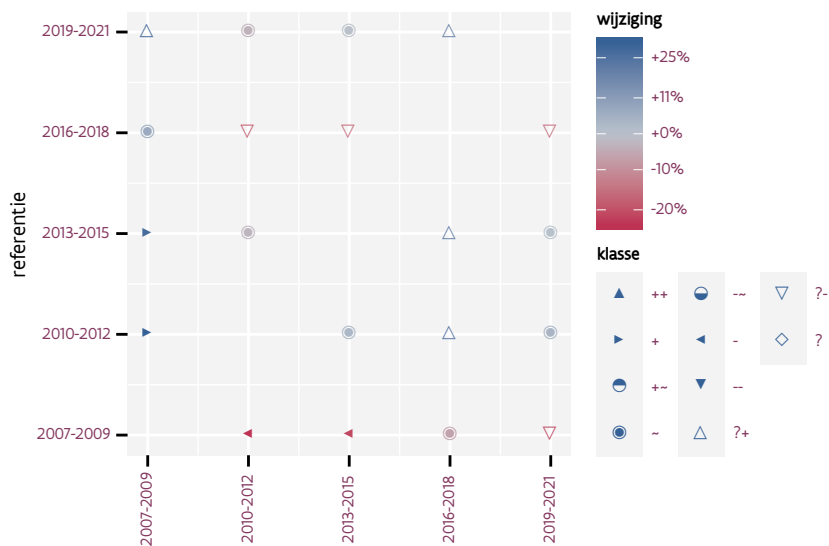
Figuur 40.3: Wijzigingen t.o.v. het eerste driejarige cyclus voor Goudhaan. Zie §4.1 voor een verklaring van de intervallen en §4.2 voor uitleg over de symbolen en referentielijnen.



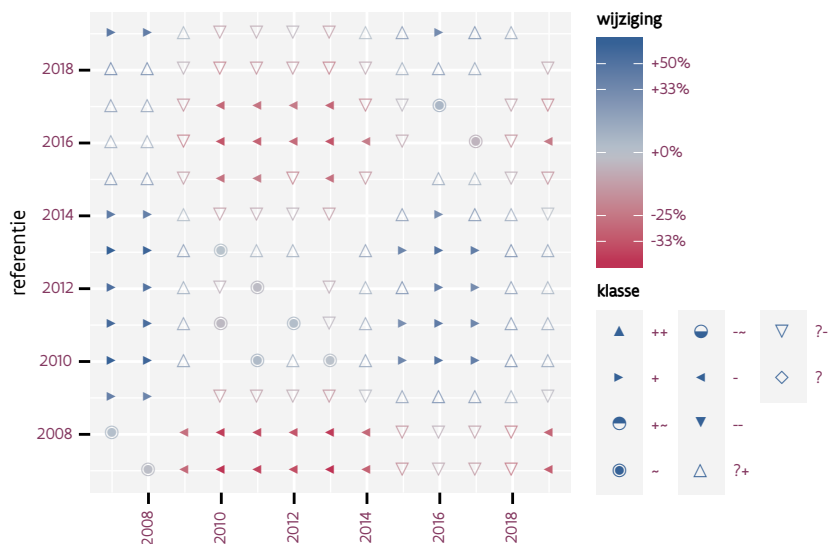
Figuur 40.4: Wijzigingen t.o.v. het eerste jaar voor Goudhaan. Zie §4.1 voor een verklaring van de intervallen en §4.2 voor uitleg over de symbolen en referentielijnen.

Tabel 40.1: Stratumgewicht, raming aan het aantal hokken waarin de soort aanwezig is, aantal relevant hokken voor de analyse, aantal onderzochte hokken in het stratum, totaal aantal hokken van het stratum in Vlaanderen en aantal bezoeken aan een meetpunt voor Goudhaan (zie §3.5).

stratum	gewicht	aanwezig	relevant	onderzocht	totaal	bezoeken
Landbouw	56.7%	459.3	31	426	6311	2156
Bos	17.3%	144.4	86	190	319	5754
Urbaan	10.9%	86.1	18	87	416	1396
Heide en duin	7.1%	56.9	26	91	199	1802
Suburbaan	5.3%	41.4	14	68	201	863
Moeras en water	2.9%	22.3	13	80	137	745



Figuur 40.5: Paarsgewijze vergelijking tussen driejarige cycli voor Goudhaan. Uitleg van de symbolen in tabel 4.1.



Figuur 40.6: Paarsgewijze vergelijking tussen jaren voor Goudhaan. Uitleg van de symbolen in tabel 4.1.

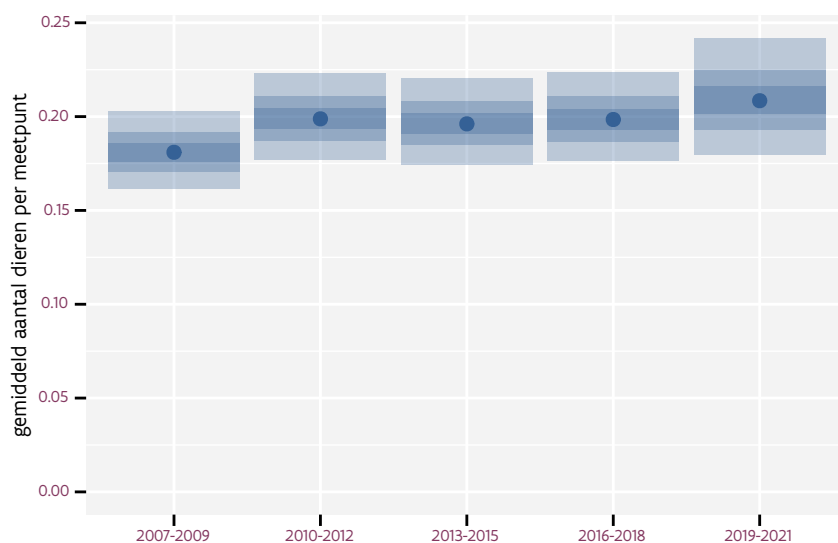
Tabel 40.2: Data-hashes van de analyses in het kader van traceerbaarheid (zie §5.3).

frequentie	model	analyse	status
jaarlijks	lineair	138e7c40ba2b5960f783 49b9a3a6d34247ecab63	5b9487f8eb85b8557b9e c86818cb1c8129f6a6b3
jaarlijks	niet-lineair	fb8273f6001622f8ff94 d557a14f91b6d531c3cb	fec19c530fd62dcc5293 ba10524c2f730df4fa0b
driejaarlijks	lineair	61c5646f507806d24a73 1ee8324416b05297fa92	50ae116b3f55ac0258dd 6f6addb94571923e3b94
driejaarlijks	niet-lineair	861eb8707f171f2eea0d 104ed14a475bb6d81d84	a349acc3f3c272f6134e 7238c5e2eb963dac0602

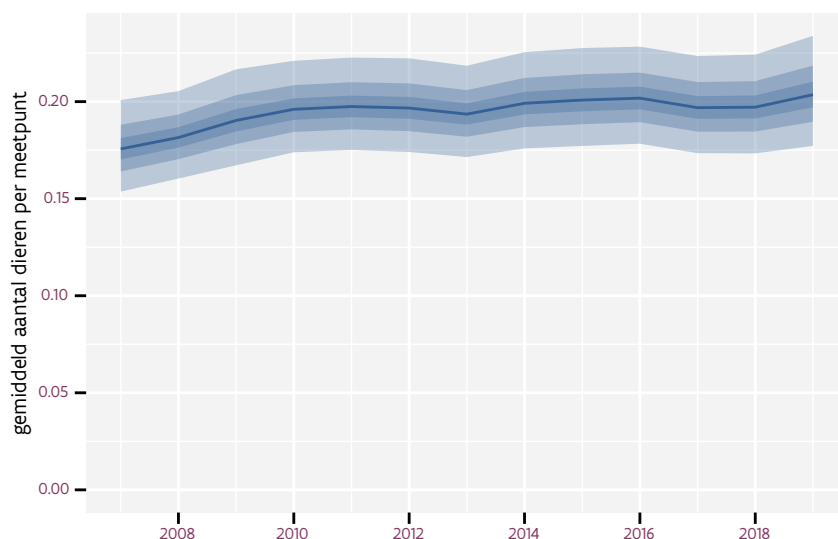
41 GRASMUS

Op basis van driejaarlijkse gegevens zien we gemiddeld een matige toename met +1.01% (+0.04%; +1.99%) per jaar of +13% (+0%; +27%) over de volledige looptijd van het meetnet. Deze trend is niet-lineair.

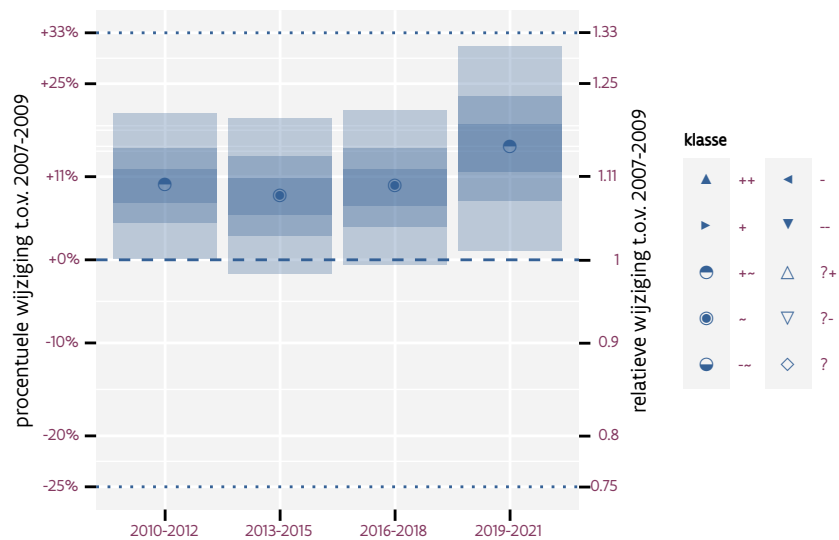
Op basis van jaarlijkse gegevens zien we gemiddeld een matige toename met +1.0% (+0.1%; +2.0%) per jaar of +13% (+1%; +27%) over de volledige looptijd van het meetnet. Deze trend is niet-lineair.



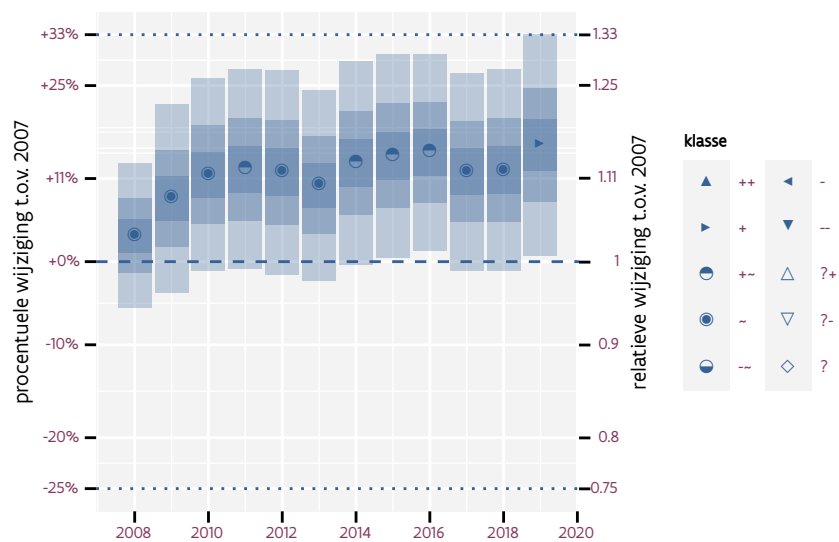
Figuur 41.1: Evolutie van het gemodeleerde gemiddeld aantal waargenomen dieren op een meetpunt voor Grasmus tijdens de referentieperiode. Zie §4.1 voor een verklaring van de intervallen.



Figuur 41.2: Evolutie van het gemodeleerde gemiddeld aantal waargenomen dieren op een meetpunt voor Grasmus tijdens de referentieperiode. Zie §4.1 voor een verklaring van de intervallen.



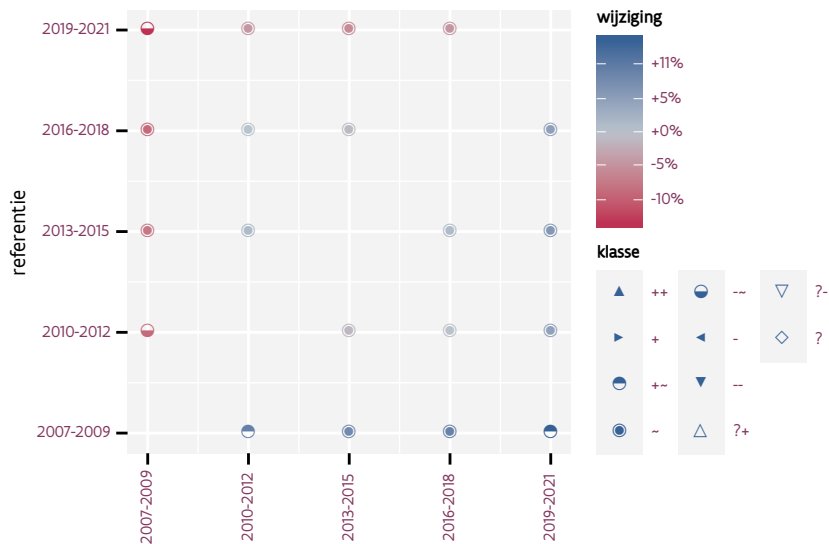
Figuur 41.3: Wijzigingen t.o.v. het eerste driejarige cyclus voor Grasmus. Zie §4.1 voor een verklaring van de intervallen en §4.2 voor uitleg over de symbolen en referentielijnen.



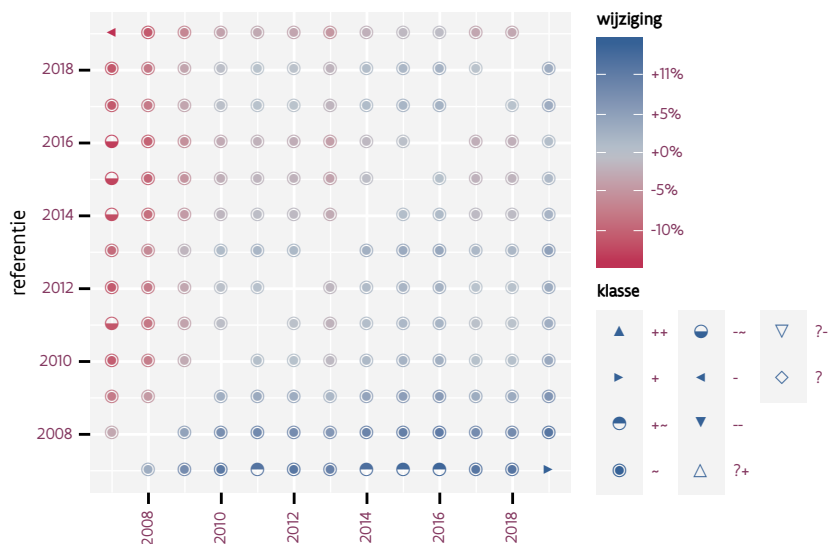
Figuur 41.4: Wijzigingen t.o.v. het eerste jaar voor Grasmus. Zie §4.1 voor een verklaring van de intervallen en §4.2 voor uitleg over de symbolen en referentielijnen.

Tabel 41.1: Stratumgewicht, raming aan het aantal hokken waarin de soort aanwezig is, aantal relevant hokken voor de analyse, aantal onderzochte hokken in het stratum, totaal aantal hokken van het stratum in Vlaanderen en aantal bezoeken aan een meetpunt voor Grasmus (zie §3.5).

stratum	gewicht	aanwezig	relevant	onderzocht	totaal	bezoeken
Landbouw	92.4%	2622.2	177	426	6311	7500
Heide en duin	2.5%	67.8	31	91	199	1139
Moeras en water	2.1%	56.5	33	80	137	1367
Suburbaan	1.4%	35.5	12	68	201	615
Bos	0.9%	23.5	14	190	319	595
Urbaan	0.8%	19.1	4	87	416	179



Figuur 41.5: Paarsgewijze vergelijking tussen driejarige cycli voor Grasmus. Uitleg van de symbolen in tabel 4.1.



Figuur 41.6: Paarsgewijze vergelijking tussen jaren voor Grasmus. Uitleg van de symbolen in tabel 4.1.

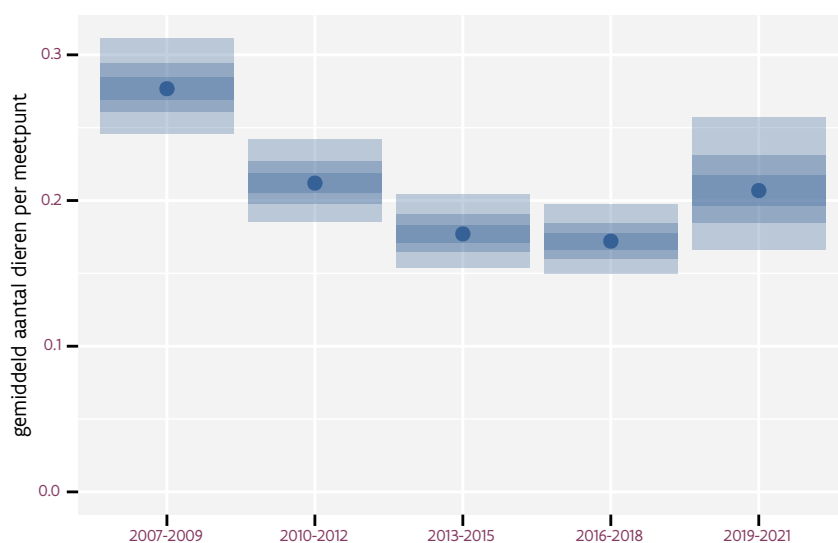
Tabel 41.2: Data-hashes van de analyses in het kader van traceerbaarheid (zie §5.3).

frequentie	model	analyse	status
jaarlijks	lineair	6061baef62ec7ea51faf d256398823de3a01f47f	9bf80cad11c3e59ddce4 6fe7beea784a0f5d1056
jaarlijks	niet-lineair	0702b4f51be951a75899 42b56307d42b27b7c74c	a20a68aaded7124d1ab 41386d9a083d7420db82
driejaarlijks	lineair	b2737432325caf871d1d c7d6a02595bb6f217273	d5248b56ddc930bcc1f4 e314992a1dfe207244c2
driejaarlijks	niet-lineair	462576d0b884271cb7ea 8537d5b4a0cb43f25a49	2afe842eae39c8f31a9c 29ecc88ba26676f57cbf

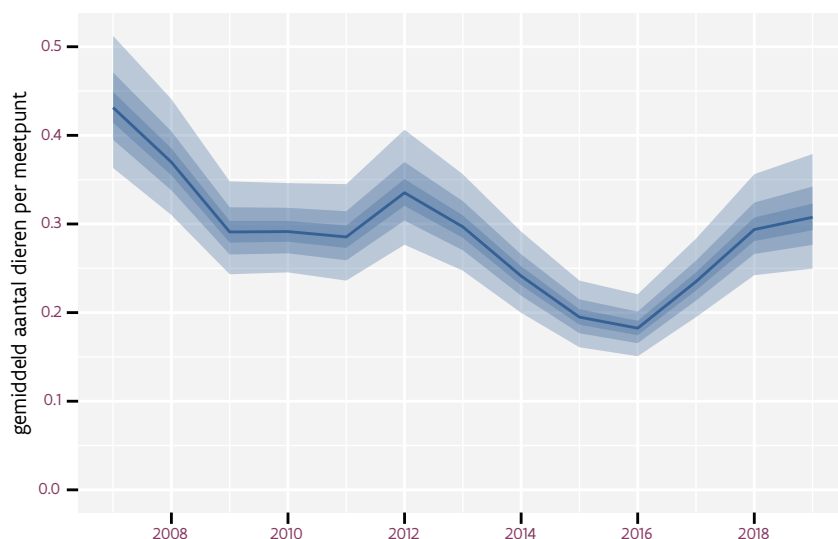
42 GRASPIEPER

Op basis van driejaarlijkse gegevens zien we gemiddeld een afname met -3.3% (-4.6%; -1.9%) per jaar of -33% (-43%; -20%) over de volledige looptijd van het meetnet. Deze trend is niet-lineair.

Op basis van jaarlijkse gegevens zien we gemiddeld een afname met -3.1% (-4.5%; -1.6%) per jaar of -31% (-43%; -18%) over de volledige looptijd van het meetnet. Deze trend is lineair.



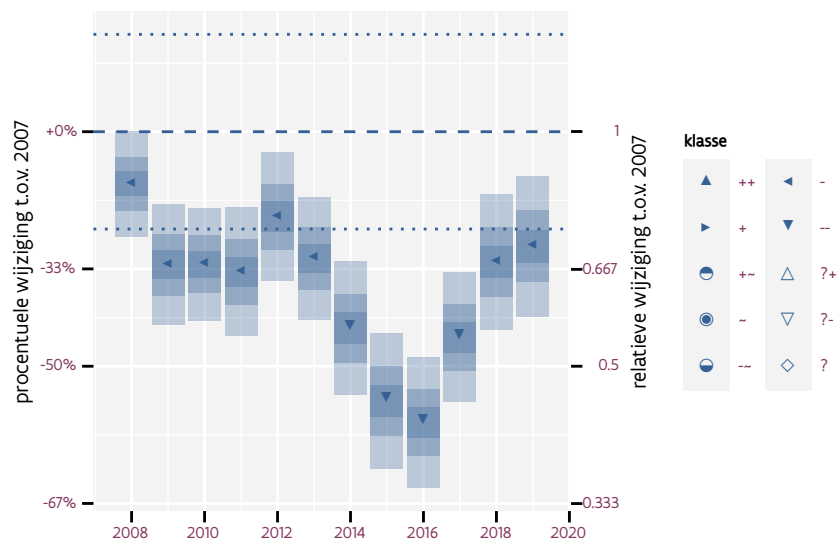
Figuur 42.1: Evolutie van het gemodeleerde gemiddeld aantal waargenomen dieren op een meetpunt voor Graspieper tijdens de referentieperiode. Zie §4.1 voor een verklaring van de intervallen.



Figuur 42.2: Evolutie van het gemodeleerde gemiddeld aantal waargenomen dieren op een meetpunt voor Graspieper tijdens de referentieperiode. Zie §4.1 voor een verklaring van de intervallen.



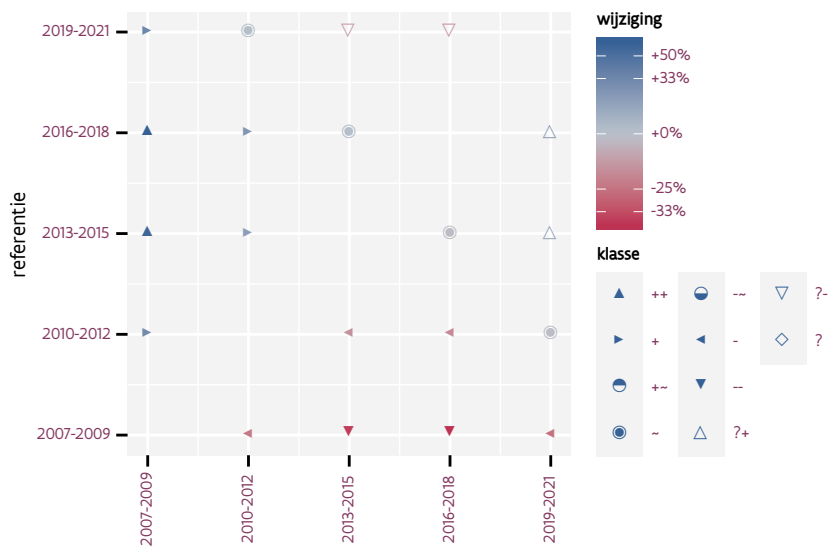
Figuur 42.3: Wijzigingen t.o.v. het eerste driejarige cyclus voor Graspieper. Zie §4.1 voor een verklaring van de intervallen en §4.2 voor uitleg over de symbolen en referentielijnen.



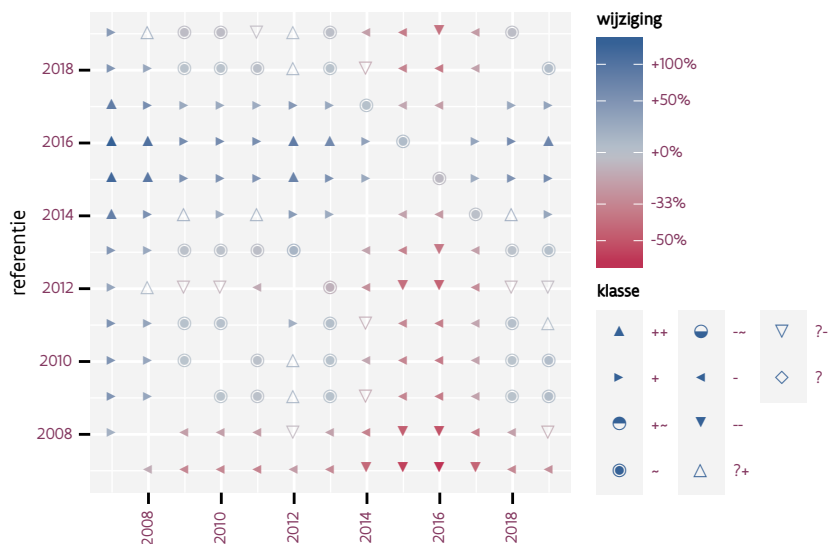
Figuur 42.4: Wijzigingen t.o.v. het eerste jaar voor Graspieper. Zie §4.1 voor een verklaring van de intervallen en §4.2 voor uitleg over de symbolen en referentielijnen.

Tabel 42.1: Stratumgewicht, raming aan het aantal hokken waarin de soort aanwezig is, aantal relevant hokken voor de analyse, aantal onderzochte hokken in het stratum, totaal aantal hokken van het stratum in Vlaanderen en aantal bezoeken aan een meetpunt voor Graspieper (zie §3.5).

stratum	gewicht	aanwezig	relevant	onderzocht	totaal	bezoeken
Landbouw	92.9%	1481.5	100	426	6311	6220
Heide en duin	5.0%	80.9	37	91	199	2273
Suburbaan	1.1%	14.8	5	68	201	142
Moeras en water	1.0%	13.7	8	80	137	530



Figuur 42.5: Paarsgewijze vergelijking tussen driejarige cycli voor Graspieper. Uitleg van de symbolen in tabel 4.1.



Figuur 42.6: Paarsgewijze vergelijking tussen jaren voor Graspieper. Uitleg van de symbolen in tabel 4.1.

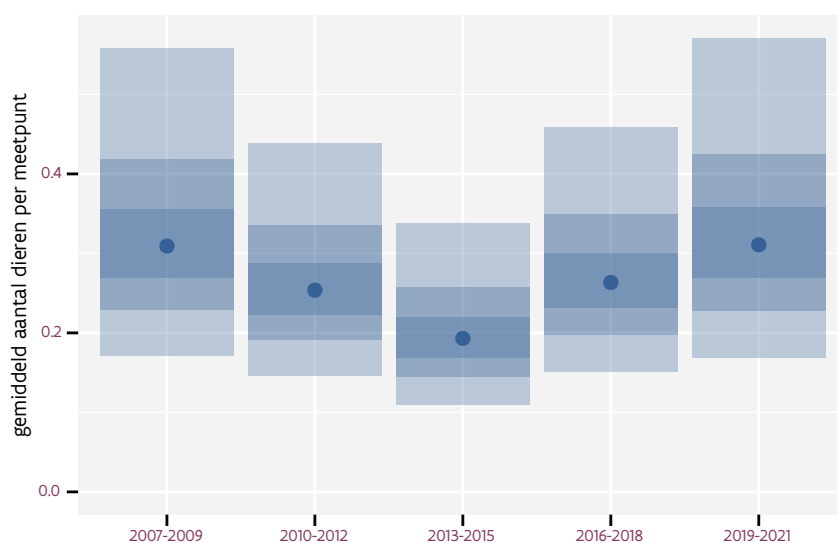
Tabel 42.2: Data-hashes van de analyses in het kader van traceerbaarheid (zie §5.3).

frequentie	model	analyse	status
jaarlijks	lineair	8991009df90fb81fa40b 10132059c250c3b5b099	a21ed2c862d698136044 0e431238d7bc9cd7519d
jaarlijks	niet-lineair	9f61c912263aad18fa2b 941e5cf139e90736de2b	b4e33849e028b66dfe6f 3f30f24609494365e057
driejaarlijks	lineair	24396486739067697811 c92068201067b919c0df	fb1fcbe4d78daf96664a 5b884236aee572201bbe
driejaarlijks	niet-lineair	abd0396da4838e218bd4 5301baff203707b0fbd0	8ecbf129356d96005f46 52af897724c3e1ce7bcf

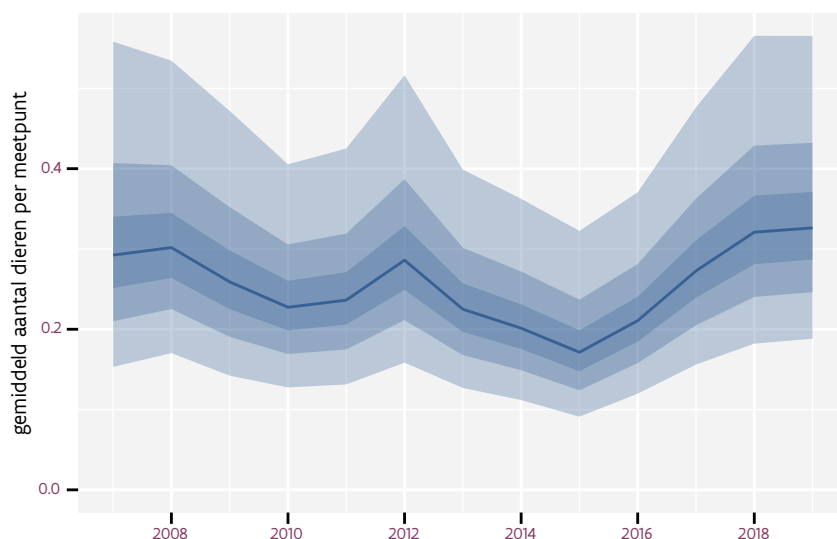
43 GRAUWE GANS

Op basis van driejaarlijkse gegevens zien we gemiddeld een onduidelijke trend van +0.3% (-3.4%; +4.2%) per jaar of +4% (-34%; +64%) over de volledige looptijd van het meetnet. Deze trend is niet-lineair.

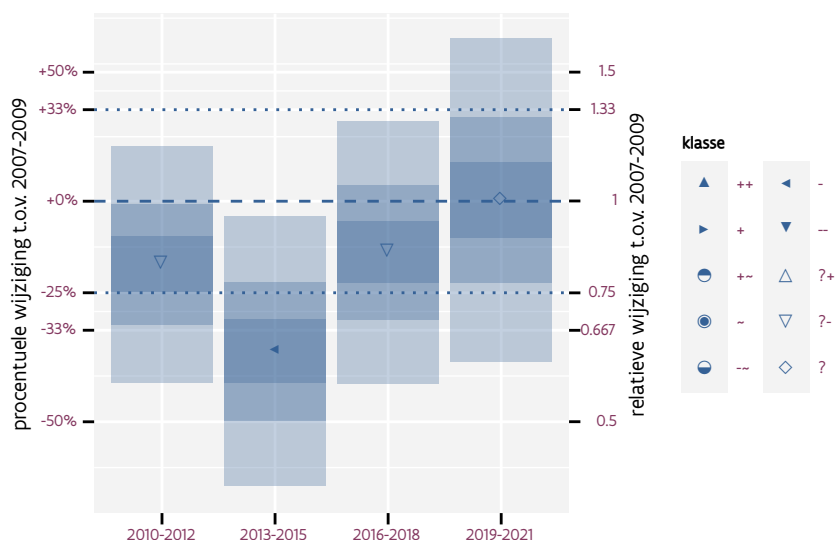
Op basis van jaarlijkse gegevens zien we gemiddeld een onduidelijke trend van +0.8% (-2.9%; +4.7%) per jaar of +10% (-30%; +70%) over de volledige looptijd van het meetnet. Deze trend is niet-lineair.



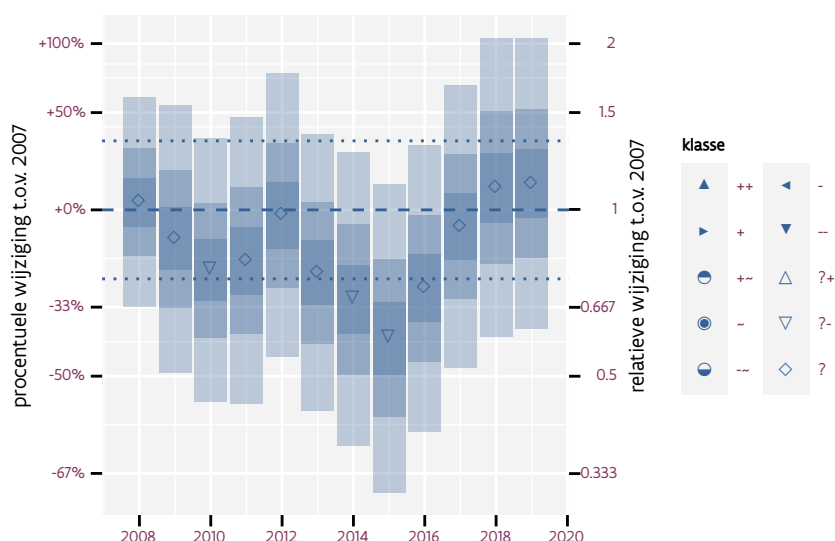
Figuur 43.1: Evolutie van het gemodeleerde gemiddeld aantal waargenomen dieren op een meetpunt voor Grauwe gans tijdens de referentieperiode. Zie §4.1 voor een verklaring van de intervallen.



Figuur 43.2: Evolutie van het gemodeleerde gemiddeld aantal waargenomen dieren op een meetpunt voor Grauwe gans tijdens de referentieperiode. Zie §4.1 voor een verklaring van de intervallen.



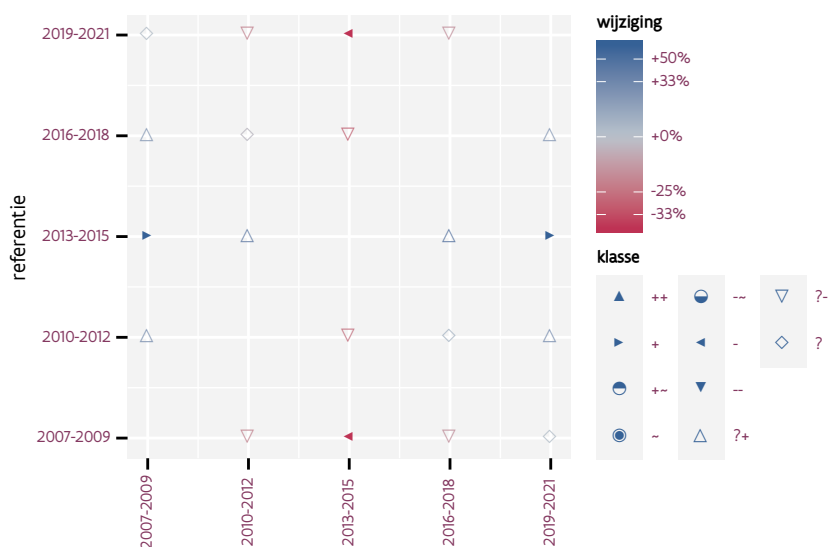
Figuur 43.3: Wijzigingen t.o.v. het eerste driejarige cyclus voor Grauwe gans. Zie §4.1 voor een verklaring van de intervallen en §4.2 voor uitleg over de symbolen en referentielijnen.



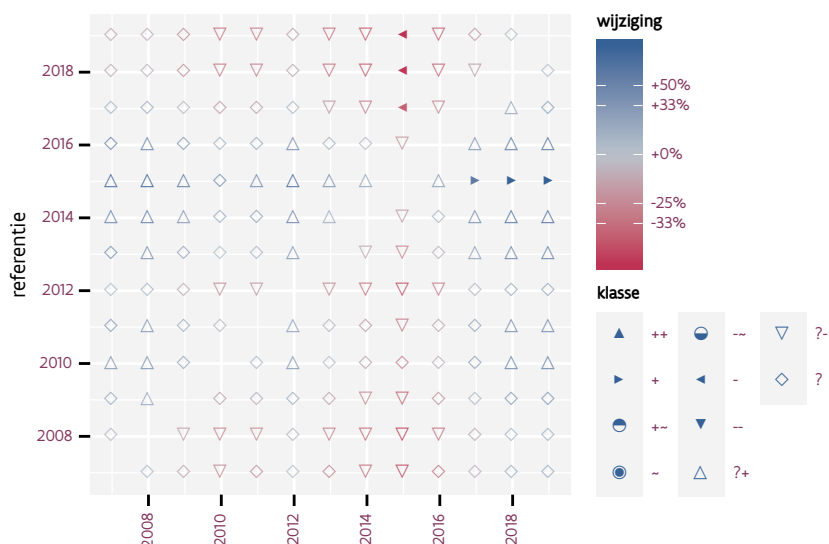
Figuur 43.4: Wijzigingen t.o.v. het eerste jaar voor Grauwe gans. Zie §4.1 voor een verklaring van de intervallen en §4.2 voor uitleg over de symbolen en referentielijnen.

Tabel 43.1: Stratumgewicht, raming aan het aantal hokken waarin de soort aanwezig is, aantal relevant hokken voor de analyse, aantal onderzochte hokken in het stratum, totaal aantal hokken van het stratum in Vlaanderen en aantal bezoeken aan een meetpunt voor Grauwe gans (zie §3.5).

stratum	gewicht	aanwezig	relevant	onderzocht	totaal	bezoeken
Landbouw	86.1%	429.6	29	426	6311	1965
Moeras en water	8.2%	39.4	23	80	137	1353
Heide en duin	3.9%	17.5	8	91	199	480
Bos	1.7%	6.7	4	190	319	285



Figuur 43.5: Paarsgewijze vergelijking tussen driejarige cycli voor Grauwe gans. Uitleg van de symbolen in tabel 4.1.



Figuur 43.6: Paarsgewijze vergelijking tussen jaren voor Grauwe gans. Uitleg van de symbolen in tabel 4.1.

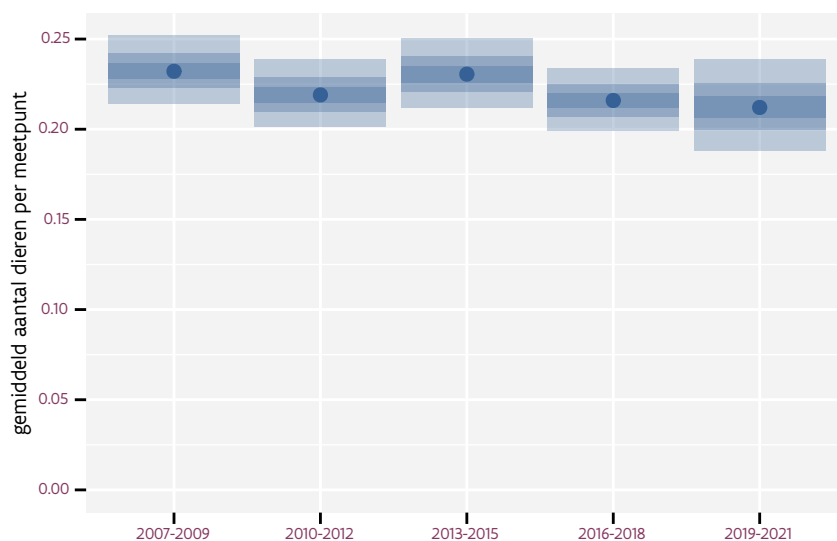
Tabel 43.2: Data-hashes van de analyses in het kader van traceerbaarheid (zie §5.3).

frequentie	model	analyse	status
jaarlijks	lineair	b01a2964c5bfe76193ca ff02d18a706d7efde887	d2dea96f503d8b9d29ef 57bcdb231c678ec98611
jaarlijks	niet-lineair	8f77964d2cdd72433509 b628da7a310cf061eccc	202f1e2b85a888783a76 bff412d9cb34b927320a
driejaarlijks	lineair	224db44a85b129f0b7e2 a5e320d19c8fffae6f8d	3017932843ae9705d5b6 82dbcd524e4133bdca49
driejaarlijks	niet-lineair	aeb0947a994b5c27dc28 c063d77c648060843796	921c419bc1b34c976c81 1d88c2338f334816ed65

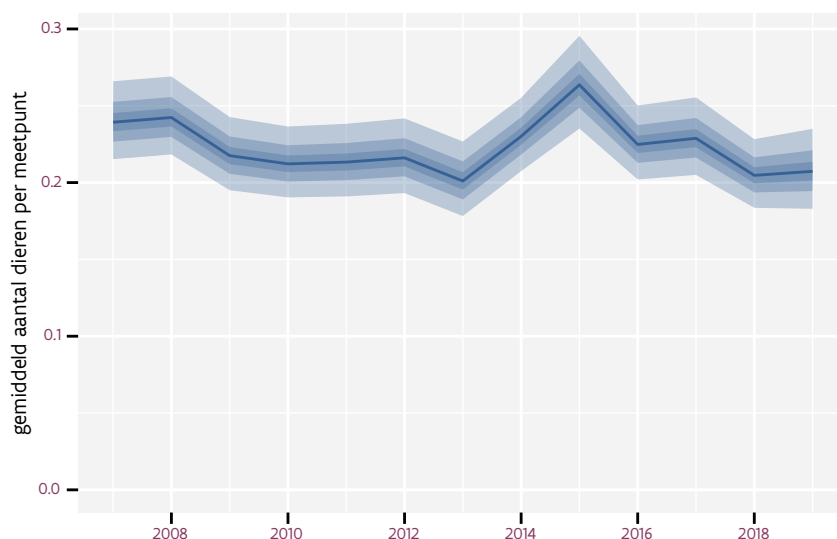
44 GROENE SPECHT

Op basis van driejaarlijkse gegevens zien we gemiddeld een stabiele trend van -0.66% (-1.44% ; $+0.13\%$) per jaar of -7.6% (-16.0% ; $+1.5\%$) over de volledige looptijd van het meetnet. Deze trend is niet-lineair.

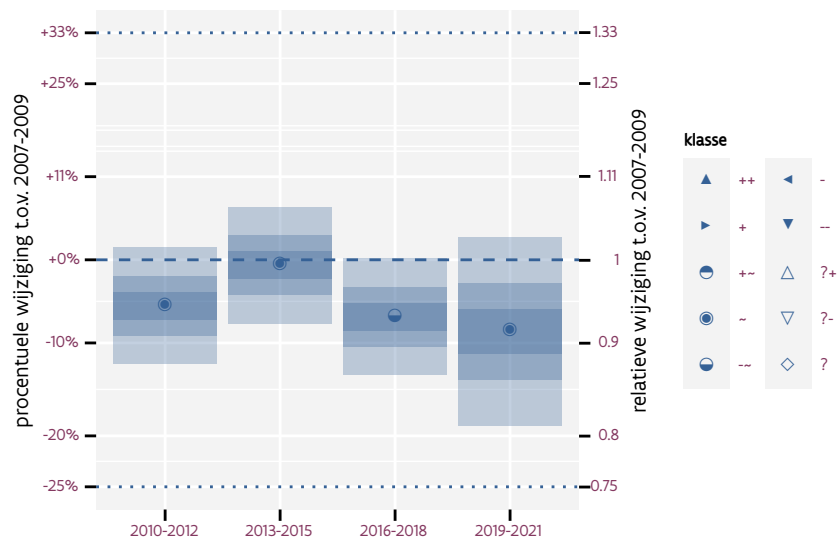
Op basis van jaarlijkse gegevens zien we gemiddeld een stabiele trend van -0.52% (-1.30% ; $+0.26\%$) per jaar of -6.1% (-14.6% ; $+3.2\%$) over de volledige looptijd van het meetnet. Deze trend is niet-lineair.



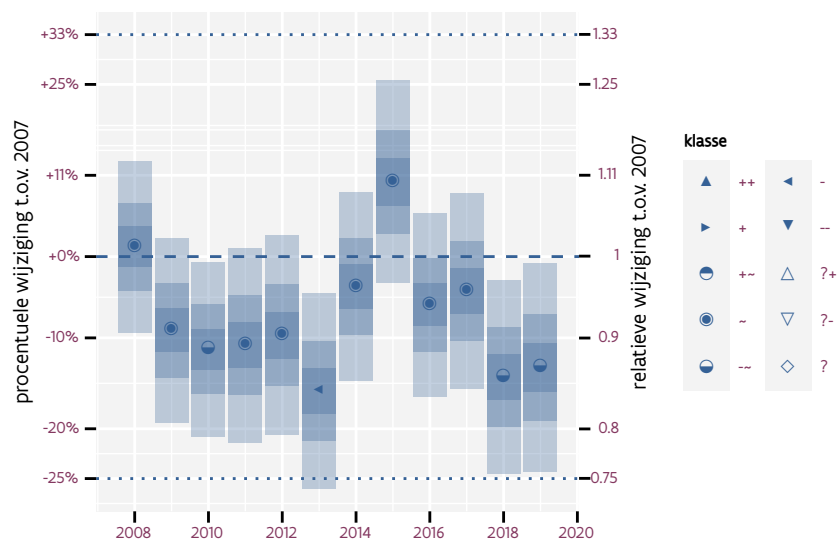
Figuur 44.1: Evolutie van het gemodeleerde gemiddeld aantal waargenomen dieren op een meetpunt voor Groene specht tijdens de referentieperiode. Zie §4.1 voor een verklaring van de intervallen.



Figuur 44.2: Evolutie van het gemodeleerde gemiddeld aantal waargenomen dieren op een meetpunt voor Groene specht tijdens de referentieperiode. Zie §4.1 voor een verklaring van de intervallen.



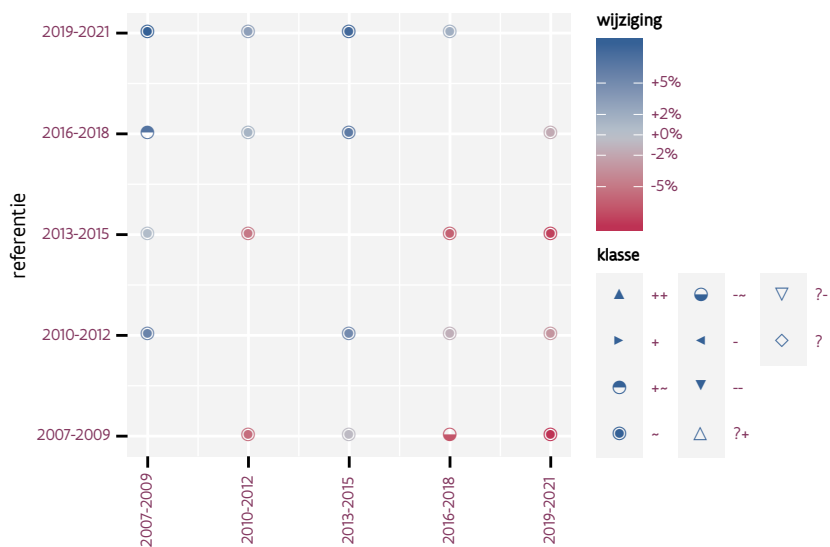
Figuur 44.3: Wijzigingen t.o.v. het eerste driejarige cyclus voor Groene specht. Zie §4.1 voor een verklaring van de intervallen en §4.2 voor uitleg over de symbolen en referentielijnen.



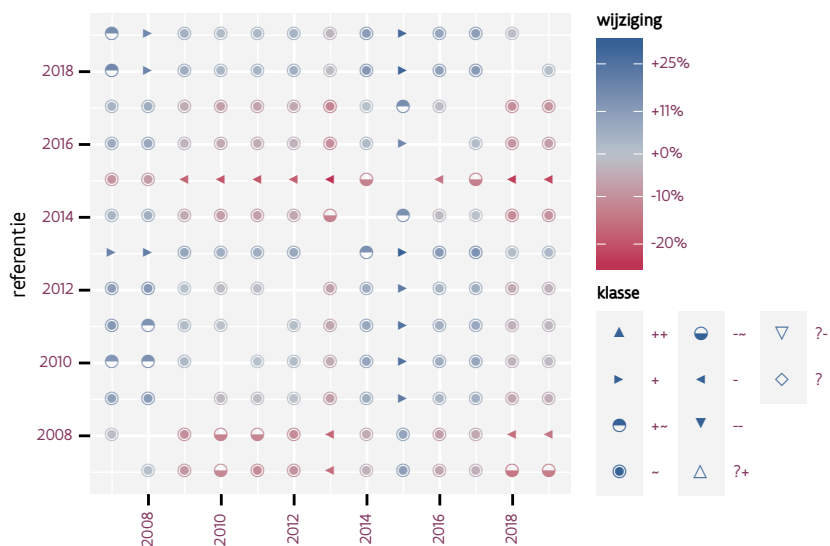
Figuur 44.4: Wijzigingen t.o.v. het eerste jaar voor Groene specht. Zie §4.1 voor een verklaring van de intervallen en §4.2 voor uitleg over de symbolen en referentielijnen.

Tabel 44.1: Stratumgewicht, raming aan het aantal hokken waarin de soort aanwezig is, aantal relevant hokken voor de analyse, aantal onderzochte hokken in het stratum, totaal aantal hokken van het stratum in Vlaanderen en aantal bezoeken aan een meetpunt voor Groene specht (zie §3.5).

stratum	gewicht	aanwezig	relevant	onderzocht	totaal	bezoeken
Landbouw	86.8%	3274.0	221	426	6311	13257
Urbaan	3.6%	129.1	27	87	416	1814
Bos	3.0%	110.8	66	190	319	4700
Suburbaan	2.4%	88.7	30	68	201	1665
Heide en duin	2.4%	87.5	40	91	199	2687
Moeras en water	1.8%	66.8	39	80	137	2415



Figuur 44.5: Paarsgewijze vergelijking tussen driejarige cycli voor Groene specht. Uitleg van de symbolen in tabel 4.1.



Figuur 44.6: Paarsgewijze vergelijking tussen jaren voor Groene specht. Uitleg van de symbolen in tabel 4.1.

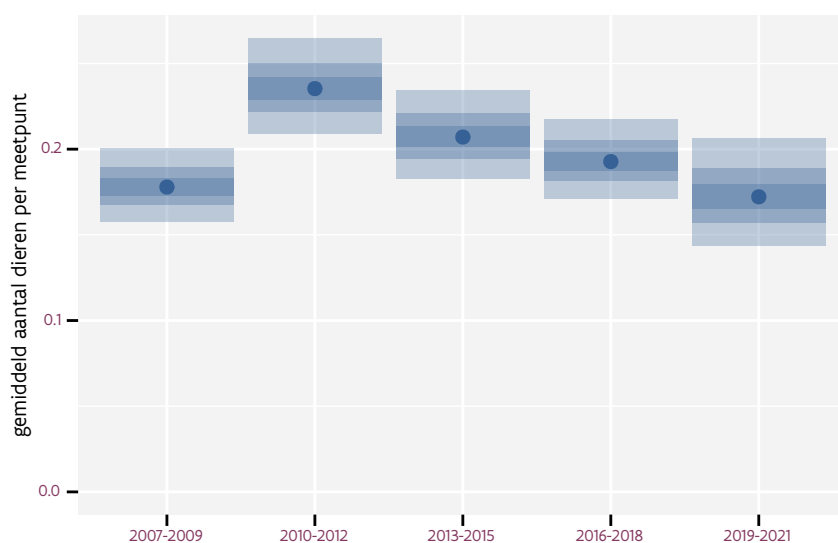
Tabel 44.2: Data-hashes van de analyses in het kader van traceerbaarheid (zie §5.3).

frequentie	model	analyse	status
jaarlijks	lineair	384f43e5a0fa5e1fc4d7 a0dad7d3e9dc4d488c21	5140acf54b4ab74e909f f90c55fb0ac3d7bafbe0
jaarlijks	niet-lineair	96a777c803b8f2106e2a 21d19b3ba17af3016328	542c2102f431f77b999eb 41caf512b9e7cb4c5740
driejaarlijks	lineair	75e2b42183c59d6c52cc f2e2cc7dff5a5e4155e7	9d3b19df0ad147a6ef24 634bcd5caa1f31f214a9
driejaarlijks	niet-lineair	c2181d7f38dc4fbf703c d36c0c51d3f25bacd2f3	0a570677a5c97b2b9756 f5ed3a9936c82abe6d88

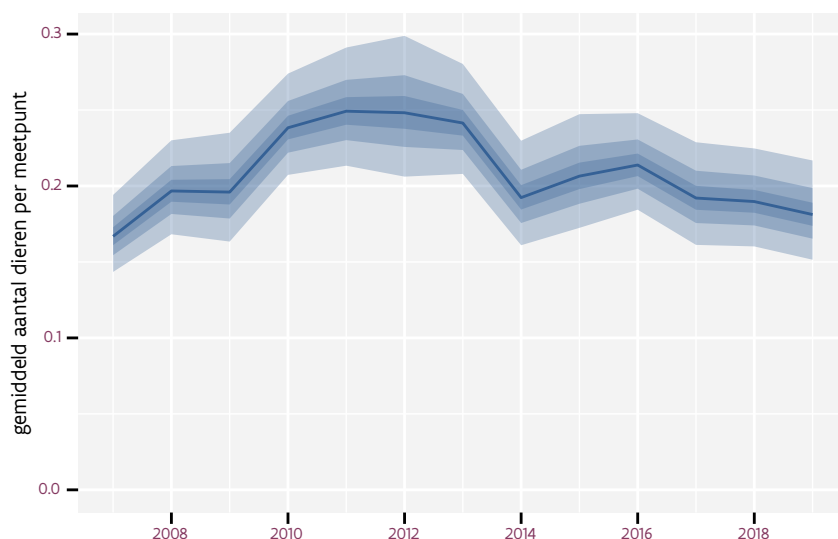
45 GROENLING

Op basis van driejaarlijkse gegevens zien we gemiddeld een stabiele trend van +0.04% (-0.94%; +1.03%) per jaar of +0.5% (-10.7%; +13.1%) over de volledige looptijd van het meetnet. Deze trend is lineair.

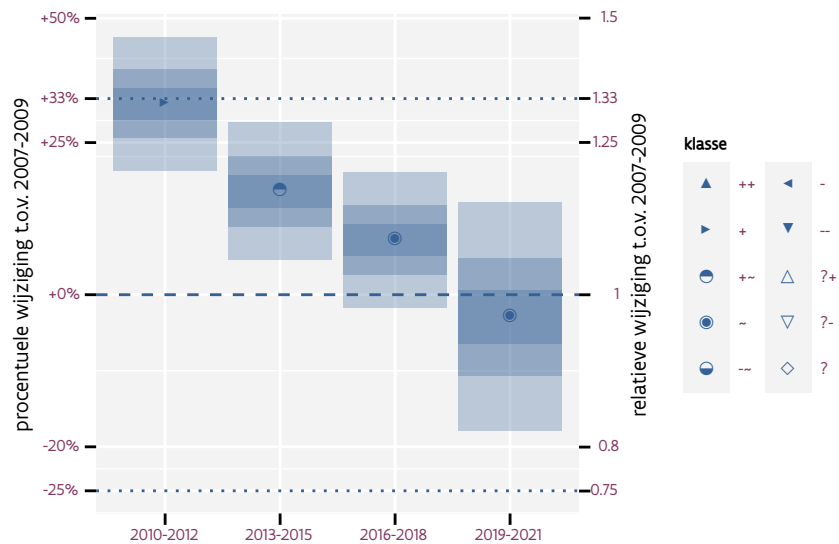
Op basis van jaarlijkse gegevens zien we gemiddeld een stabiele trend van +0.00% (-0.99%; +1.00%) per jaar of +0.0% (-11.2%; +12.7%) over de volledige looptijd van het meetnet. Deze trend is lineair.



Figuur 45.1: Evolutie van het gemodeleerde gemiddeld aantal waargenomen dieren op een meetpunt voor Groenling tijdens de referentieperiode. Zie §4.1 voor een verklaring van de intervallen.



Figuur 45.2: Evolutie van het gemodeleerde gemiddeld aantal waargenomen dieren op een meetpunt voor Groenling tijdens de referentieperiode. Zie §4.1 voor een verklaring van de intervallen.



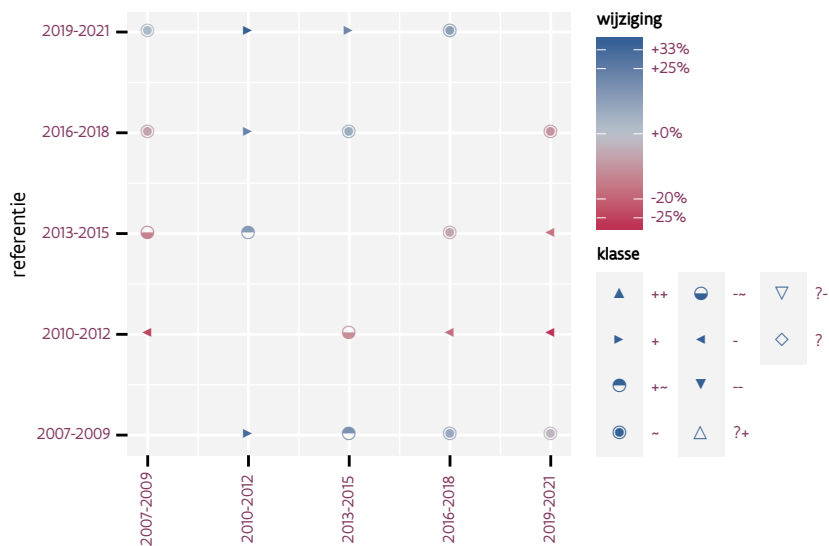
Figuur 45.3: Wijzigingen t.o.v. het eerste driejarige cyclus voor Groenling. Zie §4.1 voor een verklaring van de intervallen en §4.2 voor uitleg over de symbolen en referentielijnen.



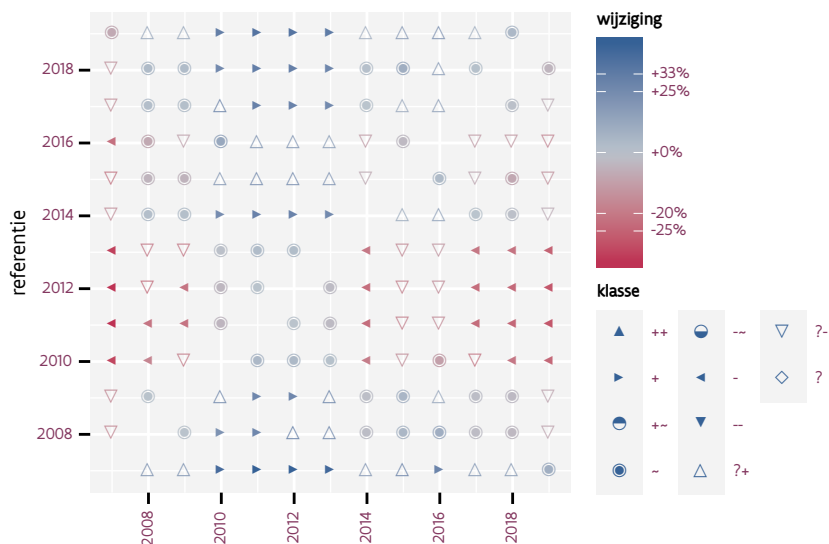
Figuur 45.4: Wijzigingen t.o.v. het eerste jaar voor Groenling. Zie §4.1 voor een verklaring van de intervallen en §4.2 voor uitleg over de symbolen en referentielijnen.

Tabel 45.1: Stratumgewicht, raming aan het aantal hokken waarin de soort aanwezig is, aantal relevant hokken voor de analyse, aantal onderzochte hokken in het stratum, totaal aantal hokken van het stratum in Vlaanderen en aantal bezoeken aan een meetpunt voor Groenling (zie §3.5).

stratum	gewicht	aanwezig	relevant	onderzocht	totaal	bezoeken
Landbouw	85.2%	2800.0	189	426	6311	11358
Urbaan	7.9%	253.4	53	87	416	3124
Suburbaan	2.9%	91.6	31	68	201	1965
Bos	1.6%	52.0	31	190	319	2226
Moeras en water	1.3%	41.1	24	80	137	1487
Heide en duin	1.1%	35.0	16	91	199	999



Figuur 45.5: Paarsgewijze vergelijking tussen driejarige cycli voor Groenling. Uitleg van de symbolen in tabel 4.1.



Figuur 45.6: Paarsgewijze vergelijking tussen jaren voor Groenling. Uitleg van de symbolen in tabel 4.1.

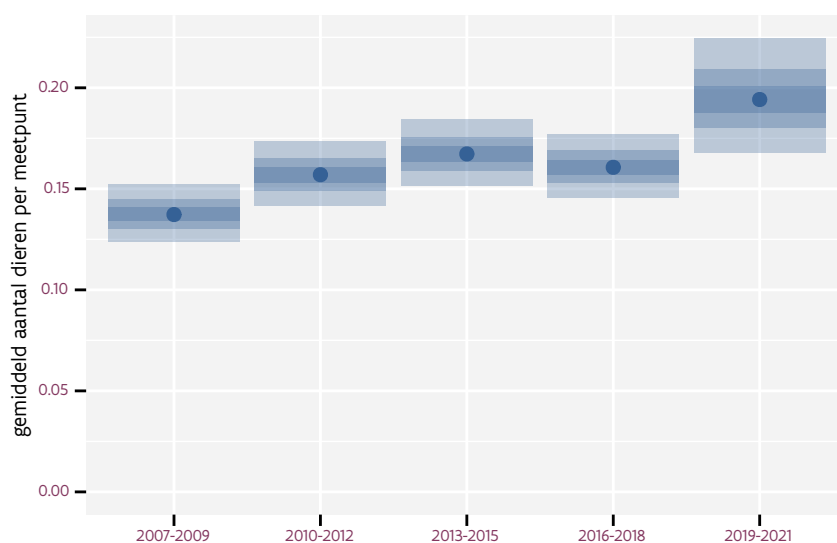
Tabel 45.2: Data-hashes van de analyses in het kader van traceerbaarheid (zie §5.3).

frequentie	model	analyse	status
jaarlijks	lineair	504593872d448e60588d 42c2491a1a574b09bb3d	b67d3e3fffbfe4cd12b2 58e05ea4fa556266f7f4
jaarlijks	niet-lineair	1395fc5bb164aaaf0a36 53c59b47647bdfae1627	cbb5fb1a99e12c0bc717 11c17b03601877fa211a
driejaarlijks	lineair	c8ad083bd5114f0cc585 a718c577f2c2c89ab37f	4a9045474b716af4a18d f059565e238b0747c076
driejaarlijks	niet-lineair	9864ab8a6fb00a40ca95 5920586507f155706628	c3c9680f9cd04af0d51c dc56a5d9d2da50ab7fb8

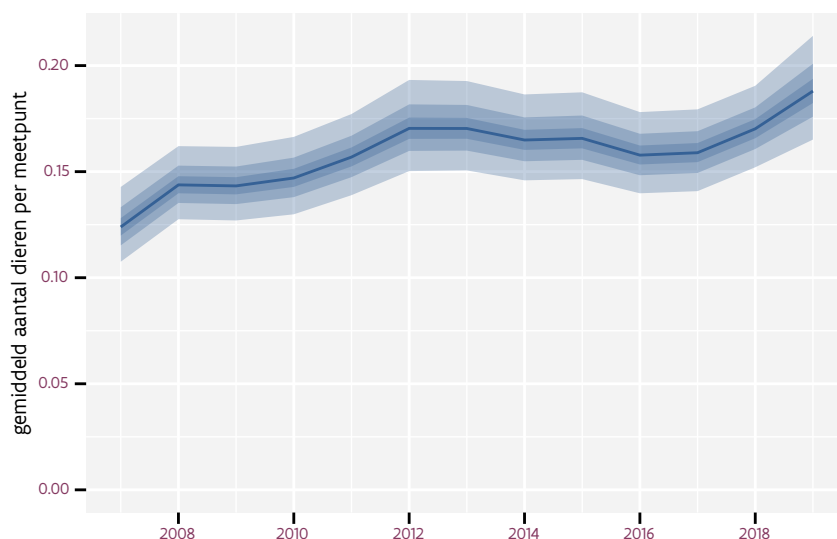
46 GROTE BONTE SPECHT

Op basis van driejaarlijkse gegevens zien we gemiddeld een toename met +2.3% (+1.3%; +3.3%) per jaar of +31% (+17%; +48%) over de volledige looptijd van het meetnet. Deze trend is niet-lineair.

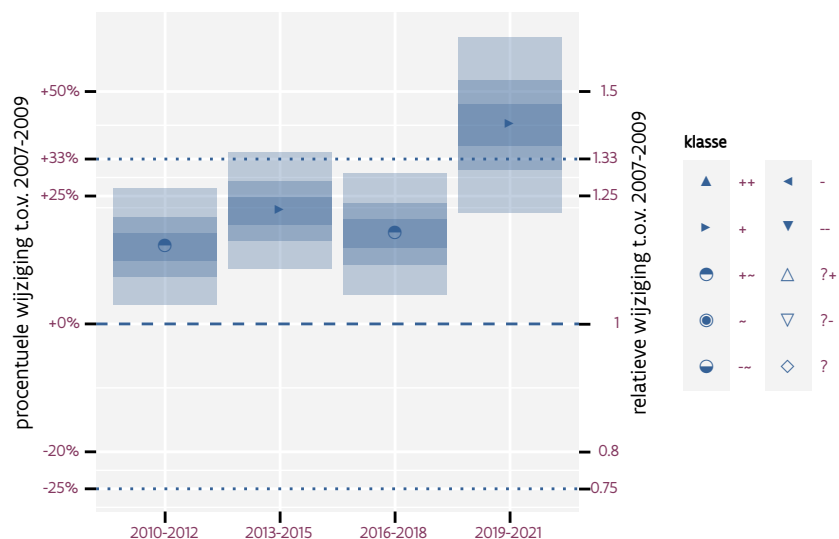
Op basis van jaarlijkse gegevens zien we gemiddeld een toename met +2.4% (+1.4%; +3.5%) per jaar of +34% (+19%; +50%) over de volledige looptijd van het meetnet. Deze trend is niet-lineair.



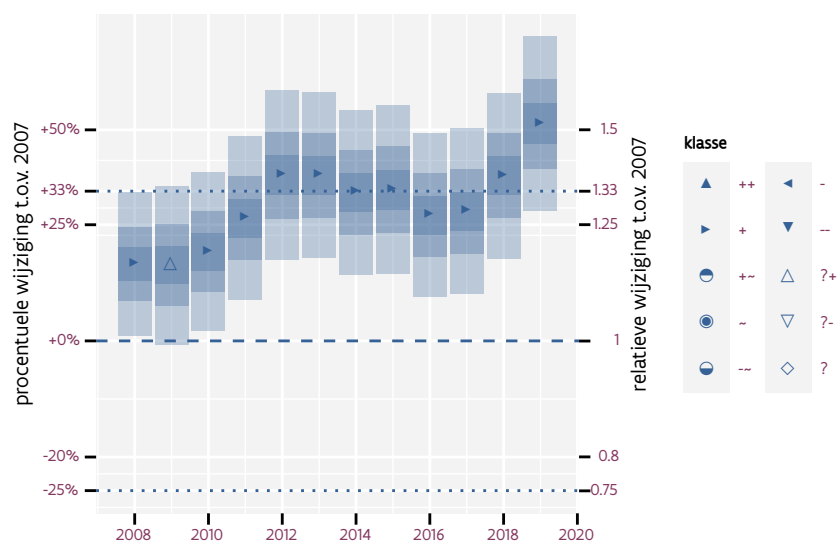
Figuur 46.1: Evolutie van het gemodeleerde gemiddeld aantal waargenomen dieren op een meetpunt voor Grote bonte specht tijdens de referentieperiode. Zie §4.1 voor een verklaring van de intervallen.



Figuur 46.2: Evolutie van het gemodeleerde gemiddeld aantal waargenomen dieren op een meetpunt voor Grote bonte specht tijdens de referentieperiode. Zie §4.1 voor een verklaring van de intervallen.



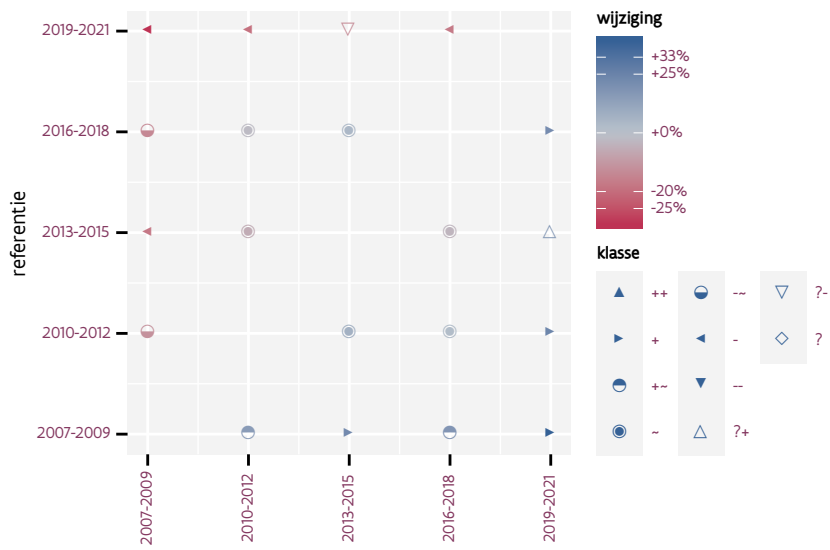
Figuur 46.3: Wijzigingen t.o.v. het eerste driejarige cyclus voor Grote bonte specht. Zie §4.1 voor een verklaring van de intervallen en §4.2 voor uitleg over de symbolen en referentielijnen.



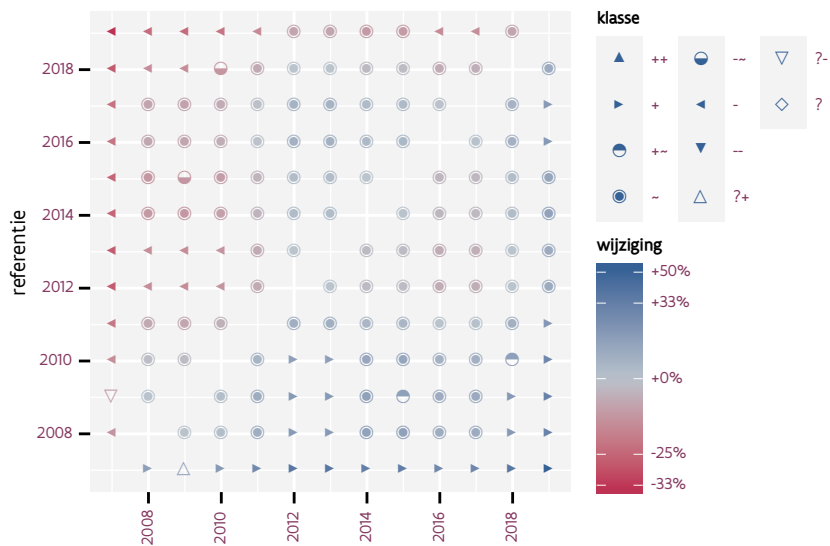
Figuur 46.4: Wijzigingen t.o.v. het eerste jaar voor Grote bonte specht. Zie §4.1 voor een verklaring van de intervallen en §4.2 voor uitleg over de symbolen en referentielijnen.

Tabel 46.1: Stratumgewicht, raming aan het aantal hokken waarin de soort aanwezig is, aantal relevant hokken voor de analyse, aantal onderzochte hokken in het stratum, totaal aantal hokken van het stratum in Vlaanderen en aantal bezoeken aan een meetpunt voor Grote bonte specht (zie §3.5).

stratum	gewicht	aanwezig	relevant	onderzocht	totaal	bezoeken
Landbouw	79.9%	2577.7	174	426	6311	10616
Bos	6.9%	221.6	132	190	319	8042
Urbaan	4.6%	143.4	30	87	416	1978
Heide en duin	4.2%	133.4	61	91	199	3869
Moeras en water	2.3%	71.9	42	80	137	2598
Suburbaan	2.1%	65.0	22	68	201	1327



Figuur 46.5: Paarsgewijze vergelijking tussen driejarige cycli voor Grote bonte specht. Uitleg van de symbolen in tabel 4.1.



Figuur 46.6: Paarsgewijze vergelijking tussen jaren voor Grote bonte specht. Uitleg van de symbolen in tabel 4.1.

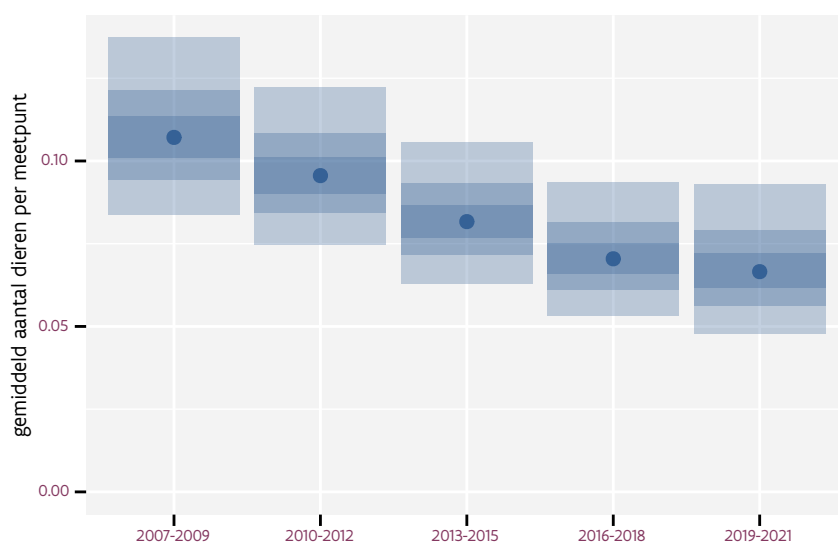
Tabel 46.2: Data-hashes van de analyses in het kader van traceerbaarheid (zie §5.3).

frequentie	model	analyse	status
jaarlijks	lineair	22fefb52062f7adca690 ab5c8ee573deb159cfa0	21688cd54d897748208a fbe5b26fd5390e49506e
jaarlijks	niet-lineair	c729fe54c9116e9b6546 5f8c3c483d77dc5751a2	71c1c8de1ed1cc432cba 01cee45eb5cffe0e7332
driejaarlijks	lineair	dd62adceb6654f9a9c9d fcadcd5e43c17b10ba6e	15cb35abca186f038a8c 81a6563a5ba6074a4f33
driejaarlijks	niet-lineair	0ebe9406cff31d174018 bac48159273ec3c19ded	9453a8d3c538cd193292 493b0c01ca46f5049b51

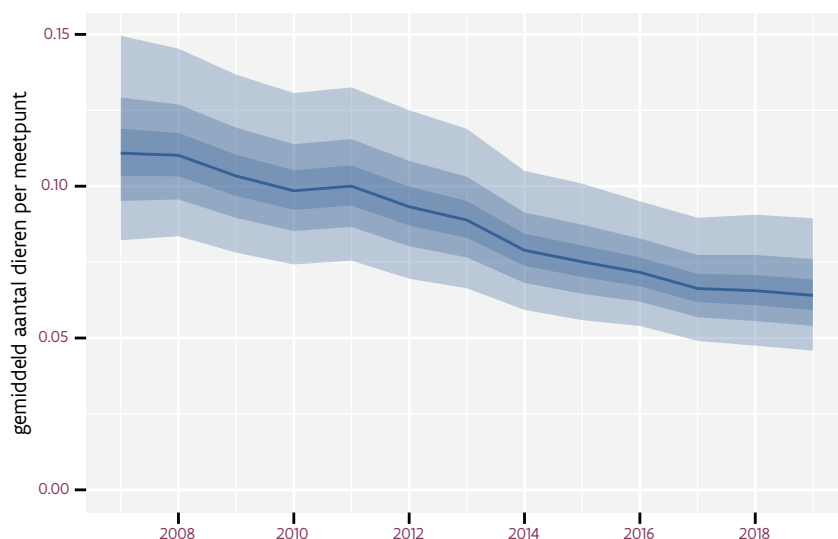
47 GROTE LIJSTER

Op basis van driejaarlijkse gegevens zien we gemiddeld een sterke afname met -5.9% (-7.9%; -3.9%) per jaar of -52% (-63%; -38%) over de volledige looptijd van het meetnet. Deze trend is lineair.

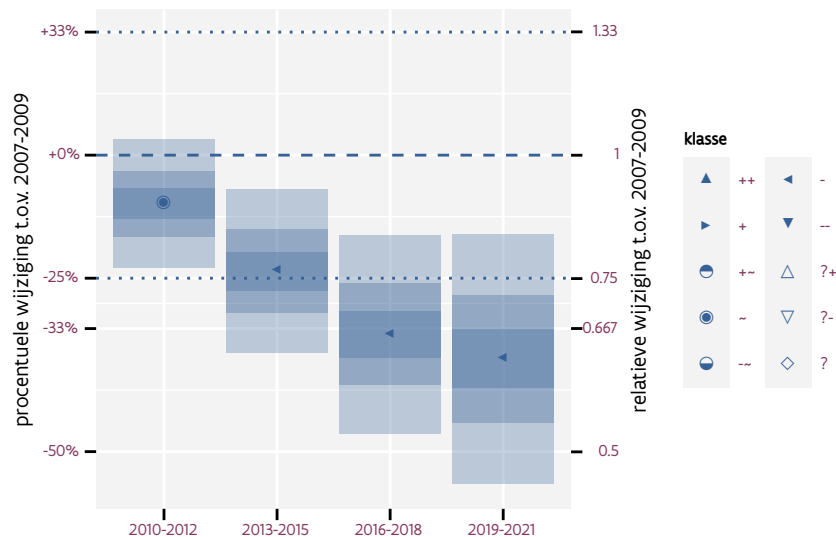
Op basis van jaarlijkse gegevens zien we gemiddeld een sterke afname met -6.0% (-8.1%; -4.0%) per jaar of -53% (-63%; -38%) over de volledige looptijd van het meetnet. Deze trend is niet-lineair.



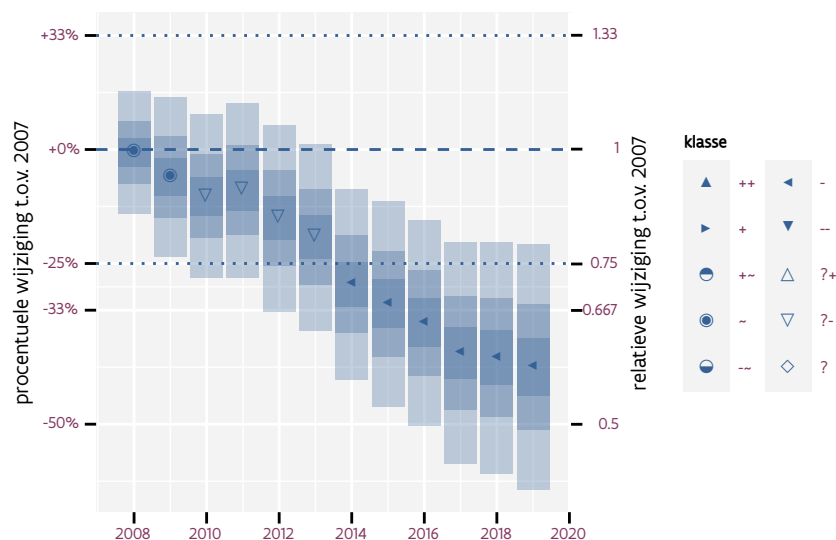
Figuur 47.1: Evolutie van het gemodeleerde gemiddeld aantal waargenomen dieren op een meetpunt voor Grote lijster tijdens de referentieperiode. Zie §4.1 voor een verklaring van de intervallen.



Figuur 47.2: Evolutie van het gemodeleerde gemiddeld aantal waargenomen dieren op een meetpunt voor Grote lijster tijdens de referentieperiode. Zie §4.1 voor een verklaring van de intervallen.



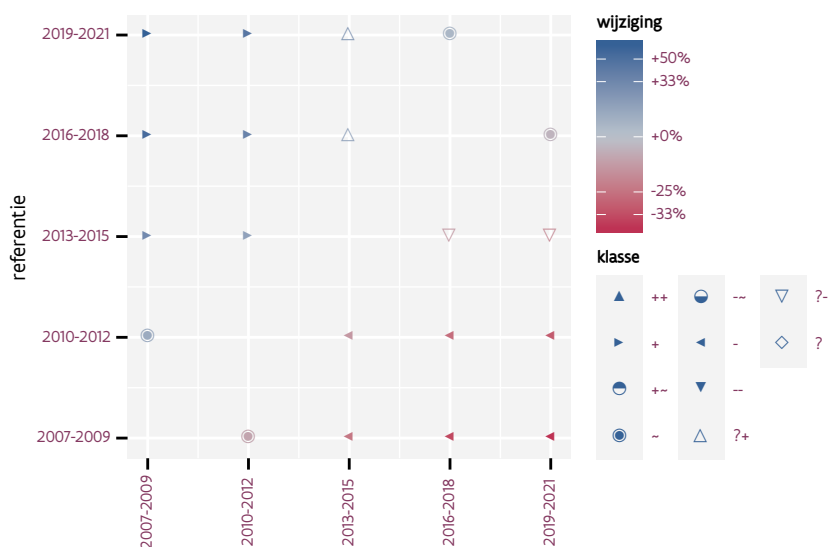
Figuur 47.3: Wijzigingen t.o.v. het eerste driejarige cyclus voor Grote lijster. Zie §4.1 voor een verklaring van de intervallen en §4.2 voor uitleg over de symbolen en referentielijnen.



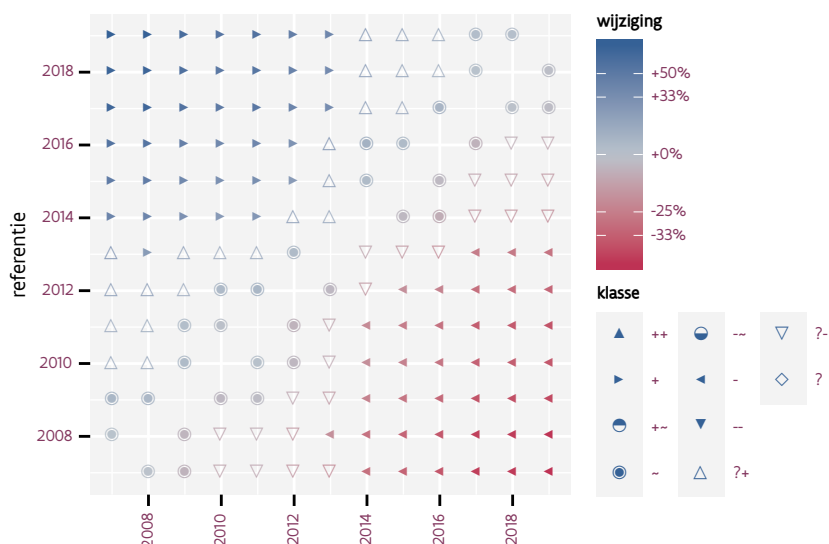
Figuur 47.4: Wijzigingen t.o.v. het eerste jaar voor Grote lijster. Zie §4.1 voor een verklaring van de intervallen en §4.2 voor uitleg over de symbolen en referentielijnen.

Tabel 47.1: Stratumgewicht, raming aan het aantal hokken waarin de soort aanwezig is, aantal relevant hokken voor de analyse, aantal onderzochte hokken in het stratum, totaal aantal hokken van het stratum in Vlaanderen en aantal bezoeken aan een meetpunt voor Grote lijster (zie §3.5).

stratum	gewicht	aanwezig	relevant	onderzocht	totaal	bezoeken
Landbouw	87.4%	1155.5	78	426	6311	5148
Bos	5.6%	75.6	45	190	319	3249
Heide en duin	5.2%	67.8	31	91	199	2189
Moeras en water	0.9%	10.3	6	80	137	381
Suburbaan	0.9%	8.9	3	68	201	144



Figuur 47.5: Paarsgewijze vergelijking tussen driejarige cycli voor Grote lijster. Uitleg van de symbolen in tabel 4.1.



Figuur 47.6: Paarsgewijze vergelijking tussen jaren voor Grote lijster. Uitleg van de symbolen in tabel 4.1.

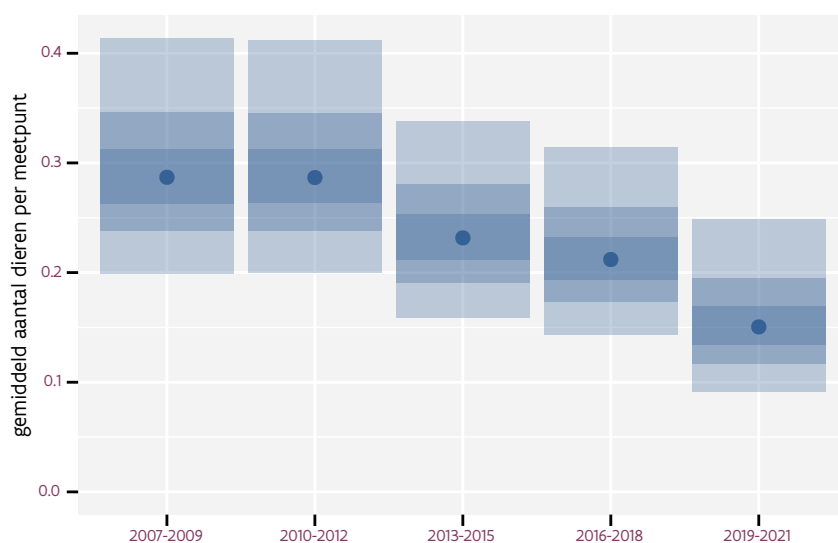
Tabel 47.2: Data-hashes van de analyses in het kader van traceerbaarheid (zie §5.3).

frequentie	model	analyse	status
jaarlijks	lineair	35c5fcb61fe969575886 e4be2146bba90ff15f05	88e113148687a3968f94 26ff2cce30d1d0015d91
jaarlijks	niet-lineair	9fda9edd408da29aca88 ab3dd174c72f856d2580	496a46634444601e8948 72f41daef6b714d76fe2
driejaarlijks	lineair	6c6b82b09f69912b1e96 32057c30c437cd9eee8b	947709a162529ef80e45 ddb499a8cabdbcdeb57f
driejaarlijks	niet-lineair	774b057e3f0aead5d746 3a5674e06176349bf5af	8fbd2d957bf74b9ea506 c322de58ab00d7adb919

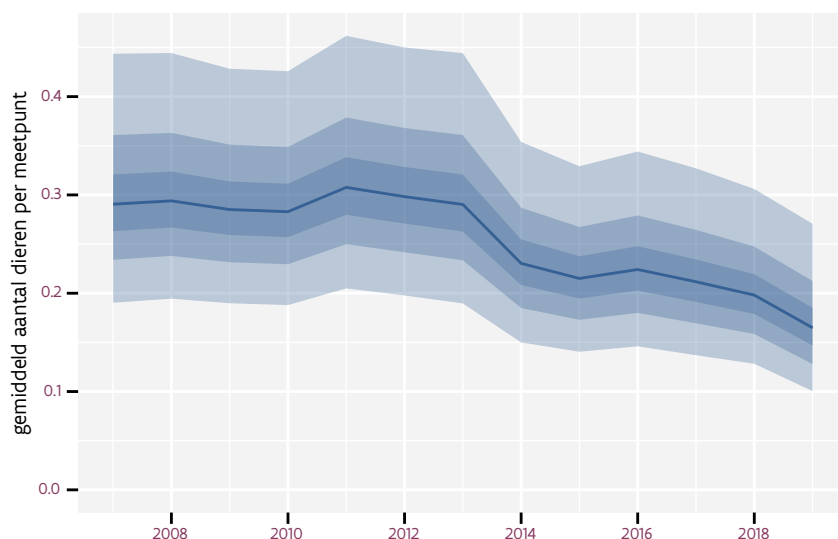
48 GRUTTO

Op basis van driejaarlijkse gegevens zien we gemiddeld een sterke afname met -4.9% (-6.8%; -3.0%) per jaar of -46% (-57%; -31%) over de volledige looptijd van het meetnet. Deze trend is lineair.

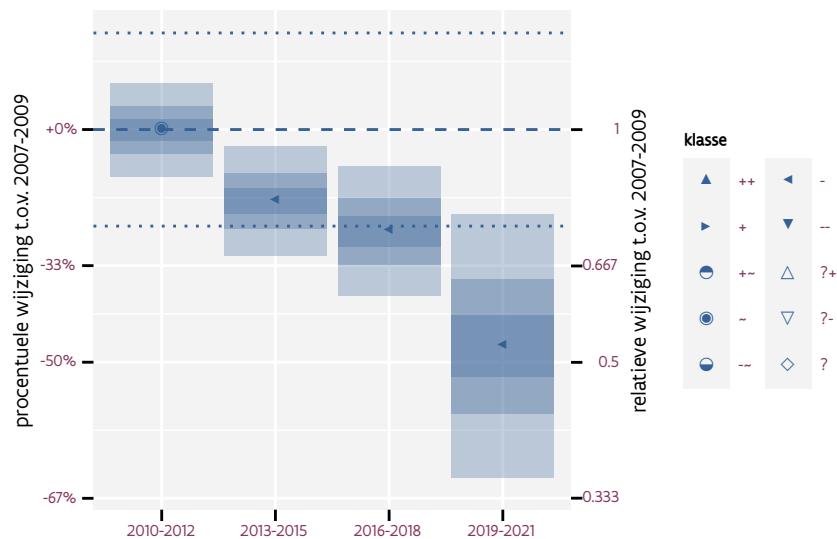
Op basis van jaarlijkse gegevens zien we gemiddeld een sterke afname met -4.9% (-6.8%; -3.0%) per jaar of -46% (-57%; -31%) over de volledige looptijd van het meetnet. Deze trend is lineair.



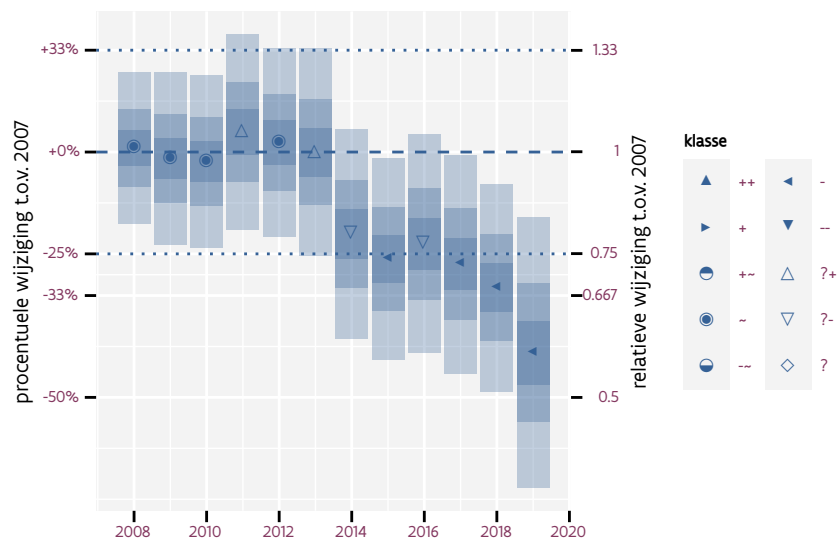
Figuur 48.1: Evolutie van het gemodeleerde gemiddeld aantal waargenomen dieren op een meetpunt voor Grutto tijdens de referentieperiode. Zie §4.1 voor een verklaring van de intervallen.



Figuur 48.2: Evolutie van het gemodeleerde gemiddeld aantal waargenomen dieren op een meetpunt voor Grutto tijdens de referentieperiode. Zie §4.1 voor een verklaring van de intervallen.



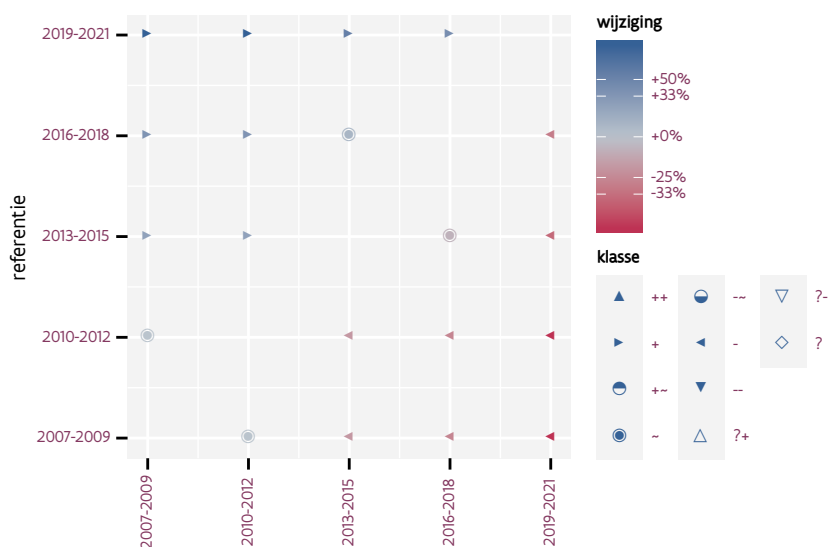
Figuur 48.3: Wijzigingen t.o.v. het eerste driejarige cyclus voor Grutto. Zie §4.1 voor een verklaring van de intervallen en §4.2 voor uitleg over de symbolen en referentielijnen.



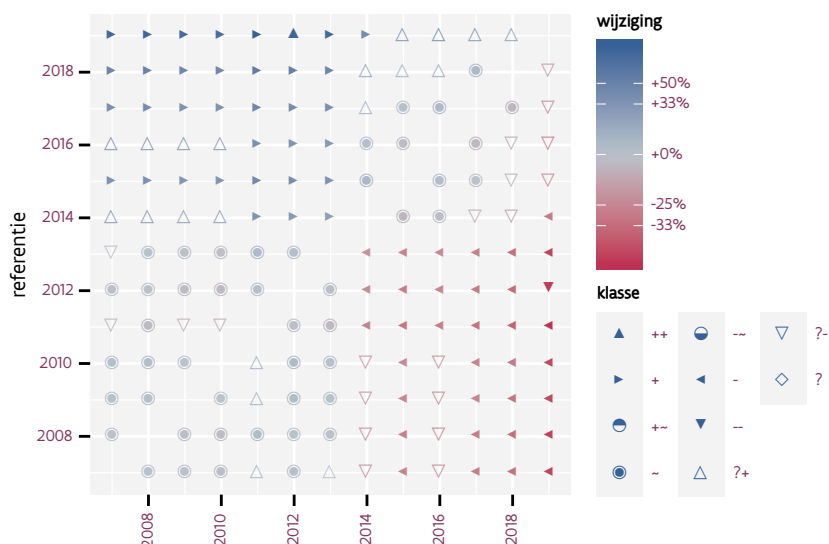
Figuur 48.4: Wijzigingen t.o.v. het eerste jaar voor Grutto. Zie §4.1 voor een verklaring van de intervallen en §4.2 voor uitleg over de symbolen en referentielijnen.

Tabel 48.1: Stratumgewicht, raming aan het aantal hokken waarin de soort aanwezig is, aantal relevant hokken voor de analyse, aantal onderzochte hokken in het stratum, totaal aantal hokken van het stratum in Vlaanderen en aantal bezoeken aan een meetpunt voor Grutto (zie §3.5).

stratum	gewicht	aanwezig	relevant	onderzocht	totaal	bezoeken
Landbouw	98.3%	400.0	27	426	6311	1686
Moeras en water	1.7%	5.1	3	80	137	216



Figuur 48.5: Paarsgewijze vergelijking tussen driejarige cycli voor Grutto. Uitleg van de symbolen in tabel 4.1.



Figuur 48.6: Paarsgewijze vergelijking tussen jaren voor Grutto. Uitleg van de symbolen in tabel 4.1.

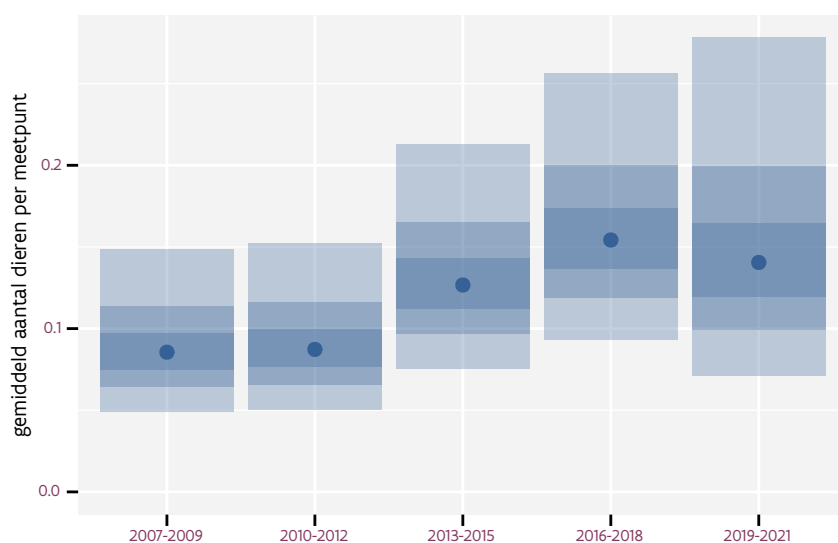
Tabel 48.2: Data-hashes van de analyses in het kader van traceerbaarheid (zie §5.3).

frequentie	model	analyse	status
jaarlijks	lineair	9d8311abb6c9345f0c27 0b10979698ab1e9c2559	42f57f9fa6f13f2dfd1e 8c17351c338b6613c5b0
jaarlijks	niet-lineair	2de6e987498bb3d04a0a 2ebf1778898894641a57	54bd5dab199322f0426e 216735bcf4ae75527121
driejaarlijks	lineair	a3619e3b4c63f34a6850 143dfa807488cc6742b6	3dfb41bb4bd7ec658bdc 90e567b414e2593393ba
driejaarlijks	niet-lineair	bbc9ad85c2039ba94280 6ade4a08ecd11c5aeb32	80b171edd161ff37fb72 ec2d7cdf7c42bca6f8c6

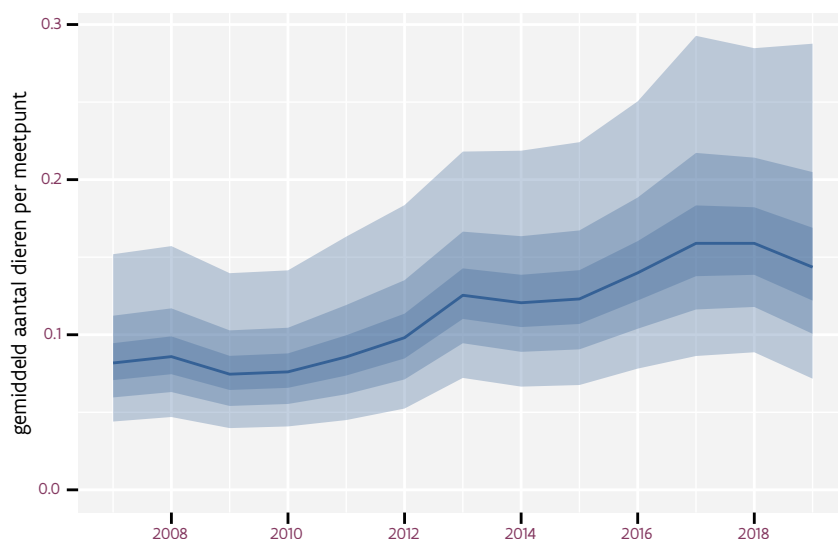
49 HALSBANDPARKIET

Op basis van driejaarlijkse gegevens zien we gemiddeld een sterke toename met +7.5% (+2.4%; +12.9%) per jaar of +140% (+30%; +330%) over de volledige looptijd van het meetnet. Deze trend is niet-lineair.

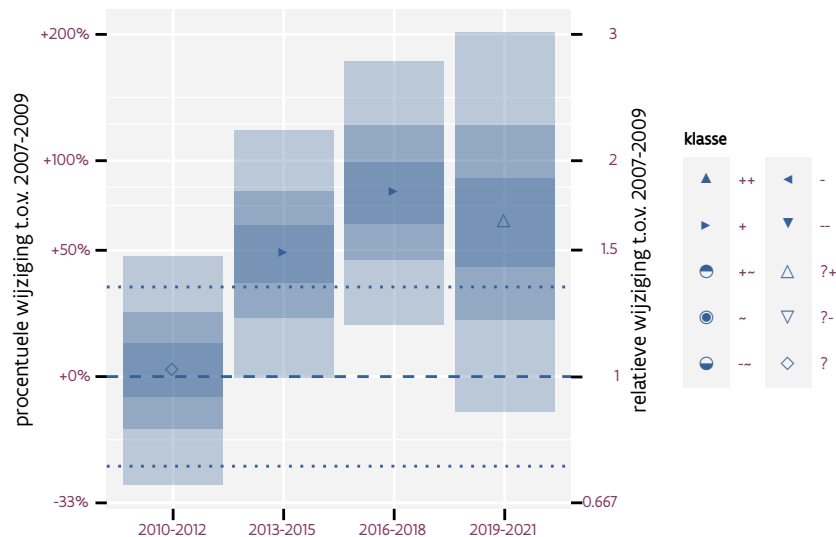
Op basis van jaarlijkse gegevens zien we gemiddeld een sterke toename met +7.34% (+2.55%; +12.37%) per jaar of +130% (+40%; +310%) over de volledige looptijd van het meetnet. Deze trend is niet-lineair.



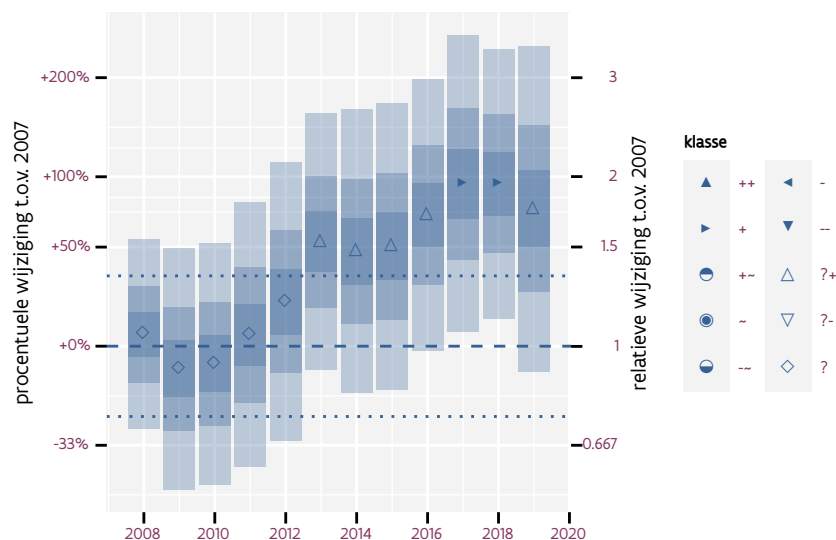
Figuur 49.1: Evolutie van het gemodeleerde gemiddeld aantal waargenomen dieren op een meetpunt voor Halsbandparkiet tijdens de referentieperiode. Zie §4.1 voor een verklaring van de intervallen.



Figuur 49.2: Evolutie van het gemodeleerde gemiddeld aantal waargenomen dieren op een meetpunt voor Halsbandparkiet tijdens de referentieperiode. Zie §4.1 voor een verklaring van de intervallen.



Figuur 49.3: Wijzigingen t.o.v. het eerste driejarige cyclus voor Halsbandparkiet. Zie §4.1 voor een verklaring van de intervallen en §4.2 voor uitleg over de symbolen en referentielijnen.



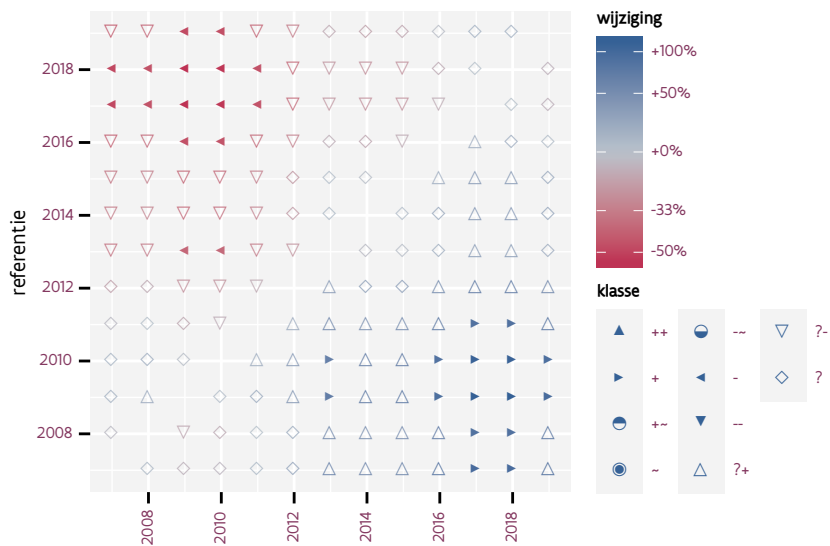
Figuur 49.4: Wijzigingen t.o.v. het eerste jaar voor Halsbandparkiet. Zie §4.1 voor een verklaring van de intervallen en §4.2 voor uitleg over de symbolen en referentielijnen.

Tabel 49.1: Stratumgewicht, raming aan het aantal hokken waarin de soort aanwezig is, aantal relevant hokken voor de analyse, aantal onderzochte hokken in het stratum, totaal aantal hokken van het stratum in Vlaanderen en aantal bezoeken aan een meetpunt voor Halsbandparkiet (zie §3.5).

stratum	gewicht	aanwezig	relevant	onderzocht	totaal	bezoeken
Landbouw	61.0%	88.9	6	426	6311	349
Urbaan	14.1%	19.1	4	87	416	270
Suburbaan	13.9%	23.6	8	68	201	538
Bos	5.9%	8.4	5	190	319	284
Moeras en water	5.0%	6.8	4	80	137	196



Figuur 49.5: Paarsgewijze vergelijking tussen driejarige cycli voor Halsbandparkiet. Uitleg van de symbolen in tabel 4.1.



Figuur 49.6: Paarsgewijze vergelijking tussen jaren voor Halsbandparkiet. Uitleg van de symbolen in tabel 4.1.

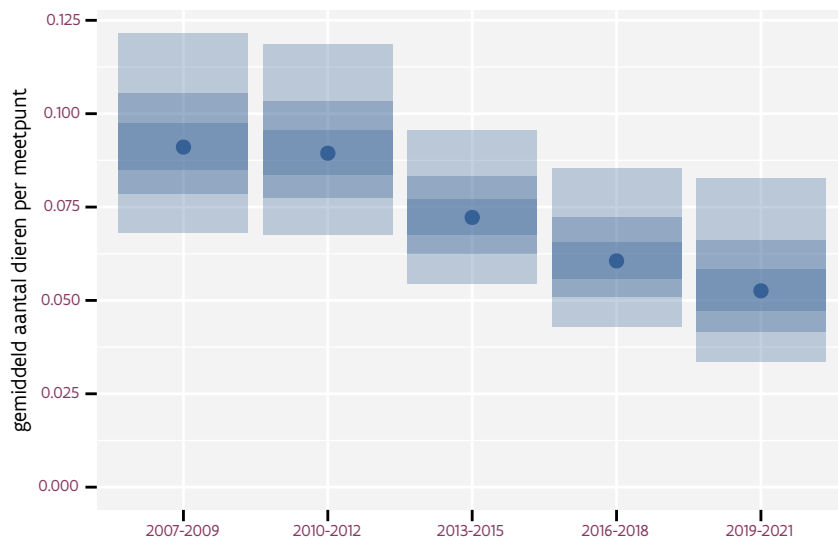
Tabel 49.2: Data-hashes van de analyses in het kader van traceerbaarheid (zie §5.3).

frequentie	model	analyse	status
jaarlijks	lineair	8a352ae911560fe50f02 1c2508ab00424d0faca2	bf5a9787a301b49db865 e75f639ae5174944f2a3
jaarlijks	niet-lineair	e6034449ce3ef4c34f04 0ff3c630bd988334a1d4	c5a3ed7a28cb1af24d04 a33ac30cd6cb23cbff68
driejaarlijks	lineair	87a20b266fa4fe49e9da 9d657df7c616de7f76d8	57af5a100c84b3abc394 f9cb36e94b24a015cf79
driejaarlijks	niet-lineair	5a8ac306a698635ac67f cf4263538545dd4c359a	ab8ad4ee7e6c9f2a1d6b d7b3390cd90ae6a186ad

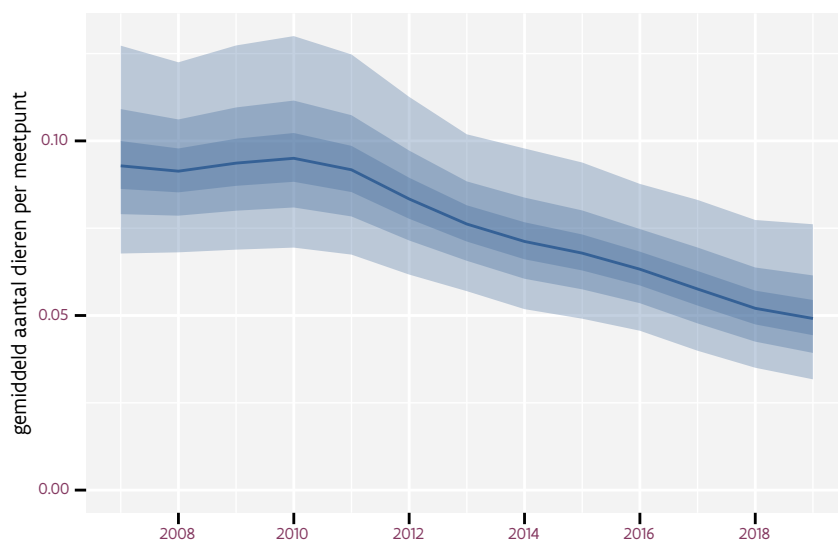
50 HAVIK

Op basis van driejaarlijkse gegevens zien we gemiddeld een sterke afname met -7.11% (-10.49%; -3.60%) per jaar of -59% (-74%; -36%) over de volledige looptijd van het meetnet. Deze trend is mogelijk niet-lineair.

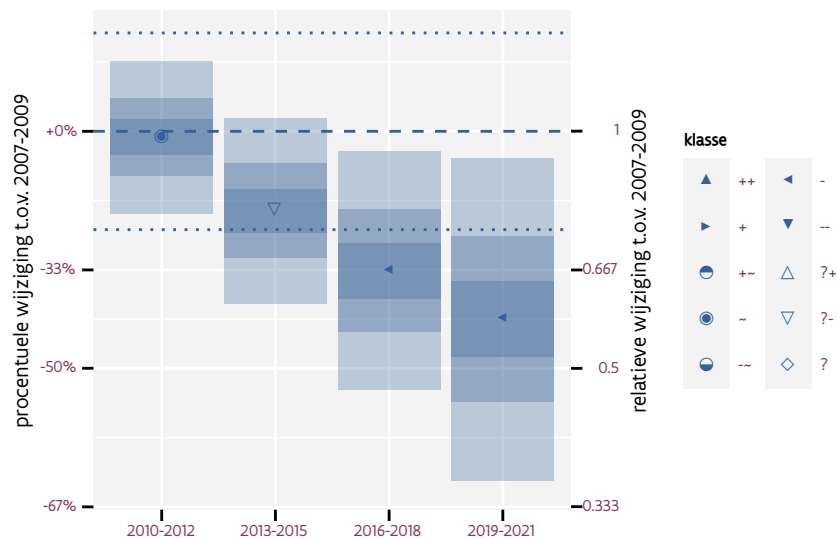
Op basis van jaarlijkse gegevens zien we gemiddeld een sterke afname met -7.37% (-10.75%; -3.86%) per jaar of -60% (-74%; -38%) over de volledige looptijd van het meetnet. Deze trend is mogelijk niet-lineair.



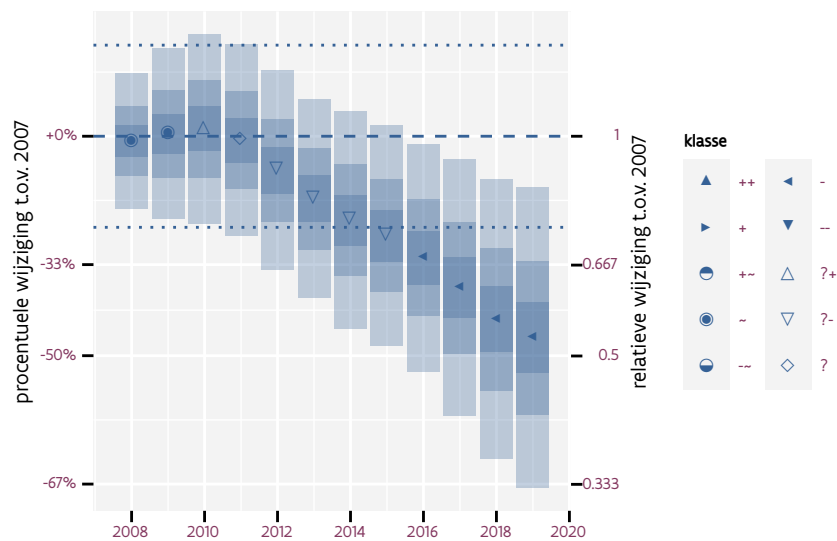
Figuur 50.1: Evolutie van het gemodeleerde gemiddeld aantal waargenomen dieren op een meetpunt voor Havik tijdens de referentieperiode. Zie §4.1 voor een verklaring van de intervallen.



Figuur 50.2: Evolutie van het gemodeleerde gemiddeld aantal waargenomen dieren op een meetpunt voor Havik tijdens de referentieperiode. Zie §4.1 voor een verklaring van de intervallen.



Figuur 50.3: Wijzigingen t.o.v. het eerste driejarige cyclus voor Havik. Zie §4.1 voor een verklaring van de intervallen en §4.2 voor uitleg over de symbolen en referentielijnen.



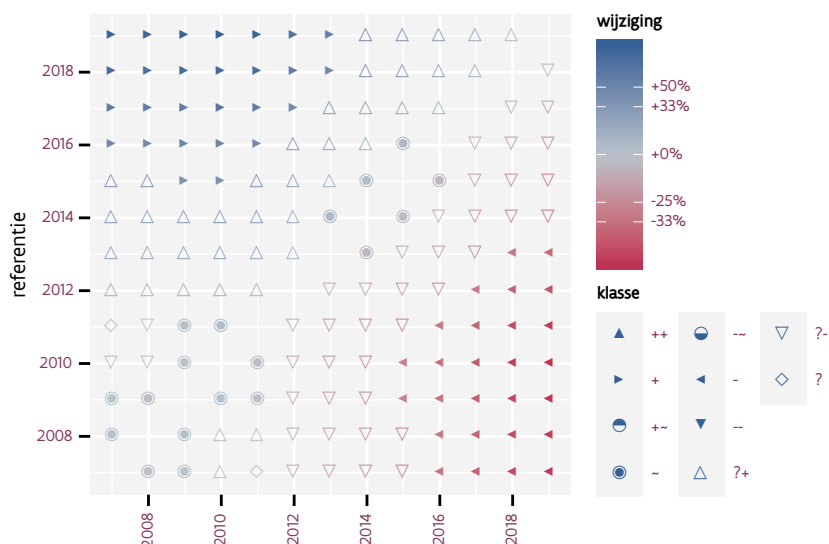
Figuur 50.4: Wijzigingen t.o.v. het eerste jaar voor Havik. Zie §4.1 voor een verklaring van de intervallen en §4.2 voor uitleg over de symbolen en referentielijnen.

Tabel 50.1: Stratumgewicht, raming aan het aantal hokken waarin de soort aanwezig is, aantal relevant hokken voor de analyse, aantal onderzochte hokken in het stratum, totaal aantal hokken van het stratum in Vlaanderen en aantal bezoeken aan een meetpunt voor Havik (zie §3.5).

stratum	gewicht	aanwezig	relevant	onderzocht	totaal	bezoeken
Bos	64.5%	42.0	25	190	319	1875
Heide en duin	35.5%	24.1	11	91	199	798



Figuur 50.5: Paarsgewijze vergelijking tussen driejarige cycli voor Havik. Uitleg van de symbolen in tabel 4.1.



Figuur 50.6: Paarsgewijze vergelijking tussen jaren voor Havik. Uitleg van de symbolen in tabel 4.1.

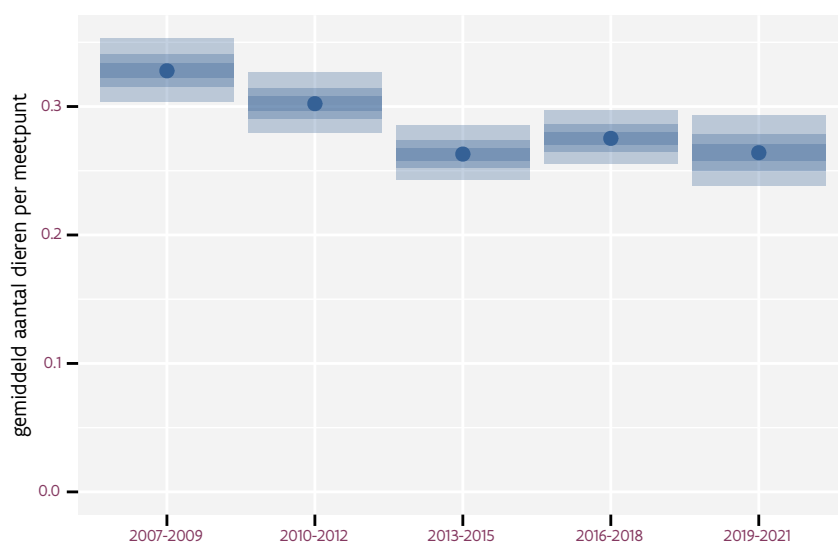
Tabel 50.2: Data-hashes van de analyses in het kader van traceerbaarheid (zie §5.3).

frequentie	model	analyse	status
jaarlijks	lineair	89571cb3f0d886bafb38 499f7f25107e4271a0de	3c072916d1cd75dbae8f e47189b5a541b2d55c85
jaarlijks	niet-lineair	ee5728278c6ec66ae0c3 2f50bc896fd33c52661f	65780c59cea80a226932 170b5db82dd794d87188
driejaarlijks	lineair	323b039c4bd7b5d5be75 91f266d940eab8988a6e	f28f63eca8e3c3e51671 fc84a403b3554eafa32d
driejaarlijks	niet-lineair	666d4581f2f00e5dc823 55fc10fd2e98dd26892a	0a7362dc004fcdabf7f fd6261be7b7d625e0b1a

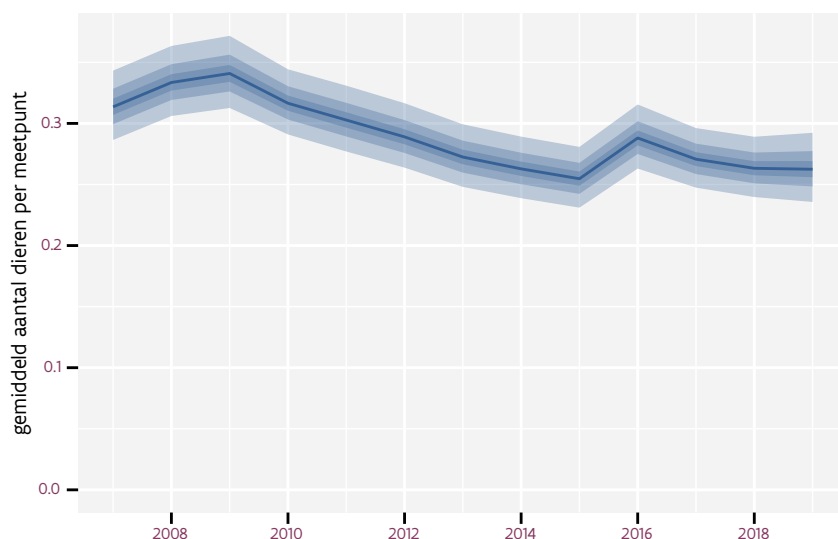
51 HEGGENMUS

Op basis van driejaarlijkse gegevens zien we gemiddeld een afname met -2.2% (-2.8%; -1.6%) per jaar of -24% (-29%; -18%) over de volledige looptijd van het meetnet. Deze trend is niet-lineair.

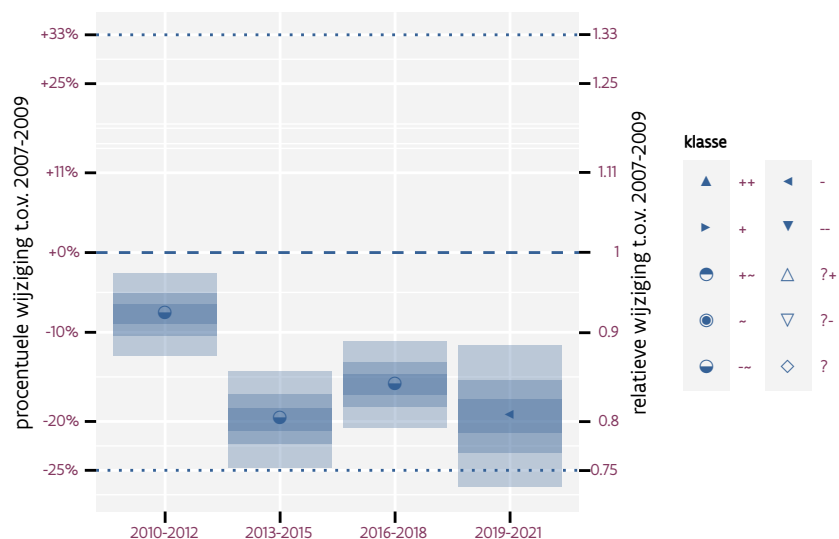
Op basis van jaarlijkse gegevens zien we gemiddeld een afname met -2.2% (-2.8%; -1.7%) per jaar of -24% (-29%; -18%) over de volledige looptijd van het meetnet. Deze trend is niet-lineair.



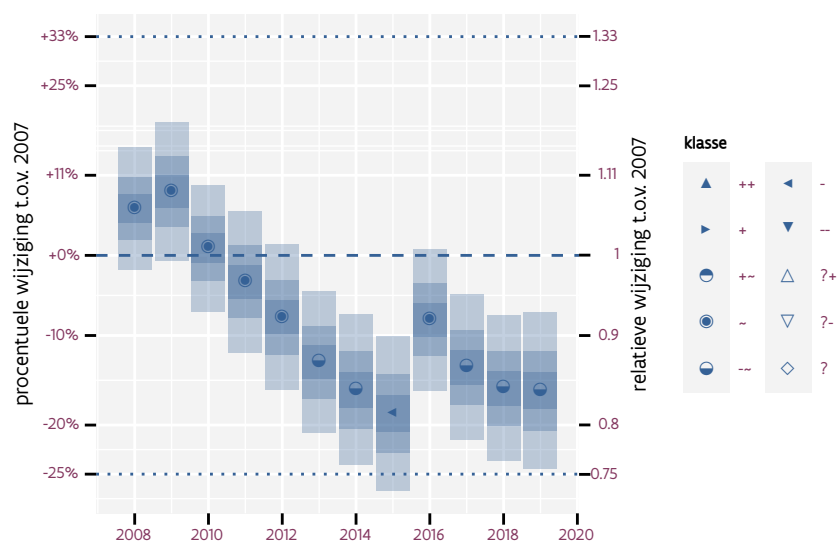
Figuur 51.1: Evolutie van het gemodeleerde gemiddeld aantal waargenomen dieren op een meetpunt voor Heggenmus tijdens de referentieperiode. Zie §4.1 voor een verklaring van de intervallen.



Figuur 51.2: Evolutie van het gemodeleerde gemiddeld aantal waargenomen dieren op een meetpunt voor Heggenmus tijdens de referentieperiode. Zie §4.1 voor een verklaring van de intervallen.



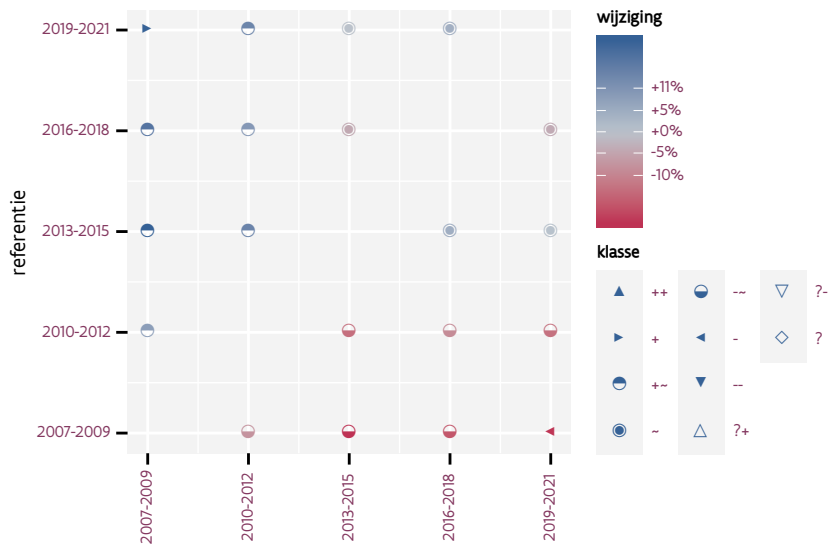
Figuur 51.3: Wijzigingen t.o.v. het eerste driejarige cyclus voor Heggenmus. Zie §4.1 voor een verklaring van de intervallen en §4.2 voor uitleg over de symbolen en referentielijnen.



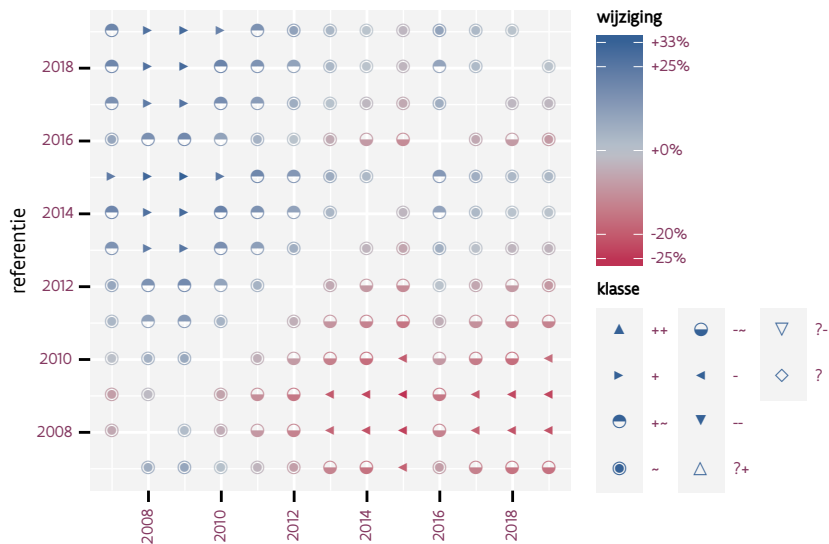
Figuur 51.4: Wijzigingen t.o.v. het eerste jaar voor Heggenmus. Zie §4.1 voor een verklaring van de intervallen en §4.2 voor uitleg over de symbolen en referentielijnen.

Tabel 51.1: Stratumgewicht, raming aan het aantal hokken waarin de soort aanwezig is, aantal relevant hokken voor de analyse, aantal onderzochte hokken in het stratum, totaal aantal hokken van het stratum in Vlaanderen en aantal bezoeken aan een meetpunt voor Heggenmus (zie §3.5).

stratum	gewicht	aanwezig	relevant	onderzocht	totaal	bezoeken
Landbouw	85.7%	4266.6	288	426	6311	16779
Urbaan	6.3%	310.8	65	87	416	3812
Suburbaan	2.9%	141.9	48	68	201	2779
Heide en duin	1.8%	87.5	40	91	199	2437
Bos	1.7%	83.9	50	190	319	3565
Moeras en water	1.6%	77.1	45	80	137	2763



Figuur 51.5: Paarsgewijze vergelijking tussen driejarige cycli voor Heggenmus. Uitleg van de symbolen in tabel 4.1.



Figuur 51.6: Paarsgewijze vergelijking tussen jaren voor Heggenmus. Uitleg van de symbolen in tabel 4.1.

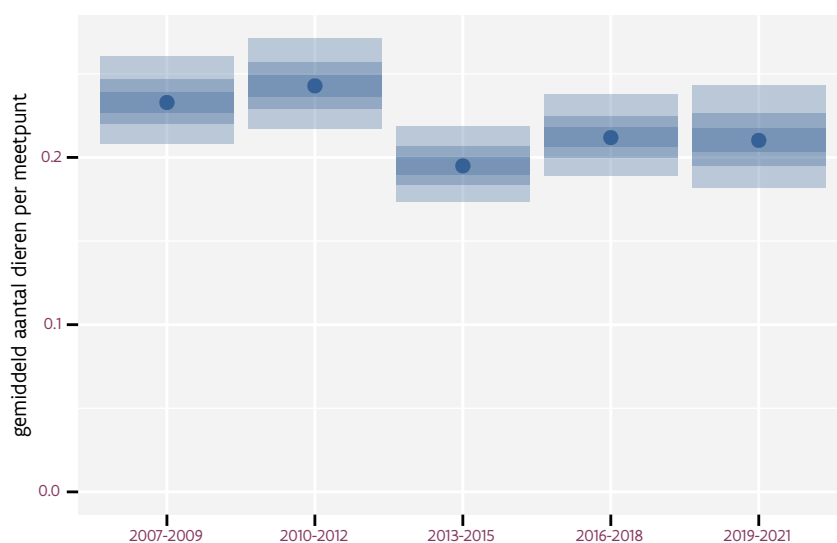
Tabel 51.2: Data-hashes van de analyses in het kader van traceerbaarheid (zie §5.3).

frequentie	model	analyse	status
jaarlijks	lineair	ef8ca48ca837c606630a7a3aeccd8fa5976019f7	6688a4696059dec40d46ebb011d25a5192a20ae4
jaarlijks	niet-lineair	f92500b6aad4636e199facf31c426488ecb58b2a	797edbb9f90c8764625a502102f12a856f792d08
driejaarlijks	lineair	b64e728f9da13822edaf570ce0eda1258d7fb826	470f922ba8a12cd4e30276a4181dedc355cc98c1
driejaarlijks	niet-lineair	72d28bce96b45cc6b07f02839cf6c64b1e879f21	29002fe2a3df5edefd0b09834904e2a488ebcaa5

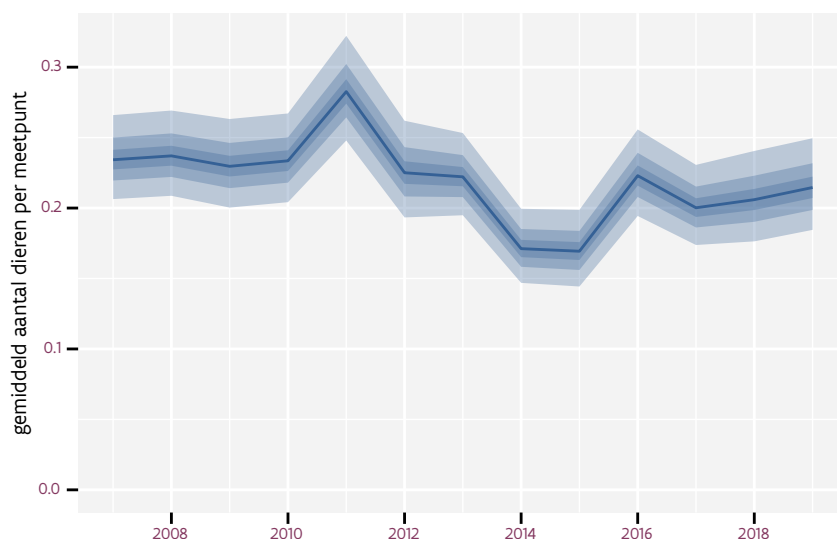
52 HOLENDUIF

Op basis van driejaarlijkse gegevens zien we gemiddeld een matige afname met -1.3% (-2.0%; -0.6%) per jaar of -15% (-22%; -7%) over de volledige looptijd van het meetnet. Deze trend is niet-lineair.

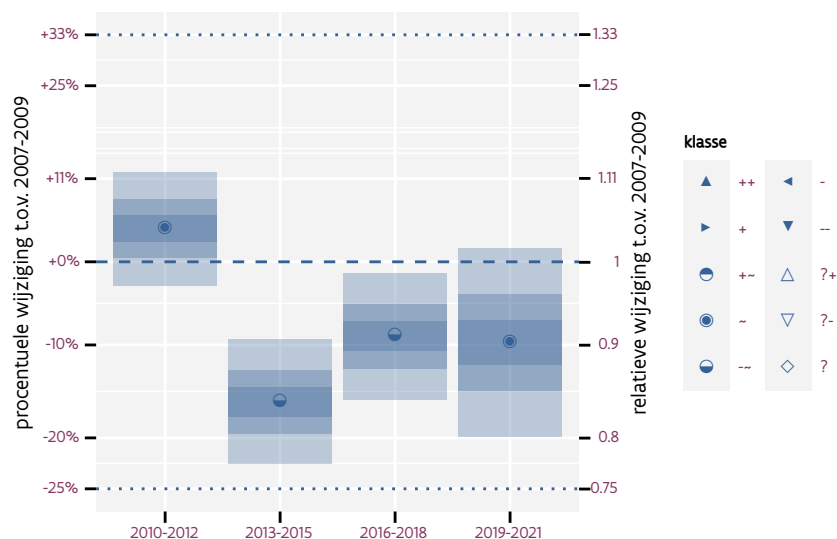
Op basis van jaarlijkse gegevens zien we gemiddeld een matige afname met -1.4% (-2.1%; -0.7%) per jaar of -15% (-23%; -8%) over de volledige looptijd van het meetnet. Deze trend is niet-lineair.



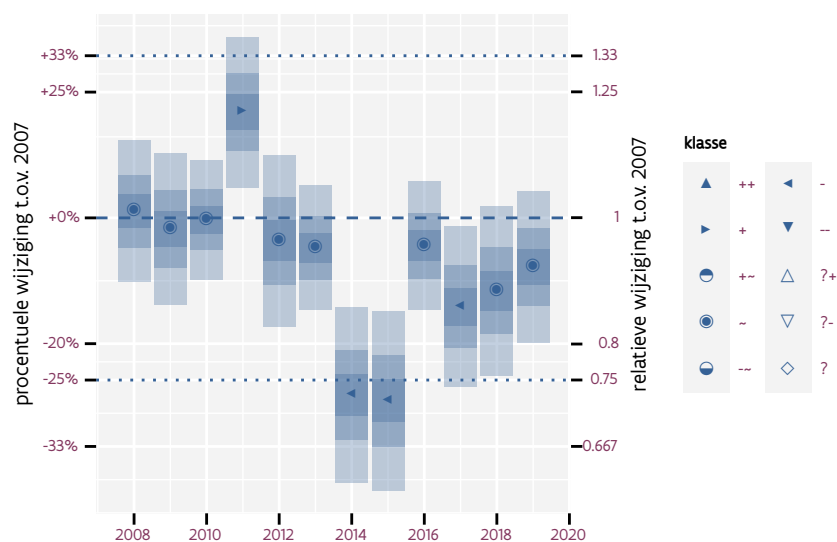
Figuur 52.1: Evolutie van het gemodeleerde gemiddeld aantal waargenomen dieren op een meetpunt voor Holenduif tijdens de referentieperiode. Zie §4.1 voor een verklaring van de intervallen.



Figuur 52.2: Evolutie van het gemodeleerde gemiddeld aantal waargenomen dieren op een meetpunt voor Holenduif tijdens de referentieperiode. Zie §4.1 voor een verklaring van de intervallen.



Figuur 52.3: Wijzigingen t.o.v. het eerste driejarige cyclus voor Holenduif. Zie §4.1 voor een verklaring van de intervallen en §4.2 voor uitleg over de symbolen en referentielijnen.



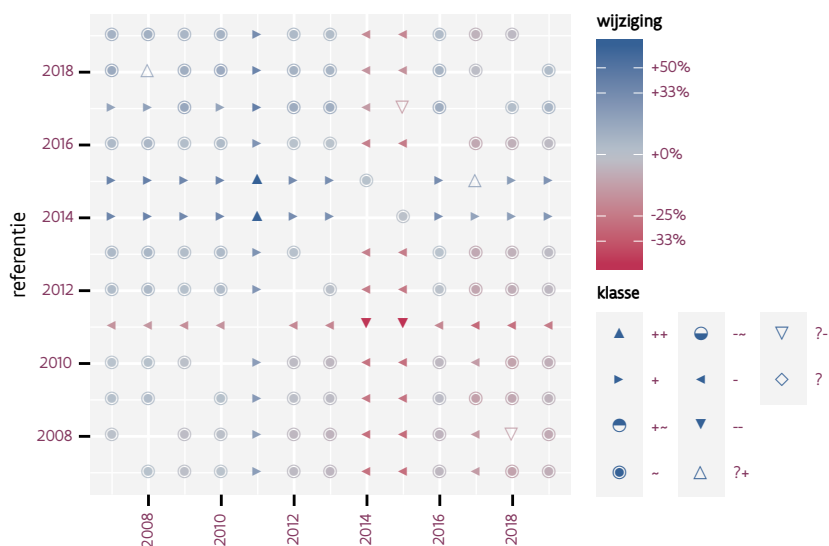
Figuur 52.4: Wijzigingen t.o.v. het eerste jaar voor Holenduif. Zie §4.1 voor een verklaring van de intervallen en §4.2 voor uitleg over de symbolen en referentielijnen.

Tabel 52.1: Stratumgewicht, raming aan het aantal hokken waarin de soort aanwezig is, aantal relevant hokken voor de analyse, aantal onderzochte hokken in het stratum, totaal aantal hokken van het stratum in Vlaanderen en aantal bezoeken aan een meetpunt voor Holenduif (zie §3.5).

stratum	gewicht	aanwezig	relevant	onderzocht	totaal	bezoeken
Landbouw	89.6%	3377.7	228	426	6311	14066
Bos	3.2%	117.5	70	190	319	4988
Urbaan	2.3%	81.3	17	87	416	1079
Suburbaan	2.1%	76.9	26	68	201	1421
Moeras en water	1.5%	56.5	33	80	137	2027
Heide en duin	1.3%	45.9	21	91	199	1668



Figuur 52.5: Paarsgewijze vergelijking tussen driejarige cycli voor Holenduif. Uitleg van de symbolen in tabel 4.1.



Figuur 52.6: Paarsgewijze vergelijking tussen jaren voor Holenduif. Uitleg van de symbolen in tabel 4.1.

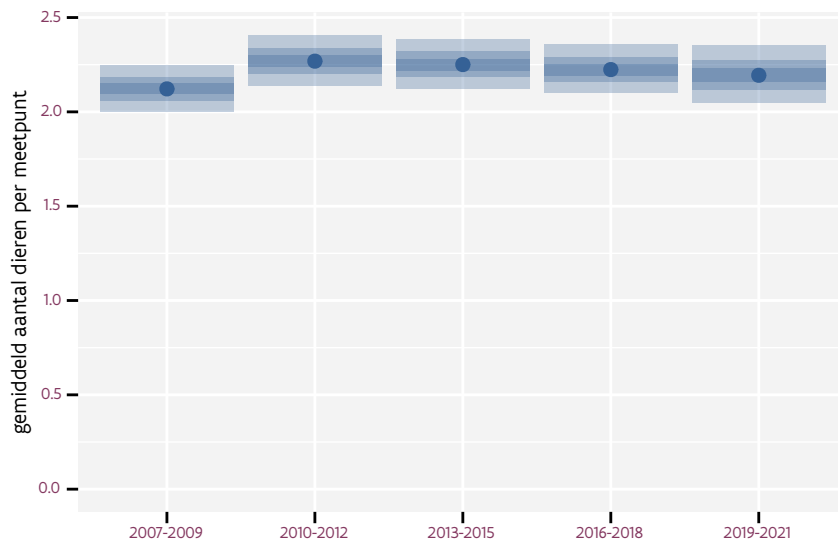
Tabel 52.2: Data-hashes van de analyses in het kader van traceerbaarheid (zie §5.3).

frequentie	model	analyse	status
jaarlijks	lineair	351f1b8ec8a9942e910b8c31fc30ba22ee83d5ec	Odd06faf47d0ed437c63f14f019ebdda6538661ced0099404b74b44464dc
jaarlijks	niet-lineair	a8932f97f9c7747817382641a5df1e89e6a4113a	ed99953132aab8939ce0d48ca7d9e23ed8c4818ebad48399e5b80eb70a8b
driejaarlijks	lineair	ae71bbd8a0bdc30bcce2999a4c3a721f7f00417a	98a3b583feec5af74d1708350d8d955c0d42f7d3
driejaarlijks	niet-lineair	679f22b59585d4706cffea98f0592fc846061f66	

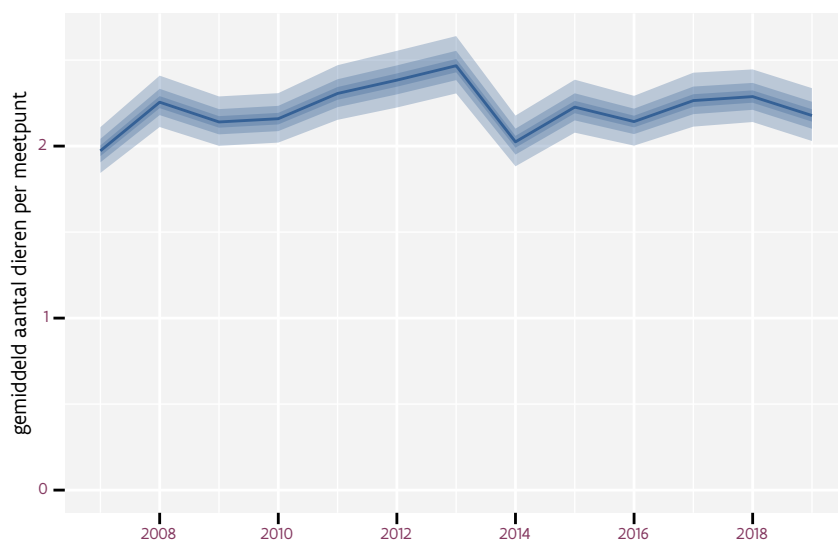
53 HOUTDUIF

Op basis van driejaarlijkse gegevens zien we gemiddeld een matige toename met +0.39% (+0.08%; +0.70%) per jaar of +4.8% (+0.9%; +8.8%) over de volledige looptijd van het meetnet. Deze trend is niet-lineair.

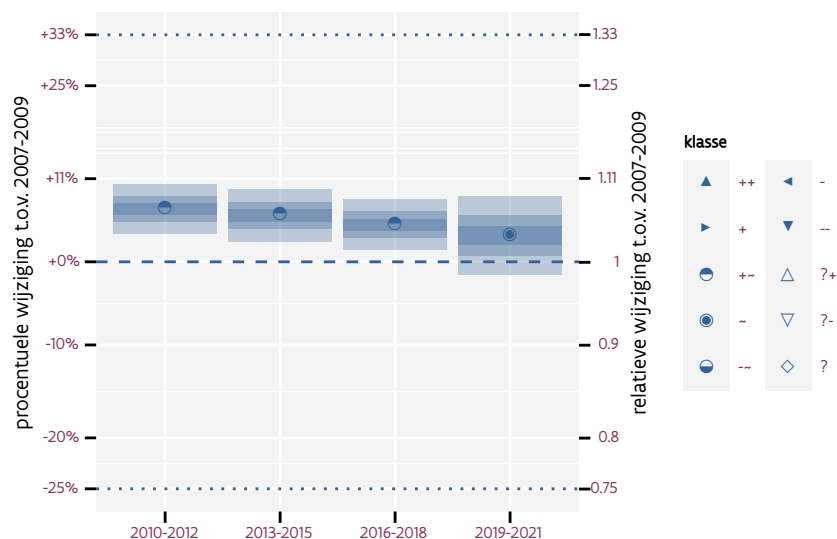
Op basis van jaarlijkse gegevens zien we gemiddeld een matige toename met +0.42% (+0.11%; +0.73%) per jaar of +5.2% (+1.3%; +9.2%) over de volledige looptijd van het meetnet. Deze trend is niet-lineair.



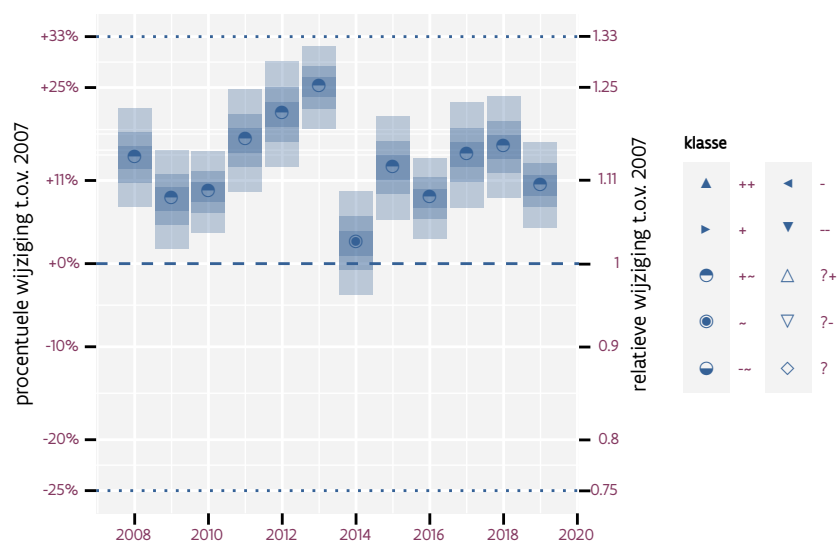
Figuur 53.1: Evolutie van het gemodeleerde gemiddeld aantal waargenomen dieren op een meetpunt voor Houtduif tijdens de referentieperiode. Zie §4.1 voor een verklaring van de intervallen.



Figuur 53.2: Evolutie van het gemodeleerde gemiddeld aantal waargenomen dieren op een meetpunt voor Houtduif tijdens de referentieperiode. Zie §4.1 voor een verklaring van de intervallen.



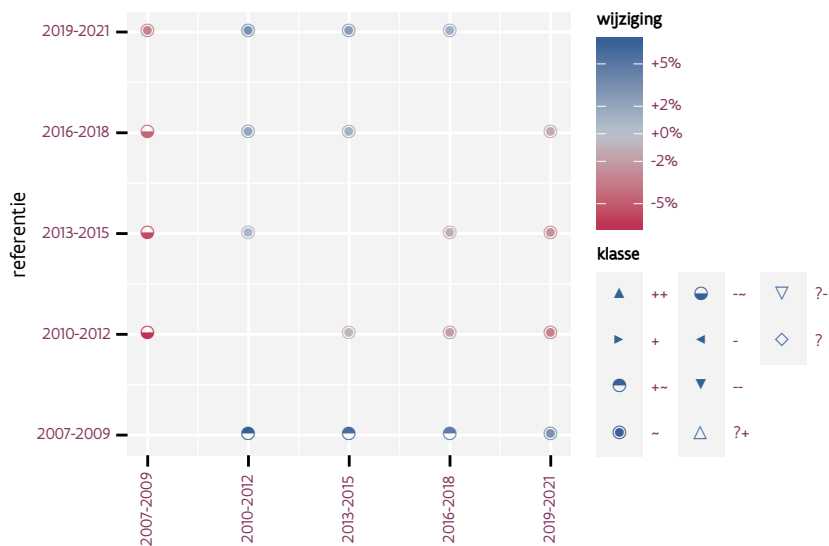
Figuur 53.3: Wijzigingen t.o.v. het eerste driejarige cyclus voor Houtduif. Zie §4.1 voor een verklaring van de intervallen en §4.2 voor uitleg over de symbolen en referentielijnen.



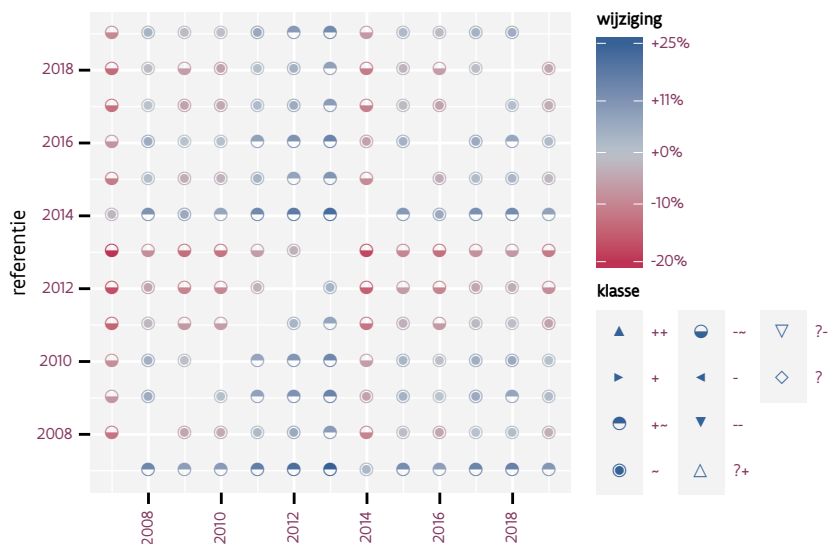
Figuur 53.4: Wijzigingen t.o.v. het eerste jaar voor Houtduif. Zie §4.1 voor een verklaring van de intervallen en §4.2 voor uitleg over de symbolen en referentielijnen.

Tabel 53.1: Stratumgewicht, raming aan het aantal hokken waarin de soort aanwezig is, aantal relevant hokken voor de analyse, aantal onderzochte hokken in het stratum, totaal aantal hokken van het stratum in Vlaanderen en aantal bezoeken aan een meetpunt voor Houtduif (zie §3.5).

stratum	gewicht	aanwezig	relevant	onderzocht	totaal	bezoeken
Landbouw	83.1%	4888.8	330	426	6311	18838
Urbaan	5.7%	329.9	69	87	416	3992
Bos	3.9%	228.3	136	190	319	8265
Heide en duin	2.9%	168.4	77	91	199	4504
Suburbaan	2.7%	156.7	53	68	201	2969
Moeras en water	1.7%	101.0	59	80	137	3465



Figuur 53.5: Paarsgewijze vergelijking tussen driejarige cycli voor Houtduif. Uitleg van de symbolen in tabel 4.1.



Figuur 53.6: Paarsgewijze vergelijking tussen jaren voor Houtduif. Uitleg van de symbolen in tabel 4.1.

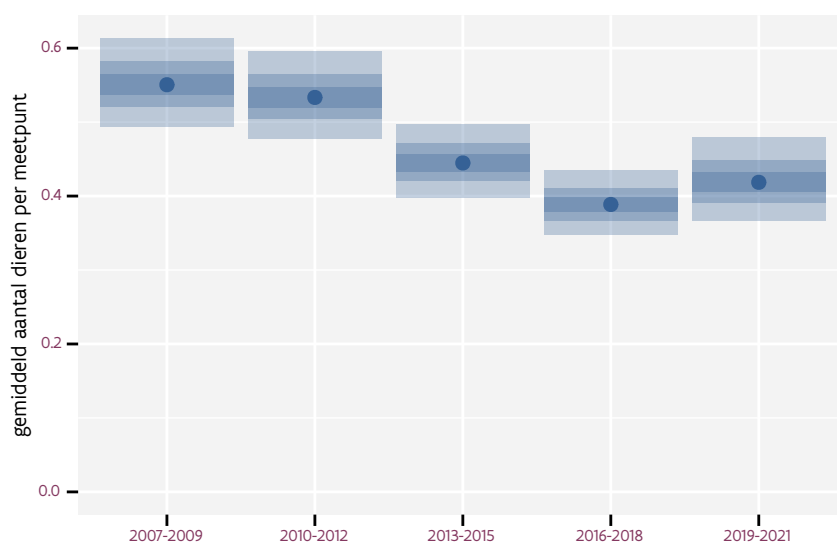
Tabel 53.2: Data-hashes van de analyses in het kader van traceerbaarheid (zie §5.3).

frequentie	model	analyse	status
jaarlijks	lineair	1cc0eca52566181535d5 987a11422107c3b73ffb	6f8098dc8262fb086741 4e7a862a713b0f610f07
jaarlijks	niet-lineair	435b9b2348f2184c87e7 14df6c13ed328e0a08ed	e8b9f312493fd8e7c925 8dfa3dc1ad192961e37c
driejaarlijks	lineair	07d751b0e87997f6022e 5d3a5b22e1f31cda46e2	c085a46e7cfc6b7071e7 28ac49ed5eea248156ff
driejaarlijks	niet-lineair	4e1a6c8562c32d0b46f0 5a93b6031a121fe62a3c	c46c61a1e4f97059f292 5f990ac2911eeba28e32

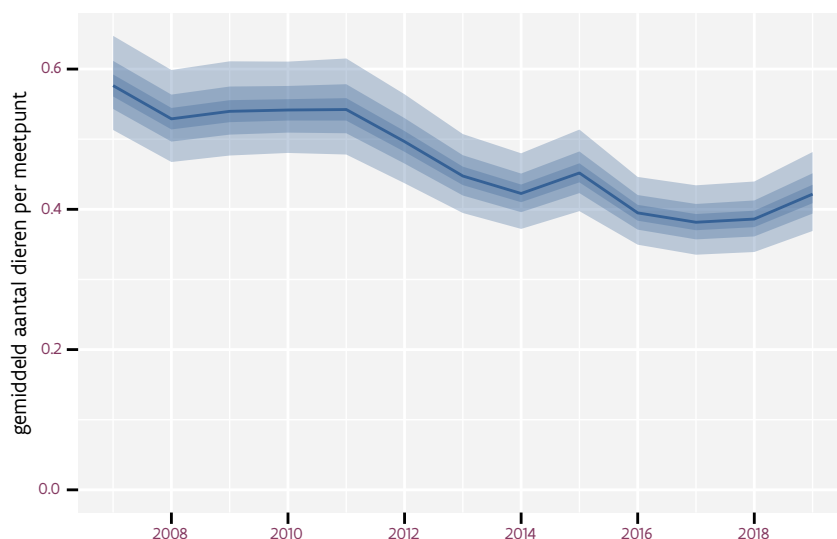
54 HUISMUS

Op basis van driejaarlijkse gegevens zien we gemiddeld een sterke afname met -3.46% (-3.95%; -2.97%) per jaar of -34.5% (-38.3%; -30.4%) over de volledige looptijd van het meetnet. Deze trend is niet-lineair.

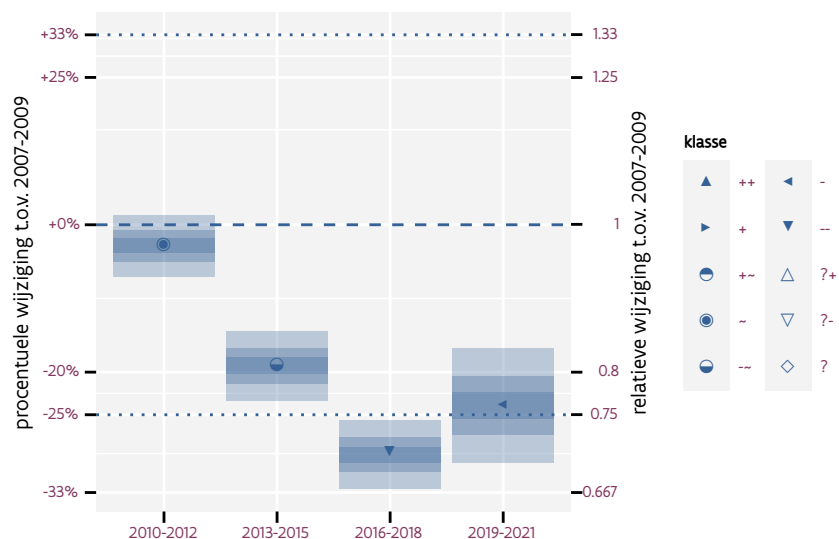
Op basis van jaarlijkse gegevens zien we gemiddeld een sterke afname met -3.49% (-3.97%; -3.00%) per jaar of -34.7% (-38.5%; -30.6%) over de volledige looptijd van het meetnet. Deze trend is niet-lineair.



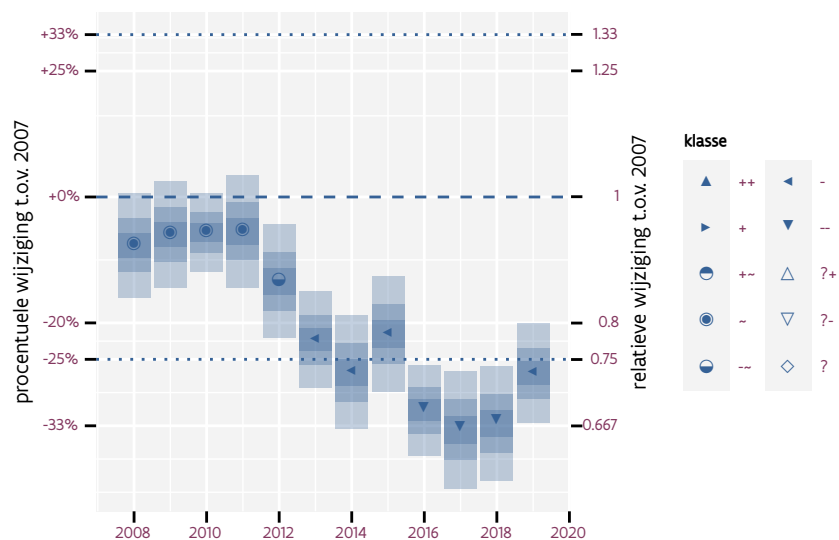
Figuur 54.1: Evolutie van het gemodeleerde gemiddeld aantal waargenomen dieren op een meetpunt voor Huismus tijdens de referentieperiode. Zie §4.1 voor een verklaring van de intervallen.



Figuur 54.2: Evolutie van het gemodeleerde gemiddeld aantal waargenomen dieren op een meetpunt voor Huismus tijdens de referentieperiode. Zie §4.1 voor een verklaring van de intervallen.



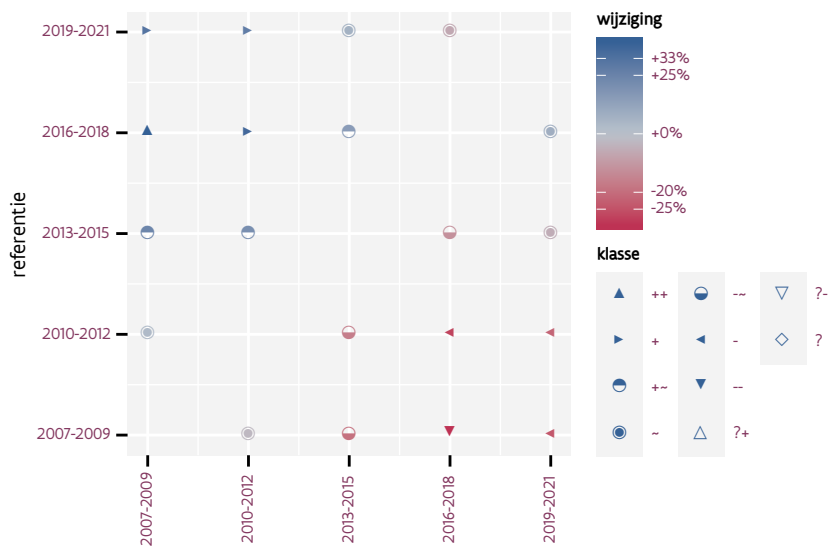
Figuur 54.3: Wijzigingen t.o.v. het eerste driejarige cyclus voor Huismus. Zie §4.1 voor een verklaring van de intervallen en §4.2 voor uitleg over de symbolen en referentielijnen.



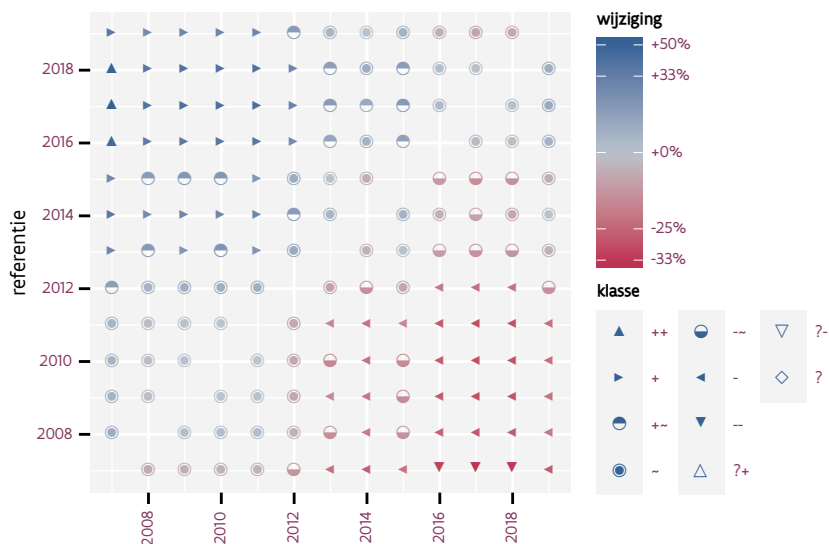
Figuur 54.4: Wijzigingen t.o.v. het eerste jaar voor Huismus. Zie §4.1 voor een verklaring van de intervallen en §4.2 voor uitleg over de symbolen en referentielijnen.

Tabel 54.1: Stratumgewicht, raming aan het aantal hokken waarin de soort aanwezig is, aantal relevant hokken voor de analyse, aantal onderzochte hokken in het stratum, totaal aantal hokken van het stratum in Vlaanderen en aantal bezoeken aan een meetpunt voor Huismus (zie §3.5).

stratum	gewicht	aanwezig	relevant	onderzocht	totaal	bezoeken
Landbouw	88.5%	4088.8	276	426	6311	15907
Urbaan	7.1%	325.1	68	87	416	3968
Suburbaan	2.2%	97.5	33	68	201	2098
Heide en duin	0.9%	39.4	18	91	199	957
Moeras en water	0.9%	39.4	23	80	137	1398
Bos	0.4%	16.8	10	190	319	719



Figuur 54.5: Paarsgewijze vergelijking tussen driejarige cycli voor Huismus. Uitleg van de symbolen in tabel 4.1.



Figuur 54.6: Paarsgewijze vergelijking tussen jaren voor Huismus. Uitleg van de symbolen in tabel 4.1.

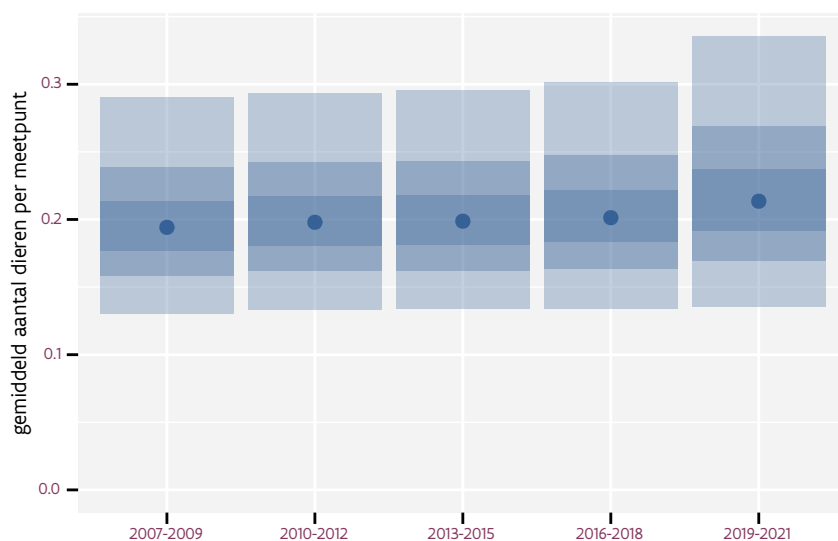
Tabel 54.2: Data-hashes van de analyses in het kader van traceerbaarheid (zie §5.3).

frequentie	model	analyse	status
jaarlijks	lineair	92936bc2bd4c083fd95e 0576de885f9686ee5f7a	d2657f2a372ba93532e6 df4cf95fa1e1ba468445
jaarlijks	niet-lineair	e4577a3716ef752803f4 755b4bf10c9cd1bf1a74	9d62d9abd0b95ab03af0 050cde3c48a56a9106de
driejaarlijks	lineair	e80183d96a0f58142e3d 87200370b8b24fc14622	ae484dc382d087261abf a5515b864131a792057a
driejaarlijks	niet-lineair	bcbd2996e564a6a82018 b8553eb04e0cf1783424	d65359913948993f975f 8ca824694ab811c15f56

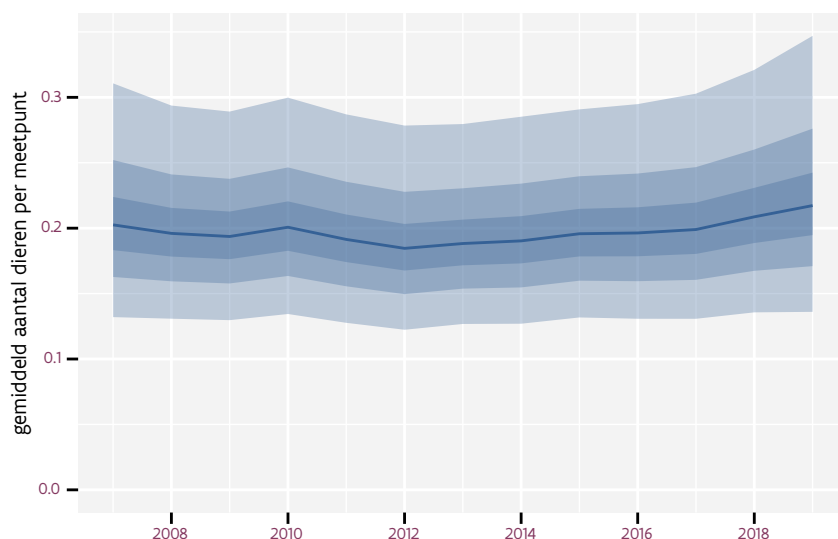
55 HUISZWALUW

Op basis van driejaarlijkse gegevens zien we gemiddeld een mogelijke toename met +1.7% (-2.2%; +5.9%) per jaar of +20% (-20%; +100%) over de volledige looptijd van het meetnet. Deze trend is lineair.

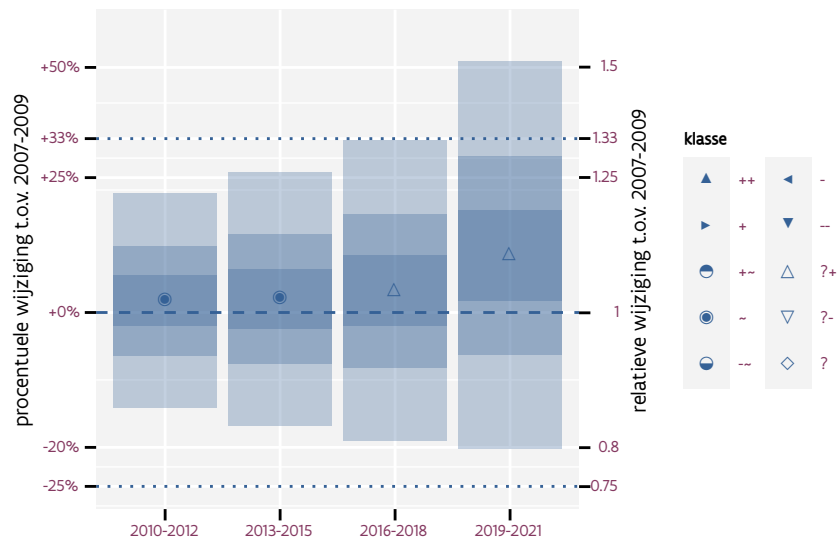
Op basis van jaarlijkse gegevens zien we gemiddeld een onduidelijke trend van +0.8% (-3.1%; +4.8%) per jaar of +10% (-30%; +70%) over de volledige looptijd van het meetnet. Deze trend is lineair.



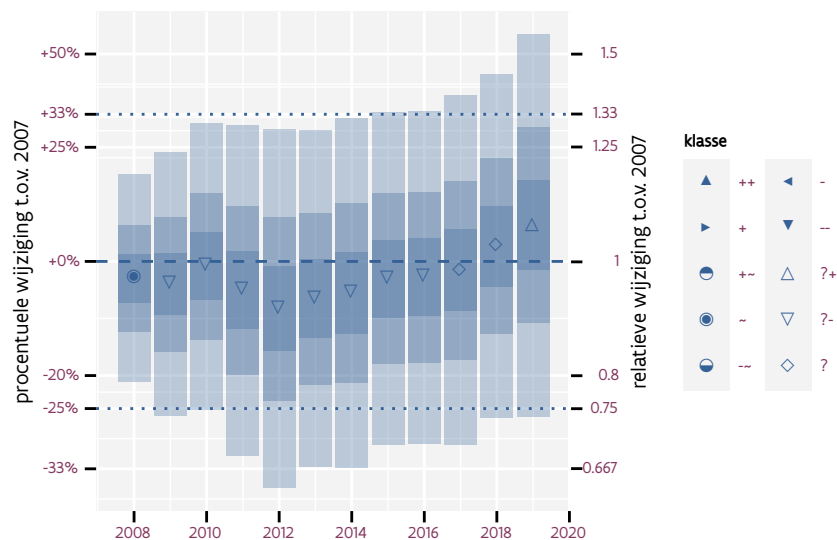
Figuur 55.1: Evolutie van het gemodeleerde gemiddeld aantal waargenomen dieren op een meetpunt voor Huiszwaluw tijdens de referentieperiode. Zie §4.1 voor een verklaring van de intervallen.



Figuur 55.2: Evolutie van het gemodeleerde gemiddeld aantal waargenomen dieren op een meetpunt voor Huiszwaluw tijdens de referentieperiode. Zie §4.1 voor een verklaring van de intervallen.



Figuur 55.3: Wijzigingen t.o.v. het eerste driejarige cyclus voor Huiszwaluw. Zie §4.1 voor een verklaring van de intervallen en §4.2 voor uitleg over de symbolen en referentielijnen.



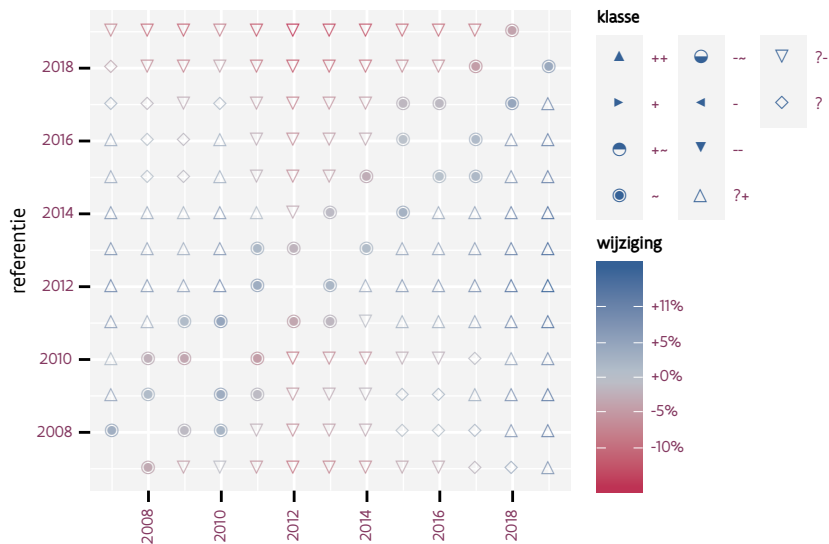
Figuur 55.4: Wijzigingen t.o.v. het eerste jaar voor Huiszwaluw. Zie §4.1 voor een verklaring van de intervallen en §4.2 voor uitleg over de symbolen en referentielijnen.

Tabel 55.1: Stratumgewicht, raming aan het aantal hokken waarin de soort aanwezig is, aantal relevant hokken voor de analyse, aantal onderzochte hokken in het stratum, totaal aantal hokken van het stratum in Vlaanderen en aantal bezoeken aan een meetpunt voor Huiszwaluw (zie §3.5).

stratum	gewicht	aanwezig	relevant	onderzocht	totaal	bezoeken
Landbouw	92.7%	577.8	39	426	6311	1594
Urbaan	4.6%	23.9	5	87	416	192
Moeras en water	1.6%	8.6	5	80	137	210
Bos	1.1%	5.0	3	190	319	120



Figuur 55.5: Paarsgewijze vergelijking tussen driejarige cycli voor Huiszwaluw. Uitleg van de symbolen in tabel 4.1.



Figuur 55.6: Paarsgewijze vergelijking tussen jaren voor Huiszwaluw. Uitleg van de symbolen in tabel 4.1.

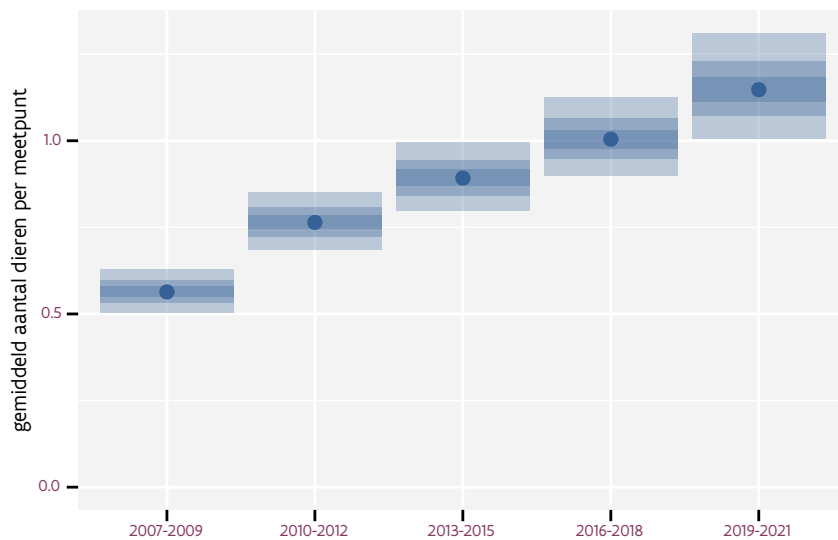
Tabel 55.2: Data-hashes van de analyses in het kader van traceerbaarheid (zie §5.3).

frequentie	model	analyse	status
jaarlijks	lineair	898037fddd79655aa62 1c1a05511e571816a1f1	ee1f7d870e06a228edf8 49a8958a93a3a4a8cb8d
jaarlijks	niet-lineair	439ab1a551ff76e5c528 cc48bbc74e1d0caf2925	e13690f29afc899348f0 7a078bbcd5d7b6e925f2
driejaarlijks	lineair	7345f2ddb924645fbd7b 24308e3d5c4d1d9980f6	f3c283278f7771a1b0ef 1c779be67e81ea798bdb
driejaarlijks	niet-lineair	4648051cdac4b93c4edb 2b617e90137efec26133	cbf115af4729f49f60c5 bad52e2881c0acc750e9

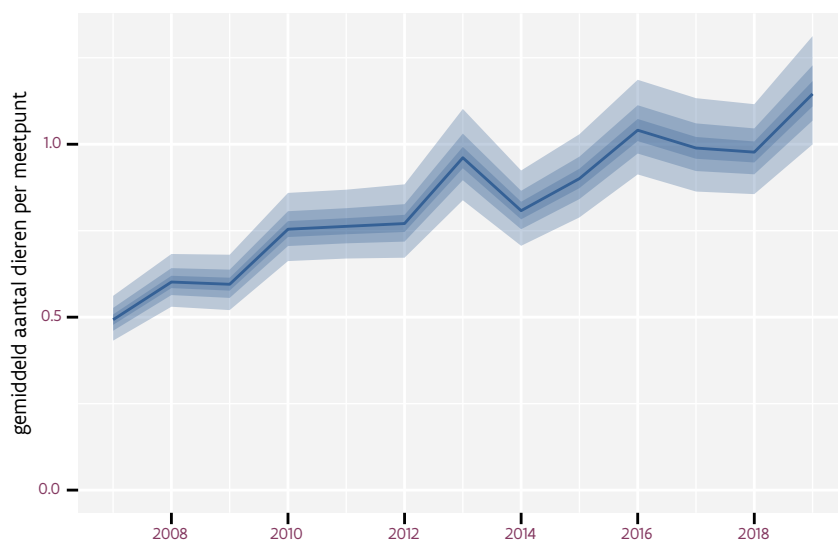
56 KAUW

Op basis van driejaarlijkse gegevens zien we gemiddeld een sterke toename met +6.3% (+5.6%; +6.9%) per jaar of +107.2% (+93.0%; +122.5%) over de volledige looptijd van het meetnet. Deze trend is niet-lineair.

Op basis van jaarlijkse gegevens zien we gemiddeld een sterke toename met +6.2% (+5.6%; +6.9%) per jaar of +106.6% (+92.4%; +121.9%) over de volledige looptijd van het meetnet. Deze trend is niet-lineair.



Figuur 56.1: Evolutie van het gemodeleerde gemiddeld aantal waargenomen dieren op een meetpunt voor Kauw tijdens de referentieperiode. Zie §4.1 voor een verklaring van de intervallen.



Figuur 56.2: Evolutie van het gemodeleerde gemiddeld aantal waargenomen dieren op een meetpunt voor Kauw tijdens de referentieperiode. Zie §4.1 voor een verklaring van de intervallen.



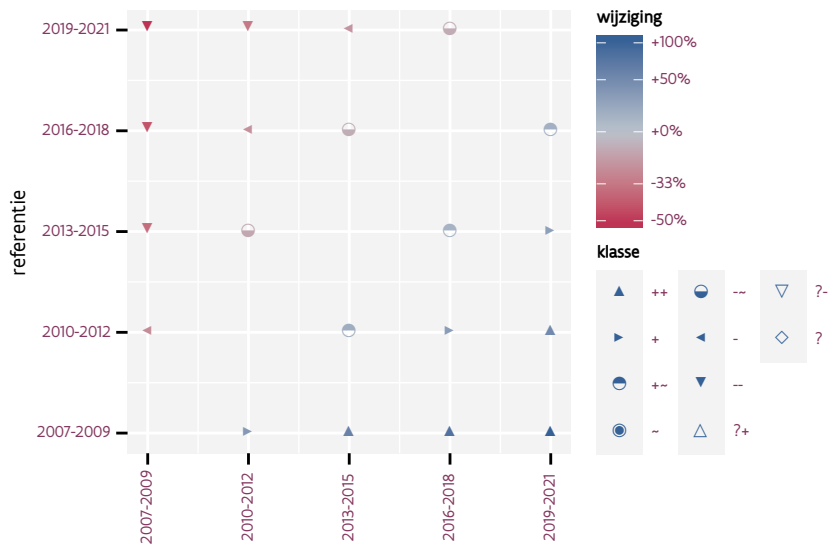
Figuur 56.3: Wijzigingen t.o.v. het eerste driejarige cyclus voor Kauw. Zie §4.1 voor een verklaring van de intervallen en §4.2 voor uitleg over de symbolen en referentielijnen.



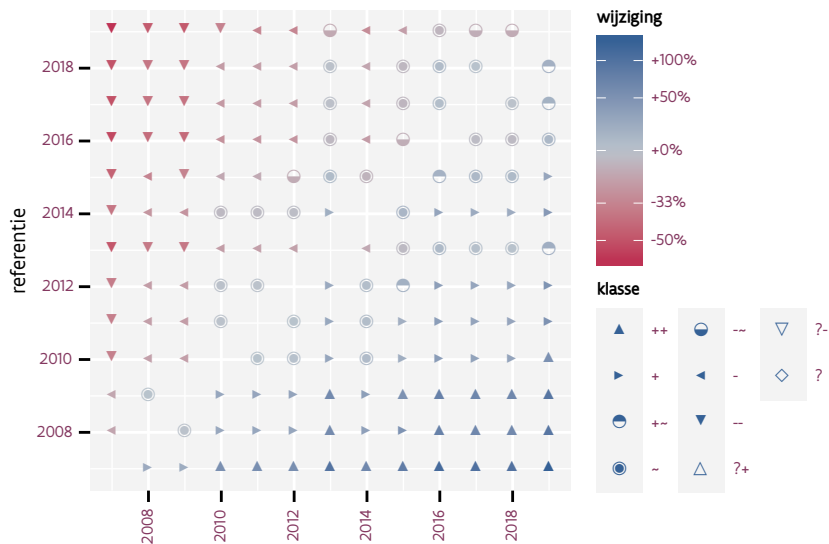
Figuur 56.4: Wijzigingen t.o.v. het eerste jaar voor Kauw. Zie §4.1 voor een verklaring van de intervallen en §4.2 voor uitleg over de symbolen en referentielijnen.

Tabel 56.1: Stratumgewicht, raming aan het aantal hokken waarin de soort aanwezig is, aantal relevant hokken voor de analyse, aantal onderzochte hokken in het stratum, totaal aantal hokken van het stratum in Vlaanderen en aantal bezoeken aan een meetpunt voor Kauw (zie §3.5).

stratum	gewicht	aanwezig	relevant	onderzocht	totaal	bezoeken
Landbouw	86.4%	4266.6	288	426	6311	16891
Urbaan	6.3%	306.0	64	87	416	3752
Suburbaan	2.6%	124.1	42	68	201	2560
Heide en duin	1.7%	80.9	37	91	199	2348
Bos	1.6%	78.9	47	190	319	3492
Moeras en water	1.5%	70.2	41	80	137	2476



Figuur 56.5: Paarsgewijze vergelijking tussen driejarige cycli voor Kauw. Uitleg van de symbolen in tabel 4.1.



Figuur 56.6: Paarsgewijze vergelijking tussen jaren voor Kauw. Uitleg van de symbolen in tabel 4.1.

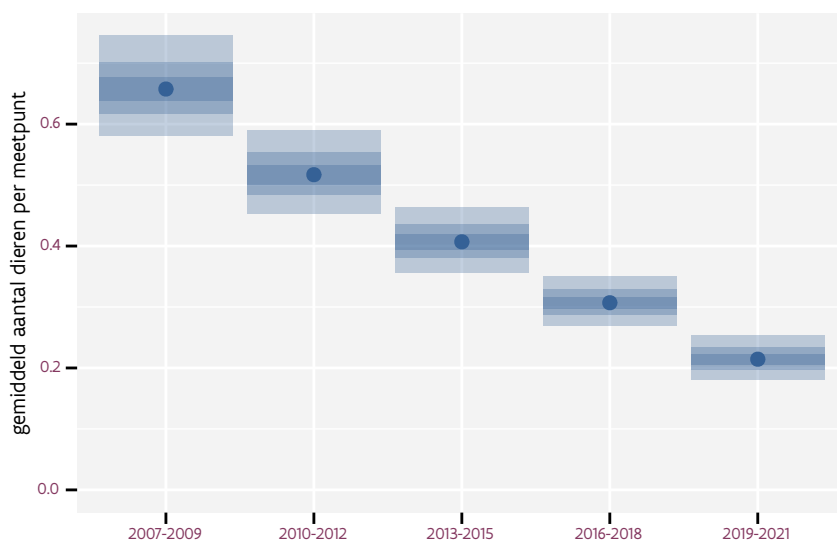
Tabel 56.2: Data-hashes van de analyses in het kader van traceerbaarheid (zie §5.3).

frequentie	model	analyse	status
jaarlijks	lineair	756beb7bf935a713d74c fb3db1f32251ea0b11cd	2b7627bc2751ce249115 db1eef386660616d27c2
jaarlijks	niet-lineair	75c466077717edee941a 960b1a77ad3cf8f6eb21	a88829c0ad58396a9fa2 e1942a8ca96c09eadce8
driejaarlijks	lineair	d7393a71a6d776613e7d 12bfda4de59bcb0f8f3	5409dbaa91f10b0d2225 ede8ee5f647ece71f3e6
driejaarlijks	niet-lineair	df9632d603b4c6ce8a72 1ceb3d45ee4fa9b031d7	414f14903b932aa249d0 ee9c2039b4c3581ee1b9

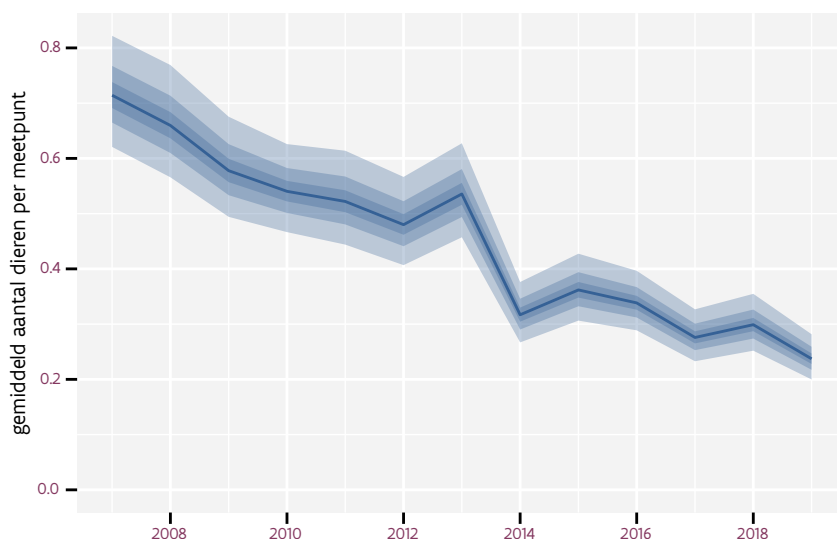
57 KIEVIT

Op basis van driejaarlijkse gegevens zien we gemiddeld een sterke afname met -8.5% (-9.2%; -7.7%) per jaar of -65.3% (-68.5%; -61.9%) over de volledige looptijd van het meetnet. Deze trend is lineair.

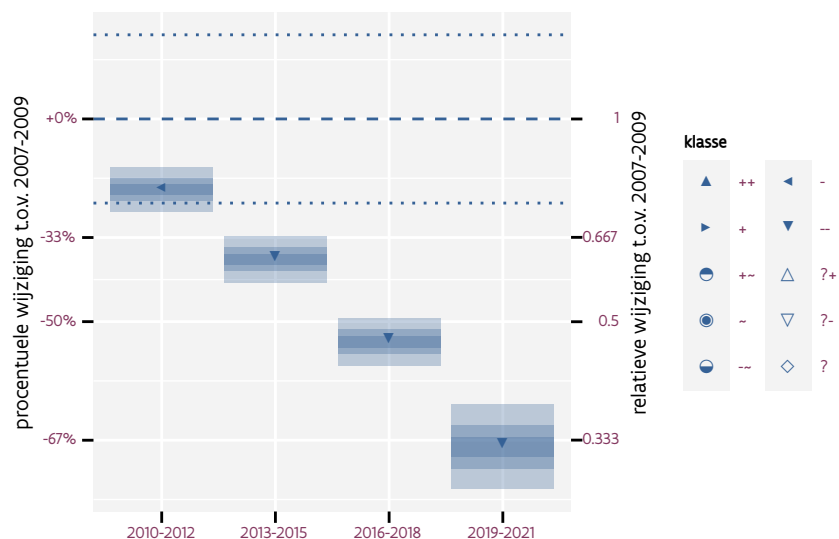
Op basis van jaarlijkse gegevens zien we gemiddeld een sterke afname met -8.5% (-9.2%; -7.7%) per jaar of -65.4% (-68.6%; -62.0%) over de volledige looptijd van het meetnet. Deze trend is niet-lineair.



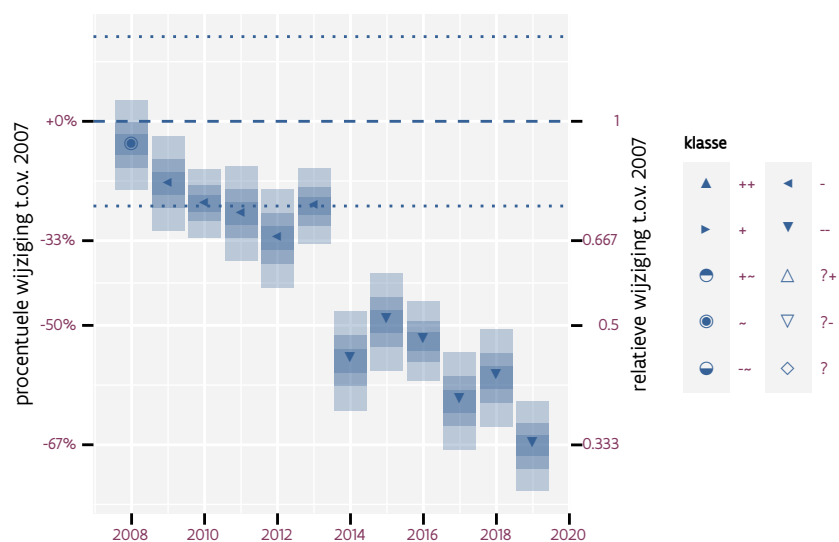
Figuur 57.1: Evolutie van het gemodeleerde gemiddeld aantal waargenomen dieren op een meetpunt voor Kievit tijdens de referentieperiode. Zie §4.1 voor een verklaring van de intervallen.



Figuur 57.2: Evolutie van het gemodeleerde gemiddeld aantal waargenomen dieren op een meetpunt voor Kievit tijdens de referentieperiode. Zie §4.1 voor een verklaring van de intervallen.



Figuur 57.3: Wijzigingen t.o.v. het eerste driejarige cyclus voor Kievit. Zie §4.1 voor een verklaring van de intervallen en §4.2 voor uitleg over de symbolen en referentielijnen.



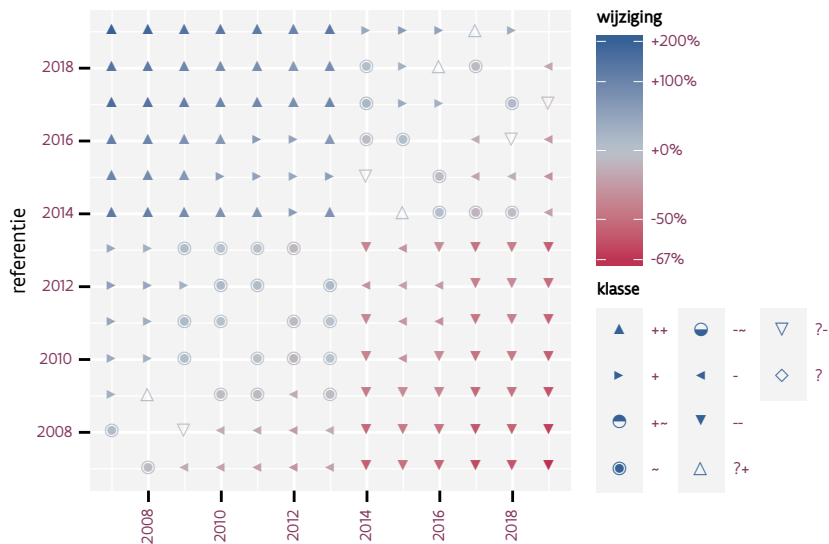
Figuur 57.4: Wijzigingen t.o.v. het eerste jaar voor Kievit. Zie §4.1 voor een verklaring van de intervallen en §4.2 voor uitleg over de symbolen en referentielijnen.

Tabel 57.1: Stratumgewicht, raming aan het aantal hokken waarin de soort aanwezig is, aantal relevant hokken voor de analyse, aantal onderzochte hokken in het stratum, totaal aantal hokken van het stratum in Vlaanderen en aantal bezoeken aan een meetpunt voor Kievit (zie §3.5).

stratum	gewicht	aanwezig	relevant	onderzocht	totaal	bezoeken
Landbouw	96.6%	4266.6	288	426	6311	16842
Moeras en water	1.0%	41.1	24	80	137	1531
Urbaan	0.6%	23.9	5	87	416	359
Heide en duin	0.6%	26.2	12	91	199	912
Bos	0.6%	25.2	15	190	319	1031
Suburbaan	0.5%	20.7	7	68	201	395



Figuur 57.5: Paarsgewijze vergelijking tussen driejarige cycli voor Kievit. Uitleg van de symbolen in tabel 4.1.



Figuur 57.6: Paarsgewijze vergelijking tussen jaren voor Kievit. Uitleg van de symbolen in tabel 4.1.

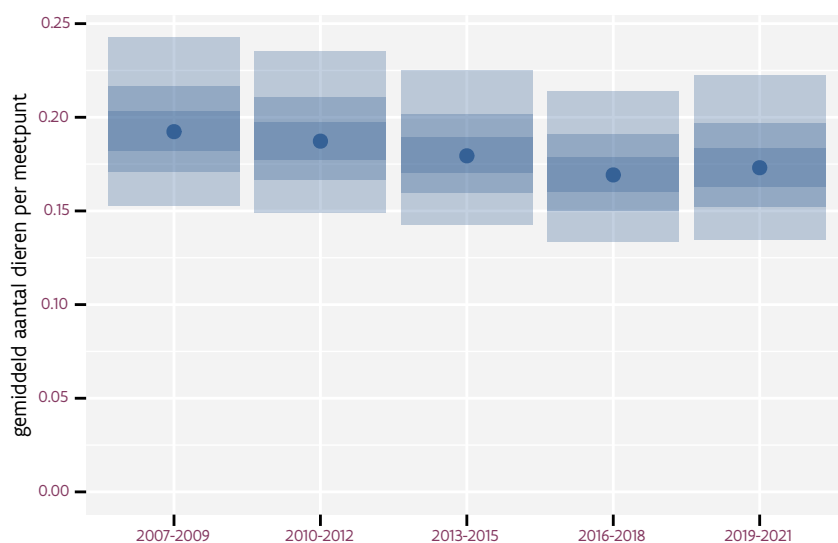
Tabel 57.2: Data-hashes van de analyses in het kader van traceerbaarheid (zie §5.3).

frequentie	model	analyse	status
jaarlijks	lineair	76b2c53f04eb7a2843d0 a8b959b1007cbf07ee23	b955f7b649dfc88367dc 58c0f5654ffd20577400
jaarlijks	niet-lineair	d762a55eb7235ce993ec d3cad505782c7439921c	559a3d8796b6ae2c8e28 fa78e0a133754f6f8078
driejaarlijks	lineair	3ab8d9f1fa20b866ceca 45f5ad0140397b28b760	0281b16442aa6376a6e8 d7f9cf4ffd9deefd4c3a
driejaarlijks	niet-lineair	117150ff26fd36adc794 2832522766ff37c01ae7	c97899325bcfd0ff68f5 e03689aa18d3629bbb24

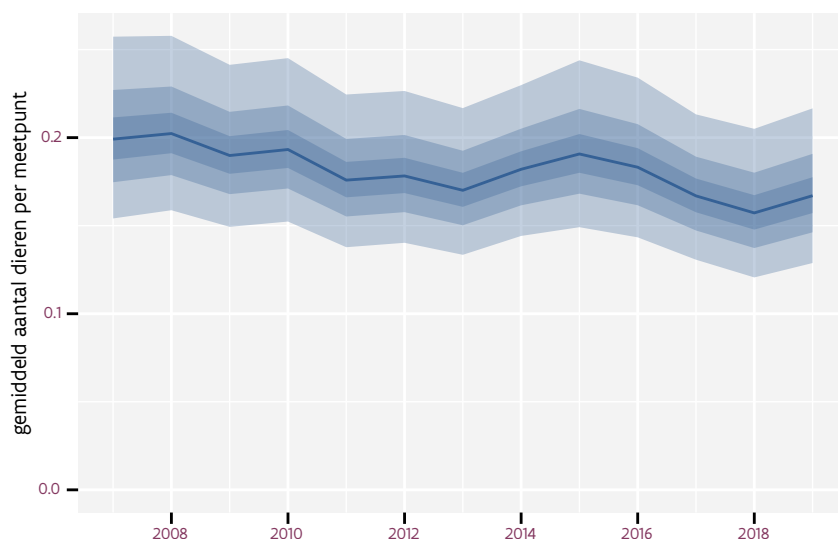
58 KLEINE KAREKIET

Op basis van driejaarlijkse gegevens zien we gemiddeld een afname met -1.8% (-3.5%; -0.2%) per jaar of -20% (-34%; -2%) over de volledige looptijd van het meetnet. Deze trend is lineair.

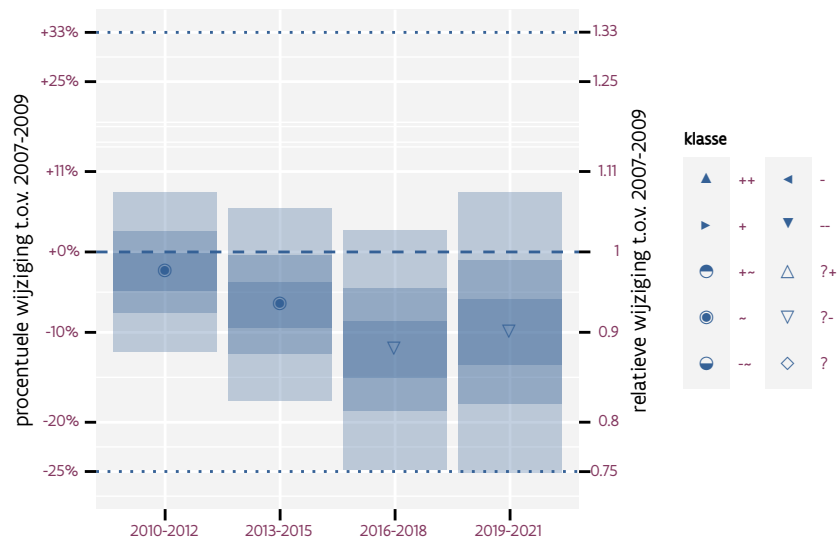
Op basis van jaarlijkse gegevens zien we gemiddeld een afname met -1.9% (-3.5%; -0.3%) per jaar of -21% (-35%; -3%) over de volledige looptijd van het meetnet. Deze trend is mogelijk niet-lineair.



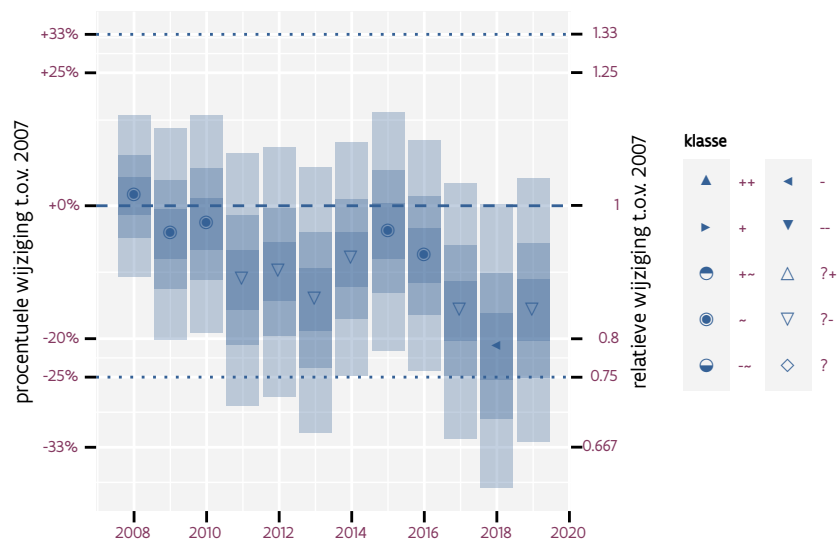
Figuur 58.1: Evolutie van het gemodeleerde gemiddeld aantal waargenomen dieren op een meetpunt voor Kleine karekiet tijdens de referentieperiode. Zie §4.1 voor een verklaring van de intervallen.



Figuur 58.2: Evolutie van het gemodeleerde gemiddeld aantal waargenomen dieren op een meetpunt voor Kleine karekiet tijdens de referentieperiode. Zie §4.1 voor een verklaring van de intervallen.



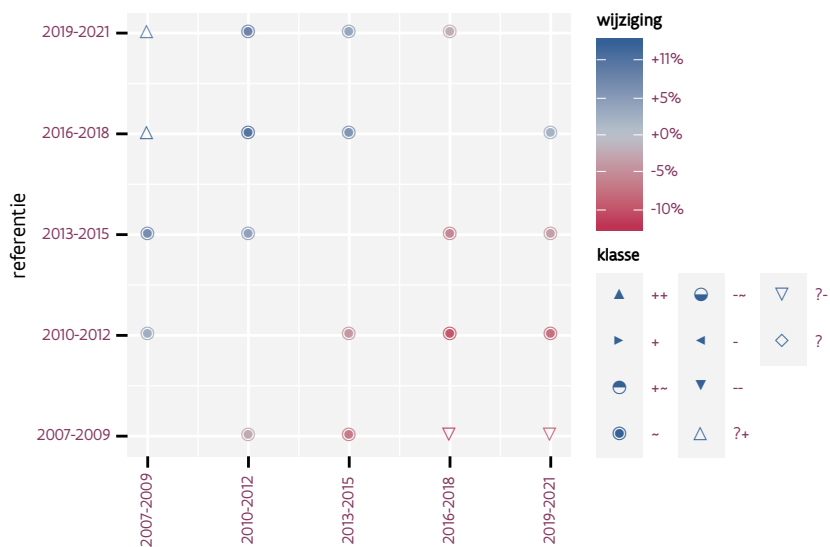
Figuur 58.3: Wijzigingen t.o.v. het eerste driejarige cyclus voor Kleine karekiet. Zie §4.1 voor een verklaring van de intervallen en §4.2 voor uitleg over de symbolen en referentielijnen.



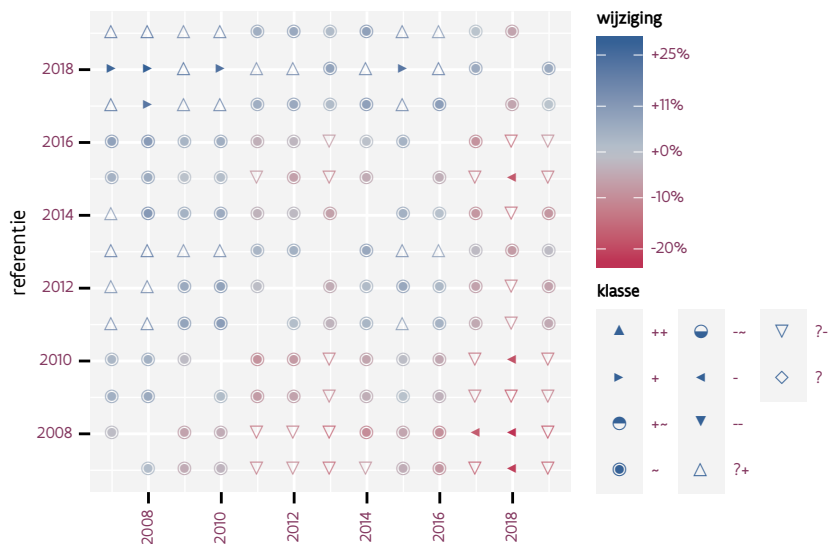
Figuur 58.4: Wijzigingen t.o.v. het eerste jaar voor Kleine karekiet. Zie §4.1 voor een verklaring van de intervallen en §4.2 voor uitleg over de symbolen en referentielijnen.

Tabel 58.1: Stratumgewicht, raming aan het aantal hokken waarin de soort aanwezig is, aantal relevant hokken voor de analyse, aantal onderzochte hokken in het stratum, totaal aantal hokken van het stratum in Vlaanderen en aantal bezoeken aan een meetpunt voor Kleine karekiet (zie §3.5).

stratum	gewicht	aanwezig	relevant	onderzocht	totaal	bezoeken
Landbouw	88.3%	755.5	51	426	6311	2160
Moeras en water	7.8%	65.1	38	80	137	1651
Suburbaan	2.1%	14.8	5	68	201	130
Heide en duin	1.8%	13.1	6	91	199	240



Figuur 58.5: Paarsgewijze vergelijking tussen driejarige cycli voor Kleine karekiet. Uitleg van de symbolen in tabel 4.1.



Figuur 58.6: Paarsgewijze vergelijking tussen jaren voor Kleine karekiet. Uitleg van de symbolen in tabel 4.1.

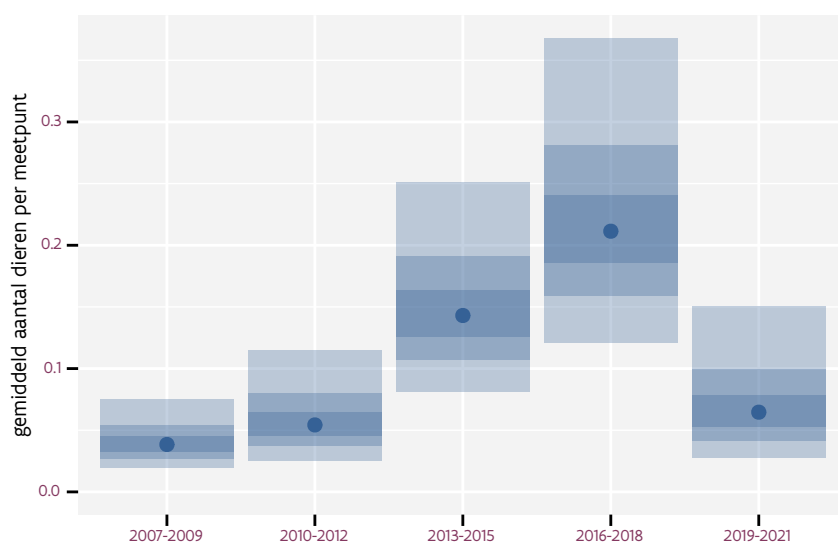
Tabel 58.2: Data-hashes van de analyses in het kader van traceerbaarheid (zie §5.3).

frequentie	model	analyse	status
jaarlijks	lineair	fa15f8a8c8e6ef9ac283 7265cee596f41c2ca7a0	7a53cc3893fc309e5484 e16e3834843cc46ca62c
jaarlijks	niet-lineair	4124d66d1e150f3c82d0 12d2e3bd70e029f11b1d	29c242d8636f6ee568b1 3d1ea92b7721653825b2
driejaarlijks	lineair	50dbf8e43c66da4c39c4 89a6302730a6db92640d	594fbc0b2fce31b7e997 3529c865f1224718b5b5
driejaarlijks	niet-lineair	bb6b57d911b629da31ba adad3eb663ad2c060575	d2d273174f9105fe1ae3 247ef2c5beea99240d23

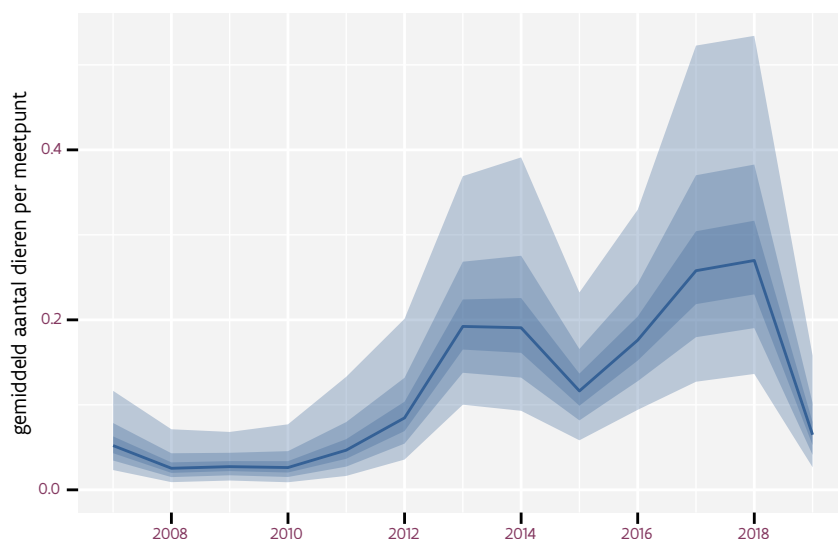
59 KLEINE MANTELMEEUW

Op basis van driejaarlijkse gegevens zien we gemiddeld een sterke toename met +16% (+9%; +23%) per jaar of +489% (+196%; +1073%) over de volledige looptijd van het meetnet. Deze trend is niet-lineair.

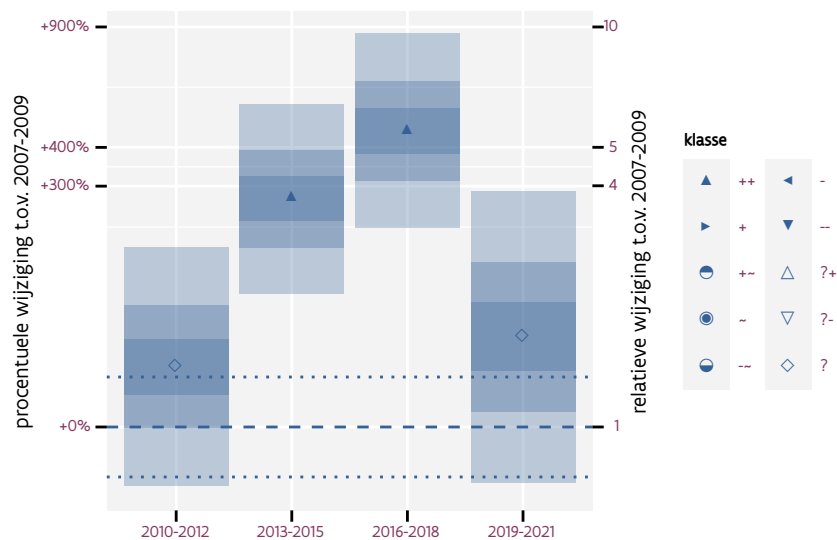
Op basis van jaarlijkse gegevens zien we gemiddeld een sterke toename met +16% (+10%; +23%) per jaar of +502% (+200%; +1109%) over de volledige looptijd van het meetnet. Deze trend is niet-lineair.



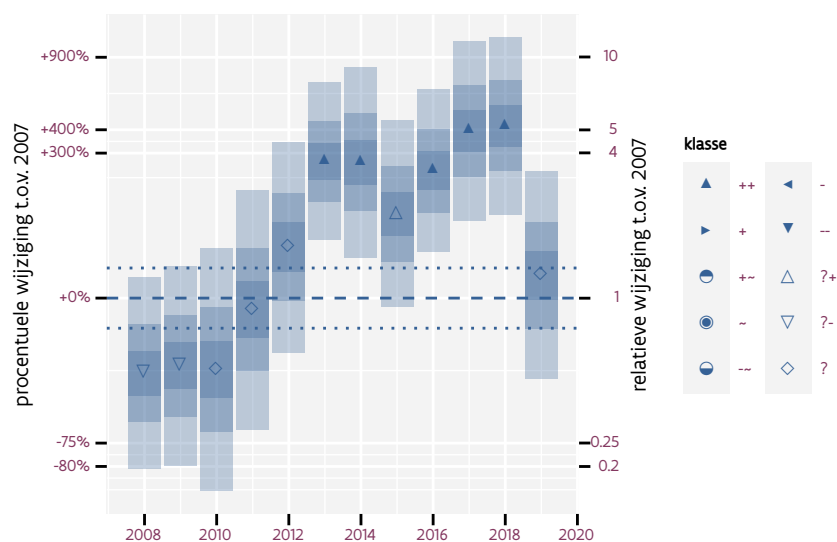
Figuur 59.1: Evolutie van het gemodeleerde gemiddeld aantal waargenomen dieren op een meetpunt voor Kleine mantelmeeuw tijdens de referentieperiode. Zie §4.1 voor een verklaring van de intervallen.



Figuur 59.2: Evolutie van het gemodeleerde gemiddeld aantal waargenomen dieren op een meetpunt voor Kleine mantelmeeuw tijdens de referentieperiode. Zie §4.1 voor een verklaring van de intervallen.



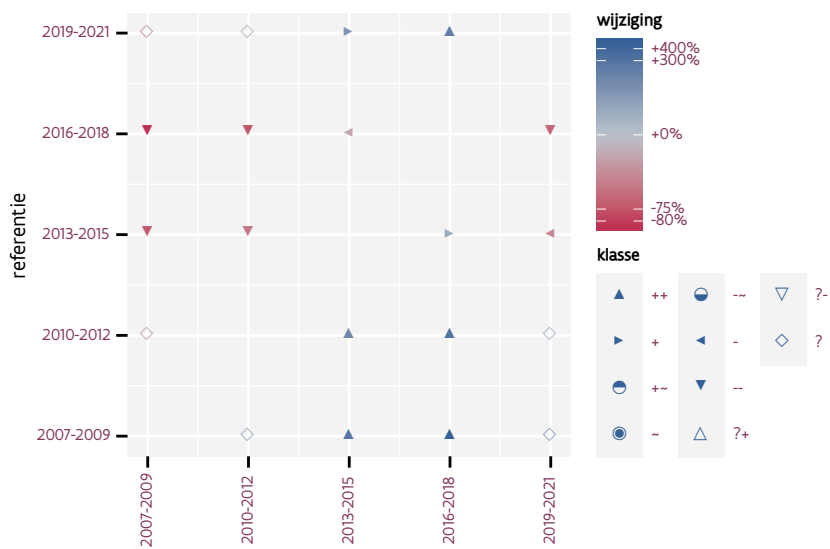
Figuur 59.3: Wijzigingen t.o.v. het eerste driejarige cyclus voor Kleine mantelmeeuw. Zie §4.1 voor een verklaring van de intervallen en §4.2 voor uitleg over de symbolen en referentielijnen.



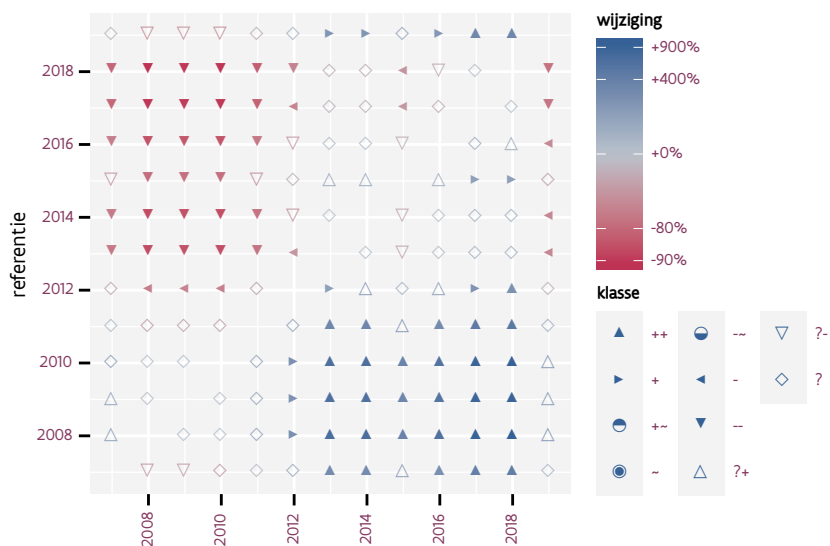
Figuur 59.4: Wijzigingen t.o.v. het eerste jaar voor Kleine mantelmeeuw. Zie §4.1 voor een verklaring van de intervallen en §4.2 voor uitleg over de symbolen en referentielijnen.

Tabel 59.1: Stratumgewicht, raming aan het aantal hokken waarin de soort aanwezig is, aantal relevant hokken voor de analyse, aantal onderzochte hokken in het stratum, totaal aantal hokken van het stratum in Vlaanderen en aantal bezoeken aan een meetpunt voor Kleine mantelmeeuw (zie §3.5).

stratum	gewicht	aanwezig	relevant	onderzocht	totaal	bezoeken
Landbouw	84.8%	177.8	12	426	6311	717
Moeras en water	8.2%	15.4	9	80	137	617
Suburbaan	7.0%	11.8	4	68	201	337



Figuur 59.5: Paarsgewijze vergelijking tussen driejarige cycli voor Kleine mantelmeeuw. Uitleg van de symbolen in tabel 4.1.



Figuur 59.6: Paarsgewijze vergelijking tussen jaren voor Kleine mantelmeeuw. Uitleg van de symbolen in tabel 4.1.

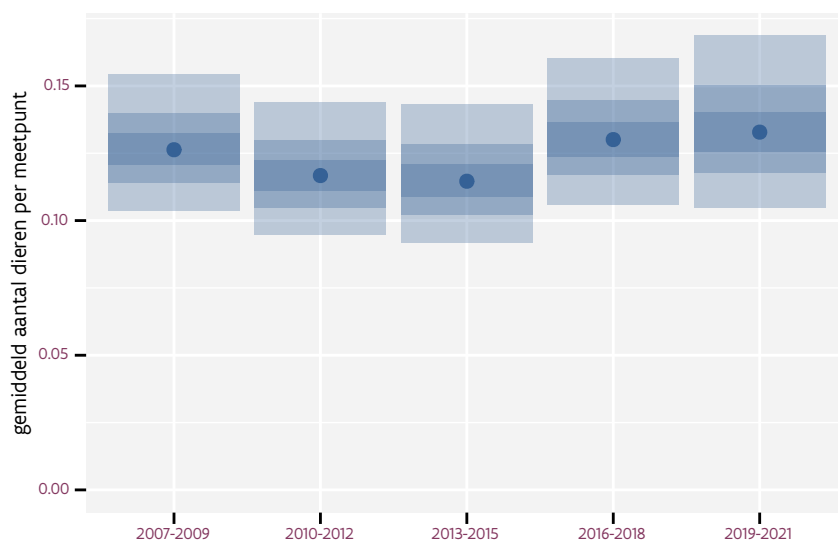
Tabel 59.2: Data-hashes van de analyses in het kader van traceerbaarheid (zie §5.3).

frequentie	model	analyse	status
jaarlijks	lineair	f0e4b81c14a066413500 11e5d65438883bc77878	aa4f4ea3a6f6bb39c7be 88ba12cc26674e2a3c76
jaarlijks	niet-lineair	98ad78826aa7c13353e3 77a1254bcc774a67767c	6913bc5b49d4651aa672 d848d5fd87c34f032c5f
driejaarlijks	lineair	b87118940f8aaaf5c79b 0f31df4fb68a383e6073	ba19fd1b24eb7dccc618 1e3aaea2e49137e9f34d
driejaarlijks	niet-lineair	1e47af4b7b89eb1d1e1a c1a929338e13b3405d88	54de9a835ad5bdffc3fc 57e50536a92b86c7d4cc

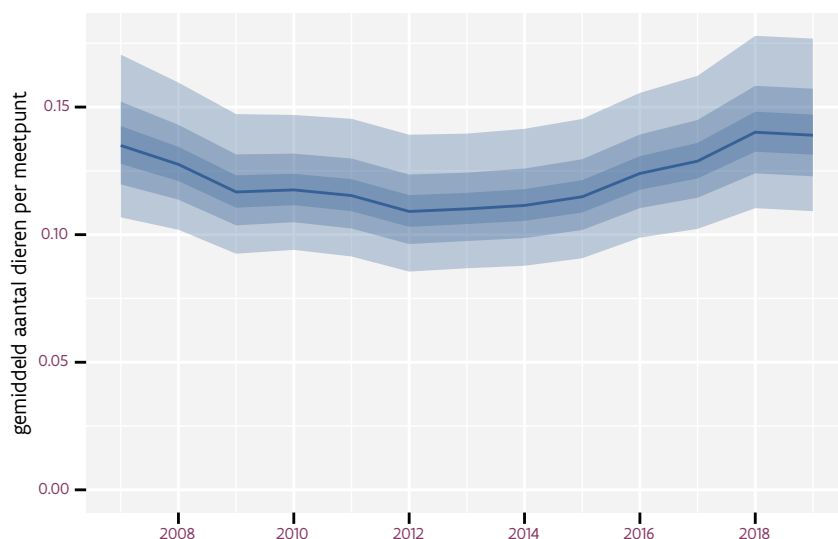
60 KNEU

Op basis van driejaarlijkse gegevens zien we gemiddeld een stabiele trend van +0.5% (-1.1%; +2.2%) per jaar of +6% (-12%; +29%) over de volledige looptijd van het meetnet. Deze trend is niet-lineair.

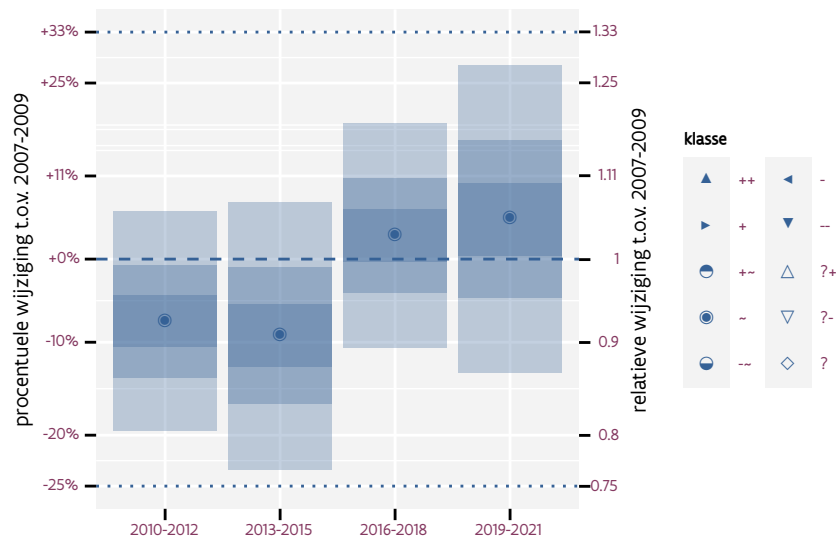
Op basis van jaarlijkse gegevens zien we gemiddeld een stabiele trend van +0.24% (-1.36%; +1.87%) per jaar of +3% (-15%; +25%) over de volledige looptijd van het meetnet. Deze trend is niet-lineair.



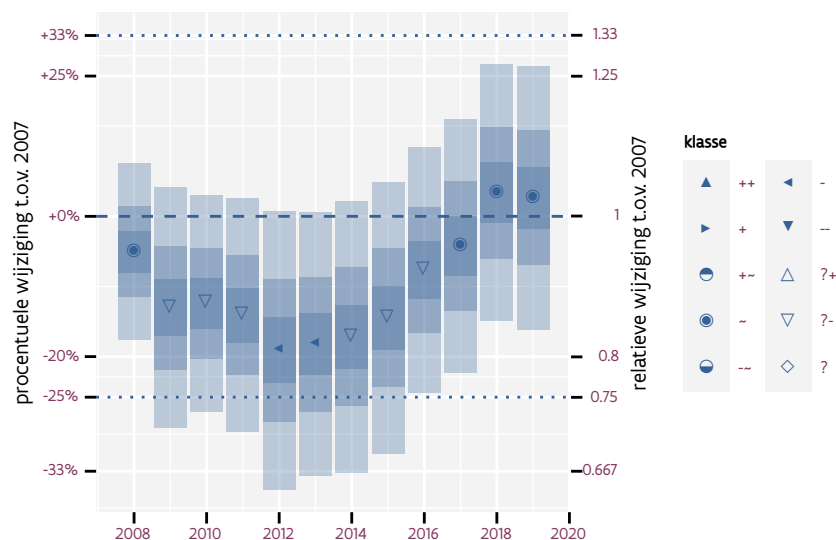
Figuur 60.1: Evolutie van het gemodeleerde gemiddeld aantal waargenomen dieren op een meetpunt voor Kneu tijdens de referentieperiode. Zie §4.1 voor een verklaring van de intervallen.



Figuur 60.2: Evolutie van het gemodeleerde gemiddeld aantal waargenomen dieren op een meetpunt voor Kneu tijdens de referentieperiode. Zie §4.1 voor een verklaring van de intervallen.



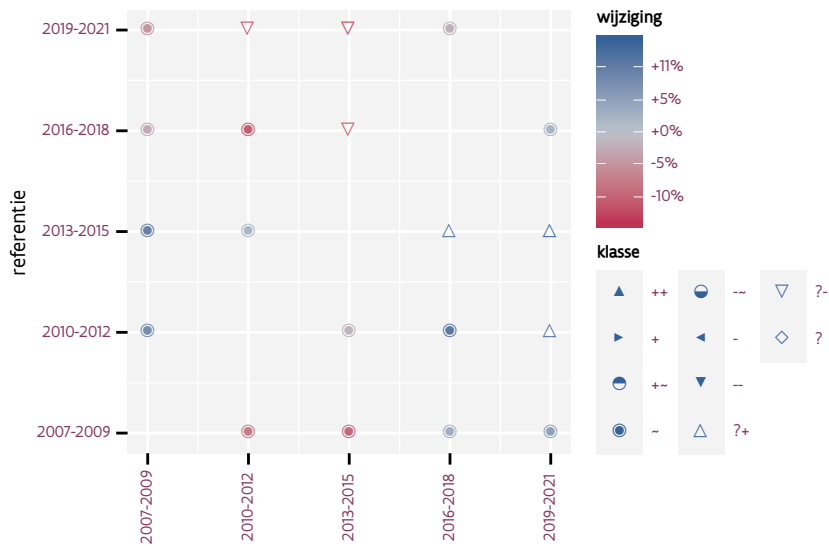
Figuur 60.3: Wijzigingen t.o.v. het eerste driejarige cyclus voor Kneu. Zie §4.1 voor een verklaring van de intervallen en §4.2 voor uitleg over de symbolen en referentielijnen.



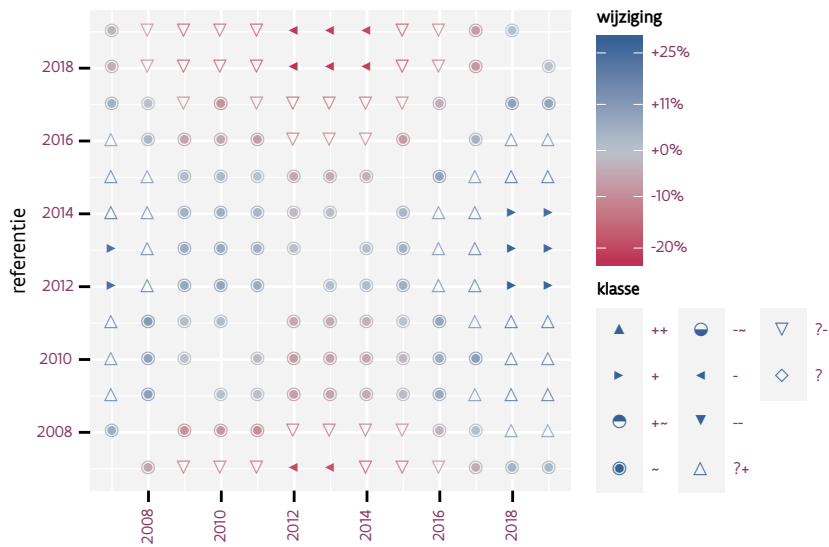
Figuur 60.4: Wijzigingen t.o.v. het eerste jaar voor Kneu. Zie §4.1 voor een verklaring van de intervallen en §4.2 voor uitleg over de symbolen en referentielijnen.

Tabel 60.1: Stratumgewicht, raming aan het aantal hokken waarin de soort aanwezig is, aantal relevant hokken voor de analyse, aantal onderzochte hokken in het stratum, totaal aantal hokken van het stratum in Vlaanderen en aantal bezoeken aan een meetpunt voor Kneu (zie §3.5).

stratum	gewicht	aanwezig	relevant	onderzocht	totaal	bezoeken
Landbouw	91.3%	1540.7	104	426	6311	6570
Heide en duin	4.8%	78.7	36	91	199	2113
Suburbaan	1.8%	26.6	9	68	201	542
Moeras en water	1.2%	18.8	11	80	137	622
Bos	0.9%	13.4	8	190	319	773



Figuur 60.5: Paarsgewijze vergelijking tussen driejarige cycli voor Kneu. Uitleg van de symbolen in tabel 4.1.



Figuur 60.6: Paarsgewijze vergelijking tussen jaren voor Kneu. Uitleg van de symbolen in tabel 4.1.

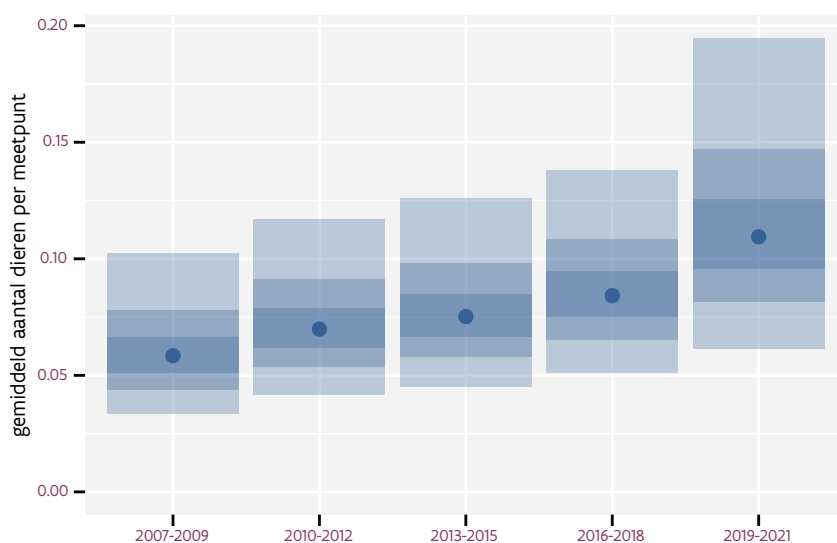
Tabel 60.2: Data-hashes van de analyses in het kader van traceerbaarheid (zie §5.3).

frequentie	model	analyse	status
jaarlijks	lineair	d952efa956a8cfa747cb 9d4f24d27c4f065977de	72d430f0999e7d1e5fdc 90f80ffbf72c9f1a1eb
jaarlijks	niet-lineair	315ff41ccb0e01df9706 fe506297e24c21eaf9e0	cb828907cf12dccf5f48 62498aa4b352b4752854
driejaarlijks	lineair	9a353ec7ccfd54ae4508 25504010dc3e9fd4d78f	c580ffcafe1b64d95a51 97c85b2935a30f57ac99
driejaarlijks	niet-lineair	b567fca476d548a76a2a b869d8329ff3e9267f63	e7399123246ee24cf990 14cacc7904956651bcdf

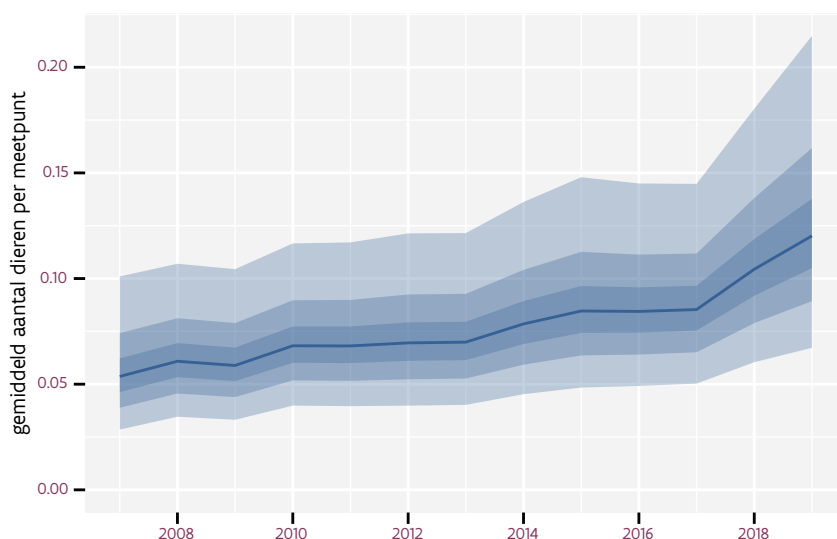
61 KNOBBELZWAAN

Op basis van driejaarlijkse gegevens zien we gemiddeld een sterke toename met +7.40% (+3.39%; +11.57%) per jaar of +140% (+50%; +270%) over de volledige looptijd van het meetnet. Deze trend is niet-lineair.

Op basis van jaarlijkse gegevens zien we gemiddeld een sterke toename met +7.65% (+3.58%; +11.87%) per jaar of +140% (+50%; +280%) over de volledige looptijd van het meetnet. Deze trend is niet-lineair.



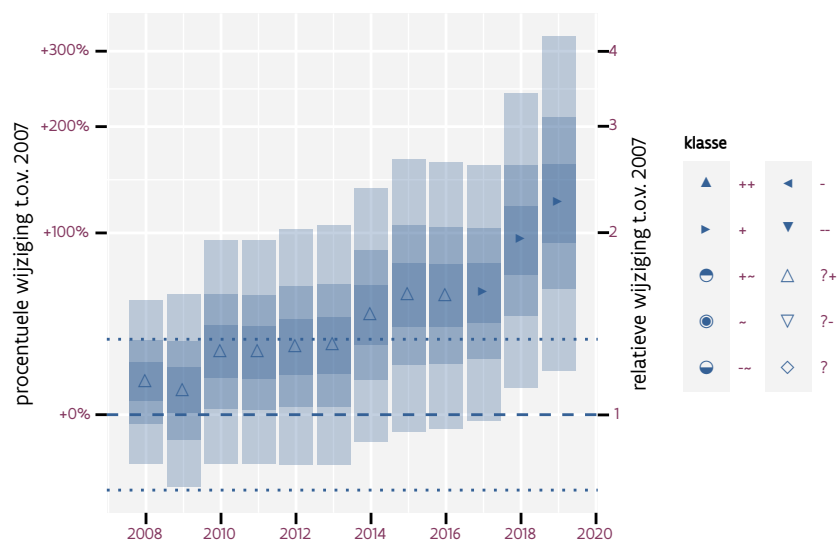
Figuur 61.1: Evolutie van het gemodeleerde gemiddeld aantal waargenomen dieren op een meetpunt voor Knobbelzwaan tijdens de referentieperiode. Zie §4.1 voor een verklaring van de intervallen.



Figuur 61.2: Evolutie van het gemodeleerde gemiddeld aantal waargenomen dieren op een meetpunt voor Knobbelzwaan tijdens de referentieperiode. Zie §4.1 voor een verklaring van de intervallen.



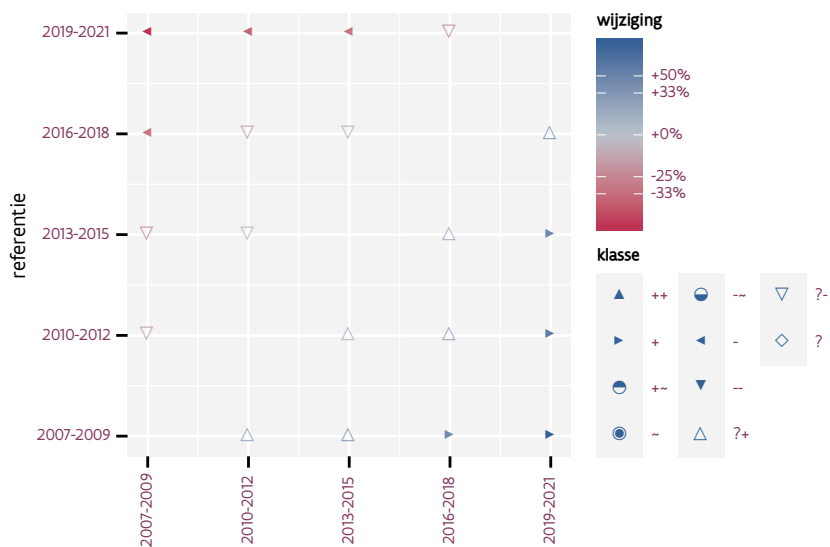
Figuur 61.3: Wijzigingen t.o.v. het eerste driejarige cyclus voor Knobbelzwaan. Zie §4.1 voor een verklaring van de intervallen en §4.2 voor uitleg over de symbolen en referentielijnen.



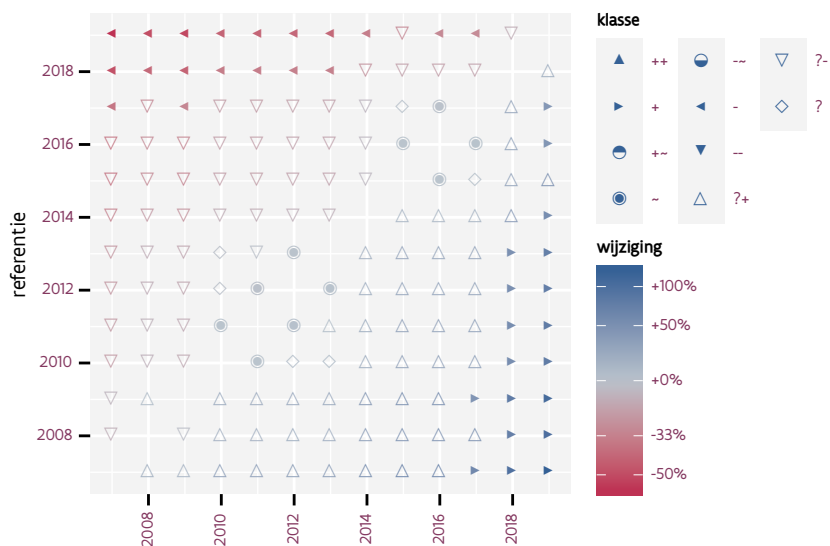
Figuur 61.4: Wijzigingen t.o.v. het eerste jaar voor Knobbelzwaan. Zie §4.1 voor een verklaring van de intervallen en §4.2 voor uitleg over de symbolen en referentielijnen.

Tabel 61.1: Stratungewicht, raming aan het aantal hokken waarin de soort aanwezig is, aantal relevant hokken voor de analyse, aantal onderzochte hokken in het stratum, totaal aantal hokken van het stratum in Vlaanderen en aantal bezoeken aan een meetpunt voor Knobbelzwaan (zie §3.5).

stratum	gewicht	aanwezig	relevant	onderzocht	totaal	bezoeken
Moeras en water	70.1%	30.8	18	80	137	1183
Heide en duin	29.9%	10.9	5	91	199	306



Figuur 61.5: Paarsgewijze vergelijking tussen driejarige cycli voor Knobbelzwaan. Uitleg van de symbolen in tabel 4.1.



Figuur 61.6: Paarsgewijze vergelijking tussen jaren voor Knobbelzwaan. Uitleg van de symbolen in tabel 4.1.

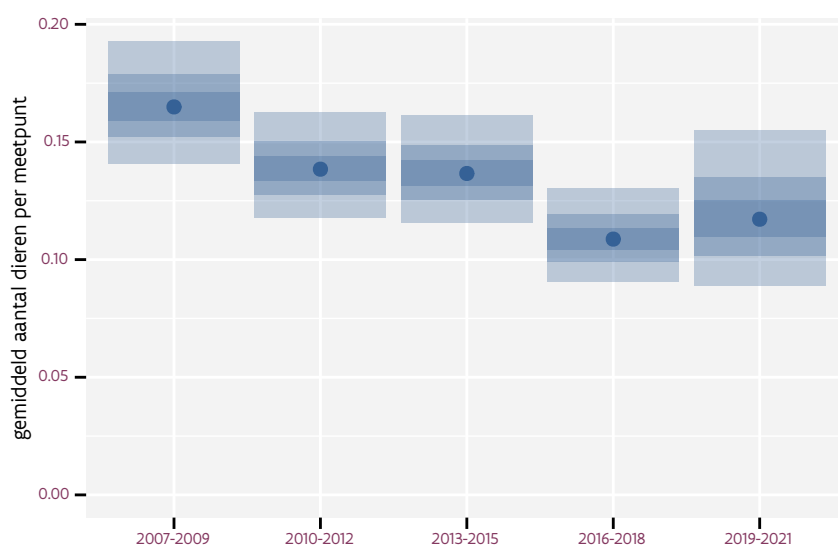
Tabel 61.2: Data-hashes van de analyses in het kader van traceerbaarheid (zie §5.3).

frequentie	model	analyse	status
jaarlijks	lineair	eab0ed800a57dd395716 65512605e7737be04a8a	c189e6fdf9222d4378dd 8b9de1f139ced38899c1
jaarlijks	niet-lineair	08aa0912727556d4fd87 5defab14c0fb77431c41	d255b92a4cef153dead9 2ff9baa979b2b243cf7a
driejaarlijks	lineair	ad96bfa2cb4bf1d8477f 095609a3e5dbb789708a	65875424f515fc7599ed 5b04c6d27fa71f3b4d93
driejaarlijks	niet-lineair	5b0e3a46da7f8b3f49a8 17ceace640a675326788	b2a172a1ff3e121c812c d568f7c146644abbca37

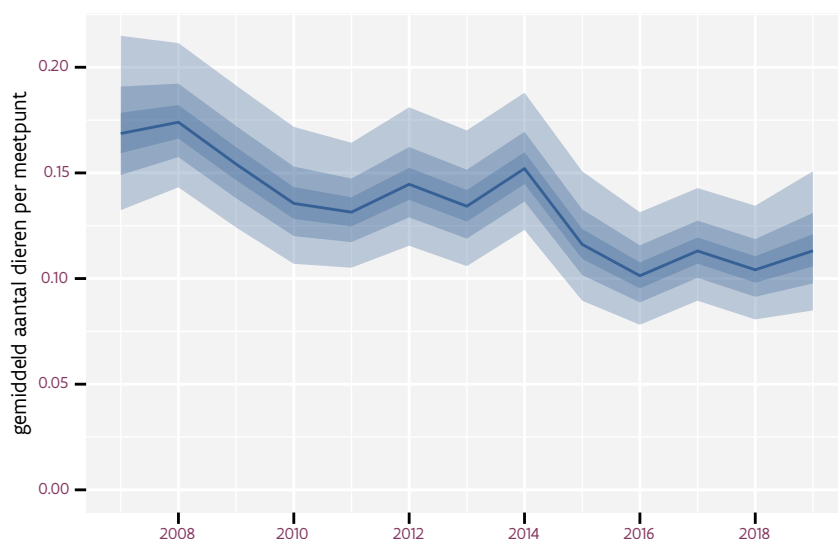
62 KOEKOEK

Op basis van driejaarlijkse gegevens zien we gemiddeld een afname met -4.1% (-5.8%; -2.3%) per jaar of -39% (-51%; -24%) over de volledige looptijd van het meetnet. Deze trend is lineair.

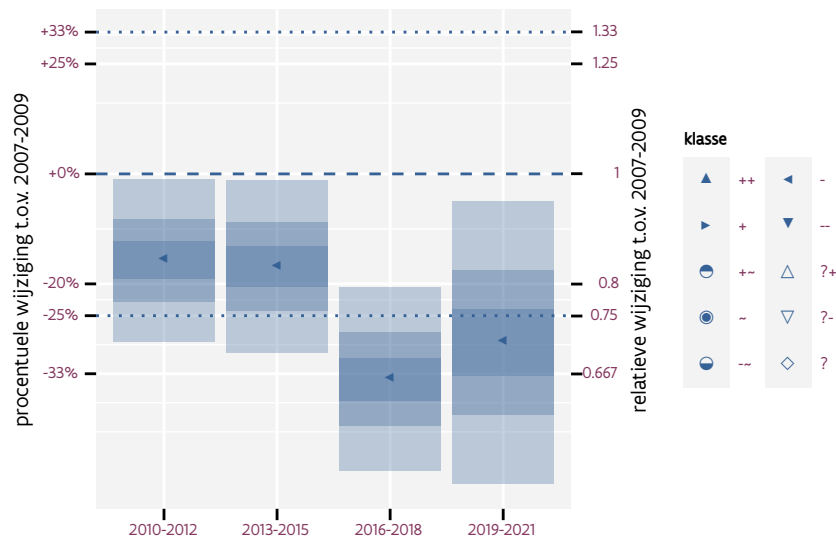
Op basis van jaarlijkse gegevens zien we gemiddeld een afname met -4.0% (-5.8%; -2.2%) per jaar of -39% (-51%; -24%) over de volledige looptijd van het meetnet. Deze trend is niet-lineair.



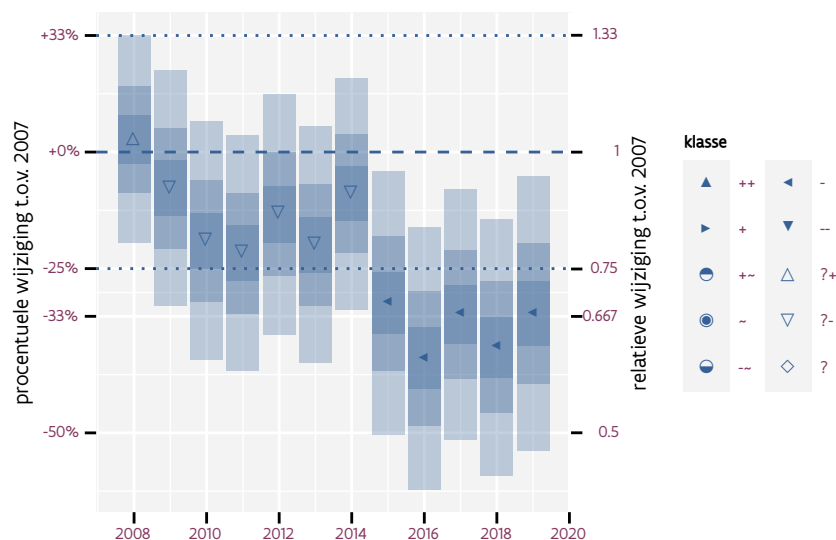
Figuur 62.1: Evolutie van het gemodeleerde gemiddeld aantal waargenomen dieren op een meetpunt voor Koekoek tijdens de referentieperiode. Zie §4.1 voor een verklaring van de intervallen.



Figuur 62.2: Evolutie van het gemodeleerde gemiddeld aantal waargenomen dieren op een meetpunt voor Koekoek tijdens de referentieperiode. Zie §4.1 voor een verklaring van de intervallen.



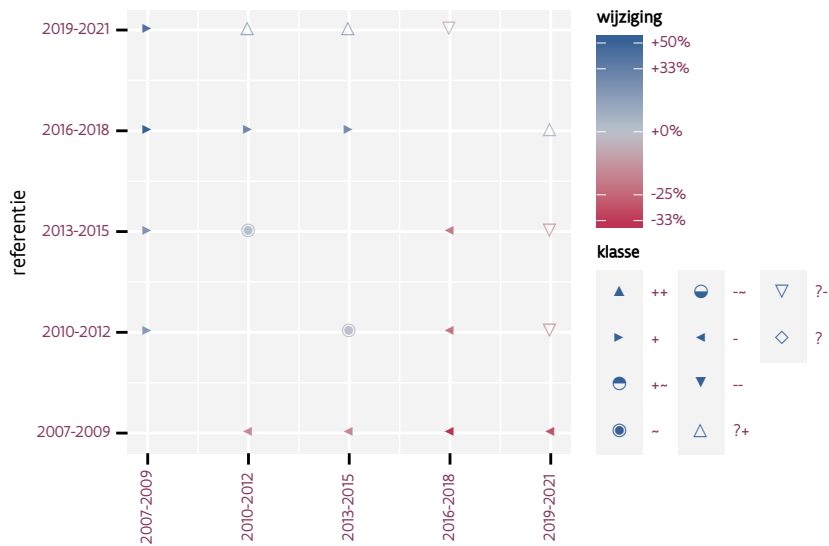
Figuur 62.3: Wijzigingen t.o.v. het eerste driejarige cyclus voor Koekoek. Zie §4.1 voor een verklaring van de intervallen en §4.2 voor uitleg over de symbolen en referentielijnen.



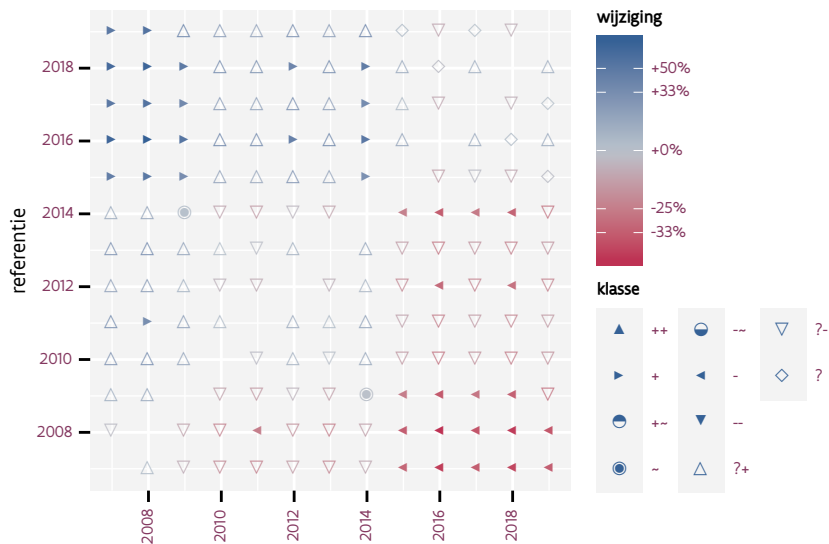
Figuur 62.4: Wijzigingen t.o.v. het eerste jaar voor Koekoek. Zie §4.1 voor een verklaring van de intervallen en §4.2 voor uitleg over de symbolen en referentielijnen.

Tabel 62.1: Stratumgewicht, raming aan het aantal hokken waarin de soort aanwezig is, aantal relevant hokken voor de analyse, aantal onderzochte hokken in het stratum, totaal aantal hokken van het stratum in Vlaanderen en aantal bezoeken aan een meetpunt voor Koekoek (zie §3.5).

stratum	gewicht	aanwezig	relevant	onderzocht	totaal	bezoeken
Landbouw	87.9%	1333.3	90	426	6311	3899
Heide en duin	4.7%	72.2	33	91	199	1470
Moeras en water	3.6%	53.1	31	80	137	1297
Bos	2.8%	42.0	25	190	319	1256
Suburbaan	1.0%	11.8	4	68	201	201



Figuur 62.5: Paarsgewijze vergelijking tussen driejarige cycli voor Koekoek. Uitleg van de symbolen in tabel 4.1.



Figuur 62.6: Paarsgewijze vergelijking tussen jaren voor Koekoek. Uitleg van de symbolen in tabel 4.1.

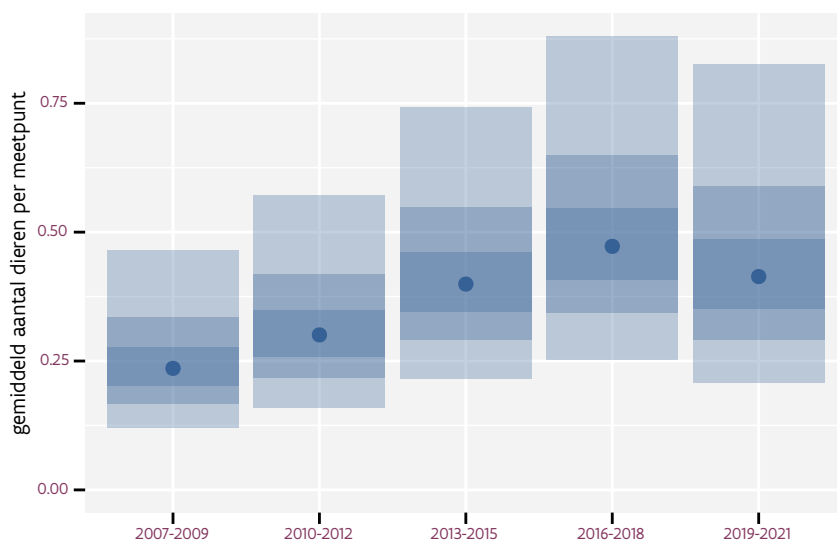
Tabel 62.2: Data-hashes van de analyses in het kader van traceerbaarheid (zie §5.3).

frequentie	model	analyse	status
jaarlijks	lineair	49806862cd15d0fbf4a0 078450e745556407287d	ca9e62fb3015ce4971fb 7303ff275cbeaaf85967
jaarlijks	niet-lineair	c128c76f1bb7e3bc36ae 331cbb311097f43c4694	6ba85c81b30d3c109013 785bd988e7c067ab9953
driejaarlijks	lineair	68a4c44684b0628a144e 07dca12cbdc5221f011f	c133f4ebfe498906b521 7aa25348527408a4b66c
driejaarlijks	niet-lineair	21432b44c30f4455dc36 7db8cd7b4eb7c3c4e03b	4f5d1164b1176e742ce0 8557c932ea0d426ab0a6

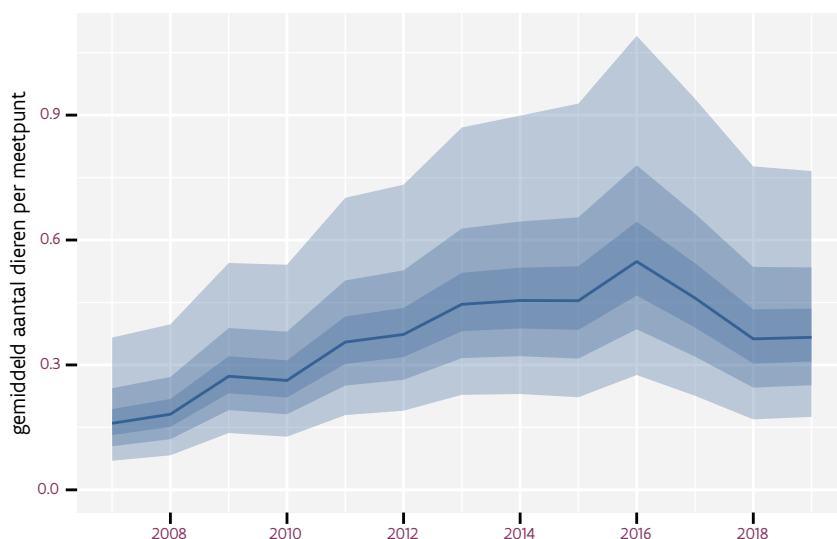
63 KOKMEEUW

Op basis van driejaarlijkse gegevens zien we gemiddeld een sterke toename met +8.8% (+3.0%; +15.0%) per jaar of +180% (+40%; +440%) over de volledige looptijd van het meetnet. Deze trend is niet-lineair.

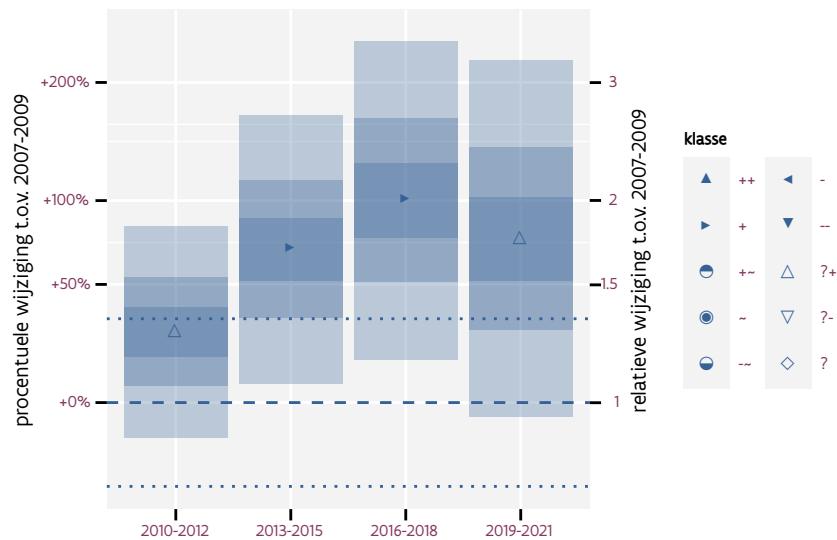
Op basis van jaarlijkse gegevens zien we gemiddeld een sterke toename met +9.4% (+3.3%; +15.9%) per jaar of +200% (+50%; +490%) over de volledige looptijd van het meetnet. Deze trend is niet-lineair.



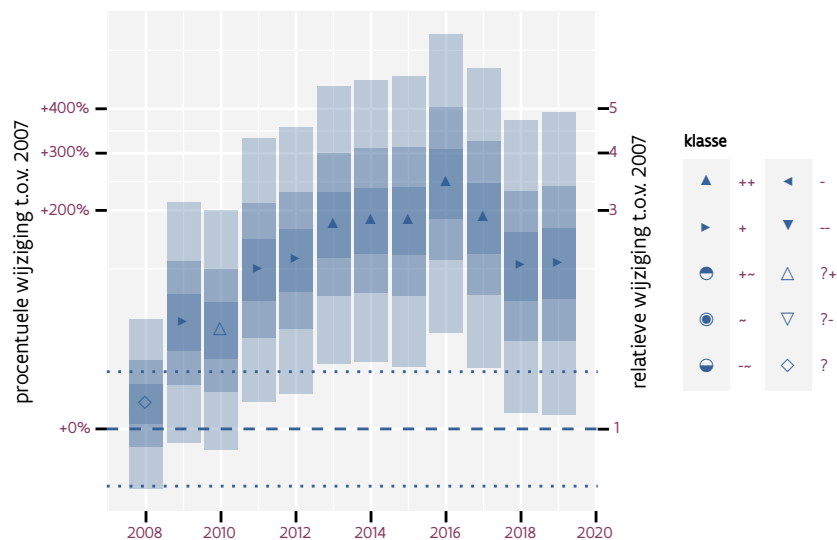
Figuur 63.1: Evolutie van het gemodeleerde gemiddeld aantal waargenomen dieren op een meetpunt voor Kokmeeuw tijdens de referentieperiode. Zie §4.1 voor een verklaring van de intervallen.



Figuur 63.2: Evolutie van het gemodeleerde gemiddeld aantal waargenomen dieren op een meetpunt voor Kokmeeuw tijdens de referentieperiode. Zie §4.1 voor een verklaring van de intervallen.



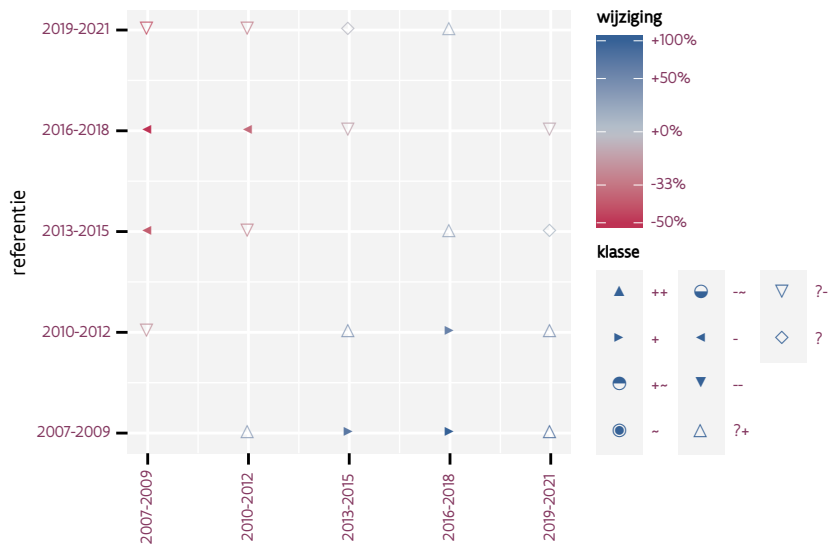
Figuur 63.3: Wijzigingen t.o.v. het eerste driejarige cyclus voor Kokmeeuw. Zie §4.1 voor een verklaring van de intervallen en §4.2 voor uitleg over de symbolen en referentielijnen.



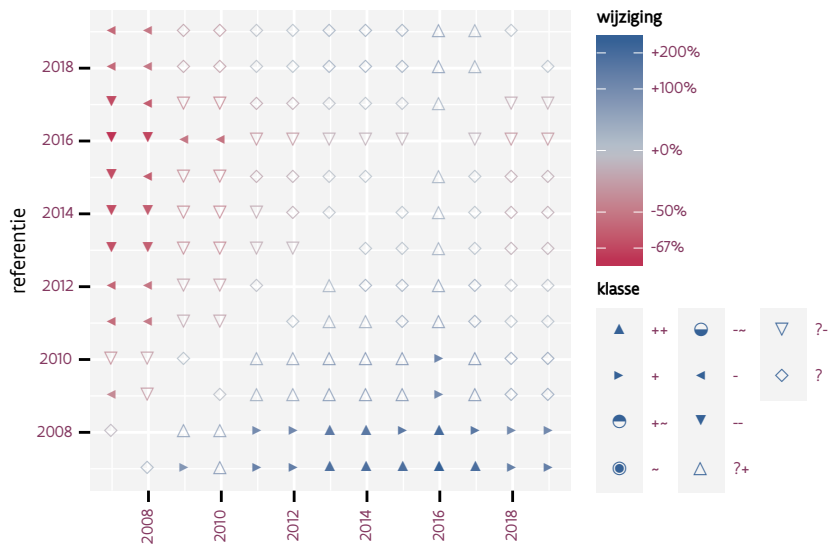
Figuur 63.4: Wijzigingen t.o.v. het eerste jaar voor Kokmeeuw. Zie §4.1 voor een verklaring van de intervallen en §4.2 voor uitleg over de symbolen en referentielijnen.

Tabel 63.1: Stratumgewicht, raming aan het aantal hokken waarin de soort aanwezig is, aantal relevant hokken voor de analyse, aantal onderzochte hokken in het stratum, totaal aantal hokken van het stratum in Vlaanderen en aantal bezoeken aan een meetpunt voor Kokmeeuw (zie §3.5).

stratum	gewicht	aanwezig	relevant	onderzocht	totaal	bezoeken
Landbouw	83.7%	296.3	20	426	6311	1095
Moeras en water	6.0%	22.3	13	80	137	768
Suburbaan	5.6%	17.7	6	68	201	459
Heide en duin	4.7%	15.3	7	91	199	426



Figuur 63.5: Paarsgewijze vergelijking tussen driejarige cycli voor Kokmeeuw. Uitleg van de symbolen in tabel 4.1.



Figuur 63.6: Paarsgewijze vergelijking tussen jaren voor Kokmeeuw. Uitleg van de symbolen in tabel 4.1.

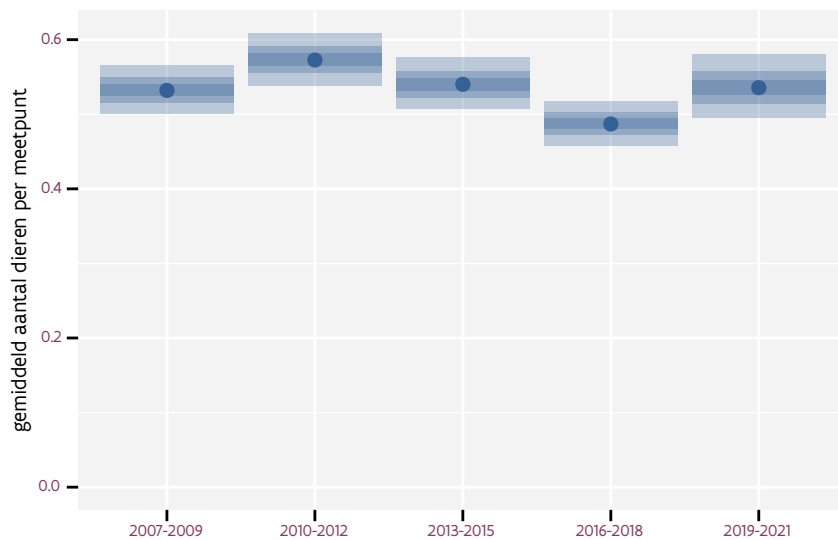
Tabel 63.2: Data-hashes van de analyses in het kader van traceerbaarheid (zie §5.3).

frequentie	model	analyse	status
jaarlijks	lineair	5fffcc7d24f97bc4448b 4dfc27db4577a77fe141	3999daab42f911f0c258 8a70d48b12519ccc9ff5
jaarlijks	niet-lineair	701533c9c72d019ca451 13c7cc9a5f788bd31683	fae5c659a5dafec84d35 cec5463f7a41e653c8de
driejaarlijks	lineair	9ee1f55d6f34b6c80e9d 6dda65ac4a1ff05ca6e3	998e166556b56a3ded4b 2c4bc4ee6f1b5650a994
driejaarlijks	niet-lineair	cb1057a1119ff418a949 4c73be93f912a6cb711e	3ee3268257cb7ddb408b bf026e5f02f09616a486

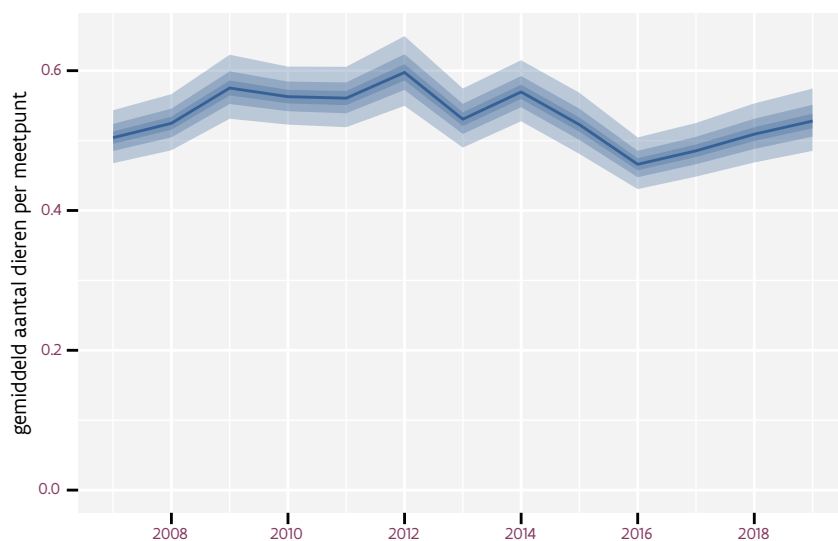
64 KOOLMEES

Op basis van driejaarlijkse gegevens zien we gemiddeld een matige afname met -0.712% (-1.130% ; -0.292%) per jaar of -8.22% (-12.75% ; -3.45%) over de volledige looptijd van het meetnet. Deze trend is niet-lineair.

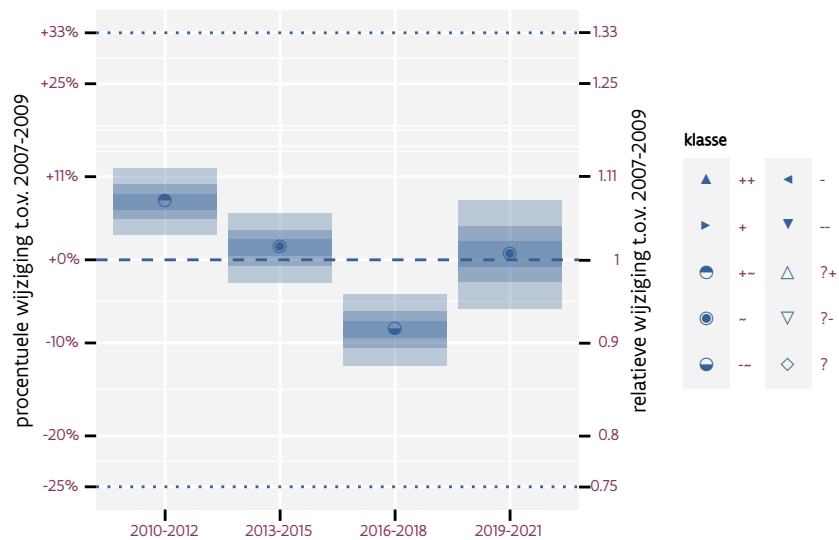
Op basis van jaarlijkse gegevens zien we gemiddeld een matige afname met -0.634% (-1.052% ; -0.214%) per jaar of -7.35% (-11.92% ; -2.54%) over de volledige looptijd van het meetnet. Deze trend is niet-lineair.



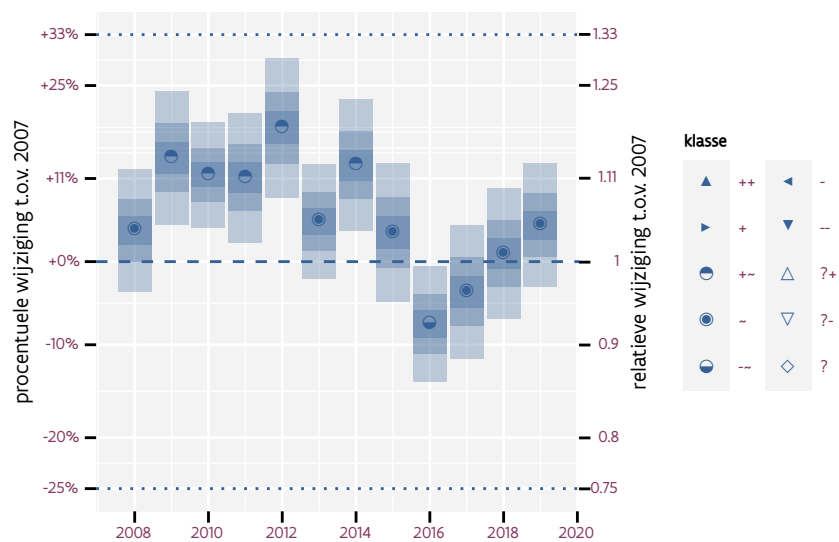
Figuur 64.1: Evolutie van het gemodeleerde gemiddeld aantal waargenomen dieren op een meetpunt voor Koolmees tijdens de referentieperiode. Zie §4.1 voor een verklaring van de intervallen.



Figuur 64.2: Evolutie van het gemodeleerde gemiddeld aantal waargenomen dieren op een meetpunt voor Koolmees tijdens de referentieperiode. Zie §4.1 voor een verklaring van de intervallen.



Figuur 64.3: Wijzigingen t.o.v. het eerste driejarige cyclus voor Koolmees. Zie §4.1 voor een verklaring van de intervallen en §4.2 voor uitleg over de symbolen en referentielijnen.



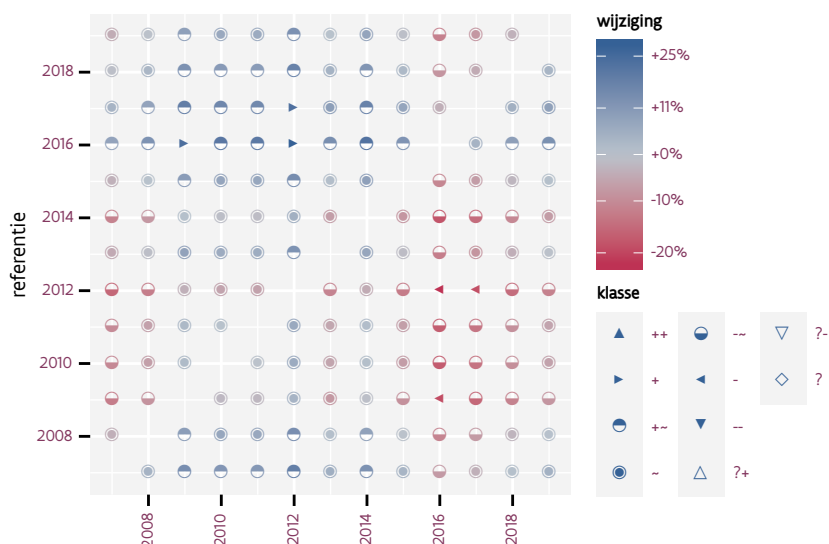
Figuur 64.4: Wijzigingen t.o.v. het eerste jaar voor Koolmees. Zie §4.1 voor een verklaring van de intervallen en §4.2 voor uitleg over de symbolen en referentielijnen.

Tabel 64.1: Stratumgewicht, raming aan het aantal hokken waarin de soort aanwezig is, aantal relevant hokken voor de analyse, aantal onderzochte hokken in het stratum, totaal aantal hokken van het stratum in Vlaanderen en aantal bezoeken aan een meetpunt voor Koolmees (zie §3.5).

stratum	gewicht	aanwezig	relevant	onderzocht	totaal	bezoeken
Landbouw	81.9%	4488.8	303	426	6311	17661
Urbaan	6.2%	334.7	70	87	416	4028
Bos	4.3%	233.4	139	190	319	8342
Heide en duin	3.1%	168.4	77	91	199	4499
Suburbaan	2.7%	147.8	50	68	201	2864
Moeras en water	1.8%	97.6	57	80	137	3327



Figuur 64.5: Paarsgewijze vergelijking tussen driejarige cycli voor Koolmees. Uitleg van de symbolen in tabel 4.1.



Figuur 64.6: Paarsgewijze vergelijking tussen jaren voor Koolmees. Uitleg van de symbolen in tabel 4.1.

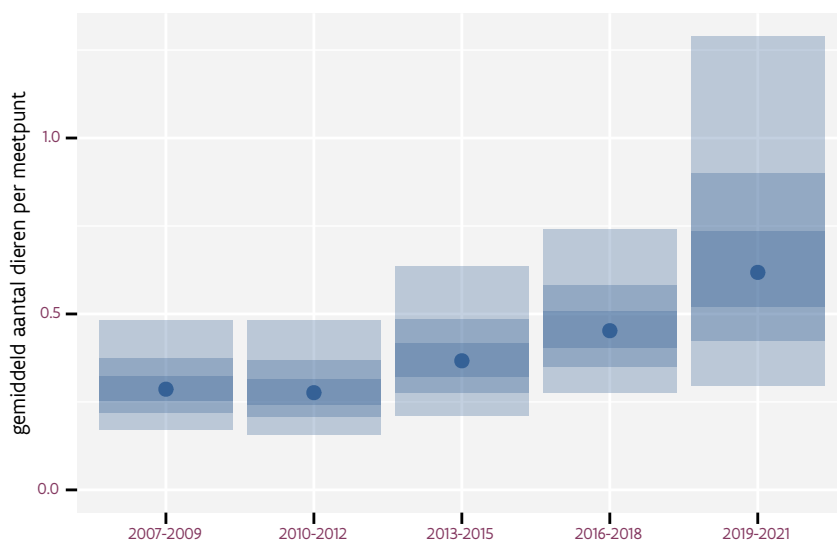
Tabel 64.2: Data-hashes van de analyses in het kader van traceerbaarheid (zie §5.3).

frequentie	model	analyse	status
jaarlijks	lineair	f7f97f8f2e527de9bc6d 36e4177ac5dafd5f511e	bfefaabaab0d93cc9527 6de39daf4e04b49468d3
jaarlijks	niet-lineair	7d90a769183fde37c2b8 1b2fc297095cd629767d	df3953f5807575b13b46 464e87538e766aa955b9
driejaarlijks	lineair	80ab9d78788503efd759 7469c5fa555148cd1de7	7c8efdbc5d8e1fb1951c 9a52901d80cc3a53faff
driejaarlijks	niet-lineair	f5c97c85aef293250d86 b2eb986395fa2c4f408e	cee313d8fbac57d246bc c62416e098fdd0f2261c

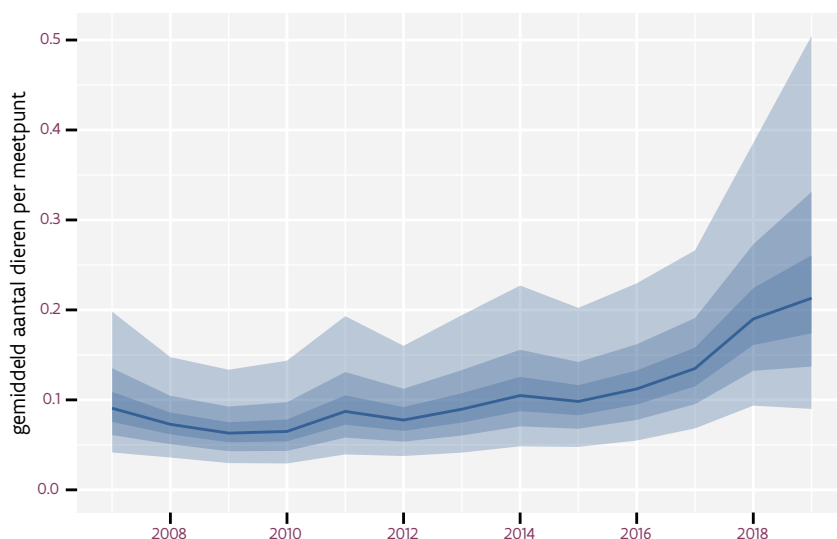
65 KRAKEEND

Op basis van driejaarlijkse gegevens zien we gemiddeld een sterke toename met +8.5% (+2.8%; +14.6%) per jaar of +170% (+40%; +410%) over de volledige looptijd van het meetnet. Deze trend is niet-lineair.

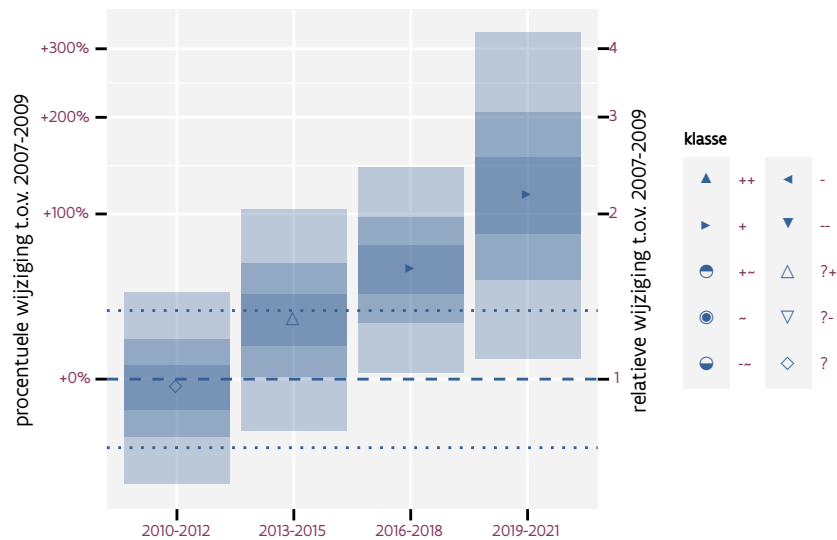
Op basis van jaarlijkse gegevens zien we gemiddeld een toename met +7.7% (+2.2%; +13.6%) per jaar of +140% (+30%; +360%) over de volledige looptijd van het meetnet. Deze trend is lineair.



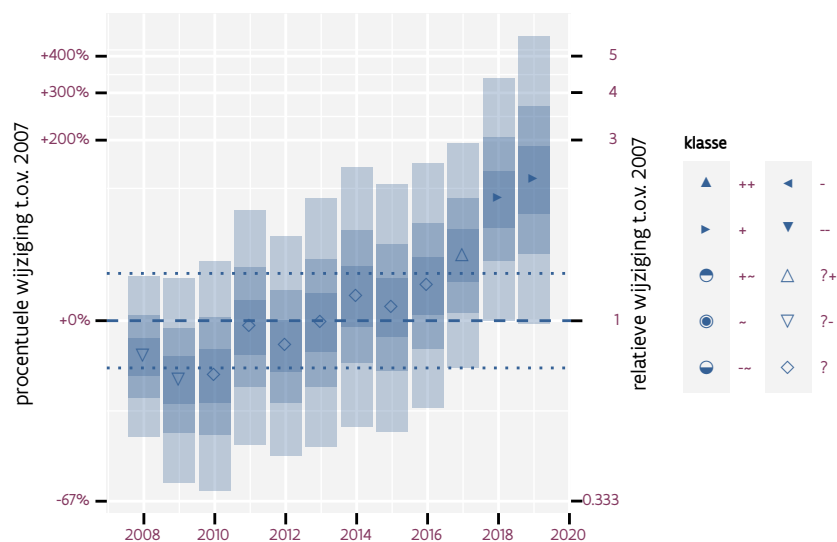
Figuur 65.1: Evolutie van het gemodeleerde gemiddeld aantal waargenomen dieren op een meetpunt voor Krakeend tijdens de referentieperiode. Zie §4.1 voor een verklaring van de intervallen.



Figuur 65.2: Evolutie van het gemodeleerde gemiddeld aantal waargenomen dieren op een meetpunt voor Krakeend tijdens de referentieperiode. Zie §4.1 voor een verklaring van de intervallen.



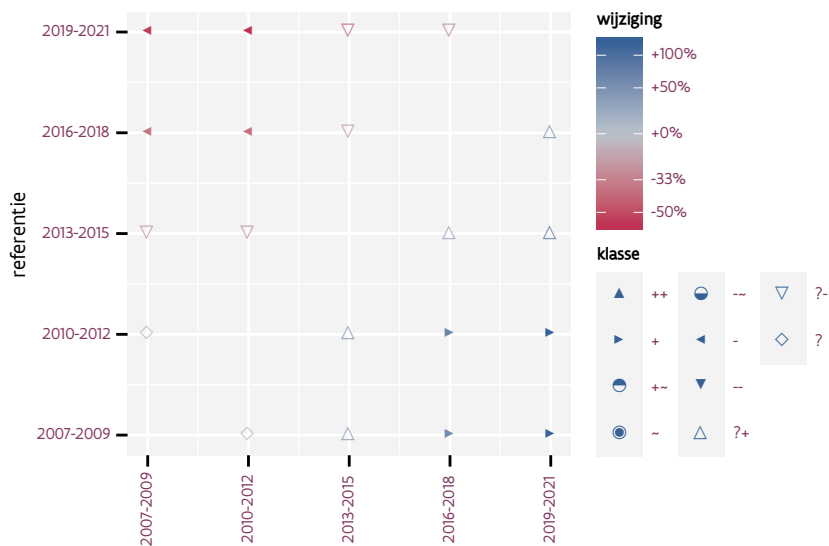
Figuur 65.3: Wijzigingen t.o.v. het eerste driejarige cyclus voor Krakeend. Zie §4.1 voor een verklaring van de intervallen en §4.2 voor uitleg over de symbolen en referentielijnen.



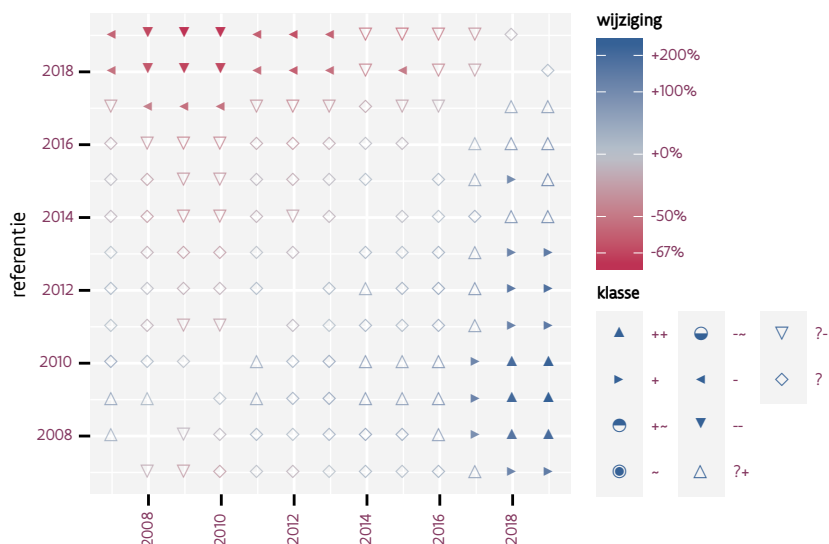
Figuur 65.4: Wijzigingen t.o.v. het eerste jaar voor Krakeend. Zie §4.1 voor een verklaring van de intervallen en §4.2 voor uitleg over de symbolen en referentielijnen.

Tabel 65.1: Stratumgewicht, raming aan het aantal hokken waarin de soort aanwezig is, aantal relevant hokken voor de analyse, aantal onderzochte hokken in het stratum, totaal aantal hokken van het stratum in Vlaanderen en aantal bezoeken aan een meetpunt voor Krakeend (zie §3.5).

stratum	gewicht	aanwezig	relevant	onderzocht	totaal	bezoeken
Landbouw	56.0%	74.1	5	426	6311	262
Moeras en water	29.1%	46.2	27	80	137	1634
Suburbaan	9.3%	11.8	4	68	201	279
Heide en duin	5.5%	6.6	3	91	199	198



Figuur 65.5: Paarsgewijze vergelijking tussen driejarige cycli voor Krakeend. Uitleg van de symbolen in tabel 4.1.



Figuur 65.6: Paarsgewijze vergelijking tussen jaren voor Krakeend. Uitleg van de symbolen in tabel 4.1.

Tabel 65.2: Data-hashes van de analyses in het kader van traceerbaarheid (zie §5.3).

frequentie	model	analyse	status
jaarlijks	lineair	3f285df15cfd150bbdfc d5a6099b95e0c7f0111f	0c6c0613cda12cb2249a 385ed21d87cbd528ff71
jaarlijks	niet-lineair	953c8401606659f341dc 7d1f889774ee50402e1a	08ecb3af87550ee88f66 4968a5d8b1b0b6701079
driejaarlijks	lineair	906484ccf6b4cbe5fe4d c854682294f0645f26a6	eab5a19cb6d7fe6cff5e f29d2478c9bb87814948
driejaarlijks	niet-lineair	d3f2bb4778be603469ff 02a96abf4ce70231d37e	0d2134a1a03e357254cf 31e11dad33006ed61144

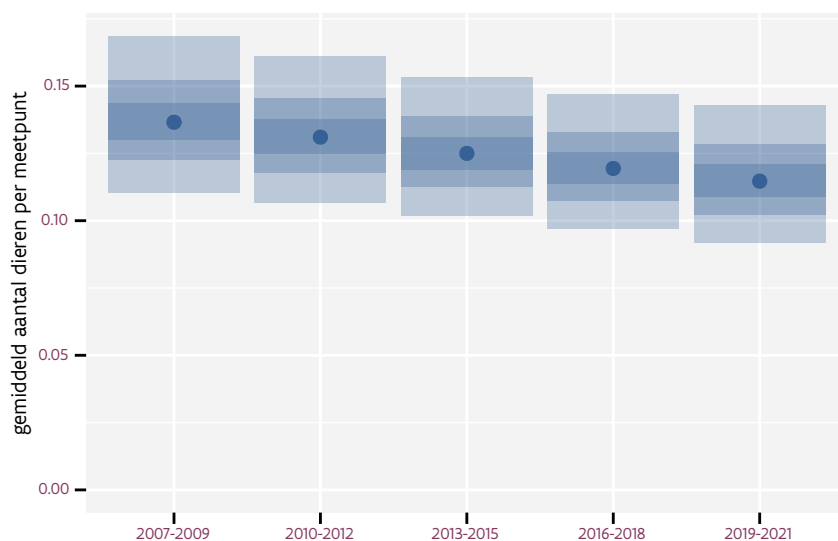
Op basis van driejaarlijkse gegevens zien we gemiddeld een sterke toename met +8.5% (+2.8%; +14.6%) per jaar of +170% (+40%; +410%) over de volledige looptijd van het meetnet. Deze trend is niet-lineair.

Op basis van jaarlijkse gegevens zien we gemiddeld een toename met +7.7% (+2.2%; +13.6%) per jaar of +140% (+30%; +360%) over de volledige looptijd van het meetnet. Deze trend is lineair.

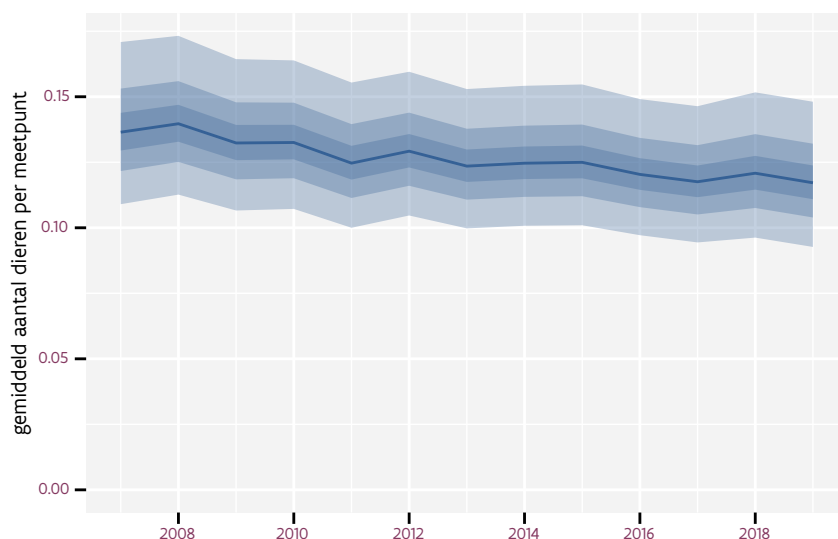
66 KUIFMEES

Op basis van driejaarlijkse gegevens zien we gemiddeld een mogelijk afname met -1.1% (-3.2%; +1.0%) per jaar of -12% (-32%; +13%) over de volledige looptijd van het meetnet. Deze trend is lineair.

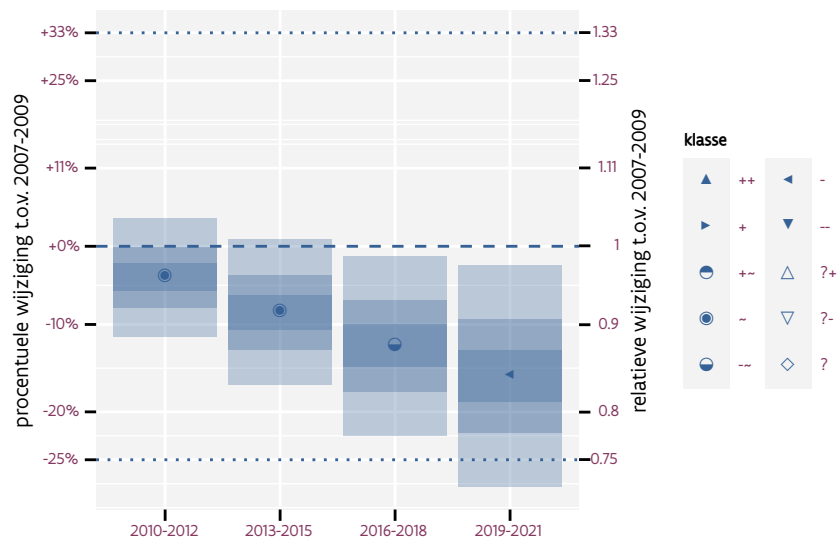
Op basis van jaarlijkse gegevens zien we gemiddeld een mogelijk afname met -0.8% (-2.9%; +1.4%) per jaar of -9% (-30%; +18%) over de volledige looptijd van het meetnet. Deze trend is niet-lineair.



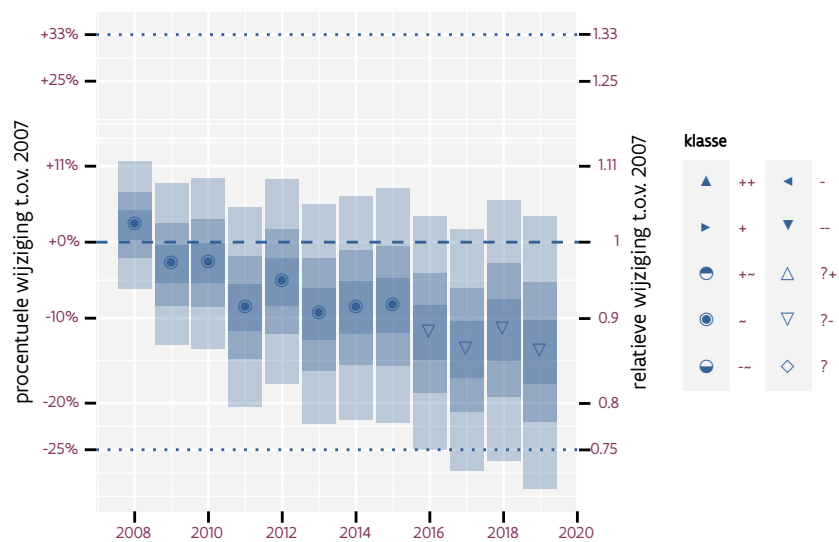
Figuur 66.1: Evolutie van het gemodeleerde gemiddeld aantal waargenomen dieren op een meetpunt voor Kuifmees tijdens de referentieperiode. Zie §4.1 voor een verklaring van de intervallen.



Figuur 66.2: Evolutie van het gemodeleerde gemiddeld aantal waargenomen dieren op een meetpunt voor Kuifmees tijdens de referentieperiode. Zie §4.1 voor een verklaring van de intervallen.



Figuur 66.3: Wijzigingen t.o.v. het eerste driejarige cyclus voor Kuifmees. Zie §4.1 voor een verklaring van de intervallen en §4.2 voor uitleg over de symbolen en referentielijnen.



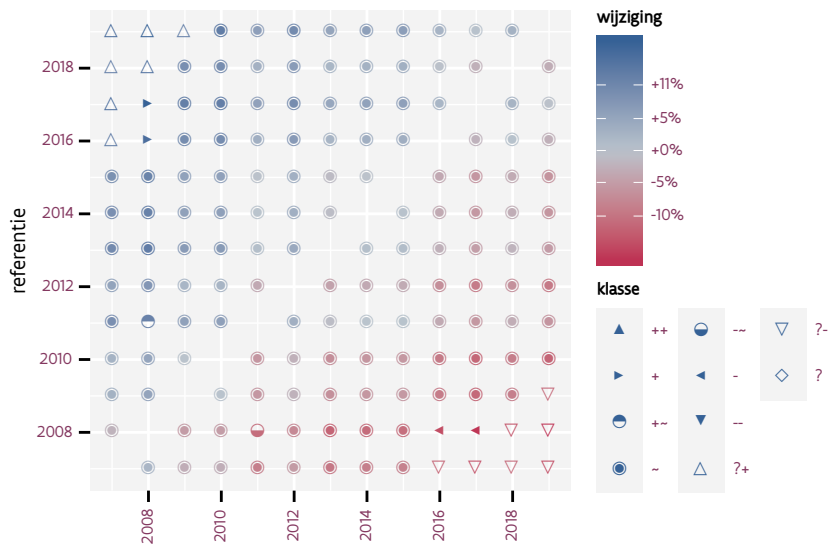
Figuur 66.4: Wijzigingen t.o.v. het eerste jaar voor Kuifmees. Zie §4.1 voor een verklaring van de intervallen en §4.2 voor uitleg over de symbolen en referentielijnen.

Tabel 66.1: Stratumgewicht, raming aan het aantal hokken waarin de soort aanwezig is, aantal relevant hokken voor de analyse, aantal onderzochte hokken in het stratum, totaal aantal hokken van het stratum in Vlaanderen en aantal bezoeken aan een meetpunt voor Kuifmees (zie §3.5).

stratum	gewicht	aanwezig	relevant	onderzocht	totaal	bezoeken
Bos	35.2%	129.3	77	190	319	5432
Landbouw	24.2%	74.1	5	426	6311	516
Heide en duin	23.8%	85.3	39	91	199	2681
Suburbaan	7.3%	23.6	8	68	201	444
Urbaan	5.2%	14.3	3	87	416	246
Moeras en water	4.2%	13.7	8	80	137	450



Figuur 66.5: Paarsgewijze vergelijking tussen driejarige cycli voor Kuifmees. Uitleg van de symbolen in tabel 4.1.



Figuur 66.6: Paarsgewijze vergelijking tussen jaren voor Kuifmees. Uitleg van de symbolen in tabel 4.1.

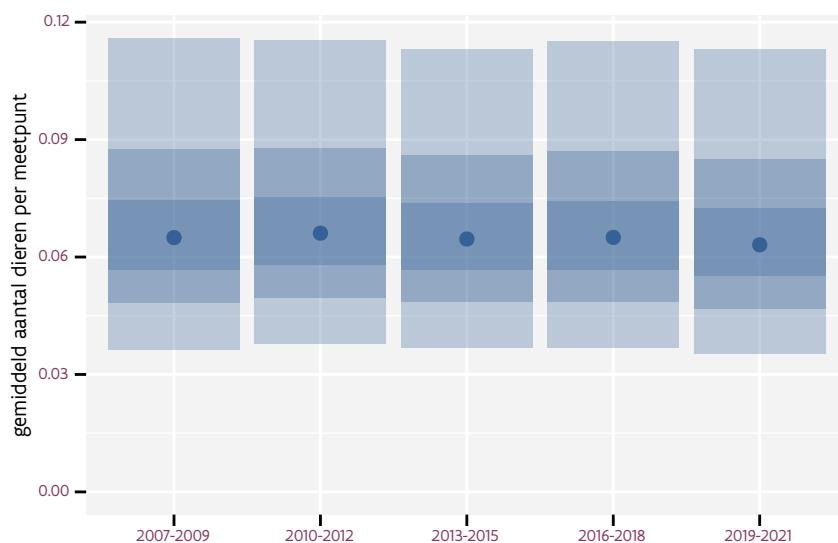
Tabel 66.2: Data-hashes van de analyses in het kader van traceerbaarheid (zie §5.3).

frequentie	model	analyse	status
jaarlijks	lineair	f8411d105c838278e295 071e8230c7d23f717fdc	ce12a17ee54a65d45e93 c9b08402e7227956a6a9
jaarlijks	niet-lineair	b48f214c5807ffd82bf1 ddc334563578cf2d798e	ac4f9e17d87a727e916e 31337b93fa64f369ee86
driejaarlijks	lineair	a9003cfe7f87f1a55cd3 ca9d9c63eabb308dd94b	e186376d91553b8c8f4d af6426d0bcc979b0f48b
driejaarlijks	niet-lineair	56ee424b28c126010769 23a734dfe55057439131	7b25c15846a2b078d3f6 decb18556553e7985392

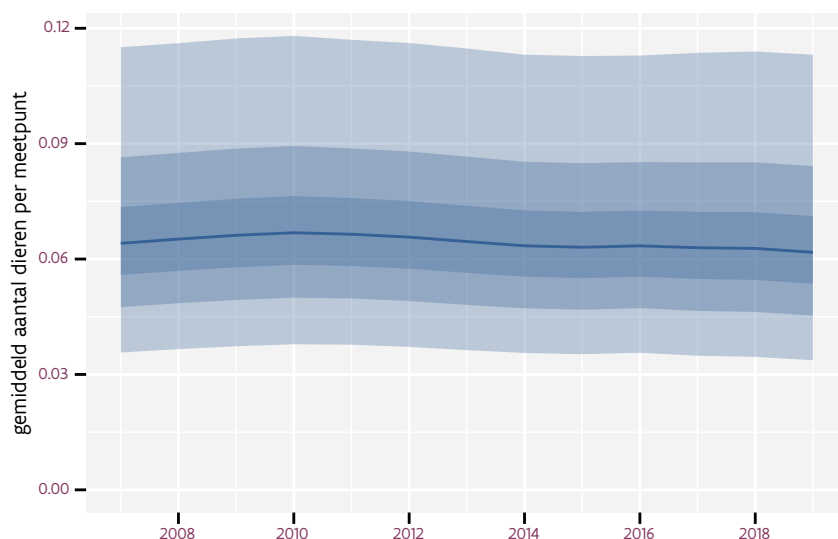
67 MATKOP

Op basis van driejaarlijkse gegevens zien we gemiddeld een onduidelijke trend van -2% (-8%; +5%) per jaar of -20% (-60%; +80%) over de volledige looptijd van het meetnet. Deze trend is mogelijk niet-lineair.

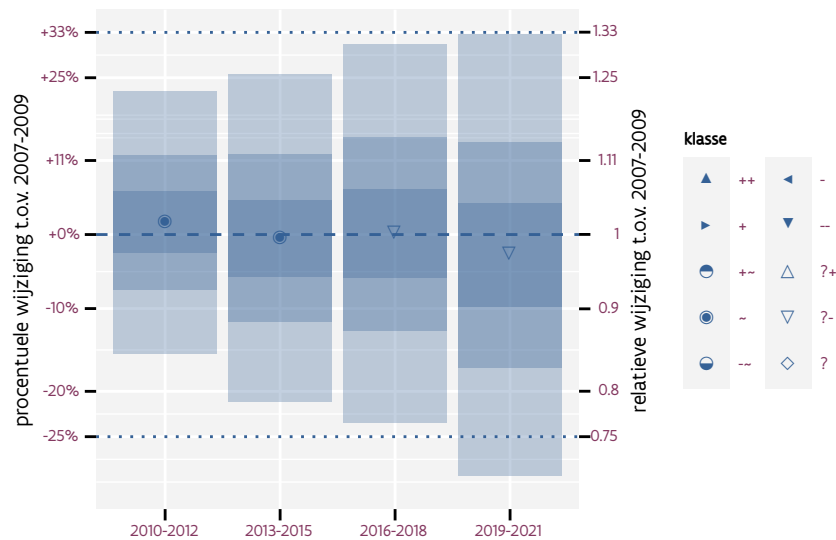
Op basis van jaarlijkse gegevens zien we gemiddeld een onduidelijke trend van -2% (-8%; +5%) per jaar of -20% (-60%; +80%) over de volledige looptijd van het meetnet. Deze trend is mogelijk niet-lineair.



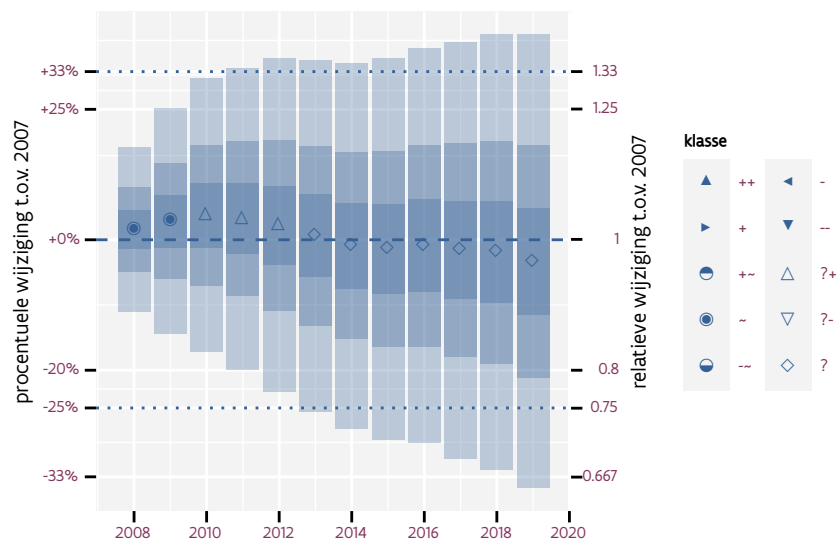
Figuur 67.1: Evolutie van het gemodeleerde gemiddeld aantal waargenomen dieren op een meetpunt voor Matkop tijdens de referentieperiode. Zie §4.1 voor een verklaring van de intervallen.



Figuur 67.2: Evolutie van het gemodeleerde gemiddeld aantal waargenomen dieren op een meetpunt voor Matkop tijdens de referentieperiode. Zie §4.1 voor een verklaring van de intervallen.



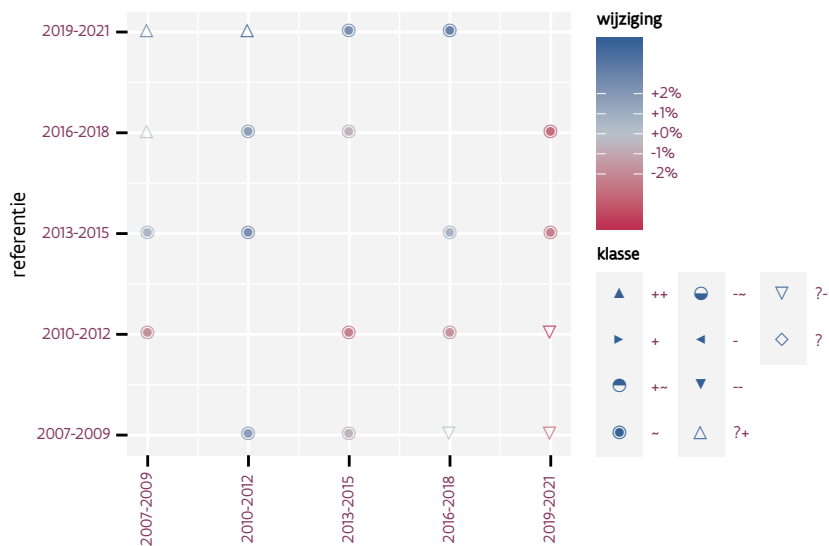
Figuur 67.3: Wijzigingen t.o.v. het eerste driejarige cyclus voor Matkop. Zie §4.1 voor een verklaring van de intervallen en §4.2 voor uitleg over de symbolen en referentielijnen.



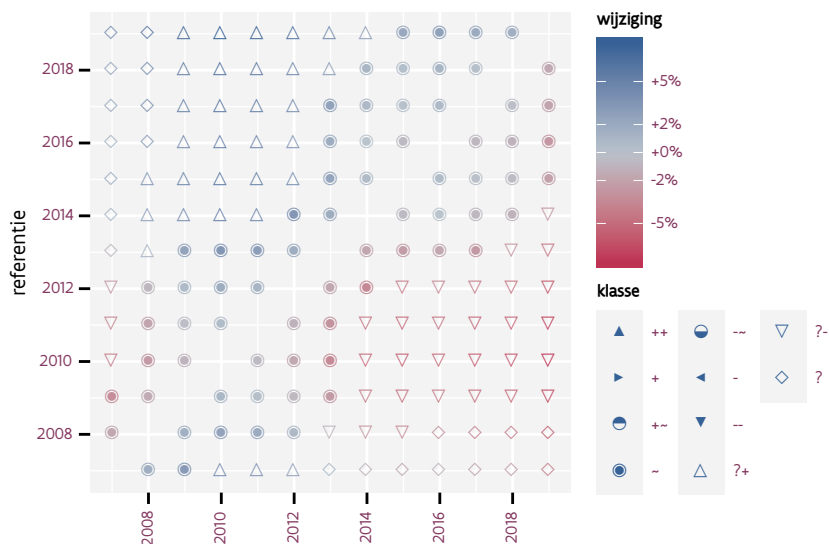
Figuur 67.4: Wijzigingen t.o.v. het eerste jaar voor Matkop. Zie §4.1 voor een verklaring van de intervallen en §4.2 voor uitleg over de symbolen en referentielijnen.

Tabel 67.1: Stratumgewicht, raming aan het aantal hokken waarin de soort aanwezig is, aantal relevant hokken voor de analyse, aantal onderzochte hokken in het stratum, totaal aantal hokken van het stratum in Vlaanderen en aantal bezoeken aan een meetpunt voor Matkop (zie §3.5).

stratum	gewicht	aanwezig	relevant	onderzocht	totaal	bezoeken
Landbouw	66.6%	88.9	6	426	6311	358
Bos	15.1%	23.5	14	190	319	1260
Moeras en water	9.9%	13.7	8	80	137	570
Heide en duin	8.4%	10.9	5	91	199	372



Figuur 67.5: Paarsgewijze vergelijking tussen driejarige cycli voor Matkop. Uitleg van de symbolen in tabel 4.1.



Figuur 67.6: Paarsgewijze vergelijking tussen jaren voor Matkop. Uitleg van de symbolen in tabel 4.1.

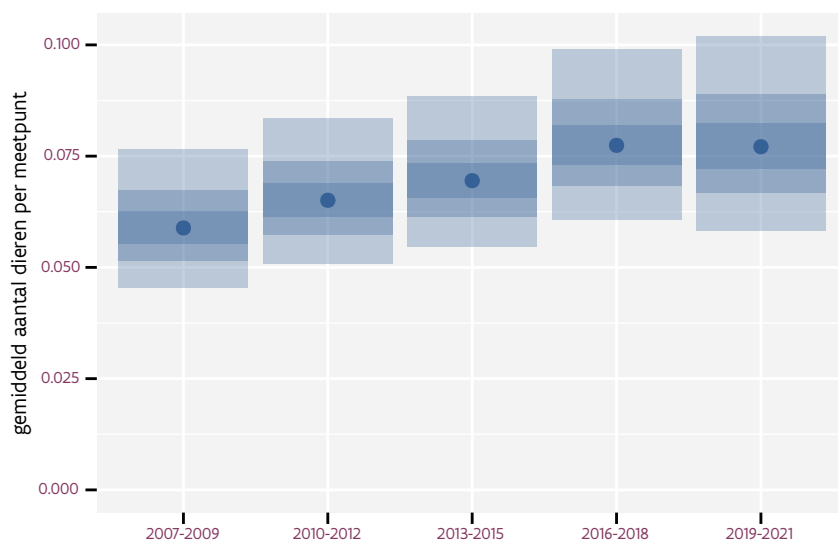
Tabel 67.2: Data-hashes van de analyses in het kader van traceerbaarheid (zie §5.3).

frequentie	model	analyse	status
jaarlijks	lineair	234a8a217ed9dedb0ac6 7b22bb952147299e4bd0	9481cdf3130968d9e08 e465ce4f388310e7702b
jaarlijks	niet-lineair	7d902ad9edf7a4857d64 e70f4aff37f44fd7fc5a	8d5f3645722b33eb6c68 d72cfc06edc2b5d041a9
driejaarlijks	lineair	9f40293bc6873dc3131a d250906882296577fac1	7618eb1510f33e50dfe d90741c9e45082c21f2c
driejaarlijks	niet-lineair	41603cbfa290bbe2f37d 58bc252bcbf67fed7fc4	f977ca040dc40f6805d6 11e0ddc043b052e94354

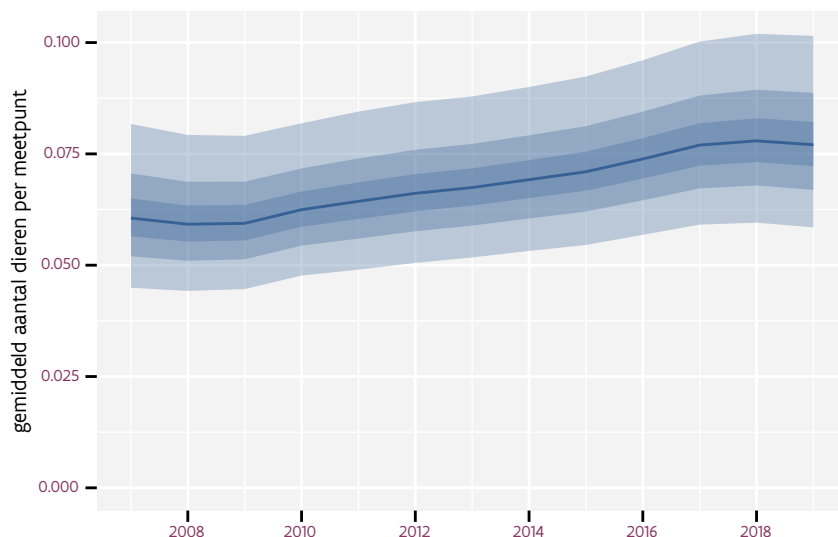
68 MEERKOET

Op basis van driejaarlijkse gegevens zien we gemiddeld een toename met +3.9% (+2.0%; +5.9%) per jaar of +59% (+26%; +100%) over de volledige looptijd van het meetnet. Deze trend is lineair.

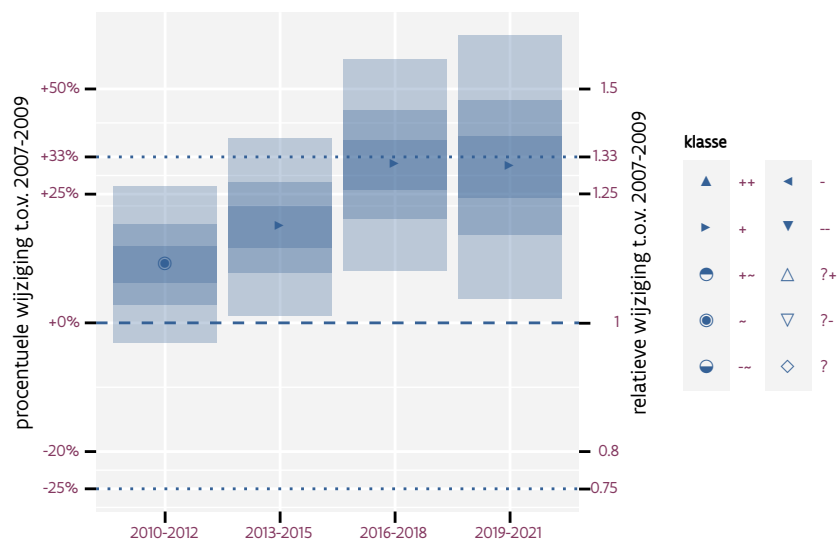
Op basis van jaarlijkse gegevens zien we gemiddeld een toename met +3.8% (+1.9%; +5.8%) per jaar of +57% (+25%; +97%) over de volledige looptijd van het meetnet. Deze trend is lineair.



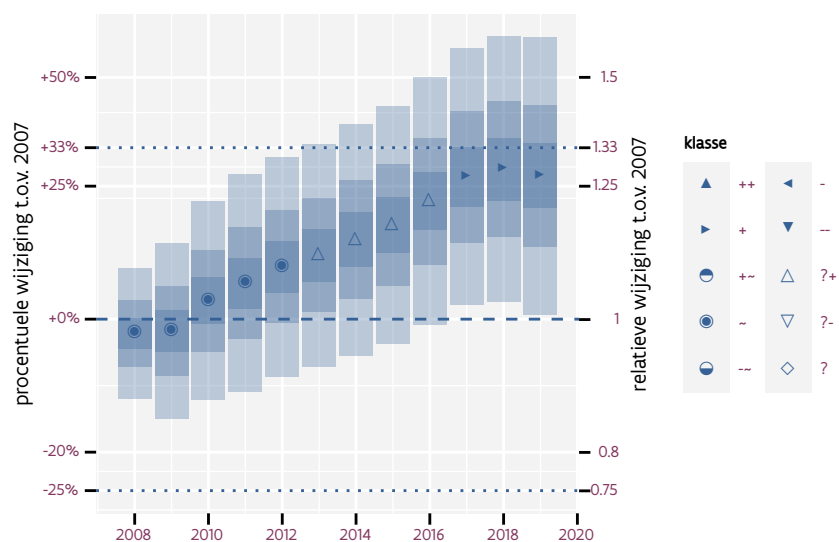
Figuur 68.1: Evolutie van het gemodeleerde gemiddeld aantal waargenomen dieren op een meetpunt voor Meerkoet tijdens de referentieperiode. Zie §4.1 voor een verklaring van de intervallen.



Figuur 68.2: Evolutie van het gemodeleerde gemiddeld aantal waargenomen dieren op een meetpunt voor Meerkoet tijdens de referentieperiode. Zie §4.1 voor een verklaring van de intervallen.



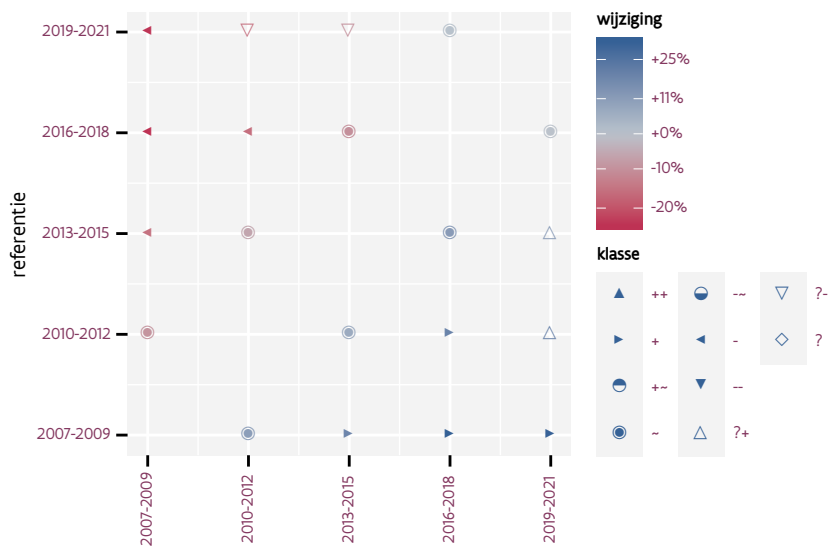
Figuur 68.3: Wijzigingen t.o.v. het eerste driejarige cyclus voor Meerkoet. Zie §4.1 voor een verklaring van de intervallen en §4.2 voor uitleg over de symbolen en referentielijnen.



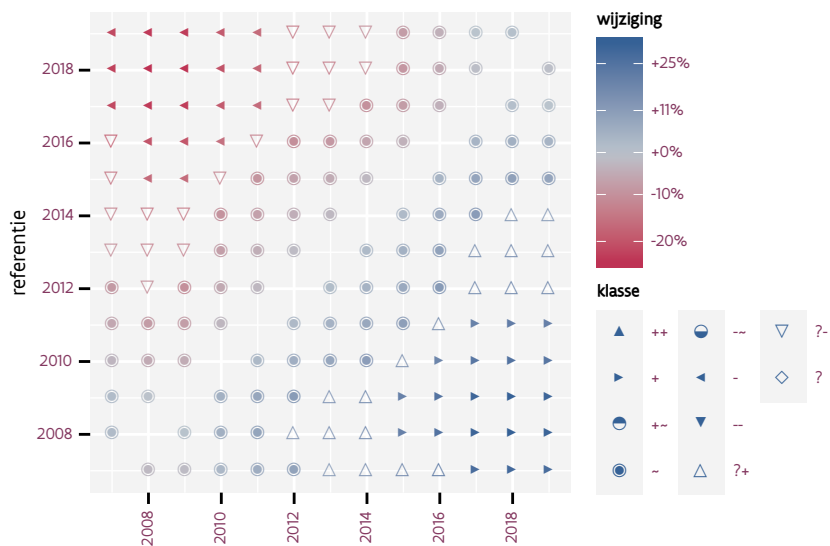
Figuur 68.4: Wijzigingen t.o.v. het eerste jaar voor Meerkoet. Zie §4.1 voor een verklaring van de intervallen en §4.2 voor uitleg over de symbolen en referentielijnen.

Tabel 68.1: Stratumgewicht, raming aan het aantal hokken waarin de soort aanwezig is, aantal relevant hokken voor de analyse, aantal onderzochte hokken in het stratum, totaal aantal hokken van het stratum in Vlaanderen en aantal bezoeken aan een meetpunt voor Meerkoet (zie §3.5).

stratum	gewicht	aanwezig	relevant	onderzocht	totaal	bezoeken
Landbouw	80.2%	829.6	56	426	6311	3496
Moeras en water	8.3%	83.9	49	80	137	2931
Heide en duin	4.0%	39.4	18	91	199	1101
Urbaan	2.8%	23.9	5	87	416	276
Bos	2.4%	23.5	14	190	319	1119
Suburbaan	2.3%	20.7	7	68	201	347



Figuur 68.5: Paarsgewijze vergelijking tussen driejarige cycli voor Meerkoet. Uitleg van de symbolen in tabel 4.1.



Figuur 68.6: Paarsgewijze vergelijking tussen jaren voor Meerkoet. Uitleg van de symbolen in tabel 4.1.

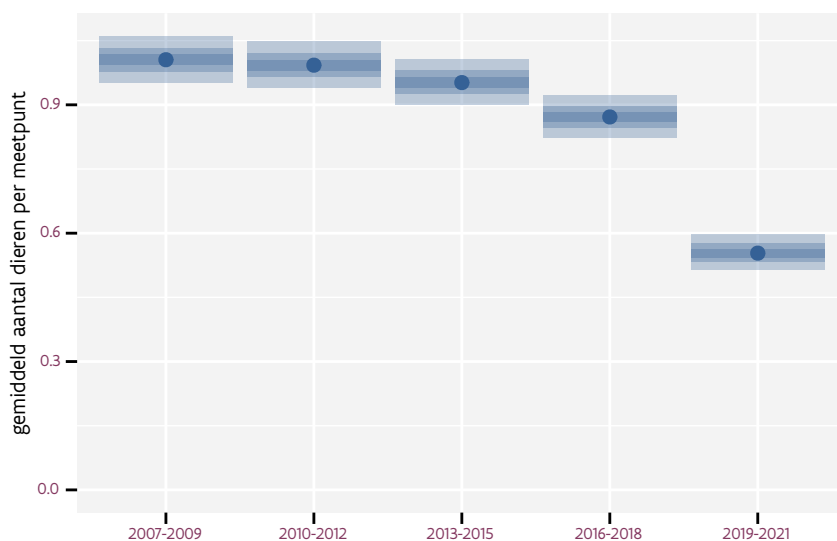
Tabel 68.2: Data-hashes van de analyses in het kader van traceerbaarheid (zie §5.3).

frequentie	model	analyse	status
jaarlijks	lineair	d979b6629883dcd8e785 07143e9faeb610d6a72d	eb5c2751f775c6588c92 9e4ea7da5b7b21b263c9
jaarlijks	niet-lineair	960325bf0ba53a8c9796 e072d939c5a44e52e270	3cf5bed5396511bbeb39 c66d3cf43c8761540d71
driejaarlijks	lineair	e50347b412a3fa89fa40 afab61d5d49ce2c9c76c	4598fdf8fad90d145ce 38c2dd3cab547eb4b012
driejaarlijks	niet-lineair	ed5f530dec45eddd1a39 48196d9bc6bc3bd90ef5	52f14a8de3cd0711eee1 e2f70e607dfa1e13ff1a

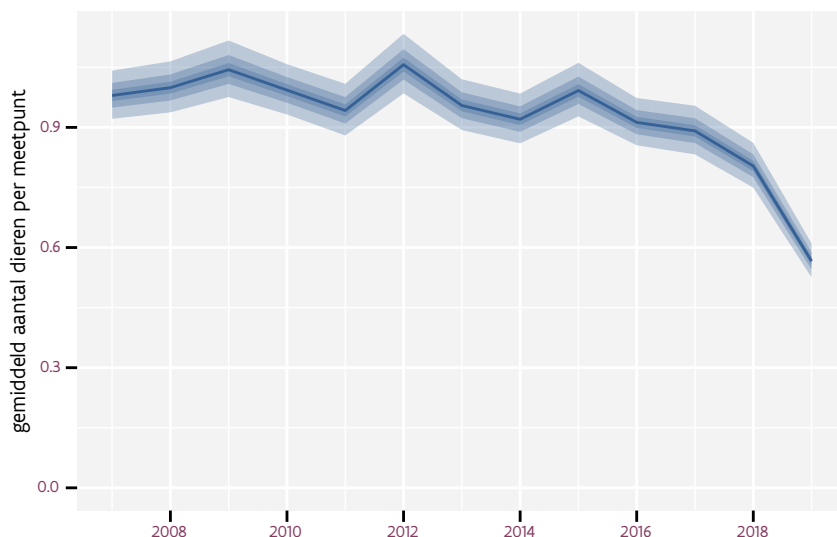
69 MEREL

Op basis van driejaarlijkse gegevens zien we gemiddeld een afname met -2.47% (-2.75%; -2.18%) per jaar of -25.9% (-28.4%; -23.3%) over de volledige looptijd van het meetnet. Deze trend is niet-lineair.

Op basis van jaarlijkse gegevens zien we gemiddeld een afname met -2.39% (-2.67%; -2.11%) per jaar of -25.2% (-27.8%; -22.6%) over de volledige looptijd van het meetnet. Deze trend is niet-lineair.



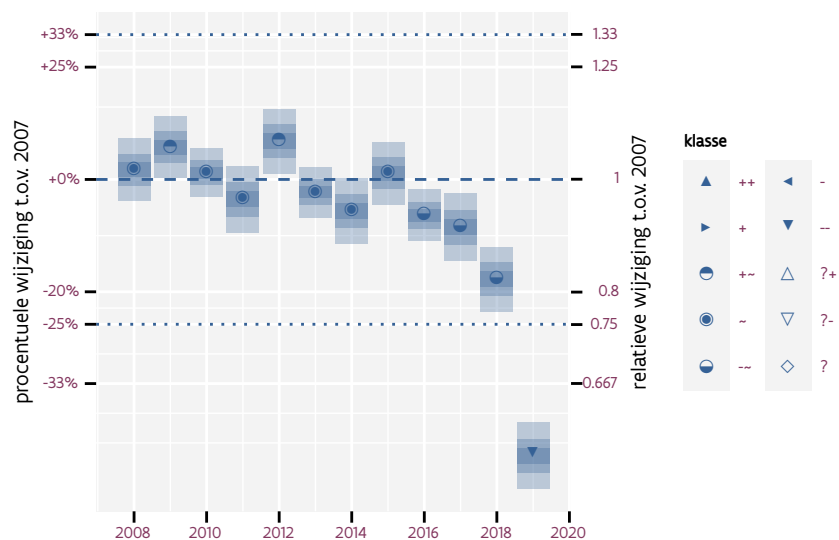
Figuur 69.1: Evolutie van het gemodeleerde gemiddeld aantal waargenomen dieren op een meetpunt voor Merel tijdens de referentieperiode. Zie §4.1 voor een verklaring van de intervallen.



Figuur 69.2: Evolutie van het gemodeleerde gemiddeld aantal waargenomen dieren op een meetpunt voor Merel tijdens de referentieperiode. Zie §4.1 voor een verklaring van de intervallen.



Figuur 69.3: Wijzigingen t.o.v. het eerste driejarige cyclus voor Merel. Zie §4.1 voor een verklaring van de intervallen en §4.2 voor uitleg over de symbolen en referentielijnen.



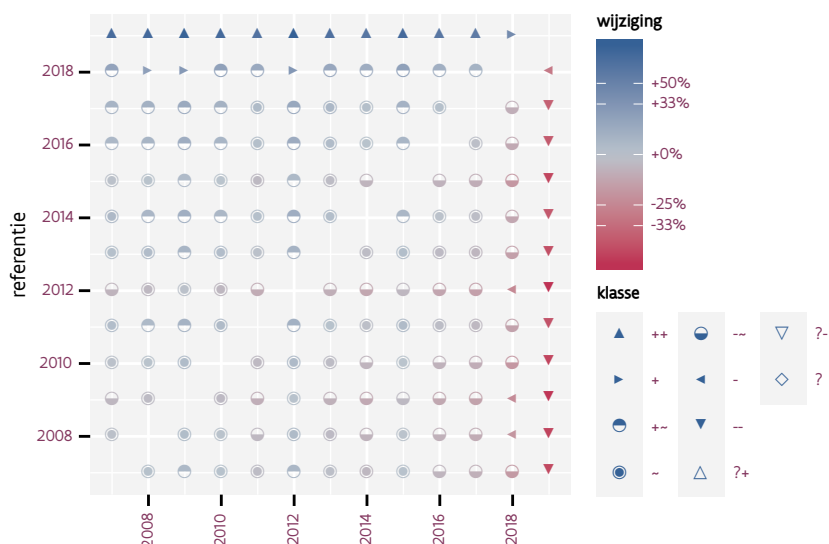
Figuur 69.4: Wijzigingen t.o.v. het eerste jaar voor Merel. Zie §4.1 voor een verklaring van de intervallen en §4.2 voor uitleg over de symbolen en referentielijnen.

Tabel 69.1: Stratumgewicht, raming aan het aantal hokken waarin de soort aanwezig is, aantal relevant hokken voor de analyse, aantal onderzochte hokken in het stratum, totaal aantal hokken van het stratum in Vlaanderen en aantal bezoeken aan een meetpunt voor Merel (zie §3.5).

stratum	gewicht	aanwezig	relevant	onderzocht	totaal	bezoeken
Landbouw	82.9%	4844.4	327	426	6311	18694
Urbaan	5.8%	334.7	70	87	416	4028
Bos	4.0%	231.7	138	190	319	8319
Heide en duin	2.8%	161.8	74	91	199	4408
Suburbaan	2.7%	156.7	53	68	201	2957
Moeras en water	1.8%	104.5	61	80	137	3531



Figuur 69.5: Paarsgewijze vergelijking tussen driejarige cycli voor Merel. Uitleg van de symbolen in tabel 4.1.



Figuur 69.6: Paarsgewijze vergelijking tussen jaren voor Merel. Uitleg van de symbolen in tabel 4.1.

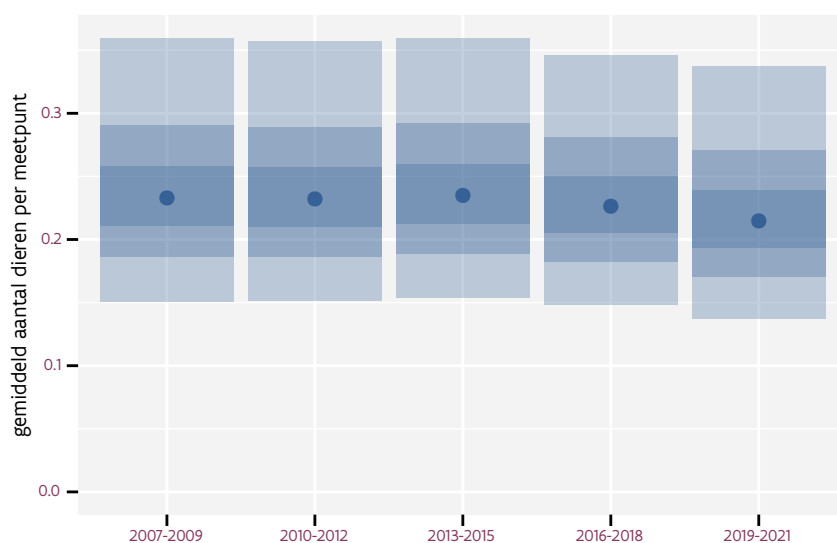
Tabel 69.2: Data-hashes van de analyses in het kader van traceerbaarheid (zie §5.3).

frequentie	model	analyse	status
jaarlijks	lineair	c71e57ec8c507391d78d f6782a407cefde9bdd22	930c4c9576ed5aec5a1 8a186d7738f642c8a5f7
jaarlijks	niet-lineair	c483110d8cfa86b3201c 05083692998524bbc564	d66f08eb4eb1ddc5249b f20887288235b61d3762
driejaarlijks	lineair	54ed257ab13ea44b0c9e 5f01009414d85e84385f	8f6dd1c8291770c5ad60 a1b1afa0f9839737e7f3
driejaarlijks	niet-lineair	31c37e4989421078b563 b37b1a3c6adbfc3851f1	4605c204a35f1c3e604c e1e27f7512c157ca9bdf

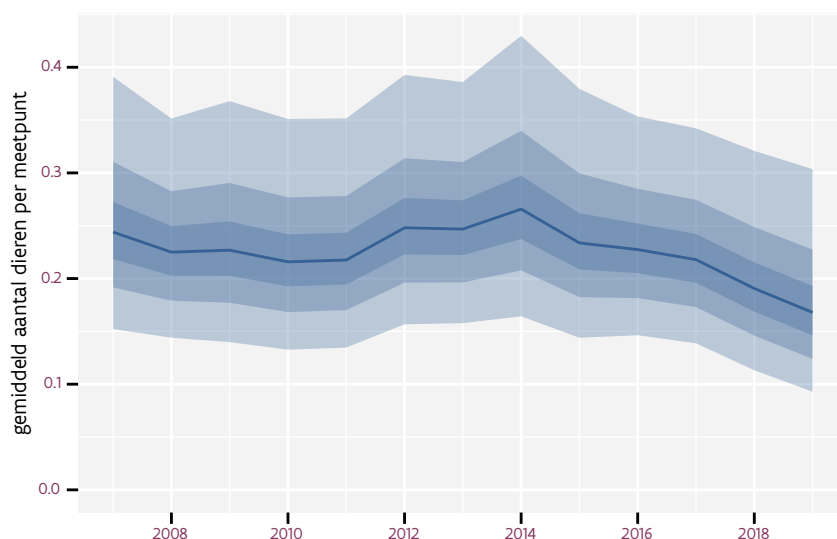
70 NACHTEGAAL

Op basis van driejaarlijkse gegevens zien we gemiddeld een mogelijk afname met -1.8% (-4.7%; +1.2%) per jaar of -20% (-44%; +15%) over de volledige looptijd van het meetnet. Deze trend is niet-lineair.

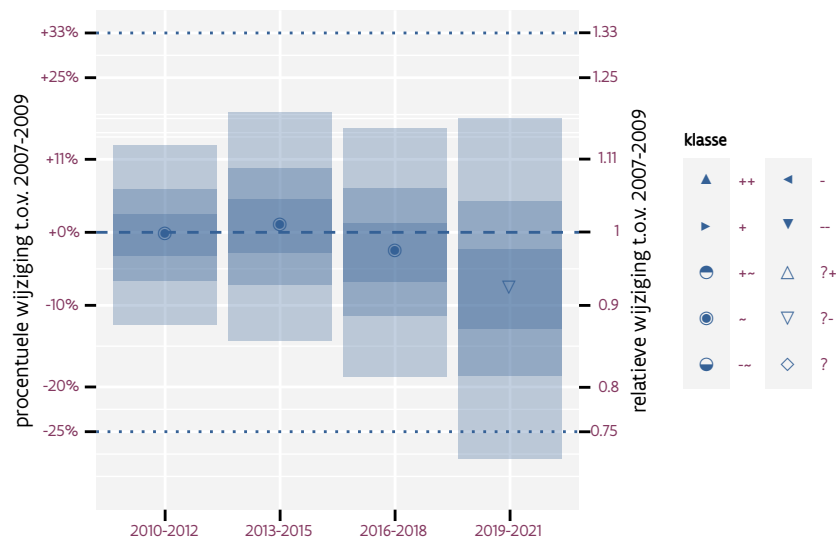
Op basis van jaarlijkse gegevens zien we gemiddeld een mogelijk afname met -1.5% (-4.5%; +1.5%) per jaar of -17% (-42%; +20%) over de volledige looptijd van het meetnet. Deze trend is niet-lineair.



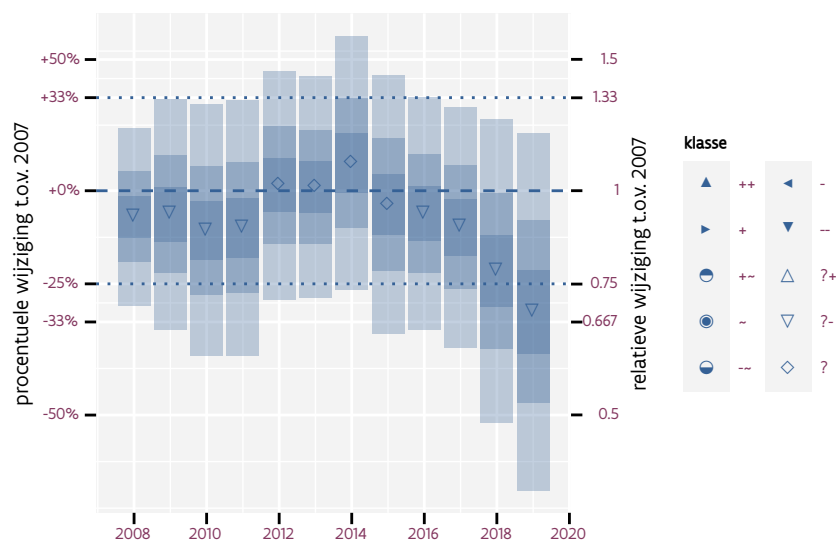
Figuur 70.1: Evolutie van het gemodeleerde gemiddeld aantal waargenomen dieren op een meetpunt voor Nachtegaal tijdens de referentieperiode. Zie §4.1 voor een verklaring van de intervallen.



Figuur 70.2: Evolutie van het gemodeleerde gemiddeld aantal waargenomen dieren op een meetpunt voor Nachtegaal tijdens de referentieperiode. Zie §4.1 voor een verklaring van de intervallen.



Figuur 70.3: Wijzigingen t.o.v. het eerste driejarige cyclus voor Nachtegaal. Zie §4.1 voor een verklaring van de intervallen en §4.2 voor uitleg over de symbolen en referentielijnen.



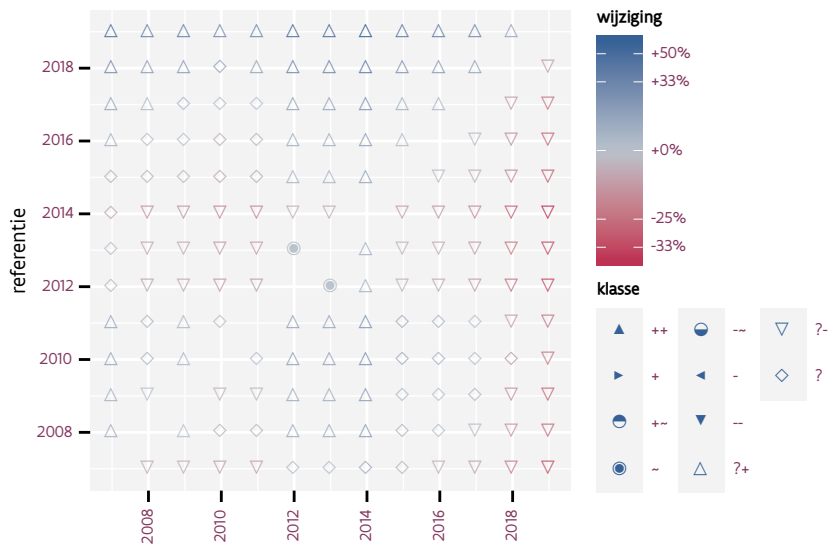
Figuur 70.4: Wijzigingen t.o.v. het eerste jaar voor Nachtegaal. Zie §4.1 voor een verklaring van de intervallen en §4.2 voor uitleg over de symbolen en referentielijnen.

Tabel 70.1: Stratumgewicht, raming aan het aantal hokken waarin de soort aanwezig is, aantal relevant hokken voor de analyse, aantal onderzochte hokken in het stratum, totaal aantal hokken van het stratum in Vlaanderen en aantal bezoeken aan een meetpunt voor Nachtegaal (zie §3.5).

stratum	gewicht	aanwezig	relevant	onderzocht	totaal	bezoeken
Heide en duin	58.7%	21.9	10	91	199	533
Moeras en water	41.3%	13.7	8	80	137	588



Figuur 70.5: Paarsgewijze vergelijking tussen driejarige cycli voor Nachtegaal. Uitleg van de symbolen in tabel 4.1.



Figuur 70.6: Paarsgewijze vergelijking tussen jaren voor Nachtegaal. Uitleg van de symbolen in tabel 4.1.

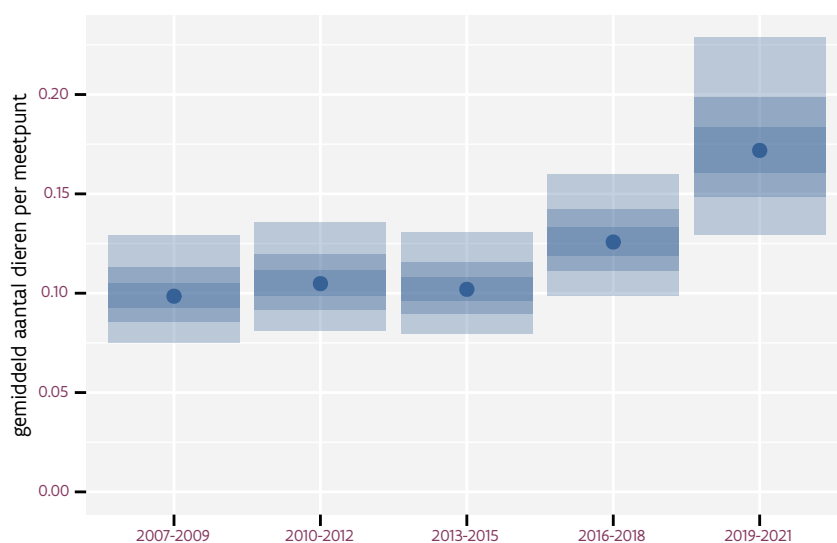
Tabel 70.2: Data-hashes van de analyses in het kader van traceerbaarheid (zie §5.3).

frequentie	model	analyse	status
jaarlijks	lineair	e9f4bf198f8cf18909ba 8bec8855f172558760e5	c60935053b18f75dcc01 d9843506bdcaf0469413
jaarlijks	niet-lineair	6266b6471743e84c09d3 2ff375beef44105ac23d	1d0ebcf2641f4a81b3f9 3e241a1114c43f0cace1
driejaarlijks	lineair	eb975b6547b71f2ef910 4c2ec52362fc7c6730b2	c43365fdbf65a37b34d8 4e737e3b5c1bc8606e88
driejaarlijks	niet-lineair	857ba64ae7b7de158873 b0a0ba693ffdedad8dec	0363c872c82d48594f14 7dce84106af947c2a576

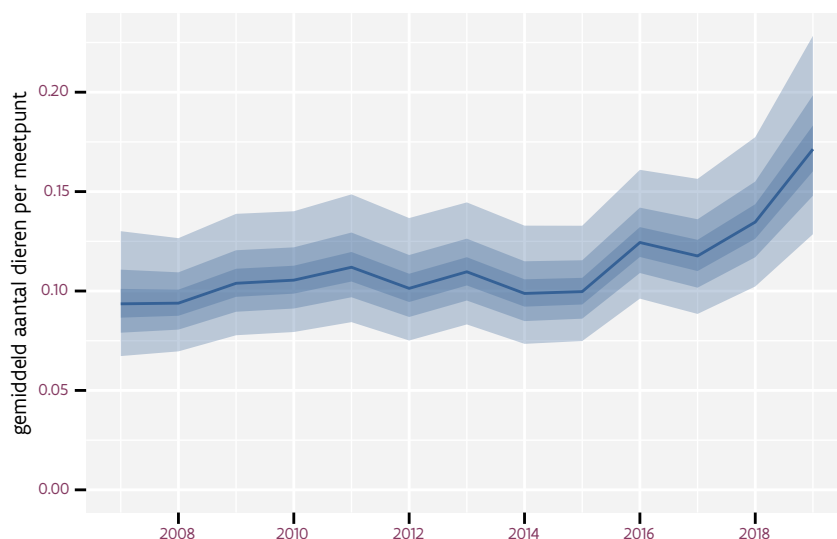
71 NIJLGANS

Op basis van driejaarlijkse gegevens zien we gemiddeld een sterke toename met +4.6% (+2.9%; +6.4%) per jaar of +71.9% (+41.0%; +109.5%) over de volledige looptijd van het meetnet. Deze trend is niet-lineair.

Op basis van jaarlijkse gegevens zien we gemiddeld een sterke toename met +4.2% (+2.5%; +6.0%) per jaar of +64.1% (+34.5%; +100.1%) over de volledige looptijd van het meetnet. Deze trend is niet-lineair.



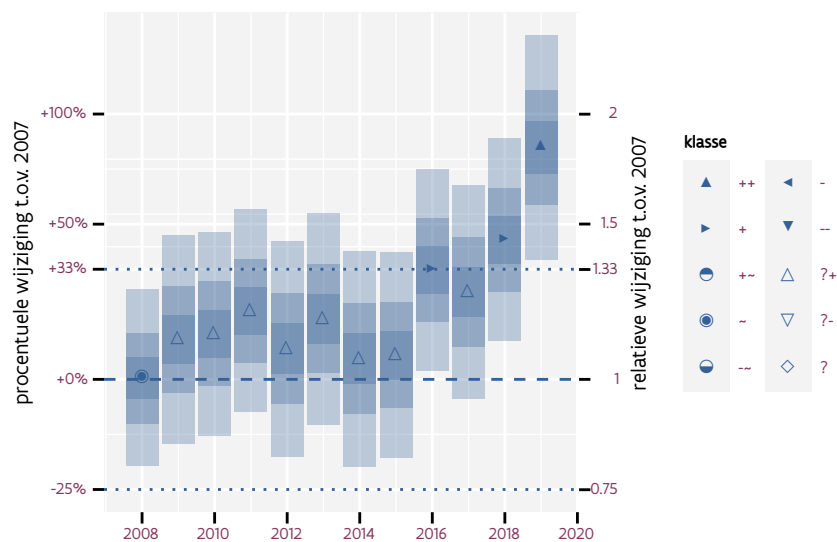
Figuur 71.1: Evolutie van het gemodeleerde gemiddeld aantal waargenomen dieren op een meetpunt voor Nijlgans tijdens de referentieperiode. Zie §4.1 voor een verklaring van de intervallen.



Figuur 71.2: Evolutie van het gemodeleerde gemiddeld aantal waargenomen dieren op een meetpunt voor Nijlgans tijdens de referentieperiode. Zie §4.1 voor een verklaring van de intervallen.



Figuur 71.3: Wijzigingen t.o.v. het eerste driejarige cyclus voor Nijlgans. Zie §4.1 voor een verklaring van de intervallen en §4.2 voor uitleg over de symbolen en referentielijnen.



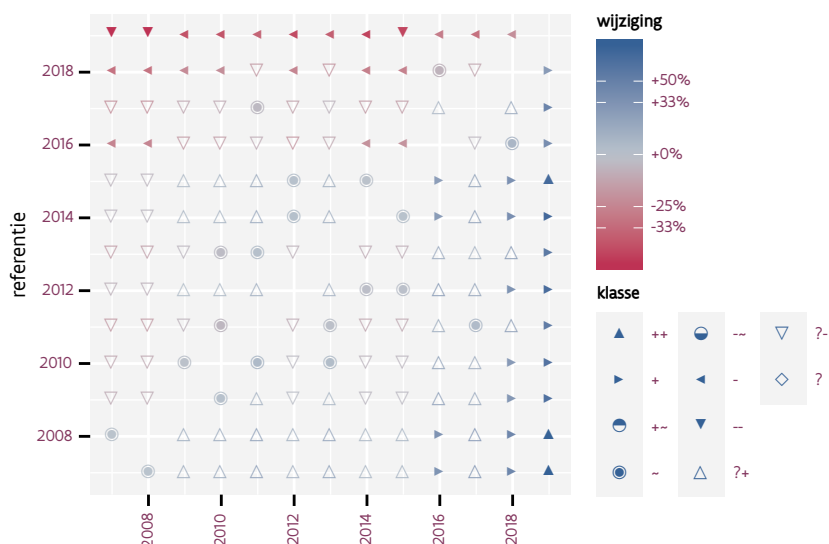
Figuur 71.4: Wijzigingen t.o.v. het eerste jaar voor Nijlgans. Zie §4.1 voor een verklaring van de intervallen en §4.2 voor uitleg over de symbolen en referentielijnen.

Tabel 71.1: Stratumgewicht, raming aan het aantal hokken waarin de soort aanwezig is, aantal relevant hokken voor de analyse, aantal onderzochte hokken in het stratum, totaal aantal hokken van het stratum in Vlaanderen en aantal bezoeken aan een meetpunt voor Nijlgans (zie §3.5).

stratum	gewicht	aanwezig	relevant	onderzocht	totaal	bezoeken
Landbouw	90.5%	1214.8	82	426	6311	5225
Moeras en water	4.3%	56.5	33	80	137	2083
Heide en duin	2.1%	26.2	12	91	199	690
Bos	1.6%	20.1	12	190	319	1001
Urbaan	1.4%	14.3	3	87	416	179



Figuur 71.5: Paarsgewijze vergelijking tussen driejarige cycli voor Nijlgans. Uitleg van de symbolen in tabel 4.1.



Figuur 71.6: Paarsgewijze vergelijking tussen jaren voor Nijlgans. Uitleg van de symbolen in tabel 4.1.

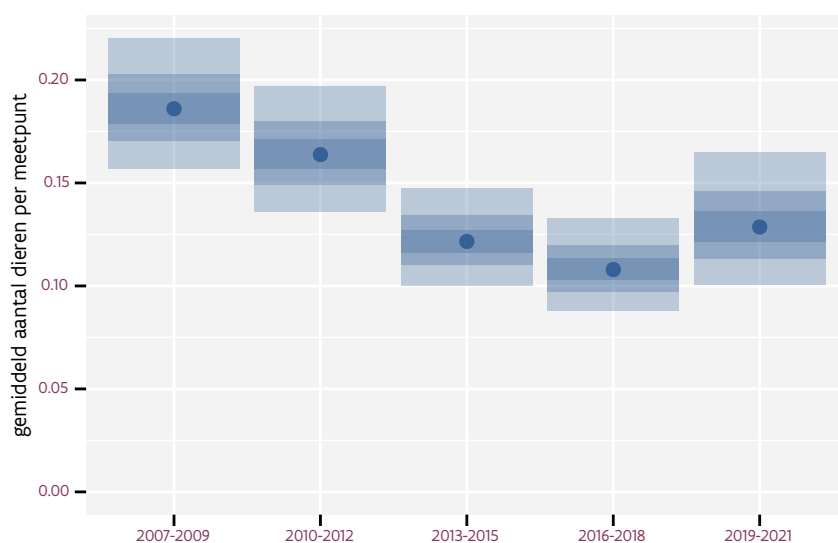
Tabel 71.2: Data-hashes van de analyses in het kader van traceerbaarheid (zie §5.3).

frequentie	model	analyse	status
jaarlijks	lineair	b6727b19b558ad58e670 bdbe559472a1910038a3	58210e0a499fc9544f79 96de2a7dffacc8afcdc4
jaarlijks	niet-lineair	0c93d4617c1cbd3a8b89 ddf4abbd9a2707faa584	e3b8a222032e4f84e254 e070b6a4626f63a01d77
driejaarlijks	lineair	a0494971f852cc1668e3 a2c8b4d9148fe72b4040	4d635b29deaf50656bb3 bd1d42447eb01171ff39
driejaarlijks	niet-lineair	5232cc2c0995ecc96d42 af607990b74c0fcac3a9	1bebd5b30be14998a9d1 367f74df6814da8ab5c7

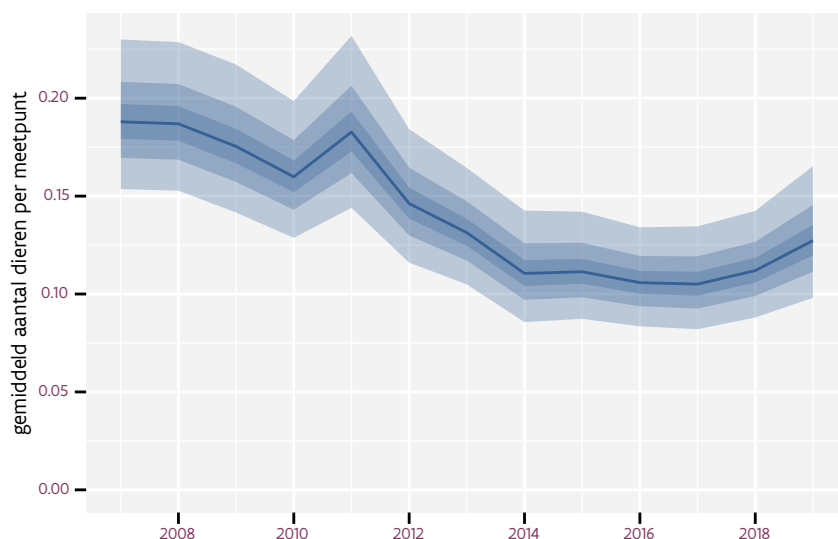
72 PATRIJS

Op basis van driejaarlijkse gegevens zien we gemiddeld een sterke afname met -5.2% (-6.7%; -3.6%) per jaar of -47% (-57%; -35%) over de volledige looptijd van het meetnet. Deze trend is niet-lineair.

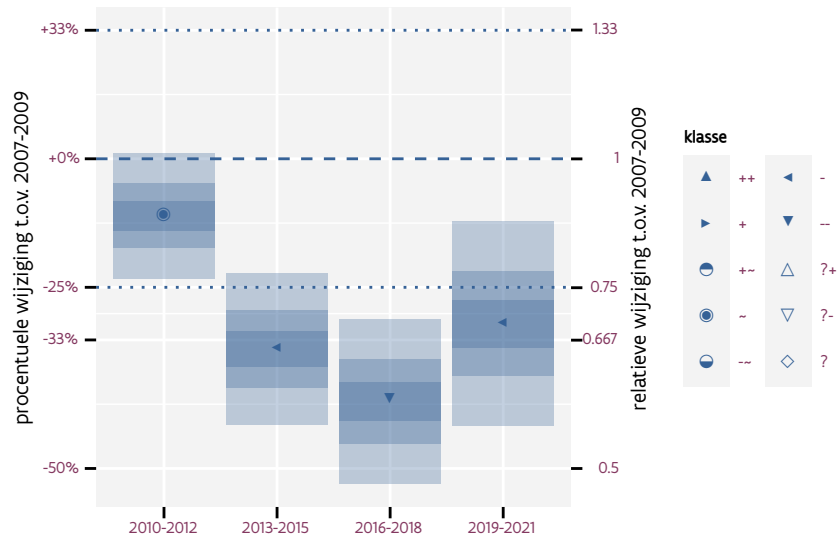
Op basis van jaarlijkse gegevens zien we gemiddeld een sterke afname met -5.2% (-6.8%; -3.6%) per jaar of -47% (-57%; -36%) over de volledige looptijd van het meetnet. Deze trend is niet-lineair.



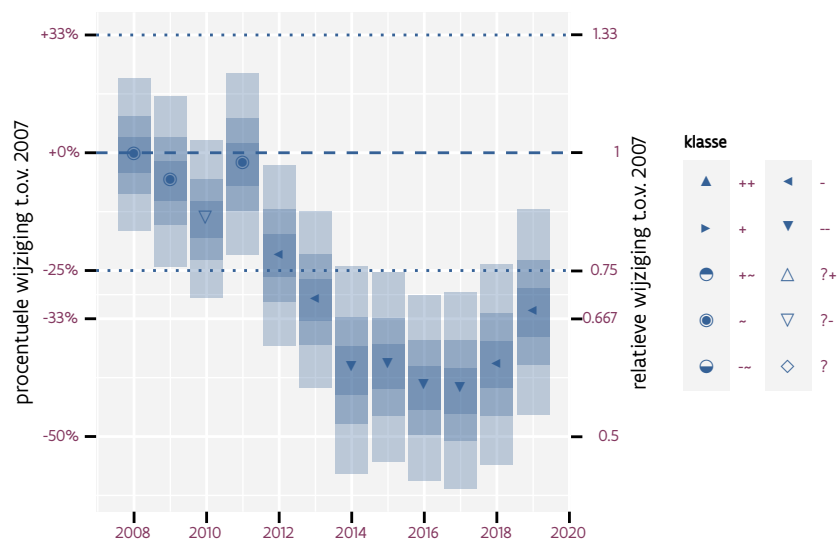
Figuur 72.1: Evolutie van het gemodeleerde gemiddeld aantal waargenomen dieren op een meetpunt voor Patrijs tijdens de referentieperiode. Zie §4.1 voor een verklaring van de intervallen.



Figuur 72.2: Evolutie van het gemodeleerde gemiddeld aantal waargenomen dieren op een meetpunt voor Patrijs tijdens de referentieperiode. Zie §4.1 voor een verklaring van de intervallen.



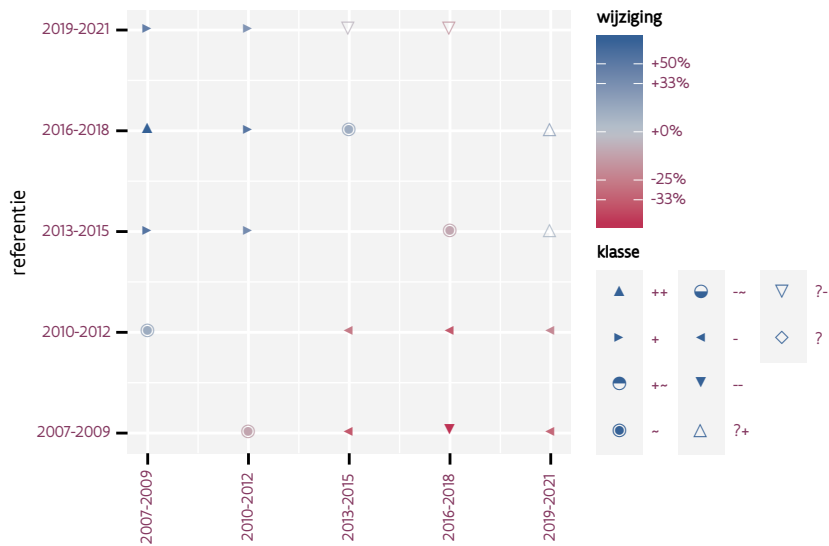
Figuur 72.3: Wijzigingen t.o.v. het eerste driejarige cyclus voor Patrijs. Zie §4.1 voor een verklaring van de intervallen en §4.2 voor uitleg over de symbolen en referentielijnen.



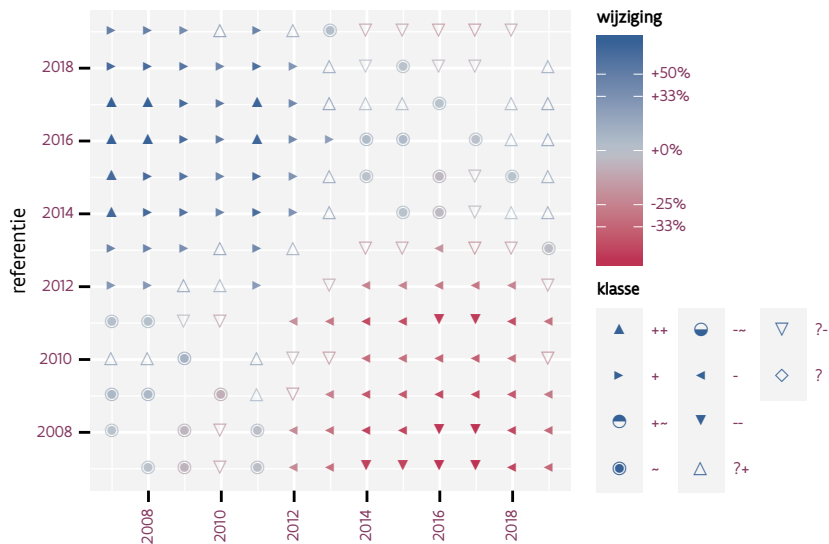
Figuur 72.4: Wijzigingen t.o.v. het eerste jaar voor Patrijs. Zie §4.1 voor een verklaring van de intervallen en §4.2 voor uitleg over de symbolen en referentielijnen.

Tabel 72.1: Stratumgewicht, raming aan het aantal hokken waarin de soort aanwezig is, aantal relevant hokken voor de analyse, aantal onderzochte hokken in het stratum, totaal aantal hokken van het stratum in Vlaanderen en aantal bezoeken aan een meetpunt voor Patrijs (zie §3.5).

stratum	gewicht	aanwezig	relevant	onderzocht	totaal	bezoeken
Landbouw	100.0%	1940.7	131	426	6311	8190



Figuur 72.5: Paarsgewijze vergelijking tussen driejarige cycli voor Patrijs. Uitleg van de symbolen in tabel 4.1.



Figuur 72.6: Paarsgewijze vergelijking tussen jaren voor Patrijs. Uitleg van de symbolen in tabel 4.1.

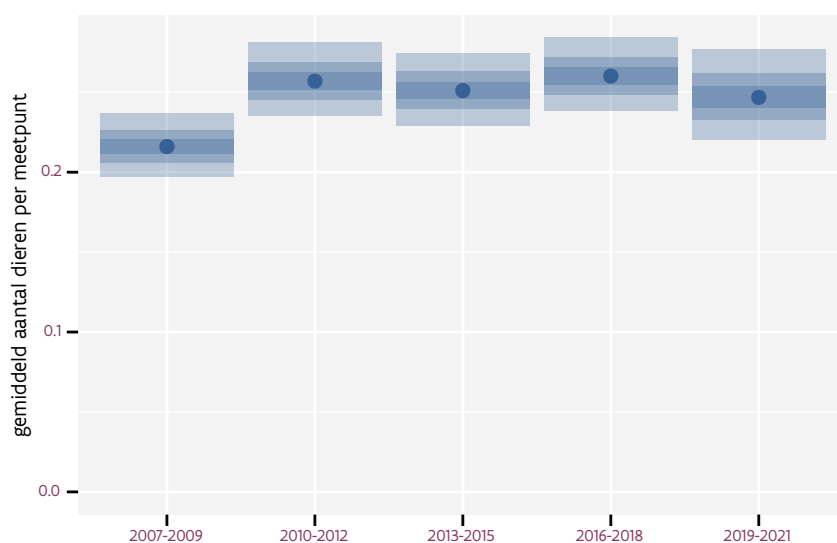
Tabel 72.2: Data-hashes van de analyses in het kader van traceerbaarheid (zie §5.3).

frequentie	model	analyse	status
jaarlijks	lineair	635888a11d9b39ff2541 2a87a9dedb8775fb0d48	5787ec6e1dc8da40882f b59a7285fd9dc9de3d30
jaarlijks	niet-lineair	c31c3f784b6fda796c47 0ae5507dc91c25c6b70f	61e27fdedfcf2407f77b a15ad251c024b6927a4e
driejaarlijks	lineair	c4c3c3dca87b516ae676 273ec5d93b371fb8e347	647836b9745648d464b4 eccfff01a698ae959357
driejaarlijks	niet-lineair	efca5ee9bbd11b1160b6 c80f8030a66c7a814d4f	9fed49cc271617d285c0 f1c4f7b5538e4c91b29c

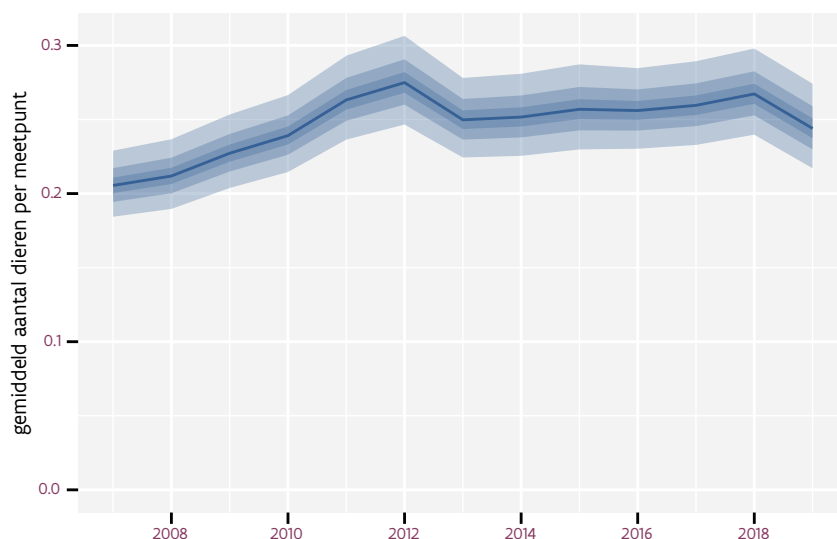
73 PIMPELMEES

Op basis van driejaarlijkse gegevens zien we gemiddeld een matige toename met +1.5% (+0.8%; +2.2%) per jaar of +20% (+11%; +30%) over de volledige looptijd van het meetnet. Deze trend is lineair.

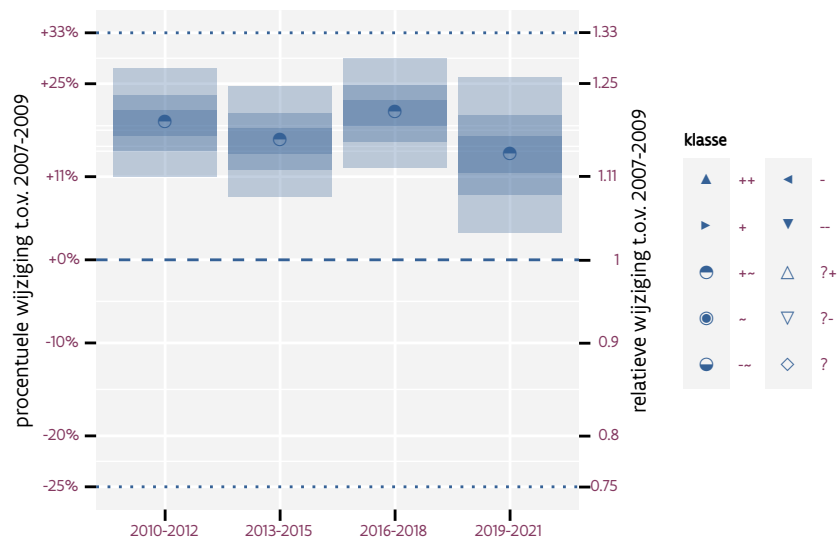
Op basis van jaarlijkse gegevens zien we gemiddeld een matige toename met +1.7% (+1.0%; +2.3%) per jaar of +22% (+13%; +32%) over de volledige looptijd van het meetnet. Deze trend is niet-lineair.



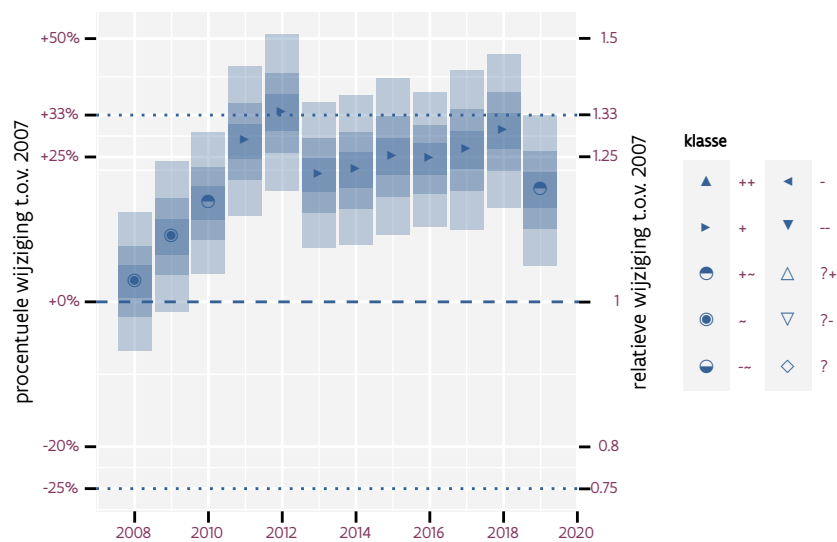
Figuur 73.1: Evolutie van het gemodeleerde gemiddeld aantal waargenomen dieren op een meetpunt voor Pimpelmees tijdens de referentieperiode. Zie §4.1 voor een verklaring van de intervallen.



Figuur 73.2: Evolutie van het gemodeleerde gemiddeld aantal waargenomen dieren op een meetpunt voor Pimpelmees tijdens de referentieperiode. Zie §4.1 voor een verklaring van de intervallen.



Figuur 73.3: Wijzigingen t.o.v. het eerste driejarige cyclus voor Pimpelmees. Zie §4.1 voor een verklaring van de intervallen en §4.2 voor uitleg over de symbolen en referentielijnen.



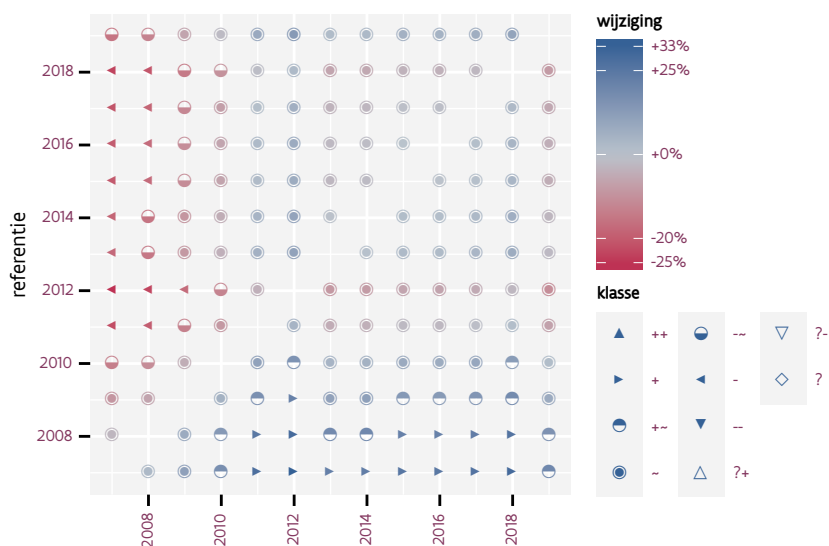
Figuur 73.4: Wijzigingen t.o.v. het eerste jaar voor Pimpelmees. Zie §4.1 voor een verklaring van de intervallen en §4.2 voor uitleg over de symbolen en referentielijnen.

Tabel 73.1: Stratumgewicht, raming aan het aantal hokken waarin de soort aanwezig is, aantal relevant hokken voor de analyse, aantal onderzochte hokken in het stratum, totaal aantal hokken van het stratum in Vlaanderen en aantal bezoeken aan een meetpunt voor Pimpelmees (zie §3.5).

stratum	gewicht	aanwezig	relevant	onderzocht	totaal	bezoeken
Landbouw	80.5%	3688.8	249	426	6311	15102
Urbaan	6.9%	310.8	65	87	416	3806
Bos	4.6%	211.5	126	190	319	7826
Heide en duin	3.1%	142.1	65	91	199	3916
Suburbaan	3.0%	136.0	46	68	201	2677
Moeras en water	1.9%	87.3	51	80	137	3040



Figuur 73.5: Paarsgewijze vergelijking tussen driejarige cycli voor Pimpelmees. Uitleg van de symbolen in tabel 4.1.



Figuur 73.6: Paarsgewijze vergelijking tussen jaren voor Pimpelmees. Uitleg van de symbolen in tabel 4.1.

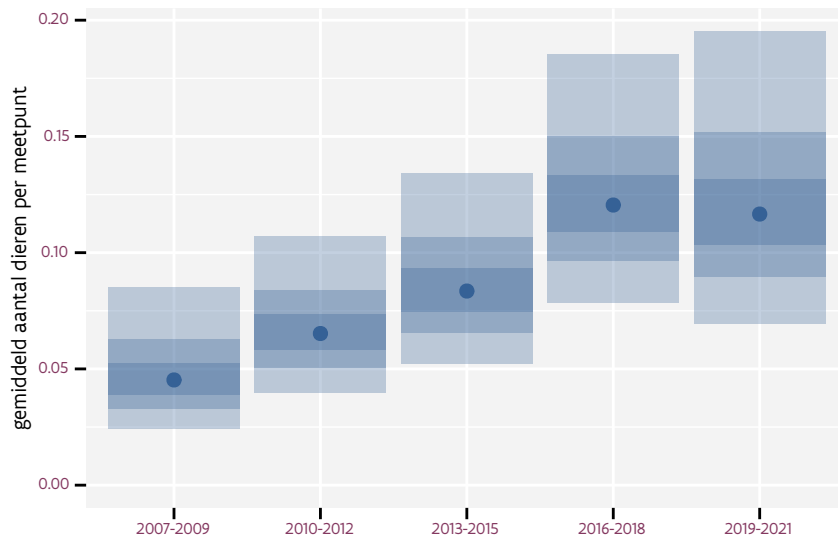
Tabel 73.2: Data-hashes van de analyses in het kader van traceerbaarheid (zie §5.3).

frequentie	model	analyse	status
jaarlijks	lineair	c0ed5fd528e16ea67954 b4d95c0525b25aa632a4	d54c3b43930a6c2c13a5 58f3abd5022c4940d616
jaarlijks	niet-lineair	fcfa88896cc2128e9651 2dc29d63e906d6886866	b1a709349bb8b6ce6ecb 76bf5562d057b1c14bed
driejaarlijks	lineair	2ff529948fa23de11306 4d92e432281eb257c74b	118a723432ab60b6544e bd95d8c3c955a8ad2585
driejaarlijks	niet-lineair	5a1720cf53fc053722bb 48df790c5ae6cf97472f	6c52d05e603001f96111 3b73bcb21ab0f626019c

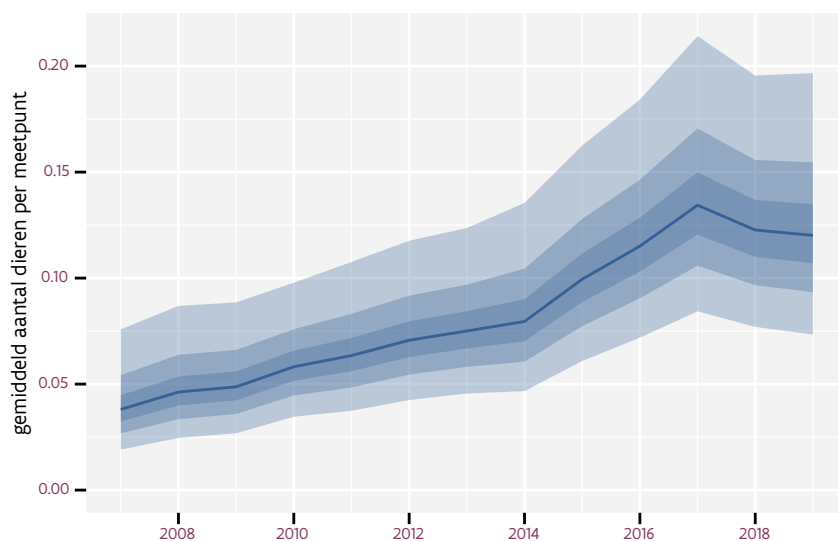
74 PUTTER

Op basis van driejaarlijkse gegevens zien we gemiddeld een sterke toename met +12.7% (+7.8%; +17.8%) per jaar of +320% (+150%; +620%) over de volledige looptijd van het meetnet. Deze trend is mogelijk niet-lineair.

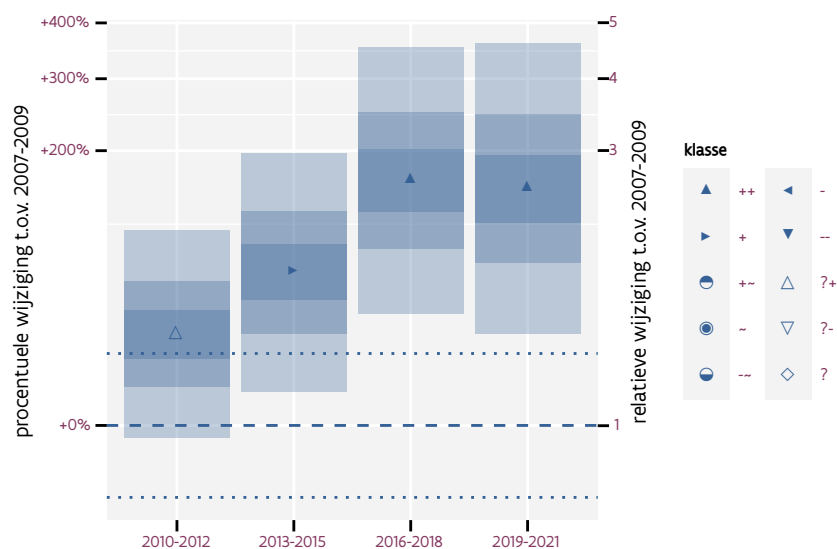
Op basis van jaarlijkse gegevens zien we gemiddeld een sterke toename met +13.2% (+8.3%; +18.4%) per jaar of +340% (+160%; +660%) over de volledige looptijd van het meetnet. Deze trend is niet-lineair.



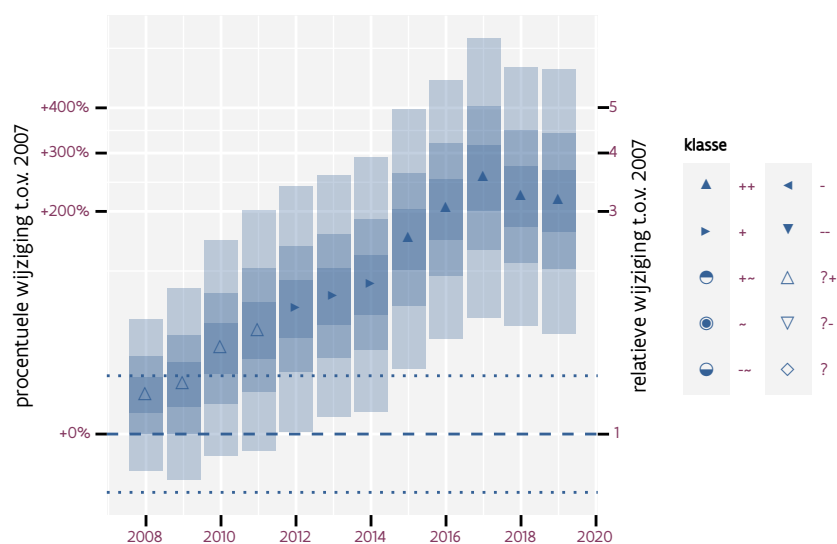
Figuur 74.1: Evolutie van het gemodeleerde gemiddeld aantal waargenomen dieren op een meetpunt voor Putter tijdens de referentieperiode. Zie §4.1 voor een verklaring van de intervallen.



Figuur 74.2: Evolutie van het gemodeleerde gemiddeld aantal waargenomen dieren op een meetpunt voor Putter tijdens de referentieperiode. Zie §4.1 voor een verklaring van de intervallen.



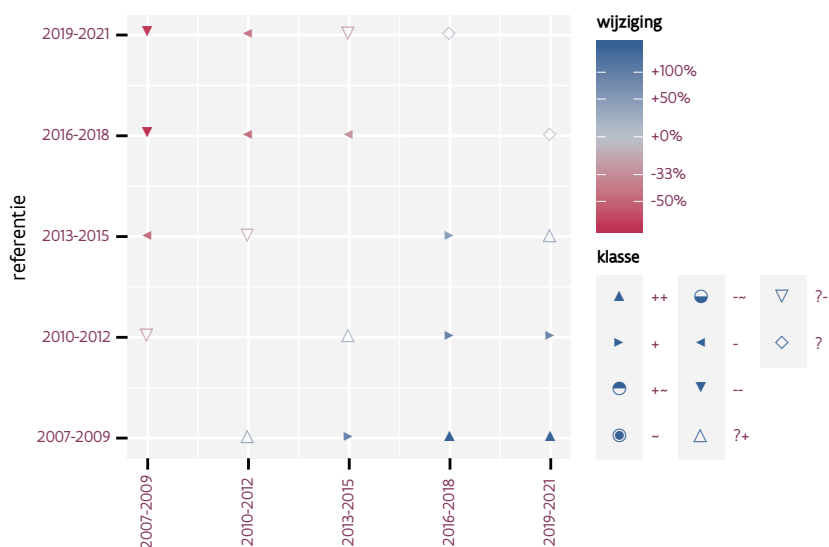
Figuur 74.3: Wijzigingen t.o.v. het eerste driejarige cyclus voor Putter. Zie §4.1 voor een verklaring van de intervallen en §4.2 voor uitleg over de symbolen en referentielijnen.



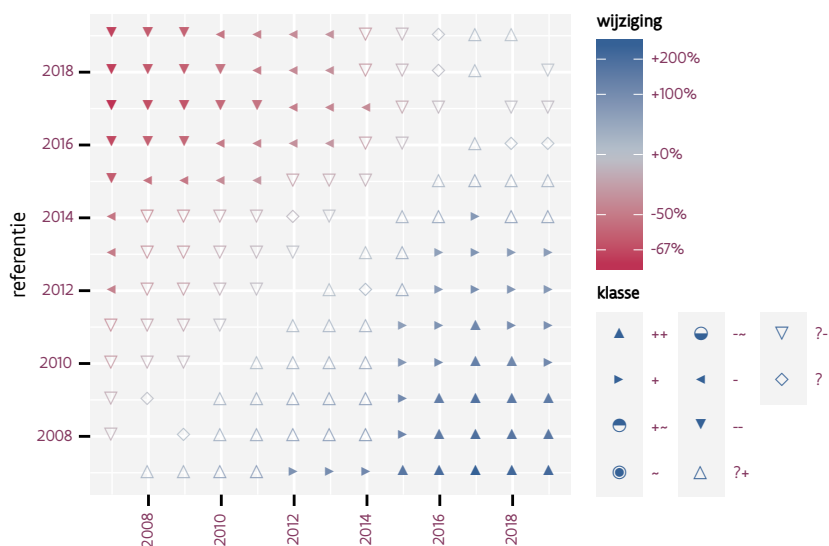
Figuur 74.4: Wijzigingen t.o.v. het eerste jaar voor Putter. Zie §4.1 voor een verklaring van de intervallen en §4.2 voor uitleg over de symbolen en referentielijnen.

Tabel 74.1: Stratumgewicht, raming aan het aantal hokken waarin de soort aanwezig is, aantal relevant hokken voor de analyse, aantal onderzochte hokken in het stratum, totaal aantal hokken van het stratum in Vlaanderen en aantal bezoeken aan een meetpunt voor Putter (zie §3.5).

stratum	gewicht	aanwezig	relevant	onderzocht	totaal	bezoeken
Landbouw	84.4%	355.5	24	426	6311	1610
Suburbaan	6.3%	23.6	8	68	201	475
Urbaan	5.7%	19.1	4	87	416	324
Moeras en water	3.7%	13.7	8	80	137	537



Figuur 74.5: Paarsgewijze vergelijking tussen driejarige cycli voor Putter. Uitleg van de symbolen in tabel 4.1.



Figuur 74.6: Paarsgewijze vergelijking tussen jaren voor Putter. Uitleg van de symbolen in tabel 4.1.

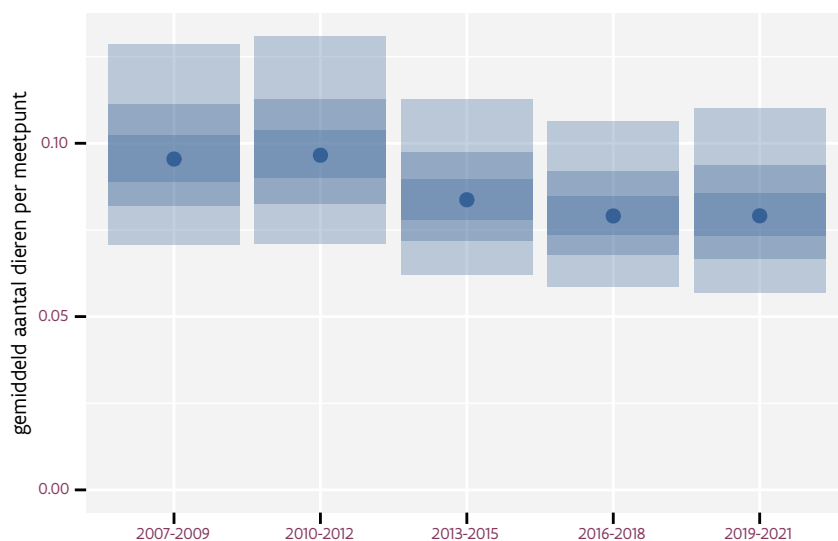
Tabel 74.2: Data-hashes van de analyses in het kader van traceerbaarheid (zie §5.3).

frequentie	model	analyse	status
jaarlijks	lineair	4d2f3f8d575ec0d0b520 2826479ce8b4a1ec06d6	dac2955c3330b5d2d744 eb6fca792e2b4361cc5f
jaarlijks	niet-lineair	7100c7016c860d597d6b 2b3bd0acf2fed819ae04	2b9b8fab93b5ff1f44b 472c1cf24022426d1f78
driejaarlijks	lineair	9dc43a8c255b5f4c37bd f5f88f378d4809489247	812a9d821ae364337b04 260e22e2723038d062c2
driejaarlijks	niet-lineair	2356f3e07aa82149c275 c21b9e90883006face9d	6e6c68442231cd8cf29d 46fb1c7bf9a18d8aa744

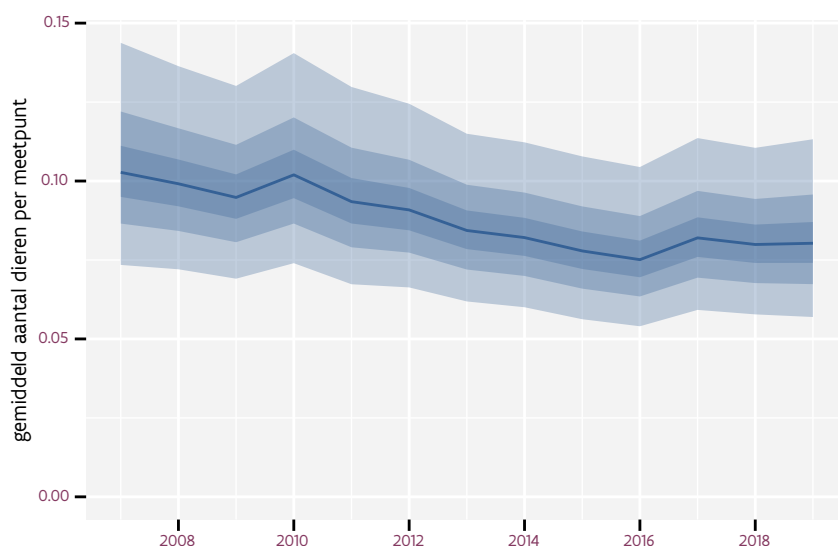
75 RIETGORS

Op basis van driejaarlijkse gegevens zien we gemiddeld een afname met -3.0% (-5.3%; -0.6%) per jaar of -31% (-48%; -8%) over de volledige looptijd van het meetnet. Deze trend is niet-lineair.

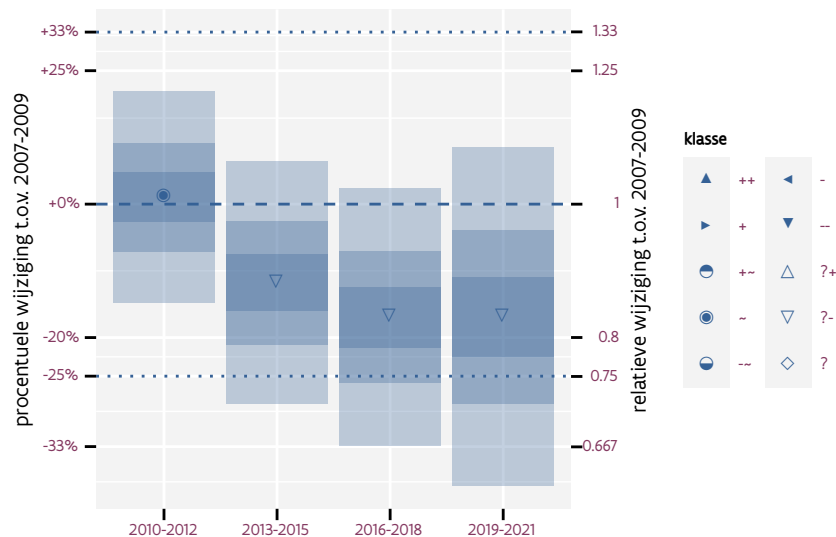
Op basis van jaarlijkse gegevens zien we gemiddeld een afname met -3.1% (-5.4%; -0.8%) per jaar of -31% (-48%; -9%) over de volledige looptijd van het meetnet. Deze trend is niet-lineair.



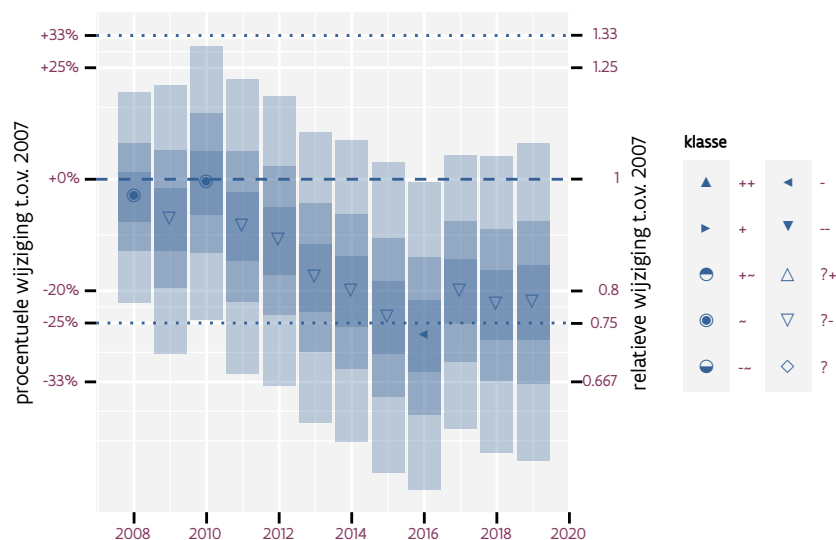
Figuur 75.1: Evolutie van het gemodeleerde gemiddeld aantal waargenomen dieren op een meetpunt voor Rietgors tijdens de referentieperiode. Zie §4.1 voor een verklaring van de intervallen.



Figuur 75.2: Evolutie van het gemodeleerde gemiddeld aantal waargenomen dieren op een meetpunt voor Rietgors tijdens de referentieperiode. Zie §4.1 voor een verklaring van de intervallen.



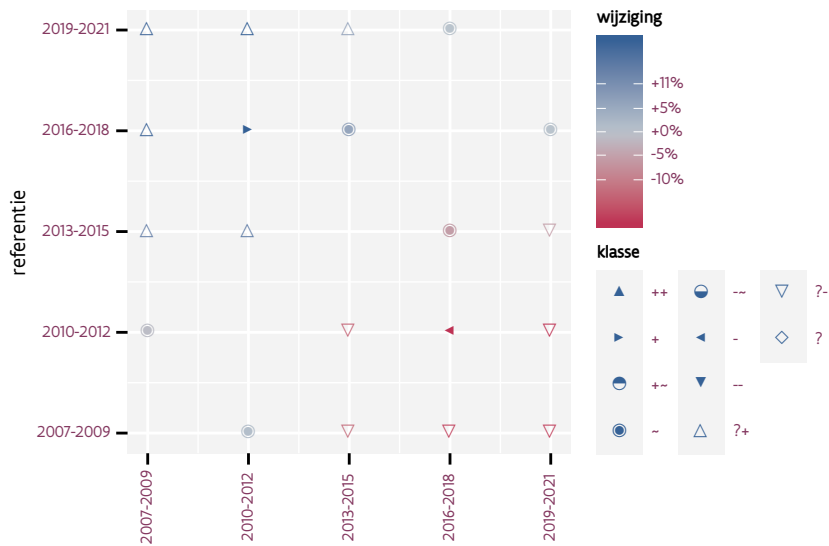
Figuur 75.3: Wijzigingen t.o.v. het eerste driejarige cyclus voor Rietgors. Zie §4.1 voor een verklaring van de intervallen en §4.2 voor uitleg over de symbolen en referentielijnen.



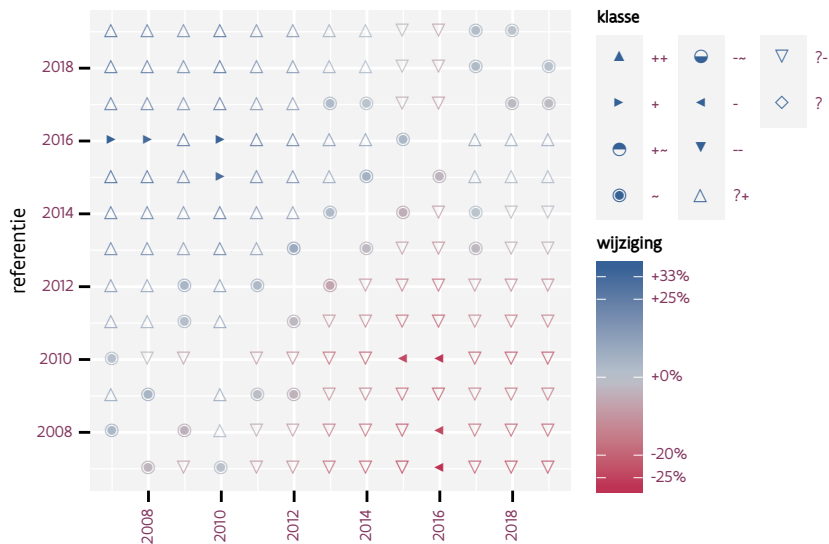
Figuur 75.4: Wijzigingen t.o.v. het eerste jaar voor Rietgors. Zie §4.1 voor een verklaring van de intervallen en §4.2 voor uitleg over de symbolen en referentielijnen.

Tabel 75.1: Stratumgewicht, raming aan het aantal hokken waarin de soort aanwezig is, aantal relevant hokken voor de analyse, aantal onderzochte hokken in het stratum, totaal aantal hokken van het stratum in Vlaanderen en aantal bezoeken aan een meetpunt voor Rietgors (zie §3.5).

stratum	gewicht	aanwezig	relevant	onderzocht	totaal	bezoeken
Landbouw	78.2%	355.5	24	426	6311	1586
Moeras en water	8.3%	37.7	22	80	137	1465
Heide en duin	8.3%	39.4	18	91	199	1178
Suburbaan	3.7%	14.8	5	68	201	198
Bos	1.4%	5.0	3	190	319	420



Figuur 75.5: Paarsgewijze vergelijking tussen driejarige cycli voor Rietgors. Uitleg van de symbolen in tabel 4.1.



Figuur 75.6: Paarsgewijze vergelijking tussen jaren voor Rietgors. Uitleg van de symbolen in tabel 4.1.

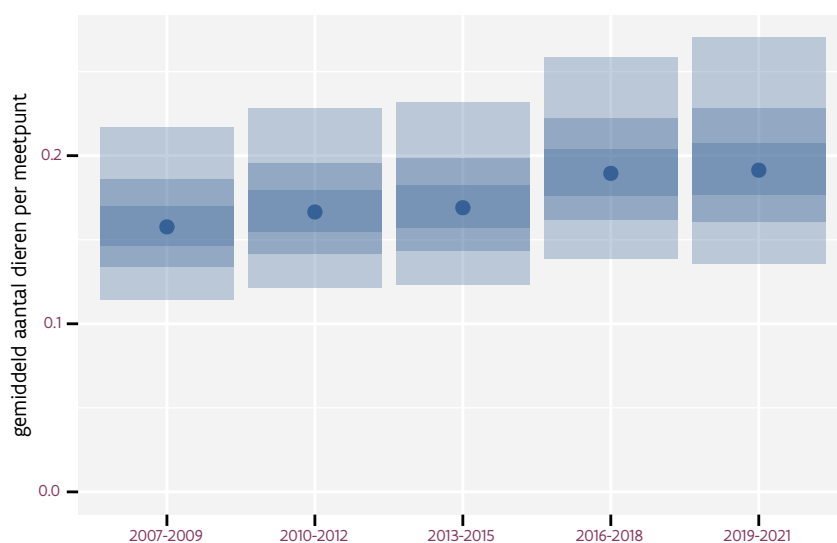
Tabel 75.2: Data-hashes van de analyses in het kader van traceerbaarheid (zie §5.3).

frequentie	model	analyse	status
jaarlijks	lineair	d9ccaa5b4e7cd77955c6 0592f57442bbbf130401	7a94f586295cd1efc87c 39a8c148895187b23ecd
jaarlijks	niet-lineair	cde739df4f93ca2460fe 8b5d1661243ff274bfac	cde739d8b96c762aa090 2fdad33e6090666f0e1e
driejaarlijks	lineair	1c9b58fc4d33cc4b01af 667cb400c8017fef3f58	d4610272efd877c30f0 fbf9fbf2f08bf4c11cb1
driejaarlijks	niet-lineair	600b175333f0a8ba9e8e ec95d4755aeb4020ff3e	6883287d29250f42aeec c48e4160eb1aff0dbe3b

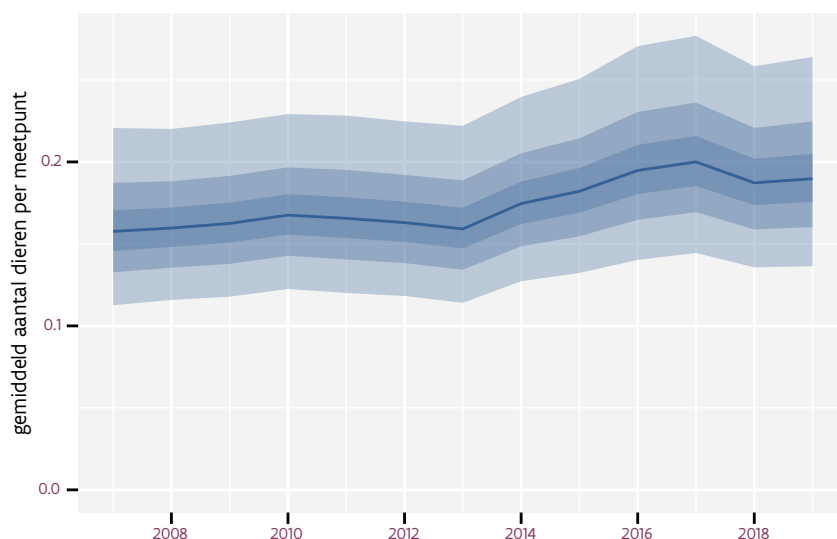
76 RIETZANGER

Op basis van driejaarlijkse gegevens zien we gemiddeld een toename met +2.8% (+0.9%; +4.7%) per jaar of +39% (+12%; +74%) over de volledige looptijd van het meetnet. Deze trend is lineair.

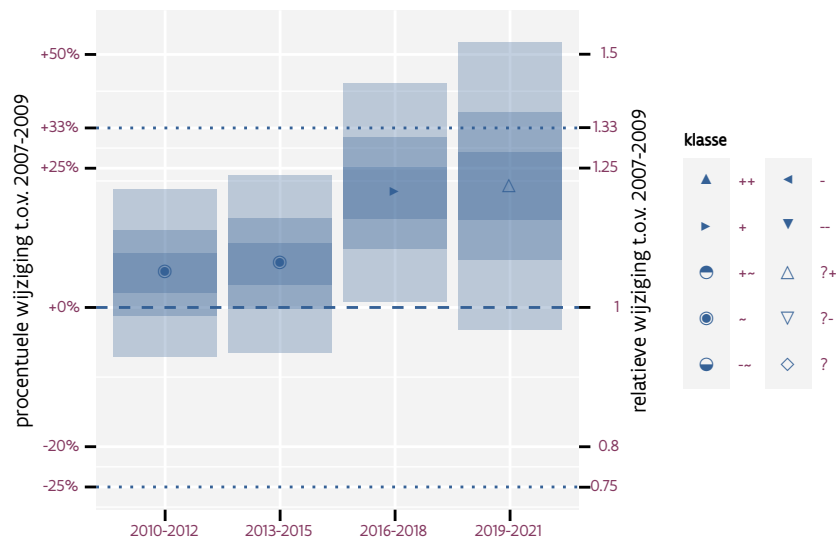
Op basis van jaarlijkse gegevens zien we gemiddeld een toename met +2.6% (+0.8%; +4.5%) per jaar of +37% (+10%; +70%) over de volledige looptijd van het meetnet. Deze trend is mogelijk niet-lineair.



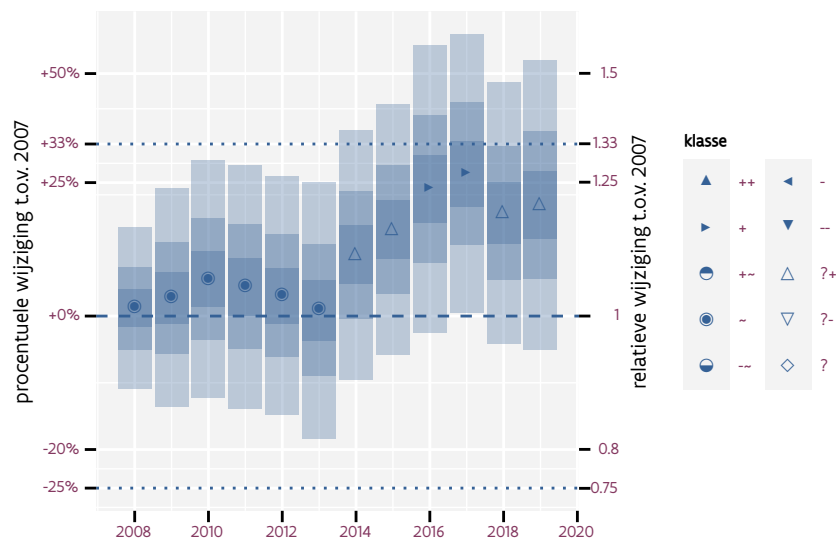
Figuur 76.1: Evolutie van het gemodeleerde gemiddeld aantal waargenomen dieren op een meetpunt voor Rietzanger tijdens de referentieperiode. Zie §4.1 voor een verklaring van de intervallen.



Figuur 76.2: Evolutie van het gemodeleerde gemiddeld aantal waargenomen dieren op een meetpunt voor Rietzanger tijdens de referentieperiode. Zie §4.1 voor een verklaring van de intervallen.



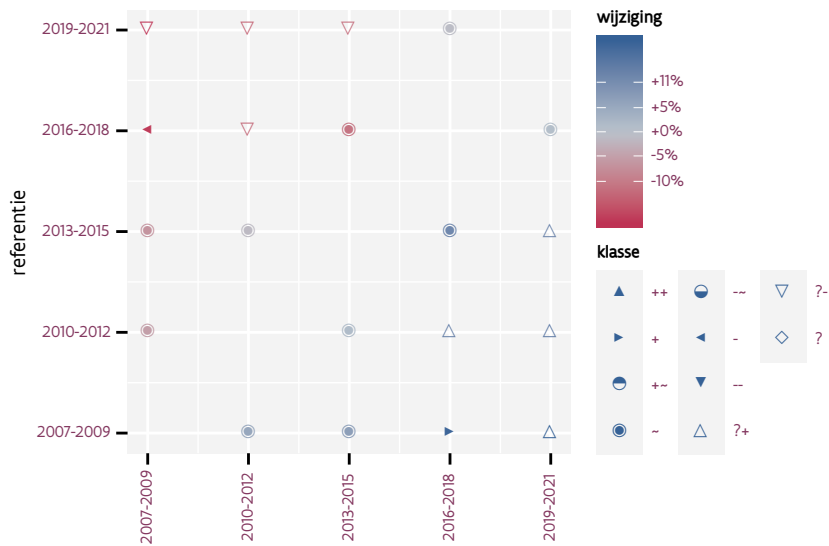
Figuur 76.3: Wijzigingen t.o.v. het eerste driejarige cyclus voor Rietzanger. Zie §4.1 voor een verklaring van de intervallen en §4.2 voor uitleg over de symbolen en referentielijnen.



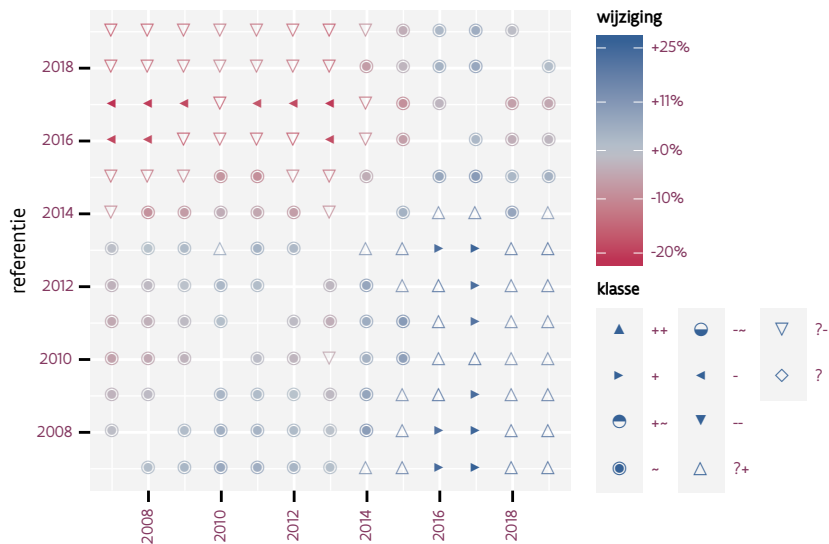
Figuur 76.4: Wijzigingen t.o.v. het eerste jaar voor Rietzanger. Zie §4.1 voor een verklaring van de intervallen en §4.2 voor uitleg over de symbolen en referentielijnen.

Tabel 76.1: Stratumgewicht, raming aan het aantal hokken waarin de soort aanwezig is, aantal relevant hokken voor de analyse, aantal onderzochte hokken in het stratum, totaal aantal hokken van het stratum in Vlaanderen en aantal bezoeken aan een meetpunt voor Rietzanger (zie §3.5).

stratum	gewicht	aanwezig	relevant	onderzocht	totaal	bezoeken
Landbouw	96.5%	518.5	35	426	6311	2312
Moeras en water	3.5%	17.1	10	80	137	653



Figuur 76.5: Paarsgewijze vergelijking tussen driejarige cycli voor Rietzanger. Uitleg van de symbolen in tabel 4.1.



Figuur 76.6: Paarsgewijze vergelijking tussen jaren voor Rietzanger. Uitleg van de symbolen in tabel 4.1.

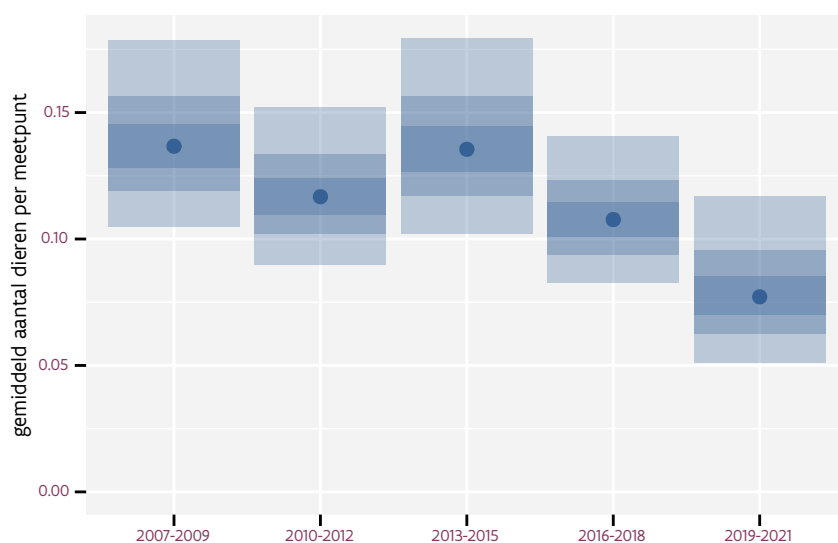
Tabel 76.2: Data-hashes van de analyses in het kader van traceerbaarheid (zie §5.3).

frequentie	model	analyse	status
jaarlijks	lineair	54f370615436727c59ed 69620fd2dbb9d745ab04	ffc160fd3721fd00ed6a b004776c8f6f2f7757a2
jaarlijks	niet-lineair	a6df0971845fabfbd4fd 189b1c6cfd79a53780	c4a7ec11f41d8a2d65b3 16053d7c300694d4ee85
driejaarlijks	lineair	5d4efb7b6f32ab502c32 1a7548fd50335f378a0b	a941df56b98fbc6ecab0 f5f297428af83eb54b26
driejaarlijks	niet-lineair	ee2dfd2bd66c53589dd5 c49d1297bd4f66278bcc	891e7eb5ae6df51eb1d4 0f7770fd01038371b6e2

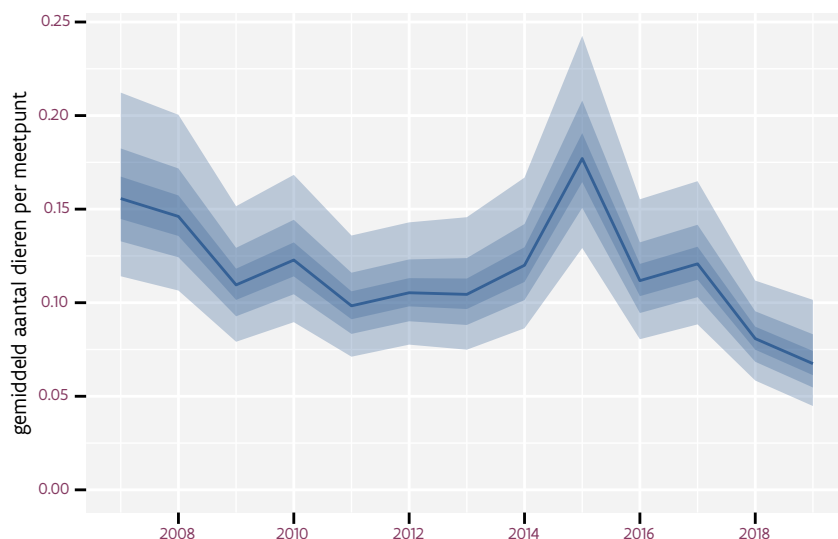
77 RINGMUS

Op basis van driejaarlijkse gegevens zien we gemiddeld een afname met -2.7% (-4.4%; -1.1%) per jaar of -28% (-41%; -12%) over de volledige looptijd van het meetnet. Deze trend is niet-lineair.

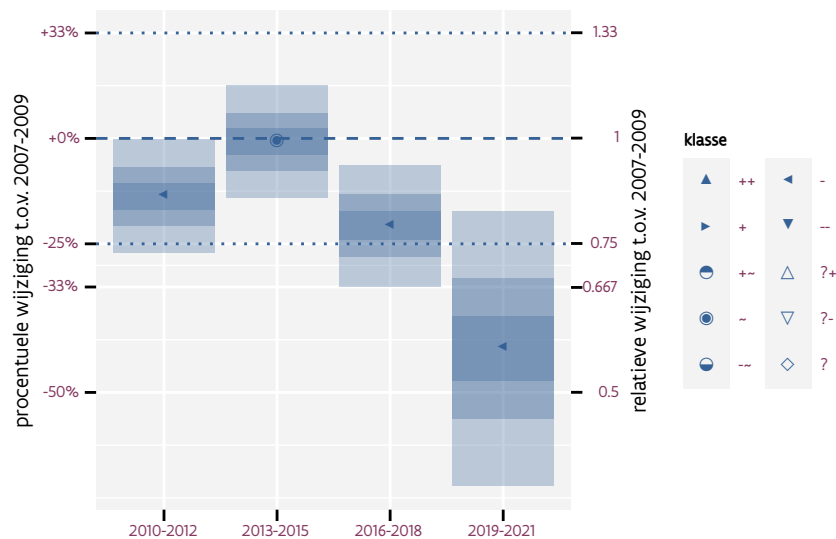
Op basis van jaarlijkse gegevens zien we gemiddeld een afname met -2.7% (-4.3%; -1.0%) per jaar of -28% (-41%; -12%) over de volledige looptijd van het meetnet. Deze trend is niet-lineair.



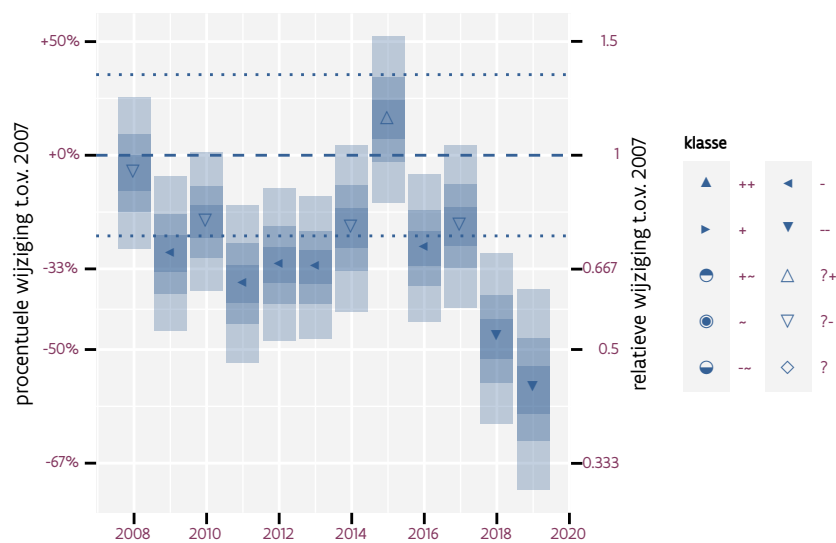
Figuur 77.1: Evolutie van het gemodeleerde gemiddeld aantal waargenomen dieren op een meetpunt voor Ringmus tijdens de referentieperiode. Zie §4.1 voor een verklaring van de intervallen.



Figuur 77.2: Evolutie van het gemodeleerde gemiddeld aantal waargenomen dieren op een meetpunt voor Ringmus tijdens de referentieperiode. Zie §4.1 voor een verklaring van de intervallen.



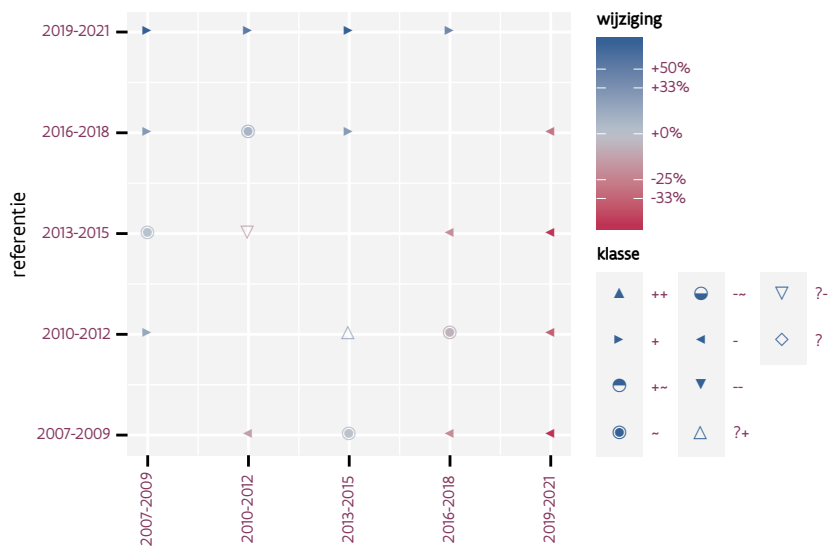
Figuur 77.3: Wijzigingen t.o.v. het eerste driejarige cyclus voor Ringmus. Zie §4.1 voor een verklaring van de intervallen en §4.2 voor uitleg over de symbolen en referentielijnen.



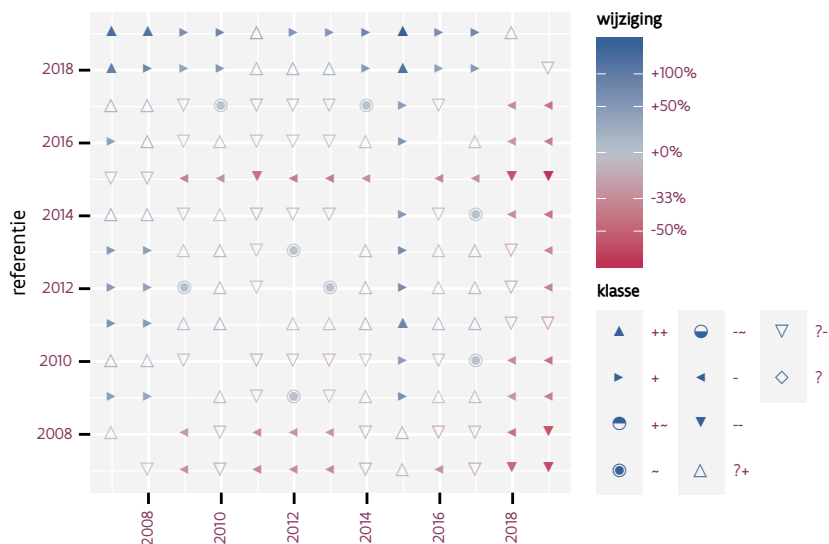
Figuur 77.4: Wijzigingen t.o.v. het eerste jaar voor Ringmus. Zie §4.1 voor een verklaring van de intervallen en §4.2 voor uitleg over de symbolen en referentielijnen.

Tabel 77.1: Stratumgewicht, raming aan het aantal hokken waarin de soort aanwezig is, aantal relevant hokken voor de analyse, aantal onderzochte hokken in het stratum, totaal aantal hokken van het stratum in Vlaanderen en aantal bezoeken aan een meetpunt voor Ringmus (zie §3.5).

stratum	gewicht	aanwezig	relevant	onderzocht	totaal	bezoeken
Landbouw	99.4%	1229.6	83	426	6311	5140
Moeras en water	0.6%	5.1	3	80	137	264



Figuur 77.5: Paarsgewijze vergelijking tussen driejarige cycli voor Ringmus. Uitleg van de symbolen in tabel 4.1.



Figuur 77.6: Paarsgewijze vergelijking tussen jaren voor Ringmus. Uitleg van de symbolen in tabel 4.1.

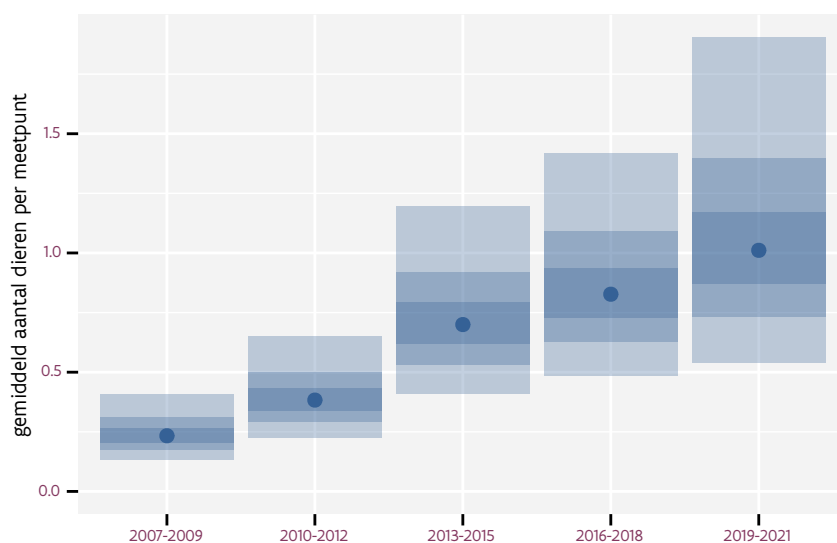
Tabel 77.2: Data-hashes van de analyses in het kader van traceerbaarheid (zie §5.3).

frequentie	model	analyse	status
jaarlijks	lineair	9cb8b331efdb9d36bfb8 d4b8eb72101569b14fa4	15c6d3601ffe35171916 7533211c77399edcbef2
jaarlijks	niet-lineair	bbe3efc75cabb08ce2aa 7f592578606357310bb4	8c10e721be6a0b5f93d2 6a351a2d3b679f4dd878
driejaarlijks	lineair	57f799caf85eafba4bd8 5dd1921184811d639df3	cbb254e0d65e9061c280 167285268932197890b9
driejaarlijks	niet-lineair	d36dfcaa8d5d2927a20a 273f0a47103e89868f18	33d8678bfe52e4b50980 7c36755694594887a7cd

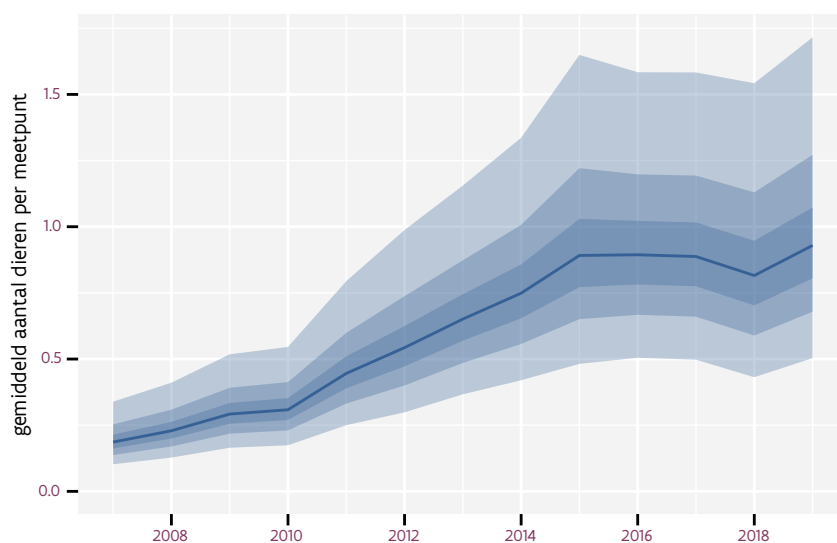
78 ROEK

Op basis van driejaarlijkse gegevens zien we gemiddeld een sterke toename met +16.8% (+12.3%; +21.5%) per jaar of +540% (+300%; +930%) over de volledige looptijd van het meetnet. Deze trend is lineair.

Op basis van jaarlijkse gegevens zien we gemiddeld een sterke toename met +17.7% (+13.1%; +22.4%) per jaar of +604% (+338%; +1033%) over de volledige looptijd van het meetnet. Deze trend is mogelijk niet-lineair.



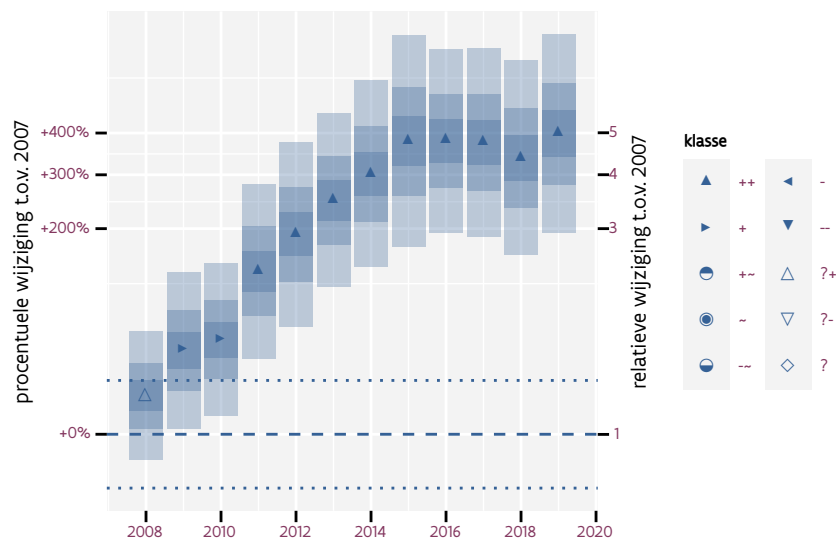
Figuur 78.1: Evolutie van het gemodeleerde gemiddeld aantal waargenomen dieren op een meetpunt voor Roek tijdens de referentieperiode. Zie §4.1 voor een verklaring van de intervallen.



Figuur 78.2: Evolutie van het gemodeleerde gemiddeld aantal waargenomen dieren op een meetpunt voor Roek tijdens de referentieperiode. Zie §4.1 voor een verklaring van de intervallen.



Figuur 78.3: Wijzigingen t.o.v. het eerste driejarige cyclus voor Roek. Zie §4.1 voor een verklaring van de intervallen en §4.2 voor uitleg over de symbolen en referentielijnen.



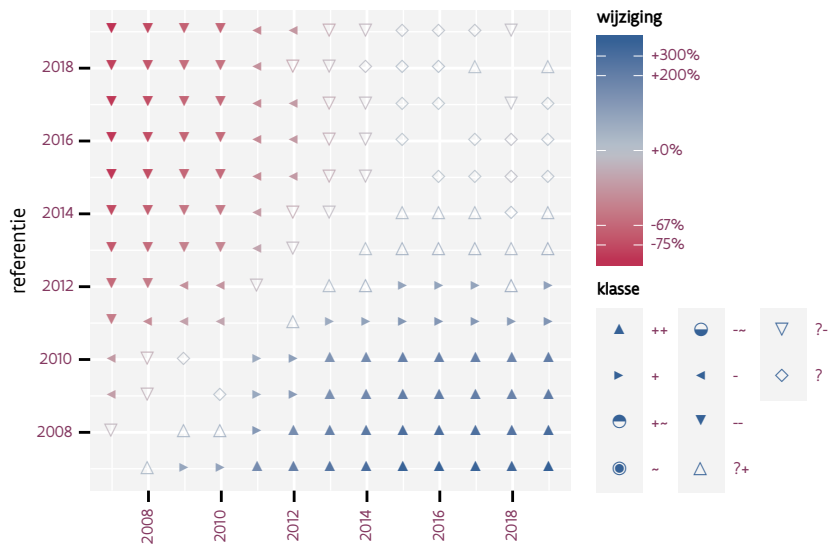
Figuur 78.4: Wijzigingen t.o.v. het eerste jaar voor Roek. Zie §4.1 voor een verklaring van de intervallen en §4.2 voor uitleg over de symbolen en referentielijnen.

Tabel 78.1: Stratumgewicht, raming aan het aantal hokken waarin de soort aanwezig is, aantal relevant hokken voor de analyse, aantal onderzochte hokken in het stratum, totaal aantal hokken van het stratum in Vlaanderen en aantal bezoeken aan een meetpunt voor Roek (zie §3.5).

stratum	gewicht	aanwezig	relevant	onderzocht	totaal	bezoeken
Landbouw	92.0%	385.2	26	426	6311	1600
Urbaan	8.0%	28.7	6	87	416	384



Figuur 78.5: Paarsgewijze vergelijking tussen driejarige cycli voor Roek. Uitleg van de symbolen in tabel 4.1.



Figuur 78.6: Paarsgewijze vergelijking tussen jaren voor Roek. Uitleg van de symbolen in tabel 4.1.

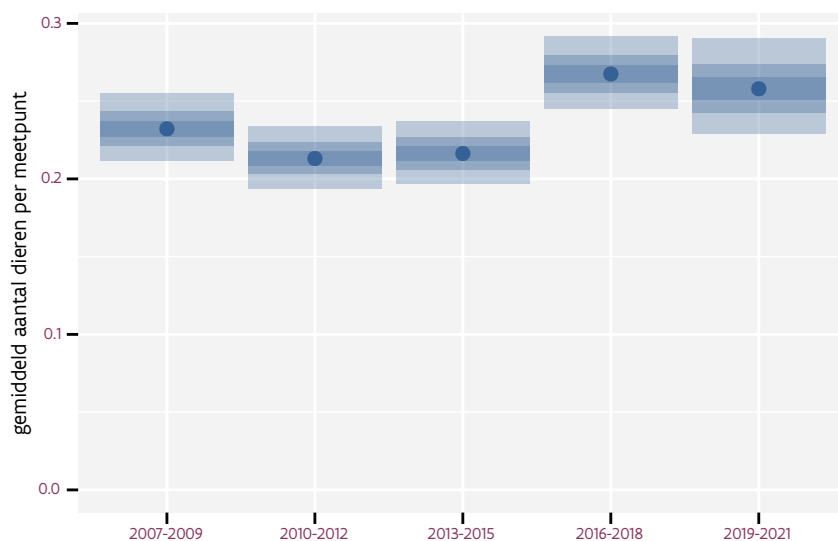
Tabel 78.2: Data-hashes van de analyses in het kader van traceerbaarheid (zie §5.3).

frequentie	model	analyse	status
jaarlijks	lineair	e6db3467daba0f6271f6 4a2a7778ad74cb277c7d	a918e8fc3dc17d952d11 08b38434d3264d014815
jaarlijks	niet-lineair	bdb64666c93bf7a5774 f9311c05434e4002c422	fa166ee5ac85608dc046 2fbadedf791c73ab8451
driejaarlijks	lineair	54f5d1667628d932853a 7a33285b027946832230	97a780e988aabbba11d1a ba09e2bc0479c6f7e86b
driejaarlijks	niet-lineair	8b9811ccf220eaabc30a 340c2778fad512e1e177	5bfc38f298f581797f21 c8bf2fd7b2f8fe5fab19

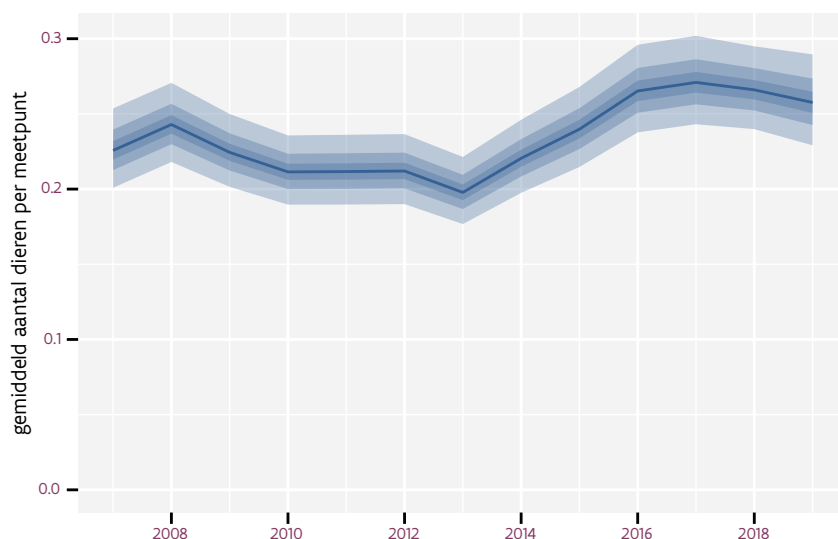
79 ROOBBORST

Op basis van driejaarlijkse gegevens zien we gemiddeld een matige toename met +1.5% (+0.8%; +2.2%) per jaar of +19% (+10%; +30%) over de volledige looptijd van het meetnet. Deze trend is niet-lineair.

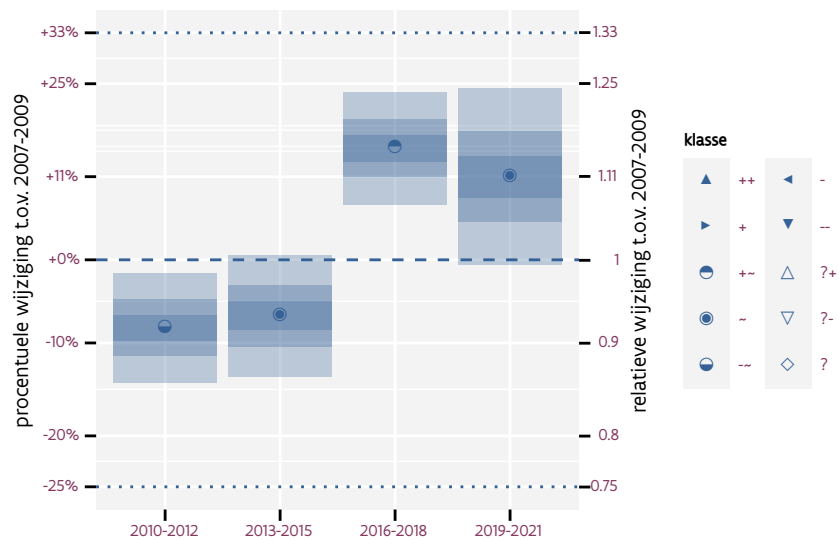
Op basis van jaarlijkse gegevens zien we gemiddeld een matige toename met +1.6% (+0.9%; +2.3%) per jaar of +20% (+11%; +31%) over de volledige looptijd van het meetnet. Deze trend is niet-lineair.



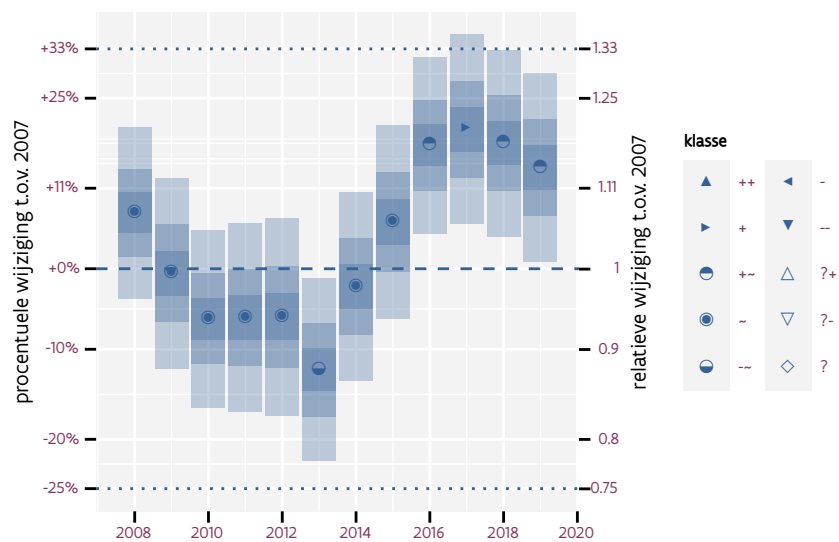
Figuur 79.1: Evolutie van het gemodeleerde gemiddeld aantal waargenomen dieren op een meetpunt voor Roodborst tijdens de referentieperiode. Zie §4.1 voor een verklaring van de intervallen.



Figuur 79.2: Evolutie van het gemodeleerde gemiddeld aantal waargenomen dieren op een meetpunt voor Roodborst tijdens de referentieperiode. Zie §4.1 voor een verklaring van de intervallen.



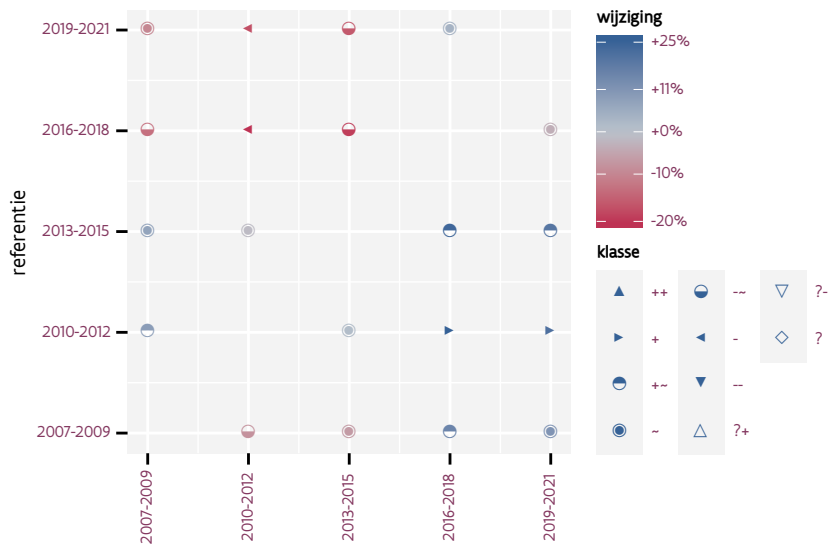
Figuur 79.3: Wijzigingen t.o.v. het eerste driejarige cyclus voor Roodborst. Zie §4.1 voor een verklaring van de intervallen en §4.2 voor uitleg over de symbolen en referentielijnen.



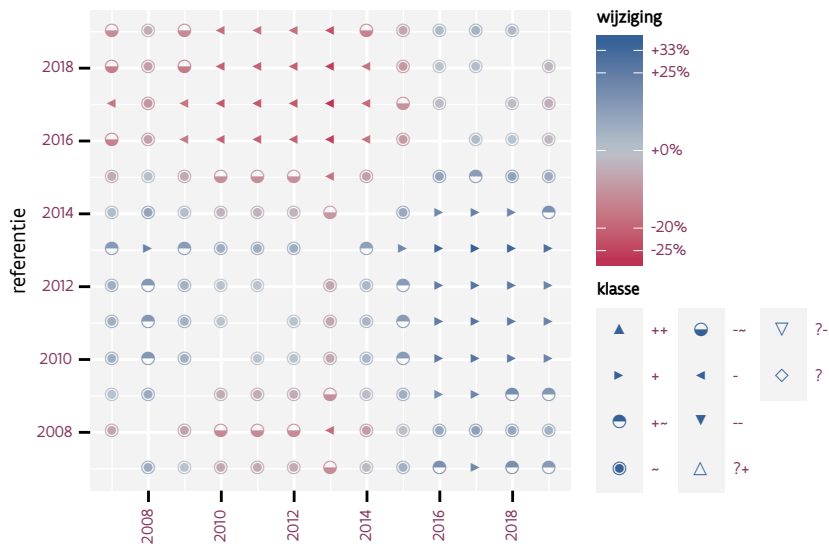
Figuur 79.4: Wijzigingen t.o.v. het eerste jaar voor Roodborst. Zie §4.1 voor een verklaring van de intervallen en §4.2 voor uitleg over de symbolen en referentielijnen.

Tabel 79.1: Stratumgewicht, raming aan het aantal hokken waarin de soort aanwezig is, aantal relevant hokken voor de analyse, aantal onderzochte hokken in het stratum, totaal aantal hokken van het stratum in Vlaanderen en aantal bezoeken aan een meetpunt voor Roodborst (zie §3.5).

stratum	gewicht	aanwezig	relevant	onderzocht	totaal	bezoeken
Landbouw	75.3%	2696.2	182	426	6311	11078
Urbaan	8.1%	286.9	60	87	416	3572
Bos	6.4%	231.7	138	190	319	8276
Heide en duin	4.3%	153.1	70	91	199	4205
Suburbaan	3.4%	118.2	40	68	201	2338
Moeras en water	2.4%	85.6	50	80	137	2919



Figuur 79.5: Paarsgewijze vergelijking tussen driejarige cycli voor Roodborst. Uitleg van de symbolen in tabel 4.1.



Figuur 79.6: Paarsgewijze vergelijking tussen jaren voor Roodborst. Uitleg van de symbolen in tabel 4.1.

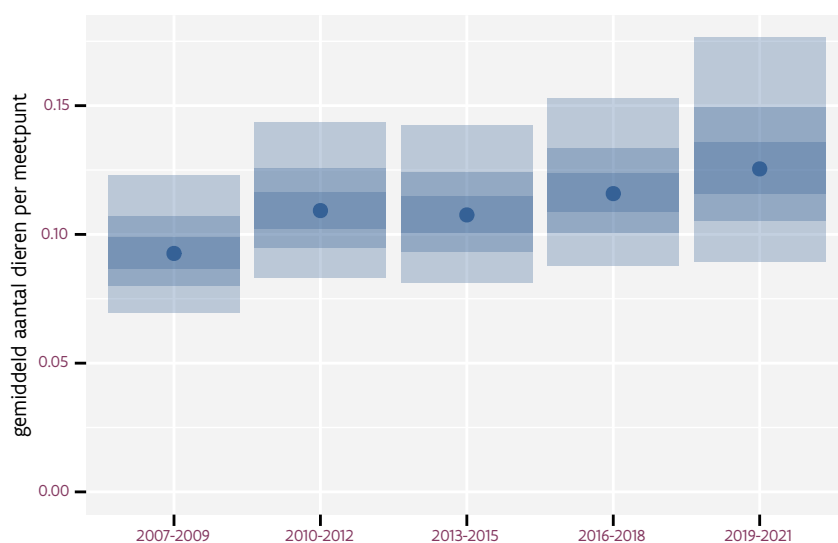
Tabel 79.2: Data-hashes van de analyses in het kader van traceerbaarheid (zie §5.3).

frequentie	model	analyse	status
jaarlijks	lineair	df1a148a5bd6acce6580 8af6c3aa108fbf2cddbe	35bae4d083dbdd173313 6ca8879833f0cd2570dd
jaarlijks	niet-lineair	247d0b0f5cb86fd50150 3c6d1c42ae09a4b4caf9	b052fecdd3d35f248f19e 97b26a77b7fbc5142d7d
driejaarlijks	lineair	28512b7cccac7a4dbb10 fe32dc08999c45cf2317	e96baef0e973e013637a d3845635315ea7f11100
driejaarlijks	niet-lineair	83e9dc7579c7e3f01365 1cfca5cbb97ac7b424c5	8f7064ff197be5c24ff0 968cf34c255865a76289

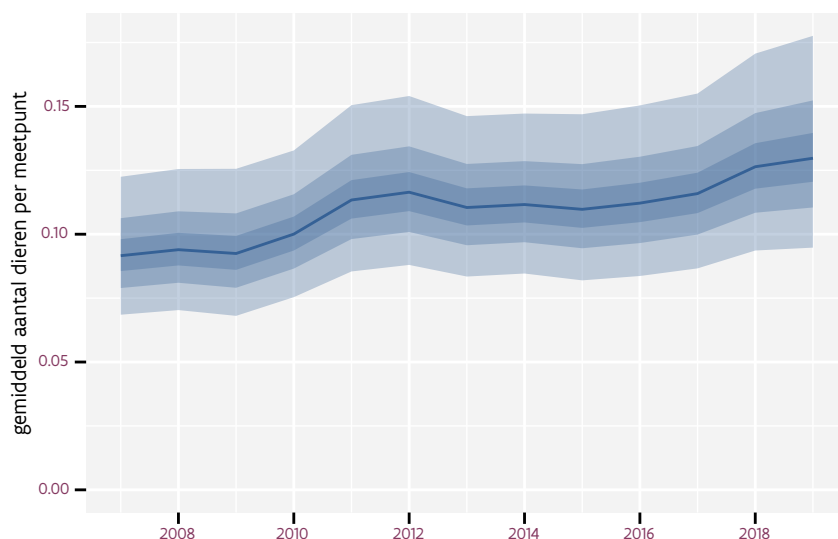
80 ROOBBORSTTAPUIT

Op basis van driejaarlijkse gegevens zien we gemiddeld een toename met +2.5% (+0.4%; +4.6%) per jaar of +34% (+4%; +72%) over de volledige looptijd van het meetnet. Deze trend is niet-lineair.

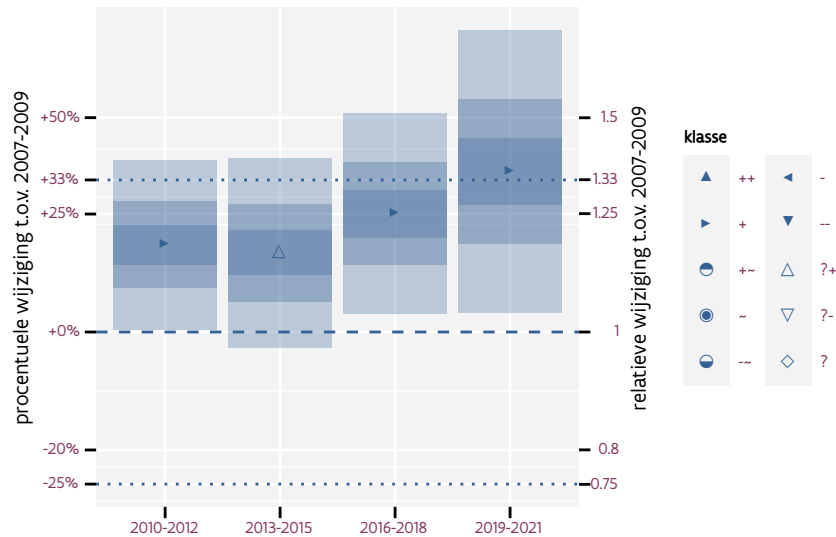
Op basis van jaarlijkse gegevens zien we gemiddeld een toename met +2.7% (+0.6%; +4.8%) per jaar of +37% (+7%; +76%) over de volledige looptijd van het meetnet. Deze trend is niet-lineair.



Figuur 80.1: Evolutie van het gemodeleerde gemiddeld aantal waargenomen dieren op een meetpunt voor Roodborsttapuit tijdens de referentieperiode. Zie §4.1 voor een verklaring van de intervallen.



Figuur 80.2: Evolutie van het gemodeleerde gemiddeld aantal waargenomen dieren op een meetpunt voor Roodborsttapuit tijdens de referentieperiode. Zie §4.1 voor een verklaring van de intervallen.



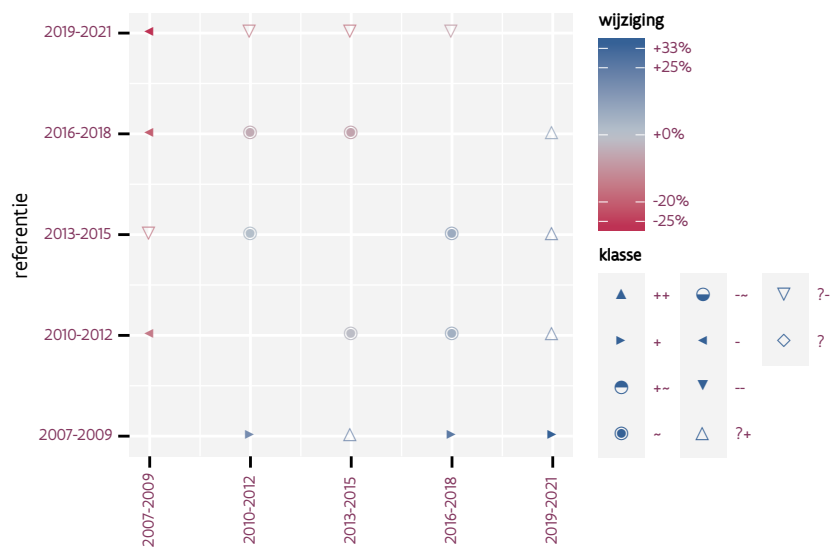
Figuur 80.3: Wijzigingen t.o.v. het eerste driejarige cyclus voor Roodborsttapuit. Zie §4.1 voor een verklaring van de intervallen en §4.2 voor uitleg over de symbolen en referentielijnen.



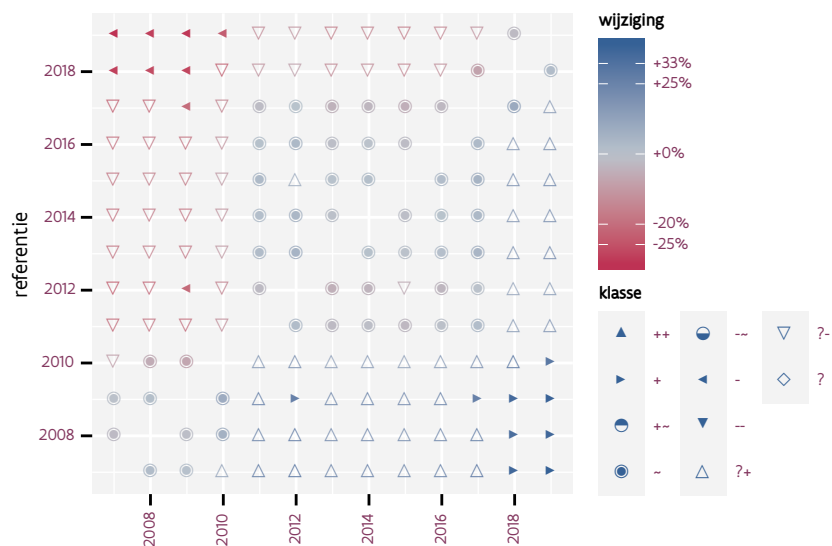
Figuur 80.4: Wijzigingen t.o.v. het eerste jaar voor Roodborsttapuit. Zie §4.1 voor een verklaring van de intervallen en §4.2 voor uitleg over de symbolen en referentielijnen.

Tabel 80.1: Stratumgewicht, raming aan het aantal hokken waarin de soort aanwezig is, aantal relevant hokken voor de analyse, aantal onderzochte hokken in het stratum, totaal aantal hokken van het stratum in Vlaanderen en aantal bezoeken aan een meetpunt voor Roodborsttapuit (zie §3.5).

stratum	gewicht	aanwezig	relevant	onderzocht	totaal	bezoeken
Landbouw	77.1%	429.6	29	426	6311	1950
Heide en duin	16.7%	96.2	44	91	199	2896
Moeras en water	2.1%	10.3	6	80	137	401
Suburbaan	2.1%	8.9	3	68	201	148
Bos	2.0%	10.1	6	190	319	492



Figuur 80.5: Paarsgewijze vergelijking tussen driejarige cycli voor Roodborsttapuit. Uitleg van de symbolen in tabel 4.1.



Figuur 80.6: Paarsgewijze vergelijking tussen jaren voor Roodborsttapuit. Uitleg van de symbolen in tabel 4.1.

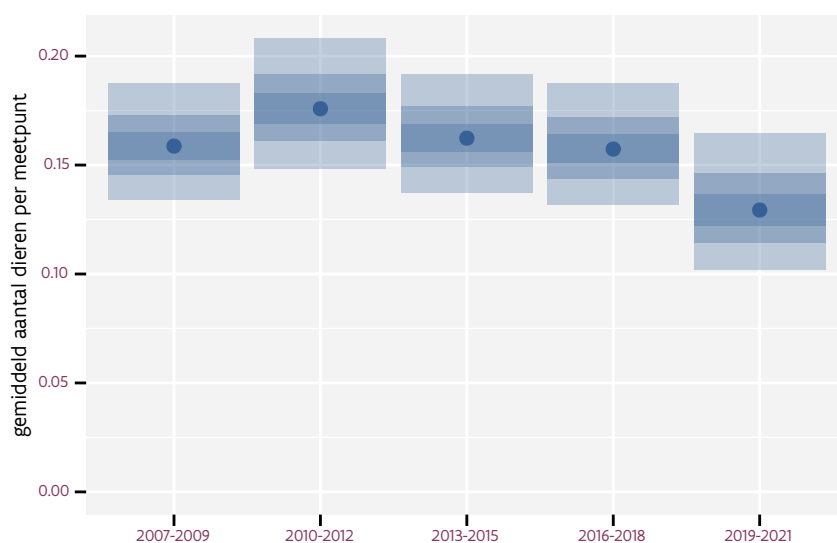
Tabel 80.2: Data-hashes van de analyses in het kader van traceerbaarheid (zie §5.3).

frequentie	model	analyse	status
jaarlijks	lineair	ea8159803d6aca190e91 21064378108757fa2bb2	460127e2f6010a2fc73b fd087c4afc23ec587894
jaarlijks	niet-lineair	c6e6d46bffc81da97df9 1b95bcf60e60fc45e9bf	c718a867f3e9008e9c53 3659e2c54344c7f636df
driejaarlijks	lineair	f918b118c87ce1a18d3d 1604212a80a1a2fd4190	666b3b9e580f543ea4cb 9cf6969de63bd3a85216
driejaarlijks	niet-lineair	d5537e57ebbf11c3c3d4 d31bee32ce9c14932c52	e0386d9d9df53b483d7c d2797c2407c643ef37a9

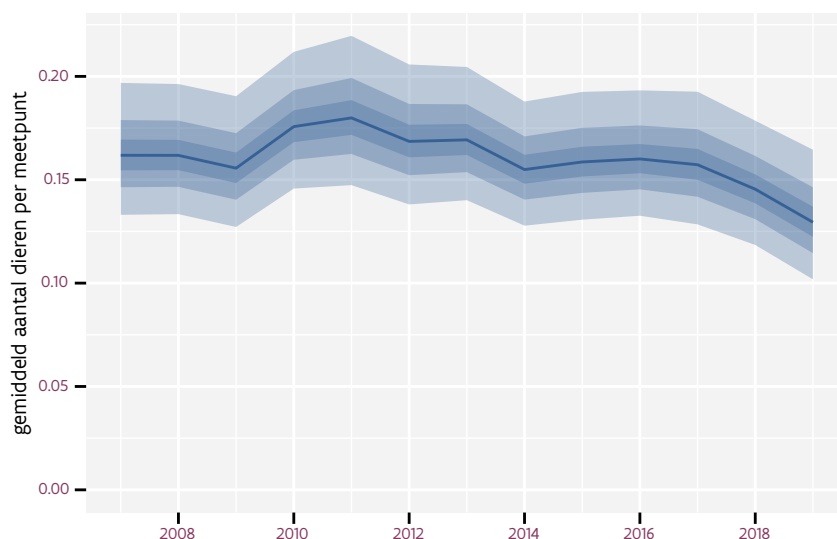
81 SCHOLEKSTER

Op basis van driejaarlijkse gegevens zien we gemiddeld een stabiele trend van -1.2% (-2.3%; +0.1%) per jaar of -13% (-25%; +1%) over de volledige looptijd van het meetnet. Deze trend is niet-lineair.

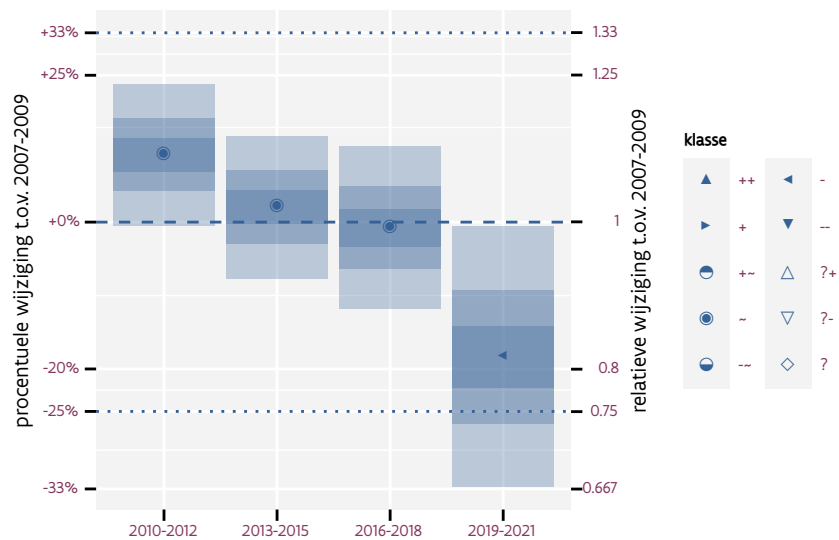
Op basis van jaarlijkse gegevens zien we gemiddeld een afname met -1.3% (-2.5%; -0.1%) per jaar of -14% (-26%; -1%) over de volledige looptijd van het meetnet. Deze trend is niet-lineair.



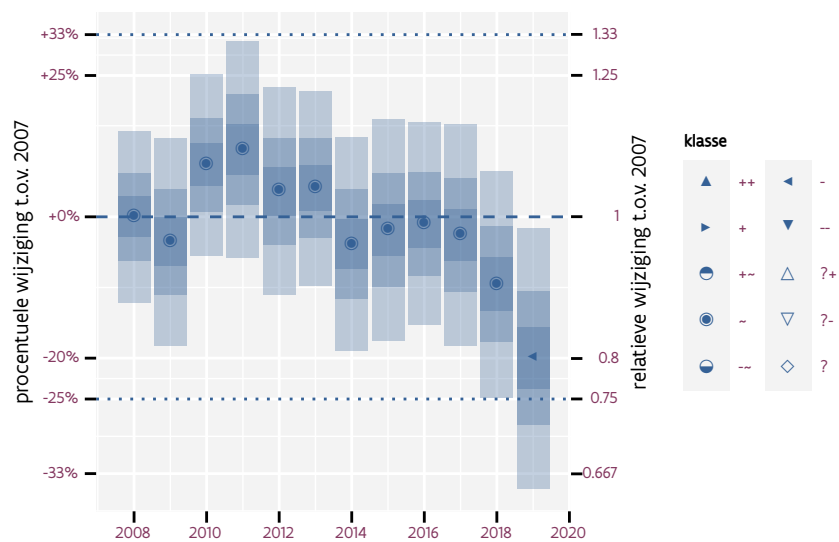
Figuur 81.1: Evolutie van het gemodeleerde gemiddeld aantal waargenomen dieren op een meetpunt voor Scholekster tijdens de referentieperiode. Zie §4.1 voor een verklaring van de intervallen.



Figuur 81.2: Evolutie van het gemodeleerde gemiddeld aantal waargenomen dieren op een meetpunt voor Scholekster tijdens de referentieperiode. Zie §4.1 voor een verklaring van de intervallen.



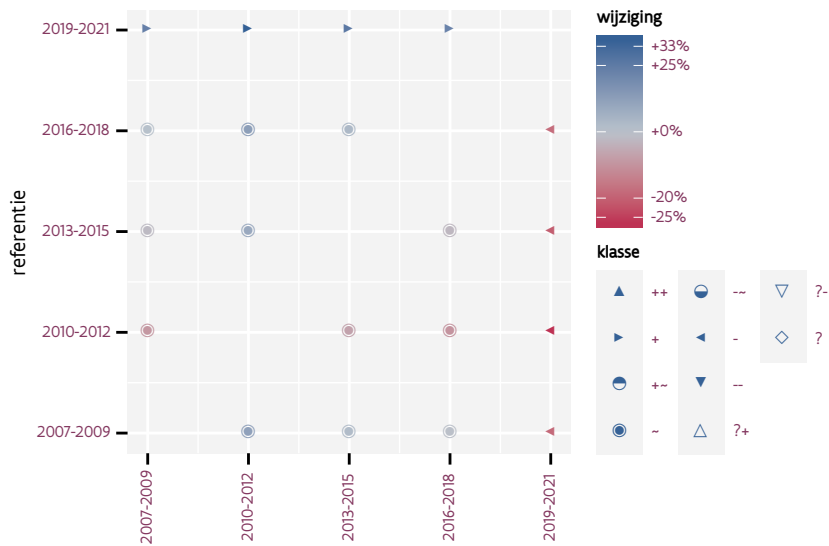
Figuur 81.3: Wijzigingen t.o.v. het eerste driejarige cyclus voor Scholekster. Zie §4.1 voor een verklaring van de intervallen en §4.2 voor uitleg over de symbolen en referentielijnen.



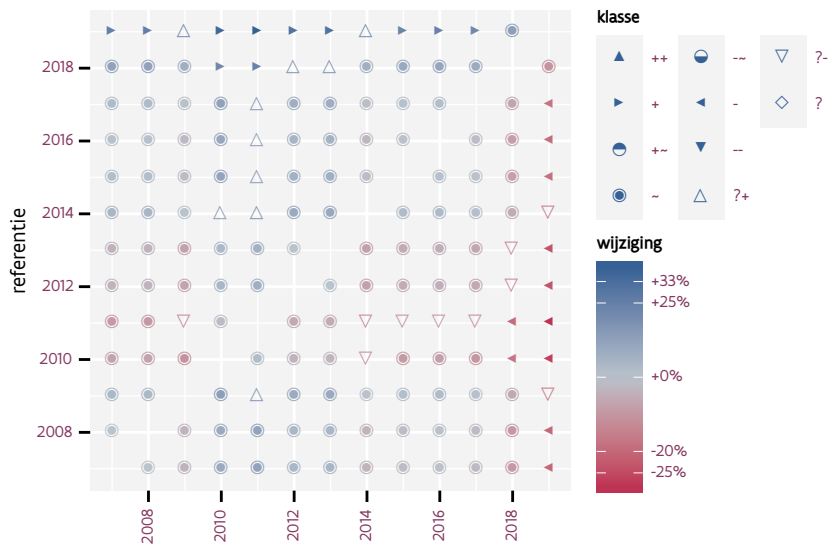
Figuur 81.4: Wijzigingen t.o.v. het eerste jaar voor Scholekster. Zie §4.1 voor een verklaring van de intervallen en §4.2 voor uitleg over de symbolen en referentielijnen.

Tabel 81.1: Stratumgewicht, raming aan het aantal hokken waarin de soort aanwezig is, aantal relevant hokken voor de analyse, aantal onderzochte hokken in het stratum, totaal aantal hokken van het stratum in Vlaanderen en aantal bezoeken aan een meetpunt voor Scholekster (zie §3.5).

stratum	gewicht	aanwezig	relevant	onderzocht	totaal	bezoeken
Landbouw	93.8%	1940.7	131	426	6311	8078
Suburbaan	2.1%	41.4	14	68	201	805
Moeras en water	1.7%	34.2	20	80	137	1249
Heide en duin	1.0%	17.5	8	91	199	684
Urbaan	0.9%	14.3	3	87	416	276
Bos	0.4%	6.7	4	190	319	291



Figuur 81.5: Paarsgewijze vergelijking tussen driejarige cycli voor Scholekster. Uitleg van de symbolen in tabel 4.1.



Figuur 81.6: Paarsgewijze vergelijking tussen jaren voor Scholekster. Uitleg van de symbolen in tabel 4.1.

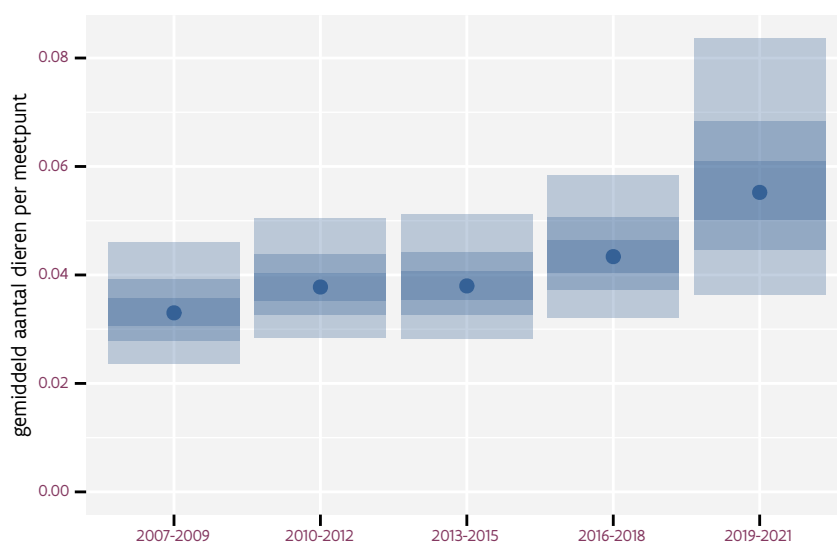
Tabel 81.2: Data-hashes van de analyses in het kader van traceerbaarheid (zie §5.3).

frequentie	model	analyse	status
jaarlijks	lineair	bdf777e9b6a1a3914d4e 4dca56bcc2c9c0cc340	d65f7c5992cd179bbb19 50a35acce626dc4fde46
jaarlijks	niet-lineair	ea8978e1aff4eded28e5 ae96f752d9d29faa7711	d999dadd981388c9ce05 382d9d5b25c27c11075d
driejaarlijks	lineair	abbbde3f0363145438d5 bf3c0a9416d502d5a31a	6631a2b508e01be2c9fe 0b6bd4a1bcb382f80bd2
driejaarlijks	niet-lineair	35dfe10cd400f7a35250 ba4d0cc355f9de230bc3	87fa65625d268fe01331 1846ded06b77af6b5449

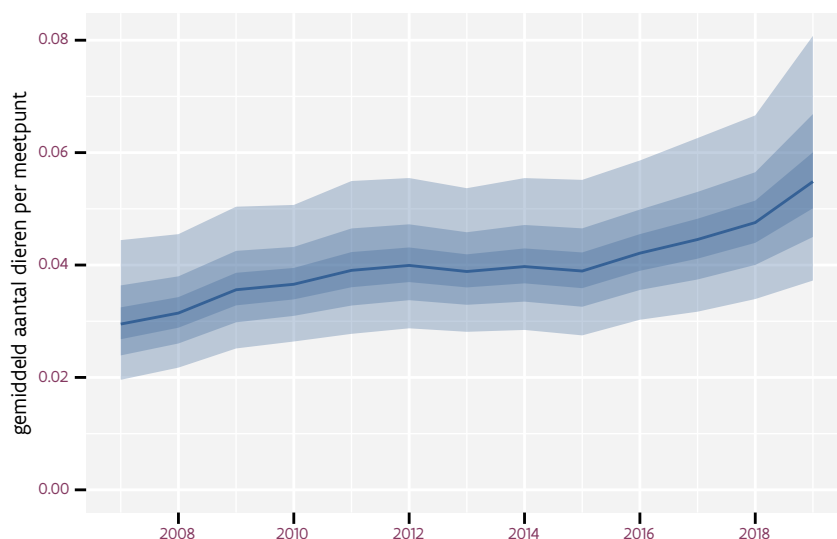
82 SPERWER

Op basis van driejaarlijkse gegevens zien we gemiddeld een toename met +5.1% (+1.2%; +9.1%) per jaar of +81% (+15%; +186%) over de volledige looptijd van het meetnet. Deze trend is lineair.

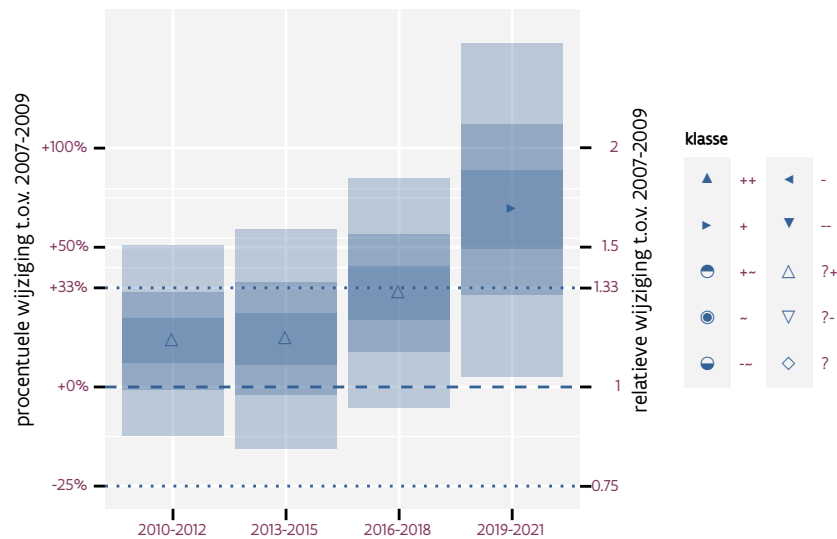
Op basis van jaarlijkse gegevens zien we gemiddeld een toename met +5.3% (+1.3%; +9.4%) per jaar of +85% (+17%; +194%) over de volledige looptijd van het meetnet. Deze trend is lineair.



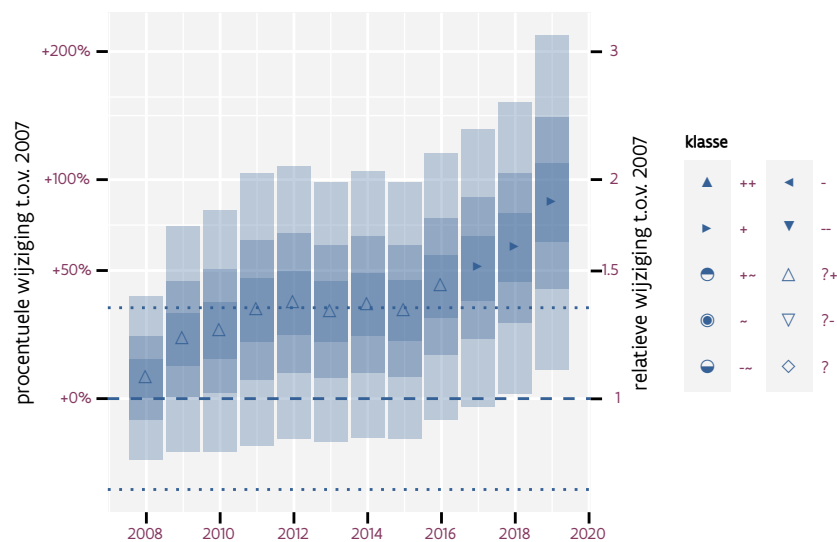
Figuur 82.1: Evolutie van het gemodeleerde gemiddeld aantal waargenomen dieren op een meetpunt voor Sperwer tijdens de referentieperiode. Zie §4.1 voor een verklaring van de intervallen.



Figuur 82.2: Evolutie van het gemodeleerde gemiddeld aantal waargenomen dieren op een meetpunt voor Sperwer tijdens de referentieperiode. Zie §4.1 voor een verklaring van de intervallen.



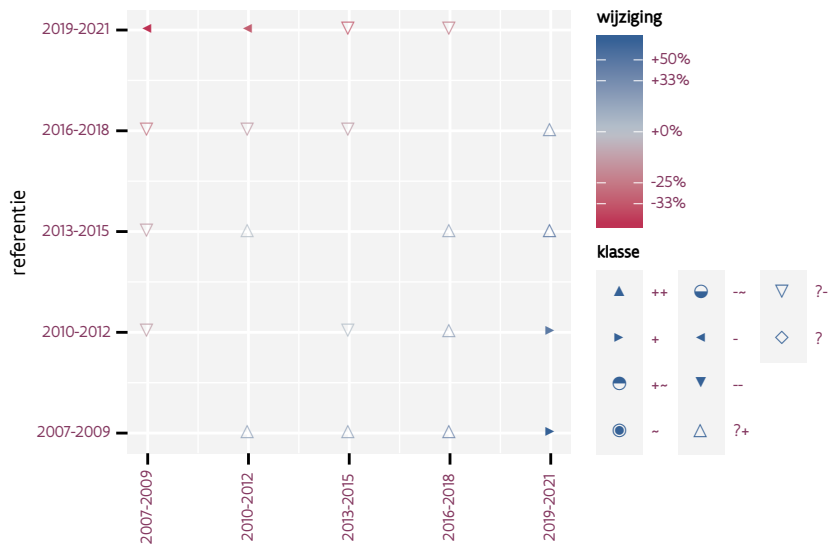
Figuur 82.3: Wijzigingen t.o.v. het eerste driejarige cyclus voor Sperwer. Zie §4.1 voor een verklaring van de intervallen en §4.2 voor uitleg over de symbolen en referentielijnen.



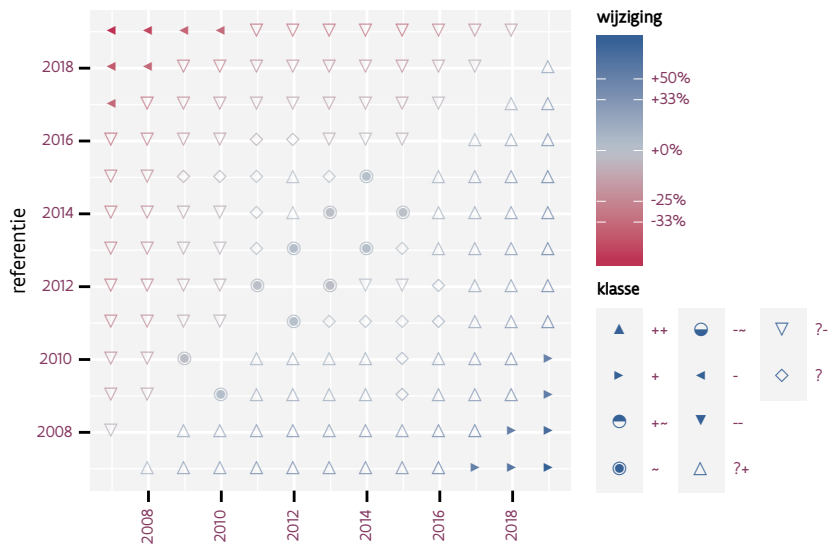
Figuur 82.4: Wijzigingen t.o.v. het eerste jaar voor Sperwer. Zie §4.1 voor een verklaring van de intervallen en §4.2 voor uitleg over de symbolen en referentielijnen.

Tabel 82.1: Stratumgewicht, raming aan het aantal hokken waarin de soort aanwezig is, aantal relevant hokken voor de analyse, aantal onderzochte hokken in het stratum, totaal aantal hokken van het stratum in Vlaanderen en aantal bezoeken aan een meetpunt voor Sperwer (zie §3.5).

stratum	gewicht	aanwezig	relevant	onderzocht	totaal	bezoeken
Landbouw	85.5%	444.4	30	426	6311	2082
Urbaan	5.5%	23.9	5	87	416	366
Bos	3.9%	18.5	11	190	319	968
Moeras en water	3.0%	13.7	8	80	137	504
Heide en duin	2.1%	8.7	4	91	199	207



Figuur 82.5: Paarsgewijze vergelijking tussen driejarige cycli voor Sperwer. Uitleg van de symbolen in tabel 4.1.



Figuur 82.6: Paarsgewijze vergelijking tussen jaren voor Sperwer. Uitleg van de symbolen in tabel 4.1.

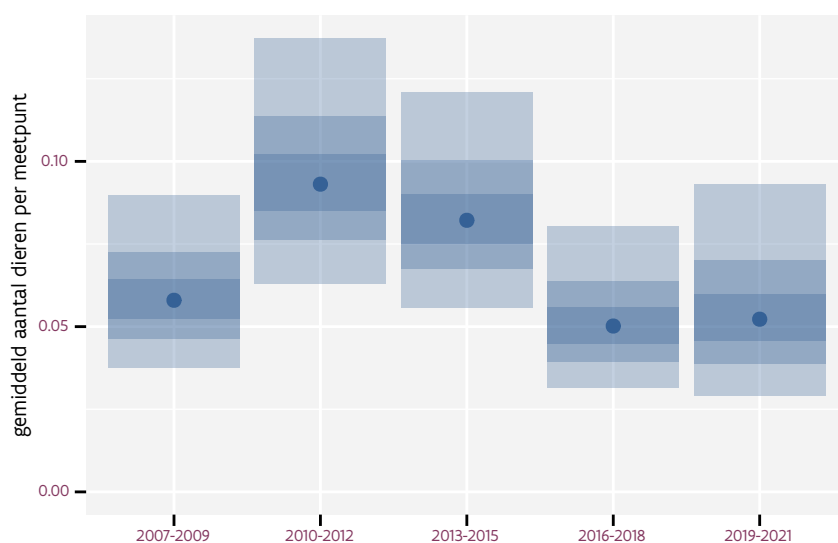
Tabel 82.2: Data-hashes van de analyses in het kader van traceerbaarheid (zie §5.3).

frequentie	model	analyse	status
jaarlijks	lineair	efe08cdbf259399728a2 b410dae3bd2cfe581b7e	85d930d2aef7b09c0372 4a0176d17b455299e379
jaarlijks	niet-lineair	ceb5254ef9c6e226fbd2 a756dc52886f985878df	17dd41eec7b4b38f296c 108cc5d43ab352dfc8a9
driejaarlijks	lineair	85ea9046b9d9c812d254 76db4b3863aa61f0b331	d9555588076120b6f4c0 77040d1d2c2ca778eee0
driejaarlijks	niet-lineair	1cf069cd1ce479bb8254 0979e65e4b7b04ce9dc5	0e81fe45d6eb67af3256 7b9f7f598d08a4100863

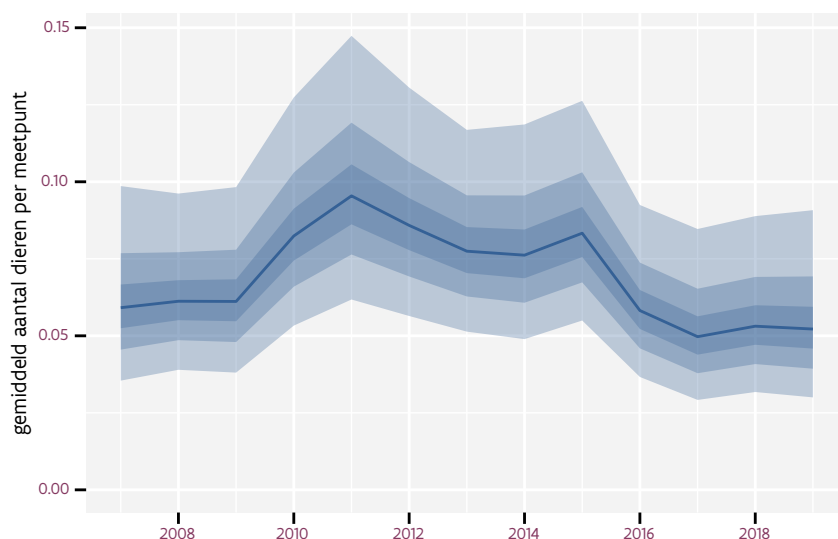
83 SPOTVOGEL

Op basis van driejaarlijkse gegevens zien we gemiddeld een mogelijk afname met -2.8% (-7.1%; +1.8%) per jaar of -29% (-59%; +24%) over de volledige looptijd van het meetnet. Deze trend is niet-lineair.

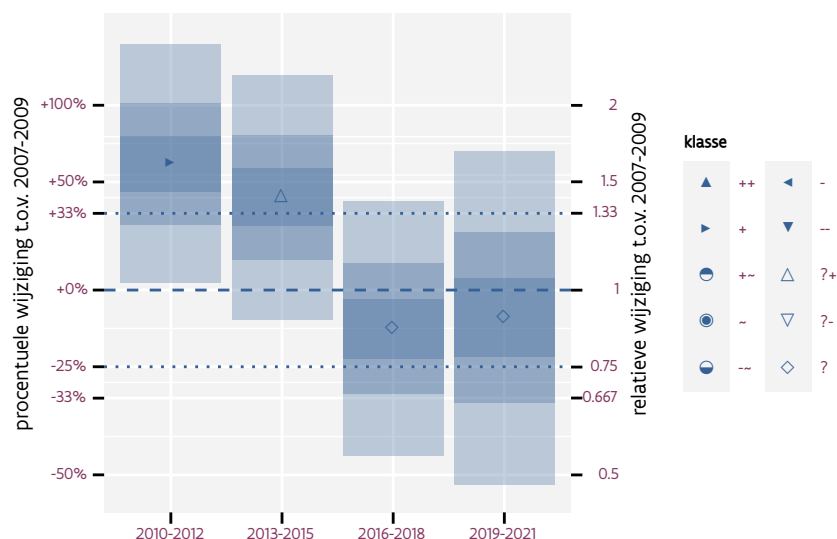
Op basis van jaarlijkse gegevens zien we gemiddeld een mogelijk afname met -2.3% (-6.7%; +2.4%) per jaar of -24% (-57%; +33%) over de volledige looptijd van het meetnet. Deze trend is niet-lineair.



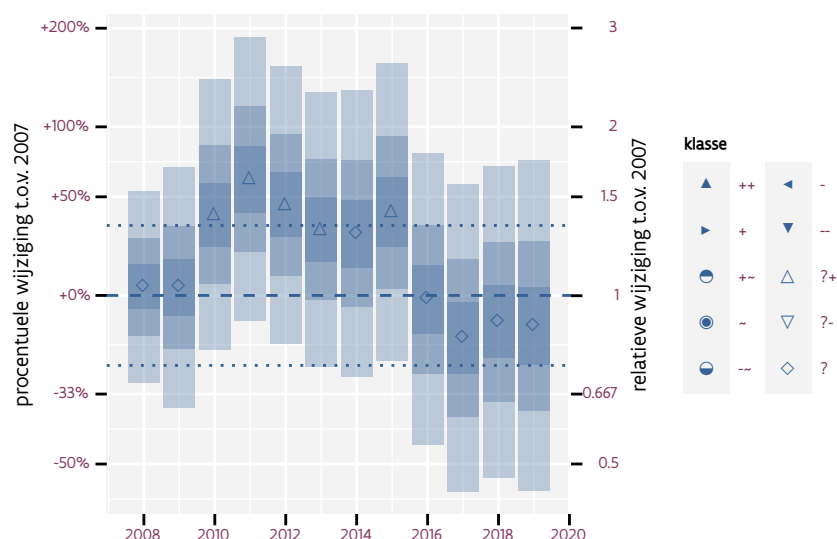
Figuur 83.1: Evolutie van het gemodeleerde gemiddeld aantal waargenomen dieren op een meetpunt voor Spotvogel tijdens de referentieperiode. Zie §4.1 voor een verklaring van de intervallen.



Figuur 83.2: Evolutie van het gemodeleerde gemiddeld aantal waargenomen dieren op een meetpunt voor Spotvogel tijdens de referentieperiode. Zie §4.1 voor een verklaring van de intervallen.



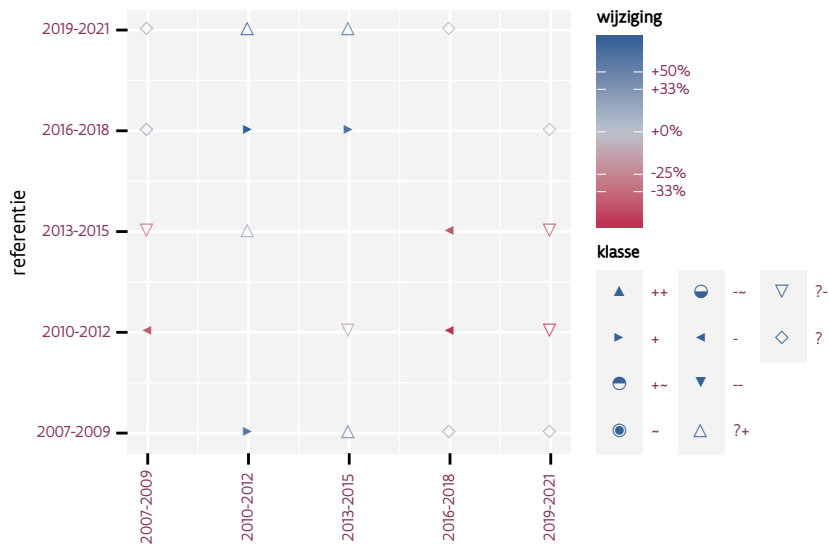
Figuur 83.3: Wijzigingen t.o.v. het eerste driejarige cyclus voor Spotvogel. Zie §4.1 voor een verklaring van de intervallen en §4.2 voor uitleg over de symbolen en referentielijnen.



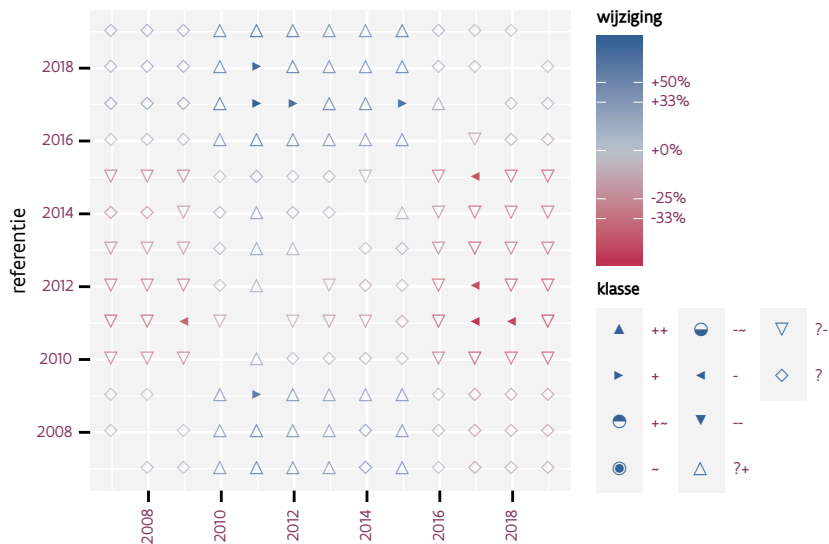
Figuur 83.4: Wijzigingen t.o.v. het eerste jaar voor Spotvogel. Zie §4.1 voor een verklaring van de intervallen en §4.2 voor uitleg over de symbolen en referentielijnen.

Tabel 83.1: Stratumgewicht, raming aan het aantal hokken waarin de soort aanwezig is, aantal relevant hokken voor de analyse, aantal onderzochte hokken in het stratum, totaal aantal hokken van het stratum in Vlaanderen en aantal bezoeken aan een meetpunt voor Spotvogel (zie §3.5).

stratum	gewicht	aanwezig	relevant	onderzocht	totaal	bezoeken
Landbouw	94.5%	340.7	23	426	6311	1044
Heide en duin	3.6%	10.9	5	91	199	246
Moeras en water	1.9%	5.1	3	80	137	162



Figuur 83.5: Paarsgewijze vergelijking tussen driejarige cycli voor Spotvogel. Uitleg van de symbolen in tabel 4.1.



Figuur 83.6: Paarsgewijze vergelijking tussen jaren voor Spotvogel. Uitleg van de symbolen in tabel 4.1.

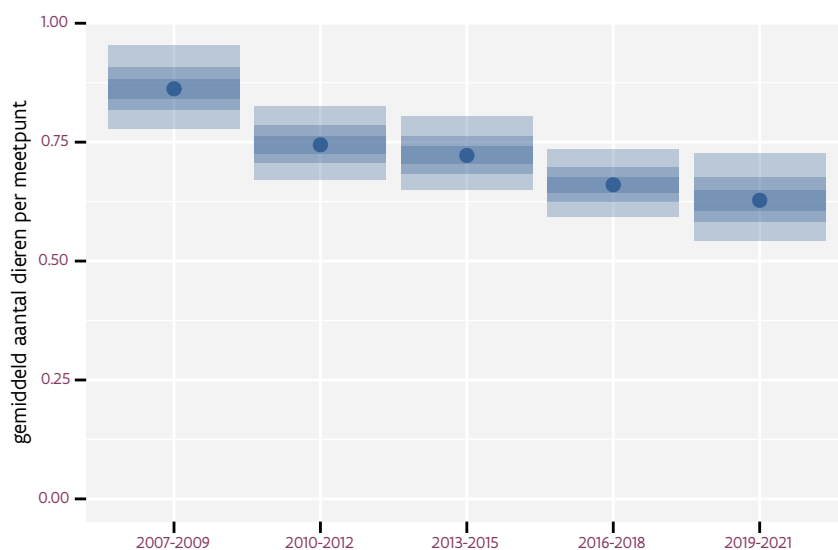
Tabel 83.2: Data-hashes van de analyses in het kader van traceerbaarheid (zie §5.3).

frequentie	model	analyse	status
jaarlijks	lineair	c36ea5959752b0d9493f fa53f6ed015cf640c94f	61e3fad29d9a1907296b 8ff49cc1fc9d942508cf
jaarlijks	niet-lineair	419188db65c1890cbff5 90584567afd116936454	37a7e8ebe13456869965 99388be9e1df10a27f51
driejaarlijks	lineair	3d3cd85c2e72d306d769 b8e6a57a11fa0ed8707b	6e6e452fd015d1effea0 77b7d45d46aceff37417
driejaarlijks	niet-lineair	e5ea34613c508bca52b4 3b8db3cc9a0671e14ee0	ce86935f0d4bf0a2a4ca 8b9683b4490b71dd563f

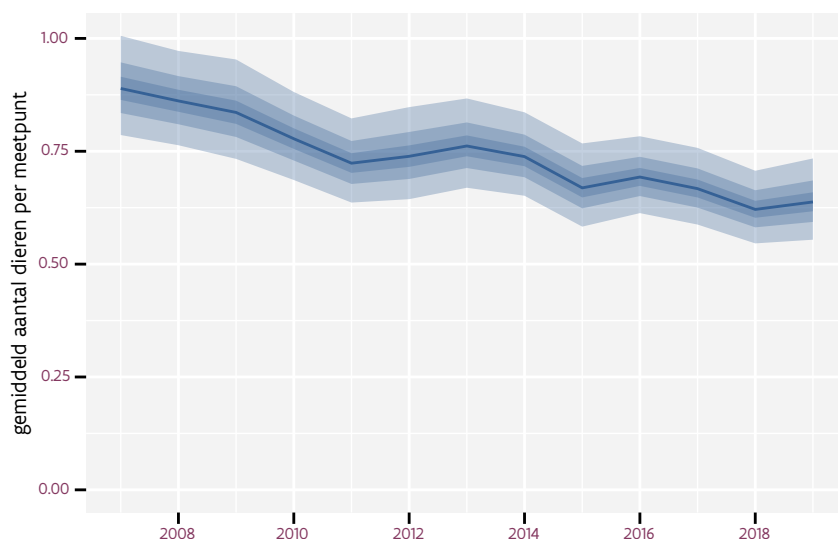
84 SPREEUW

Op basis van driejaarlijkse gegevens zien we gemiddeld een afname met -2.8% (-3.6%; -2.0%) per jaar of -29% (-35%; -22%) over de volledige looptijd van het meetnet. Deze trend is lineair.

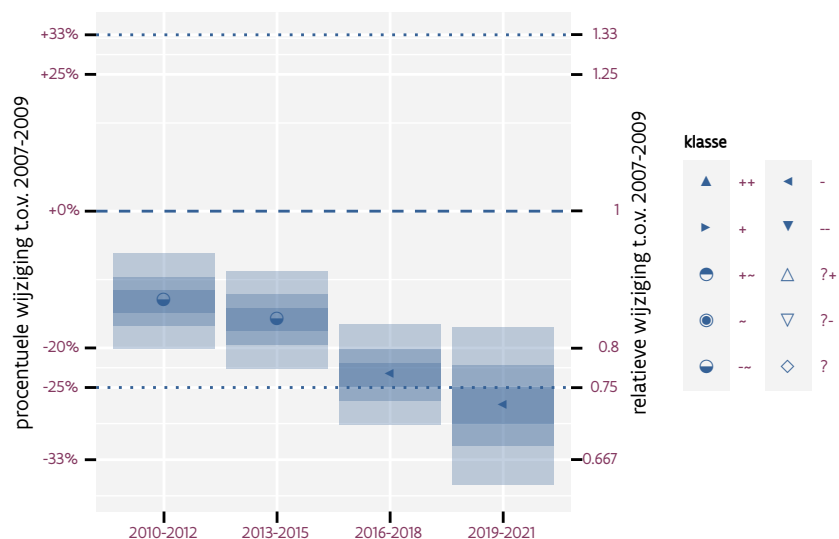
Op basis van jaarlijkse gegevens zien we gemiddeld een afname met -2.9% (-3.6%; -2.1%) per jaar of -30% (-36%; -22%) over de volledige looptijd van het meetnet. Deze trend is niet-lineair.



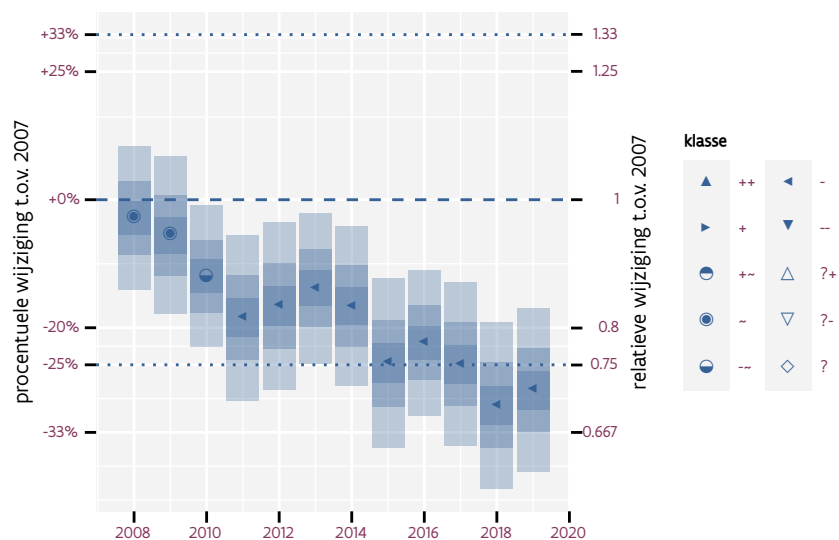
Figuur 84.1: Evolutie van het gemodeleerde gemiddeld aantal waargenomen dieren op een meetpunt voor Spreeuw tijdens de referentieperiode. Zie §4.1 voor een verklaring van de intervallen.



Figuur 84.2: Evolutie van het gemodeleerde gemiddeld aantal waargenomen dieren op een meetpunt voor Spreeuw tijdens de referentieperiode. Zie §4.1 voor een verklaring van de intervallen.



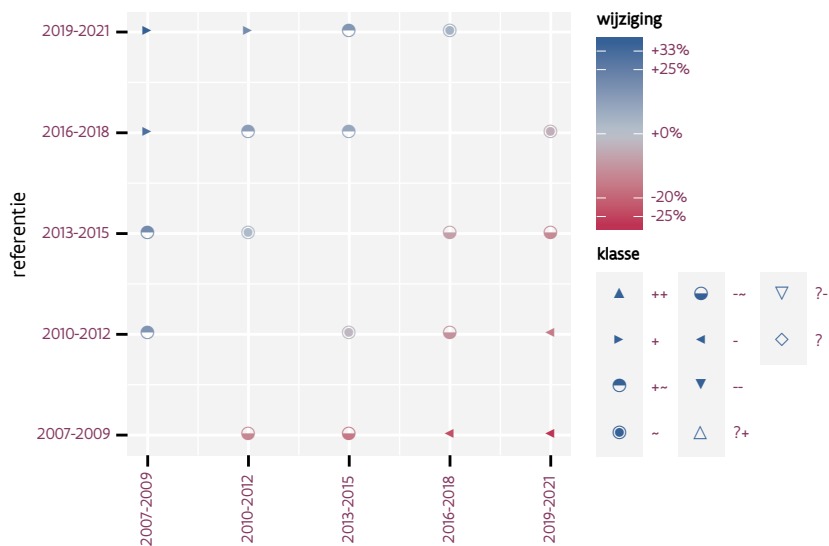
Figuur 84.3: Wijzigingen t.o.v. het eerste driejarige cyclus voor Spreeuw. Zie §4.1 voor een verklaring van de intervallen en §4.2 voor uitleg over de symbolen en referentielijnen.



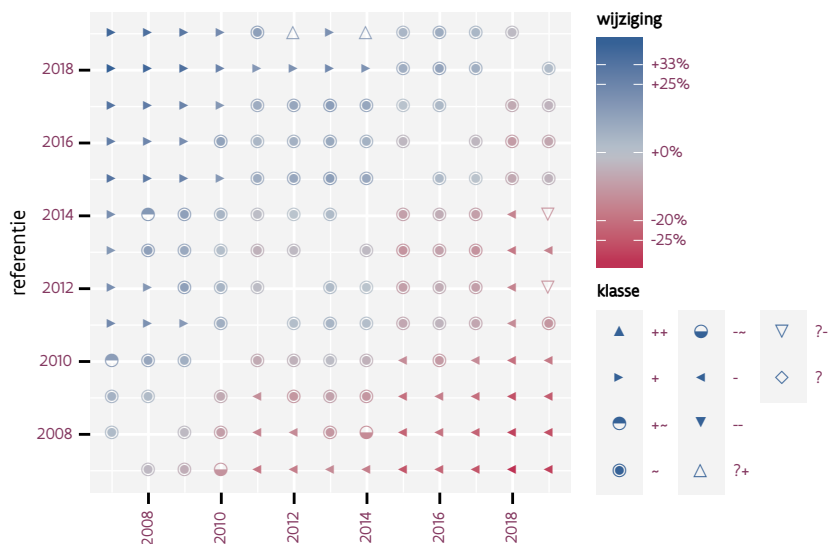
Figuur 84.4: Wijzigingen t.o.v. het eerste jaar voor Spreeuw. Zie §4.1 voor een verklaring van de intervallen en §4.2 voor uitleg over de symbolen en referentielijnen.

Tabel 84.1: Stratumgewicht, raming aan het aantal hokken waarin de soort aanwezig is, aantal relevant hokken voor de analyse, aantal onderzochte hokken in het stratum, totaal aantal hokken van het stratum in Vlaanderen en aantal bezoeken aan een meetpunt voor Spreeuw (zie §3.5).

stratum	gewicht	aanwezig	relevant	onderzocht	totaal	bezoeken
Landbouw	87.9%	4459.2	301	426	6311	17536
Urbaan	5.9%	296.5	62	87	416	3609
Suburbaan	2.2%	109.4	37	68	201	2228
Heide en duin	1.5%	74.4	34	91	199	2301
Moeras en water	1.3%	65.1	38	80	137	2367
Bos	1.1%	53.7	32	190	319	2159



Figuur 84.5: Paarsgewijze vergelijking tussen driejarige cycli voor Spreeuw. Uitleg van de symbolen in tabel 4.1.



Figuur 84.6: Paarsgewijze vergelijking tussen jaren voor Spreeuw. Uitleg van de symbolen in tabel 4.1.

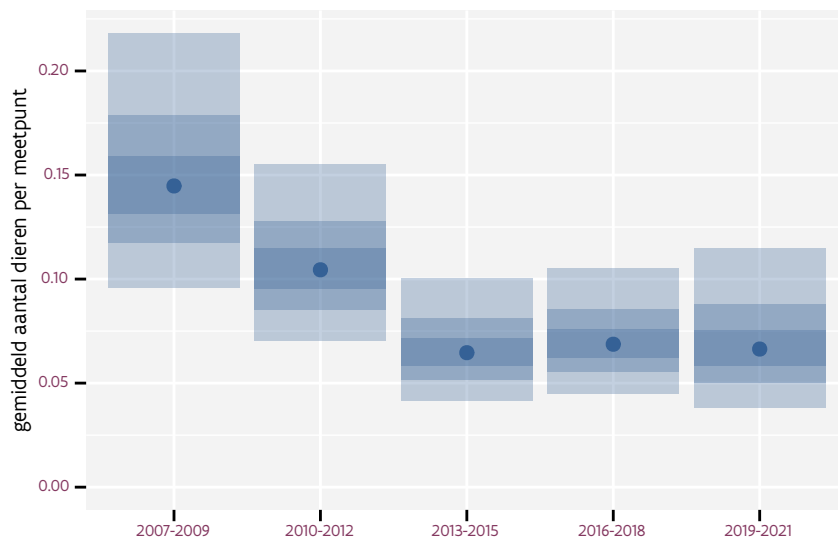
Tabel 84.2: Data-hashes van de analyses in het kader van traceerbaarheid (zie §5.3).

frequentie	model	analyse	status
jaarlijks	lineair	acbf9fb77b4c6dd84d1f ab4637622d0e06b79af6	e0a5b852be54fd4e5247 fe41f5cfd07f569b9506
jaarlijks	niet-lineair	e5ba93c5ec3510473ce6 13fdf8385791e2d8946e	d00881cc80d56bd25987 422b2d2029a32a68e56e
driejaarlijks	lineair	b6b420dd1880c555e402 45b8a5d8818d0ca11d2a	2ade1297eb9571439958 92f984f26e0742a1385c
driejaarlijks	niet-lineair	99a74b13d15f3b8fa6d3 40544db0b00b262dbcb5	c1fdf342bb14ea104eae 6e0927408bdfbd5f909c

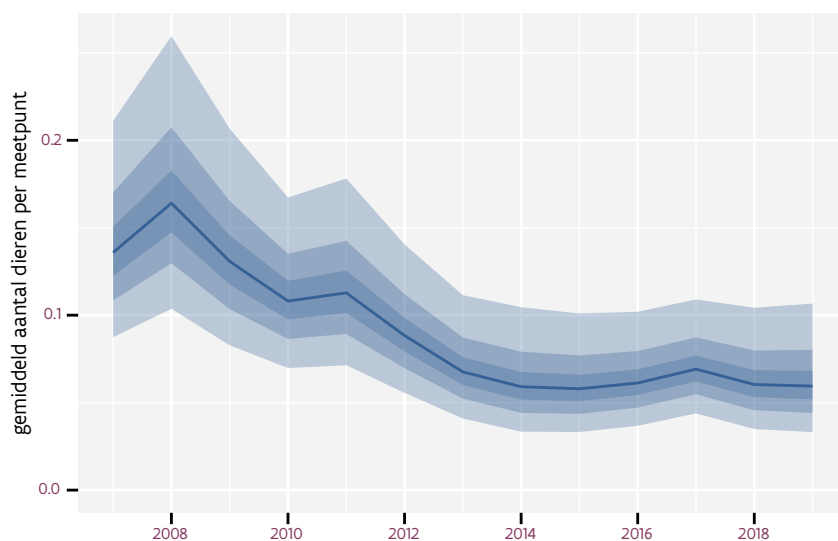
85 SPRINKHAANZANGER

Op basis van driejaarlijkse gegevens zien we gemiddeld een sterke afname met -11.88% (-15.74%; -7.83%) per jaar of -78% (-87%; -62%) over de volledige looptijd van het meetnet. Deze trend is mogelijk niet-lineair.

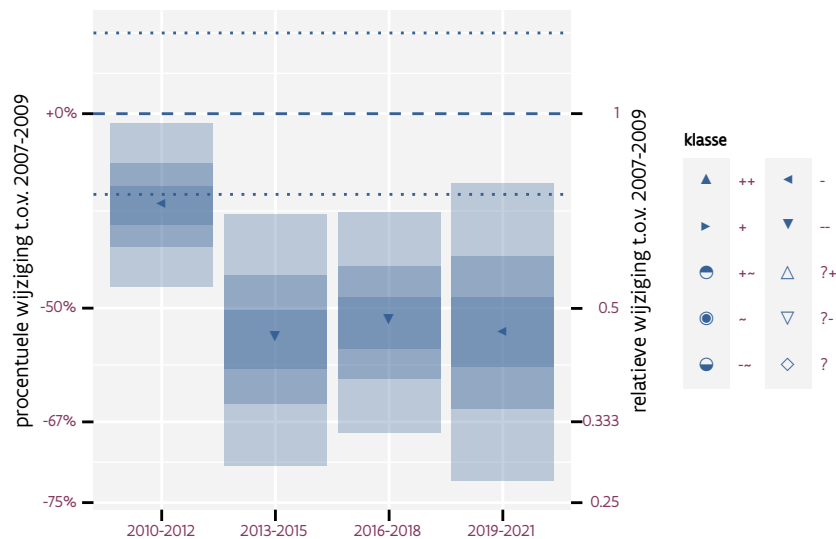
Op basis van jaarlijkse gegevens zien we gemiddeld een sterke afname met -11.06% (-14.81%; -7.14%) per jaar of -75% (-85%; -59%) over de volledige looptijd van het meetnet. Deze trend is mogelijk niet-lineair.



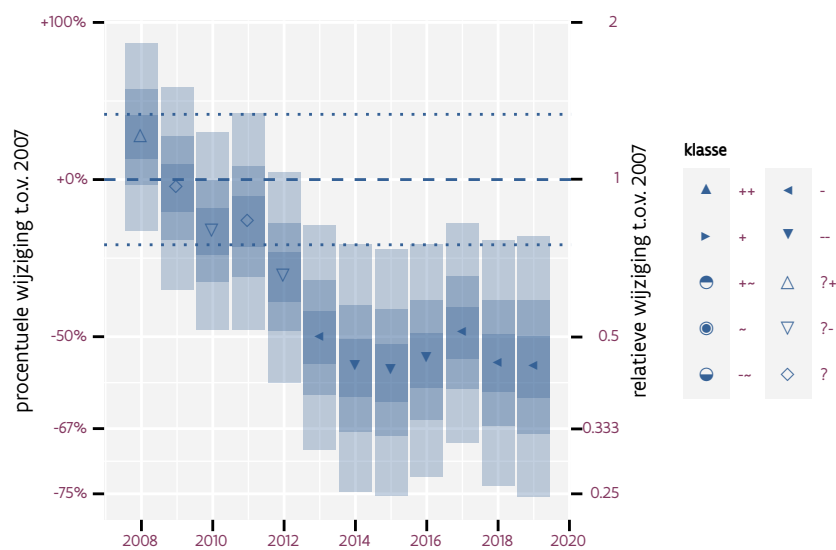
Figuur 85.1: Evolutie van het gemodeleerde gemiddeld aantal waargenomen dieren op een meetpunt voor Sprinkhaanzanger tijdens de referentieperiode. Zie §4.1 voor een verklaring van de intervallen.



Figuur 85.2: Evolutie van het gemodeleerde gemiddeld aantal waargenomen dieren op een meetpunt voor Sprinkhaanzanger tijdens de referentieperiode. Zie §4.1 voor een verklaring van de intervallen.



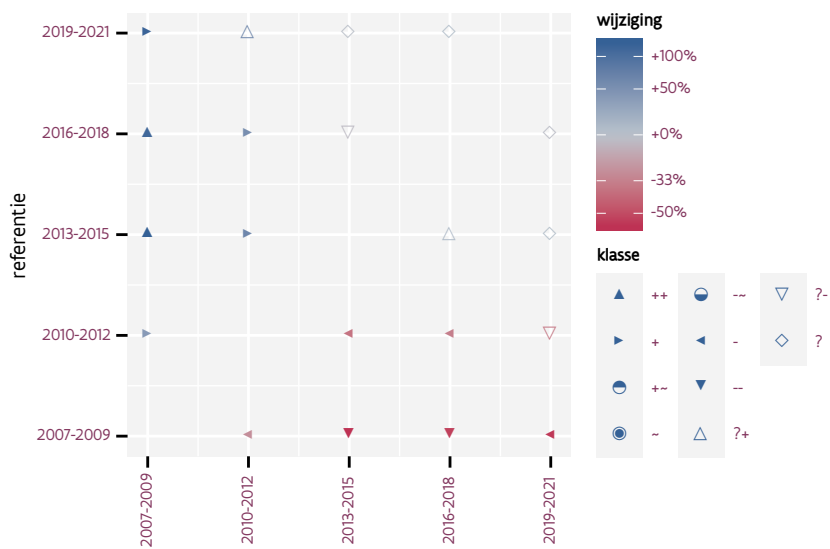
Figuur 85.3: Wijzigingen t.o.v. het eerste driejarige cyclus voor Sprinkhaanzanger. Zie §4.1 voor een verklaring van de intervallen en §4.2 voor uitleg over de symbolen en referentielijnen.



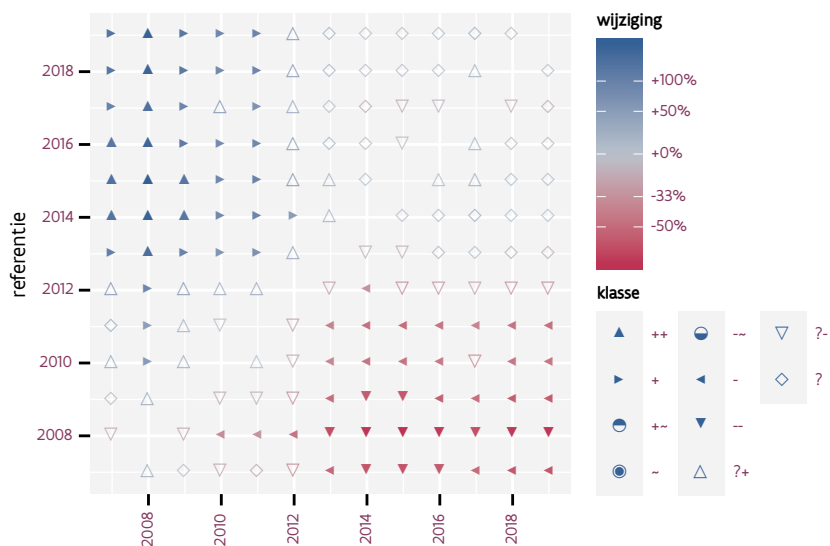
Figuur 85.4: Wijzigingen t.o.v. het eerste jaar voor Sprinkhaanzanger. Zie §4.1 voor een verklaring van de intervallen en §4.2 voor uitleg over de symbolen en referentielijnen.

Tabel 85.1: Stratumgewicht, raming aan het aantal hokken waarin de soort aanwezig is, aantal relevant hokken voor de analyse, aantal onderzochte hokken in het stratum, totaal aantal hokken van het stratum in Vlaanderen en aantal bezoeken aan een meetpunt voor Sprinkhaanzanger (zie §3.5).

stratum	gewicht	aanwezig	relevant	onderzocht	totaal	bezoeken
Heide en duin	73.2%	32.8	15	91	199	832
Moeras en water	26.8%	10.3	6	80	137	381



Figuur 85.5: Paarsgewijze vergelijking tussen driejarige cycli voor Sprinkhaanzanger. Uitleg van de symbolen in tabel 4.1.



Figuur 85.6: Paarsgewijze vergelijking tussen jaren voor Sprinkhaanzanger. Uitleg van de symbolen in tabel 4.1.

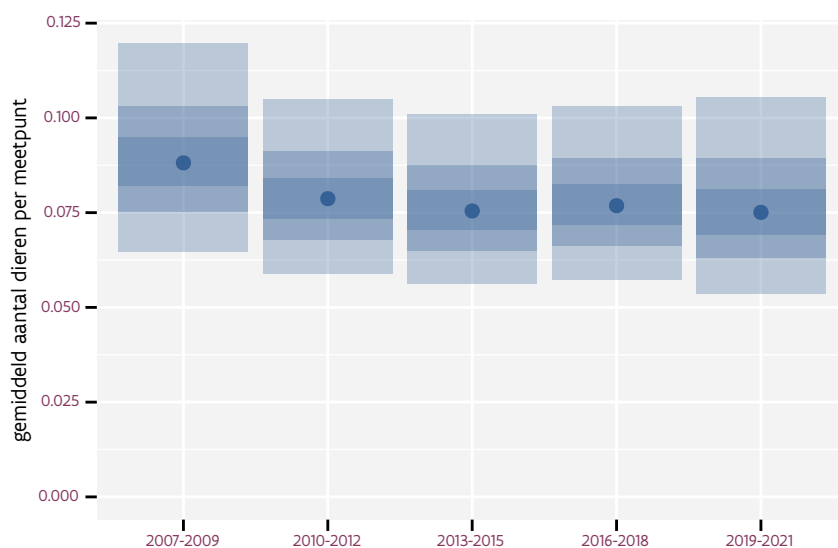
Tabel 85.2: Data-hashes van de analyses in het kader van traceerbaarheid (zie §5.3).

frequentie	model	analyse	status
jaarlijks	lineair	8e63bccfdef6ca8a8c53 f46be86d4bf66de077b7	f880e35033592853afdb 0af45d07228e3300c953
jaarlijks	niet-lineair	f479faf0dc15d6de88c8 5a4c3624232dc2d51fb6	5ce832a48cafee247c8d b879c07a2c00cf424275
driejaarlijks	lineair	1adff5a2b0092c2746f6 7993dae05cc0b0a46729	c8756f76203ac57582c0 81ba57cd93a2f51e2c6d
driejaarlijks	niet-lineair	c5c6850b6c575c13d2ae 1bac1b29f1e71a27d049	954a37e70273878b59a8 f03f1db59e8fdb767ca7

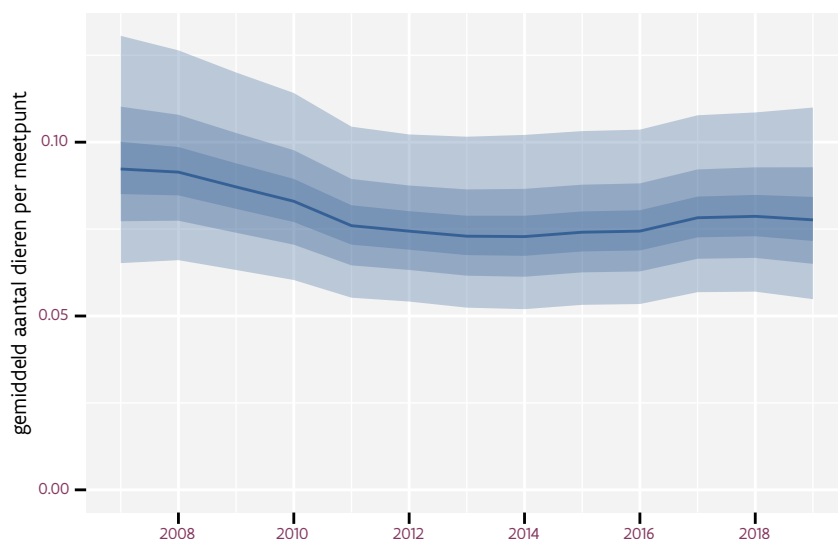
86 STAARTMEES

Op basis van driejaarlijkse gegevens zien we gemiddeld een afname met -3.4% (-6.2%; -0.7%) per jaar of -34% (-53%; -8%) over de volledige looptijd van het meetnet. Deze trend is niet-lineair.

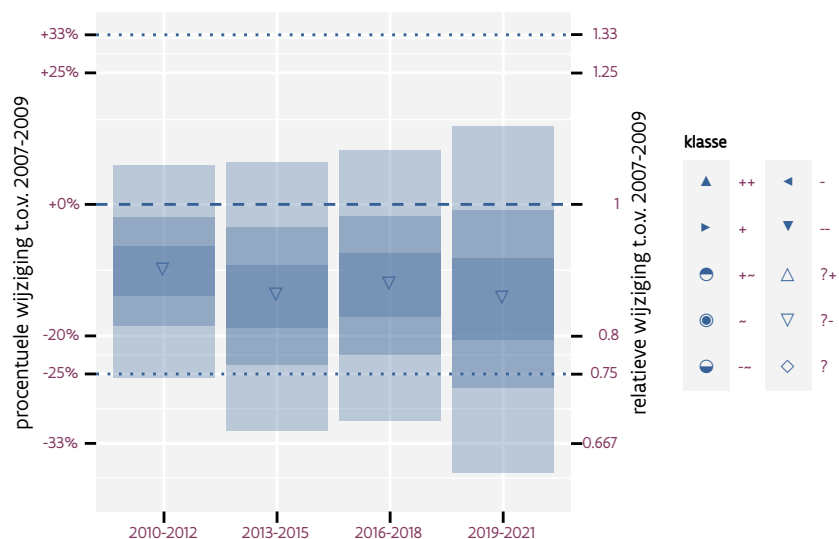
Op basis van jaarlijkse gegevens zien we gemiddeld een afname met -3.1% (-5.8%; -0.3%) per jaar of -32% (-51%; -4%) over de volledige looptijd van het meetnet. Deze trend is niet-lineair.



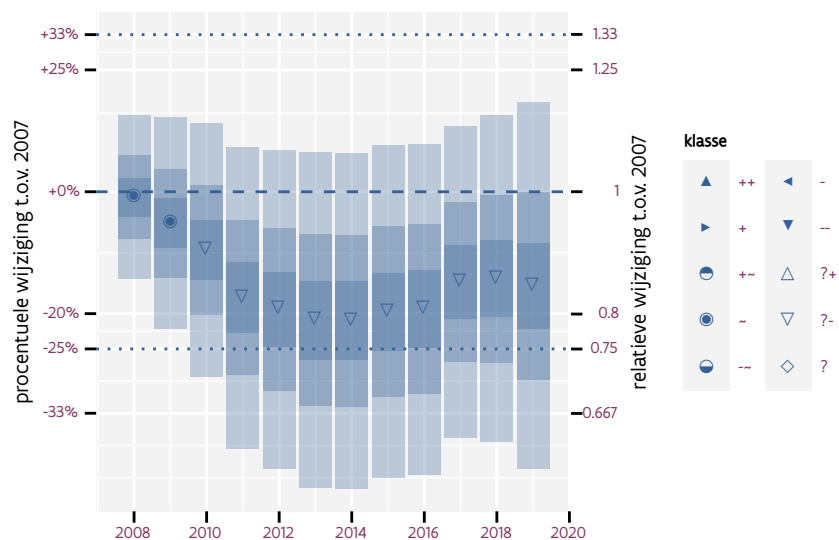
Figuur 86.1: Evolutie van het gemodeleerde gemiddeld aantal waargenomen dieren op een meetpunt voor Staartmees tijdens de referentieperiode. Zie §4.1 voor een verklaring van de intervallen.



Figuur 86.2: Evolutie van het gemodeleerde gemiddeld aantal waargenomen dieren op een meetpunt voor Staartmees tijdens de referentieperiode. Zie §4.1 voor een verklaring van de intervallen.



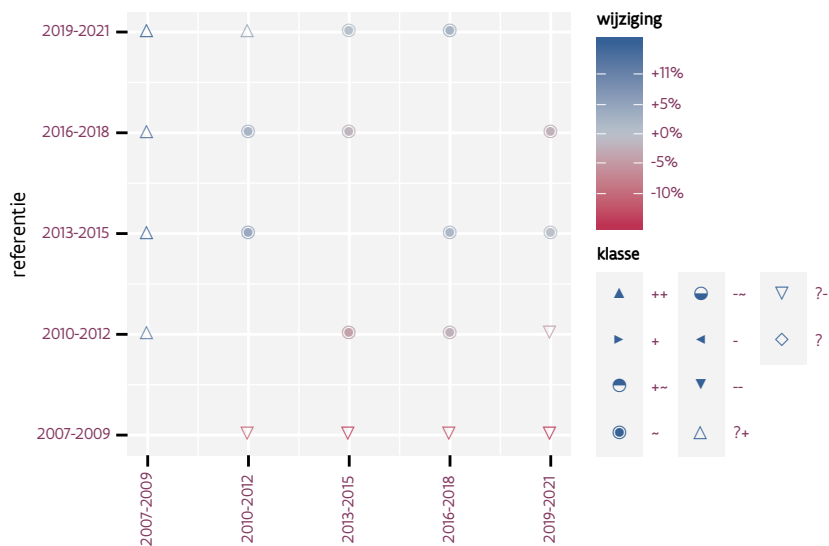
Figuur 86.3: Wijzigingen t.o.v. het eerste driejarige cyclus voor Staartmees. Zie §4.1 voor een verklaring van de intervallen en §4.2 voor uitleg over de symbolen en referentielijnen.



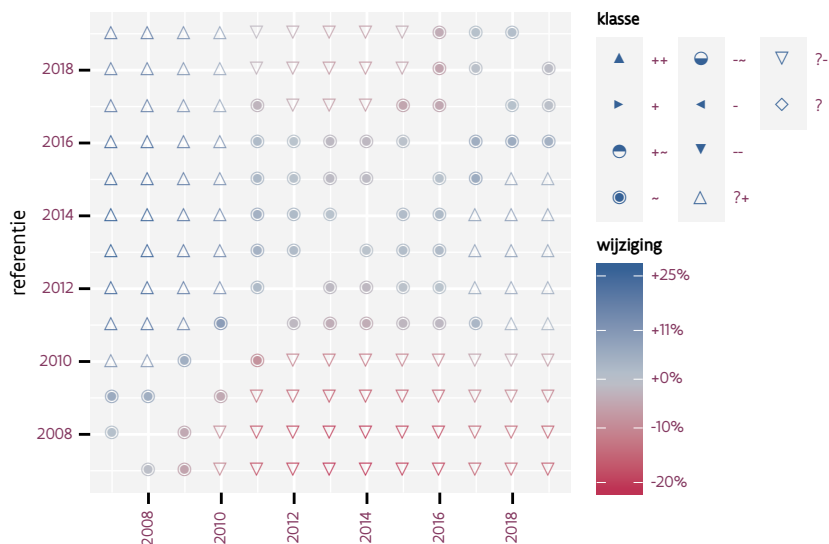
Figuur 86.4: Wijzigingen t.o.v. het eerste jaar voor Staartmees. Zie §4.1 voor een verklaring van de intervallen en §4.2 voor uitleg over de symbolen en referentielijnen.

Tabel 86.1: Stratumgewicht, raming aan het aantal hokken waarin de soort aanwezig is, aantal relevant hokken voor de analyse, aantal onderzochte hokken in het stratum, totaal aantal hokken van het stratum in Vlaanderen en aantal bezoeken aan een meetpunt voor Staartmees (zie §3.5).

stratum	gewicht	aanwezig	relevant	onderzocht	totaal	bezoeken
Landbouw	64.7%	518.5	35	426	6311	2484
Bos	9.4%	77.2	46	190	319	3370
Urbaan	8.1%	62.2	13	87	416	1000
Suburbaan	6.8%	53.2	18	68	201	1211
Heide en duin	5.6%	43.7	20	91	199	1421
Moeras en water	5.4%	42.8	25	80	137	1621



Figuur 86.5: Paarsgewijze vergelijking tussen driejarige cycli voor Staartmees. Uitleg van de symbolen in tabel 4.1.



Figuur 86.6: Paarsgewijze vergelijking tussen jaren voor Staartmees. Uitleg van de symbolen in tabel 4.1.

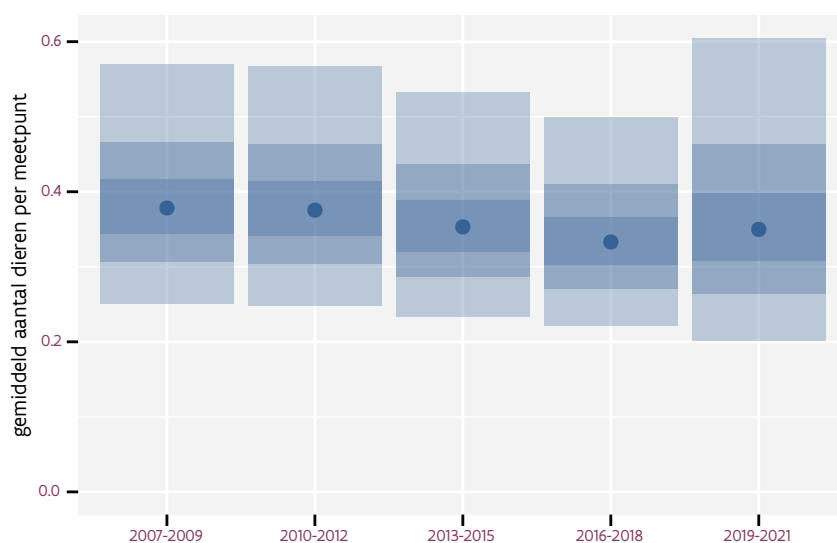
Tabel 86.2: Data-hashes van de analyses in het kader van traceerbaarheid (zie §5.3).

frequentie	model	analyse	status
jaarlijks	lineair	1cbb9812d0bf60c289f0 f44faf931fabe10a1478	409272aa34c28a0b8f75 da8ffcb7e42b25e87105
jaarlijks	niet-lineair	523446e7f4f98a2b3615 ec6f9db233ea62914421	49d897dec7cf2be830f8 9fe626ade951213f8e98
driejaarlijks	lineair	eaedeb2121f0f9043d29 59ef2694c25759129a8d	a712fdfe7f44a5313c40 621c820bd75415913100
driejaarlijks	niet-lineair	dfafd38e36120b48dd87 7e9458c95d19c11ef8c1	77e9e0a9f0281972ff17 60be2b28fa5b2e451fb8

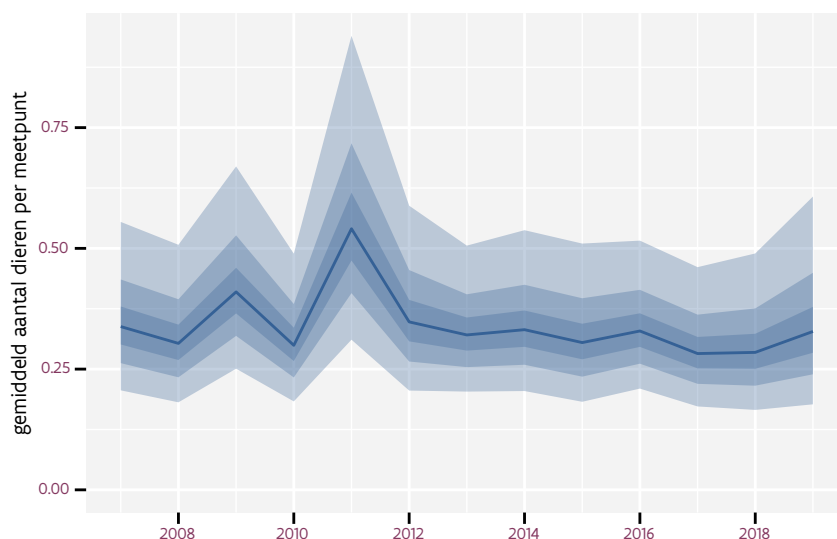
87 STADSDUIF

Op basis van driejaarlijkse gegevens zien we gemiddeld een mogelijk afname met -1.7% (-4.8%; +1.6%) per jaar of -18% (-45%; +21%) over de volledige looptijd van het meetnet. Deze trend is niet-lineair.

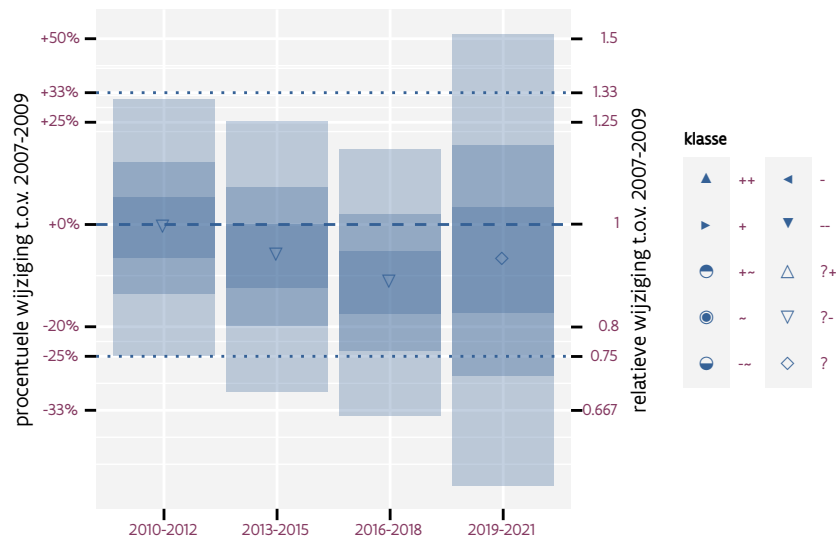
Op basis van jaarlijkse gegevens zien we gemiddeld een mogelijk afname met -1.6% (-4.8%; +1.7%) per jaar of -18% (-44%; +22%) over de volledige looptijd van het meetnet. Deze trend is niet-lineair.



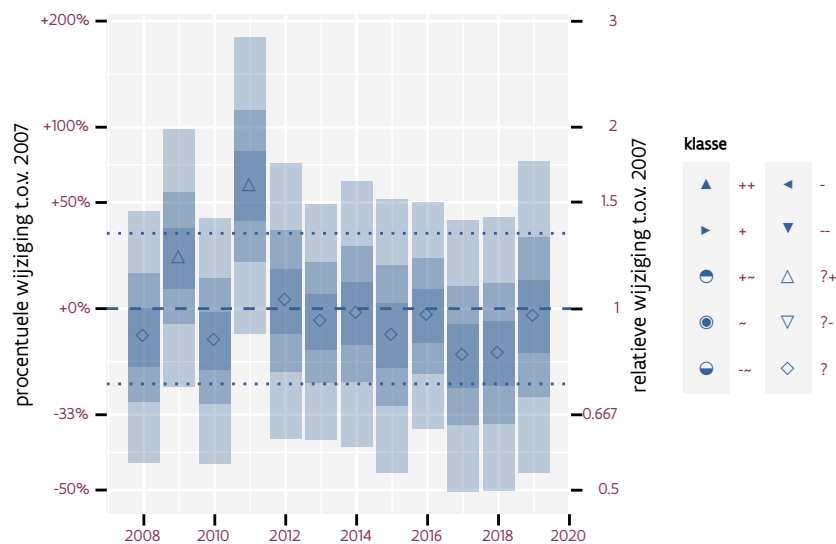
Figuur 87.1: Evolutie van het gemodeleerde gemiddeld aantal waargenomen dieren op een meetpunt voor Stadsduif tijdens de referentieperiode. Zie §4.1 voor een verklaring van de intervallen.



Figuur 87.2: Evolutie van het gemodeleerde gemiddeld aantal waargenomen dieren op een meetpunt voor Stadsduif tijdens de referentieperiode. Zie §4.1 voor een verklaring van de intervallen.



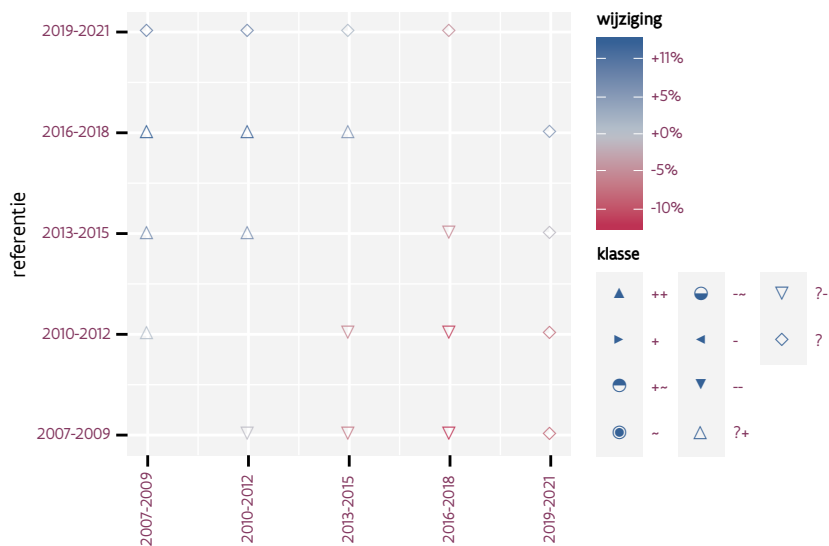
Figuur 87.3: Wijzigingen t.o.v. het eerste driejarige cyclus voor Stadsduif. Zie §4.1 voor een verklaring van de intervallen en §4.2 voor uitleg over de symbolen en referentielijnen.



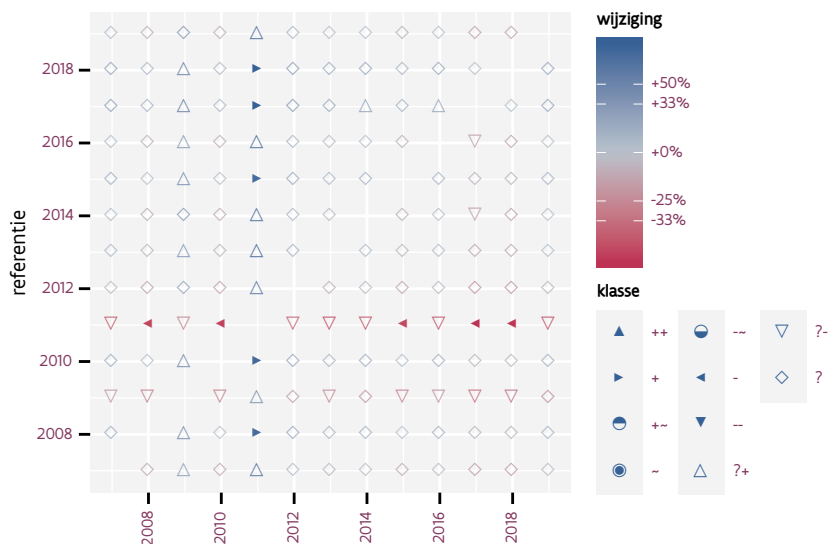
Figuur 87.4: Wijzigingen t.o.v. het eerste jaar voor Stadsduif. Zie §4.1 voor een verklaring van de intervallen en §4.2 voor uitleg over de symbolen en referentielijnen.

Tabel 87.1: Stratumgewicht, raming aan het aantal hokken waarin de soort aanwezig is, aantal relevant hokken voor de analyse, aantal onderzochte hokken in het stratum, totaal aantal hokken van het stratum in Vlaanderen en aantal bezoeken aan een meetpunt voor Stadsduif (zie §3.5).

stratum	gewicht	aanwezig	relevant	onderzocht	totaal	bezoeken
Landbouw	73.9%	385.2	26	426	6311	1648
Urbaan	15.6%	76.5	16	87	416	840
Suburbaan	5.7%	26.6	9	68	201	591
Heide en duin	2.5%	10.9	5	91	199	227
Moeras en water	2.3%	10.3	6	80	137	342



Figuur 87.5: Paarsgewijze vergelijking tussen driejarige cycli voor Stadskuif. Uitleg van de symbolen in tabel 4.1.



Figuur 87.6: Paarsgewijze vergelijking tussen jaren voor Stadskuif. Uitleg van de symbolen in tabel 4.1.

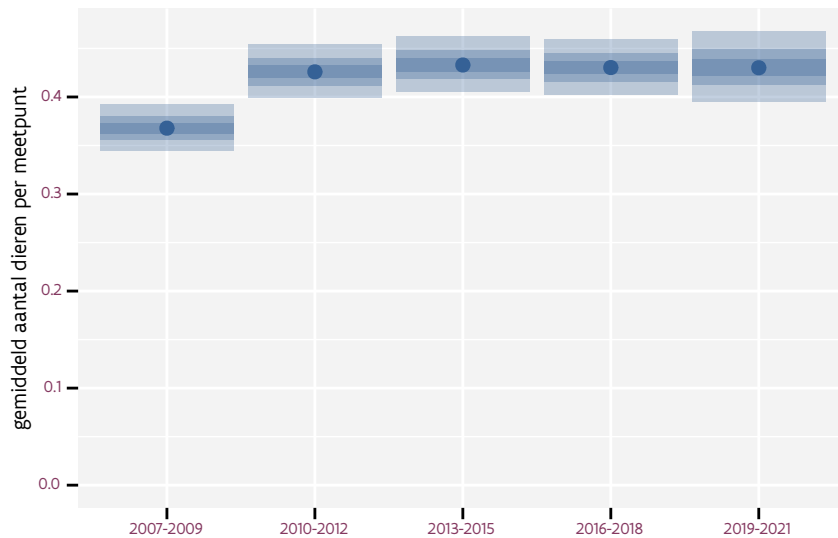
Tabel 87.2: Data-hashes van de analyses in het kader van traceerbaarheid (zie §5.3).

frequentie	model	analyse	status
jaarlijks	lineair	ab07c06ad7c4ce8c5c64 0597f0233fd9d8201953	4485762650f7e3e0d65f a26814c07514c52bf0c0
jaarlijks	niet-lineair	11c803219d56bae66c14 e72ca8404a722451ce1c	6f64404125e0a459f539 1edcfc023bc3771db1d
driejaarlijks	lineair	de7fe7750db8bc22bc71 6777ab02c0397320849e	a196a8418d51201af409 5a61b52057294228d941
driejaarlijks	niet-lineair	19d5e84040693c53ed3d c4aa34779023ef6ba256	e53a05e34cd164c77e2c fe7229adfd5b01e300d3

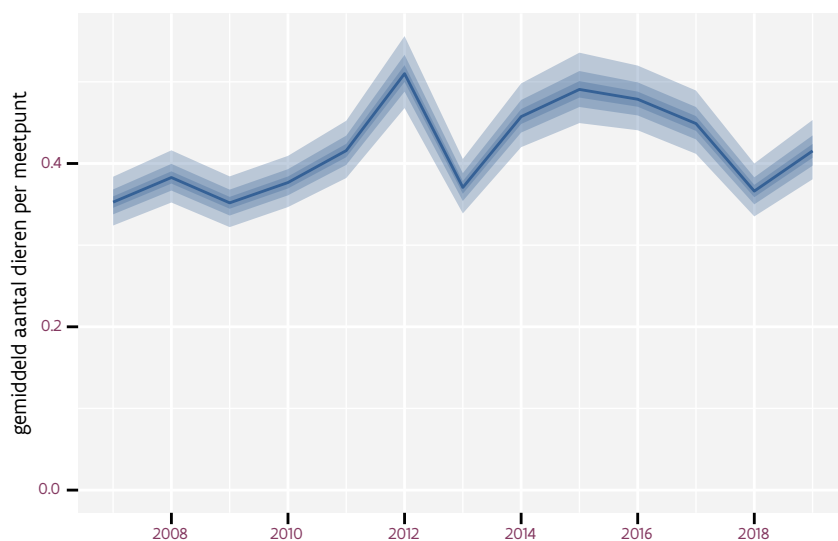
88 TJIFTJAF

Op basis van driejaarlijkse gegevens zien we gemiddeld een matige toename met +1.488% (+1.040%; +1.938%) per jaar of +19% (+13%; +26%) over de volledige looptijd van het meetnet. Deze trend is niet-lineair.

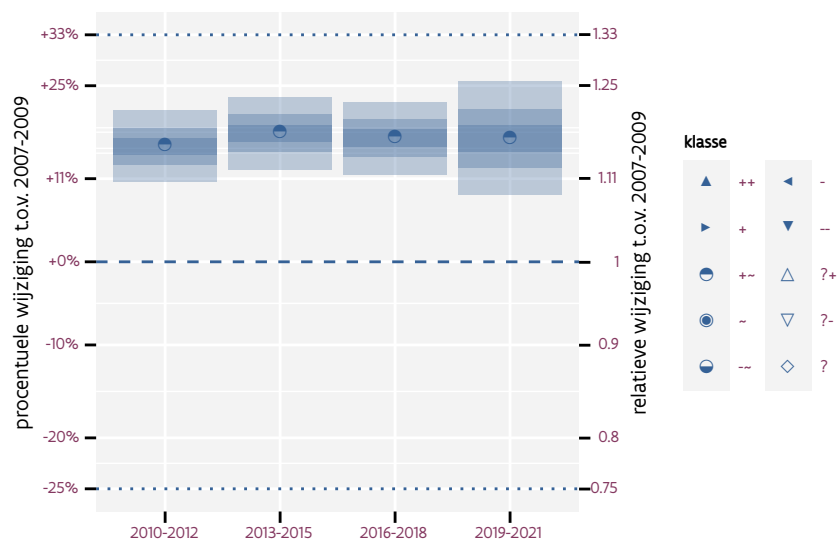
Op basis van jaarlijkse gegevens zien we gemiddeld een matige toename met +1.56% (+1.12%; +2.01%) per jaar of +20% (+14%; +27%) over de volledige looptijd van het meetnet. Deze trend is niet-lineair.



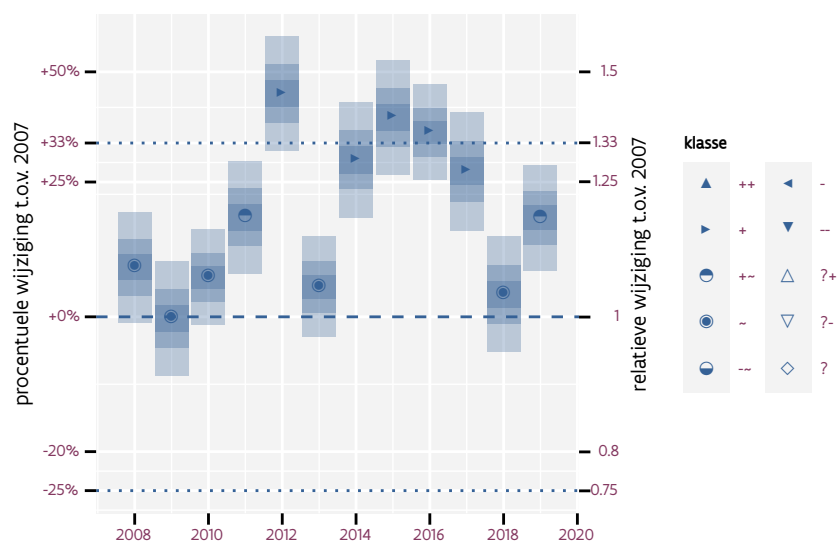
Figuur 88.1: Evolutie van het gemodeleerde gemiddeld aantal waargenomen dieren op een meetpunt voor Tjiftjaf tijdens de referentieperiode. Zie §4.1 voor een verklaring van de intervallen.



Figuur 88.2: Evolutie van het gemodeleerde gemiddeld aantal waargenomen dieren op een meetpunt voor Tjiftjaf tijdens de referentieperiode. Zie §4.1 voor een verklaring van de intervallen.



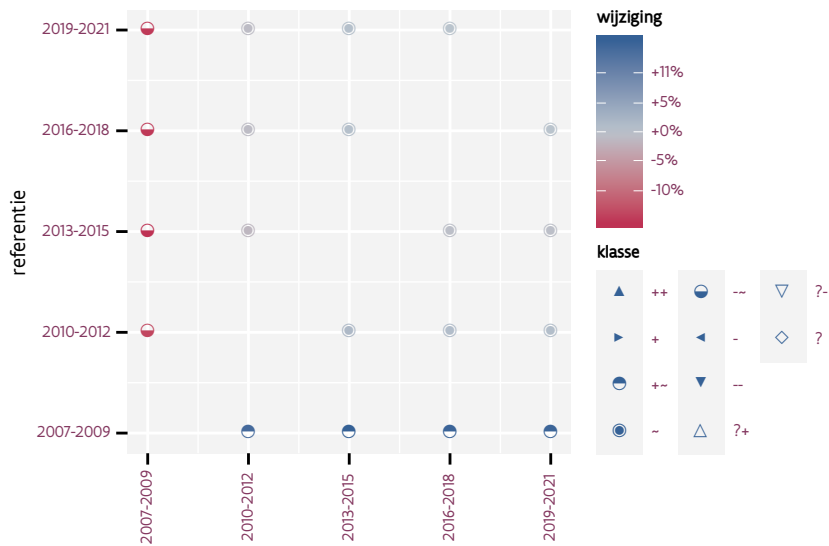
Figuur 88.3: Wijzigingen t.o.v. het eerste driejarige cyclus voor Tjiftjaf. Zie §4.1 voor een verklaring van de intervallen en §4.2 voor uitleg over de symbolen en referentielijnen.



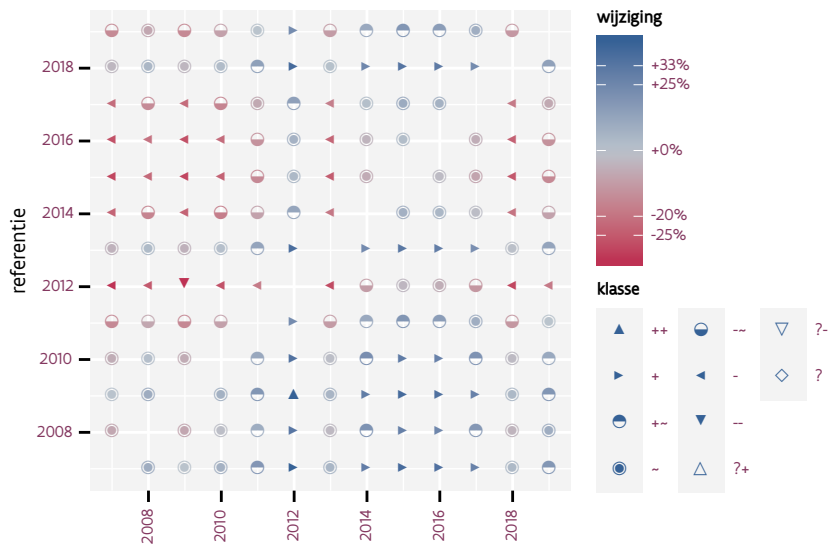
Figuur 88.4: Wijzigingen t.o.v. het eerste jaar voor Tjiftjaf. Zie §4.1 voor een verklaring van de intervallen en §4.2 voor uitleg over de symbolen en referentielijnen.

Tabel 88.1: Stratumgewicht, raming aan het aantal hokken waarin de soort aanwezig is, aantal relevant hokken voor de analyse, aantal onderzochte hokken in het stratum, totaal aantal hokken van het stratum in Vlaanderen en aantal bezoeken aan een meetpunt voor Tjiftjaf (zie §3.5).

stratum	gewicht	aanwezig	relevant	onderzocht	totaal	bezoeken
Landbouw	81.8%	4251.8	287	426	6311	16841
Urbaan	5.9%	301.2	63	87	416	3688
Bos	4.4%	230.0	137	190	319	8270
Heide en duin	3.1%	161.8	74	91	199	4381
Suburbaan	2.8%	144.8	49	68	201	2807
Moeras en water	2.0%	101.0	59	80	137	3453



Figuur 88.5: Paarsgewijze vergelijking tussen driejarige cycli voor Tjiftjaf. Uitleg van de symbolen in tabel 4.1.



Figuur 88.6: Paarsgewijze vergelijking tussen jaren voor Tjiftjaf. Uitleg van de symbolen in tabel 4.1.

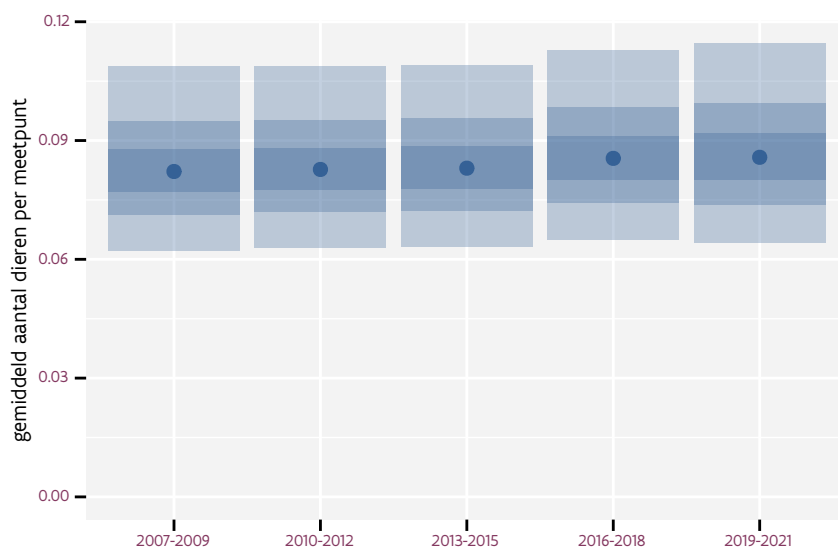
Tabel 88.2: Data-hashes van de analyses in het kader van traceerbaarheid (zie §5.3).

frequentie	model	analyse	status
jaarlijks	lineair	39a9fb268083ae2daac2 16b03acd88f586d52a7b	093fe60c69ca3f9dbac5 39562af2302767286261
jaarlijks	niet-lineair	e0d857cb2f098018f76d 601234fdde63578a22d7	64e795500da53cc6c70f a5639577aff0c8ef3b0d
driejaarlijks	lineair	bf37bb89956246eb9253 6edb8e822f101da0807a	9cc19a8b34a1ab39d57b 77faeb36a0ace0ac5862
driejaarlijks	niet-lineair	640729690f310b6a5346 293120224729c369f8a7	429402399fd0b83060c3 0d07aaed9277638091f5

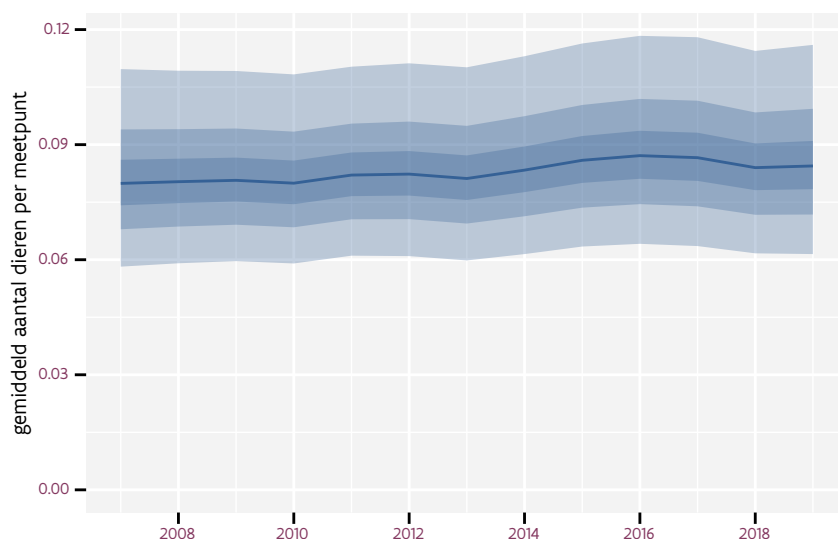
89 TORENVALK

Op basis van driejaarlijkse gegevens zien we gemiddeld een mogelijke toename met +1.0% (-1.0%; +3.0%) per jaar of +12% (-11%; +42%) over de volledige looptijd van het meetnet. Deze trend is niet-lineair.

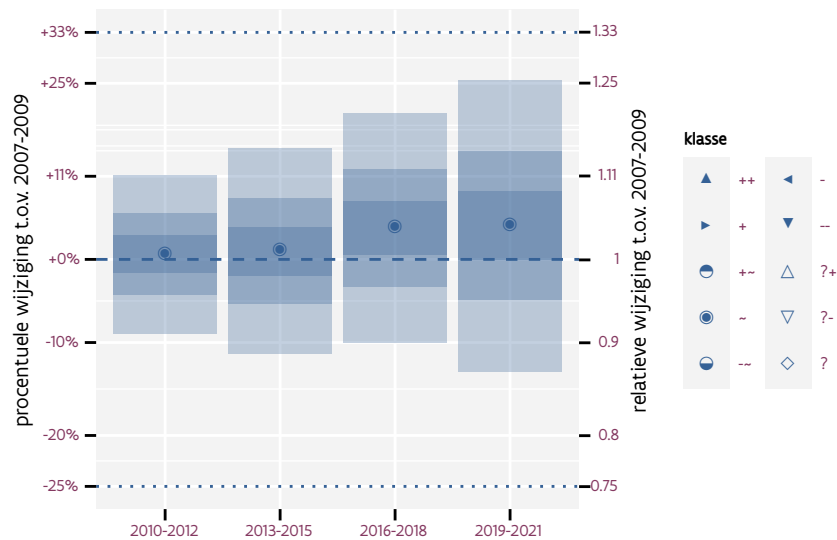
Op basis van jaarlijkse gegevens zien we gemiddeld een mogelijke toename met +1.2% (-0.8%; +3.2%) per jaar of +15% (-9%; +45%) over de volledige looptijd van het meetnet. Deze trend is niet-lineair.



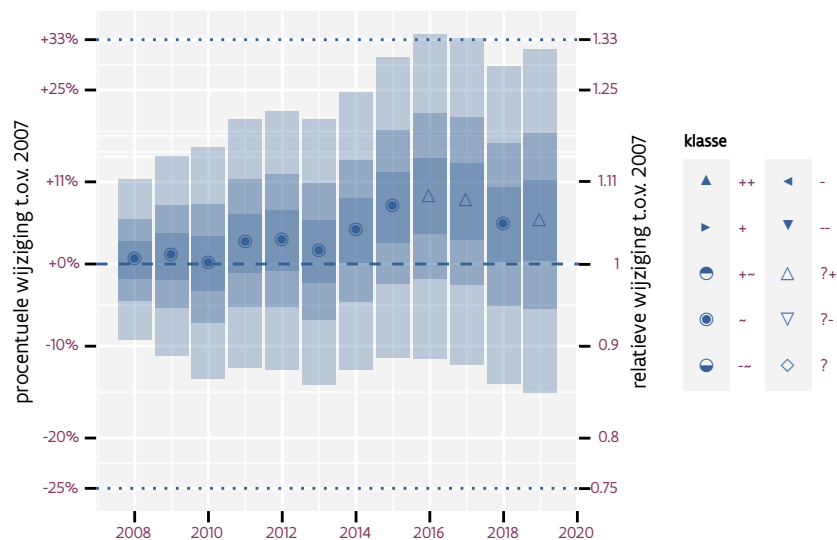
Figuur 89.1: Evolutie van het gemodeleerde gemiddeld aantal waargenomen dieren op een meetpunt voor Torenvalk tijdens de referentieperiode. Zie §4.1 voor een verklaring van de intervallen.



Figuur 89.2: Evolutie van het gemodeleerde gemiddeld aantal waargenomen dieren op een meetpunt voor Torenvalk tijdens de referentieperiode. Zie §4.1 voor een verklaring van de intervallen.



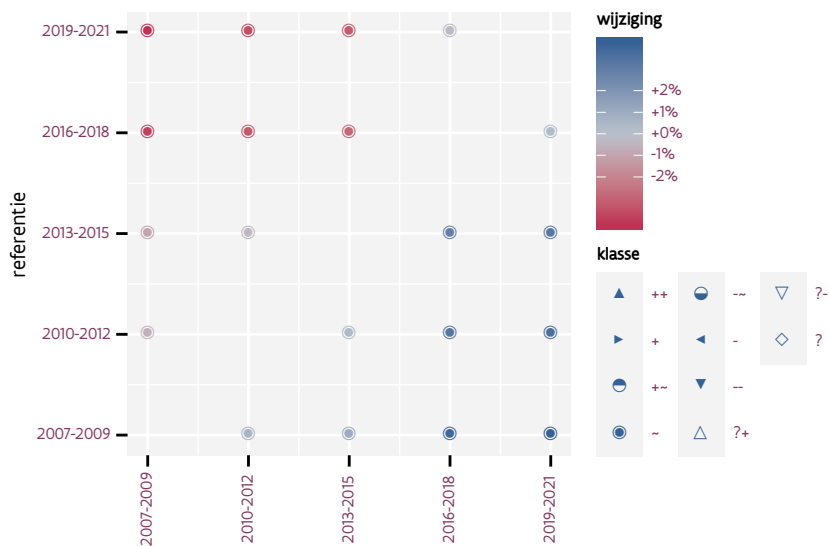
Figuur 89.3: Wijzigingen t.o.v. het eerste driejarige cyclus voor Torenvalk. Zie §4.1 voor een verklaring van de intervallen en §4.2 voor uitleg over de symbolen en referentielijnen.



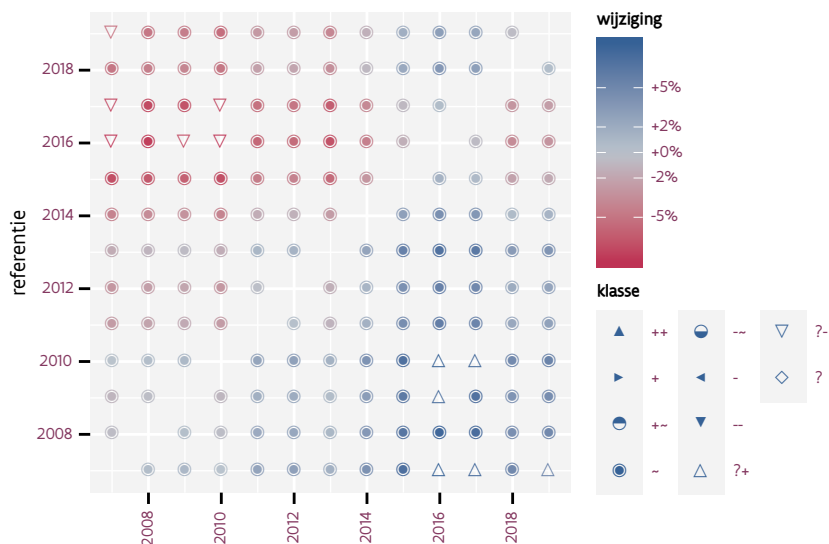
Figuur 89.4: Wijzigingen t.o.v. het eerste jaar voor Torenvalk. Zie §4.1 voor een verklaring van de intervallen en §4.2 voor uitleg over de symbolen en referentielijnen.

Tabel 89.1: Stratumgewicht, raming aan het aantal hokken waarin de soort aanwezig is, aantal relevant hokken voor de analyse, aantal onderzochte hokken in het stratum, totaal aantal hokken van het stratum in Vlaanderen en aantal bezoeken aan een meetpunt voor Torenvalk (zie §3.5).

stratum	gewicht	aanwezig	relevant	onderzocht	totaal	bezoeken
Landbouw	96.2%	1674.0	113	426	6311	7062
Heide en duin	1.6%	26.2	12	91	199	845
Suburbaan	1.4%	20.7	7	68	201	542
Moeras en water	0.8%	12.0	7	80	137	533



Figuur 89.5: Paarsgewijze vergelijking tussen driejarige cycli voor Torenvalk. Uitleg van de symbolen in tabel 4.1.



Figuur 89.6: Paarsgewijze vergelijking tussen jaren voor Torenvalk. Uitleg van de symbolen in tabel 4.1.

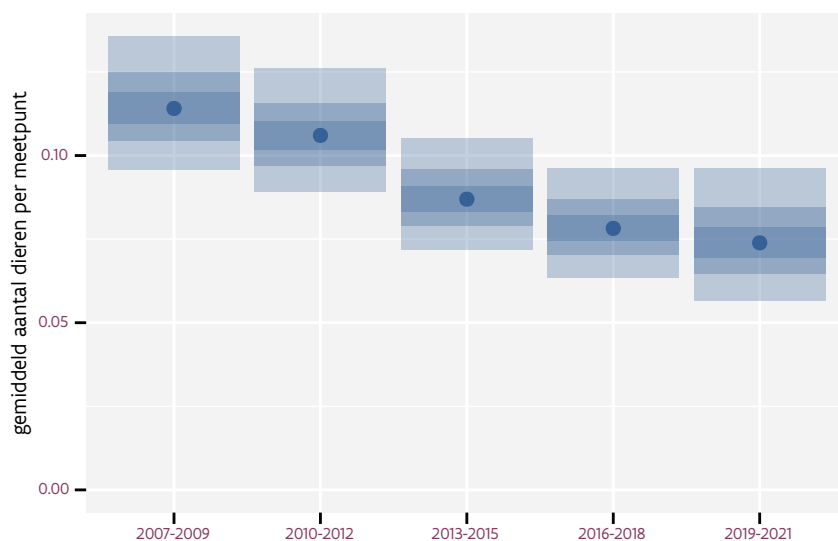
Tabel 89.2: Data-hashes van de analyses in het kader van traceerbaarheid (zie §5.3).

frequentie	model	analyse	status
jaarlijks	lineair	d406f38d1ec57a5c8e6c a7cc42123ca96ee079c3	ea091e002aa5785931b7 c85e18e1eb67e2f92636
jaarlijks	niet-lineair	2154baae0c97aad00e74 93d6b329f159985a341b	40cc8ae9ef3b89f98dbb 1f94423301497449601b
driejaarlijks	lineair	2af997b07c494ba39925 a5e24a36e4938c63134c	b4dd18fbbb52e41bed2c 13de77d97e8a349397fa
driejaarlijks	niet-lineair	35ff071d979630bae828 b3a9bde17837e9d9b228	56a4c905ccdbed08af6b 76bcb923118edfb8b082

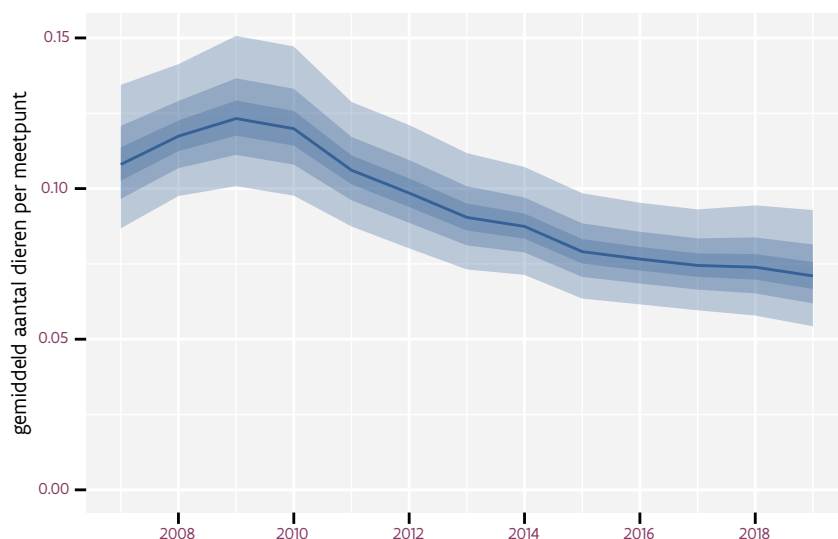
90 TUINFLUITER

Op basis van driejaarlijkse gegevens zien we gemiddeld een sterke afname met -5.7% (-7.7%; -3.7%) per jaar of -51% (-62%; -36%) over de volledige looptijd van het meetnet. Deze trend is lineair.

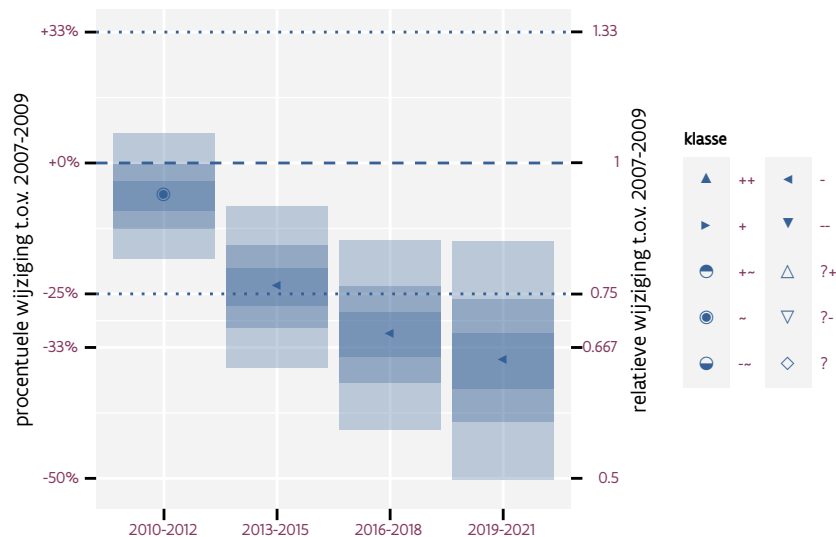
Op basis van jaarlijkse gegevens zien we gemiddeld een sterke afname met -5.7% (-7.7%; -3.6%) per jaar of -51% (-62%; -36%) over de volledige looptijd van het meetnet. Deze trend is niet-lineair.



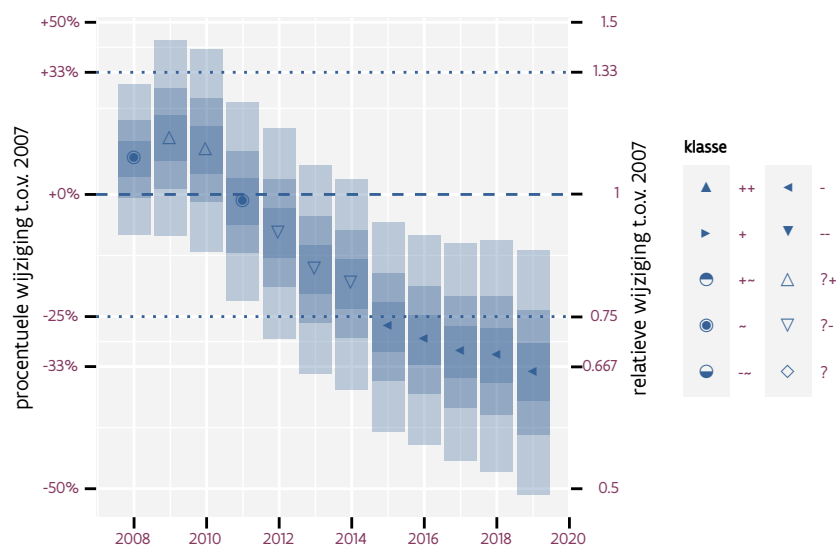
Figuur 90.1: Evolutie van het gemodeleerde gemiddeld aantal waargenomen dieren op een meetpunt voor Tuinfluiter tijdens de referentieperiode. Zie §4.1 voor een verklaring van de intervallen.



Figuur 90.2: Evolutie van het gemodeleerde gemiddeld aantal waargenomen dieren op een meetpunt voor Tuinfluiter tijdens de referentieperiode. Zie §4.1 voor een verklaring van de intervallen.



Figuur 90.3: Wijzigingen t.o.v. het eerste driejarige cyclus voor Tuinfluiter. Zie §4.1 voor een verklaring van de intervallen en §4.2 voor uitleg over de symbolen en referentielijnen.



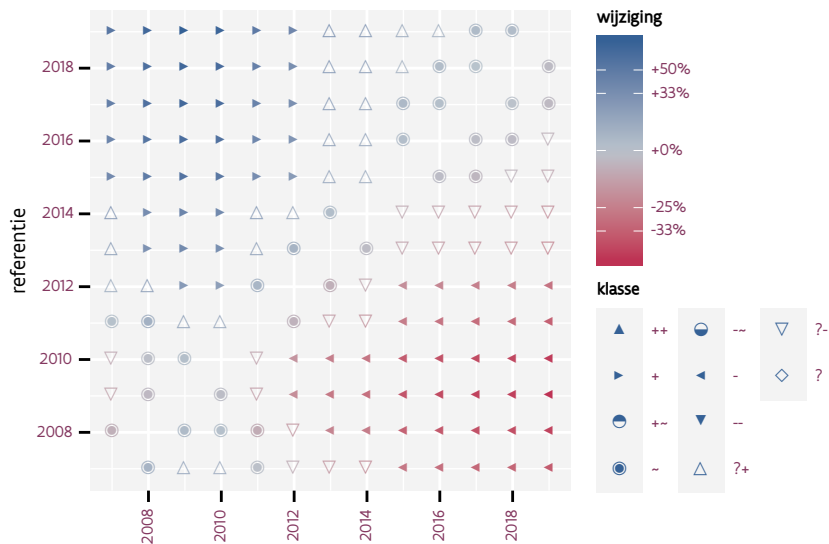
Figuur 90.4: Wijzigingen t.o.v. het eerste jaar voor Tuinfluiter. Zie §4.1 voor een verklaring van de intervallen en §4.2 voor uitleg over de symbolen en referentielijnen.

Tabel 90.1: Stratumgewicht, raming aan het aantal hokken waarin de soort aanwezig is, aantal relevant hokken voor de analyse, aantal onderzochte hokken in het stratum, totaal aantal hokken van het stratum in Vlaanderen en aantal bezoeken aan een meetpunt voor Tuinfluiter (zie §3.5).

stratum	gewicht	aanwezig	relevant	onderzocht	totaal	bezoeken
Landbouw	83.3%	1037.0	70	426	6311	3017
Heide en duin	5.4%	65.6	30	91	199	1293
Bos	5.1%	63.8	38	190	319	1610
Moeras en water	4.6%	56.5	33	80	137	1419
Suburbaan	1.6%	17.7	6	68	201	304



Figuur 90.5: Paarsgewijze vergelijking tussen driejarige cycli voor Tuinfluiter. Uitleg van de symbolen in tabel 4.1.



Figuur 90.6: Paarsgewijze vergelijking tussen jaren voor Tuinfluiter. Uitleg van de symbolen in tabel 4.1.

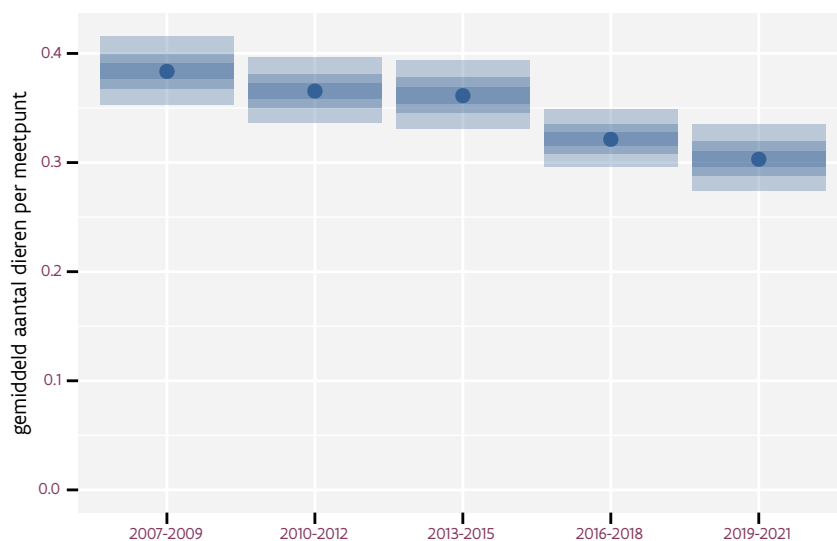
Tabel 90.2: Data-hashes van de analyses in het kader van traceerbaarheid (zie §5.3).

frequentie	model	analyse	status
jaarlijks	lineair	1b278a9694b9e6ad6407 99eeda059b9f2ac12dbe	688f91a5f21694156322 3e7b4d6ca475559b1c38
jaarlijks	niet-lineair	c1422129891da56a1914 5bfc33bc146504530d52	c982464b07aad1be569c 68443da282c556ab28b8
driejaarlijks	lineair	72b4c3fd858a1c84e373 ada9df017a2dc296d513	75918be0548082d16b63 576f8c03894f024bb8c8
driejaarlijks	niet-lineair	818970e43b86ad3ecfc2 18a807c4cc11752b6636	a083e261b6ab201c302b c69e3f915014d4b09e31

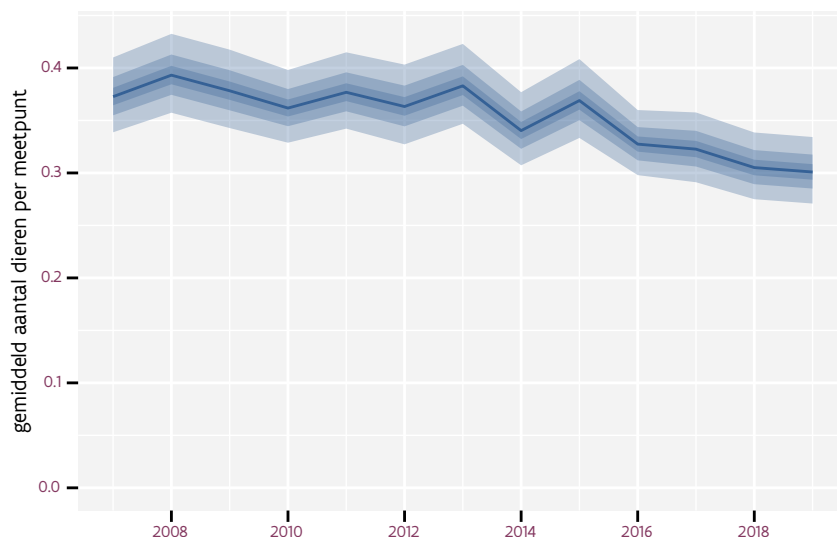
91 TURKSE TORTEL

Op basis van driejaarlijkse gegevens zien we gemiddeld een matige afname met -1.82% (-2.25%; -1.38%) per jaar of -19.7% (-23.9%; -15.4%) over de volledige looptijd van het meetnet. Deze trend is niet-lineair.

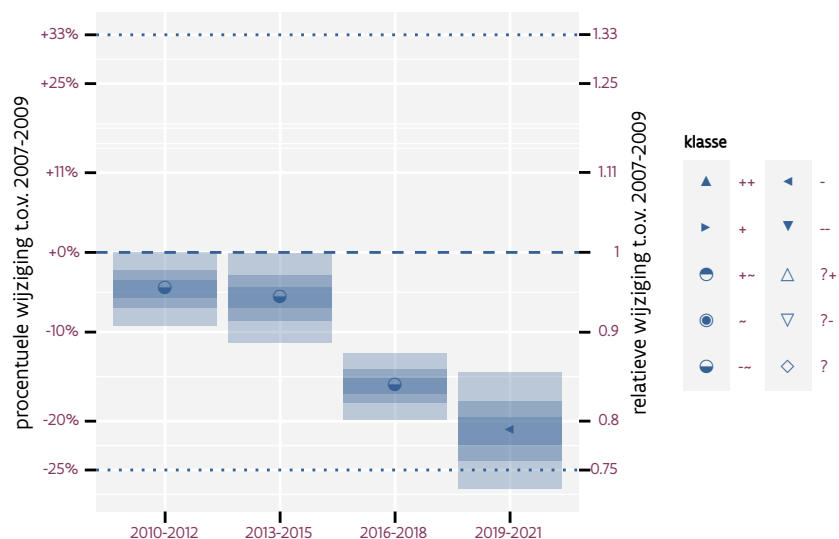
Op basis van jaarlijkse gegevens zien we gemiddeld een matige afname met -1.86% (-2.29%; -1.44%) per jaar of -20.2% (-24.2%; -16.0%) over de volledige looptijd van het meetnet. Deze trend is niet-lineair.



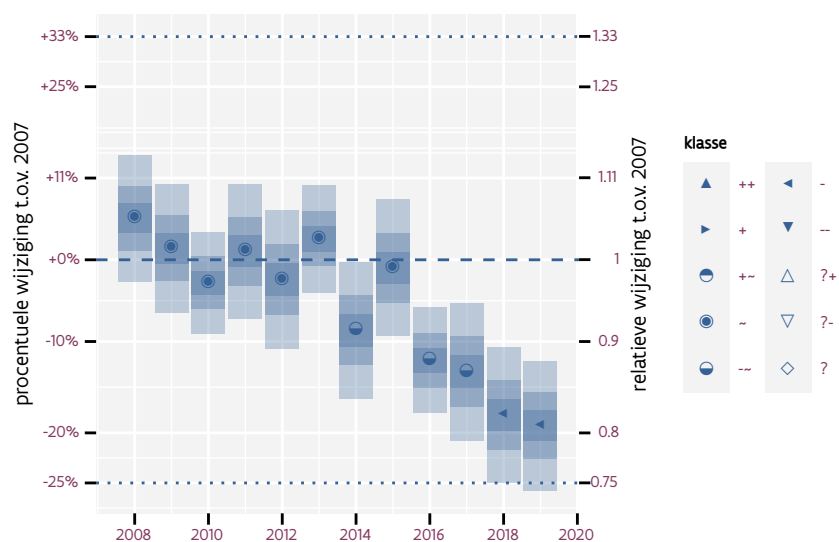
Figuur 91.1: Evolutie van het gemodeleerde gemiddeld aantal waargenomen dieren op een meetpunt voor Turkse tortel tijdens de referentieperiode. Zie §4.1 voor een verklaring van de intervallen.



Figuur 91.2: Evolutie van het gemodeleerde gemiddeld aantal waargenomen dieren op een meetpunt voor Turkse tortel tijdens de referentieperiode. Zie §4.1 voor een verklaring van de intervallen.



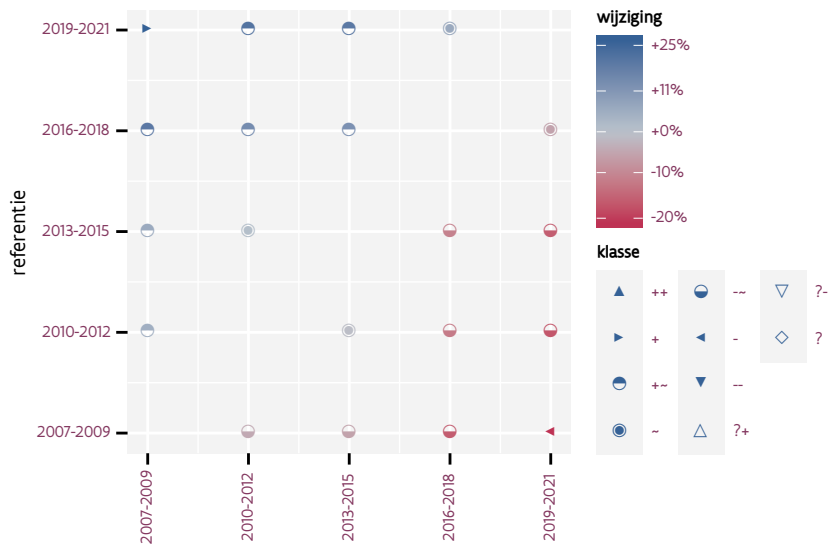
Figuur 91.3: Wijzigingen t.o.v. het eerste driejarige cyclus voor Turkse tortel. Zie §4.1 voor een verklaring van de intervallen en §4.2 voor uitleg over de symbolen en referentielijnen.



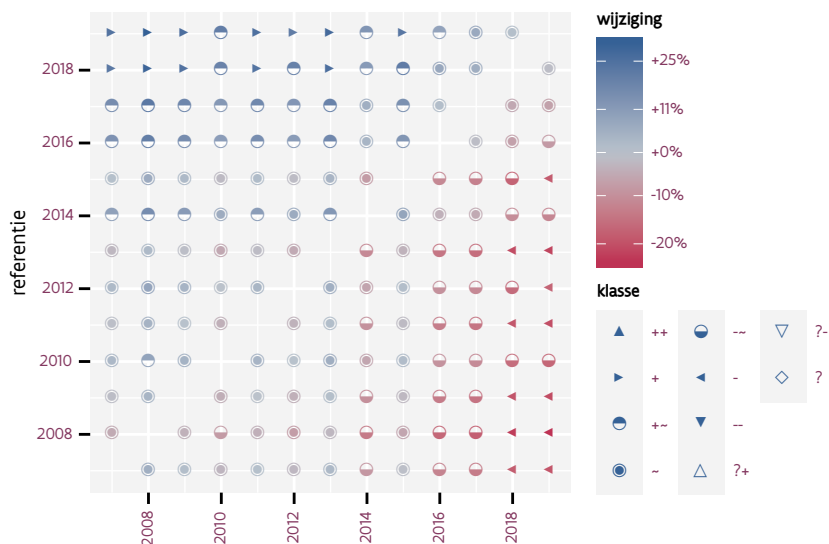
Figuur 91.4: Wijzigingen t.o.v. het eerste jaar voor Turkse tortel. Zie §4.1 voor een verklaring van de intervallen en §4.2 voor uitleg over de symbolen en referentielijnen.

Tabel 91.1: Stratungewicht, raming aan het aantal hokken waarin de soort aanwezig is, aantal relevant hokken voor de analyse, aantal onderzochte hokken in het stratum, totaal aantal hokken van het stratum in Vlaanderen en aantal bezoeken aan een meetpunt voor Turkse tortel (zie §3.5).

stratum	gewicht	aanwezig	relevant	onderzocht	totaal	bezoeken
Landbouw	86.9%	4266.6	288	426	6311	16847
Urbaan	6.9%	334.7	70	87	416	4028
Suburbaan	2.7%	130.1	44	68	201	2657
Heide en duin	1.4%	65.6	30	91	199	1695
Moeras en water	1.2%	54.8	32	80	137	1929
Bos	0.9%	42.0	25	190	319	1684



Figuur 91.5: Paarsgewijze vergelijking tussen driejarige cycli voor Turkse tortel. Uitleg van de symbolen in tabel 4.1.



Figuur 91.6: Paarsgewijze vergelijking tussen jaren voor Turkse tortel. Uitleg van de symbolen in tabel 4.1.

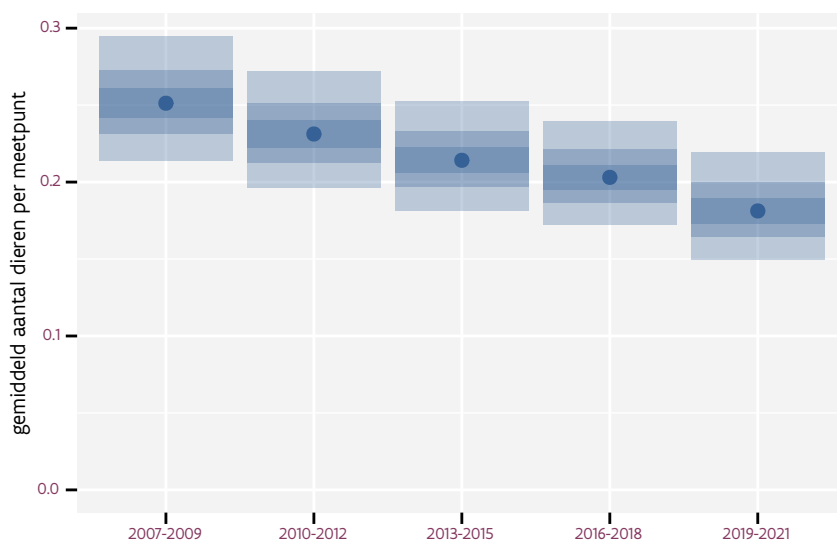
Tabel 91.2: Data-hashes van de analyses in het kader van traceerbaarheid (zie §5.3).

frequentie	model	analyse	status
jaarlijks	lineair	08723ae39e78bae2bd1f c72835806d383973832b	bd84c71f107bb0f7866e 3f9d575b6e7692acf47c
jaarlijks	niet-lineair	36ae9ff9f1b1c3a7e775 d570da37ac5fd8bee385	95e09116eadd365383f1 f8480a31044bb08eca96
driejaarlijks	lineair	015c86ddae91caba75a0 5d299506cd9449b1371a	8e28e213307b5910396d 6a809b4bc774be179a10
driejaarlijks	niet-lineair	d0f2172f1efda5ef320c f6dfd4d130d75c73bada	559fa1c08b020deaac67 bc161cbbb8b21f343c07

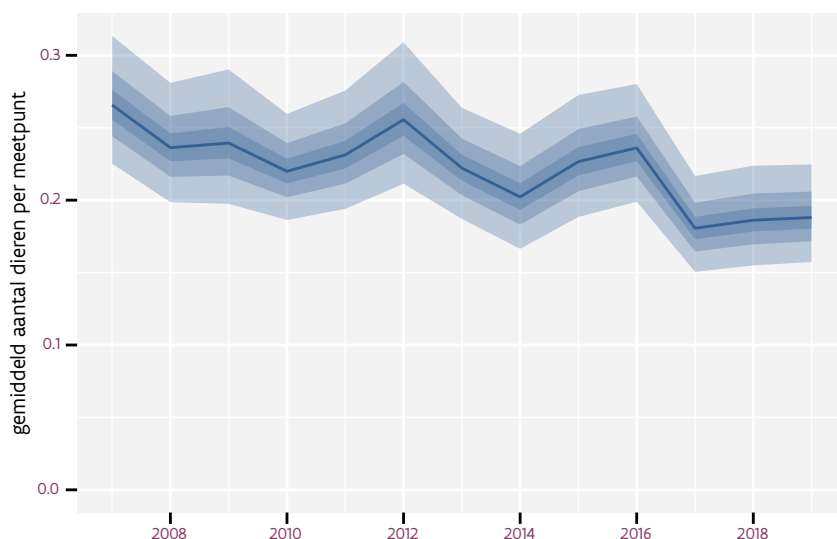
92 VELDLEEUWERIK

Op basis van driejaarlijkse gegevens zien we gemiddeld een afname met -2.7% (-3.4%; -2.0%) per jaar of -28% (-34%; -22%) over de volledige looptijd van het meetnet. Deze trend is lineair.

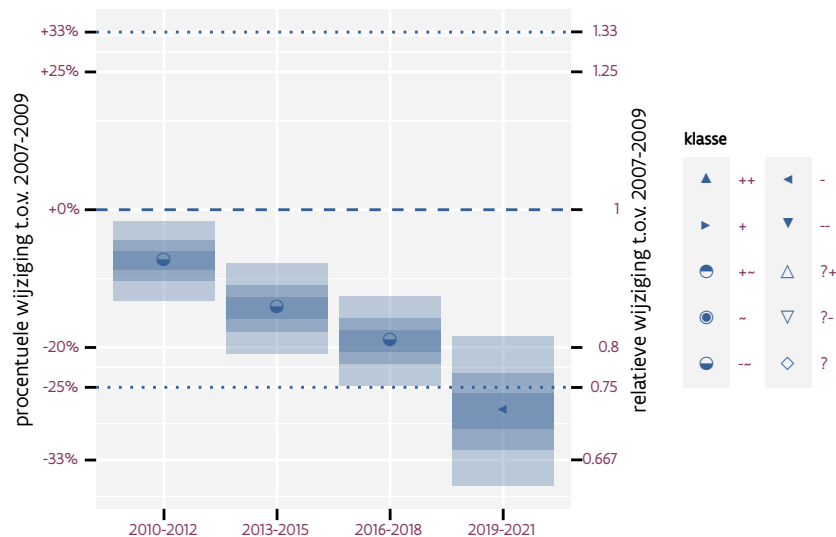
Op basis van jaarlijkse gegevens zien we gemiddeld een afname met -2.7% (-3.4%; -2.0%) per jaar of -28% (-34%; -22%) over de volledige looptijd van het meetnet. Deze trend is niet-lineair.



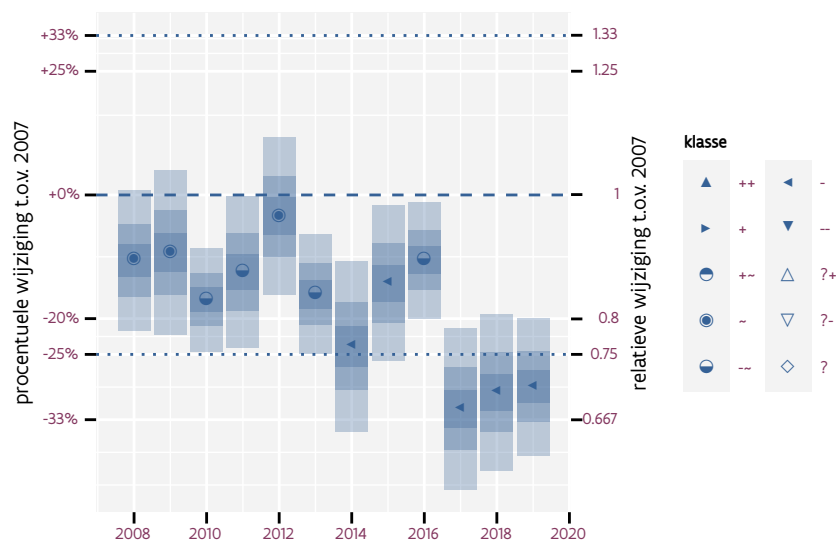
Figuur 92.1: Evolutie van het gemodeleerde gemiddeld aantal waargenomen dieren op een meetpunt voor Veldleeuwerik tijdens de referentieperiode. Zie §4.1 voor een verklaring van de intervallen.



Figuur 92.2: Evolutie van het gemodeleerde gemiddeld aantal waargenomen dieren op een meetpunt voor Veldleeuwerik tijdens de referentieperiode. Zie §4.1 voor een verklaring van de intervallen.



Figuur 92.3: Wijzigingen t.o.v. het eerste driejarige cyclus voor Veldleeuwerik. Zie §4.1 voor een verklaring van de intervallen en §4.2 voor uitleg over de symbolen en referentielijnen.



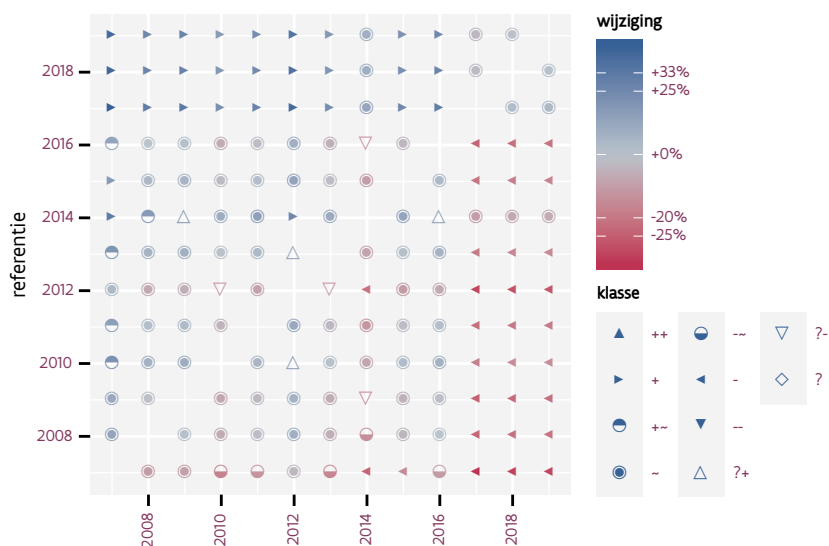
Figuur 92.4: Wijzigingen t.o.v. het eerste jaar voor Veldleeuwerik. Zie §4.1 voor een verklaring van de intervallen en §4.2 voor uitleg over de symbolen en referentielijnen.

Tabel 92.1: Stratumgewicht, raming aan het aantal hokken waarin de soort aanwezig is, aantal relevant hokken voor de analyse, aantal onderzochte hokken in het stratum, totaal aantal hokken van het stratum in Vlaanderen en aantal bezoeken aan een meetpunt voor Veldleeuwerik (zie §3.5).

stratum	gewicht	aanwezig	relevant	onderzocht	totaal	bezoeken
Landbouw	95.7%	2281.4	154	426	6311	9214
Heide en duin	2.6%	59.0	27	91	199	1724
Moeras en water	0.6%	13.7	8	80	137	469
Suburbaan	0.6%	11.8	4	68	201	112
Bos	0.5%	10.1	6	190	319	384



Figuur 92.5: Paarsgewijze vergelijking tussen driejarige cycli voor Veldleeuwerik. Uitleg van de symbolen in tabel 4.1.



Figuur 92.6: Paarsgewijze vergelijking tussen jaren voor Veldleeuwerik. Uitleg van de symbolen in tabel 4.1.

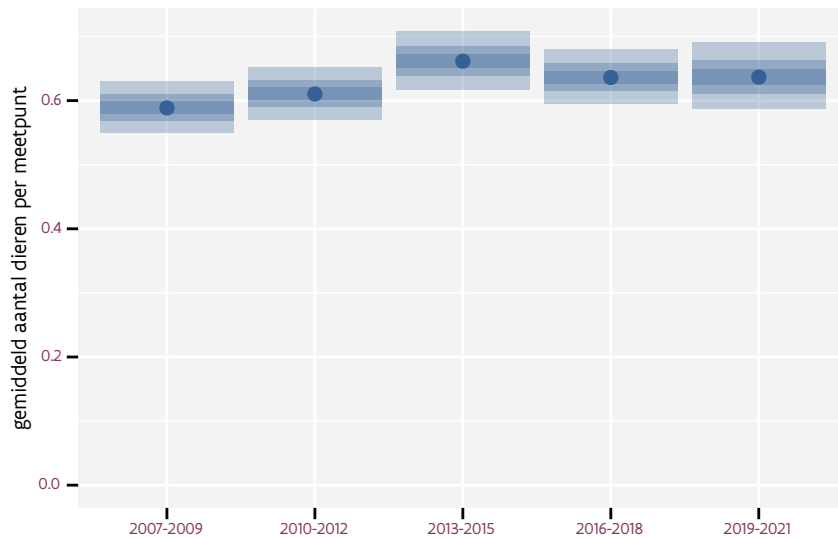
Tabel 92.2: Data-hashes van de analyses in het kader van traceerbaarheid (zie §5.3).

frequentie	model	analyse	status
jaarlijks	lineair	77f9b43dc4dd36278edb 72a02bcc0c13f3e9b3f6	7337d2d7ba6bac0729b9 bdc199ea5e8a1522e62d
jaarlijks	niet-lineair	2b19a26a8771d0d80893 88e04d2b845fd2639629	3586193bcadf48c564bb cb5fcff00c0715ea3e2d
driejaarlijks	lineair	ba53ff281903580b02e7 733c09a01152058829c9	41dcf52bb9b734ff04d0 07480d0ad76a5a352804
driejaarlijks	niet-lineair	b5b80130155b1521b93e 5934905879e992f10cde	02f832b71b390a6394fc 3cc17133fc3c37e0d5c6

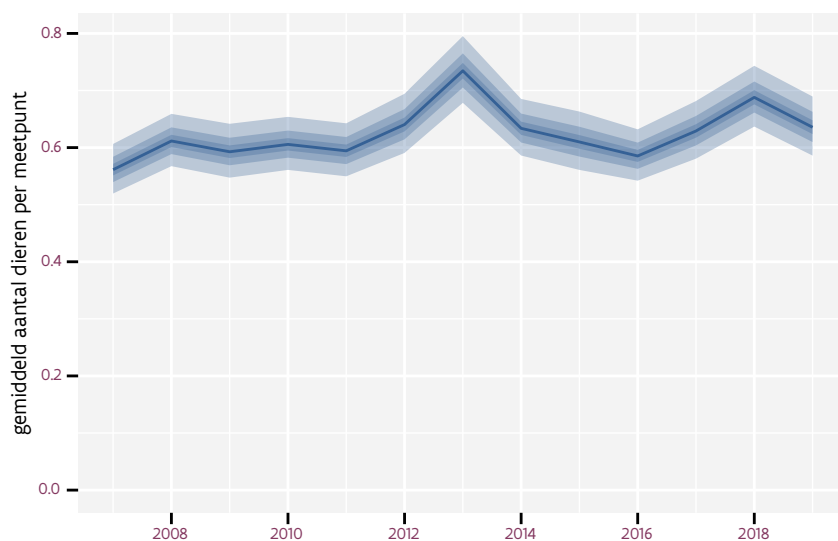
93 VINK

Op basis van driejaarlijkse gegevens zien we gemiddeld een matige toename met +0.911% (+0.558%; +1.265%) per jaar of +11.49% (+6.91%; +16.28%) over de volledige looptijd van het meetnet. Deze trend is niet-lineair.

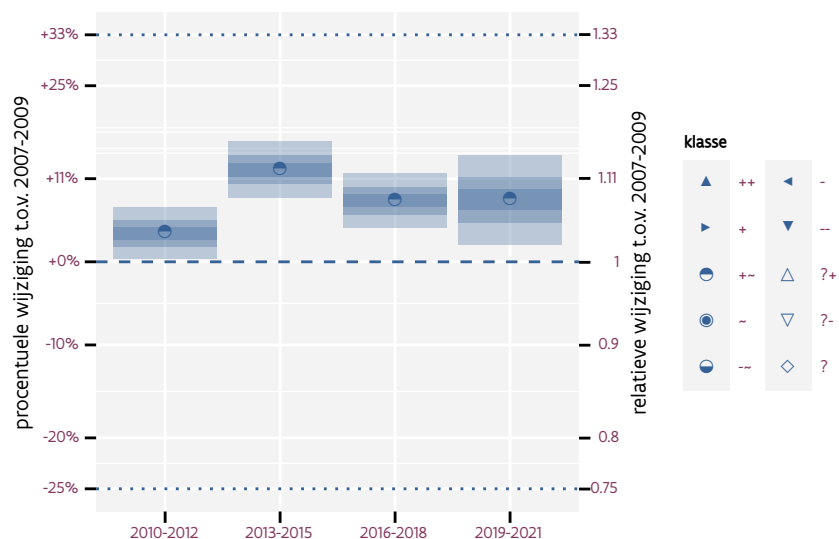
Op basis van jaarlijkse gegevens zien we gemiddeld een matige toename met +0.932% (+0.580%; +1.285%) per jaar of +11.77% (+7.19%; +16.56%) over de volledige looptijd van het meetnet. Deze trend is niet-lineair.



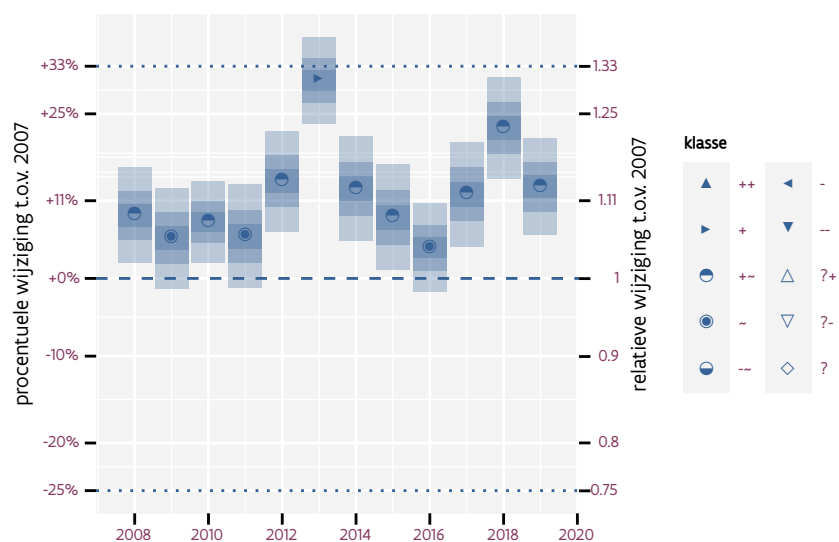
Figuur 93.1: Evolutie van het gemodeleerde gemiddeld aantal waargenomen dieren op een meetpunt voor Vink tijdens de referentieperiode. Zie §4.1 voor een verklaring van de intervallen.



Figuur 93.2: Evolutie van het gemodeleerde gemiddeld aantal waargenomen dieren op een meetpunt voor Vink tijdens de referentieperiode. Zie §4.1 voor een verklaring van de intervallen.



Figuur 93.3: Wijzigingen t.o.v. het eerste driejarige cyclus voor Vink. Zie §4.1 voor een verklaring van de intervallen en §4.2 voor uitleg over de symbolen en referentielijnen.



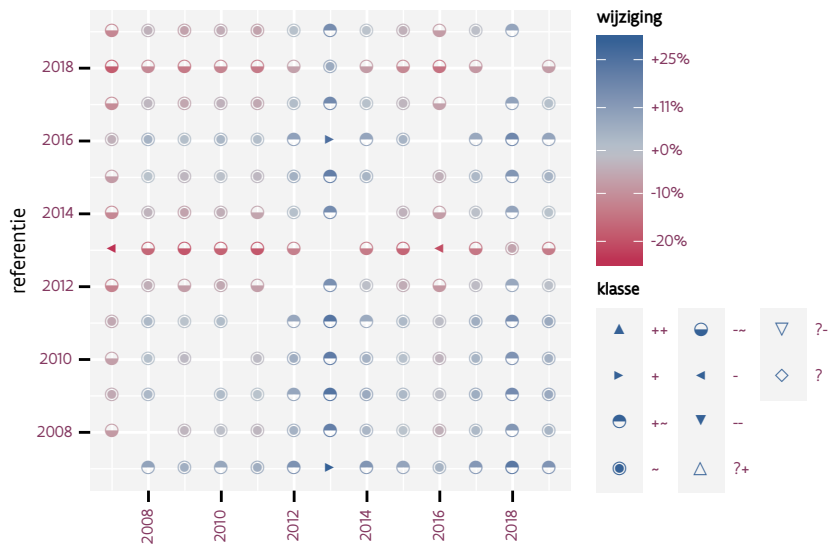
Figuur 93.4: Wijzigingen t.o.v. het eerste jaar voor Vink. Zie §4.1 voor een verklaring van de intervallen en §4.2 voor uitleg over de symbolen en referentielijnen.

Tabel 93.1: Stratumgewicht, raming aan het aantal hokken waarin de soort aanwezig is, aantal relevant hokken voor de analyse, aantal onderzochte hokken in het stratum, totaal aantal hokken van het stratum in Vlaanderen en aantal bezoeken aan een meetpunt voor Vink (zie §3.5).

stratum	gewicht	aanwezig	relevant	onderzocht	totaal	bezoeken
Landbouw	82.8%	4370.3	295	426	6311	17137
Urbaan	5.6%	291.7	61	87	416	3602
Bos	4.4%	231.7	138	190	319	8298
Heide en duin	2.9%	153.1	70	91	199	4244
Suburbaan	2.5%	127.1	43	68	201	2385
Moeras en water	1.7%	89.0	52	80	137	3093



Figuur 93.5: Paarsgewijze vergelijking tussen driejarige cycli voor Vink. Uitleg van de symbolen in tabel 4.1.



Figuur 93.6: Paarsgewijze vergelijking tussen jaren voor Vink. Uitleg van de symbolen in tabel 4.1.

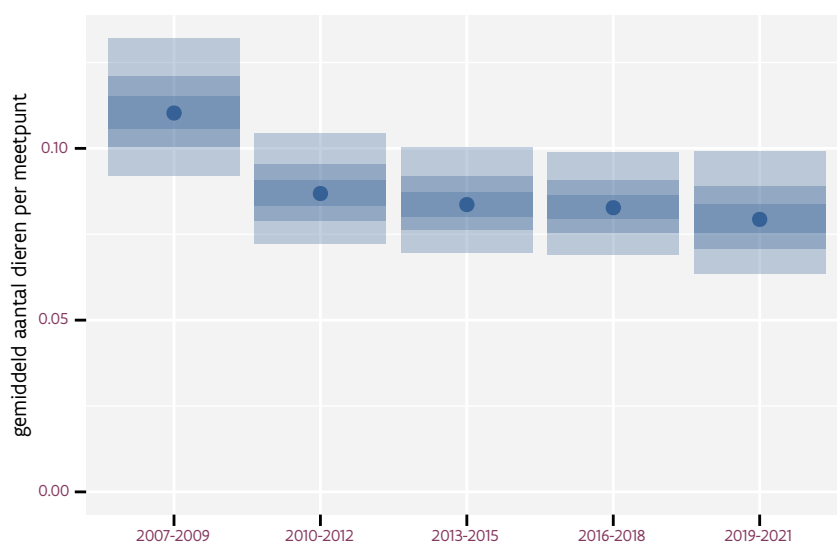
Tabel 93.2: Data-hashes van de analyses in het kader van traceerbaarheid (zie §5.3).

frequentie	model	analyse	status
jaarlijks	lineair	38b1f4c0d382f1de297f 0d690b3e7f952b6a2f7e	a7fe13437ac4371acc02 77d9c6eece2e75882f61
jaarlijks	niet-lineair	480d2ce30ffaf86e29cb 09832482fc512f9bda35	738b17dc3dd60d9dcd72 dc56bcbfac3673590a49
driejaarlijks	lineair	dc66574fc476e3cd2272 cfea7ca28c1e69e53982	18d5d30ad9f12cf5fae6 000405af9a73f8967bdd
driejaarlijks	niet-lineair	11f268df1e9aacf076ad 11613f6aff8cce600c9c	5bf89cf72edb28fb08d9 81a32d343618798cd4f5

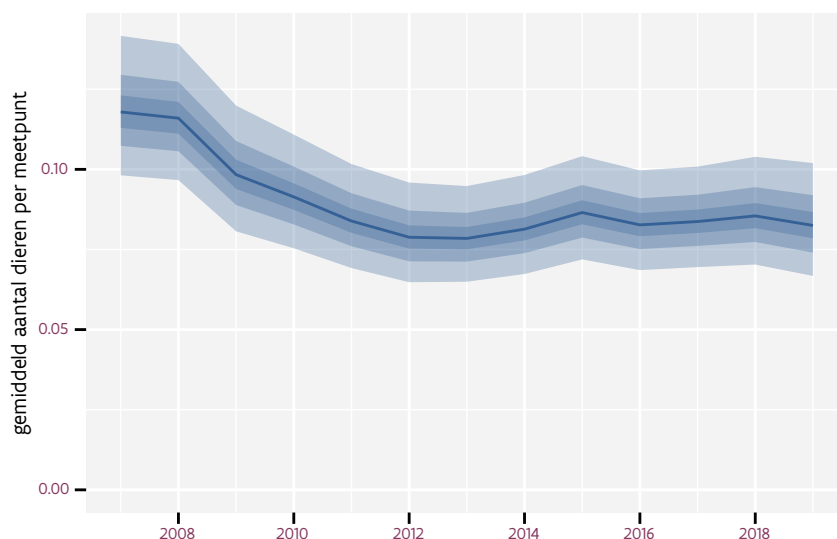
94 WATERHOEN

Op basis van driejaarlijkse gegevens zien we gemiddeld een afname met -3.3% (-4.5%; -2.2%) per jaar of -33% (-42%; -23%) over de volledige looptijd van het meetnet. Deze trend is niet-lineair.

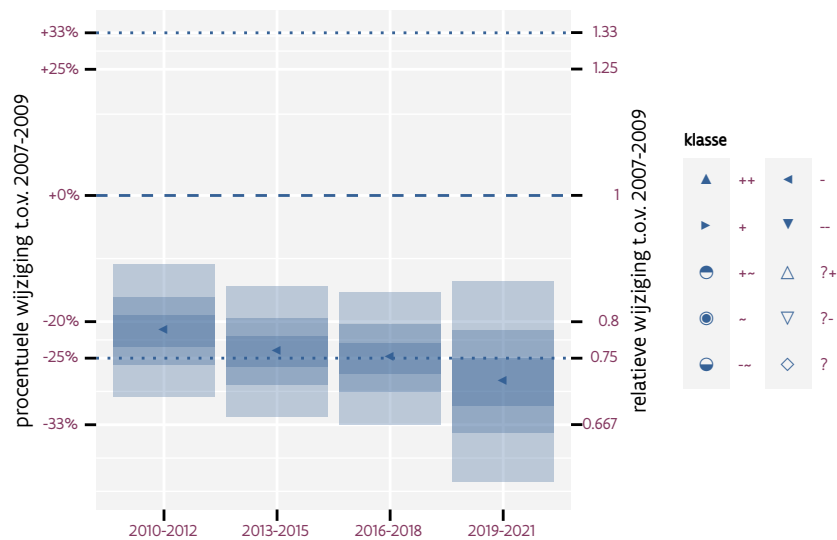
Op basis van jaarlijkse gegevens zien we gemiddeld een afname met -3.3% (-4.4%; -2.1%) per jaar of -33% (-42%; -22%) over de volledige looptijd van het meetnet. Deze trend is niet-lineair.



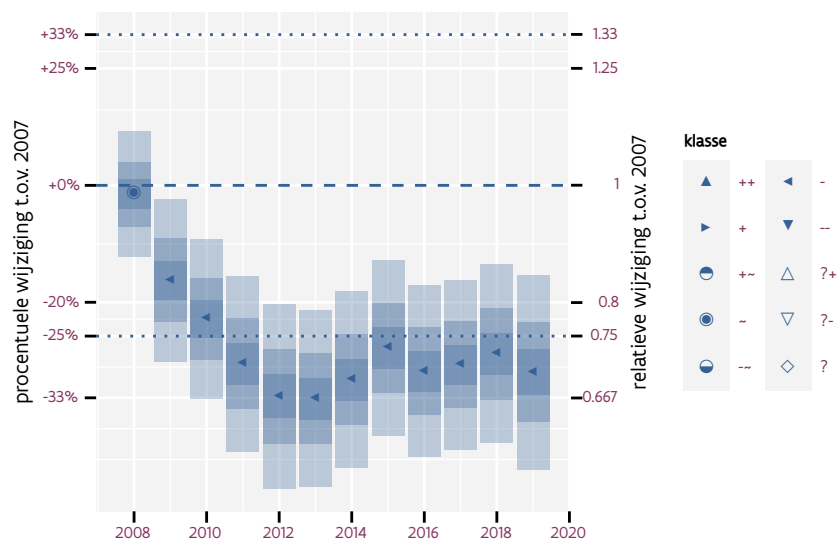
Figuur 94.1: Evolutie van het gemodeleerde gemiddeld aantal waargenomen dieren op een meetpunt voor Waterhoen tijdens de referentieperiode. Zie §4.1 voor een verklaring van de intervallen.



Figuur 94.2: Evolutie van het gemodeleerde gemiddeld aantal waargenomen dieren op een meetpunt voor Waterhoen tijdens de referentieperiode. Zie §4.1 voor een verklaring van de intervallen.



Figuur 94.3: Wijzigingen t.o.v. het eerste driejarige cyclus voor Waterhoen. Zie §4.1 voor een verklaring van de intervallen en §4.2 voor uitleg over de symbolen en referentielijnen.



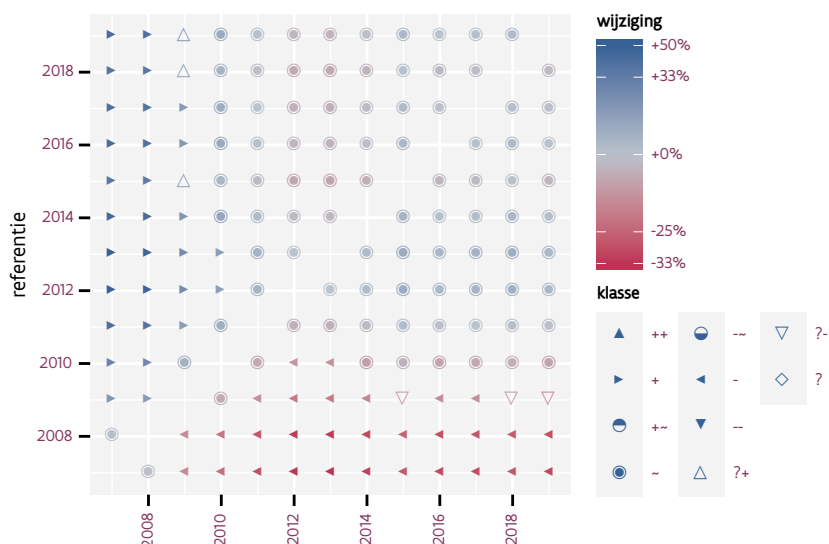
Figuur 94.4: Wijzigingen t.o.v. het eerste jaar voor Waterhoen. Zie §4.1 voor een verklaring van de intervallen en §4.2 voor uitleg over de symbolen en referentielijnen.

Tabel 94.1: Stratumgewicht, raming aan het aantal hokken waarin de soort aanwezig is, aantal relevant hokken voor de analyse, aantal onderzochte hokken in het stratum, totaal aantal hokken van het stratum in Vlaanderen en aantal bezoeken aan een meetpunt voor Waterhoen (zie §3.5).

stratum	gewicht	aanwezig	relevant	onderzocht	totaal	bezoeken
Landbouw	89.9%	1866.6	126	426	6311	7668
Urbaan	3.7%	71.7	15	87	416	965
Moeras en water	2.4%	48.0	28	80	137	1790
Suburbaan	1.6%	29.6	10	68	201	721
Heide en duin	1.3%	24.1	11	91	199	708
Bos	1.2%	23.5	14	190	319	1101



Figuur 94.5: Paarsgewijze vergelijking tussen driejarige cycli voor Waterhoen. Uitleg van de symbolen in tabel 4.1.



Figuur 94.6: Paarsgewijze vergelijking tussen jaren voor Waterhoen. Uitleg van de symbolen in tabel 4.1.

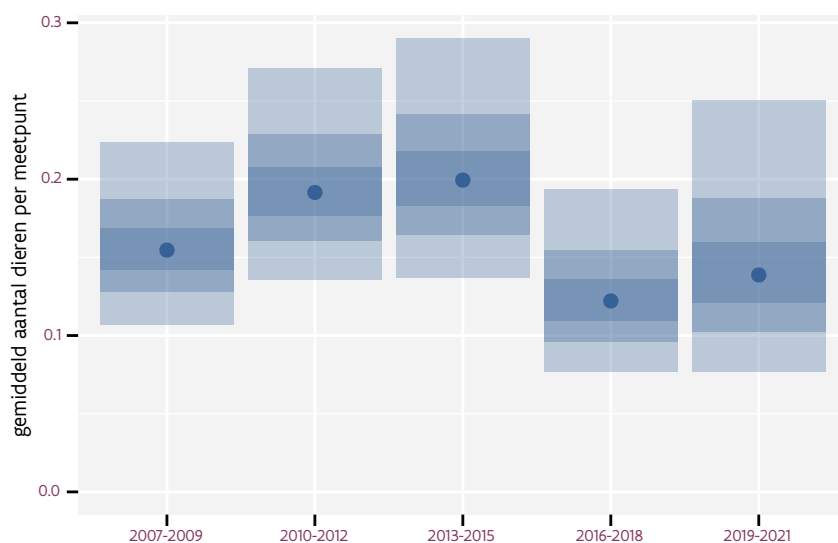
Tabel 94.2: Data-hashes van de analyses in het kader van traceerbaarheid (zie §5.3).

frequentie	model	analyse	status
jaarlijks	lineair	914f2499a5462310214c 660b8f98d795751ee025	383e515f4090f0d33d59 f3ac91ba085b72bdfd7e
jaarlijks	niet-lineair	58c50c91449c799397a3 7f98d68d2d0c4064ce32	6590bcd9bf65a4e2e0eb fd2910b1e567b3af1904
driejaarlijks	lineair	7a605bdc1eafb154ab07 dd006b01f15b67abd5aa	5538d271256e6a887a87 599f8610a947d47e5c3c
driejaarlijks	niet-lineair	db92feb2b96c2f7e4ae2 000e8012fa7a7173b29d	7fec373300ce3e6d3ae2 94ee14f3a22820cb6dfa

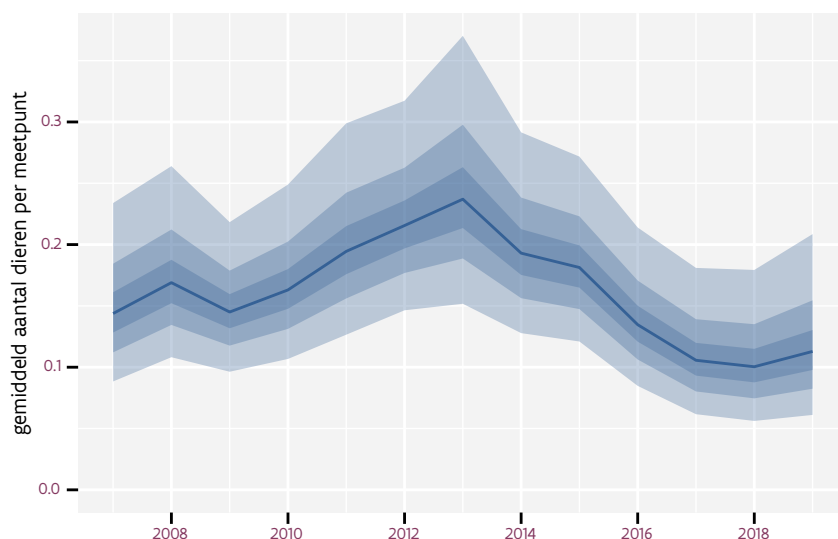
95 WIELEWAAL

Op basis van driejaarlijkse gegevens zien we gemiddeld een onduidelijke trend van -1.5% (-5.7%; +2.9%) per jaar of -17% (-51%; +41%) over de volledige looptijd van het meetnet. Deze trend is niet-lineair.

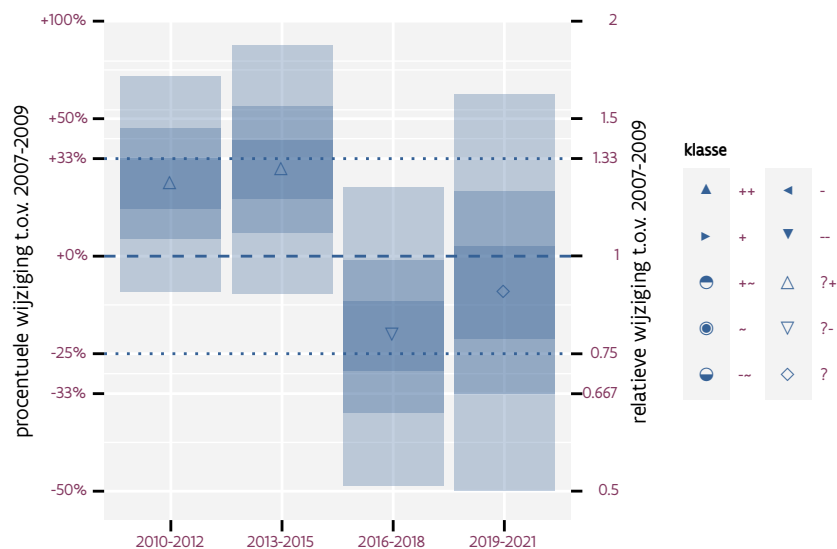
Op basis van jaarlijkse gegevens zien we gemiddeld een onduidelijke trend van -1.7% (-5.9%; +2.7%) per jaar of -19% (-52%; +37%) over de volledige looptijd van het meetnet. Deze trend is niet-lineair.



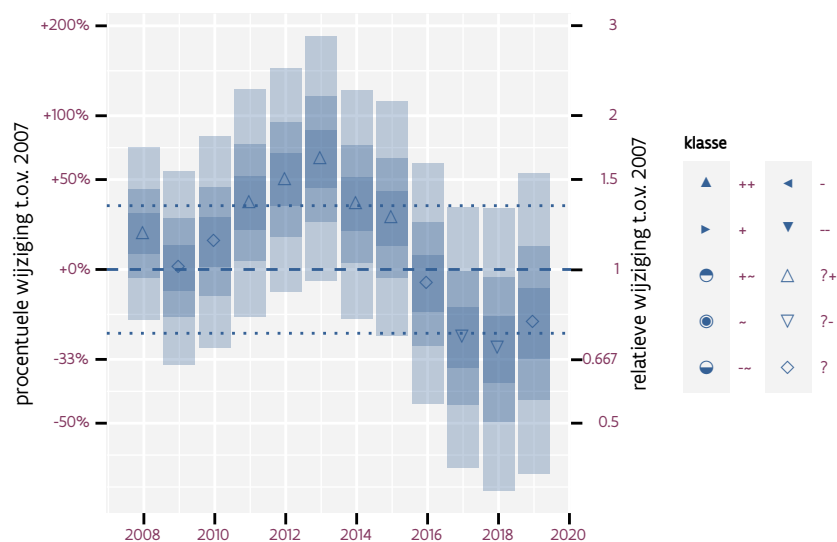
Figuur 95.1: Evolutie van het gemodeleerde gemiddeld aantal waargenomen dieren op een meetpunt voor Wielewaal tijdens de referentieperiode. Zie §4.1 voor een verklaring van de intervallen.



Figuur 95.2: Evolutie van het gemodeleerde gemiddeld aantal waargenomen dieren op een meetpunt voor Wielewaal tijdens de referentieperiode. Zie §4.1 voor een verklaring van de intervallen.



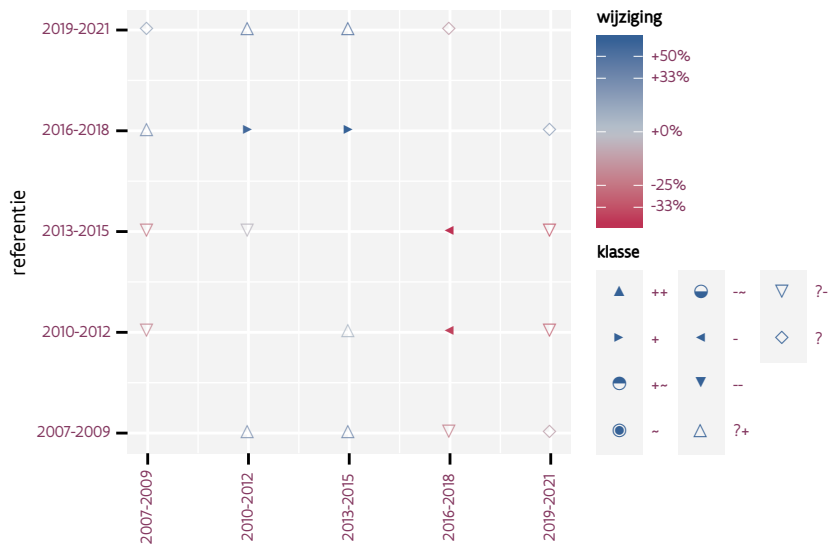
Figuur 95.3: Wijzigingen t.o.v. het eerste driejarige cyclus voor Wielewaal. Zie §4.1 voor een verklaring van de intervallen en §4.2 voor uitleg over de symbolen en referentielijnen.



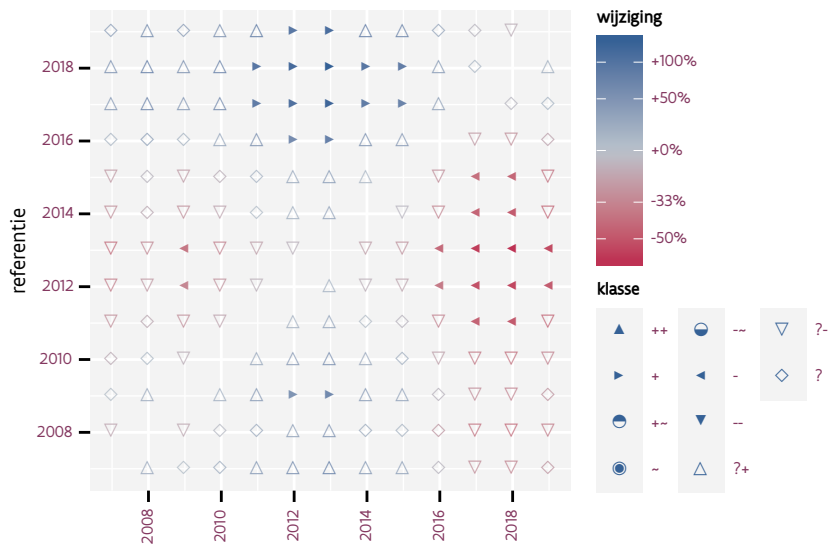
Figuur 95.4: Wijzigingen t.o.v. het eerste jaar voor Wielewaal. Zie §4.1 voor een verklaring van de intervallen en §4.2 voor uitleg over de symbolen en referentielijnen.

Tabel 95.1: Stratumgewicht, raming aan het aantal hokken waarin de soort aanwezig is, aantal relevant hokken voor de analyse, aantal onderzochte hokken in het stratum, totaal aantal hokken van het stratum in Vlaanderen en aantal bezoeken aan een meetpunt voor Wielewaal (zie §3.5).

stratum	gewicht	aanwezig	relevant	onderzocht	totaal	bezoeken
Landbouw	85.6%	192.6	13	426	6311	550
Moeras en water	5.3%	10.3	6	80	137	224
Bos	5.2%	10.1	6	190	319	262
Heide en duin	3.9%	6.6	3	91	199	126



Figuur 95.5: Paarsgewijze vergelijking tussen driejarige cycli voor Wielewaal. Uitleg van de symbolen in tabel 4.1.



Figuur 95.6: Paarsgewijze vergelijking tussen jaren voor Wielewaal. Uitleg van de symbolen in tabel 4.1.

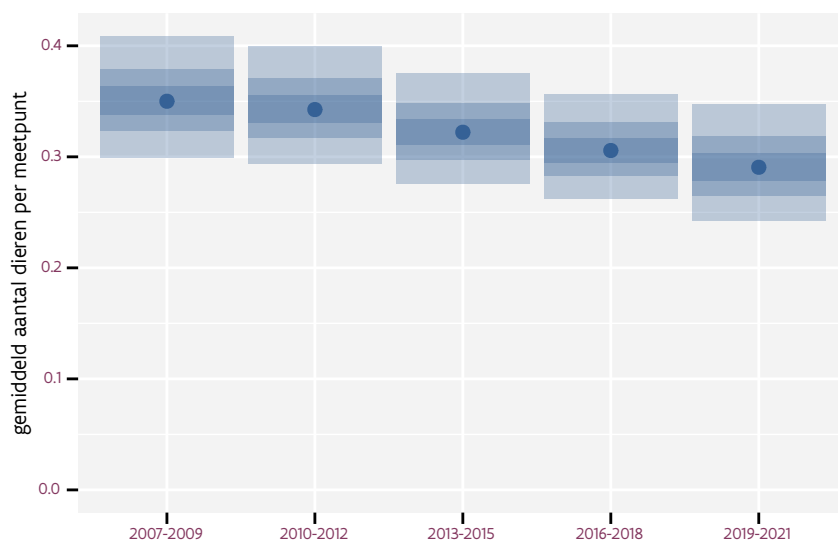
Tabel 95.2: Data-hashes van de analyses in het kader van traceerbaarheid (zie §5.3).

frequentie	model	analyse	status
jaarlijks	lineair	57c9743e568dbc2eb719 76609d4df95fa6679cdd	1391e9832d85b152b2d3 011614932ea4032f9c80
jaarlijks	niet-lineair	a6ec5ac6b964a3f3ed4a 7a18854ace77eb887353	b6700f8bc184b1b11410 89e7ffc93017f5437d89
driejaarlijks	lineair	65d846b99d5a3f9bd9f7 c7c707a3526286236d0c	901e14e0ef8d483f2d17 c57549160617b0d45a66
driejaarlijks	niet-lineair	f358d64a867d1901c006 cfa5a7e9b44e74c7fc38	266b4680f43e478389e9 4530b8e47e7bbd439c9e

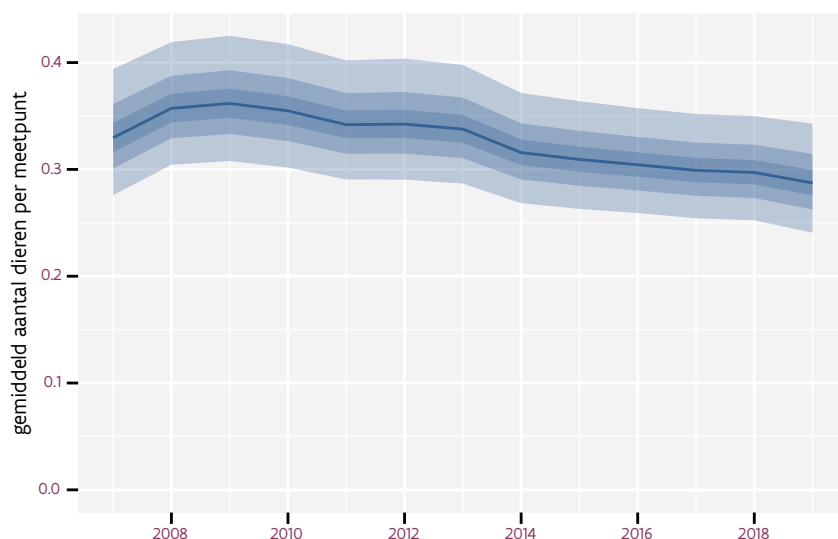
96 WILDE EEND

Op basis van driejaarlijkse gegevens zien we gemiddeld een afname met -2.2% (-3.0%; -1.3%) per jaar of -23% (-31%; -15%) over de volledige looptijd van het meetnet. Deze trend is mogelijk niet-lineair.

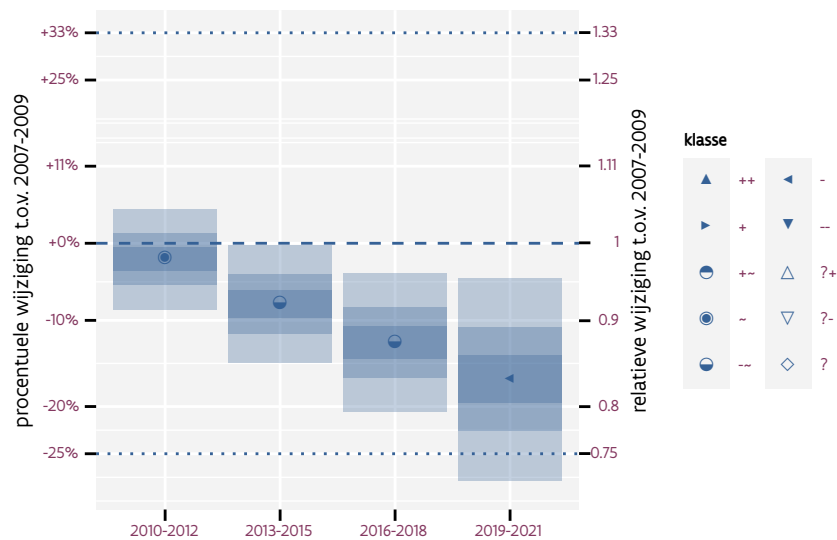
Op basis van jaarlijkse gegevens zien we gemiddeld een afname met -2.1% (-2.9%; -1.2%) per jaar of -22% (-30%; -14%) over de volledige looptijd van het meetnet. Deze trend is niet-lineair.



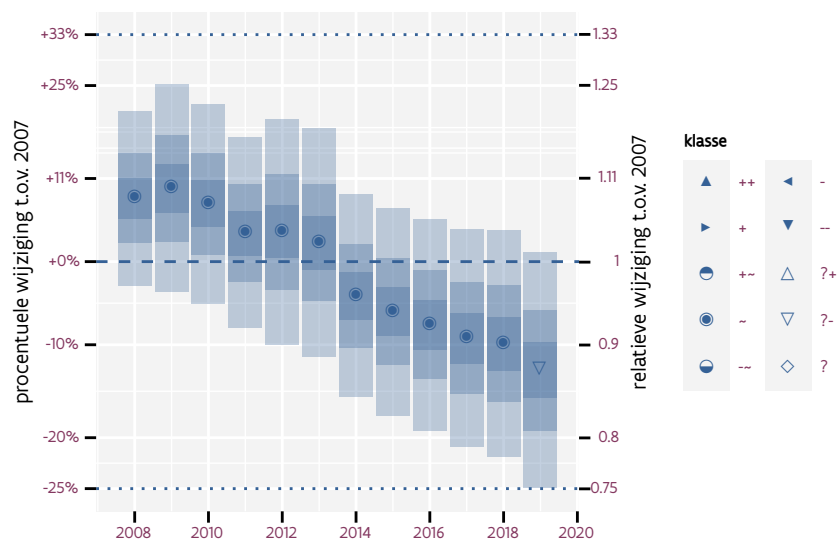
Figuur 96.1: Evolutie van het gemodeleerde gemiddeld aantal waargenomen dieren op een meetpunt voor Wilde eend tijdens de referentieperiode. Zie §4.1 voor een verklaring van de intervallen.



Figuur 96.2: Evolutie van het gemodeleerde gemiddeld aantal waargenomen dieren op een meetpunt voor Wilde eend tijdens de referentieperiode. Zie §4.1 voor een verklaring van de intervallen.



Figuur 96.3: Wijzigingen t.o.v. het eerste driejarige cyclus voor Wilde eend. Zie §4.1 voor een verklaring van de intervallen en §4.2 voor uitleg over de symbolen en referentielijnen.



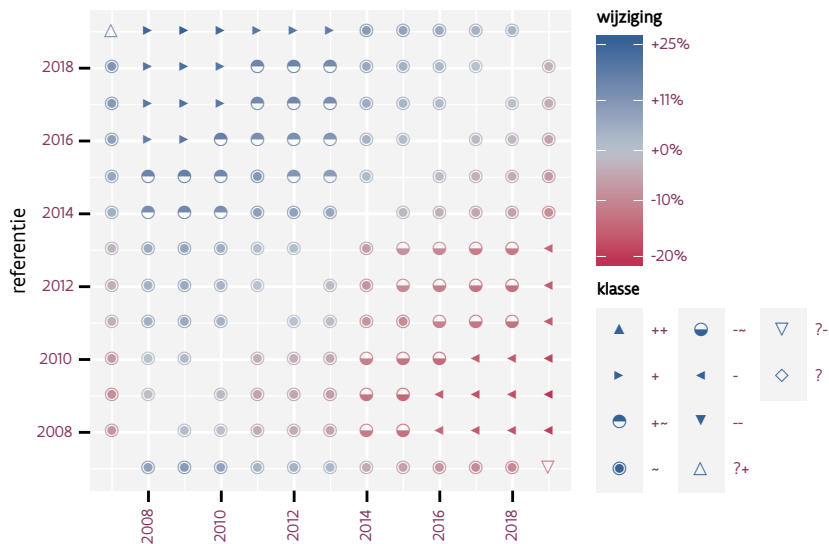
Figuur 96.4: Wijzigingen t.o.v. het eerste jaar voor Wilde eend. Zie §4.1 voor een verklaring van de intervallen en §4.2 voor uitleg over de symbolen en referentielijnen.

Tabel 96.1: Stratumgewicht, raming aan het aantal hokken waarin de soort aanwezig is, aantal relevant hokken voor de analyse, aantal onderzochte hokken in het stratum, totaal aantal hokken van het stratum in Vlaanderen en aantal bezoeken aan een meetpunt voor Wilde eend (zie §3.5).

stratum	gewicht	aanwezig	relevant	onderzocht	totaal	bezoeken
Landbouw	89.4%	3807.3	257	426	6311	15373
Urbaan	2.8%	114.8	24	87	416	1516
Heide en duin	2.4%	98.4	45	91	199	2918
Moeras en water	2.2%	92.5	54	80	137	3174
Suburbaan	1.8%	73.9	25	68	201	1490
Bos	1.5%	60.4	36	190	319	2793



Figuur 96.5: Paarsgewijze vergelijking tussen driejarige cycli voor Wilde eend. Uitleg van de symbolen in tabel 4.1.



Figuur 96.6: Paarsgewijze vergelijking tussen jaren voor Wilde eend. Uitleg van de symbolen in tabel 4.1.

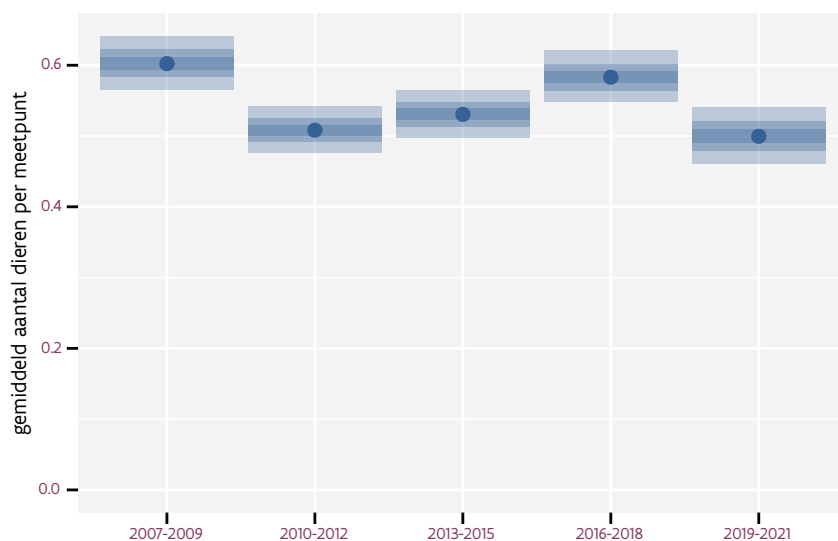
Tabel 96.2: Data-hashes van de analyses in het kader van traceerbaarheid (zie §5.3).

frequentie	model	analyse	status
jaarlijks	lineair	73432648d1fbf8a03124 8ec38f4db3e6d7553125	d25d4fb978530515f8d8 710c21aceb080a34dcda
jaarlijks	niet-lineair	a11498dd4363f579d3d1 90ebbc899f2f70c4ebea	f19cd2f0e2342d5b5459 15fcf13240c34c017916
driejaarlijks	lineair	51f04fb27d72f01b7861 8ce24ea6026eae93b455	dfb66f0f208b4e2903ed ff117509d53ecef072fb
driejaarlijks	niet-lineair	089e8a1f1f0a438f7a11 e9435f52e812aeaef27b	c266bf451471e4cff73c 1b6ed2764b73e2a69645

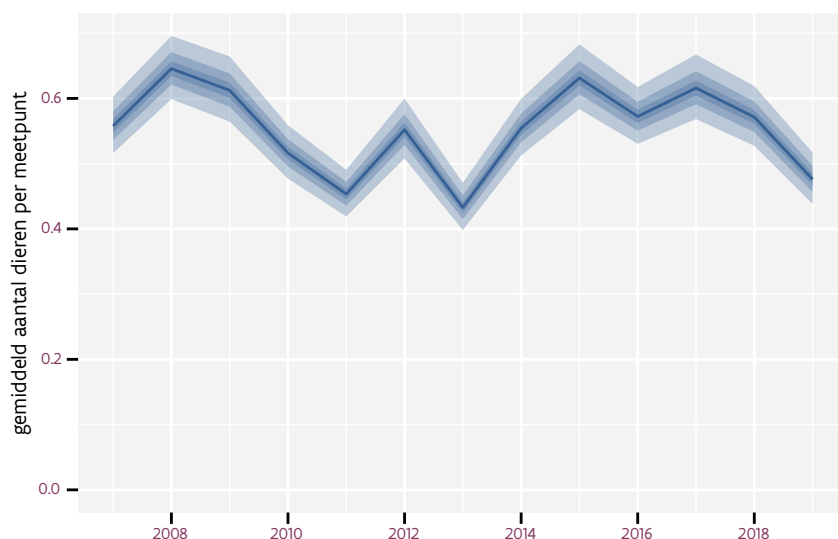
97 WINTERKONING

Op basis van driejaarlijkse gegevens zien we gemiddeld een matige afname met -0.59% (-0.93% ; -0.25%) per jaar of -6.82% (-10.56% ; -2.91%) over de volledige looptijd van het meetnet. Deze trend is niet-lineair.

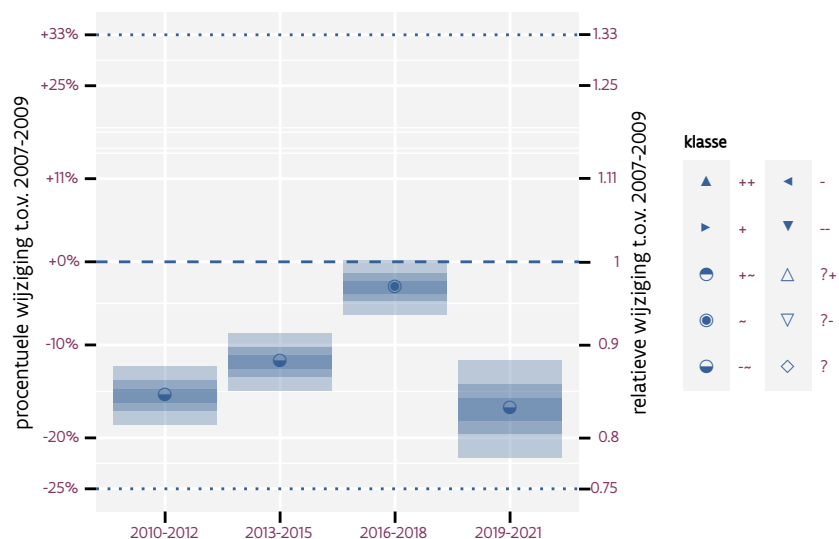
Op basis van jaarlijkse gegevens zien we gemiddeld een matige afname met -0.47% (-0.81% ; -0.12%) per jaar of -5.4% (-9.2% ; -1.5%) over de volledige looptijd van het meetnet. Deze trend is niet-lineair.



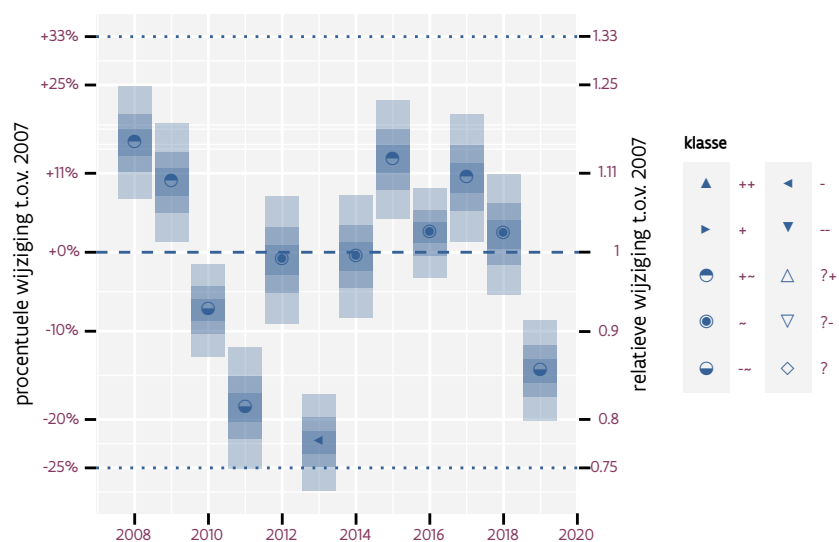
Figuur 97.1: Evolutie van het gemodeleerde gemiddeld aantal waargenomen dieren op een meetpunt voor Winterkoning tijdens de referentieperiode. Zie §4.1 voor een verklaring van de intervallen.



Figuur 97.2: Evolutie van het gemodeleerde gemiddeld aantal waargenomen dieren op een meetpunt voor Winterkoning tijdens de referentieperiode. Zie §4.1 voor een verklaring van de intervallen.



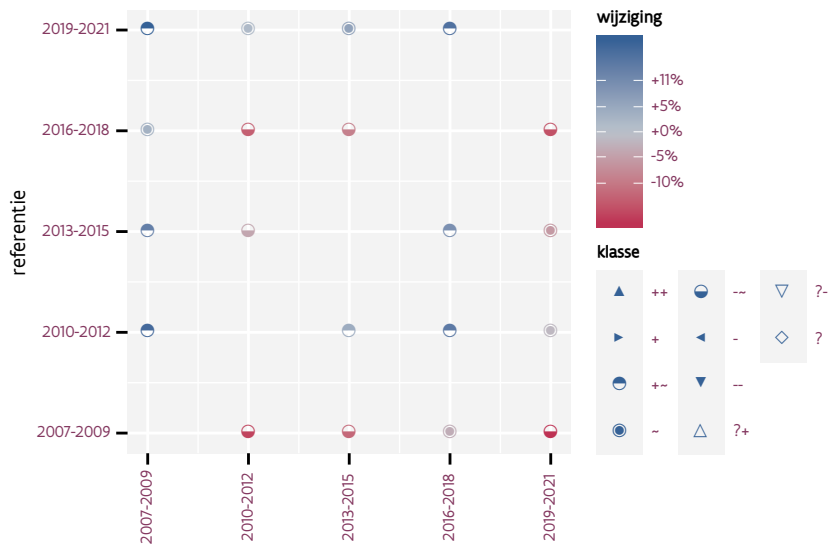
Figuur 97.3: Wijzigingen t.o.v. het eerste driejarige cyclus voor Winterkoning. Zie §4.1 voor een verklaring van de intervallen en §4.2 voor uitleg over de symbolen en referentielijnen.



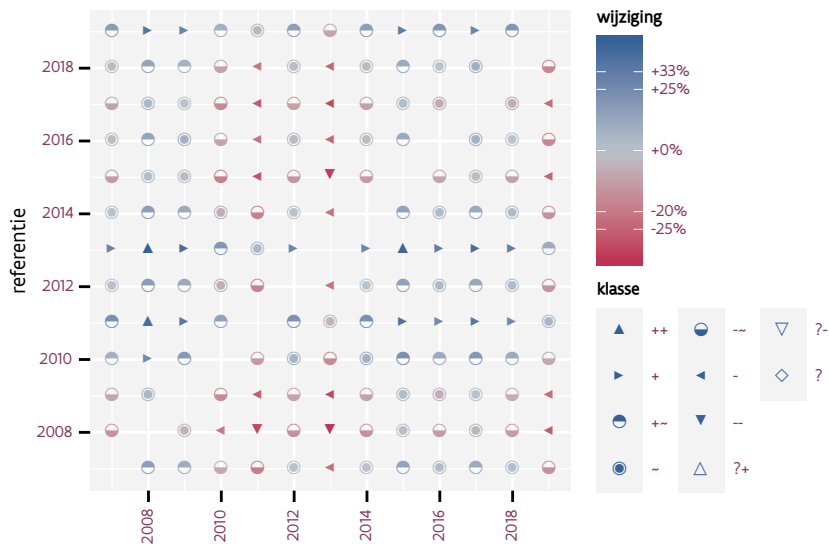
Figuur 97.4: Wijzigingen t.o.v. het eerste jaar voor Winterkoning. Zie §4.1 voor een verklaring van de intervallen en §4.2 voor uitleg over de symbolen en referentielijnen.

Tabel 97.1: Stratumgewicht, raming aan het aantal hokken waarin de soort aanwezig is, aantal relevant hokken voor de analyse, aantal onderzochte hokken in het stratum, totaal aantal hokken van het stratum in Vlaanderen en aantal bezoeken aan een meetpunt voor Winterkoning (zie §3.5).

stratum	gewicht	aanwezig	relevant	onderzocht	totaal	bezoeken
Landbouw	83.1%	4562.9	308	426	6311	17980
Urbaan	5.6%	306.0	64	87	416	3674
Bos	4.1%	226.7	135	190	319	8223
Suburbaan	2.7%	144.8	49	68	201	2807
Heide en duin	2.6%	142.1	65	91	199	4004
Moeras en water	1.8%	97.6	57	80	137	3363



Figuur 97.5: Paarsgewijze vergelijking tussen driejarige cycli voor Winterkoning. Uitleg van de symbolen in tabel 4.1.



Figuur 97.6: Paarsgewijze vergelijking tussen jaren voor Winterkoning. Uitleg van de symbolen in tabel 4.1.

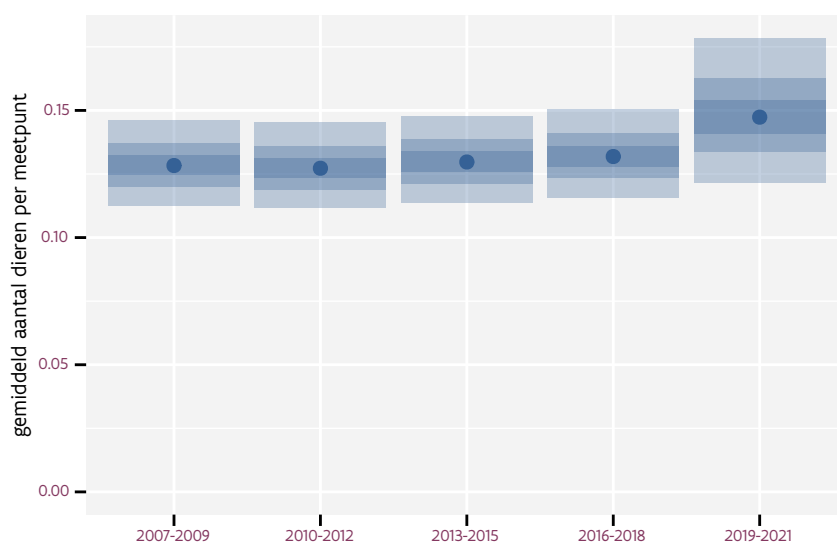
Tabel 97.2: Data-hashes van de analyses in het kader van traceerbaarheid (zie §5.3).

frequentie	model	analyse	status
jaarlijks	lineair	fad98789333187cf8b3e 30a60c7b3b7e70649afc	ef79931288861bf41fa7 169165dae056155786ac
jaarlijks	niet-lineair	c66f97de1c7aad54a9e9 247c1fdd927e6f66c353	29efbc6484da917243ed d40564dd2d5678579d84
driejaarlijks	lineair	386b42bdb21bdaab9616 a7aeb7345f0561dae0b5	6fef234c86d1aa969677 21381a65aa03e037dd52
driejaarlijks	niet-lineair	586d4aacae464c73391c 50651cfc590260c627bc	5d7baf8175f740af4963 a595310de5112a29630d

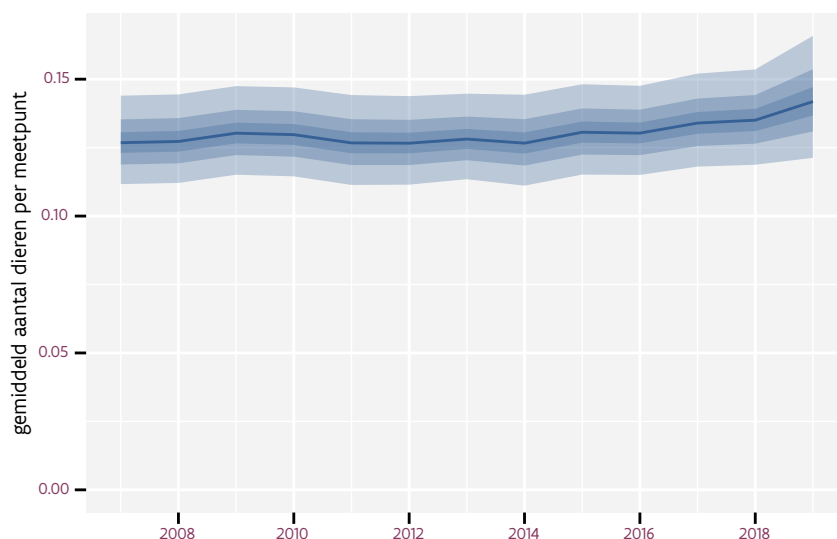
98 WITTE KWIKSTAART

Op basis van driejaarlijkse gegevens zien we gemiddeld een matige toename met +1.01% (+0.09%; +1.93%) per jaar of +13% (+1%; +26%) over de volledige looptijd van het meetnet. Deze trend is niet-lineair.

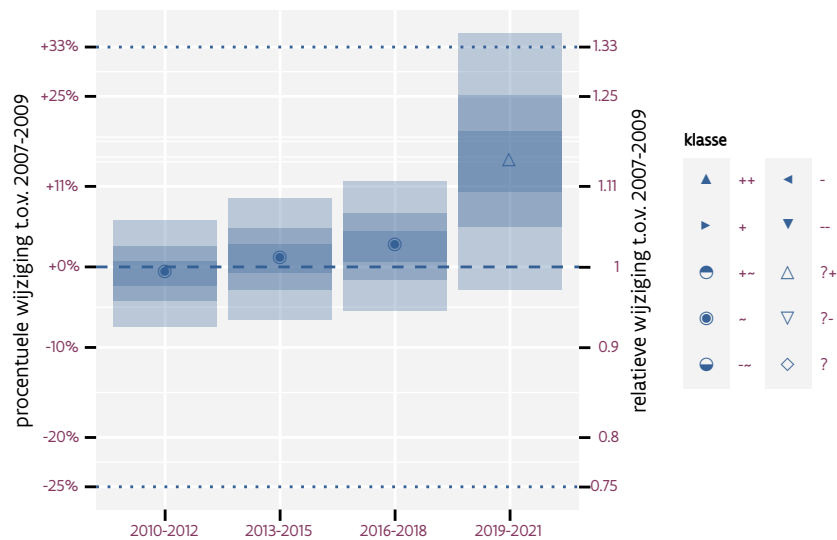
Op basis van jaarlijkse gegevens zien we gemiddeld een matige toename met +0.95% (+0.04%; +1.87%) per jaar of +12% (+0%; +25%) over de volledige looptijd van het meetnet. Deze trend is niet-lineair.



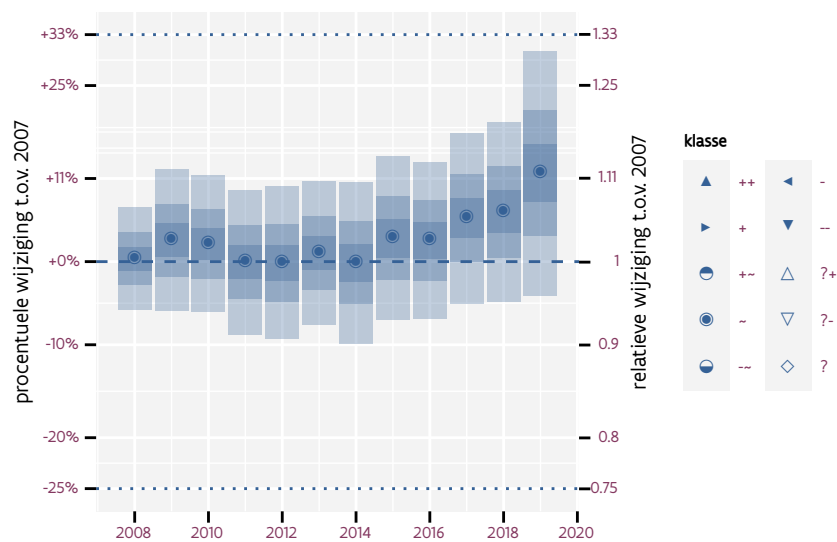
Figuur 98.1: Evolutie van het gemodeleerde gemiddeld aantal waargenomen dieren op een meetpunt voor Witte kwikstaart tijdens de referentieperiode. Zie §4.1 voor een verklaring van de intervallen.



Figuur 98.2: Evolutie van het gemodeleerde gemiddeld aantal waargenomen dieren op een meetpunt voor Witte kwikstaart tijdens de referentieperiode. Zie §4.1 voor een verklaring van de intervallen.



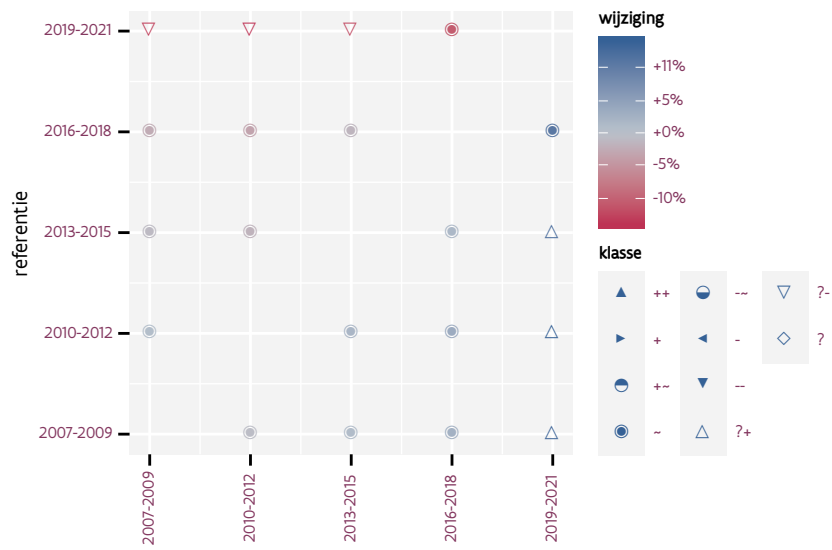
Figuur 98.3: Wijzigingen t.o.v. het eerste driejarige cyclus voor Witte kwikstaart. Zie §4.1 voor een verklaring van de intervallen en §4.2 voor uitleg over de symbolen en referentielijnen.



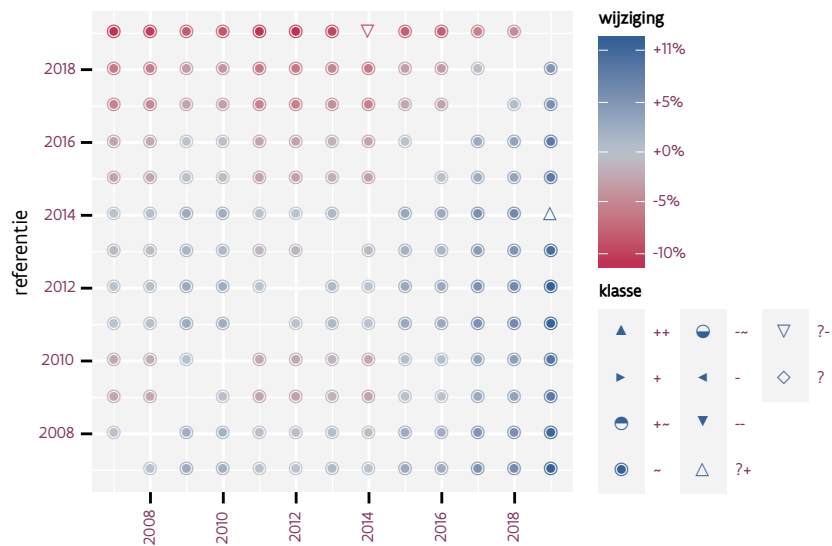
Figuur 98.4: Wijzigingen t.o.v. het eerste jaar voor Witte kwikstaart. Zie §4.1 voor een verklaring van de intervallen en §4.2 voor uitleg over de symbolen en referentielijnen.

Tabel 98.1: Stratumgewicht, raming aan het aantal hokken waarin de soort aanwezig is, aantal relevant hokken voor de analyse, aantal onderzochte hokken in het stratum, totaal aantal hokken van het stratum in Vlaanderen en aantal bezoeken aan een meetpunt voor Witte kwikstaart (zie §3.5).

stratum	gewicht	aanwezig	relevant	onderzocht	totaal	bezoeken
Landbouw	92.8%	3688.8	249	426	6311	15090
Suburbaan	2.1%	79.8	27	68	201	1483
Heide en duin	1.5%	56.9	26	91	199	1776
Moeras en water	1.4%	53.1	31	80	137	1969
Urbaan	1.3%	47.8	10	87	416	779
Bos	1.0%	36.9	22	190	319	1694



Figuur 98.5: Paarsgewijze vergelijking tussen driejarige cycli voor Witte kwikstaart. Uitleg van de symbolen in tabel 4.1.



Figuur 98.6: Paarsgewijze vergelijking tussen jaren voor Witte kwikstaart. Uitleg van de symbolen in tabel 4.1.

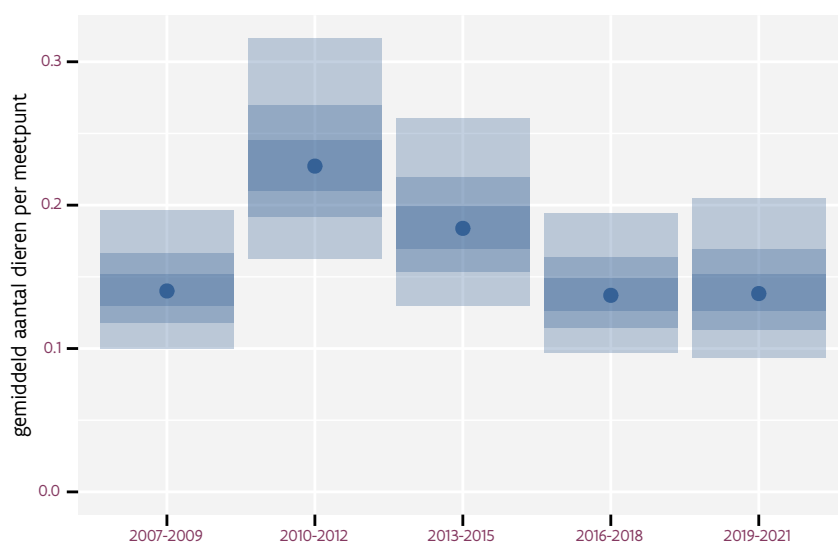
Tabel 98.2: Data-hashes van de analyses in het kader van traceerbaarheid (zie §5.3).

frequentie	model	analyse	status
jaarlijks	lineair	105afd64b82b9955bb41 ca04e35c78d06cf8f2d3	fe1ca67491f79076c5b9 0c807cec906bc74c4f52
jaarlijks	niet-lineair	f258669926a3bf2e4fa3 28c8ce1df7c2c75fe796	579e076ed4d10ba497ed 424b56a0b8996efaef37
driejaarlijks	lineair	526f7de11b41c2b2468f 624a6ad62e957838ba68	6cb8643ea632cb4babaf 6b30e186437859b6d33c
driejaarlijks	niet-lineair	6b2d28021925153a378d 8898797944fc7592b210	4c11294d87c2f18dad6c 57697f2175fe62fbadb0

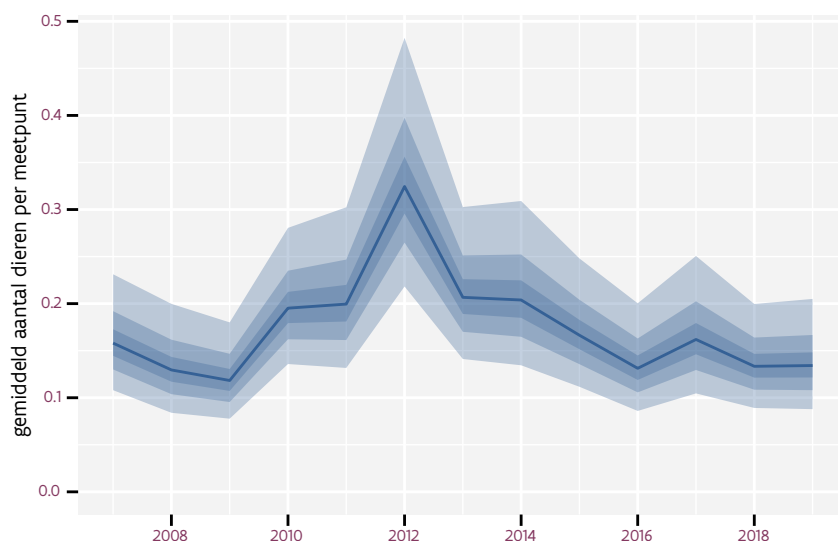
99 WULP

Op basis van driejaarlijkse gegevens zien we gemiddeld een mogelijk afname met -1.7% (-3.8%; +0.4%) per jaar of -19% (-37%; +4%) over de volledige looptijd van het meetnet. Deze trend is niet-lineair.

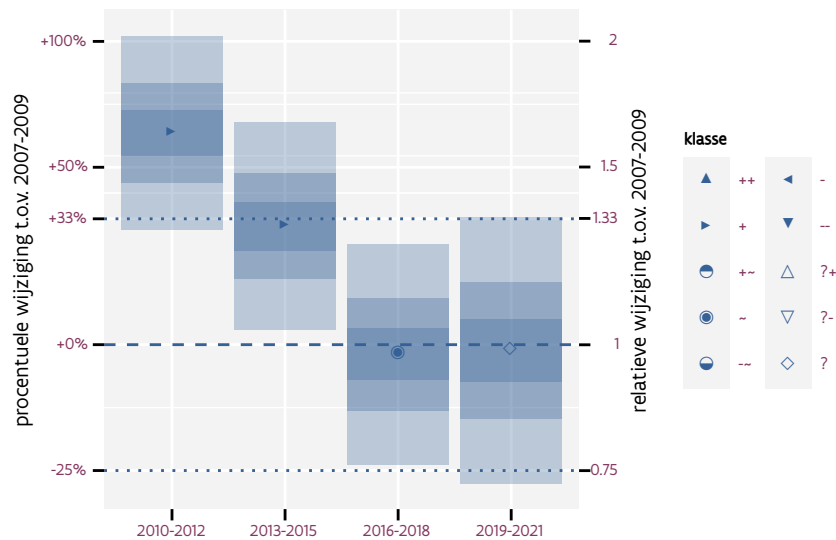
Op basis van jaarlijkse gegevens zien we gemiddeld een mogelijk afname met -1.6% (-3.6%; +0.5%) per jaar of -17% (-36%; +6%) over de volledige looptijd van het meetnet. Deze trend is niet-lineair.



Figuur 99.1: Evolutie van het gemodeleerde gemiddeld aantal waargenomen dieren op een meetpunt voor Wulp tijdens de referentieperiode. Zie §4.1 voor een verklaring van de intervallen.



Figuur 99.2: Evolutie van het gemodeleerde gemiddeld aantal waargenomen dieren op een meetpunt voor Wulp tijdens de referentieperiode. Zie §4.1 voor een verklaring van de intervallen.



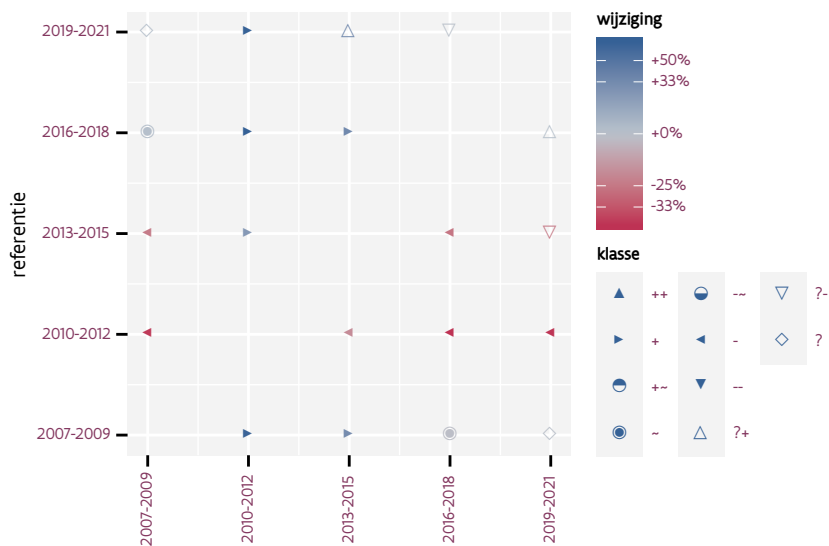
Figuur 99.3: Wijzigingen t.o.v. het eerste driejarige cyclus voor Wulp. Zie §4.1 voor een verklaring van de intervallen en §4.2 voor uitleg over de symbolen en referentielijnen.



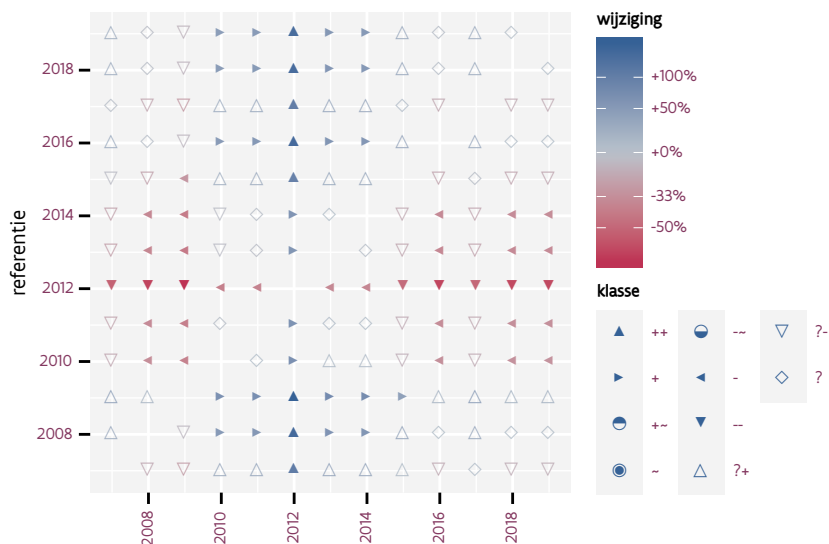
Figuur 99.4: Wijzigingen t.o.v. het eerste jaar voor Wulp. Zie §4.1 voor een verklaring van de intervallen en §4.2 voor uitleg over de symbolen en referentielijnen.

Tabel 99.1: Stratumgewicht, raming aan het aantal hokken waarin de soort aanwezig is, aantal relevant hokken voor de analyse, aantal onderzochte hokken in het stratum, totaal aantal hokken van het stratum in Vlaanderen en aantal bezoeken aan een meetpunt voor Wulp (zie §3.5).

stratum	gewicht	aanwezig	relevant	onderzocht	totaal	bezoeken
Landbouw	87.9%	459.3	31	426	6311	2006
Heide en duin	8.9%	48.1	22	91	199	1508
Moeras en water	1.6%	6.8	4	80	137	270
Bos	1.6%	6.7	4	190	319	240



Figuur 99.5: Paarsgewijze vergelijking tussen driejarige cycli voor Wulp. Uitleg van de symbolen in tabel 4.1.



Figuur 99.6: Paarsgewijze vergelijking tussen jaren voor Wulp. Uitleg van de symbolen in tabel 4.1.

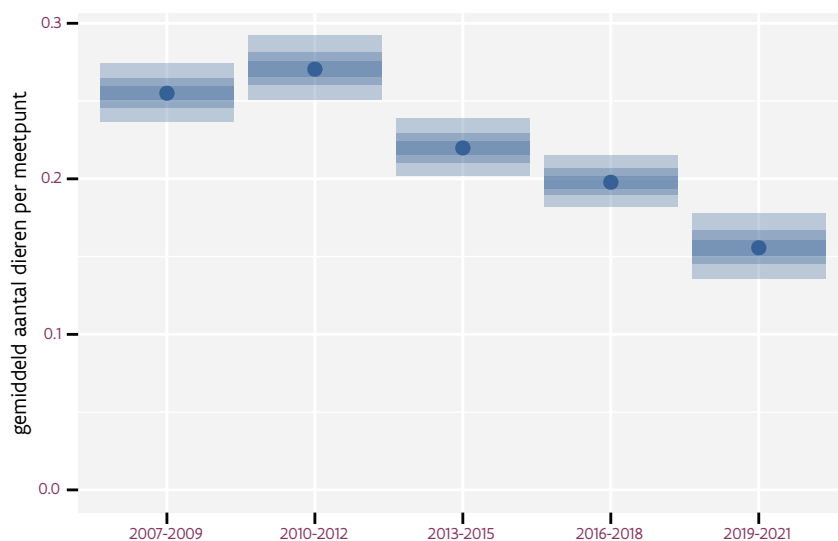
Tabel 99.2: Data-hashes van de analyses in het kader van traceerbaarheid (zie §5.3).

frequentie	model	analyse	status
jaarlijks	lineair	fc15da8493dc5cc00989 64a1eed8c01d55bf2eb2	208ead6cb91b7db82843 3abc3646e9c42a336045
jaarlijks	niet-lineair	ac6c52d876f8113fe9ec bb276ce9b7c726cc2c5b	8e878655ed7538ab7213 d85a2558d0899c68baf4
driejaarlijks	lineair	dff9f2712138007859d3 6614895da5bf02727cef	4be87e157d7609398947 c7ef661334680417729f
driejaarlijks	niet-lineair	05f648b5a704325cce33 3e7a6fe721db509c3bd9	54d195e67da91504789b 22a8a0a777d9a8877fea

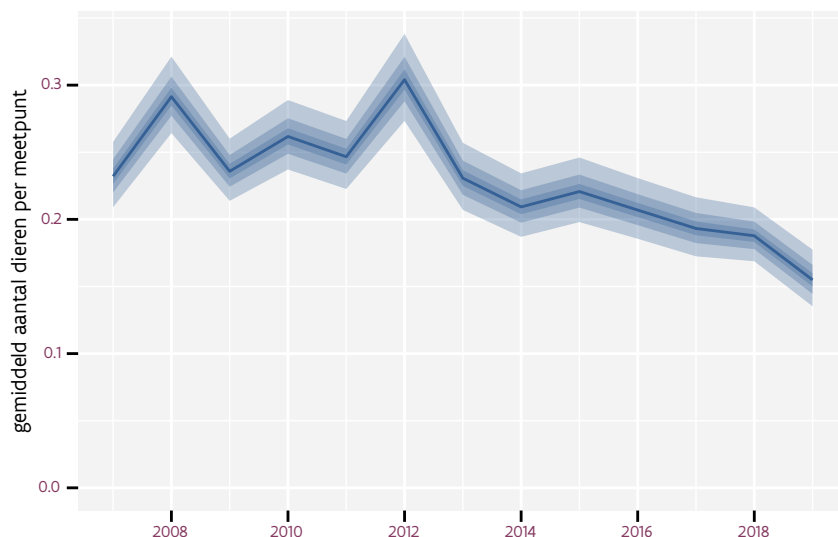
100 ZANGLIJSTER

Op basis van driejaarlijkse gegevens zien we gemiddeld een sterke afname met -3.4% (-4.1%; -2.8%) per jaar of -34% (-39%; -29%) over de volledige looptijd van het meetnet. Deze trend is niet-lineair.

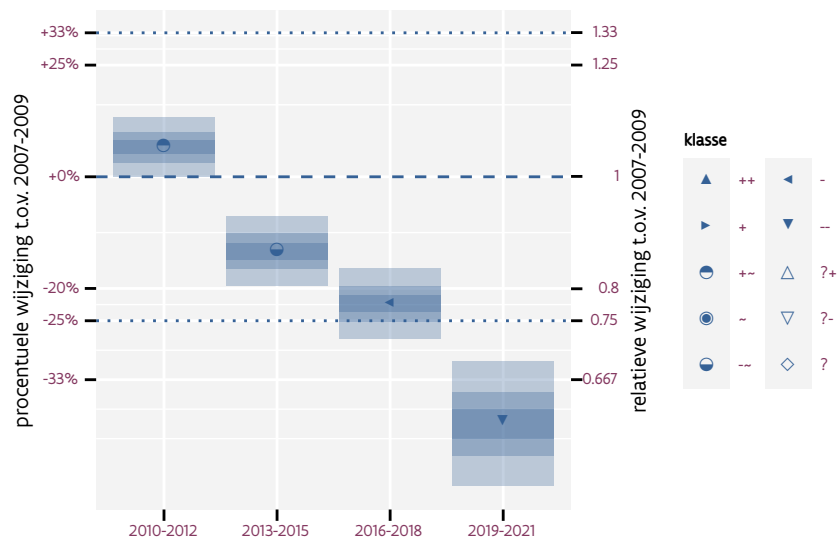
Op basis van jaarlijkse gegevens zien we gemiddeld een sterke afname met -3.3% (-4.0%; -2.7%) per jaar of -33% (-38%; -28%) over de volledige looptijd van het meetnet. Deze trend is niet-lineair.



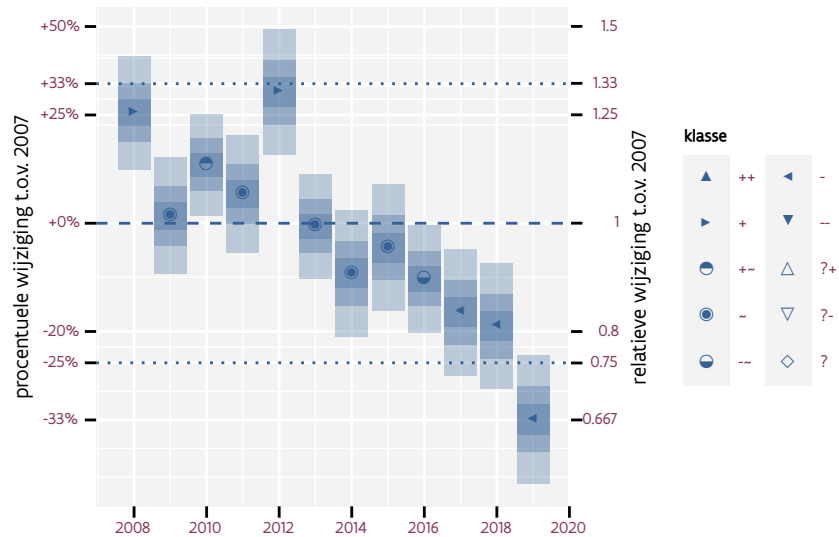
Figuur 100.1: Evolutie van het gemodeleerde gemiddeld aantal waargenomen dieren op een meetpunt voor Zanglijster tijdens de referentieperiode. Zie §4.1 voor een verklaring van de intervallen.



Figuur 100.2: Evolutie van het gemodeleerde gemiddeld aantal waargenomen dieren op een meetpunt voor Zanglijster tijdens de referentieperiode. Zie §4.1 voor een verklaring van de intervallen.



Figuur 100.3: Wijzigingen t.o.v. het eerste driejarige cyclus voor Zanglijster. Zie §4.1 voor een verklaring van de intervallen en §4.2 voor uitleg over de symbolen en referentielijnen.



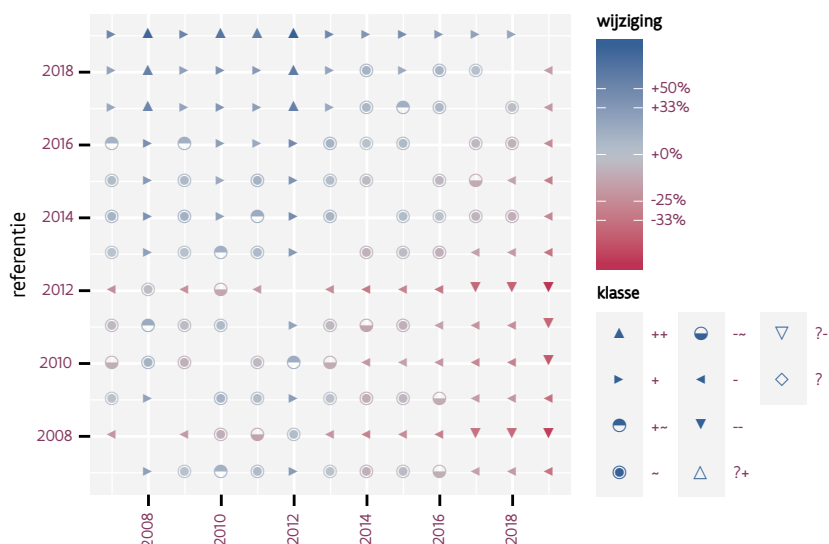
Figuur 100.4: Wijzigingen t.o.v. het eerste jaar voor Zanglijster. Zie §4.1 voor een verklaring van de intervallen en §4.2 voor uitleg over de symbolen en referentielijnen.

Tabel 100.1: Stratumgewicht, raming aan het aantal hokken waarin de soort aanwezig is, aantal relevant hokken voor de analyse, aantal onderzochte hokken in het stratum, totaal aantal hokken van het stratum in Vlaanderen en aantal bezoeken aan een meetpunt voor Zanglijster (zie §3.5).

stratum	gewicht	aanwezig	relevant	onderzocht	totaal	bezoeken
Landbouw	83.0%	3896.2	263	426	6311	15593
Urbaan	5.3%	243.9	51	87	416	3070
Bos	4.6%	214.9	128	190	319	7898
Heide en duin	2.7%	124.6	57	91	199	3761
Suburbaan	2.5%	115.3	39	68	201	2320
Moeras en water	1.9%	85.6	50	80	137	3027



Figuur 100.5: Paarsgewijze vergelijking tussen driejarige cycli voor Zanglijster. Uitleg van de symbolen in tabel 4.1.



Figuur 100.6: Paarsgewijze vergelijking tussen jaren voor Zanglijster. Uitleg van de symbolen in tabel 4.1.

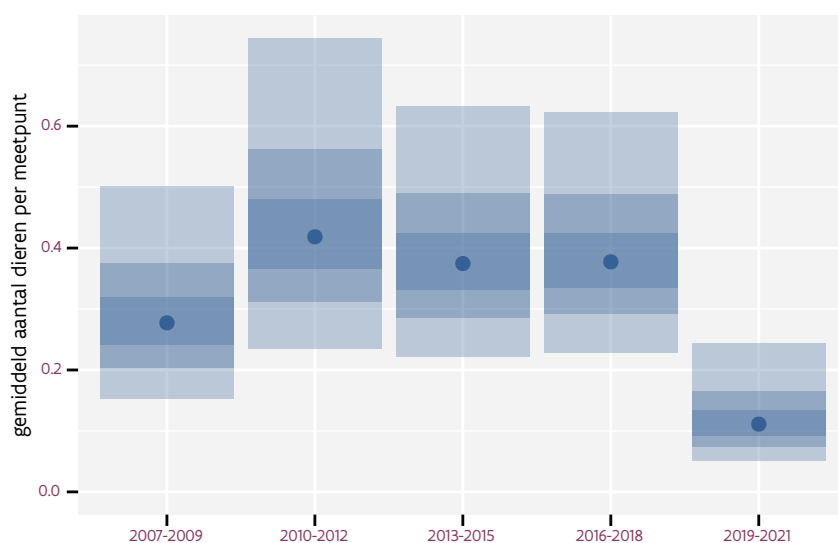
Tabel 100.2: Data-hashes van de analyses in het kader van traceerbaarheid (zie §5.3).

frequentie	model	analyse	status
jaarlijks	lineair	f12a9e4e9850dc241db7 d4dcba0b1bd896ece275	00a7738d2c39573ea3c8 e7a51325c16e927a0d65
jaarlijks	niet-lineair	f9156b474c7402941310 d6f0cbcc001e6aab9485	bddb91fa9f316cdee768 b8277c8e6f1aee98218a
driejaarlijks	lineair	45cc637a49b7cdd93702 054162ed5b8985d4dce4	760618facf3e026d86f0 b1641a838bf2d928a890
driejaarlijks	niet-lineair	70370e1945431258c90b 46cc317d1ed2da7ec62f	04ceb2848e7f851c666f f168fc5181678d43710c

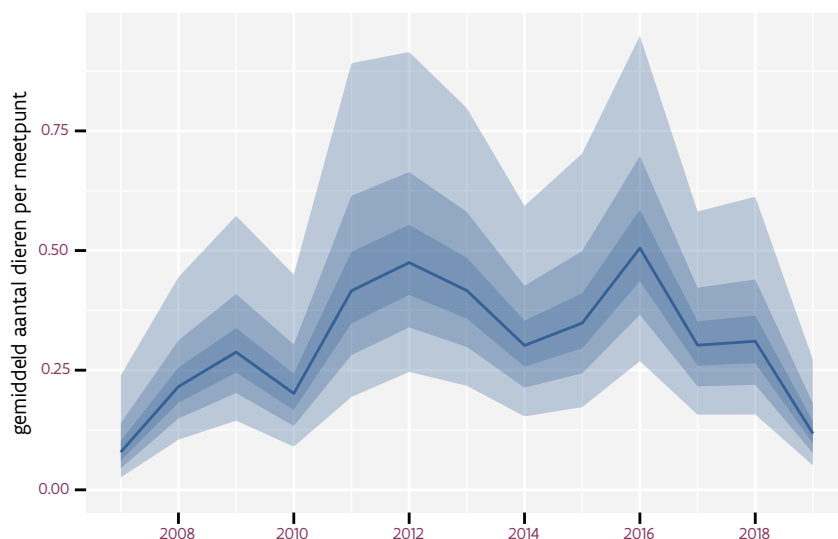
101 ZILVERMEEUW

Op basis van driejaarlijkse gegevens zien we gemiddeld een onduidelijke trend van -1.5% (-6.2%; +3.4%) per jaar of -20% (-50%; +50%) over de volledige looptijd van het meetnet. Deze trend is niet-lineair.

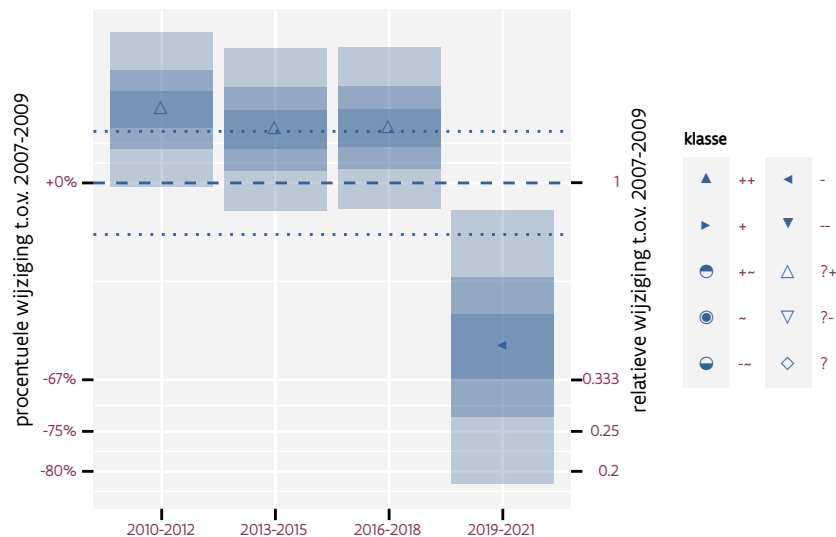
Op basis van jaarlijkse gegevens zien we gemiddeld een onduidelijke trend van -0.8% (-5.6%; +4.2%) per jaar of -10% (-50%; +60%) over de volledige looptijd van het meetnet. Deze trend is niet-lineair.



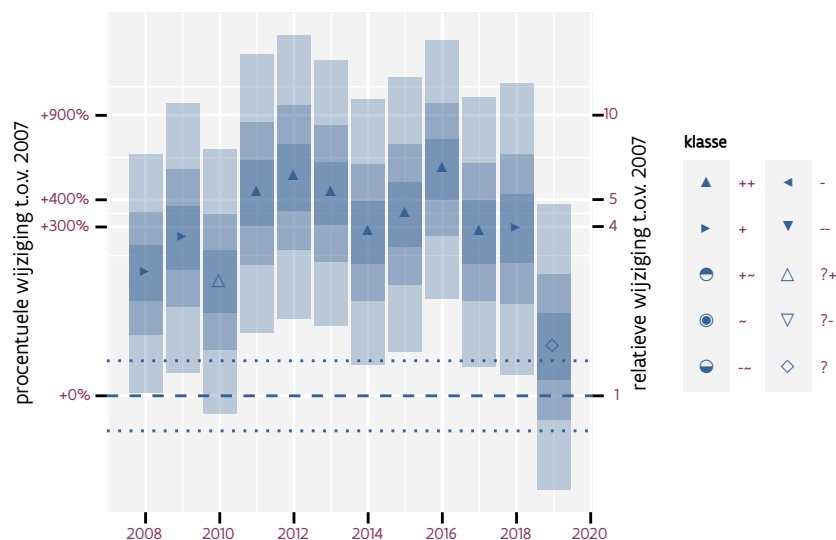
Figuur 101.1: Evolutie van het gemodeleerde gemiddeld aantal waargenomen dieren op een meetpunt voor Zilvermeeuw tijdens de referentieperiode. Zie §4.1 voor een verklaring van de intervallen.



Figuur 101.2: Evolutie van het gemodeleerde gemiddeld aantal waargenomen dieren op een meetpunt voor Zilvermeeuw tijdens de referentieperiode. Zie §4.1 voor een verklaring van de intervallen.



Figuur 101.3: Wijzigingen t.o.v. het eerste driejarige cyclus voor Zilvermeeuw. Zie §4.1 voor een verklaring van de intervallen en §4.2 voor uitleg over de symbolen en referentielijnen.



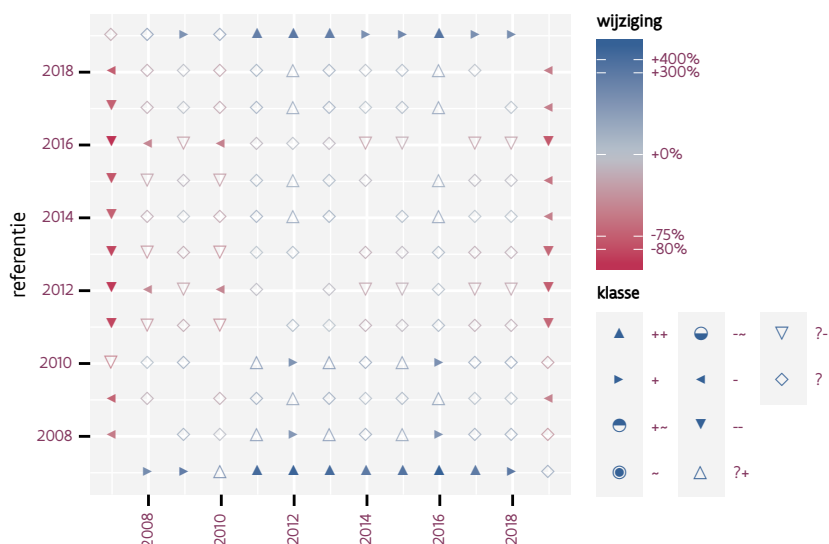
Figuur 101.4: Wijzigingen t.o.v. het eerste jaar voor Zilvermeeuw. Zie §4.1 voor een verklaring van de intervallen en §4.2 voor uitleg over de symbolen en referentielijnen.

Tabel 101.1: Stratumgewicht, raming aan het aantal hokken waarin de soort aanwezig is, aantal relevant hokken voor de analyse, aantal onderzochte hokken in het stratum, totaal aantal hokken van het stratum in Vlaanderen en aantal bezoeken aan een meetpunt voor Zilvermeeuw (zie §3.5).

stratum	gewicht	aanwezig	relevant	onderzocht	totaal	bezoeken
Landbouw	79.5%	207.4	14	426	6311	740
Urbaan	7.3%	14.3	3	87	416	156
Moeras en water	5.3%	12.0	7	80	137	431
Suburbaan	4.5%	8.9	3	68	201	259
Heide en duin	3.4%	6.6	3	91	199	204



Figuur 101.5: Paarsgewijze vergelijking tussen driejarige cycli voor Zilvermeeuw. Uitleg van de symbolen in tabel 4.1.



Figuur 101.6: Paarsgewijze vergelijking tussen jaren voor Zilvermeeuw. Uitleg van de symbolen in tabel 4.1.

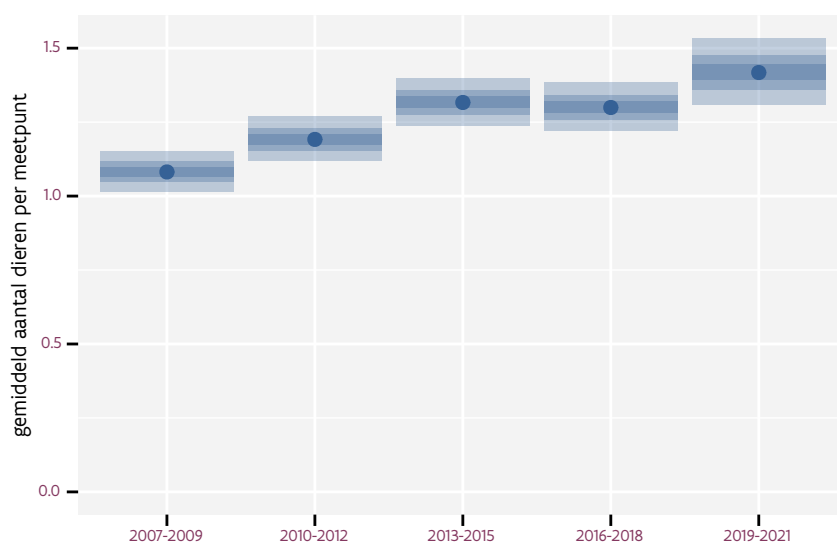
Tabel 101.2: Data-hashes van de analyses in het kader van traceerbaarheid (zie §5.3).

frequentie	model	analyse	status
jaarlijks	lineair	1b0c67a48151e3c8e74e 882ac389e37bd7de4cbe	a9d29ccc06492438e211 e5ea3829fceaaf2d35d
jaarlijks	niet-lineair	93dc6b501cb84bbf4b05 f694b303243be37bcb7b	f0595e239d4385a33aec 548c1194715f98746bb3
driejaarlijks	lineair	e53b066611a5d99de4ad d0f6b048e94518dfe6d4	6c306a24170dd19fcca7 7ab4625572a3d809273e
driejaarlijks	niet-lineair	0b1965b8d05597a6d24b c6f0254b348c5eb9dc9e	9910685b61f28e304743 ca9878b12e3315ff64d4

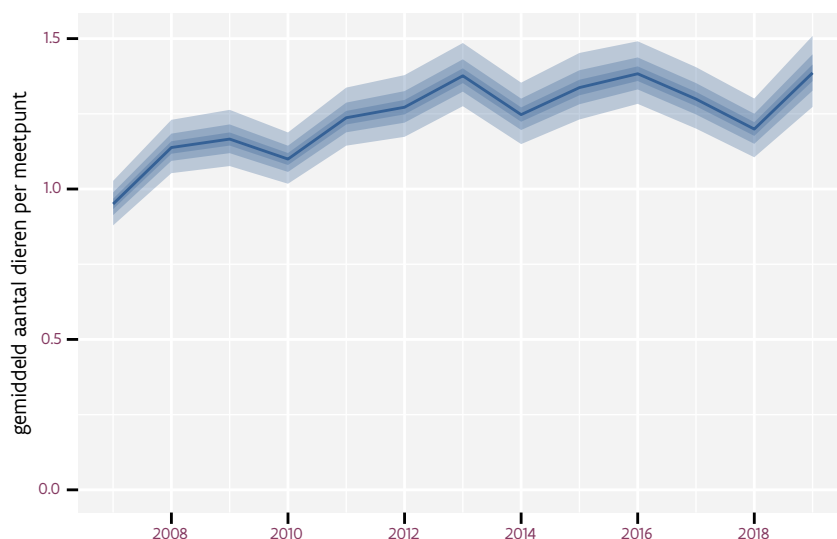
102 ZWARTE KRAAI

Op basis van driejaarlijkse gegevens zien we gemiddeld een toename met +2.21% (+1.80%; +2.63%) per jaar of +30% (+24%; +37%) over de volledige looptijd van het meetnet. Deze trend is niet-lineair.

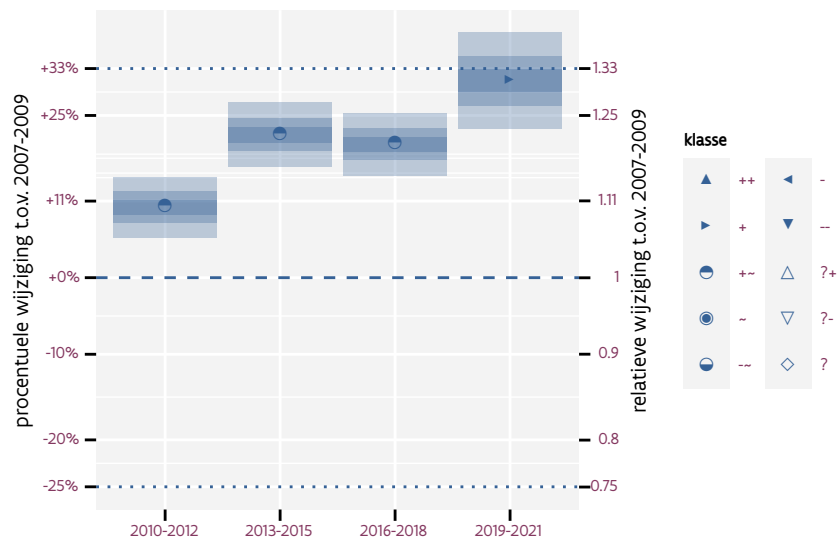
Op basis van jaarlijkse gegevens zien we gemiddeld een toename met +2.21% (+1.80%; +2.63%) per jaar of +30% (+24%; +37%) over de volledige looptijd van het meetnet. Deze trend is niet-lineair.



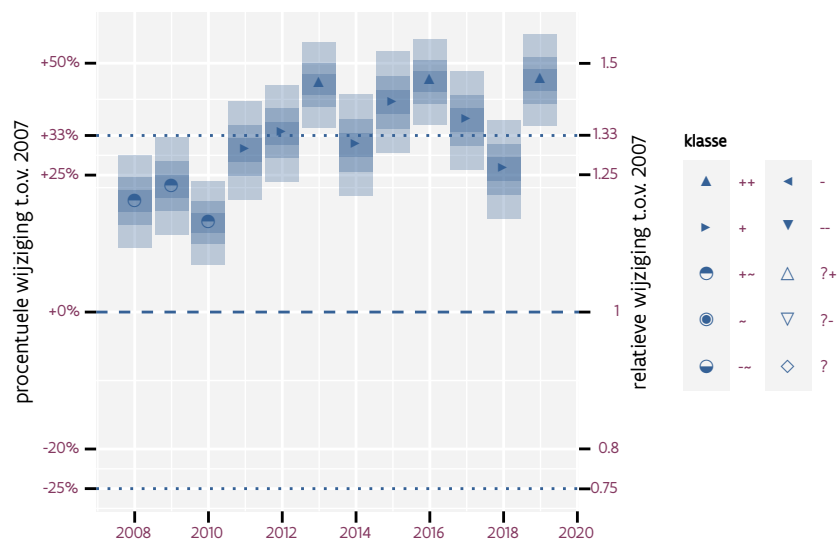
Figuur 102.1: Evolutie van het gemodeleerde gemiddeld aantal waargenomen dieren op een meetpunt voor Zwarte kraai tijdens de referentieperiode. Zie §4.1 voor een verklaring van de intervallen.



Figuur 102.2: Evolutie van het gemodeleerde gemiddeld aantal waargenomen dieren op een meetpunt voor Zwarte kraai tijdens de referentieperiode. Zie §4.1 voor een verklaring van de intervallen.



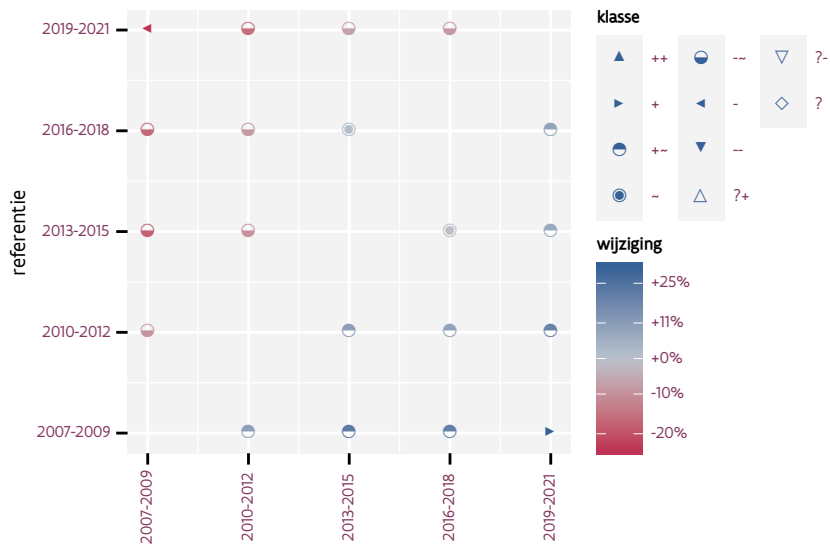
Figuur 102.3: Wijzigingen t.o.v. het eerste driejarige cyclus voor Zwarte kraai. Zie §4.1 voor een verklaring van de intervallen en §4.2 voor uitleg over de symbolen en referentielijnen.



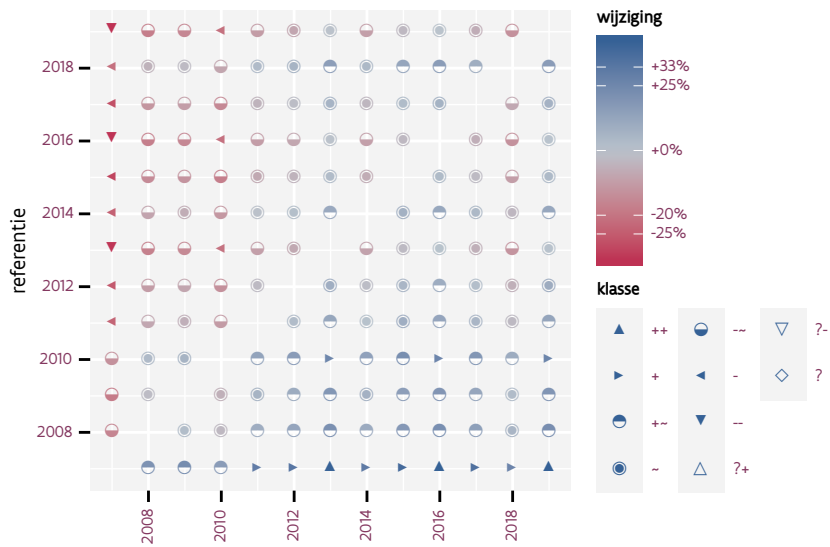
Figuur 102.4: Wijzigingen t.o.v. het eerste jaar voor Zwarte kraai. Zie §4.1 voor een verklaring van de intervallen en §4.2 voor uitleg over de symbolen en referentielijnen.

Tabel 102.1: Stratumgewicht, raming aan het aantal hokken waarin de soort aanwezig is, aantal relevant hokken voor de analyse, aantal onderzochte hokken in het stratum, totaal aantal hokken van het stratum in Vlaanderen en aantal bezoeken aan een meetpunt voor Zwarte kraai (zie §3.5).

stratum	gewicht	aanwezig	relevant	onderzocht	totaal	bezoeken
Landbouw	83.2%	4622.1	312	426	6311	17989
Urbaan	5.4%	296.5	62	87	416	3734
Bos	3.8%	211.5	126	190	319	7815
Heide en duin	2.9%	159.6	73	91	199	4357
Suburbaan	2.8%	150.8	51	68	201	2877
Moeras en water	1.8%	99.3	58	80	137	3363



Figuur 102.5: Paarsgewijze vergelijking tussen driejarige cycli voor Zwarte kraai. Uitleg van de symbolen in tabel 4.1.



Figuur 102.6: Paarsgewijze vergelijking tussen jaren voor Zwarte kraai. Uitleg van de symbolen in tabel 4.1.

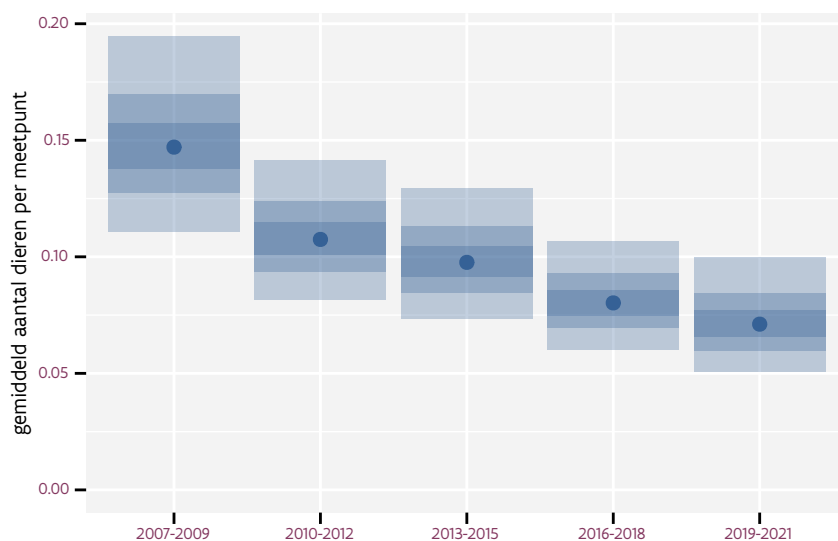
Tabel 102.2: Data-hashes van de analyses in het kader van traceerbaarheid (zie §5.3).

frequentie	model	analyse	status
jaarlijks	lineair	7e5ccfb36e4a7bd4dfb1 9363311d070bd38742df	aa7a508f231625834c74 7b95d17d2a3e261eaac8
jaarlijks	niet-lineair	acb873543cd1657e54b1 054b92f60da468c5aa13	e4402480bd57755d6d54 f28048e6969e7c40586d
driejaarlijks	lineair	c2445e0fe19c7d6799fc eae6002db0e2754ececa	ce4fd32deaf2155bb334 b140f068b96989e9d92a
driejaarlijks	niet-lineair	7e4581e54b681f71e4f7 6b569d820594940fde76	89891690d3e7231ac5df c54cf92a5973b3335ed9

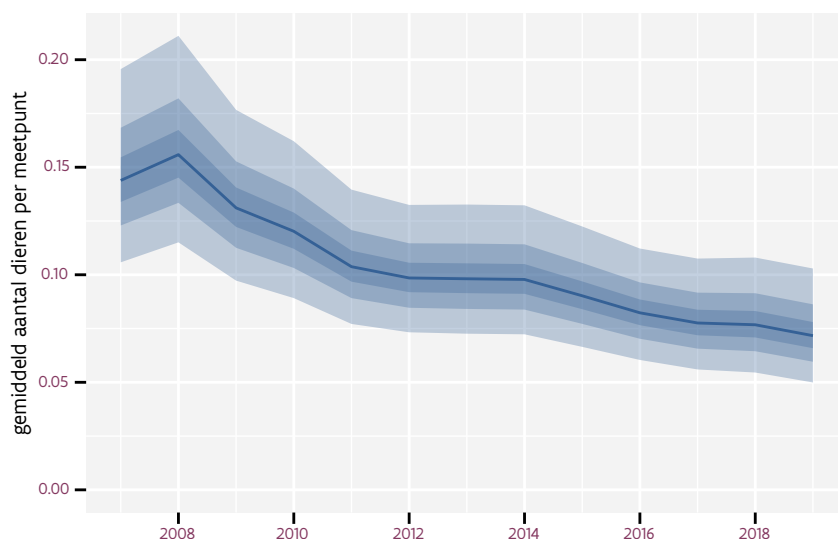
103 ZWARTE MEES

Op basis van driejaarlijkse gegevens zien we gemiddeld een sterke afname met -9.20% (-12.78%; -5.47%) per jaar of -69% (-81%; -49%) over de volledige looptijd van het meetnet. Deze trend is lineair.

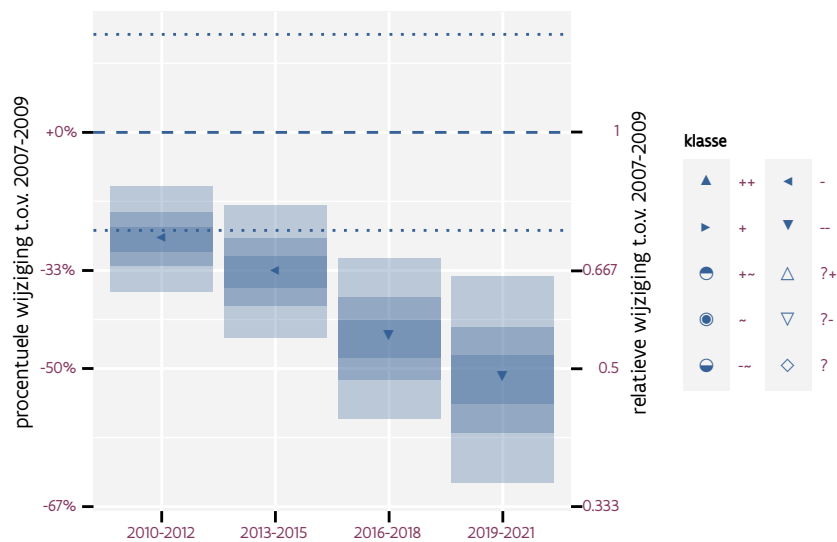
Op basis van jaarlijkse gegevens zien we gemiddeld een sterke afname met -8.68% (-12.19%; -5.02%) per jaar of -66% (-79%; -46%) over de volledige looptijd van het meetnet. Deze trend is niet-lineair.



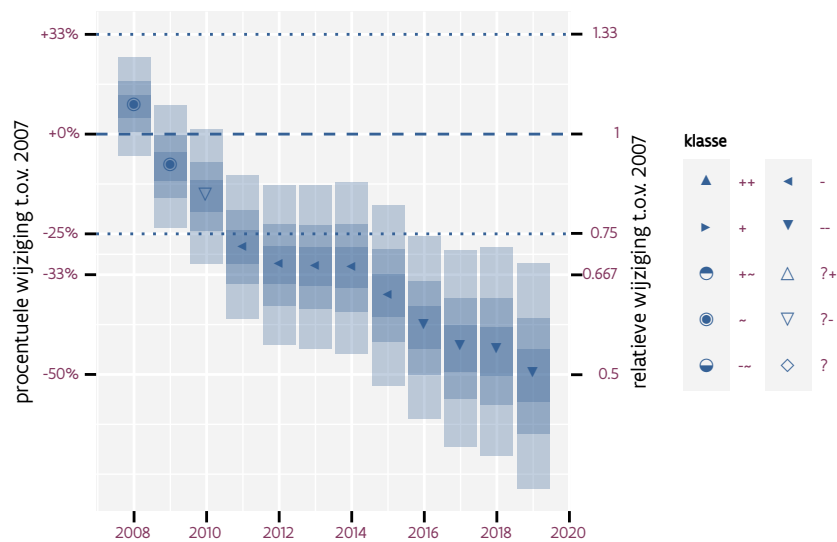
Figuur 103.1: Evolutie van het gemodeleerde gemiddeld aantal waargenomen dieren op een meetpunt voor Zwarte mees tijdens de referentieperiode. Zie §4.1 voor een verklaring van de intervallen.



Figuur 103.2: Evolutie van het gemodeleerde gemiddeld aantal waargenomen dieren op een meetpunt voor Zwarte mees tijdens de referentieperiode. Zie §4.1 voor een verklaring van de intervallen.



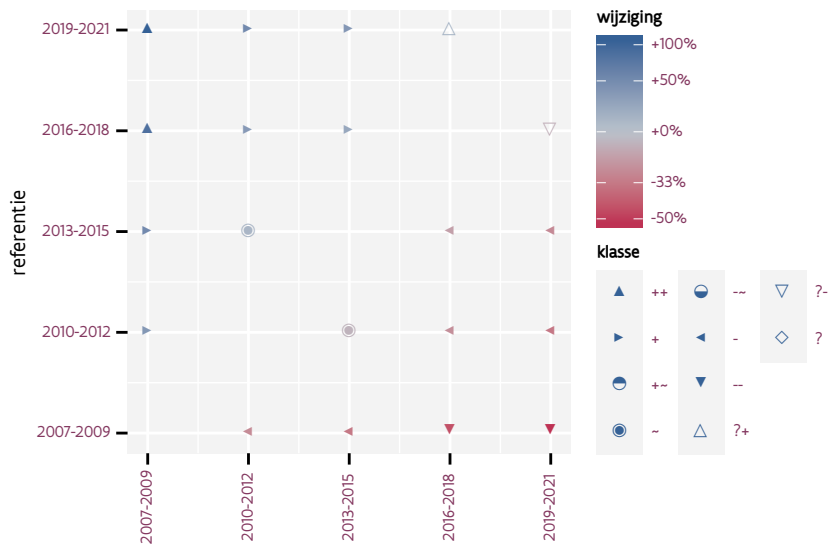
Figuur 103.3: Wijzigingen t.o.v. het eerste driejarige cyclus voor Zwarte mees. Zie §4.1 voor een verklaring van de intervallen en §4.2 voor uitleg over de symbolen en referentielijnen.



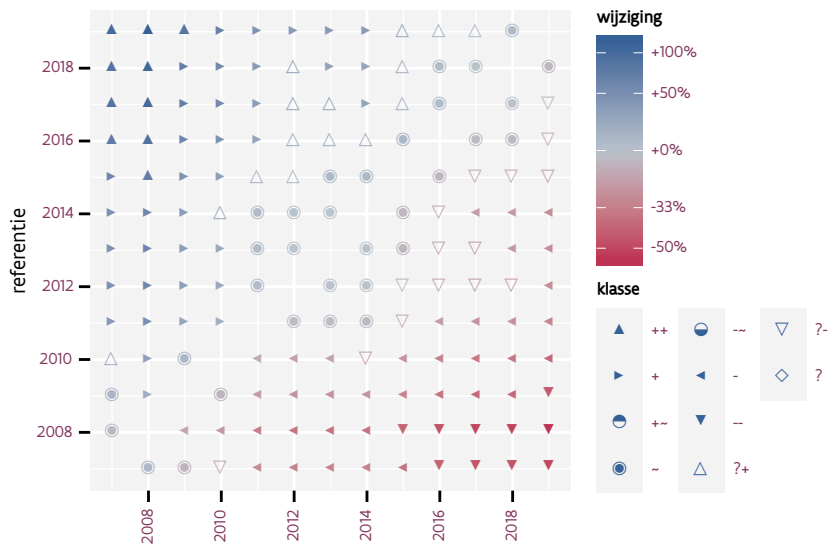
Figuur 103.4: Wijzigingen t.o.v. het eerste jaar voor Zwarte mees. Zie §4.1 voor een verklaring van de intervallen en §4.2 voor uitleg over de symbolen en referentielijnen.

Tabel 103.1: Stratumgewicht, raming aan het aantal hokken waarin de soort aanwezig is, aantal relevant hokken voor de analyse, aantal onderzochte hokken in het stratum, totaal aantal hokken van het stratum in Vlaanderen en aantal bezoeken aan een meetpunt voor Zwarte mees (zie §3.5).

stratum	gewicht	aanwezig	relevant	onderzocht	totaal	bezoeken
Bos	46.4%	110.8	66	190	319	4574
Landbouw	24.8%	44.4	3	426	6311	264
Heide en duin	20.1%	45.9	21	91	199	1457
Suburbaan	8.7%	17.7	6	68	201	300



Figuur 103.5: Paarsgewijze vergelijking tussen driejarige cycli voor Zwarte mees. Uitleg van de symbolen in tabel 4.1.



Figuur 103.6: Paarsgewijze vergelijking tussen jaren voor Zwarte mees. Uitleg van de symbolen in tabel 4.1.

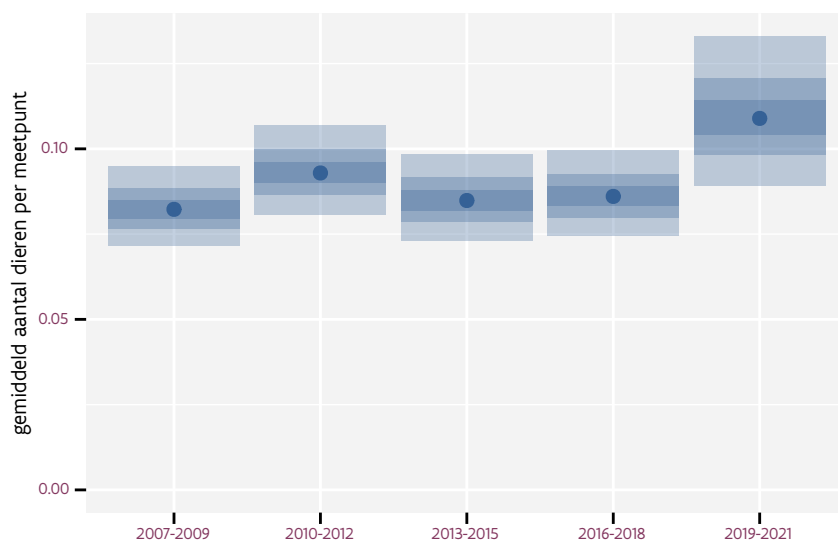
Tabel 103.2: Data-hashes van de analyses in het kader van traceerbaarheid (zie §5.3).

frequentie	model	analyse	status
jaarlijks	lineair	495610f5b06df8c442a1f0e7e71722c940f2fd3c	6715d6f7f10037c43b84e3c0d30a1ca6793beda5
jaarlijks	niet-lineair	465525dbcc25c34d1346cc2f3359db68c100e349	21db9ebd92ab83855cc2fd3c9dfe6bdc5679a7c9
driejaarlijks	lineair	fc1a618a4ec86e7390e10633afcc22c5151c6d8a	2c278594e49dbb87077748a4bd374f1f3141528f
driejaarlijks	niet-lineair	8c2667d07784d0d26124918c86abf37614a37755	3578e9effebb34b621b1a54917c2975c230b4c99

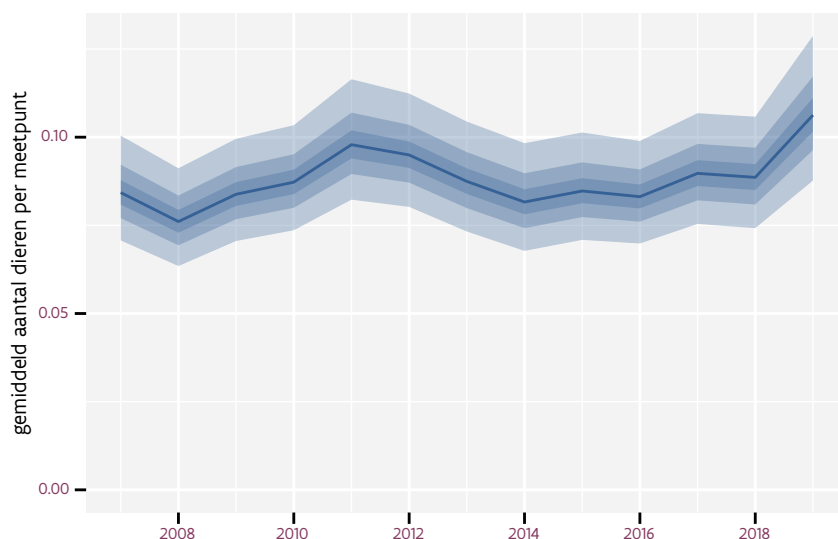
104 ZWARTE ROODSTAART

Op basis van driejaarlijkse gegevens zien we gemiddeld een stabiele trend van +0.9% (-0.3%; +2.2%) per jaar of +12% (-4%; +30%) over de volledige looptijd van het meetnet. Deze trend is niet-lineair.

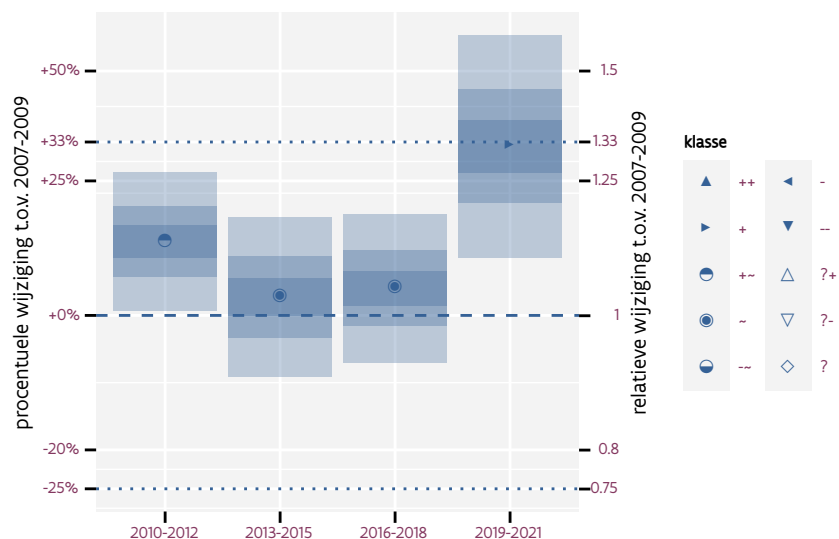
Op basis van jaarlijkse gegevens zien we gemiddeld een stabiele trend van +0.9% (-0.4%; +2.1%) per jaar of +11% (-5%; +29%) over de volledige looptijd van het meetnet. Deze trend is niet-lineair.



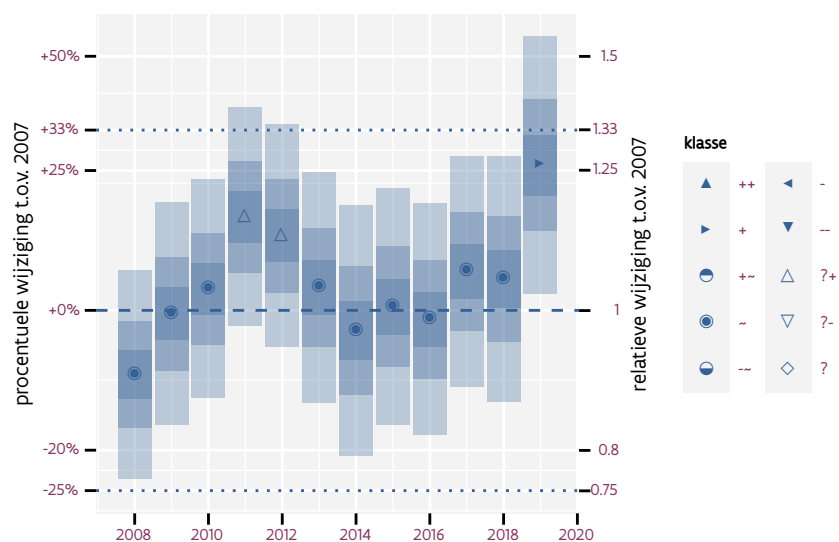
Figuur 104.1: Evolutie van het gemodeleerde gemiddeld aantal waargenomen dieren op een meetpunt voor Zwarte roodstaart tijdens de referentieperiode. Zie §4.1 voor een verklaring van de intervallen.



Figuur 104.2: Evolutie van het gemodeleerde gemiddeld aantal waargenomen dieren op een meetpunt voor Zwarte roodstaart tijdens de referentieperiode. Zie §4.1 voor een verklaring van de intervallen.



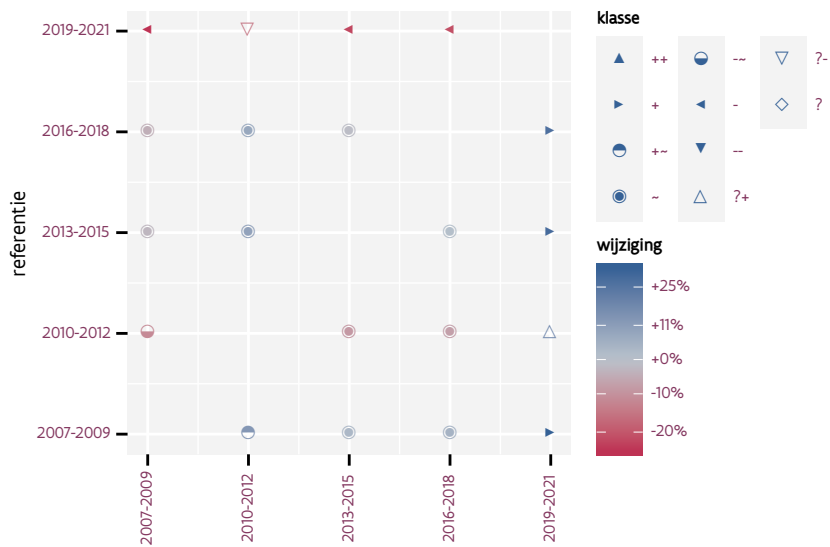
Figuur 104.3: Wijzigingen t.o.v. het eerste driejarige cyclus voor Zwarte roodstaart. Zie §4.1 voor een verklaring van de intervallen en §4.2 voor uitleg over de symbolen en referentielijnen.



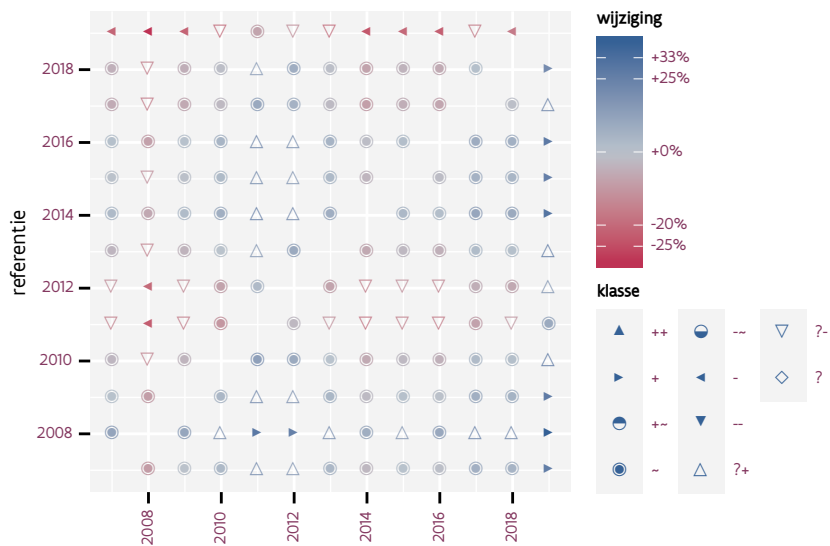
Figuur 104.4: Wijzigingen t.o.v. het eerste jaar voor Zwarte roodstaart. Zie §4.1 voor een verklaring van de intervallen en §4.2 voor uitleg over de symbolen en referentielijnen.

Tabel 104.1: Stratumgewicht, raming aan het aantal hokken waarin de soort aanwezig is, aantal relevant hokken voor de analyse, aantal onderzochte hokken in het stratum, totaal aantal hokken van het stratum in Vlaanderen en aantal bezoeken aan een meetpunt voor Zwarte roodstaart (zie §3.5).

stratum	gewicht	aanwezig	relevant	onderzocht	totaal	bezoeken
Landbouw	88.4%	1881.4	127	426	6311	8198
Urbaan	5.2%	105.2	22	87	416	1456
Suburbaan	3.6%	73.9	25	68	201	1564
Moeras en water	1.3%	25.7	15	80	137	971
Heide en duin	0.9%	17.5	8	91	199	540
Bos	0.6%	11.8	7	190	319	470



Figuur 104.5: Paarsgewijze vergelijking tussen driejarige cycli voor Zwarte roodstaart. Uitleg van de symbolen in tabel 4.1.



Figuur 104.6: Paarsgewijze vergelijking tussen jaren voor Zwarte roodstaart. Uitleg van de symbolen in tabel 4.1.

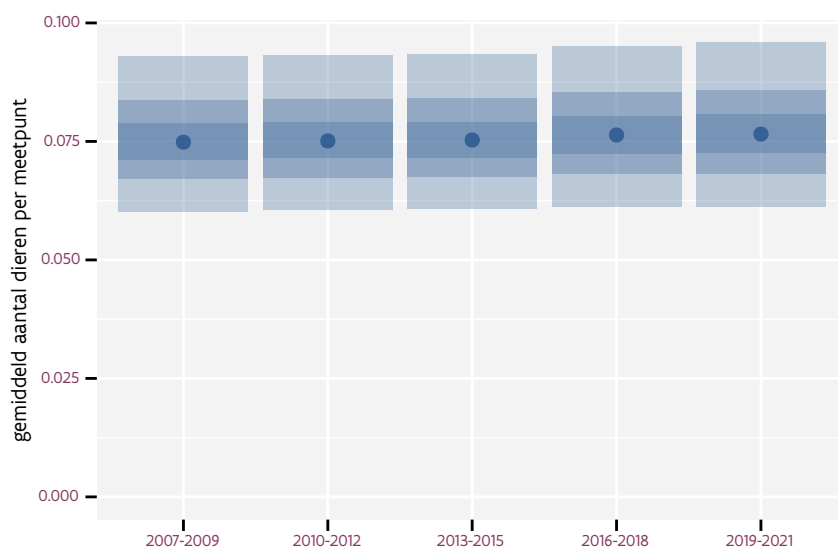
Tabel 104.2: Data-hashes van de analyses in het kader van traceerbaarheid (zie §5.3).

frequentie	model	analyse	status
jaarlijks	lineair	79b7e45950770d37aa1e fc75d556de9ab977d372	cc4727de505e6cb714d6 dd1bf9864142cc54d479
jaarlijks	niet-lineair	d1c7d428cec2d0d3df72 3074861fc3d52c4c38a2	de33776388535470d8bc 6daa6abe3d6aa35af187
driejaarlijks	lineair	828fb61304de6e5de9d1 2e30cc9179109aad4e7d	e2ec49092209333e006c b5bf7285e3ce5c49014d
driejaarlijks	niet-lineair	7c5605f6be0e5bb06e9d 2d1f900e77136ef5f6ba	d41b6e9df18c325a8fc3 0561d875c300d25c1d7e

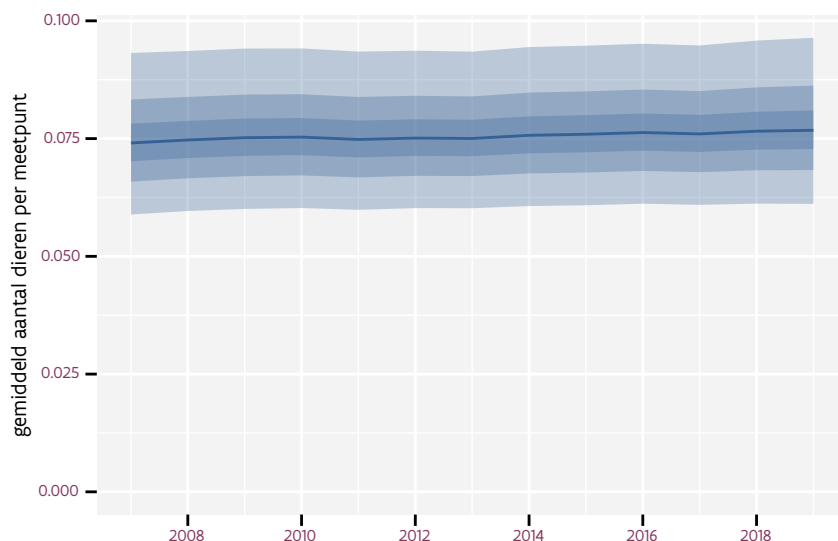
105 ZWARTE SPECHT

Op basis van driejaarlijkse gegevens zien we gemiddeld een mogelijk afname met -2.7% (-6.6%; +1.4%) per jaar of -28% (-56%; +18%) over de volledige looptijd van het meetnet. Deze trend is niet-lineair.

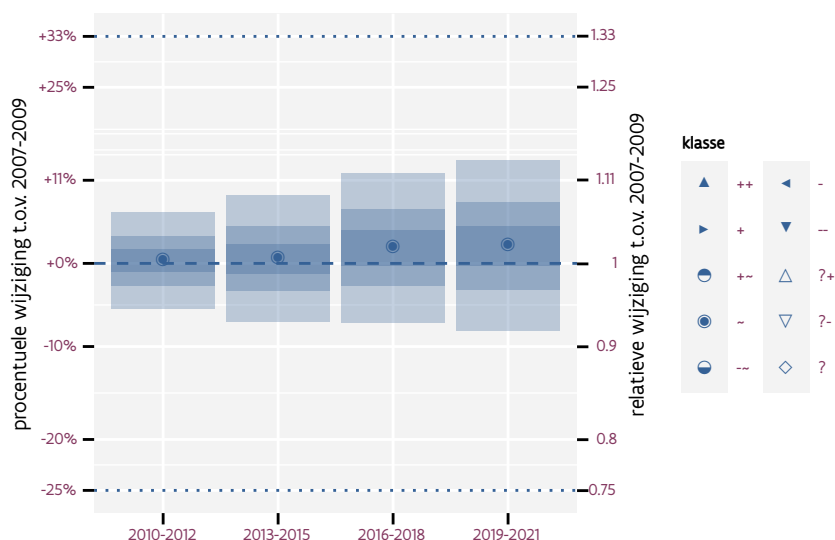
Op basis van jaarlijkse gegevens zien we gemiddeld een mogelijk afname met -2.6% (-6.8%; +1.7%) per jaar of -27% (-57%; +22%) over de volledige looptijd van het meetnet. Deze trend is niet-lineair.



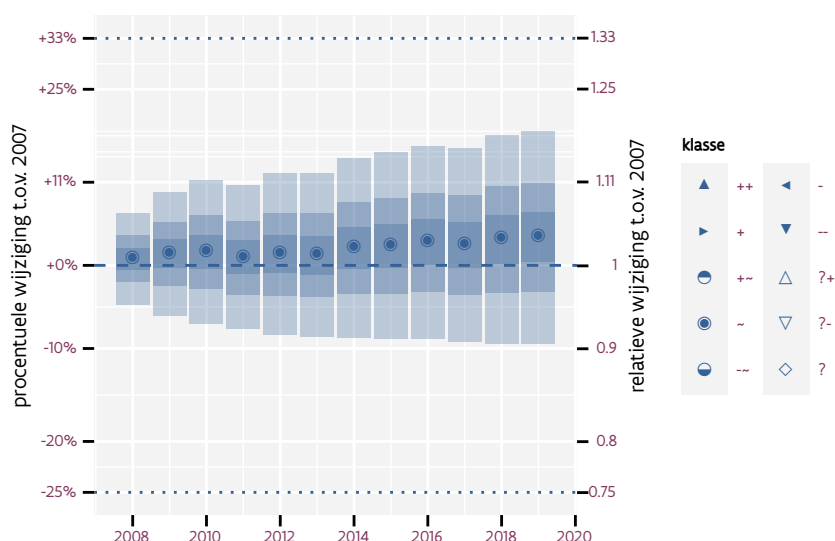
Figuur 105.1: Evolutie van het gemodeleerde gemiddeld aantal waargenomen dieren op een meetpunt voor Zwarte specht tijdens de referentieperiode. Zie §4.1 voor een verklaring van de intervallen.



Figuur 105.2: Evolutie van het gemodeleerde gemiddeld aantal waargenomen dieren op een meetpunt voor Zwarte specht tijdens de referentieperiode. Zie §4.1 voor een verklaring van de intervallen.



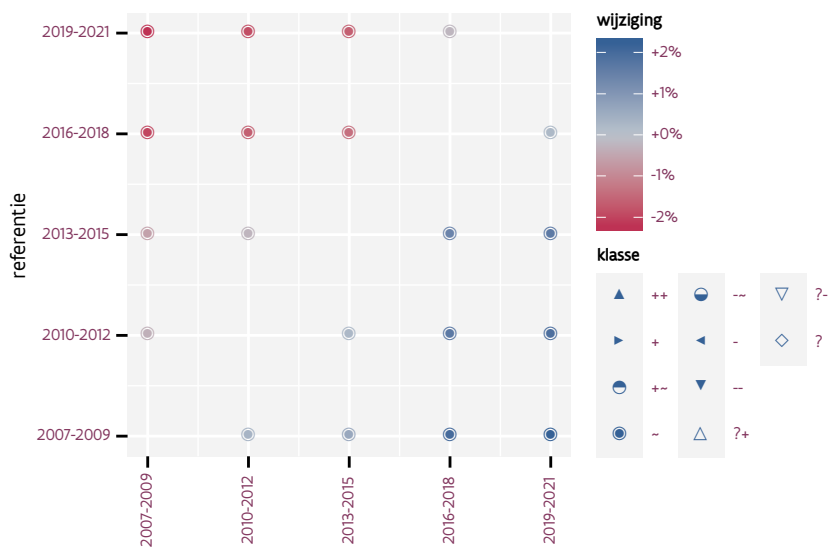
Figuur 105.3: Wijzigingen t.o.v. het eerste driejarige cyclus voor Zwarte specht. Zie §4.1 voor een verklaring van de intervallen en §4.2 voor uitleg over de symbolen en referentielijnen.



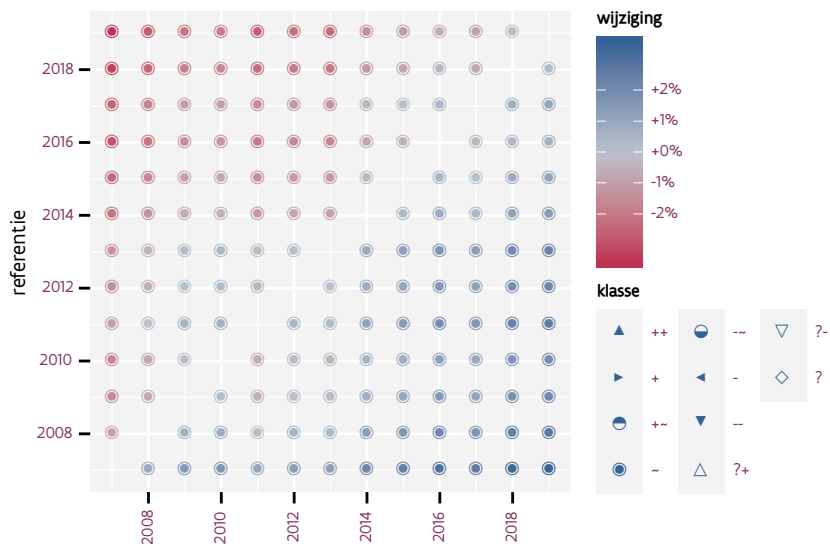
Figuur 105.4: Wijzigingen t.o.v. het eerste jaar voor Zwarte specht. Zie §4.1 voor een verklaring van de intervallen en §4.2 voor uitleg over de symbolen en referentielijnen.

Tabel 105.1: Stratumgewicht, raming aan het aantal hokken waarin de soort aanwezig is, aantal relevant hokken voor de analyse, aantal onderzochte hokken in het stratum, totaal aantal hokken van het stratum in Vlaanderen en aantal bezoeken aan een meetpunt voor Zwarte specht (zie §3.5).

stratum	gewicht	aanwezig	relevant	onderzocht	totaal	bezoeken
Bos	45.3%	107.5	64	190	319	4507
Landbouw	25.0%	44.4	3	426	6311	257
Heide en duin	24.0%	54.7	25	91	199	1898
Moeras en water	5.8%	12.0	7	80	137	496



Figuur 105.5: Paarsgewijze vergelijking tussen driejarige cycli voor Zwarte specht. Uitleg van de symbolen in tabel 4.1.



Figuur 105.6: Paarsgewijze vergelijking tussen jaren voor Zwarte specht. Uitleg van de symbolen in tabel 4.1.

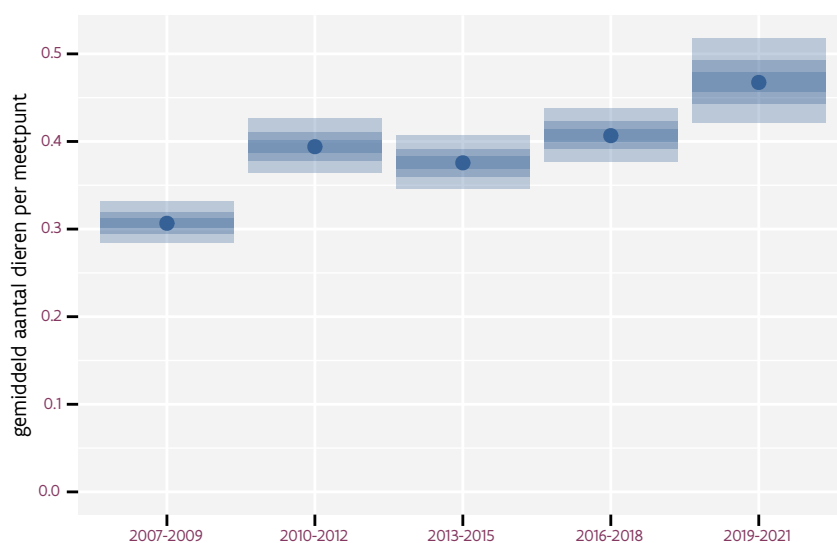
Tabel 105.2: Data-hashes van de analyses in het kader van traceerbaarheid (zie §5.3).

frequentie	model	analyse	status
jaarlijks	lineair	65c409b11a512bc81747 3b14175155b9e33362a8	529d9dfe2c1b97ab0418 73fedcbba308913df5ae
jaarlijks	niet-lineair	48ba73ba08854622b401 097371cdd91e04697172	8803d1ec5e5a51e388fe a33e2eff64af79e37f79
driejaarlijks	lineair	2796936bac0db6cda4e0 a7ab88cc88ab466a33de	0a0a044f55864b5bad59 c8de1fb56324a8c0664b
driejaarlijks	niet-lineair	83d6b2b4f23dccc31ca2 ba315736c556b8695ece	633d8a0ccf831c1beac5 838aa3c663a784c25fa7

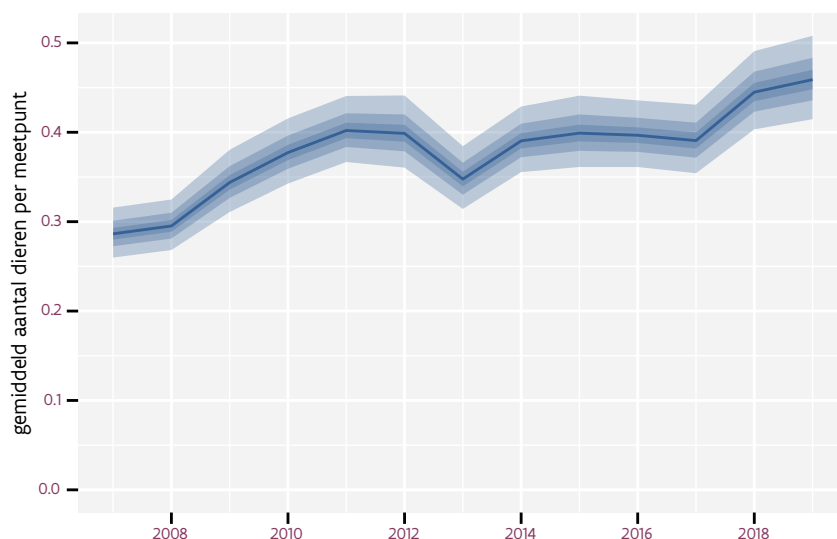
106 ZWARTKOP

Op basis van driejaarlijkse gegevens zien we gemiddeld een sterke toename met +3.0% (+2.5%; +3.5%) per jaar of +43% (+34%; +52%) over de volledige looptijd van het meetnet. Deze trend is niet-lineair.

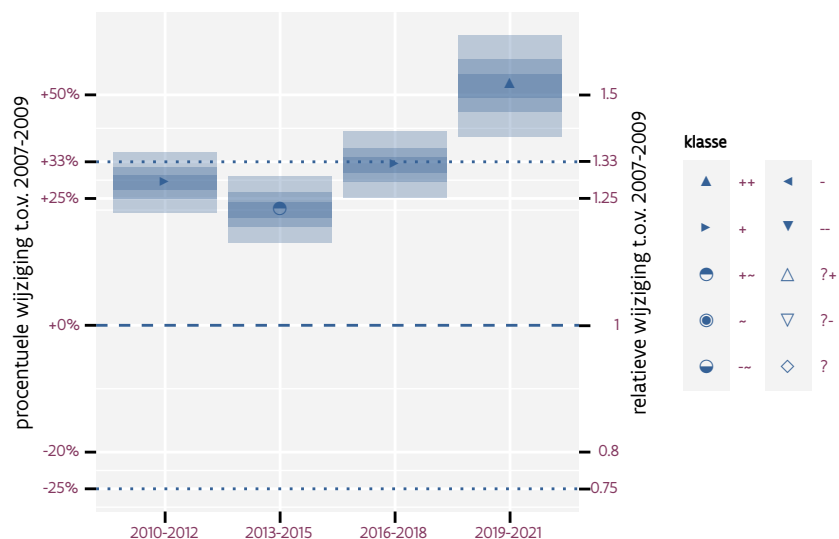
Op basis van jaarlijkse gegevens zien we gemiddeld een sterke toename met +3.1% (+2.6%; +3.7%) per jaar of +45% (+36%; +54%) over de volledige looptijd van het meetnet. Deze trend is niet-lineair.



Figuur 106.1: Evolutie van het gemodeleerde gemiddeld aantal waargenomen dieren op een meetpunt voor Zwartkop tijdens de referentieperiode. Zie §4.1 voor een verklaring van de intervallen.



Figuur 106.2: Evolutie van het gemodeleerde gemiddeld aantal waargenomen dieren op een meetpunt voor Zwartkop tijdens de referentieperiode. Zie §4.1 voor een verklaring van de intervallen.



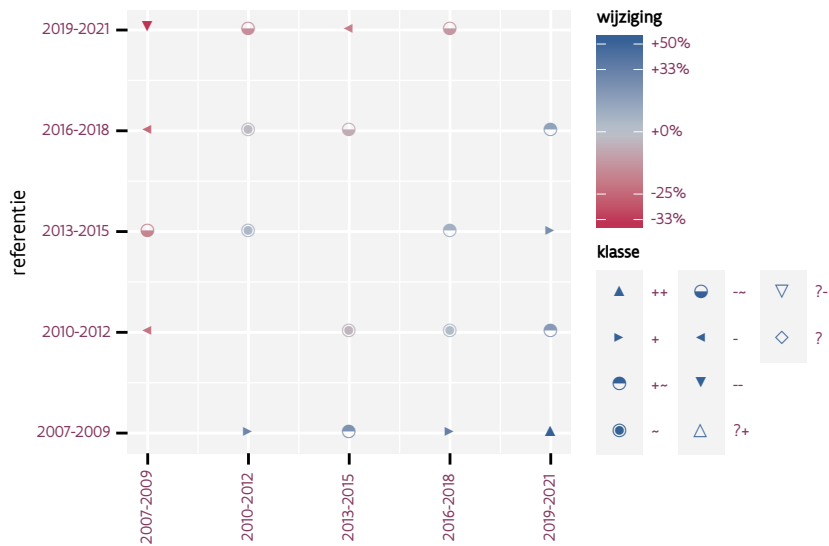
Figuur 106.3: Wijzigingen t.o.v. het eerste driejarige cyclus voor Zwartkop. Zie §4.1 voor een verklaring van de intervallen en §4.2 voor uitleg over de symbolen en referentielijnen.



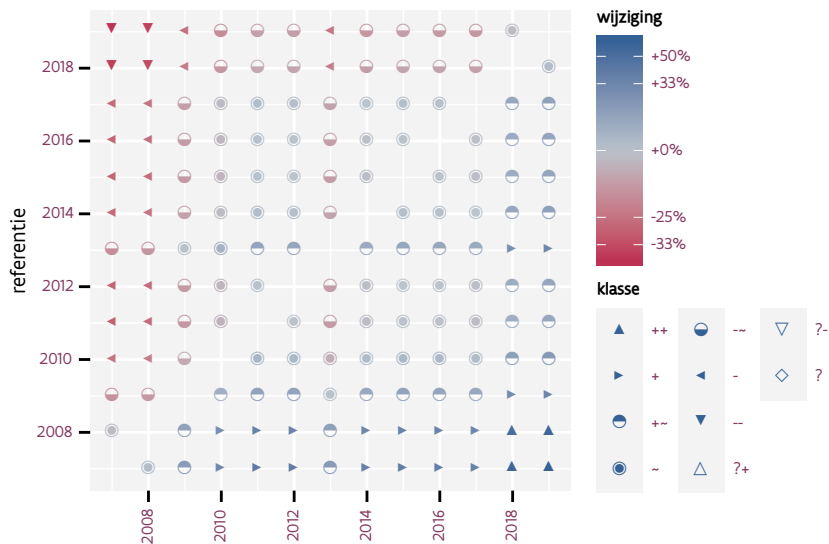
Figuur 106.4: Wijzigingen t.o.v. het eerste jaar voor Zwartkop. Zie §4.1 voor een verklaring van de intervallen en §4.2 voor uitleg over de symbolen en referentielijnen.

Tabel 106.1: Stratumgewicht, raming aan het aantal hokken waarin de soort aanwezig is, aantal relevant hokken voor de analyse, aantal onderzochte hokken in het stratum, totaal aantal hokken van het stratum in Vlaanderen en aantal bezoeken aan een meetpunt voor Zwartkop (zie §3.5).

stratum	gewicht	aanwezig	relevant	onderzocht	totaal	bezoeken
Landbouw	81.9%	3837.0	259	426	6311	15335
Urbaan	5.3%	243.9	51	87	416	3058
Bos	4.8%	223.3	133	190	319	8163
Heide en duin	3.1%	144.3	66	91	199	4087
Suburbaan	2.8%	127.1	43	68	201	2551
Moeras en water	2.0%	94.2	55	80	137	3279



Figuur 106.5: Paarsgewijze vergelijking tussen driejarige cycli voor Zwartkop. Uitleg van de symbolen in tabel 4.1.



Figuur 106.6: Paarsgewijze vergelijking tussen jaren voor Zwartkop. Uitleg van de symbolen in tabel 4.1.

Tabel 106.2: Data-hashes van de analyses in het kader van traceerbaarheid (zie §5.3).

frequentie	model	analyse	status
jaarlijks	lineair	7bfa1f9f0f1889d463fe a270a8d4c8a2ee7f98c4	f4ffe67923531b71e3e7 35b3ff99df7a1e59e984
jaarlijks	niet-lineair	6b95d4bdae28894cc824 f0ff0a26b27ca794632d	ec419739a60628e9dac3 79f2b0bd59f6be886083
driejaarlijks	lineair	415a923870677eb41a53 37d558729f2289d1c671	72839a0567b2de7fdd39 0d6d825482c2e4abf046
driejaarlijks	niet-lineair	c717d7ca2550ffb531ab e6c47a2eb2aea2f32c30	afc477a4c4a68c0e505a e37d827e8ca51d7ad753

Referenties

- Britton, E., Fisher, P. & Whitley, J. (1998). The Inflation Report projections: Understanding the fan chart. Bank of England Quarterly Bulletin paginas 30–37.
- Gelman, A., Hwang, J. & Vehtari, A. (2014). Understanding predictive information criteria for Bayesian models. *Statistics and Computing* 24 (6): 997–1016. ISSN 15731375. doi:10.1007/s11222-013-9416-2.
- Onkelinx, T. (2019a). *abvanalysis: Analysis of the Common Breeding Bird Survey*. URL <https://github.com/inbo/abvanalysis>. R package version 0.2.2.
- Onkelinx, T. (2019b). *git2rdata: Store and Retrieve Data.frames in a Git Repository*. URL <https://CRAN.R-project.org/package=git2rdata>. R package version 0.2.0.
- Onkelinx, T. (2019c). *n2kanalysis: Generic Functions to Analyse Data from the Natura 2000 Monitoring*. URL <https://doi.org/10.5281/zenodo.3576047>. R package version 0.2.9.
- R Core Team (2019). *R: A Language and Environment for Statistical Computing*. R Foundation for Statistical Computing, Vienna, Austria. URL <https://www.R-project.org/>.
- Rue, H., Martino, S., Lindgren, F., Simpson, D. & Riebler, A. (2009). INLA: Functions Which Allow to Perform Full Bayesian Analysis of Latent Gaussian Models Using Integrated Nested Laplace Approximation.
- Simpson, D.P., Rue, H., Martins, T.G., Riebler, A. & Sørbye, S.H. (2017). Penalising model component complexity: A principled, practical approach to constructing priors. *Statistical Science* 32 (1): 1–28. ISSN 0883-4237. doi:10.1214/16-ST5576.
- Vermeersch, G., Anselin, A., Herremans, M. & Brosens, D. (2018a). *ABV - Common breeding birds in Flanders, Belgium*. Version 1.7.
- Vermeersch, G., Ledegen, H. & Feys, S. (2018b). *Methodehandleiding Bij Het Project 'Algemene Broedvogelmonitoring Vlaanderen (ABV)'*. technisch rapport 2018 93, Instituut voor Natuur- en Bosonderzoek, Brussels, Belgium. doi:10.21436/inbor.15674942.
- Vriens, L., Bosch, H., De Knijf, G., De Saeger, S., Guelinckx, R., Oosterlynck, P., Van Hove, M. & Paelinckx, D. (2011). De biologische waarderingskaart: biotopen en hun verspreiding in vlaanderen en het Brussels Hoofdstedelijk Gewest. Nummer INBO.M.2011.1 in Mededelingen van het Instituut voor Natuur- en Bosonderzoek. Instituut voor Natuur- en Bosonderzoek, België.